

Adrian Virgil CRĂCIUN

# **ELECTRONICĂ ANALOGICĂ**

**Dispozitive și aplicații**

[Cuprins](#)

Editura Universității *Transilvania* din Brașov

**2010**

---

© 2010 EDITURA UNIVERSITĂȚII *TRANSILVANIA* DIN BRAȘOV

Adresa: 500091 Brașov,  
B-dul Iuliu Maniu 41A  
Tel: 0268 – 476050  
Fax: 0268 476051  
E-mail : [editura@unitbv.ro](mailto:editura@unitbv.ro)

**Toate drepturile rezervate**

**Editură acreditată de CNCSIS**  
*Adresa nr.1615 din 29 mai 2002*

**Referenți științifici:** Prof. univ. Dr. Florin Sandu  
Prof. univ. Dr. Petre Ogruțan  
Conf. univ. Dr. Gheorghe Pană

**ISBN 978-973-598-802-9**

---

# Prefață

Această lucrare de cercetare și sinteză studiază dispozitivele semiconductoare utilizate de electronica analogică și aplicațiile de bază ale acestora. Lucrarea este utilă atât studenților din primii ani de studiu cât și inginerilor de profil electric.

La elaborarea acestei lucrări s-au presupus cunoscute noțiunile de matematică și de circuite electrice la nivel de liceu. Parcurgerea prealabilă a unui curs în domeniul circuitelor electrice constituie un avantaj, dar nu este absolut necesară, deoarece noțiunile fundamentale de circuite electrice sunt prezentate în primul capitol. Recomand parcurgerea materialului în succesiunea din lucrare, cel puțin la prima lectură. Lucrarea este structurată pe 4 capitole.

Capitolul introductiv prezintă configurațiile fundamentale de circuit, principiile modelării și câteva metode de obținere a circuitelor echivalente. Noțiunile prezentate trebuiesc înțelese în profunzime deoarece materialul este necesar pentru capitolele următoare.

Următoarele trei capitole care studiază diodele semiconductoare, tranzistoarele bipolare și tranzistoarele cu efect de câmp sunt structurate în două părți:

- în prima parte se introduc modelele cele mai simple ale dispozitivelor studiate și sunt analizate aplicațiile fundamentale (pe baza modelelor simplificate),
- în partea a doua se analizează construcția și funcționarea dispozitivelor respective, modele mai complexe, se introduc modele de simulare SPICE și noțiuni avansate de utilizare a dispozitivului respectiv.

Pentru cititorul interesat de aspectele strict aplicative este posibilă parcurgerea primei părți a fiecărui capitol și eventual parcurgere sumară a noțiunilor de fizica semiconductoarelor și despre funcționarea internă a dispozitivelor (prezentate în partea a doua a fiecărui capitol).

Majoritatea aplicațiilor studiate sunt însoțite de exemple de circuite practice, calculate complet și cu explicații detaliate. Pentru cei ce vor să aprofundeze materialul, recomand ca după parcurgerea subiectului teoretic să rezolve independent exemplele de analiză sau proiectare propuse, fără a citi rezolvarea. Abia după ce se încearcă rezolvarea problemei respective se va analiza și rezolvarea propusă. Prin această metodă se obține implicarea directă a cititorului și se scurtează calea spre înțelegerea aplicațiilor simple de electronică, acesta fiind primul pas al viitorului inginer electronist. Consider că deosebirea dintre un matematician și un inginer este aceea că matematicianul efectuează calculele exacte, precizia fiind principalul deziderat; în timp ce rezolvarea problemelor ingineresti se face prin găsirea aproximației optime, înțelegerea și modelarea fenomenului fiind scopul principal. Aplicarea metodelor matematice exacte la studierea aplicațiilor de electronică este principial posibilă, dar conduce cel mai adesea la pierderea legăturii cu fenomenul studiat, din cauza complexității prea mari la care se ajunge pentru a avea o precizie foarte bună. În prima etapă se utilizează modele cât mai simple care permit înțelegerea fenomenului, calculele exacte se pot face în a doua etapă a analizei, cu ajutorul calculatorului, pe baza unor modele cât mai precise. De aceea în studiul dispozitivelor și al circuitelor electronice de electronică analogică sunt utilizate diferite niveluri de detalieri, de la cele mai simple modele utilizate la calcule manuale și până la cele mai precise (dar complexe) modele utilizate la simularea pe calculator. La unele dintre exemplele de calcul se analizează nivelul de detaliere necesar la modelarea dispozitivelor electronice, fie prin compararea rezultatelor obținute cu ajutorul diferitelor modele, fie comparând rezultatele calculate cu cele determinate experimental.

Domaniul electronicii analogice abordat, partea de dispozitive și aplicații, constituie doar fundamentul electronicii și nu studiază sistemele electronice, ci pregătește cititorul pentru astfel de studii ulterioare. Abordarea sistemelor electronice actuale obligă la o prezentare simplificată datorită complexității deosebite și a dezvoltării foarte rapide a acestor sisteme. Prezentarea noțiunilor fundamentale din electronică aduce șansa de a lucra într-un domeniu relativ stabil, care permite realizarea unui studiu aprofundat și dezvoltarea unei metode de analiză sistematică și clară a realității care ne înconjoară.

---

Un vechi proverb chinez spune că este de preferat să înveți pe cel flămând să pescuiască în loc să îi dai peștele gata pescuit. Transpus în domeniul dinamic și complex al electronicii și calculatoarelor aceasta înseamnă că un adevărat specialist trebuie să cunoască chestiunile fundamentale din domeniu și să le adapteze la situațiile concrete care apar în practică. Formarea unor deprinderi, sau a unor obiceiuri într-un domeniu atât de dinamic ca electronica nu este o strategie eficientă, deoarece o dată cu modificările, care apar foarte des în acest domeniu, trebuiesc adaptate sau chiar modificate deprinderile anterioare.

Prin urmare consider ca fiind foarte importantă crearea unei baze, a unui fundament relativ stabil și asta se poate realiza prin dezvoltarea unui complex de metode de înțelegere sistematică și profundă a realității înconjurătoare. În ultimă instanță modul cum se ajunge la o astfel de înțelegere este mai puțin important și eu propun prin această lucrare studierea dispozitivelor electronice și a aplicațiilor acestora. Din punctul de vedere al specialistului, crearea unui fundament de metode și de cunoștințe este o investiție pe termen lung. Valorificarea cunoștințelor fundamentale presupune oricum cunoașterea situației la zi din domeniul respectiv, ceea ce conduce la dificultățile inerente cauzate de dinamismul și complexitatea electronicii. Această etapă dificilă pentru orice specialist presupune o informare continuă și un studiu susținut care se poate face pe baza fundamentelor, într-un mod adaptiv și creativ, sau într-un mod superficial, care poate să ducă la rezultate satisfăcătoare doar pe termen scurt.

Am încercat să fac din această lucrare un instrument cât mai util pentru actualii și viitorii electroniști. Concepția și redactarea materialului se bazează pe referințele bibliografice date la sfârșitul fiecărui capitol. Alegerea materialelor, modul de abordare a subiectelor tratate și majoritatea problemelor sunt originale, multe din ele bazându-se pe realizări experimentale concrete. Întrucât redactarea și corectura îmi aparțin, îmi asum responsabilitatea eventualelor erori care poate au rămas în lucrare. Îi rog pe cei ce au observații sau corecturi de făcut să mi le trimită pe adresa de e-mail de mai jos și le mulțumesc anticipat. Mulțumesc de asemenea soției care m-a sprijinit în perioada dificilă de realizării a acestei cărți, mulțumesc recenzenților și colegilor de la „Catedra de electronică și calculatoare” a Universității „Transilvania” din Brașov. Viitorilor studenți și tuturor celor care vor avea răbdarea să studieze această lucrare le mulțumesc anticipat.

Brașov, noiembrie 2010

Conferențiar Dr.Ing. Adrian Virgil **Crăciun**  
e-mail: craciun@vega.unitbv.ro

---

# CUPRINS

<b>CAP. 1</b>	<b>NOȚIUNI FUNDAMENTALE DE CIRCUITE ELECTRICE .....</b>	<b>5</b>
1.1	INTRODUCERE .....	5
1.1.1	<i>Analiza și sinteza circuitelor electrice .....</i>	<i>5</i>
1.1.2	<i>Principiile generale ale modelării .....</i>	<i>6</i>
1.2	ELEMENTE DE CIRCUIT .....	6
1.2.1	<i>Rezistența electrică .....</i>	<i>6</i>
1.2.2	<i>Capacitatea electrică .....</i>	<i>8</i>
1.2.3	<i>Inductivitatea.....</i>	<i>8</i>
1.2.4	<i>Sursa ideală de tensiune și sursa ideală de curent.....</i>	<i>9</i>
1.3	ANALIZA CONFIGURAȚIILOR FUNDAMENTALE DE CIRCUIT .....	10
1.3.1	<i>Rezistențe în serie și divizorul de tensiune .....</i>	<i>10</i>
1.3.2	<i>Rezistențe în paralel și divizorul de curent .....</i>	<i>11</i>
1.3.3	<i>Circuite cu mai multe surse – teorema superpoziției .....</i>	<i>11</i>
1.3.4	<i>Circuitul RC în regim tranzitoriu .....</i>	<i>12</i>
1.4	CIRCUITE ECHIVALENTE ȘI TEOREME DE ECHIVALENȚĂ .....	14
1.4.1	<i>Echivalarea unui uniport pasiv cu o rezistență.....</i>	<i>14</i>
1.4.2	<i>Teoremele lui Thévenin și Norton .....</i>	<i>15</i>
1.5	NOȚIUNI ELEMENTARE DE SEMNALE ELECTRICE .....	16
1.5.1	<i>Convenția de notații .....</i>	<i>18</i>
1.6	BIBLIOGRAFIE.....	18
<b>CAP. 2</b>	<b>DIODE SEMICONDUCTOARE.....</b>	<b>19</b>
2.1	NOȚIUNI FUNDAMENTALE.....	19
2.1.1	<i>Dioda ideală.....</i>	<i>19</i>
2.1.2	<i>Dioda cu tensiune de prag.....</i>	<i>20</i>
2.2	APLICAȚII ALE DIODELOR REDRESOARE.....	21
2.2.1	<i>Redresorul monoalternanță .....</i>	<i>21</i>
2.2.2	<i>Redresorul cu transformator .....</i>	<i>23</i>
2.2.3	<i>Redresorul cu transformator cu punct median .....</i>	<i>26</i>
2.2.4	<i>Redresorul în punte .....</i>	<i>27</i>
2.2.5	<i>Redresorul monoalternanță cu filtru capacitiv.....</i>	<i>29</i>
2.2.6	<i>Redresoare bialternanță cu filtru capacitiv.....</i>	<i>33</i>
2.2.7	<i>Circuite de limitare cu diode .....</i>	<i>35</i>
2.2.8	<i>Circuite de refacere a nivelului de curent continuu (cc) .....</i>	<i>38</i>
2.2.9	<i>Multiplatoare de tensiune .....</i>	<i>39</i>
2.2.10	<i>Circuite de minim și de maxim; porți logice cu diode.....</i>	<i>41</i>
2.3	NOȚIUNI DE FIZICA SEMICONDUCTOARELOR - JONCȚIUNEA PN.....	43
2.3.1	<i>Semiconductoare intrinseci.....</i>	<i>43</i>
2.3.2	<i>Semiconductoare extrinseci.....</i>	<i>44</i>
2.3.3	<i>Curentul electric în semiconductoare.....</i>	<i>44</i>
2.3.4	<i>Procese fizice la joncțiunea pn .....</i>	<i>45</i>
2.3.5	<i>Joncțiunea pn polarizată.....</i>	<i>47</i>
2.3.6	<i>Caracteristica statică a joncțiunii pn.....</i>	<i>49</i>
2.4	POLARIZAREA DIODEI ÎN CIRCUIT .....	51
2.4.1	<i>Aflarea psf prin metoda grafo-analitică .....</i>	<i>52</i>
2.4.2	<i>Modelul diodei exponențiale .....</i>	<i>52</i>
2.4.3	<i>Metoda aproximațiilor succesive.....</i>	<i>54</i>
2.4.4	<i>Modelul liniarizat cu tensiune de prag și rezistență serie.....</i>	<i>55</i>
2.4.5	<i>Alegerea modelului pentru diode .....</i>	<i>56</i>

2.5	DIODA STABILIZATOARE.....	57
2.5.1	Parametrii diodei zener.....	57
2.5.2	Stabilizatorul de tensiune parametric.....	59
2.5.3	Limitator de tensiune bilateral cu diodă zener (DZ) .....	61
2.5.4	Circuit de deplasare de nivel cu DZ.....	62
2.6	DIODA ÎN REGIM DINAMIC.....	63
2.6.1	Dioda idealizată la joasă frecvență .....	63
2.6.2	Comportarea diodei la înaltă frecvență .....	64
2.6.3	Schema echivalentă la semnal mic.....	65
2.7	MODELAREA DIODEI ÎN SPICE.....	67
2.7.1	Modelul de simulare al diodei .....	67
2.7.2	Simularea unui alimentator cu diodă zener.....	69
2.8	DIODE SPECIALE.....	76
2.8.1	Dioda varicap.....	76
2.8.2	Dioda Schottky.....	77
2.8.3	Dioda tunel .....	78
2.8.4	Fotodioda.....	79
2.8.5	Dioda fotoemisivă .....	80
2.9	BIBLIOGRAFIE.....	81
<b>CAP. 3</b>	<b>TRANZISTOARE BIPOLARE .....</b>	<b>82</b>
3.1	NOȚIUNI FUNDAMENTALE.....	82
3.1.1	Tranzistorul bipolar în regim activ normal (RAN) .....	83
3.1.2	Tranzistorul bipolar în regim de blocare.....	85
3.1.3	Modele simplificate ale TB valabile în RAN și în blocare .....	85
3.1.4	Tranzistorul bipolar în saturație.....	86
3.2	APLICAȚII SIMPLE ALE TRANZISTOARELOR .....	87
3.2.1	Inversorul cu tranzistor bipolar.....	87
3.2.2	Circuit de comandă al unui releu cu tranzistor bipolar .....	90
3.2.3	Sursa standard de curent constant.....	92
3.2.4	Stabilizator de tensiune cu tranzistor.....	95
3.2.5	Amplificator de tensiune cu tranzistor .....	97
3.3	CIRCUITE DE POLARIZARE .....	100
3.3.1	Polarizarea tranzistorului în conexiunea emitor comun (EC) .....	100
3.3.2	Polarizarea tranzistorului în conexiunea bază comună (BC) .....	101
3.3.3	Polarizarea de la o singură sursă de alimentare.....	101
3.3.4	Variația psf cu parametrii tranzistoarului.....	101
3.3.5	Circuit de polarizare cu $R_E$ și cu divizor de polarizare în bază .....	102
3.3.6	Determinarea psf la circuitele cu mai multe tranzistoare .....	105
3.4	TRANZISTORUL ÎN REGIM DINAMIC .....	107
3.4.1	Regimul dinamic la semnal mic .....	108
3.4.2	Modele de semnal mic ale tranzistorului bipolar.....	110
3.5	AMPLIFICATOARE DE SEMNAL MIC CU UN TRANZISTOR .....	111
3.5.1	Modelul fundamental al amplificatorului de tensiune .....	112
3.5.2	Etaj de amplificare cu un tranzistor în conexiune EC.....	112
3.5.3	Repetorul pe emitor .....	115
3.5.4	Etaj de amplificare cu rezistență nedecuplată în emitor.....	119
3.6	CONSTRUCȚIA ȘI FUNCȚIONAREA TRANZISTORULUI .....	123
3.6.1	Funcționarea tranzistorului în regim activ normal (RAN) .....	123
3.6.2	Funcționarea tranzistorului inversat.....	125
3.6.3	Modelul Ebers-Moll.....	125
3.6.4	Modelul de transport.....	127
3.6.5	Funcționarea tranzistorului în saturație.....	127
3.6.6	Comutarea tranzistorului.....	130

3.7	CARACTERISTICI ALE TRANZISTORULUI BIPOLAR .....	134
3.7.1	Caracteristicile statice.....	134
3.7.2	Caracteristicile de catalog ale TB .....	136
3.7.3	Factorul de amplificare în curent.....	138
3.7.4	Factorul de zgomot al tranzistorului.....	140
3.8	ELEMENTELE SUPLIMENTARE ALE MODELULUI DE SEMNAL MIC .....	140
3.8.1	Capacitatea de difuzie a joncțiunii de emitor .....	141
3.8.2	Rezistența de ieșire .....	141
3.8.3	Modelul fundamental de semnal mic al TB .....	142
3.8.4	Elementele parazite ale modelul de semnal mic.....	143
3.8.5	Circuitul echivalent complet de semnal mic .....	144
3.8.6	Capacitățile interne ale TB.....	144
3.8.7	Frecvența de tăiere a tranzistorului.....	145
3.8.8	Modelele de cuadripol.....	149
3.9	MODELAREA TB ÎN SPICE .....	153
3.9.1	Modelul SPICE al TB .....	153
3.9.2	Exemple de simulare; Etaj de amplificare cu TB.....	155
3.10	BIBLIOGRAFIE.....	158
<b>CAP. 4</b>	<b>TRANZISTOARE CU EFECT DE CÂMP.....</b>	<b>159</b>
4.1	NOȚIUNI FUNDAMENTALE.....	159
4.1.1	Tranzistor cu efect de câmp (TEC) cu canal indus de tip n .....	160
4.1.2	TEC cu canal inițial de tip n .....	161
4.1.3	TEC cu canal de tip p .....	162
4.1.4	Comparație TEC - TB .....	163
4.2	APLICAȚII SIMPLE ALE TRANZISTOARELOR CU EFECT DE CÂMP.....	163
4.2.1	Sursă de curent constant.....	163
4.2.2	Rezistență controlată în tensiune.....	163
4.2.3	Comutator analogic cu TEC.....	167
4.2.4	Amplificator de tensiune .....	171
4.3	CIRCUITE DE POLARIZARE .....	175
4.3.1	Polarizarea TEC cu grilă joncțiune (TEC-J) .....	175
4.3.2	Polarizarea TEC cu canal indus.....	179
4.4	CONSTRUCȚIE ȘI FUNCȚIONARE .....	183
4.4.1	Tranzistorul cu efect de câmp cu grilă joncțiune .....	183
4.4.2	TEC metal-oxid-semiconductor (MOS) cu canal indus .....	186
4.4.3	TEC-MOS cu canal inițial.....	190
4.4.4	Efecte secundare la TEC-MOS.....	191
4.4.5	Tranzistoare MOS cu canal de tip p.....	194
4.4.6	Simbolurile detaliate ale tranzistoarelor MOS.....	194
4.5	REGIMUL VARIABIL DE SEMNAL MIC LA TEC .....	194
4.5.1	Circuitul echivalent pentru domeniul frecvențelor joase .....	195
4.5.2	Parametrii de semnal mic ai TEC .....	195
4.5.3	Modelarea efectului de substrat.....	198
4.5.4	Circuitul echivalent pentru domeniul frecvențelor înalte.....	198
4.5.5	Frecvența de tăiere a tranzistorului.....	199
4.6	TEC-MOS DE PUTERE, D-MOS.....	200
4.6.1	Structura D-MOS .....	200
4.6.2	Caracteristicile statice ale tranzistoarelor MOS de putere .....	201
4.6.3	Efecte ale temperaturii.....	201
4.6.4	Comparatia cu tranzistoarele bipolare .....	202
4.7	MODELUL SPICE AL TEC-MOS .....	202
4.8	BIBLIOGRAFIE.....	203

# CAP. 1 NOȚIUNI FUNDAMENTALE DE CIRCUITE ELECTRICE

## 1.1 INTRODUCERE

**Electronica** este știința care se ocupă de studiul și aplicațiile fenomenelor legate de mișcarea purtătorilor de sarcină electrică în semiconductoare, în vid și în gaze rarefiate. Ca știință fundamentală, electronica are ca scop principal cunoașterea dispozitivelor electronice existente și elaborarea unor noi dispozitive. Ca știință aplicată, electronica se ocupă de studiul circuitelor electronice, care pot fi privite ca aplicații ale dispozitivelor electronice.

Acest prim capitol își propune să familiarizeze cititorul cu câteva concepte de bază și cu terminologia utilizată. Se prezintă: principiile modelării, elementele de circuit mai importante, configurațiile fundamentale de circuit și modalitățile de obținere a circuitelor echivalente. Se presupun cunoscute noțiunile de matematică și noțiunile de circuite electrice la nivel de liceu. La analiza circuitelor se vor utiliza cu precădere legea lui Ohm și legile lui Kirchhoff aplicate în curent continuu (*cc*) dar și în curent alternativ (*ca*).

### 1.1.1 Analiza și sinteza circuitelor electrice

**Circuitele electrice** reprezintă părți componente ale unor sisteme tehnice complexe realizate prin interconectarea unor componente electrice și electronice. La o analiză riguroasă, parametrii circuitelor nu sunt localizați numai în anumite porțiuni distincte ale circuitului respectiv; totuși, pentru o mare categorie de circuit electrice nu rezultă o abatere semnificativă de la realitate prin considerarea parametrilor circuitelor ca fiind concentrați în **componente de circuit**, cum ar fi de exemplu rezistoarele, condensatoarele, bobinele și dispozitivele electronice.

Activitatea principală a inginerilor de profil electric constă din analiza și sinteza circuitelor electrice. Scopul activității ingineresti este adesea sinteza (sau proiectarea) sistemelor care rezolvă o problemă tehnică dată. Partea din proiect care revine inginerului electronist este proiectarea circuitelor electronice necesare sistemului, circuite pentru care trebuie precizate intrările, ieșirile și funcția pe care trebuie să o realizeze. Proiectarea circuitelor electrice este o activitate creatoare care cere experiență, pricepere, intuiție dar și o bună cunoaștere a proprietăților pe care le au în circuit componentele disponibile, precum și capacitatea de a putea prevedea comportarea circuitelor formate prin interconectare acestor componente. De aceea, proiectantul de circuite electrice trebuie să cunoască atât dispozitivele disponibile cât și circuitele electronice, cel puțin pe cele mai simple și mai des utilizate. Practic, proiectarea se reduce cel mai adesea la alegerea unei structuri de circuit cunoscute și determinarea parametrilor componentelor de circuit care se interconectează. Rezultatul se regăsește în schema electrică de principiu a circuitului respectiv. **Schema de principiu** este o reprezentare simbolică a componentelor (pentru care se utilizează simboluri grafice convenționale) și a modului de interconectare a acestora.

Proiectarea este urmată de regulă de analiza circuitului propus, care se face cel mai adesea pe baza schemei de principiu. Rezultatele analizei arată dacă circuitul respectiv realizează funcția cerută, cu ce precizie, în ce condiții concrete și deci dacă răspunde cerințelor proiectului inițial.

Studiul circuitelor, atât pentru proiectare cât și pentru analiză, se face cu ajutorul teoriei circuitelor și pe baza conceptul de modelare.



### 1.1.2 Principiile generale ale modelării

Prin **modelare** se înțelege orice descriere a comportării electrice a unui dispozitiv sau circuit considerat la bornele sale. Modelarea unei componente se poate face prin măsurarea comportării electrice la bornele sale; rezultatele pot fi prezentate sub formă grafică, tabelară sau cu relații funcționale stabilite empiric. Înțelegerea modului de funcționare a componentei modelate, din punctul de vedere al mecanismelor fizice interne de bază, permite alegerea măsurărilor esențiale pentru caracterizarea componentei respective și crearea unui model compact, precis și cu o largă aplicabilitate. Utilizarea acestor modele presupune adesea metode numerice sau grafice de analiză a circuitelor, metode nesatisfăcătoare pentru majoritatea aplicațiilor. Pentru a putea utiliza metodele analitice de analiză și mai ales metodele specifice circuitelor liniare se preferă modelele simplificate. Aceste **modele** reprezintă o idealizare prin care se elimină detaliile, astfel încât să rămână caracteristicile principale ale „obiectului” studiat. Simplificarea modelului este posibilă cu condiția de a admite un anumit grad de imprecizie și se face prin aproximarea funcțiilor cu altele mai simple (de preferat liniare sau măcar liniarizate pe porțiuni). Modelul simplificat este de fapt un circuit echivalent care se obține prin interconectarea unor elemente de circuit idealizate.

## 1.2 ELEMENTE DE CIRCUIT

Elementele de circuit sunt abstracții idealizate care reflectă o singură proprietate a unei componente și sunt caracterizate de obicei de funcții matematice simple (preferabil liniare). Este necesar să se facă o distincție clară între componentele de circuit sau dispozitive pe de o parte și elementele de circuit pe de altă parte: componente sunt toate dispozitivele fizice folosite în circuite iar elementele sunt niște abstracții idealizate. Astfel, un rezistor, un condensator, un tranzistor sau o baterie sunt **componente**, în timp ce o rezistență (definită de legea lui Ohm,  $u = Ri$ ), o capacitate (definită prin  $i = Cdu/dt$ ) sau o sursă de tensiune (definită prin  $u = f(t)$ ) sunt **elemente**.

Simbolurile utilizate pentru elementele de circuit uzuale sunt prezentate în figura 1.1. Aceste simboluri sunt folosite adesea și în locul componentelor de circuit asociate (a căror principală proprietate este definită de elementul de circuit respectiv – de exemplu  $R$  pentru rezistor).

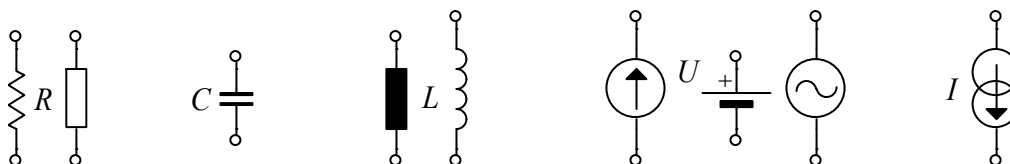


Fig. 1.1. Simbolurile grafice utilizate în schemele electrice pentru: rezistențe, capacități, inductivități, surse de tensiune și surse de curent.

### 1.2.1 Rezistența electrică

Rezistența electrică (sau mai simplu rezistența) este un parametru electric global al unor sisteme fizice pe care le caracterizează din punctul de vedere al conducției electrice, respectiv al transformărilor de energie care au loc. Cu o exprimare mai simplă, rezistența este proprietatea unui mediu conductor de a se opune trecerii curentului electric. Rezistența se notează în general cu  $R$  (sau cu  $r$ ) și este caracterizată de legea lui Ohm care poate fi scrisă în două forme:

$$u = R \cdot i \quad \text{sau} \quad i = G \cdot u, \quad (1.1)$$

unde  $u$  este tensiunea la bornele rezistenței,  $i$  este curentul prin rezistență, iar  $G$  este conductanța electrică (inversul rezistenței  $G = 1/R$ , cu unitate de măsură siemens  $S = 1/\Omega$ ). Unitatea de măsură a

rezistenței se numește ohm  $\Omega = V/A$ . În electronică se folosesc adesea multiplii acestuia, kilo-ohmul și mega-ohmul:  $1k\Omega = 10^3\Omega$  și  $1M\Omega = 10^6\Omega$ .

Relația (1.1) reprezintă caracteristica statică a rezistorului. În general, **caracteristica statică** este relația dintre tensiunea între terminale și curentul care circulă prin acele terminale.

Rezistența este un element pasiv în sensul că primește energie (de la circuitul exterior) pe care o transformă în căldură, sau se spune că o disipă. În unele cazuri o parte din energia electrică absorbită se transformă și în alte forme de energie; de exemplu becul electric produce și energie luminoasă iar difuzorul energie sonoră. Puterea electrică  $P$  primită de o rezistență este:

$$P = u \cdot i = (R \cdot i) \cdot i = R \cdot i^2 \quad \text{sau} \quad P = u \cdot (G \cdot u) = \frac{u^2}{R}. \quad (1.2)$$

Pentru rezistențele normale, pozitive, puterea absorbită de rezistență este o mărime pozitivă deoarece depinde de pătratul curentului (sau al tensiunii). Rezistențe cu valori negative sunt utilizate ocazional pentru a modela unele dispozitive speciale.

## Rezistorul

Componentele electrice de circuit fabricate pentru a avea o anumită valoare a rezistenței se numesc rezistoare. Acestea se comportă aproape ca și o rezistență (ideală). Diferențele apar datorită condițiilor concrete de exploatare. Rezistența rezistorului real depinde într-o oarecare măsură de temperatură. Curentul care parcurge rezistorul produce o încălzire a acestuia (datorită puterii disipate), ceea ce conduce la o oarecare modificare a rezistenței, deci relația tensiune-curent nu mai este strict liniară. Deoarece aceste modificări sunt relativ mici se poate înlocui rezistorul cu rezistența lui, sau altfel spus, rezistența este modelul cel mai simplu al rezistorului. Dependența de temperatură a rezistenței rezistorului se poate modela prin introducerea unui parametru suplimentar, coeficientul de temperatură al rezistorului (variația normalată a rezistenței cu temperatura):

$$K_\theta = \frac{1}{R} \frac{dR}{dT} \cong \frac{\Delta R}{\Delta T} \frac{1}{R}. \quad (1.3)$$

Un alt parametru specificat pentru rezistor este puterea disipată nominală, care arată puterea disipată maximă admisă de un rezistor în condiții specificate, pentru care temperatura internă a rezistorului nu depășește limita permisă și pentru care rezistorul nu se defectează.

O observație importantă din punct de vedere practic este aceea că rezistoarele se fabrică cu o anumită toleranță, abaterea maximă de la valoarea înscrisă pe rezistor fiind de 5...10% pentru rezistoarele uzuale. Rezistoarele de precizie, fabricate cu o toleranță de 0,1...1% (uneori chiar mai bună) au un preț mare și se folosesc numai la aplicații pretențioase și scumpe. Valoarea precis măsurată a rezistenței unui rezistor este corectă doar în condițiile de măsurare concrete; depinde, de exemplu, de temperatură și se modifică în timp datorită așa-numitului fenomen de îmbătrânire a rezistorului. Din toate aceste motive, pentru aplicații obișnuite, **un model a cărui precizie este de ordinul procentelor este considerat ca fiind bun.**

La frecvențe ridicate de lucru modelul rezistorului se complică datorită efectelor inductive și capacitive, care devin semnificative cu creșterea frecvenței și care pot fi modelate de o inductanță în serie, respectiv de o capacitate în paralel cu rezistența. Efectul inductiv este mai important pentru rezistoarele de valoare mică (sub  $100\Omega$ ) fiind determinat în principal de inductivitatea terminalelor (și deci de lungimea lor; se poate considera o valoare estimativă de  $10nH/cm$ ). Efectul capacitiv este mai pregnant pentru rezistoarele de valoare mai mare (se poate considera o valoare estimativă a capacității dintre terminale de  $1pF$ ). Pentru a determina importanța efectului inductiv sau capacitiv pentru un rezistor dat, se calculează reactanța inductivă, respectiv capacitivă, la frecvența de lucru și

se compară cu valoarea rezistenței rezistorului. De exemplu pentru un rezistor de  $1\text{k}\Omega$  cu o lungime totală a terminalelor de  $2\text{cm}$ , la o frecvență de  $1\text{MHz}$  efectele parazite sunt neglijabile:

$$X_L = 2\pi \cdot f \cdot L = 2\pi \cdot 10^6 (2 \cdot 10^{-8}) = 0,126\Omega, \quad X_C = \frac{1}{2\pi \cdot f \cdot C} = \frac{1}{2\pi \cdot 10^6 \cdot 10^{-12}} = 159\text{k}\Omega$$

deoarece  $X_L \ll R$  și  $X_C \gg R$  (reactanța serie este mult mai mică și reactanța paralel este mult mai mare decât rezistența). Pentru același rezistor la o frecvență de  $100\text{MHz}$ :

$$X_L = 2\pi \cdot f \cdot L = 2\pi \cdot 10^8 (2 \cdot 10^{-8}) = 12,6\Omega, \quad X_C = \frac{1}{2\pi \cdot f \cdot C} = \frac{1}{2\pi \cdot 10^8 \cdot 10^{-12}} = 1,59\text{k}\Omega$$

Efectul inductiv se poate neglija și la această frecvență ( $X_L$  reprezintă  $0,13\%$  din  $R$ ), dar efectul capacitiv este important ( $1/X_C$  reprezintă  $63\%$  din  $1/R$ ), fiind comparabil cu rezistența. Orientativ, efectele parazite ale rezistoarelor se pot neglija dacă:

$$\frac{R}{X_L} > 10, \quad \text{respectiv} \quad \frac{X_C}{R} > 10. \quad (1.4)$$

Aceste calcule sunt estimative dar adesea suficiente în practică; dacă este nevoie, valoarea exactă a inductivității și/sau a capacității parazite se poate măsura cu o punte  $RLC$ .

### 1.2.2 Capacitatea electrică

Capacitatea electrică (uzual denumită capacitate), notată cu  $C$ , este elementul ideal de circuit care înmagazinează o sarcină electrică proporțională cu tensiunea  $u$  ce i se aplică la borne:

$$Q = C \cdot u. \quad (1.5)$$

Capacitatea electrică este proprietatea principală a condensatorului electric, componentă de circuit care constă din două armături conductoare separate de un izolator electric.

Prin derivarea în raport cu timpul a relației (1.5) se obține caracteristica statică a capacității:

$$\frac{dQ}{dt} = C \frac{du}{dt}, \quad i = \frac{dQ}{dt} \Rightarrow i = C \frac{du}{dt}. \quad (1.6)$$

Deoarece curentul electric circulă doar la modificarea tensiunii, capacitatea este o întrerupere de circuit în  $cc$ . Curentul (datorat variațiilor de tensiune), care aparent circulă prin capacitate, nu se poate închide fizic prin izolatorul dintre armături și este de fapt un curent de circulație care modifică sarcina electrică înmagazinată de capacitate; capacitatea se încarcă sau se descarcă printr-un curent (de circulație) pozitiv, respectiv negativ (curent în sensul, respectiv în sens contrar tensiunii).

Capacitatea este un element de circuit pasiv și reactiv, pasiv deoarece nu produce energie, reactiv în sensul că energia pe care o primește poate fi stocată sub formă de sarcină electrică și poate fi cedată circuitului exterior după un timp oarecare (teoretic oricât de lung).

Unitatea de măsură a capacității este faradul; practic se utilizează submultiplii acestuia, cei mai întâlniți fiind microfaradul și picofaradul:  $1\mu\text{F} = 10^{-6}\text{F}$  și  $1\text{pF} = 10^{-12}\text{F}$ .

### 1.2.3 Inductivitatea

Inductivitatea (sau inductanța)  $L$  este un element ideal de circuit a cărui caracteristică statică este complementară (sau duală) caracteristicii statice a capacității:

$$u = L \frac{di}{dt}, \quad (1.7)$$

deci tensiunea pe o inductivitate este proporțională cu variația în timp a curentului. La circuitelor de *cc* curentul este constant, rezultă o tensiune nulă pe inductivitate și deci inductivitatea se înlocuiește în *cc* cu un scurtcircuit.

Unitatea de măsură a inductivității se numește henri (amper pe metru).

Inductivitatea este proprietatea principală a bobinei, care se realizează prin bobinarea unui conductor, de obicei în jurul unui miez din material magnetic (în general un aliaj feros). Curentul care circulă printr-un conductor produce un câmp magnetic în jurul conductorului. Câmpul magnetic produs de curentul prin bobină este concentrat în principal în centrul bobinei (eventual în miezul feromagnetic, dacă acesta există). La modificarea curentului, câmpul magnetic se modifică și induce o tensiune în circuitul aflat sub influența câmpului. Tensiunea indusă se opune întotdeauna variației curentului care a produs câmpul magnetic (și se numește tensiune de autoinducție dacă este tensiunea de pe bobina care a produs respectivul câmp magnetic). Studiul detaliat al fenomenelor legate de câmpul magnetic este obiectul principal al electrotehnicii și stă la baza mașinilor electrice.

Din punctul de vedere al circuitelor electronice prezintă interes bobina ca și componentă de circuit și transformatorul electric, care este un ansamblu de bobine cuplate magnetic.

Deoarece sunt realizate dintr-un conductor, bobinele sunt caracterizate de inductivitatea proprie și de rezistența conductorului din care a fost realizată acea bobină (cu excepția bobinelor realizate din materiale superconductoare – anumite metale sau aliaje care au o rezistență nulă la temperaturi foarte joase, apropiate de zero Kelvin). Modelul unei bobine va fi deci inductivitatea bobinei în serie cu rezistența conductorului. De obicei rezistența conductorului este mică și în majoritatea aplicațiilor se poate neglija.

#### 1.2.4 Sursa ideală de tensiune și sursa ideală de curent

**Sursa ideală de tensiune** este elementul de circuit care are tensiunea la borne independentă de curentul care circulă prin sursă. Tensiunea la borne  $u$  este egală cu tensiunea la mers în gol (care apare fără nimic conectat între borne) iar curentul prin sursă poate avea orice valoare. Valoarea curentului care circulă prin sursă este determinată de circuitul exterior (la care este conectată sursa de tensiune). Astfel, dacă se consideră conectată la sursă rezistența  $R$  (sau un circuit caracterizat de rezistența echivalentă  $R$ ) atunci curentul prin sursă este determinat de legea lui Ohm:

$$i = \frac{u}{R}$$

Cu alte cuvinte tensiunea este determinată de sursă și există ca potențialitate indiferent de circuitul extern, iar pentru ca prin sursă să apară un curent (care să valorifice această potențialitate) trebuie să existe un circuit conectat la sursă; cauza tensiunii este sursa iar cauza curentului este atât circuitul extern cât și sursa de tensiune. O astfel de modalitate de interpretare a relațiilor de calcul (legea lui Ohm în acest caz) și implicit a circuitelor caracterizate de relațiile respective este foarte importantă pentru înțelegerea funcționării circuitelor electronice.

**Sursa ideală de curent** este elementul de circuit parcurs de un curent care este independent de tensiunea dintre borne. Curentul prin sursă este egal cu valoarea curentului de scurtcircuit (care apare la conectarea unui conductor ideal între borne). Tensiunea dintre bornele sursei poate avea orice valoare (este arbitrară) și este determinată de circuitul exterior (la care este conectată sursa).

**Sursele independente** – a căror valoare nu depinde de altă mărime electrică din circuit, pot avea mărimea de ieșire constantă sau variabilă, cu o lege de variație precizată. Un exemplu din prima categorie este sursa de tensiune continuă (sursa idealizată care modelează o baterie electrică) iar un exemplu de sursă variabilă este sursa de tensiune sinusoidală (sursa idealizată pentru rețeaua de alimentare de *ca*, cu o tensiunea efectivă de 220V și o frecvență de 50Hz).

**Pasivizarea surselor** (care se va aplica surselor independente) este operația de anularea a valorii mărimii de ieșire a acestora. Astfel:

- o sursă de tensiune ideală pasivizată va avea o tensiune nulă și se va înlocui cu acel circuit care are o tensiune nulă indiferent de curentul care îl parcurge, adică un scurtcircuit;
- o sursă ideală de curent pasivizată va avea un curent nul și se va înlocui cu acel circuit pentru care la orice tensiune rezultă un curent nul, adică cu o întrerupere de circuit.

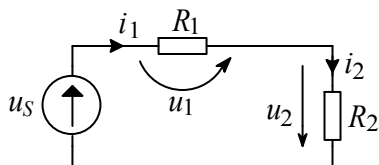
**Sursele dependente**, a căror mărime de ieșire (tensiune sau curent) depinde de cel puțin o mărime electrică din circuit (tensiune sau curent) se mai numesc și **surse comandate**. Astfel de surse sunt utilizate pentru modelarea dispozitivelor electronice active (care pot controla energia care le parcurge). În mod tipic, la aceste surse mărimea de ieșire depinde de o singură mărime electrică: fie de tensiunea dintre două noduri ale circuitului (cel puțin unul diferit de bornele sursei) fie de un curent printr-o ramură de circuit (altă decât cea unde este conectată sursa). Sursele comandate pot fi de 4 tipuri în funcție de tipul mărimii de ieșire și în funcție de tipul mărimii de comandă:

- sursă de tensiune comandată în tensiune ( $SUcU$ ),
- sursă de tensiune comandată în curent ( $SUcI$ ),
- sursă de curent comandată în tensiune ( $SIcU$ ),
- sursă de curent comandată în curent ( $SIcI$ ).

## 1.3 ANALIZA CONFIGURAȚIILOR FUNDAMENTALE DE CIRCUIT

### 1.3.1 Rezistențe în serie și divizorul de tensiune

Se consideră circuitul din figura 1.2, format dintr-o sursă de tensiune la care sunt conectate două rezistențe în serie.



**Figura 1.2.** Divizorul de tensiune;

Tensiunea la ieșire  $u_2$  este o parte a tensiunii sursei  $u_S$ , care depinde de raportul celor două rezistențe.

Deoarece circuitul nu prezintă nici o ramificație, conform primei teoreme a lui Kirchhoff, T1K (referitoare la curenți), curenții prin cele două rezistențe au aceeași valoare:  $i_1 = i_2 = i$ .

Conform teoremei a doua a lui Kirchhoff, T2K, în forma clasică, suma (algebrică) a tensiunilor de-a lungul unei bucle de circuit este nulă; T2K se poate exprima și în modul următor: căderea de tensiune între două noduri de circuit este aceeași indiferent de calea pe care se însumează tensiunile. În circuitele electronice se preferă a doua variantă, T2K scrisă “gravitațional” (de sus în jos) de obicei de la borna de alimentare la referința de potențial.

**Referința de potențial** sau **masa** (electrică) a circuitului reprezintă traseul electric de potențial nul, față de care sunt referite în mod normal tensiunile dintr-un circuit electric. Simbolurile mai des utilizate pentru traseul de masă sunt prezentate în figura alăturată. De regulă, masa electrică este o legătură comună tuturor circuitelor care alcătuiesc un sistem electric și poate fi legată sau nu la pământ (prin borna de împământare a rețelei de alimentare cu energie electrică, de exemplu). În cazul în care traseul de masă este diferit de cel de împământare, se folosesc simboluri diferite pentru cele două trasee, de exemplu primul dintre simboluri pentru traseul de masă și cel de-al doilea pentru împământare.



Simboluri pentru masa (electrică) a circuitului.

În cazul circuitului analizat, tensiunea de la bornele sursei este egală cu căderea de tensiune pe cele două rezistențe din circuit:

$$u_S = u_1 + u_2 = R_1 i_1 + R_2 i_2 = (R_1 + R_2) i \Rightarrow i (= i_1 = i_2) = \frac{u_S}{R_1 + R_2}; \quad (1.8)$$

tensiunile pe rezistențe s-au înlocuit conform legii lui Ohm și a rezultat curentul (unic) din circuit. Ecuația (1.8) arată că valoarea curentului prin cele două rezistențe este aceeași ca și curentul care ar circula printr-o singură rezistență cu valoarea  $(R_1 + R_2)$ . De aceea se spune că rezistențele în serie se adună sau rezistența echivalentă rezistențelor înseriate este suma rezistențelor respective. Curentul prin circuit fiind cunoscut, se poate calcula tensiunea pe fiecare rezistență cu legea lui Ohm:

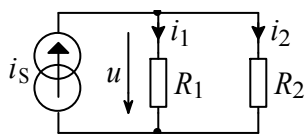
$$u_1 = R_1 i = \frac{R_1}{R_1 + R_2} u_S, \quad u_2 = \frac{R_2}{R_1 + R_2} u_S. \quad (1.9)$$

Tensiunea totală pe rezistențele înseriate se distribuie proporțional cu valoarea fiecărei rezistențe.

Circuitul considerat se numește **divizor de tensiune**; tensiunea  $u_2$  de la ieșirea divizorului se determină cu relația (1.9) care se numește regula divizorului de tensiune. Deoarece apare frecvent în circuitele electronice, este utilă recunoașterea divizorului de tensiune și aplicarea directă a regulii divizorului de tensiune.

### 1.3.2 Rezistențe în paralel și divizorul de curent

Se consideră circuitul format dintr-o sursă de curent conectată la o rețea care conține două rezistențe în paralel, conform figurii 1.3.



**Figura 1.3.** Divizorul de curent;

Curentul de ieșire  $i_2$  este o parte a curentului sursei  $i_S$ , care depinde de raportul celor două rezistențe.

Conform T1K aplicată într-unul din nodurile circuitului combinată cu legea lui Ohm aplicată fiecăreia dintre cele două rezistențe:

$$i_S = i_1 + i_2 = \frac{u}{R_1} + \frac{u}{R_2} = u \left( \frac{1}{R_1} + \frac{1}{R_2} \right) = \frac{R_1 + R_2}{R_1 R_2} u = \frac{u}{R_{ep}}, \quad (1.10)$$

unde  $R_{ep}$  este rezistența echivalentă grupului paralel al celor două rezistențe:

$$\frac{1}{R_{ep}} = \frac{1}{R_1} + \frac{1}{R_2} \quad \text{sau} \quad R_{ep} = \frac{R_1 R_2}{R_1 + R_2}. \quad (1.11)$$

Conform relației (1.10), curentul sursei de curent se divide între cele două rezistențe invers proporțional cu valoarea acestora. Cu tensiunea calculată din relația (1.10) rezultă:

$$i_1 = \frac{u}{R_1} = \frac{R_2}{R_1 + R_2} i_S, \quad i_2 = \frac{R_1}{R_1 + R_2} i_S. \quad (1.12)$$

Circuitul din figura 1.3 este cunoscut și sub numele de **divizor de curent** iar relația dintre curentul de ieșire  $i_2$  și curentul de intrare  $i_S$  reprezintă regula divizorului de curent. Recunoașterea acestei structuri și aplicarea directă a regulii divizorului de curent simplifică rezolvarea circuitelor.

### 1.3.3 Circuite cu mai multe surse – teorema superpoziției

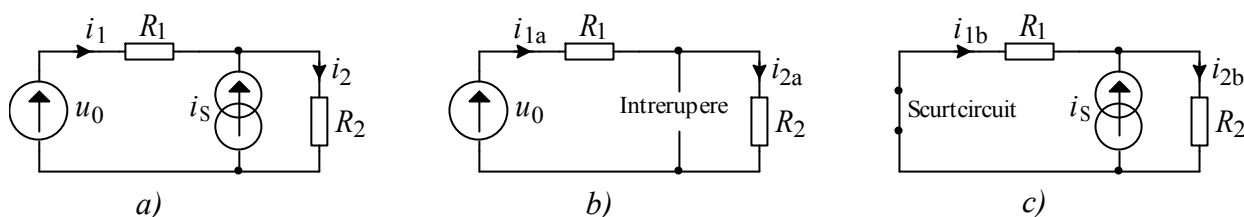
Calcularea directă a circuitelor care conțin mai multe surse poate fi o problemă dificilă. O metodă de rezolvare a acestor circuite, aplicabilă circuitelor liniare, constă din însumarea efectelor produse de fiecare sursă considerată separat. Această metodă se bazează pe teorema suprapunerii de efecte sau **teorema superpoziției** care se poate enunța astfel:

Curentul care se stabilește într-o ramură a unei rețele liniare în care acționează mai multe surse, este egal cu suma algebrică a curenților pe care i-ar stabili în acea ramură fiecare dintre surse în ipoteza că ar acționa singură în rețea, cu celelalte surse pasivizate (anulate).

Teorema superpoziției este o consecință a caracterului liniar al teoremelor lui Kirchhoff aplicate circuitelor electrice liniare. Prin aplicarea teoremei superpoziției calculele într-un circuit la care acționează mai multe surse simultan se simplifică, deoarece se consideră doar efectul unei singure surse la un moment dat.

### Exemplu de calcul

Să se determine curenții prin circuitul din figura 1.4.a.



**Fig. 1.4.** Exemplu de aplicare a teoremei superpoziției: a) Circuitul complet; b) Circuitul cu sursa de curent pasivizată; c) Circuitul cu sursa de tensiune pasivizată.

Pentru rezolvarea circuitului se calculează răspunsul fiecărei surse considerate separat, presupunând cealaltă sursă pasivizată (anulată) și apoi se însumează efectele.

a) Se anulează sursa de curent; sursa de curent se înlocuiește cu o întrerupere de circuit (se pasivizează) și circuitul se simplifică conform figurii 1.4.b. Cele două rezistențe înseriate sunt parcurse de același curent:

$$i_{1a} = i_{2a} = \frac{u_0}{R_1 + R_2}.$$

b) Pentru cazul cu sursa de tensiune anulată, circuitul rezultat este cel din figura 1.4.c, adică un divizor de curent. Conform regulii divizorului de curent aplicată succesiv celor două ramuri de circuit rezultă:

$$i_{1b} = -\frac{R_2}{R_1 + R_2} i_S, \quad i_{2b} = \frac{R_1}{R_1 + R_2} i_S.$$

În final prin suprapunerea efectelor se obțin valorile totale ale curenților prin rezistențe:

$$i_1 = i_{1a} + i_{1b} = \frac{u_0 - i_S R_2}{R_1 + R_2}, \quad i_2 = i_{2a} + i_{2b} = \frac{u_0 + i_S R_1}{R_1 + R_2}.$$

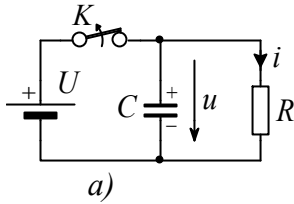
Verificarea rezultatelor obținute prin aplicarea directă a teoremelor lui Kirchhoff se propune ca temă; se vor obține aceleași rezultate cu un efort de calcul mai mare (prin rezolvarea unui sistem de două ecuații cu două necunoscute).

### 1.3.4 Circuitul RC în regim tranzitoriu

Prin **regim tranzitoriu** se înțelege regimul de funcționare care apare în circuite care conțin elemente reactive, la modificarea bruscă a unei mărimi electrice sau a unui parametru al elementelor de circuit. De exemplu, la conectarea sau deconectarea sursei de alimentare a unui circuit electric care conține cel puțin o capacitate (sau o inductivitate) apare un regim tranzitoriu, a cărui durată depinde de valoarea capacităților (și/sau a inductivităților) din circuitul respectiv. De fapt, orice circuit electric real prezintă capacități și inductivități, deoarece orice conductor parcurs de un curent

are o inductivitate și orice element sub tensiune are un efect capacitiv asociat. Scopul analizei următoare este determinarea parametrilor circuitelor simple în regim tranzitoriu.

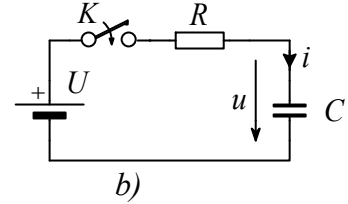
Se va considera cel mai simplu circuit în regim tranzitoriu, o capacitate încărcată cu o tensiune inițială, conectată în paralel cu o rezistență, ca în figura 1.5.a.



**Figura 1.5.** Circuite RC simple:

- a) la descărcarea și  
b) la încărcarea capacității.

Comutatorul  $K$  se deschide, respectiv se închide la momentul  $t=0$ .



La momentul inițial  $t=0$  comutatorul  $K$  se deschide și tensiunea pe capacitate este egală cu tensiunea sursei:

$$u(0) = U. \quad (1.13)$$

Din T2K:  $u + Ri = 0$  și relația (1.6), relația tensiune – curent pentru capacitate:

$$i = C \frac{du}{dt} \quad \text{rezultă} \quad u + RC \frac{du}{dt} = 0 \quad \text{sau} \quad \frac{du}{dt} = \left( -\frac{1}{RC} \right) \cdot u. \quad (1.14)$$

Ecuția diferențială obținută exprimă faptul că variația tensiunii (funcție de timp) este proporțională cu tensiunea în fiecare moment. Această proprietate o are funcția exponențială:

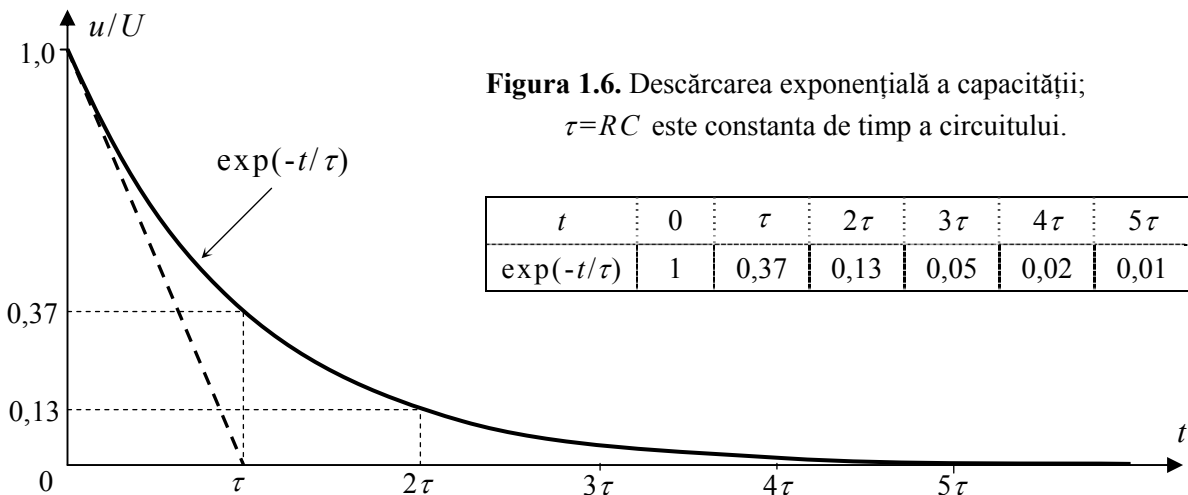
$$\frac{d}{dx} (e^{ax}) = a e^{ax} \quad \text{sau altfel scris} \quad \frac{d}{dx} \exp(ax) = a \cdot \exp(ax), \quad (1.15)$$

unde  $e \cong 2,718$  este baza logaritmului natural și  $a$  este o constantă. Prin identificare relației (1.15) cu (1.14) și pentru a se îndeplini condiția (1.13) soluția ecuației diferențiale este:

$$u(t) = U \exp\left(-\frac{t}{RC}\right) = U \exp\left(-\frac{t}{\tau}\right), \quad (1.16)$$

unde  $\tau = RC$  se numește **constantă de timp** a circuitului.

Conform relației (1.16), tensiunea pe capacitate scade exponențial spre zero ca în figura 1.6; sarcina înmagazinată pe capacitate scade datorită curentului prin rezistență iar tensiunea este proporțională cu sarcina stocată pe capacitate. Linia punctată din figură reprezintă panta inițială a curbei exponențiale și intersectează axa timpului la  $t=\tau$ . La acest moment de timp funcția exponențială a scăzut la:  $\exp(-1) = 1/e \cong 0,37$  din valoarea inițială. Pentru fiecare interval de timp  $\tau$ , funcția se reduce cu un factor  $1/e$  conform tabelului din figură. După  $t=5\tau$ , funcția scade la circa 1% din valoarea inițială și se poate considera ca fiind practic nulă. Deci se poate spune că durata regimului tranzitoriu este de circa cinci constante de timp (cu o eroare de 1%).





În cazul circuitului din figura 1.5.b dacă se închide comutatorul  $K$  la  $t=0$ , capacitatea se va încărca de la zero la tensiunea  $U$  tot după o funcție de tip exponențial:

$$u(t) = U \left[ 1 - \exp\left(-\frac{t}{RC}\right) \right] = U \left[ 1 - \exp\left(-\frac{t}{\tau}\right) \right], \quad (1.17)$$

a cărei valoare este inițial nulă  $u(0)=0$  și în final (practic după  $5\tau$ )  $u(\infty)=U$ .

În general, pentru o variație bruscă a tensiunii de alimentare, tensiunea pe o capacitate (sau curentul printr-o inductivitate) se modifică de la valoarea inițială la valoarea finală după o curbă exponențială de tip „ $\exp(-t/\tau)$ ”, deoarece această funcție este caracteristică modificării în timp a energiei înmagazinate în elementul reactiv (capacitatea sau inductivitatea) din circuit.

## 1.4 CIRCUITE ECHIVALENTE ȘI TEOREME DE ECHIVALENȚĂ

Circuitele echivalente sunt modele simplificate compuse din elemente de circuit idealizate. Se vor analiza circuitele cu o singură poartă de acces sau uniporturi. Prin **poartă** se înțelege o pereche de borne pentru care suma algebrică a curenților este nulă (curentul care intră printr-o bornă este egal cu cel care iese prin cealaltă bornă). **Circuitele** modelate pot fi **pasive** dacă primesc energie de la circuitul exterior sau **active** dacă debitează energie către circuitul extern legat la unica lor poartă.

Doi **uniporturi** sunt **echivalenți** dacă relația dintre curentul și tensiunea la poarta unuia este identică cu relația dintre curentul și tensiunea la poarta celuilalt. Doi uniporturi echivalenți au aceeași comportare la poarta lor și deci efectul asupra circuitului exterior nu se schimbă când înlocuim un uniport cu un altul echivalent cu el.

### 1.4.1 Echivalarea unui uniport pasiv cu o rezistență

Prin aplicarea legii lui Ohm la poarta unui uniport pasiv se poate obține cel mai simplu uniport echivalent, care este rezistența echivalentă a uniportului respectiv.

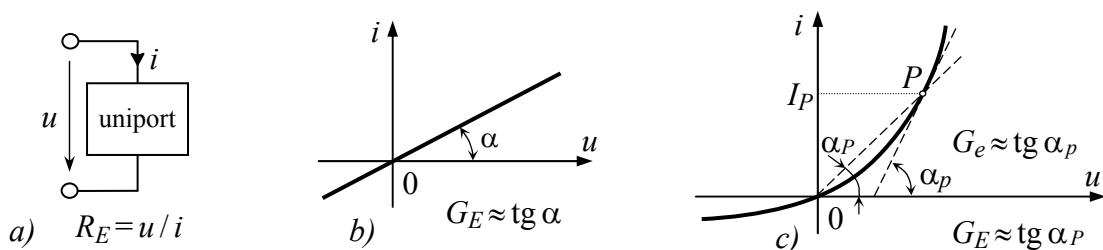
Se numește **rezistență echivalentă statică**  $R_E$  a unui uniport rezistența determinată prin aplicarea legii lui Ohm în *cc* la poarta uniportului considerat; conform figurii 1.7.a:

$$R_E = \frac{u}{i} \quad \text{iar} \quad G_E = \frac{i}{u}; \quad (1.18)$$

$G_E$  este conductanța echivalentă statică a uniportului. La un uniport liniar caracteristica statică este o dreaptă care trece prin origine, a cărei pantă este:

$$G_E = k_S \cdot \operatorname{tg} \alpha, \quad (1.19)$$

conform figurii 1.7.b. În relația anterioară  $k_S$  este factorul de scară;  $k_S$  se măsoară în  $1/\Omega$  și permite trecerea de la mărimea adimensională  $\operatorname{tg} \alpha$  la conductanță. Dacă lungimea segmentelor care definesc funcția  $\operatorname{tg}$  este exprimată în unități electrice (de intensitate, respectiv de tensiune), atunci  $k_S = 1$ .



**Fig. 1.7.** a) Rezistența echivalentă statică a unui uniport pasiv. Interpretarea geometrică a conductanțelor echivalente la un uniport: b) liniar, c) neliniar.

Dacă uniportul este neliniar, caracteristica lui statică este neliniară (curbilinie), un astfel de exemplu este arătat în figura 1.7.c. Rezistența echivalentă este și ea neliniară, adică depinde de intensitatea curentului care străbate uniportul,  $I_P$ . Conductivitatea echivalentă statică este egală (mai exact proporțională) cu panta dreptei care unește originea axelor cu punctul  $P$  de pe caracteristica statică. Punctul  $P$  se numește **punct static de funcționare** (*psf*) și este definit de mărimile electrice de cc de la bornele uniportului.

Se numește **rezistență echivalentă diferențială**  $R_e$  a unui uniport pasiv rezistența rezultată prin aplicarea legii lui Ohm pentru diferențialele semnalelor la poarta uniportului considerat:

$$R_e = \frac{du}{di} \cong \frac{\Delta u}{\Delta i}. \quad (1.20)$$

Relația aproximativă de mai sus s-a obținut prin înlocuirea diferențialelor cu diferențe finite și este corectă pentru variații mici. Conform acestei relații, rezistența diferențială  $R_e$  poate fi interpretată ca fiind rezistență echivalentă pentru variații mici. Pentru determinare practică a  $R_e$  se introduce o variație cunoscută a unei mărimi (de exemplu a tensiunii la bornele uniportului) și se măsoară variația celeilalte mărimi (variația curentului prin uniport, pentru cazul exemplificat).

Conductanța echivalentă dinamică a uniportului  $G_e$ :

$$G_e = \frac{di}{du} = k_S \cdot \operatorname{tg} \alpha_P. \quad (1.21)$$

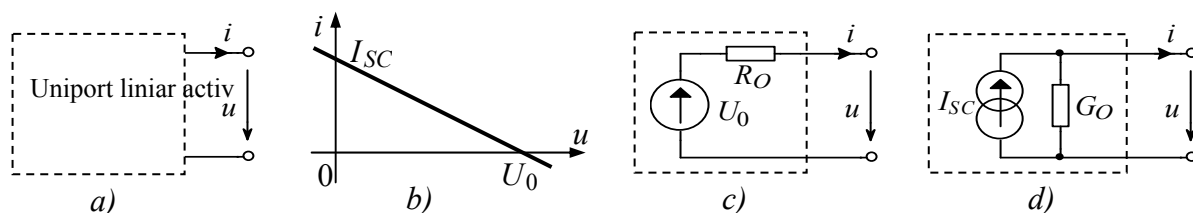
este proporțională ( $\approx$ ) cu panta caracteristicii statice în punctul considerat, ca în figura 1.7.c.

Rezistența echivalentă se poate determina și în cazul uniporturilor activi. Pentru uniportii activi liniari este însă frecvent folosită echivalarea lor cu un uniport format din două elemente: o sursă ideală și o rezistență, conform teoremei lui Thévenin sau conform teoremei lui Norton.

### 1.4.2 Teoremele lui Thévenin și Norton

Se consideră un uniport liniar activ oarecare cu sensurile tensiunilor și ale curentului la poarta sa asociate conform convenției de la generatoare, ca în figura 1.8.a. Deoarece uniportul este liniar, caracteristica lui (figura 1.8.b) este o dreaptă și deoarece este activ, dreapta nu trece prin origine; uniportul activ are o tensiune pozitivă  $U_0$  la un curent nul (în gol) și un curent pozitiv  $I_{SC}$  la o tensiune nulă (în scurtcircuit). Ecuația prin tăieturi a caracteristicii statice este:

$$\frac{u}{U_0} + \frac{i}{I_{SC}} = 1. \quad (1.22)$$



**Fig. 1.8.** Teoremele lui Thévenin și Norton: a) uniport liniar activ oarecare, b) caracteristica statică a uniportului liniar activ; c) sursa echivalentă Thévenin, d) sursa echivalentă Norton.

Dacă se notează:

$$R_O = \frac{U_0}{I_{SC}} \quad \text{respectiv} \quad G_O = \frac{I_{SC}}{U_0}, \quad (1.23)$$

atunci ecuația prin tăieturi poate fi scrisă sub una din următoarele două forme:

$$u = U_0 - i \cdot R_0 \quad \text{sau} \quad i = I_{SC} - u \cdot G_0. \quad (1.24)$$

Aceste relații reprezintă caracteristicile statice ale uniporturilor din figura 1.8.c, respectiv figura 1.8.d. Acești uniporturi sunt echivalenți cu uniportul considerat, ceea ce se poate exprima sub forma teoremelor următoare.

**Teorema lui Thévenin:** Un uniport liniar activ oarecare este echivalent cu un uniport format dintr-o sursă de tensiune având tensiunea la borne  $U_0$ , înseriată cu o rezistență de valoare  $R_0$ . Schema din figura 1.8.c se va numi **sursă Thévenin**.

**Teorema lui Norton:** Un uniport liniar activ oarecare este echivalent cu un uniport format dintr-o sursă de curent având curentul la borne  $I_{SC}$ , legată în paralel cu o conductanță de valoare  $G_0$ . Schema din figura 1.8.d se va numi **sursă Norton**.

Poarta unui uniport activ se numește uneori **ieșire** pentru a sublinia faptul că uniportul este folosit de obicei pentru a furniza putere către exterior pe la poarta sa. Corespunzător, rezistența  $R_0$  se numește **rezistență (statică) de ieșire** (litera  $O$  este inițiala cuvântului englezesc *output* – ieșire).

Rezistența  $R_0$  are și altă interpretare decât cea din relația (1.23): este rezistența echivalentă a uniportului dat, după ce s-au pasivizat toate sursele (independente) din interiorul lui. În circuite este adesea mai simplă determinarea  $R_0$  ca fiind rezistența văzută la bornele uniportului după pasivizarea (anularea) surselor interne independente.

Aceste teoreme pot fi aplicate atât la circuitele de *cc* cât și la circuitele de *ca*; la analiza circuitelor de *ca*, în locul semnalelor de *cc* se folosesc semnale instantanee sau de *ca* iar la schema surselor echivalente se înlocuiește rezistența cu impedanța și conductanța cu admitanța.

## 1.5 NOȚIUNI ELEMENTARE DE SEMNALE ELECTRICE

Semnalul este orice mărime fizică susceptibilă de a purta informație. Semnalul electric este o mărime electrică, de obicei tensiunea sau curentul electric. Transmitanța sau factorul de transfer reprezintă raportul a două semnale (de la ieșirea, respectiv de la intrarea unui circuit electric) care au în general aceeași formă sau derivă unul din altul. Factorul de transfer poate fi adimensional (amplificare, atenuare) sau poate avea dimensiunea unei impedanțe sau a unei admitanțe.

Semnalele pot fi clasificate după mai multe criterii. Semnalele care descriu o funcție continuă în timp se numesc semnale analogice, iar cele care au valori nenule doar la valori discrete de timp sunt așa-numitele semnale discrete. Un exemplu de semnal analogic și semnalul discret corespunzător este reprezentat în figura 1.9. Dacă se reprezintă amplitudinea fiecărui eșantion al semnalului discret cu un număr finit de digiți atunci se spune despre semnal că este cuantizat sau digitizat. rezultă amplitudinea semnalului nu ceea ce se numește un semnal digital.

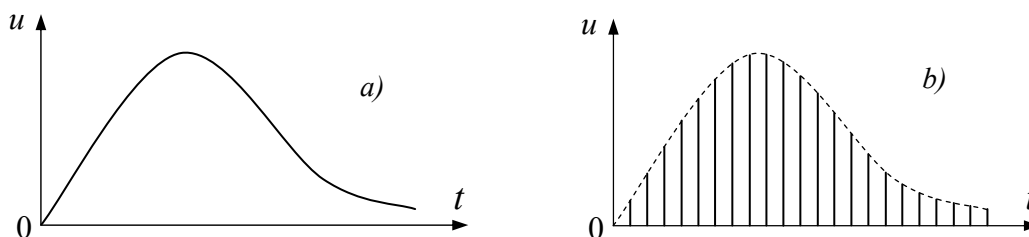


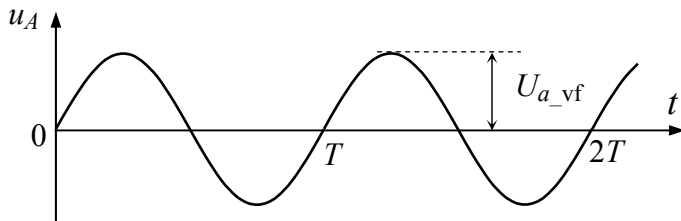
Fig. 1.9. Exemplu de semnal: a) analogic, b) discret.

În funcție de evoluția în timp semnalele pot fi periodice (sau de regim permanent), descrise de o funcție periodică (forma semnalului se repetă după o anumită perioadă), de regim tranzitoriu

(periodice amortizate sau aperiodice) și singulare. Exemple de astfel de semnale sunt: în figura 1.6 un semnal de regim tranzitoriu aperiodic și în figura 1.9.a un semnal singular.

Semnalele periodice pot avea diferite forme de undă; semnalele periodice mai des întâlnite sunt cele sinusoidale, dreptunghiulare (de fapt aproximativ trapezoidale), triunghiulare, în dinți de fierăstrău sau cu formă de impulsuri scurte de comandă.

O caracterizare foarte utilă a unui semnal sau în general a oricărei funcții de timp se realizează prin spectrul său de frecvență. Descrierea semnalelor în acest mod se realizează pe baza seriilor Fourier și a transformatei Fourier, care permit reprezentarea unui semnal oarecare ca o sumă de semnale sinusoidale de amplitudini și frecvențe diferite. De aceea semnalul sinusoidal este unul dintre cele mai importante semnale.



**Figura 1.10.** Semnal sinusoidal;

Mărimi caracteristice:  
 $U_{a\_vf}$  – tensiunea de vârf,  
 $T$  – perioada semnalului.

Un semnal sinusoidal, ca cel din figura 1.10, este caracterizat de funcția:

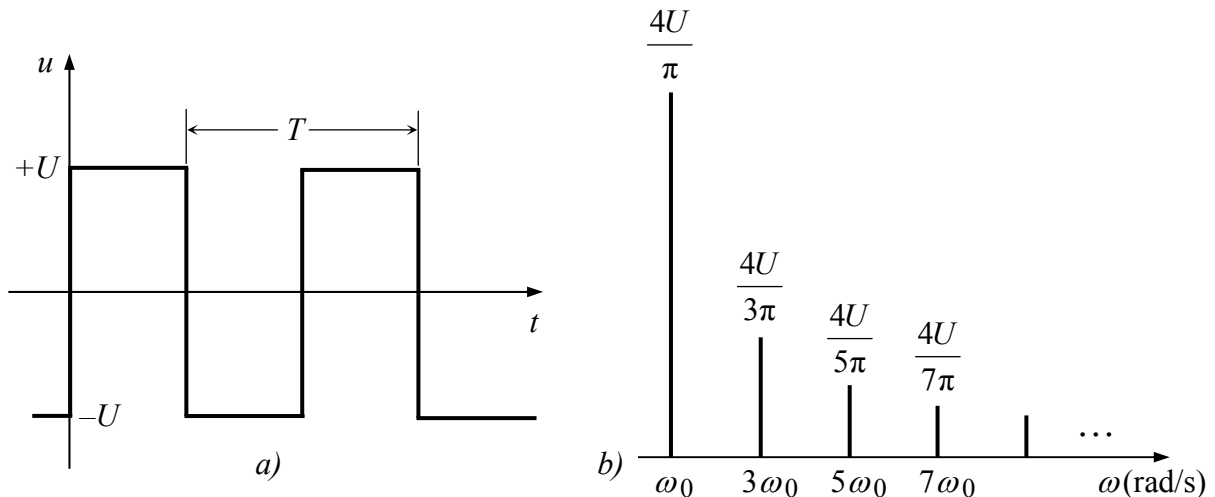
$$u_a(t) = \sqrt{2} \cdot U_a \sin \omega t = U_{a\_vf} \sin 2\pi f t. \quad (1.25)$$

unde  $U_a$  reprezintă valoarea efectivă și  $U_{a\_vf} = \sqrt{2} \cdot U_a$  valoarea de vârf (măsurate în volți), iar  $\omega$  este frecvența unghiulară în radiani pe secundă  $\omega = 2\pi f$ ,  $f$  este frecvența semnalului în hertzi și  $T = 1/f$  este perioada acestuia. Un semnal sinusoidal este complet caracterizat de amplitudine, frecvență și defazaj (față de o referință de timp aleasă arbitrar).

Un semnal periodic oarecare, poate fi exprimată ca o sumă infinită de funcții sinusoidale a căror frecvențe sunt multiple întregi ale frecvenței semnalului analizat. De exemplu semnalul dreptunghiular simetric din figura 1.11.a poate fi exprimat ca o sumă de funcții sinusoidale:

$$u(t) = \frac{4U}{\pi} \left( \sin \omega_0 t + \frac{1}{3} \sin 3\omega_0 t + \frac{1}{5} \sin 5\omega_0 t + \dots \right). \quad (1.26)$$

unde  $U$  este amplitudinea semnalului dreptunghiular și  $\omega_0 = 2\pi/T$  este frecvență unghiulară fundamentală ( $T$  fiind perioada semnalului dreptunghiular).

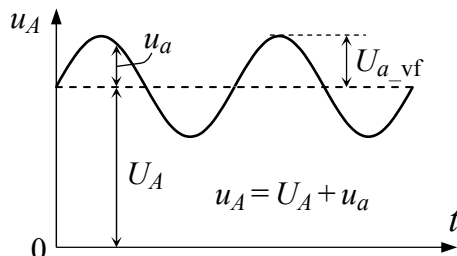


**Fig. 1.11.** Semnal dreptunghiular simetric: a) forma de undă în timp, b) spectrul de frecvență.

Componentele sinusoidale ale seriei din ecuația (1.26) reprezintă spectrul de frecvențe ale semnalului dreptunghiular. Acest spectru poate fi reprezentat grafic ca în figura 1.11.b. Semnalul dreptunghiular are foarte multe armonice superioare. Deoarece amplitudinea armonicelor scade, seria infinită poate fi trunchiată, rezultatul fiind o aproximație a semnalului dreptunghiular.

### 1.5.1 Convenția de notații

În general, o mărime electrică are o componentă de curent alternativ (sau de semnal), suprapusă peste componenta de curent continuu (sau de polarizare), ca de exemplu în figura 1.12.



**Figura 1.12.** Convenția de notații;  
Semnalul sinusoidal  $u_a$  suprapus  
peste tensiunea de polarizare  $U_A$ .

Pe parcursul acestei cărți se utilizează următoarea convenție de notații:

- mărimile instantanee se notează cu literă mică și indice literă mare:  $u_A, i_C$ ;
- componenta de curent continuu (cc) sau de polarizare, constantă în timp (sau valoarea medie a mărimii instantanee variabilă în timp), se notează cu literă mare și indice literă mare:  $U_A, I_C$ ;
- componenta de curent alternativ (ca) sau de semnal, variabilă în timp (care are o valoare medie nulă), se notează cu literă mică și indice literă mic:  $u_a, i_c$ ;
- valoarea efectivă a componentei de ca se notează cu literă mare și indice literă mică:  $U_a, I_c$ .

Semnificația acestor notații reiese din figura 1.12, în care s-a considerat un semnal sinusoidal  $u_a$  suprapus peste o tensiune de cc  $U_A$ .

## 1.6 BIBLIOGRAFIE

- [1] Crăciun A.V: - *Dispozitive și circuite electronice*, Ed. Univ. Transilvania Brașov, 2003;
- [2] Damachi E. ș.a. – *Electronica*, E.D.P. București, 1979;
- [3] Gray P.E., Searle C.L. – *Bazele electronicii moderne*, Ed.Tehnică. București, 1973;
- [4] Șora C. – *Bazele electrotehnicii*, E.D.P. București, 1982;
- [5] Senturia Stephen, Wedlock Bruce – *Electronic Circuits and Applications*, J.Willey&Sons, 1975;
- [6] Malvino A.Paul – *Electronic Principles*, Tata Mc.Grow-Hill Publ.Co., New Delhi, 1982;
- [7] Radu Ovidiu – *Componente electronice pasive*, Ed. Tehnică, București, 1981;
- [8] Costin Miron – *Introducere în circuite electronice*, Ed.Dacia, Cluj-Napoca, 1983;
- [9] Sedra Adel, Smith Kenneth – *Microelectronic Circuits*, Oxford University Press, New York, 1998.

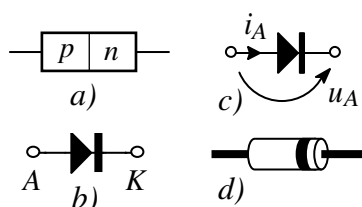
## CAP. 2 DIODE SEMICONDUCTOARE

În prima parte a acestui capitol se introduc modelele cele mai simple ale diodelor și cu ajutorul acestora se analizează aplicațiile mai importante ale diodelor redresoare.

În continuare se prezintă noțiuni de fizica semiconductoarelor, se analizează joncțiunea  $pn$  și se introduc modele mai precise, dar mai complexe ale diodelor. Pe baza analizei joncțiunii  $pn$  se analizează celelalte tipuri de diode semiconductoare și se prezintă aplicațiile tipice ale acestora.

### 2.1 NOȚIUNI FUNDAMENTALE

Dioda semiconductoare (sau mai simplu, dioda) este un dispozitiv electronic cu 2 terminale care conține o joncțiune  $pn$ , joncțiune care se formează la contactul unei regiuni  $p$  cu o regiune  $n$  a aceluiasi cristal semiconductor. Descrierea joncțiunii  $pn$  se va face într-un paragraf următor.



**Fig. 2.1.** Dioda semiconductoare: a) conține o joncțiune  $pn$ , b) simbolul ei este o săgeată de la anod la catod; c) Mărimile electrice asociate diodei sunt în sensul săgeții și d) catodul diodei este marcat cu o bandă colorată.

Proprietatea principală a diodei este **conducția unilaterală**. Aceasta constă din aceea că dioda permite trecerea curentului într-un sens și blochează curentul în celălalt sens. Simbolul diodei este în esență o săgeată orientată de la zona  $p$  la zona  $n$  a semiconductorului (figura 2.1.b), săgeată care arată sensul în care dioda permite trecerea curentului electric, respectiv sensul de referință al tensiunii și al curentului prin diodă (figura 2.1.c).

Terminalul conectat la zona  $p$  a diodei (cel cu săgeată,) se numește **anod**, iar cel conectat la zona  $n$ , **catod**; aceste denumiri s-au păstrat de la dioda cu vid. În cazul diodelor de mică putere, terminalul catodului este marcat cu o bandă (de culoare albă pentru capsule negre din plastic, figura 2.1.d) sau un grup de benzi colorate (mai apropiate de catod, la unele diode cu capsulă de sticlă). Experimental, curentul iese din diodă prin terminalul marcat cu bandă (catodul diodei).

#### 2.1.1 Dioda ideală

Dioda ideală este cel mai simplu model al diodei care pune în evidență conducția unilaterală a acesteia. Comportarea diodei ideale poate fi descrisă analitic cu ecuațiile:

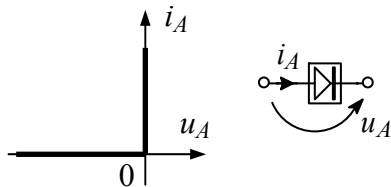
$$\begin{cases} i_A = 0 & \text{pentru } u_A < 0 & (\text{comutator deschis}) \\ u_A = 0 & \text{pentru } i_A > 0 & (\text{comutator închis}) \end{cases} \quad \begin{array}{c} \text{---} \circ \nearrow \text{---} \\ \text{---} \circ \rightarrow \text{---} \end{array} \quad (2.1)$$

Funcționarea diodei ideale poate fi explicată pe baza ecuațiilor de mai sus.

- Dacă se aplică diodei o tensiune negativă (față de direcția de referință) atunci prin diodă nu circulă nici un curent, dioda se comportă ca o întrerupere de circuit și se spune că este polarizată invers. **În polarizare inversă**, curentul printr-o diodă ideală este nul și **dioda este blocată**.
- Dacă se aplică diodei un curent pozitiv (față de direcția de referință) căderea de tensiune pe diodă este nulă. În acest caz, numit **polarizare directă**, dioda ideală se comportă ca un scurtcircuit și **dioda este în conducție sau deschisă**.

Aceste relații arată că dioda ideală este de fapt un comutator care se deschide sau se închide în funcție de sensul mărimilor electrice care apar din circuitul exterior. Circuitul exterior este acela care determină curentul direct prin dioda în conducție și tensiunea inversă pe dioda blocată.

Relațiile (2.1) reprezintă o funcție liniară pe porțiuni. Reprezentarea grafică a acestei funcții reprezintă **caracteristica statică** a diodei ideale și constă din două semidrepte în unghi de 90° care se întâlnesc în origine ca în figura 2.2. Pentru dioda ideală se va folosi simbolul din figura 2.2.



**Fig. 2.2.** Caracteristica statică și simbolul diodei ideale.

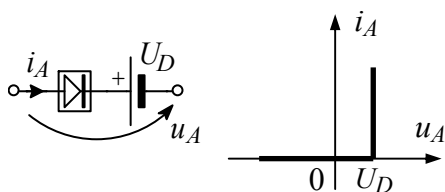
Dioda ideală este un element (ideal) de circuit, cel mai simplu model al diodei, cu tensiunea nulă în conducție și curent nul în blocare.

Oricare dintre modurile de descriere a diodei (prin ecuații, prin analiza funcționării sau prin caracteristica statică) reprezintă un model al diodei ideale.

În cazul unei diode reale curentul în blocare este nenul, dar foarte mic (cu valori uzuale de nanoamperi până la microamperi) iar căderea de tensiune în conducție este relativ mică (mai mică de 1V). Valorile foarte mici ale curentului invers (pentru dioda blocată) pot fi considerate zero pentru majoritatea aplicațiilor practice. Căderea de tensiune directă (pentru dioda în conducție) poate fi considerată ca fiind nulă (modelul diodei ideale) doar la o analiză de principiu a unui circuit sau dacă tensiunile din circuit sunt mult mai mari decât 1V. Pentru a ține cont și de căderea de tensiune care apare pe diodă în conducție se introduce modelul diodei cu tensiune de prag.

### 2.1.2 Dioda cu tensiune de prag

Cea mai simplă modalitate de a ține seama de căderea de tensiune care apare pe diodă în conducție este considerarea unei surse de tensiune constante  $U_D$  în serie cu dioda ideală. Circuitul echivalent și caracteristica statică a acestui model al diodei, numit model cu tensiune de prag, sunt prezentate în figura 2.3. Sursa de tensiune din schema echivalentă nu poate furniza energie în circuitul exterior datorită sensului de conectare a diodei ideale, care nu permite trecerea curentului de la sursă spre circuitul extern.



**Fig. 2.3.** Simbolul și caracteristica statică a diodei cu tensiune de prag.

Cel mai utilizat model al diodei, cu tensiunea constantă în conducție și curent nul în blocare.

Comportarea diodei cu tensiune de prag poate fi descrisă și analitic:

$$\begin{cases} i_A = 0 & \text{pentru } u_A < U_D \\ u_A = U_D & \text{pentru } i_A > 0 \end{cases} \quad (2.2)$$

Conform acestor ecuații:

- curentul prin diodă este nul dacă tensiunea este mai mică decât tensiunea de prag (dioda blocată);
- tensiunea pe diodă are o valoare constantă dacă prin diodă circulă un curent (dioda în conducție).

Dacă se trasează experimental caracteristica statică a diodei, se pot constata următoarele:

- pentru o tensiune directă mai mică decât tensiunea de deschidere (circa 0,5V la dioda cu siliciu) curentul prin diodă are valori scăzute, apropiate de zero;
- pentru variații destul de mari ale curentului prin diodă, modificarea tensiunii pe diodă este destul de mică (0,6...0,8V la dioda cu siliciu).

Ținând seama de aceste valori ale tensiunii, se consideră că tensiunea pe dioda în conducție are o valoare constantă, de exemplu  $U_D = 0,7\text{V}$  la siliciu. S-au prezentat valorile măsurate la dioda cu siliciu deoarece este dioda cea mai utilizată în practică.

Modelul diodei cu tensiune de prag poate fi utilizat în aproape toate cazurile practice. Ca metodă de analiză a circuitelor cu diode este de preferat adesea analiza funcționării circuitului considerând inițial modelul diodei ideale, pentru a pune în evidență ceea ce este esențial și apoi se analizează circuitul cu ajutorul modelului cu tensiune de prag. Cea de-a doua analiză este mai exactă, dar evident mai complicată și de aceea este posibil să se scape din vedere aspectele fundamentale ale funcționării circuitului.

Prin caracteristică liniarizată (pe porțiuni) se înțelege o caracteristică formată din semidrepte și eventuale segmente de dreaptă. La analiza unui circuit care include cel puțin un dispozitiv cu o caracteristică liniarizată pe porțiuni (cum ar fi dioda ideală sau dioda cu tensiune de prag), în cazul în care semnalul aplicat dispozitivului trece prin unul dintre punctele de frângere ale caracteristicii, se determină mai întâi nivelul semnalului la care are loc trecerea dintr-o regiune liniară în alta și apoi se analizează separat comportarea circuitului pentru fiecare porțiune liniară a caracteristicii.

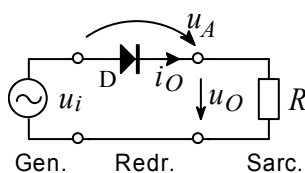
## 2.2 APLICAȚII ALE DIODELOR REDRESOARE

Cele mai utilizate diode sunt așa-numitele diode redresoare iar aplicațiile mai importante ale acestora sunt: redresoarele, limitatoarele și circuitele de refacere a nivelului de  $cc$ .

Redresoarele transformă energia de curent alternativ în energie de curent continuu și pot fi utilizate ca circuite de conversie a puterii electrice sau ca circuite de prelucrare a semnalelor. Redresoarele vor fi analizate pornind de la cel mai simplu circuit, redresorul monoalternanță fără filtru până la redresorul în punte cu filtru capacitiv (redresorul tipic utilizat pentru alimentarea sistemelor electronice). O categorie aparte de redresoare sunt unele multiplicatoare de tensiune.

### 2.2.1 Redresorul monoalternanță

Redresorul monoalternanță este compus dintr-o simplă diodă conectată în serie între sursa de tensiune alternativă și sarcină ca în figura 2.4. Se analizează cazul sarcinii rezistive,  $R$ .



**Fig. 2.4.** Redresorul monoalternanță - dioda  $D$ .

Circuitul include sursa de tensiune alternativă la intrare și sarcina la ieșirea redresorului.

#### Cazul diodei ideale

Dacă se consideră dioda ca fiind ideală, atunci în timpul alternanței pozitive a tensiunii de intrare dioda va fi polarizată direct și va permite trecerea unui curent dinspre sursă spre sarcină. Căderea de tensiune pe dioda ideală deschisă va fi nulă și tensiunea pe sarcină va fi egală cu tensiunea sursei. În timpul alternanței negative a semnalului de intrare, tensiunea pe diodă va fi negativă, dioda (polarizată invers) va fi blocată și nu va permite trecerea curentului de la sursă spre sarcină. Formele de undă ale tensiunilor sunt prezentate în figura 2.5. Tensiunea de ieșire,  $u_O$  ( $u_O$  (ideal) în figură) are o valoare medie nenulă (componentă de curent continuu). Pentru o tensiune de intrare sinusoidală,  $u_i = \sqrt{2} \cdot U_i \cdot \sin \omega t$ , valorile medii ale tensiunii și curentului la ieșire sunt:



$$U_O = \frac{1}{2\pi} \int_0^\pi \sqrt{2} \cdot U_i \sin \omega t \, d\omega t = \frac{\sqrt{2} \cdot U_i}{\pi}, \quad I_O = \frac{U_O}{R}. \quad (2.3)$$

Dioda utilizată trebuie să suporte curentul direct  $I_O$  și tensiunea inversă  $\sqrt{2} \cdot U_i = U_{vf}$ ; tensiunea maximă care apare pe dioda blocată este egală cu tensiunea de vârf a alternanței negative. Parametrii de catalog corespunzători ai diodei:  $I_F$  (indicele provine de la cuvântul englez „forward” tradus prin „direct”) și  $V_{RRM}$  (reverse repetitive maximum voltage – tensiune inversă repetitivă maximă) trebuie să fie acoperitori față de valorile din circuit:

$$I_F \geq I_O, \quad V_{RRM} \geq \sqrt{2} \cdot U_i. \quad (2.4)$$

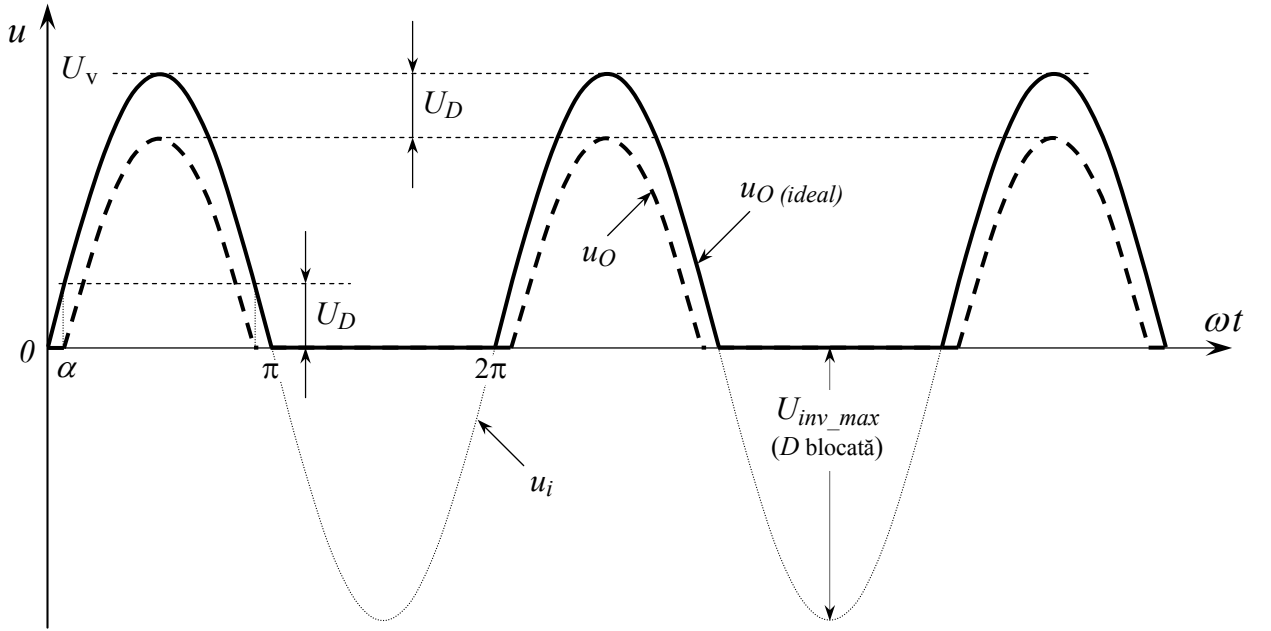


Fig. 2.5. Formele de undă de la redresorul monoalternanță

Rezultatele obținute cu modelul diodei ideale sunt suficient de corecte pentru tensiuni redresate mari, de ordinul zecilor de volți. Dacă tensiunea redresată are valori mici (mai mici decât circa 10V) atunci erorile introduse de modelul diodei ideale sunt în general inacceptabile și se analizează circuitul considerând și căderea de tensiune pe diodă.

### Efectul tensiunii de prag

Căderea de tensiune pe dioda în conducție  $U_D$  se va considera constantă, conform modelului diodei cu tensiune de prag. Dioda este în conducție pentru o tensiune de intrare mai mare decât tensiunea de prag, condiție din care se poate calcula unghiul de conducție al diodei,  $\alpha$ :

$$u_i \geq U_D, \quad \sqrt{2} \cdot U_i \sin \alpha = U_D \Rightarrow \alpha = \arcsin \frac{U_D}{\sqrt{2} \cdot U_i}. \quad (2.5)$$

Forma de undă a tensiunii la ieșirea redresorului este reprezentată cu linie discontinuuă în figura 2.5. În conducție, tensiunea de ieșire este:  $u_O = u_i - u_A = u_i - U_D$  iar tensiunea medie la ieșire se calculează prin integrarea tensiunii de ieșire pe o perioadă:

$$U_O = \frac{1}{2\pi} \int_\alpha^{\pi-\alpha} (\sqrt{2} \cdot U_i \sin \omega t - U_D) \, d\omega t = \frac{\sqrt{2} \cdot U_i}{\pi} \cos \alpha - U_D \frac{\pi - 2\alpha}{2\pi}. \quad (2.6)$$

Dacă  $\alpha \ll \pi$ , ceea ce înseamnă  $U_D \ll U_i$ , atunci ecuația precedentă se poate simplifica:

$$U_O \cong \frac{\sqrt{2} \cdot U_i}{\pi} - \frac{U_D}{2}. \quad (2.7)$$

### Exemplu

Să se determine tensiunea medie la ieșirea redresorului monoalternanță, calculată cu modelul diodei ideale și cu modelul diodei cu tensiune de prag ( $U_D=0,7\text{V}$ ), pentru o tensiune sinusoidală de intrare cu valoarea de vârf de 5V și de 10V. Să se compare rezultatele obținute prin diferite metode.

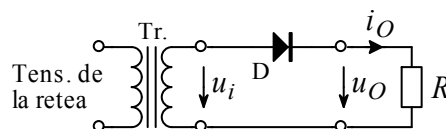
Rezultatele calculelor sunt prezentate în tabelul următor. Pentru a evidenția cât mai exact erorile datorate diferitelor metode de calcul s-au calculat 4 cifre semnificative. În practică, o astfel de precizie a calculelor nu se justifică datorită aproximărilor inerente dintr-un circuit concret, unde apar erori de cel puțin câteva procente (la exemplul prezentat eroarea tensiunii  $U_D$  poate fi de circa 0,1V iar tensiunea de intrare poate avea o eroare tipică de 5%).

$\sqrt{2} \cdot U_i$	$U_O$ , rel.(2.6)	$U_O$ , rel.(2.7)	$\varepsilon_1$ (%)	$U_O$ , rel.(2.3)	$\varepsilon_2$ (%)
5 V	1,257 V	1,242 V	-1,24	1,592 V	+26,6
10 V	2,841 V	2,833 V	-0,28	3,183 V	+12

Se constată că erorile de calcul sunt mai mici dacă tensiunile din circuit sunt mai mari. Erorile  $\varepsilon_2$  introduse cu modelul diodei ideale în cazul unor tensiuni mici sunt inacceptabile. Pentru tensiuni mai mari de 10V erorile sunt mai mici de 12% și pot fi acceptate uneori. Erorile  $\varepsilon_1$  datorate relației simplificate de la modelul diodei cu tensiune de prag sunt mici și de aceea, în practică, nu se justifică utilizarea relației exacte (care presupune calcule trigonometrice).

## 2.2.2 Redresorul cu transformator

La circuitele de alimentare se utilizează adesea un transformator la intrare ca în figura 2.6. Înfășurarea primară a transformatorului este conectată la sursa de tensiune alternativă (de obicei rețeaua de ca) și înfășurarea secundară la redresor. Transformatorul permite modificarea tensiunii la intrarea redresorului în funcție de necesități și izolează electric sursa de energie de redresorul propriu-zis. Este vorba de așa-numita izolare galvanică (fără legătură directă între circuite) care reduce pericolul de electrocutare în cazul alimentării de la rețeaua de curent alternativ.



**Fig. 2.6.** Redresorul monoalternanță cu transformator (Tr.).

La un transformator fără sarcină (în gol), tensiunea de ieșire (de la înfășurarea secundară)  $u_{20}$  depinde de raportul numărului de spire și de tensiunea din primar (de la rețea)  $u_1$  conform relației:

$$u_{20} = \frac{n_2}{n_1} \cdot u_1, \quad (2.8)$$

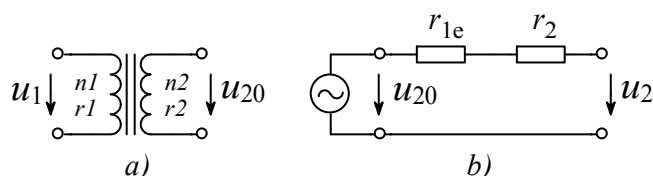
unde  $n_2$  și  $n_1$  reprezintă numărul de spire al înfășurării secundare, respectiv al înfășurării primare.

La conectarea sarcinii, tensiunea din secundar scade datorită rezistenței înfășurărilor și inductanțelor de pierderi. Într-o primă aproximație se poate neglija această modificare a tensiunii. La un calcul mai precis se ține seama de rezistența înfășurării secundare și primare,  $r_2$  și respectiv  $r_1$ . Dacă transformatorul este solicitat în limite normale, atunci se pot neglija inductanțele de pierderi, iar rezistența echivalentă a transformatorului (privită în secundar)  $R_{tr}$  permite calculul tensiunii secundare conform legii lui Ohm:

$$R_{tr} = r_2 + r_{1e} = r_2 + r_1 \cdot \left( \frac{n_2}{n_1} \right)^2, \quad u_2 = u_{20} - i_2 \cdot R_{tr}. \quad (2.9)$$

$r_{1e}$  este rezistența primarului echivalată (sau privită) în secundar.

Schema echivalentă a transformatorului, conformă cu aceste ecuații, este prezentată în figura 2.7.b.



**Fig. 2.7.** Transformatorul în gol (cu parametrii înfășurărilor) și schema echivalentă în sarcină.

Prin înfășurarea secundară a transformatorului utilizat la redresorul monoalternanță circulă curentul continuu  $I_O$  care conduce la înrăutățirea condițiilor de funcționare ale transformatorului. În plus se poate arăta că randamentul energetic (raportul între energia de *cc* de la ieșire și energia de *ca* absorbită la intrare) în cazul redresorului monoalternanță este mai mic decât 40%, datorită armonicilor care circulă în sarcină. Din aceste motive transformatorul trebuie supradimensionat. Redresorul monoalternanță poate fi utilizat numai atunci când curenții redresați au valori reduse din cauza celor două dezavantaje principale: greutatea mărită a transformatorului și pulsațiile mari ale curentului. În practică sunt frecvent utilizate redresoarele bialternanță: cu transformator cu punct median sau în punte.

### Problemă de proiectare

La încărcarea bateriilor alcaline se suprapune o componentă alternativă peste curentul continuu pentru a evita polarizarea electrolitului. Să se dimensioneze circuitul de încărcare din fig. 2.8.a pentru a obține un curent mediu de încărcare  $I_f = 120\text{mA}$  și un curent mediu de descărcare  $I_d = 40\text{mA}$  (curentul net de încărcare este dat de diferența celor doi curenți). Se consideră un grup de 2 baterii cu o tensiune totală  $U_B = 3,5\text{V}$ , căderea de tensiune pe dioda în conducție  $U_D = 0,7\text{V}$ , tensiunea alternativă în secundarul transformatorului  $U_{20} = 14\text{V}$  (valoarea efectivă în gol) și rezistența echivalentă a transformatorului văzută în secundar  $R_{tr} = 17\Omega$ .

**Rezolvare** Prin dimensionarea circuitului se înțelege calcularea componentelor de circuit care nu se cunosc, în acest caz cele două rezistoare (și eventuala alegere a diodei). La un rezistor trebuie calculată valoarea rezistenței și eventual puterea maximă disipată.

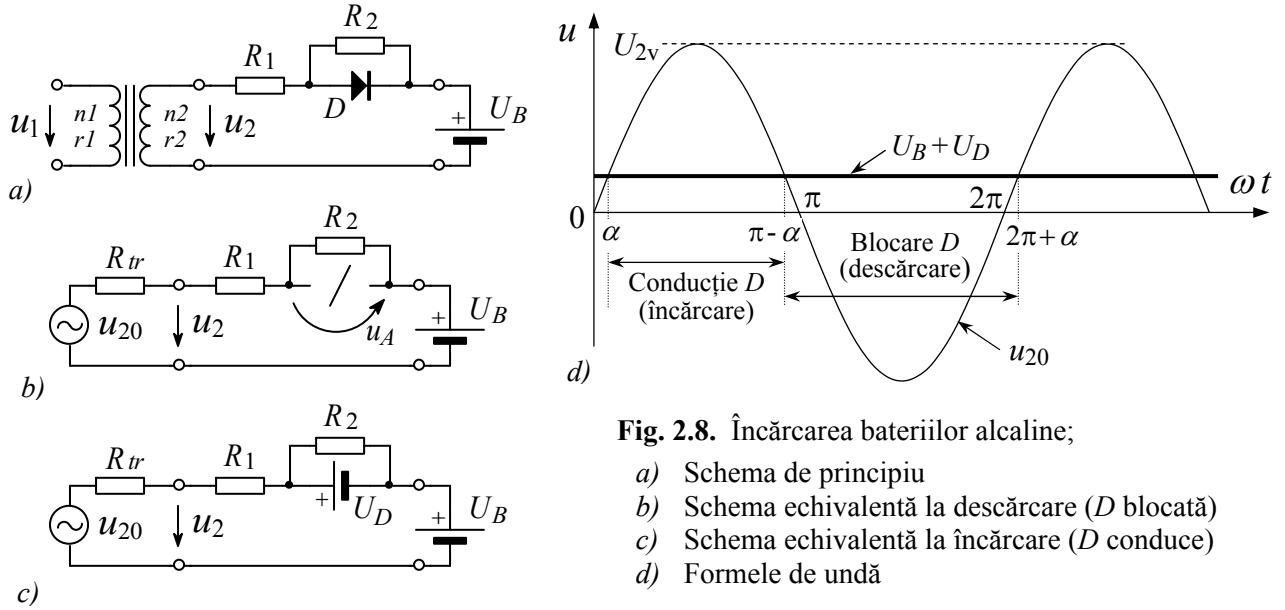
Primul pas este analiza funcționării circuitului. După cum s-a arătat în paragraful 2.1.2, la analiza unui circuit cu modelul liniarizat al diodei, se determină inițial nivelul semnalului la care are loc trecerea dintr-o regiune liniară a caracteristicii în alta și apoi se analizează separat comportarea circuitului pentru fiecare porțiune liniară.

Se consideră inițial dioda blocată și se obține schema echivalentă a circuitului prezentată în figura 2.8.b, în care dioda s-a înlocuit cu o întrerupere de circuit. Dioda se menține blocată cât timp tensiunea pe diodă,  $u_A$ , este mai mică decât tensiunea de prag,  $U_D$ .

Tensiunea  $u_A$  se calculează cu regula divizorului de tensiune aplicată rezistențelor din circuit:

$$u_A = u_{R2} = (u_{20} - U_B) \cdot \frac{R_2}{R_{tr} + R_1 + R_2} \leq U_D \Rightarrow u_{20} \leq \frac{R_{tr} + R_1 + R_2}{R_2} \cdot U_D + U_B \cong U_D + U_B.$$

Aproximația din relația precedentă va fi verificată după obținerea rezultatelor finale.



**Fig. 2.8.** Încărcarea bateriilor alcaline;

- a) Schema de principiu
- b) Schema echivalentă la descărcare ( $D$  blocată)
- c) Schema echivalentă la încărcare ( $D$  conduce)
- d) Formele de undă

Pentru simplitate se notează  $U_{BD} = U_B + U_D = 4,2V$ . Limita intrării în conducție a diodei este  $u_A = U_D$ ; în acest punct se determină valoarea tensiunii  $u_{20}$  și unghiul de conducție:

$$u_{20} = \sqrt{2} \cdot U_{20} \sin \omega t = U_{2v} \sin \omega t; \quad U_{2v} \sin \alpha = U_{BD}, \quad \alpha = \arcsin \frac{U_{BD}}{U_{2v}} = 0,214 \text{ radiani.}$$

Circuitul echivalent cu dioda în conducție este prezentat în figura 2.8.c, în care dioda s-a înlocuit cu sursa de tensiune echivalentă  $U_D$ . Dioda conduce până când tensiunea  $u_{20}$  devine mai mică decât  $U_{BD}$ , ceea ce are loc la unghiul de blocare  $\pi - \alpha$ , conform formelor de undă din figura 2.8.d. Blocarea diodei durează până la noul unghi de conducție,  $2\pi + \alpha$ , după care procesul de conducție/ blocare al diodei, respectiv de încărcare/ descărcare al bateriei se reia.

Curentul de descărcare se calculează în schema din figura 2.8.b din legea lui Ohm aplicată celor trei rezistențe din circuit. Pentru aceasta se determină inițial tensiunea medie pe rezistențe în timpul descărcării, prin integrare conform relației:

$$U_{med}^- = \frac{1}{2\pi} \int_{\pi-\alpha}^{2\pi+\alpha} (U_{2v} \sin \omega t - U_B) d\omega t = \frac{1}{\pi} \int_{-\pi/2}^{\alpha} (U_{2v} \sin \varphi - U_B) d\varphi = -\frac{U_{2v} \cos \alpha}{\pi} - U_B \left( \frac{1}{2} + \frac{\alpha}{\pi} \right)$$

Curentul prin baterie se consideră în sensul diodei astfel încât curentul de descărcare va fi negativ.

$$I_d = \frac{U_{med}^-}{R_1 + R_2 + R_{tr}} \Rightarrow R_1 + R_2 = \frac{U_{med}^-}{I_d} - R_{tr} = \frac{-8,15}{-0,04} - 17 = 187 \Omega.$$

Curentul de încărcare se calculează în schema din figura 2.8.c cu ajutorul tensiunii medii pe  $R_1$  care apare la încărcare:

$$U_{med}^+ = \frac{1}{\pi} \int_{\alpha}^{\pi/2} (U_{2v} \sin \varphi - U_{BD}) d\varphi = \frac{U_{2v} \cos \alpha}{\pi} - U_{BD} \left( \frac{1}{2} - \frac{\alpha}{\pi} \right), \quad I_i = \frac{U_{med}^+}{R_1 + R_{tr}} + \frac{U_D}{R_2} \cong \frac{U_{med}^+}{R_1 + R_{tr}}$$

Aproximația din relația precedentă va fi verificată după obținerea rezultatelor finale. Din relația aproximativă rezultă valoarea lui  $R_1$ :

$$R_1 = \frac{U_{med}^+}{I_i} - R_{tr} = \frac{4,35}{0,12} - 17 = 19,2 \cong 20 \Omega, \quad R_2 = (R_1 + R_2) - R_1 = 187 - 20 = 166 \cong 160 \Omega.$$

Valorile alese pentru rezistoare au fost rotunjite la valoarea standardizată cea mai apropiată.

În final se vor calcula curenții rezultați și se va verifica în ce măsură aproximațiile făcute au afectat rezultatele. Vor fi acceptate devieri de ordinul procentelor față de valorile din enunț, deoarece rezistoarele reale au toleranțe uzuale de 5...10%. Unghiul de conducție este:

$$\alpha = \arcsin \frac{1}{U_{2v}} \left( \frac{R_{tr} + R_1 + R_2}{R_2} U_D + U_B \right) = 0,221 \quad \text{iar curenții de descărcare și încărcare:}$$

$$I_d = \frac{U_{med}^-}{R_{tr} + R_1 + R_2} = \frac{8,145}{17 + 20 + 160} = 41,3 \text{ mA}, \quad I_i = \frac{U_{med}^+}{R_1} + \frac{U_D}{R_2} = \frac{4,345}{17 + 20} + \frac{0,7}{160} = 121,8 \text{ mA}.$$

Deoarece diferențele față de valorile cerute în enunț sunt mici (mai mici de 3,3%) calculele nu mai trebuie reluate.

Calculul puterii disipate în rezistoare se face considerând valoarea efectivă a curentului care le parcurge. Pentru exemplificare se calculează puterea disipată în  $R_1$ ,  $P_{dR1}$ :

$$I_{R1\_ef} = \sqrt{\frac{1}{\pi} \int_{\alpha}^{\pi/2} \left( \frac{U_{2v} \sin \varphi - U_{BD}}{R_1 + R_{tr}} \right)^2 d\varphi + \frac{1}{\pi} \int_{-\pi/2}^{\alpha} \left( \frac{U_{2v} \sin \varphi - U_B}{R_1 + R_2 + R_{tr}} \right)^2 d\varphi} = \sqrt{I_1 + I_2},$$

$$I_1 = \frac{1}{\pi(R_1 + R_{tr})^2} \cdot \left[ U_{2v}^2 \left( \frac{\pi}{4} - \frac{\alpha}{2} + \frac{\sin 2\alpha}{4} \right) - 2U_{2v}U_{BD} \cos \alpha + U_{BD}^2 \left( \frac{\pi}{2} - \alpha \right) \right] = 0,233 \text{ m} \cdot 168 = 0,0391$$

$$I_2 = \frac{1}{\pi(R_1 + R_2 + R_{tr})^2} \cdot \left[ U_{2v}^2 \left( \frac{\alpha}{2} + \frac{\pi}{4} - \frac{\sin 2\alpha}{4} \right) - 2U_{2v}U_{BD} \cos \alpha + U_{BD}^2 \left( \alpha - \frac{\pi}{2} \right) \right] = 8,2 \mu \cdot 158 = 0,0013$$

$$I_{R1\_ef} = \sqrt{0,0391 + 0,0013} = \sqrt{0,0404} = 0,201 \text{ A}, \quad P_{dR1} = R_1 I_{R1\_ef}^2 = 20 \cdot 0,0404 = 0,81 \text{ W}.$$

### 2.2.3 Redresorul cu transformator cu punct median

Redresorul cu transformator cu punct median constă din două redresoare monoalternanță cu o sarcină comună și un transformator cu două secțiuni identice ale înfășurării secundare ca în figura 2.9.a. Cele 2 diode lucrează în antifază. Pe durata alternanței pozitive a intrării, tensiunea  $u_{21}$  este pozitivă și  $u_{22} (= -u_{21})$  este negativă, dioda  $D1$  este polarizată direct și  $D2$  este polarizată invers; curentul prin sarcină circulă de la sursă prin  $D1$ . Pe durata alternanței negative a intrării,  $D2$  polarizată direct furnizează curentul prin sarcină și  $D1$  este blocată. Formele de undă ale tensiunilor sunt prezentate în figura 2.9.b. Considerând diodele ideale, tensiunea și curentul mediu de ieșire pentru o intrare sinusoidală ( $u_{21} = -u_{22} = \sqrt{2} U_2 \cdot \sin \omega t = U_{vf} \cdot \sin \omega t$ ), se pot calcula cu relațiile:

$$U_O = \frac{1}{\pi} \int_0^{\pi} \sqrt{2} U_2 \sin \omega t d\omega t = \frac{2 \cdot \sqrt{2} \cdot U_2}{\pi} = \frac{2 \cdot U_{vf}}{\pi}, \quad I_O = \frac{U_O}{R} \quad (2.10)$$

și sunt duble față de redresorul monoalternanță. La calculul tensiunii medii s-a considerat o perioadă a semnalului de ieșire (jumătate din perioada semnalului de intrare, conform figurii 2.9.b).



Considerând modelul diodelor cu tensiune de prag se obține o tensiune medie de ieșire:

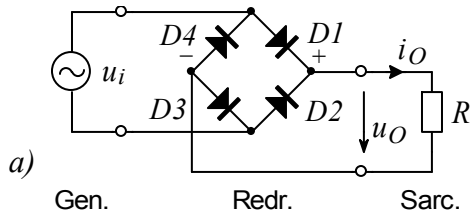
$$U_O = \frac{1}{\pi} \int_{\alpha}^{\pi-\alpha} (U_{vf} \sin \omega t - 2U_D) d\omega t = \frac{2U_{vf}}{\pi} \cos \alpha - 2U_D \frac{\pi - 2\alpha}{\pi}, \quad (2.13)$$

pentru un unghi de conducție al diodelor:  $\alpha = \arcsin \frac{2U_D}{U_{vf}}.$  (2.14)

Dacă  $\alpha \ll \pi$ , ceea ce înseamnă  $2U_D \ll U_i$ , atunci ecuația precedentă se poate simplifica:

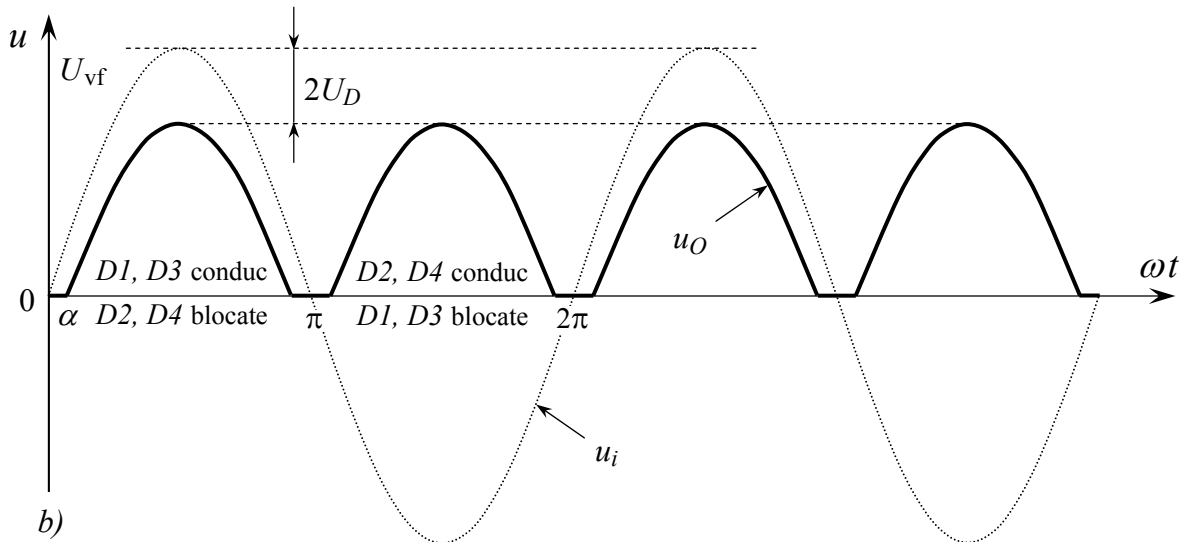
$$U_O \cong \frac{2U_{vf}}{\pi} - 2U_D. \quad (2.15)$$

Analizând acest rezultat se constată că tensiunea calculată este tensiunea din cazul ideal, conform relației (2.12), din care se scade căderea de tensiune pe diodele aflate în conducție.



**Fig. 2.10.** Redresorul în punte – diodele  $D1 \dots D4$ :

- a) Schema de principiu completată cu sursa de tensiune la intrare și cu sarcina la ieșire;
- b) Formele de undă ale redresorului în punte.



Avantajele acestui redresor (versiunea cu transformator) față de redresorul cu transformator cu punct median sunt: consumul redus de cupru din secundarul transformatorului (necesită jumătate din numărul de spire) și reducerea la jumătate a tensiunii inverse maxime pe diodele blocate. Tensiunea inversă pe dioda  $D1$ , de exemplu, poate fi determinată din bucla  $D1 - R - D4$  ca fiind:

$$u_{D1}(\text{invers}) = u_O + u_{D4}(\text{direct}).$$

Valoarea maximă a tensiunii  $u_{D1}$  apare la vârful tensiunii  $u_O$  și rezultă din relația:

$$U_{inv\_max} = (U_{vf} - 2 \cdot U_D) + U_D = U_{vf} - U_D. \quad (2.16)$$

Diodele utilizate trebuie să suporte cel puțin jumătate din curentul direct,  $I_O/2$  (fiecare diodă conduce o jumătate din timpul total de conducție) și o tensiune inversă mai mare decât  $U_{inv\_max}$ :

$$I_F \geq I_O/2, \quad V_{RRM} \geq U_{inv\_max} (\cong \sqrt{2} \cdot U_i). \quad (2.17)$$

Cele 4 diode conectate în punte sunt disponibile comercial încapsulate împreună ca „punți redresoare”. Pe capsulă cele 4 borne sunt marcate cu simbolurile „~” pentru bornele de intrare și

„+” respectiv „-” pentru bornele de ieșire. Curentul direct și tensiunea inversă suportate sunt date în catalog, iar uneori rezultă din numele componentei, de exemplu: „1PM8” suportă 1A și 800V.

### Exemplu

Să se determine tensiunea medie la ieșirea redresorului în punte, calculată cu modelul diodei ideale și cu modelul diodei cu tensiune de prag ( $U_D=0,7V$ ), dacă tensiunea sinusoidală de intrare are amplitudinea de 5V, 10V și 20V. Să se compare rezultatele obținute prin diferite metode.

Rezultatele calculelor sunt prezentate în tabelul următor.

$\sqrt{2} \cdot U_i$	$U_O$ , rel.(2.13)	$U_O$ , rel.(2.15)	$\varepsilon_1$ (%)	$U_O$ , rel.(2.12)	$\varepsilon_2$ (%)
5 V	1,91 V	1,78 V	-6,6	3,18 V	+67
10 V	5,03 V	4,97 V	-1,2	6,37 V	+27
20 V	11,36 V	11,33 V	-0,3	12,73 V	+12

Se constată că erorile de calcul sunt mai mici dacă tensiunile din circuit sunt mai mari. Erorile  $\varepsilon_2$  introduse cu modelul diodei ideale în cazul unor tensiuni mici sunt inacceptabile. Pentru tensiuni mai mari de 20V erorile sunt mai mici de 12% și pot fi acceptate uneori. Erorile  $\varepsilon_1$  datorate relației simplificate de la modelul diodei cu tensiune de prag sunt suficient de mici pentru ca în practică să se utilizeze relației aproximativă (2.15), care nu presupune calcule trigonometrice.

## 2.2.5 Redresorul monoalternanță cu filtru capacitiv

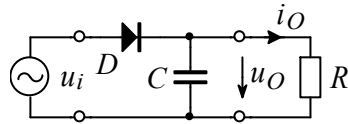
Tensiunea continuă pulsatorie obținută cu redresoarele anterioare poate fi folosită doar la încărcarea acumulatorilor, alimentarea motoarelor de cc și în alte câteva aplicații. Alimentarea circuitelor electronice, de exemplu, necesită o tensiune cât mai constantă, cum este cea furnizată de baterii sau de acumulatori. Pentru a realiza o astfel de tensiune, semnalele pulsatorii trebuie netezite (filtrate variațiile de ca ale semnalului pulsatoriu). Filtrele utilizate pot fi filtre de tip LC sau RC. Cele mai simple filtre sunt filtrele cu inductanță ( $L$ ), care netezesc variațiile curentului și filtrele capacitive ( $C$ ) care netezesc variațiile tensiunii. În practica alimentării circuitelor electronice cele mai folosite filtre sunt filtrele capacitive, care constau dintr-o capacitate de valoare mare, conectată în paralel cu circuitul de sarcină. Se va analiza inițial cazul redresorului monoalternanță, din figura 2.11.a, pentru a ilustra principiul și apoi se va extinde conceptul la redresorul bialternanță.

Formele de undă ale tensiunii (în regim permanent), pentru cazul unui semnal sinusoidal de intrare sunt prezentate în figura 2.11.b. Componentele circuitului (sursa, dioda și condensatorul) s-au considerat ideale iar sarcina s-a presupus a fi pur rezistivă ( $R$ ).

În cazul în care rezistența de sarcină  $R$  lipsește, condensatorul se va încărca la valoarea maximă a tensiunii de intrare (în timpul primei alternanțe pozitive). După atingerea valorii de vârf, tensiunea de intrare scade și dioda se blochează. Teoretic, sarcina înmagazinată în condensator și deci și tensiunea pe condensator rămân constante. Astfel, tensiunea de ieșire va fi egală cu valoarea de vârf pozitivă a intrării și de aceea circuitul se mai numește și redresor de vârf. Tensiunea inversă maximă pe diodă este dublul tensiunii de vârf de la intrare.

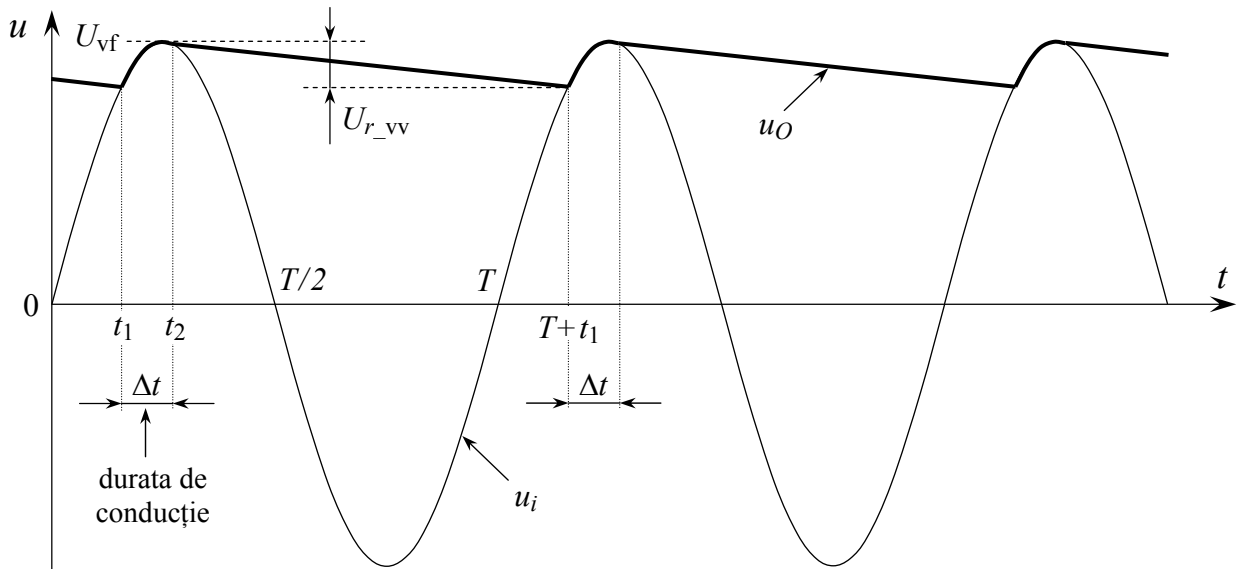


În cazurile practice, în care rezistența de sarcină are o valoare finită, condensatorul se încarcă tot la valoarea de vârf pozitivă a intrării, însă, odată cu blocarea diodei (datorită scăderii tensiunii de intrare) condensatorul se va descărca prin rezistența de sarcină  $R$ . Condensatorul se descarcă până când tensiunea la intrare depășește tensiunea pe condensator. În acest moment dioda se deschide din nou și condensatorul se încarcă la valoarea de vârf a intrării după care procesul se repetă. Pentru a menține tensiunea la ieșire cât mai constantă condensatorul trebuie ales cât mai mare astfel încât constanta de timp  $RC$  să fie mult mai mare decât timpul de descărcare (timp care este ceva mai mic decât perioada semnalului  $T$ ).



**Fig. 2.11.a.** Redresorul monoalternanță cu filtru  $C$ ;

Circuitul este completat cu sursa de tensiune la intrare și cu sarcina la ieșire.



**Fig. 2.11.b.** Formele de undă de la redresorul monoalternanță cu filtru capacitiv (cazul ideal cu  $RC=5T$ )

Analiza în detaliu a circuitului permite determinarea mărimilor de interes: valoarea minimă și medie a tensiunii de ieșire și factorul de ondulație.

Dioda conduce în intervalul de conducție  $\Delta t$  între momentele  $t_1$  și  $t_2$  (conform figurii 2.11.b). În acest timp tensiunea de ieșire va fi egală cu cea de intrare (pentru o diodă ideală) și condensatorul se încarcă la valoarea de vârf a tensiunii de intrare. Deoarece  $RC \gg T$ , durata de conducție a diodei este mult mai mică decât perioada semnalului ( $\Delta t \ll T$ ). Curenții din circuit sunt:

$$i_O = \frac{u_O}{R}, \quad i_A = i_C + i_O = C \frac{du_i}{dt} + i_O \quad (u_C = u_O = u_i, \text{ dioda ideală conduce}). \quad (2.18)$$

Dioda se blochează la momentul  $t_2$ , imediat după maximum tensiunii de intrare. Valoarea exactă a lui  $t_2$  poate fi calculată anulând curentul  $i_A$  prin diodă, în ecuația (2.18). Între momentele  $t_2$  și  $T+t_1$  dioda blocată izolează sursa de sarcină și condensatorul se descarcă exponențial pe  $R$ :

$$u_O = \sqrt{2} U_i \cdot \exp\left(-\frac{t}{RC}\right) = U_{vf} \cdot \exp\left(-\frac{t}{RC}\right). \quad (2.19)$$

Deoarece  $\Delta t \ll T$ , descărcarea condensatorului durează aproape întreaga perioadă a semnalului:  $T+t_1-t_2 = T-\Delta t \cong T$ . La sfârșitul perioadei de descărcare tensiunea la ieșire va fi minimă:

$$u_{O\min} = U_{vf} \cdot \exp\left(-\frac{T-\Delta t}{RC}\right) \cong U_{vf} \cdot \exp\left(-\frac{T}{RC}\right). \quad (2.20)$$

Întrucât  $T \ll RC$ , se poate utiliza aproximația:  $\exp(-T/RC) \cong 1 - T/RC$  și se obține (din relația anterioară) valoarea vârf la vârf a tensiunii de undulație (sau riplu):

$$u_{O\min} = U_{vf} - U_{r\_vv} \cong U_{vf} \left(1 - \frac{T}{RC}\right) \Rightarrow U_{r\_vv} \cong U_{vf} \frac{T}{RC}. \quad (2.21)$$

**Tensiunea medie la ieșire** se poate calcula ca medie a valorilor extreme ale  $u_O$ :

$$U_O = \frac{U_{vf} + u_{O\min}}{2} = U_{vf} - \frac{U_{r\_vv}}{2} = U_{vf} \left(1 - \frac{T}{2RC}\right). \quad (2.22)$$

**Factorul de undulație** al unei tensiunii este valoarea efectivă a componentei pulsatorii raportată la valoarea medie (componenta de  $cc$ ) a acelei tensiuni. Componenta pulsatorie a tensiunii de la ieșirea redresorului cu filtru capacitiv are o formă aproximativ triunghiulară. Se poate demonstra că pentru o tensiune triunghiulară:  $U_{vf}/U_{ef} = \sqrt{3}$ . Factorul de undulație  $\gamma$  este:

$$\gamma = \frac{U_{r\_ef}}{U_O} = \frac{U_{r\_vv}}{2\sqrt{3} \cdot U_O} \cong \frac{T}{\sqrt{3} \cdot (2RC - T)} \left( \cong \frac{1}{2\sqrt{3}} \cdot \frac{T}{RC} \right). \quad (2.23)$$

Se observă că pentru a obține un factor de undulație cât mai mic trebuie maximizat produsul  $RC$ . Deoarece durata de blocare a diodei este de fapt mai mică decât perioada, rezultatele obținute sunt acoperitoare, deci factorul de undulație real este mai mic decât cel calculat.

O altă metodă de calcul se bazează pe calcularea variației sarcinii primite de condensator în timpul încărcării și a variației sarcinii cedate de condensator în timpul descărcării:

$$\Delta Q_{\text{inc}} = C \cdot \Delta u_C = C \cdot U_{r\_vv}, \quad \Delta Q_{\text{desc}} = I_O \cdot \Delta t_{\text{desc}} \cong I_O \cdot T. \quad (2.24)$$

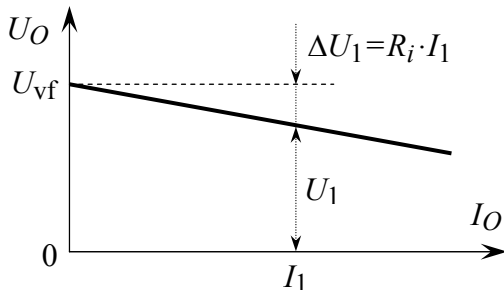
Pe baza principiului conservării sarcinii electrice se obține variația tensiunii pe sarcină:

$$\Delta Q_{\text{desc}} = \Delta Q_{\text{inc}} \Rightarrow U_{r\_vv} = \frac{I_O \cdot T}{C} = \frac{2\pi \cdot I_O}{\omega C} = 2\pi \cdot I_O \cdot X_C. \quad (2.25)$$

Calculând tensiunea medie de ieșire se obține **caracteristica externă a redresorului**, care arată dependența tensiunii medii de ieșire de curentul mediu de ieșire:

$$U_O = U_{vf} - \frac{U_{r\_vv}}{2} = U_{vf} - I_O \cdot \pi \cdot X_C = U_{vf} - I_O \cdot R_i. \quad (2.26)$$

Caracteristica externă a redresorului, conformă cu ecuația precedentă, este reprezentată în figura 2.12. Rezistența internă a redresorului monoalternanță ideal (alcătuit din elemente ideale) este proporțională cu reactanța capacitivă a condensatorului:  $R_i = \pi X_C$ .



**Fig. 2.12.** Caracteristica externă a redresorului ideal cu filtru capacitiv;

S-au figurat tensiunea medie  $U_1$  și căderea de tensiune  $\Delta U_1$  pe  $R_i$ , care apar la curentul  $I_1$ .

**Observație:** Durata de conducție a diodei  $\Delta t$  se poate determina cu  $u_{O\min}$  calculat din (2.21),

$u_{O\min} = U_{vf} \cos \alpha$ ,  $\alpha = \arccos \frac{u_{O\min}}{U_{vf}}$  și  $\Delta t = \alpha \frac{T}{2\pi}$  (cu  $\alpha$  în radiani). Cu:  $U_{r\_vv} = \frac{T - \Delta t}{RC}$  se pot

calcula mai exact parametrii redresorului. În practică, un astfel de calcul nu se justifică datorită impreciziei componentelor (toleranța la un condensator de filtrare cu Al poate fi  $-10\% \dots +50\%$ ).

### Efectul rezistenței interne a sursei și al tensiunii de prag a diodei

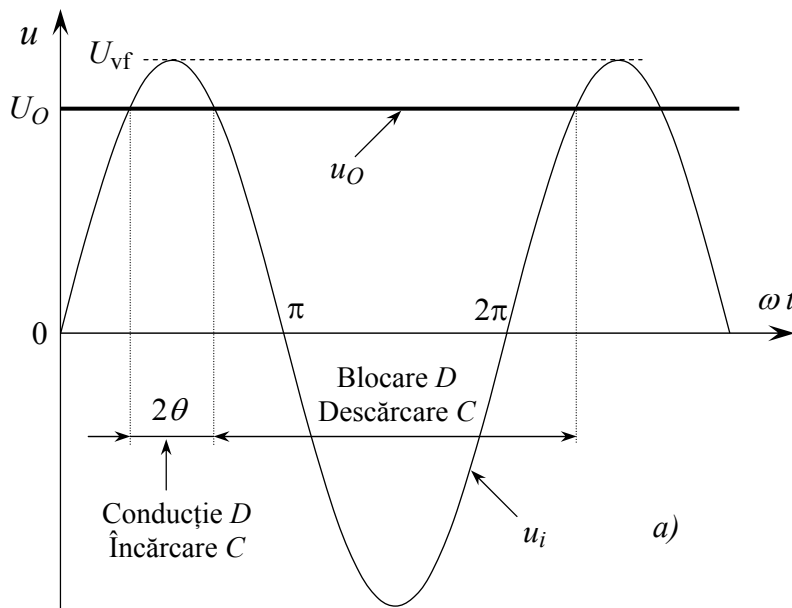
În cazul cel mai des întâlnit în practică, al redresorului cu transformator de intrare, rezistența internă a sursei poate fi considerată egală cu rezistența echivalentă a transformatorului văzută în secundar,  $R_{tr}$  din relația (2.9):

$$R_i = R_{tr}. \quad (2.27)$$

Pentru simplitate se va considera cazul unui condensator infinit și al unei diode ideale, caz în care ondulațiile la ieșire sunt nule, conform relației (2.21). Formele de undă pentru acest caz sunt prezentate în figura 2.13.a, în care s-au reprezentat tensiunile în funcție de unghiul  $\omega t$ .

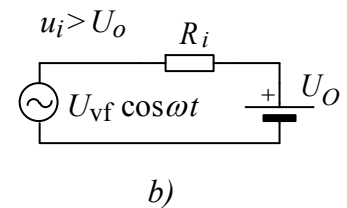
Dacă se notează cu  $\theta$  semiunghiul de conducție al diodei (conform figurii) atunci tensiunea și curentul de ieșire se pot determina cu relațiile:

$$U_O = U_{vf} \cos \theta, \quad I_O = \frac{U_O}{R} = \frac{U_{vf} \cos \theta}{R}. \quad (2.28)$$



**Fig. 2.13.** Redresorul cu  $C$  infinit și  $R_i$  finită

- a) Formele de undă  
b) Schema echivalentă valabilă în timpul încărcării capacității



Schema echivalentă în timpul încărcării, pentru  $u_i > U_O$ , este prezentată în figura 2.13.b. Pentru a calcula semiunghiul de conducție  $\theta$ , se va folosi principiul conservării energiei electrice aplicat sursei de tensiune echivalentă de la ieșirea redresorului. Surplusul de curent primit de sursa echivalentă pe durata unei perioade este egal cu curentul furnizat de aceeași sursă către sarcină. Curentul de încărcare se determină prin integrare conform schemei din figura 2.13.b:

$$I_{\text{inc}} = \frac{2}{2\pi} \int_0^\theta \frac{U_{vf} \cdot \cos \omega t - U_{vf} \cos \theta}{R_i} d\omega t = \frac{U_{vf}}{\pi \cdot R_i} (\sin \theta - \theta \cos \theta). \quad (2.29)$$

Prin egalarea celor doi curenți  $I_{\text{inc}} = I_{\text{desc}} (=I_O)$  se obține:

$$\frac{U_{vf}}{\pi \cdot R_i} (\sin \theta - \theta \cos \theta) = \frac{U_{vf} \cos \theta}{R} \Rightarrow \frac{R_i}{R} = \frac{\text{tg} \theta - \theta}{\pi} = k_i. \quad (2.30)$$

Raportul dintre rezistența internă și rezistența de sarcină s-a notat cu  $k_i$ . Unghiul  $\theta$  se poate determina din reprezentarea grafică a funcției  $k_i(\theta)$ . Explicitarea funcției inverse se poate face prin liniarizarea funcției reprezentată la scară logaritmică. Pentru  $k_i = 0,03 \dots 0,4$  funcția aproximată este:

$$\theta = 0,96 \cdot \lg k_i + 2,4 \quad [\text{radiani}]. \quad (2.31)$$

Pentru a ține seama de căderea de tensiune pe diodă,  $U_D$ , se consideră o tensiune maximă redusă la intrarea redresorului:  $(U_{vf} - U_D)$  în locul tensiunii  $U_{vf}$ .

### 2.2.6 Redresoare bialternanță cu filtru capacitiv

Redresoarele bialternanță pot fi realizate folosind schema cu transformator cu punct median sau schema în punte. Pentru a obține redresoare cu filtru capacitiv se completează circuitele din figurile 2.9.a sau 2.10.a cu o capacitate la ieșire, în paralel cu sarcina  $R$ . Capacitatea trebuie să fie mare, astfel încât constanta de timp a circuitului să fie mult mai mare decât perioada semnalului de la ieșire:  $RC \gg T/2$ . Frecvența undulației de la ieșire este dublul frecvenței semnalului de intrare; forma semnalului la ieșire este prezentată în figura 2.14. Rezultatele de la redresorul monoalternanță se pot utiliza ținând seama de modificarea perioadei undulațiilor de la ieșire; în principiu se înlocuiește perioada semnalului de intrare  $T$  cu  $T/2$ .

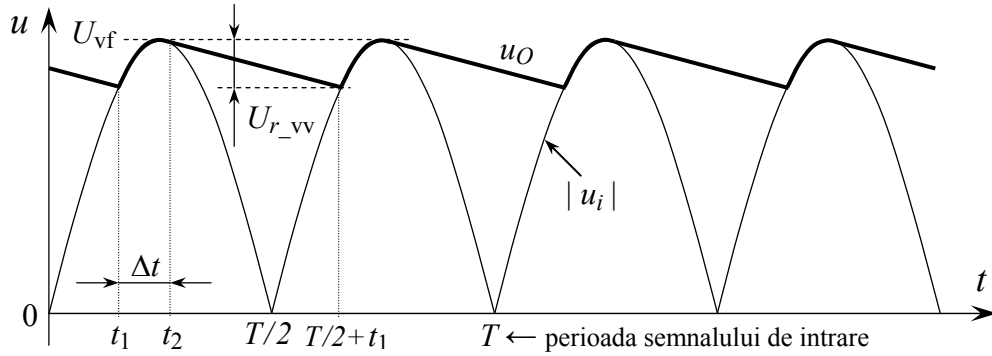


Fig. 2.14. Formele de undă la redresorul bialternanță cu filtru capacitiv (cazul ideal cu  $RC \cong 2,5T$ )

Tensiunea vârf la vârf a ondulației (riplului) se poate calcula cu relația:

$$U_{r\_vv} \cong U_{vf} \frac{T}{2 \cdot RC} \quad \text{și valoarea efectivă} \quad U_r \cong \frac{U_{r\_vv}}{2\sqrt{3}}, \quad (2.32)$$

de unde rezultă tensiunea medie și factorul de ondulație la ieșire:

$$U_O = U_{vf} - \frac{U_{r\_vv}}{2} = U_{vf} \left(1 - \frac{T}{4RC}\right), \quad \gamma = \frac{U_r}{U_O} \cong \frac{T}{\sqrt{3} \cdot (4RC - T)} \left( \cong \frac{1}{4\sqrt{3}} \cdot \frac{T}{RC} \right). \quad (2.33)$$

Dacă se compară aceste expresii cu cele de la redresorul monoalternanță se observă că este necesară o capacitate cu valoare înjumătățită pentru a obține același efect de filtrare.

#### Efectul tensiunii de prag a diodelor și al rezistenței interne a sursei

Analiza precedentă a presupus implicit un circuit realizat cu elemente ideale. Dacă se ține cont de tensiunea pe diode, tensiunea de vârf a sursei  $U_{vf}$  trebuie înlocuită cu  $(U_{vf} - U_D)$  pentru redresorul cu transformator cu punct median, respectiv cu  $(U_{vf} - 2U_D)$  pentru redresorul în punte.

La redresoarelor cu transformator, rezistența internă a sursei ( $R_i \cong R_{tr}$ ) devine un element definitoriu al tensiunii de ieșire:

$$U_O = U_{vf} \cos \theta, \quad (2.34)$$

unde  $\theta$  este semiunghiul de conducție al diodelor. Cu metoda de la redresorul monoalternanță, se obține o relație între  $k_i$  (raportul dintre rezistența internă și rezistența de sarcină) și  $\theta$ :

$$k_i = \frac{R_i}{R} = 2 \cdot \frac{\tan \theta - \theta}{\pi}, \quad \text{sau} \quad \theta \cong 0,48 \cdot \lg k_i + 1,2 \text{ [radiani]}. \quad (2.35)$$

Relația aproximativă este valabilă pentru  $k_i = 0,04 \dots 0,3$  cu o eroare mai mică decât 2%.

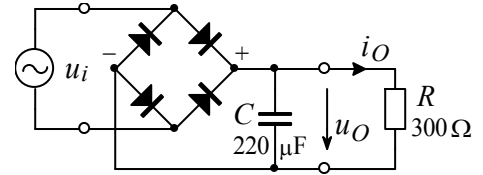
Relațiile precedente care presupun un condensator de filtrare de valoare foarte mare (teoretic infinit) se dovedesc a fi suficient de exacte și în cazul circuitelor uzuale (cu condiția ca  $RC \gg T$ ).

**Problemă de analiză**

Dacă tensiunea de intrare este:  $u_i = 30 \sin 100\pi t$  (V) și componentele redresorului din figură se presupun ideale:

a) să se determine tensiunea pulsatorie și tensiunea medie de ieșire precum și factorul de ondulație;

b) să se redimensioneze condensatorul de filtrare pentru a obține un factor de ondulație de 1%.



**Rezolvare:** Punctul a) presupune o aplicare directă a relațiilor (2.32) și (2.33). Astfel tensiunea ondulatorie vârf la vârf și efectivă este:

$$U_{r\_vv} \cong U_{vf} \frac{T}{2 \cdot RC} = 30 \cdot \frac{20m}{2 \cdot 300 \cdot 220\mu} = 30 \cdot 0,15 = 4,5V, \quad U_r = \frac{U_{r\_vv}}{2 \cdot \sqrt{3}} = 1,3V,$$

iar tensiunea de ieșire și factorul de ondulație sunt:

$$U_O = U_{vf} \left(1 - \frac{T}{4RC}\right) = 30 \cdot \left(1 - \frac{0,15}{2}\right) = 27,7V, \quad \gamma = \frac{U_r}{U_O} = \frac{1,3}{27,7} = 0,047 = 4,7\%.$$

Punctul b) este în fapt o problemă de proiectare. Capacitatea care conduce la un anumit factor de ondulație se calculează din formula (2.33) prin explicitarea lui  $C$  din formulă. Se va utiliza indicele „b” pentru valorile specifice punctului b.

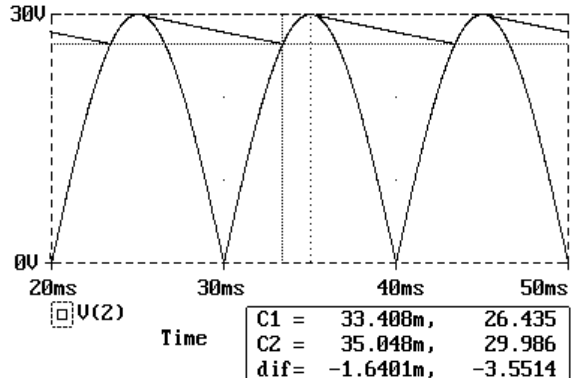
$$C_b = \frac{T}{4R} \left(1 + \frac{1}{\sqrt{3} \cdot \gamma_b}\right) = \frac{20m}{4 \cdot 300} \left(1 + \frac{1}{\sqrt{3} \cdot 0,01}\right) = 16,7\mu \cdot 58,7 = 979\mu F \cong 1000 \mu F.$$

O metodă mai expeditivă, cu grad de aproximație rezonabil, se bazează pe proporționalitatea (aproximativă) dintre capacitățile de filtrare și inversele factorilor de ondulație:

$$C_b = C \cdot \frac{\gamma}{\gamma_b} = 220\mu \cdot \frac{4,7}{1} = 1034\mu F \cong 1000 \mu F.$$

**Verificarea metodei:**

Rezultatele obținute prin **simularea circuitului** (din figura alăturată) diferă destul de mult de cele calculate. Astfel la punctul a) valoarea vârf la vârf a tensiunii ondulatorii este de 3,6V față de 4,5V cât a rezultat din calcul.



În procente această diferență este:

$$\frac{U_{r\_vv}(\text{calc}) - U_{r\_vv}(\text{sim})}{U_{r\_vv}(\text{sim})} \cdot 100 = \frac{0,9}{3,6} = +25\%$$

Această diferență se datorează neglijării duratei de conducție a diodelor. S-a presupus că timpul de descărcare al condensatorului (între două încărcări succesive) este jumătate din perioada semnalului de intrare,  $T/2 = 10ms$ . Dacă se ține seama de durata de conducție a diodelor, care este de circa 1,6ms (conform simulării), durata descărcării condensatorului este de 8,4ms (restul semiperioadei); tensiunea de ondulație vârf la vârf corectată este:

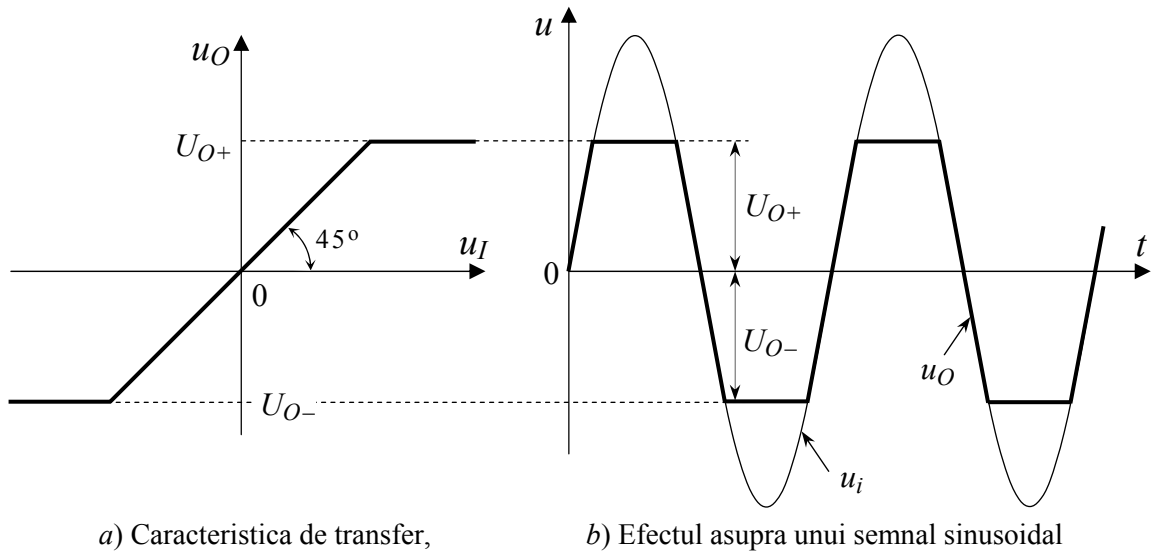
$$U_{r\_vv}(\text{cor}) = U_{r\_vv}(\text{calc}) \cdot \frac{t_{C(\text{sim})}}{T/2} = 4,5 \cdot \frac{8,4m}{10m} = 3,8V = U_{r\_vv}(\text{sim}) + 5\%.$$

**Concluzia** care se impune este că rezultatele obținute conform metodei de calcul prezentate pot avea o eroare relativă mare (25% în acest caz). **Rezultatele sunt** însă întotdeauna **acoperitoare**, în sensul că ondulația calculată este mai mare decât cea realizată, deoarece la calcule se consideră durata de descărcare maximă posibilă. Practic, alegerea unui condensator mai mare decât cel necesar conduce la ondulații mai reduse (decât cele calculate) ceea ce este mai convenabil. Un calcul mai exact ar fi dificil și nu se justifică practic datorită toleranțelor mari ale condensatoarelor de filtrare (de exemplu pentru condensatoare electrolitice cu Al toleranța poate fi:  $-10\% \dots +50\%$ ).

### 2.2.7 Circuite de limitare cu diode

Pentru a tăia porțiuni ale unui semnal deasupra sau dedesubtul unui anumit nivel se pot utiliza circuite cu diode numite limitatoare sau circuite de tăiere. Caracteristica de transfer a unui limitator pasiv (fără elemente active de amplificare) este dată în figura 2.15.a. Pentru simplitate se consideră cazul unui circuit cu factor de transfer unitar (pentru tensiunile aflate între limitele extreme). Această caracteristică poate fi exprimată analitic astfel:

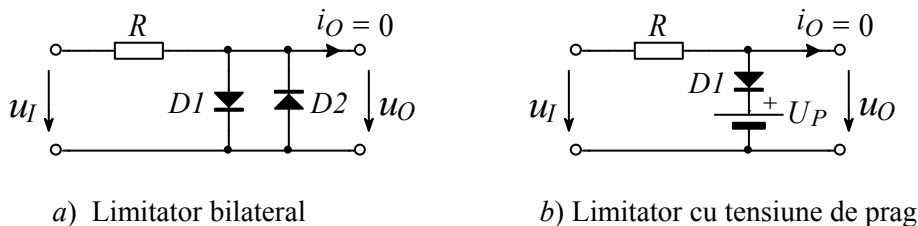
$$\begin{cases} u_O = U_{O+} & \text{dacă } u_I \geq U_{O+} \\ u_O = u_I & \text{dacă } U_{O-} < u_I < U_{O+} \\ u_O = U_{O-} & \text{dacă } u_I \leq U_{O-} \end{cases} \quad (2.36)$$



**Fig. 2.15.** Limitator bilateral simetric pasiv:

Cel mai simplu limitator de acest tip se poate realiza cu două diode conectate ca în figura 2.16.a. Considerând tensiunea de prag a diodelor  $U_D$ , funcționarea circuitului poate fi descrisă cu ecuațiile:

$$\begin{cases} u_O = U_D & \text{dacă } u_I \geq U_D & ; \text{ conduce } D1, D2 \text{ este blocată} \\ u_O = u_I & \text{dacă } -U_D < u_I < U_D & ; \text{ ambele diode sunt blocate} \\ u_O = -U_D & \text{dacă } u_I \leq -U_D & ; \text{ conduce } D2, D1 \text{ este blocată} \end{cases} \quad (2.37)$$



**Fig. 2.16.** Limitatoare simple cu diode

Rezistența  $R$  este introdusă în circuit pentru a prelua diferența de tensiune dintre intrare și ieșire atunci când tensiunea de intrare este în afara valorilor limită. Dacă tensiunea este între cele două valori limită, căderea de tensiune pe  $R$  este nulă deoarece curentul prin  $R$  este nul (curenții prin diodele blocate au valoarea practic zero și curentul de ieșire este nul – ieșirea este în gol):

$$i_R = i_{D1} - i_{D2} + i_O = 0 - 0 + 0 = 0 \Rightarrow u_O = u_I - u_R = u_I - R \cdot i_R = u_I.$$

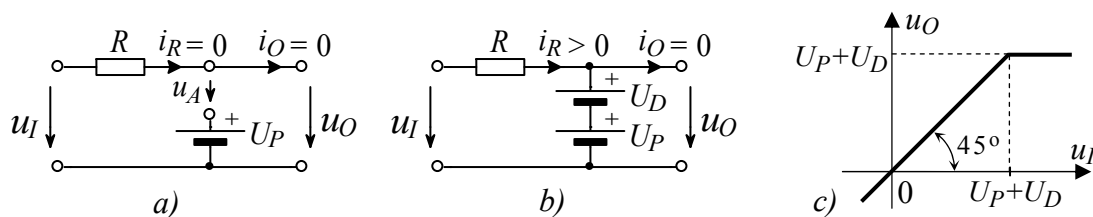
Circuite de limitare bilaterale cu diode sunt utilizate la intrarea amplificatoarelor de semnal mic (pentru a limita impulsurile accidentale la cel mult 0,7V, protejând astfel amplificatorul) sau la intrarea voltmetrelor electronice pentru a reduce pericolul de distrugere al acestora în cazul aplicării unei tensiuni în afara domeniului de măsură.

Dacă tensiunile normale la intrarea circuitului protejat au valori mai mari decât tensiunea de deschidere a diodei, atunci se poate utiliza limitatorul cu tensiune de prag, care este prezentat în figura 2.16.b în varianta unipolară (care limitează tensiunile pozitive, în acest caz). Și acest limitator lucrează în gol, adică fără sarcină conectată la ieșire (eventualul circuit conectat la ieșire are o rezistență internă foarte mare și absoarbe un curent practic nul). Cele două stări posibile ale circuitului depind de starea diodei. Considerând modelul diodei cu tensiune de prag rezultă:

$$\begin{cases} u_O = u_I & \text{dacă } u_I < U_D + U_P \text{ ; dioda este blocată} \\ u_O = U_D + U_P & \text{dacă } u_I \geq U_D + U_P \text{ ; dioda conduce} \end{cases} \quad (2.38)$$

Caracteristica de transfer a limitatorului cu tensiune de prag, trasată în figura 2.17.c, este graficul funcției descrisă pe porțiuni de relațiile precedente.

Schemele echivalente ale limitatorului din figura 2.17.a și b sunt utile la analiza circuitului.



**Fig. 2.17.** Limitatorul cu tensiune de prag. Schemele echivalente:

a) cu dioda blocată, b) cu dioda în conducție. c) Caracteristica de transfer

Analiza circuitului este principal identică cu cea de la problema definită în figura 2.8. Se consideră inițial dioda blocată și se înlocuiește cu o întrerupere de circuit, figura 2.17.a. Dioda se menține blocată cât timp tensiunea pe diodă  $u_A$ , este mai mică decât tensiunea de prag  $U_D$ .

$u_A = u_I - R \cdot i_R - U_P < U_D$ ,  $D$  este blocată,  $i_A = 0$ ,  $i_R = i_A + i_O = 0$  și din:

$$u_A = u_I - U_P < U_D \Rightarrow u_I < U_D + U_P \text{ și } u_O (= u_I - R \cdot i_R) = u_I.$$

La limita intrării în conducție a diodei,  $u_A = U_D$ , curentul prin diodă este încă nul, căderea de tensiune pe  $R$  este nulă,  $u_A = u_I - R \cdot i_R - U_P = u_I - U_P$  și  $u_I = U_D + U_P$ . Creșterea tensiunii de intrare peste această valoare conduce la apariția unui curent prin rezistență și prin diodă; dioda în conducție se înlocuiește cu sursa de tensiune  $U_D$ , ca în figura 2.17.b:

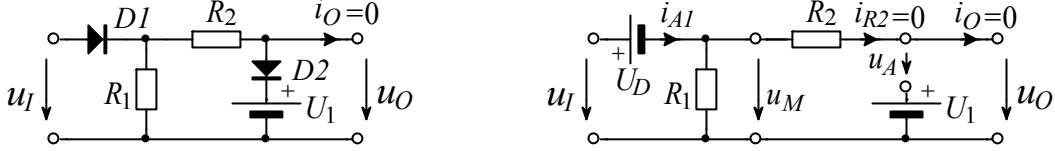
$$u_I > U_D + U_P \Rightarrow i_R = i_A > 0, D \text{ conduce, } u_A = U_D, u_O (= u_A + U_P) = U_D + U_P.$$

Circuitele de limitare pot avea diferite configurații în funcție de nivelele semnalului care trebuie îndepărtate. Un exemplu de circuit de limitare este analizat în problema următoare.

**Problemă de analiză**

Pentru circuitul din figura 2.18.a se consideră  $U_D=0.6\text{V}$  și  $U_1=3\text{V}$ .

- Să se exprime analitic și să se reprezinte grafic caracteristica de transfer  $u_O(u_I)$  a circuitului;
- Să se exprime analitic și să se reprezinte grafic tensiunea de ieșire pentru o tensiune de intrare sinusoidală:  $u_i = \sqrt{2} U_i \cdot \sin \omega t = 6 \sin(100\pi \cdot t) \text{V}$ .



**Fig. 2.18.** a) Schema de principiu, b) Schema echivalentă cu  $D1$  în conducție și  $D2$  blocată

**Rezolvare:** Primul pas este analiza problemei. Circuitul este compus din redresorul monoalternanță  $D1-R1$  și limitatorul cu tensiune de prag  $R2-D2-U_1$ . Se notează cu  $u_M$  tensiunea mediană, dintre cele două circuite. O posibilitate de analiză ar fi studierea succesivă a celor două circuite și combinarea rezultatelor. Varianta propusă va analiza circuitul în totalitate în funcție de stările posibile ale celor două diode.

O observație utilă pentru înțelegerea funcționării se referă la relațiile cauză-efect din circuit; cauza apariției curenților în circuit sunt sursele de tensiune. În acest caz sursa de tensiune se presupune că există implicit la intrare, chiar dacă nu este figurată ca atare. Sursa  $U_1$  este o sursă pasivă datorită diodei  $D2$ ; aceasta înseamnă că  $U_1$  nu poate furniza curent decât atunci când o sursă externă ( $u_I$ ) deschide dioda  $D2$ . La ieșirea circuitului, notația  $u_O$  nu semnifică existența unei surse de tensiune ci este doar denumirea care permite identificarea respectivei tensiuni (se poate imagina un voltmetru ideal care măsoară respectiva tensiune).

Deoarece circuitul conține două diode și fiecare diodă poate avea două stări (blocată sau în conducție) sunt posibile patru variante, care vor fi analizate în continuare. Dacă ambele diode sunt blocate, curentul prin acestea este nul,  $i_{A1}=i_{A2}=0$ . Sursa  $U_1$  nu poate furniza curent prin dioda  $D2$  blocată. Curentul spre ieșire este și el nul conform datelor inițiale ale problemei (circuitul lucrează în gol). De aceea, cât timp  $D1$  este blocată curentul prin  $R1$  este nul:  $i_{R2}=i_O+i_{A2}=0$ ,  $i_{R1}=i_{A1}-i_{R2}=0$  și tensiunea mediană este nulă:  $u_M=R1 \cdot i_{R1}=0$ . Pe de altă parte curentul prin  $R2$  este nul, de aceea și tensiunea de ieșire va fi nulă:  $u_O=u_M-R2 \cdot i_{R2}=0$ .  $D1$  este blocată pentru  $u_{A1}<U_D$ , adică  $u_{A1}=u_I-R1 \cdot i_{R1}=u_I<U_D$ .

La limita intrării în conducție a diodei  $D1$ , curentul prin diodă este încă nul și căderea de tensiune pe  $R1$  este nulă:  $u_{A1}=u_I-R1 \cdot i_{R1}=u_I=U_D$ . Pentru  $u_I>U_D$   $D1$  intră în conducție,  $u_{A1}=U_D$  și tensiunea mediană  $u_M=u_I-u_{A1}$  devine  $u_M=u_I-U_D$ . Limitatorul cu tensiune de prag,  $R2-D2-U_1$ , are tensiunea  $u_M$  la intrare și  $u_O$  la ieșire și funcționează conform relațiilor (2.38). Pragul de conducție al diodei  $D2$  este la tensiunea  $u_M=U_1+U_D=u_I-U_D$  adică  $u_I=U_1+2U_D$ . Funcționarea circuitului poate fi descrisă cu relațiile:

$$\begin{cases} u_O = u_M = 0 & \text{dacă } u_I < U_D & , \text{ ambele diode sunt blocate;} \\ u_O = u_I - U_D & \text{dacă } U_D \leq u_I < 2 \cdot U_D + U_1 & , \text{ conduce } D1; D2 \text{ este blocata;} \\ u_O = U_D + U_1 & \text{dacă } u_I \geq 2 \cdot U_D + U_1 & , \text{ conduc ambele diode.} \end{cases}$$

Cea de-a patra combinație principal posibilă,  $D1$  blocată și  $D2$  în conducție nu se poate realiza în cazul acestui circuit; pentru  $D1$  blocată,  $u_M=0$ , situație în care și  $D2$  este blocată.



Ținând seama de valorile tensiunilor date în enunțul problemei caracteristica statică este descrisă analitic de ecuațiile:

$$\begin{cases} u_O = 0 & \text{dacă } u_I < 0,6\text{V} \\ u_O = u_I - 0,6\text{V} & \text{dacă } 0,6\text{V} \leq u_I < 4,2\text{V} \\ u_O = 3,6\text{V} & \text{dacă } u_I \geq 4,2\text{V} \end{cases}$$

Reprezentarea caracteristicii de transfer a circuitului din figura alăturată este de fapt o reprezentare grafică a acestui sistem de ecuații (o funcție matematică descrisă pe porțiuni).

Forma analitică a tensiunii de ieșire se obține înlocuind tensiunea  $u_I$ , în sistemul de ecuații anterior, conform enunțului. Unghiurile de deschidere ale diodelor și respectiv momentele de timp la care diodele se deschid se calculează cu relațiile:

$$u_{i1} = 6 \sin \alpha_1 = 6 \sin (100\pi \cdot t_1) = 0,6 \Rightarrow \alpha_1 = \arcsin \frac{0,6}{6} = 0,1 \text{ rad}, \quad t_1 = \frac{0,1}{100\pi} = 0,32 \text{ ms},$$

$$u_{i2} = 6 \sin \alpha_2 = 6 \sin (100\pi \cdot t_2) = 4,2 \Rightarrow \alpha_2 = \arcsin \frac{4,2}{6} \cong 0,78 \text{ rad}, \quad t_2 \cong \frac{0,78}{100\pi} = 2,5 \text{ ms}.$$

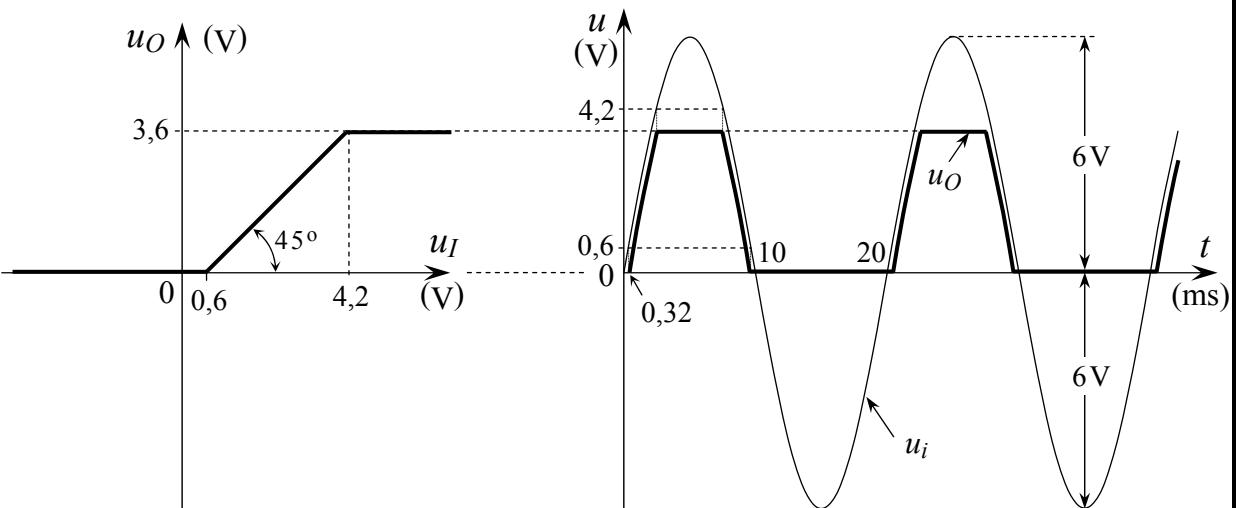


Fig. 2.19. a) Caracteristica de transfer,

b) Reprezentarea grafică a tensiunii de ieșire

Tensiunea de intrare și tensiunea de ieșire sunt reprezentate în figura 2.19.b. Se observă că tensiunea de ieșire poate fi obținută din tensiunea de intrare prin translatarea acesteia cu 0,6V în jos și tăierea valorilor negative și a celor care depășesc 3,6V.

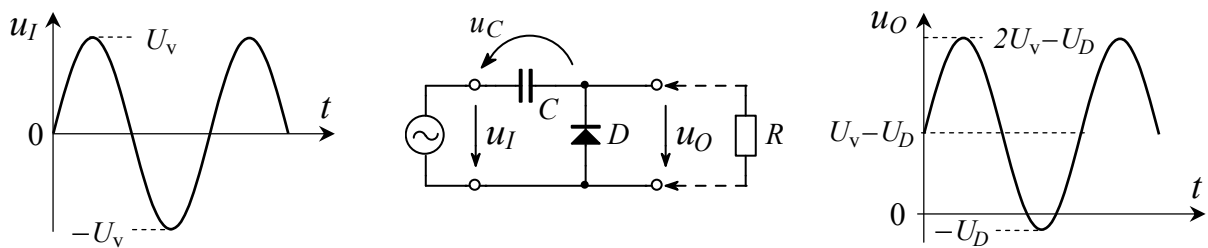
## 2.2.8 Circuite de refacere a nivelului de curent continuu (cc)

Acest tip de circuit fixează vârful (negativ sau pozitiv al) semnalului la aproximativ zero volți. Dintr-un alt punct de vedere, circuitul adaugă la semnalul de *ca* o tensiune de *cc* (aproximativ egală cu tensiunea de vârf a semnalului) sau reface nivelul de *cc* al unui semnal de *ca*.

Circuitul prezentat în figura 2.20. poate fi privit ca fiind redresorul cu filtru capacitiv (din figura 2.11.a.) la care tensiunea de ieșire se preia de pe diodă și nu de pe condensator. Datorită polarității diodei, condensatorul se încarcă la tensiunea  $u_C$  egală cu valoarea de vârf negativă a tensiunii de intrare (mai puțin căderea de tensiune pe diodă  $U_D$ ):  $u_C = U_v - U_D$ . Dacă rezistența de sarcină lipsește, tensiunea pe condensator rămâne constantă (după încărcare) și dioda se blochează.

Practic, constanta de timp a circuitului trebuie să fie mult mai mare decât perioada semnalului:

$$R \cdot C \gg T, \text{ sau mai concret } R \cdot C \geq 5 \cdot T. \quad (2.39)$$



**Fig. 2.20.** Circuit de refacere a nivelului de cc cu semnal sinusoidal și fără sarcină ( $R$  foarte mare)

În acest caz descărcarea condensatorului în timpul unei perioade (până la o nouă încărcare) este ne semnificativă (mai mică decât 1% din nivelul semnalului). Deoarece tensiunea de ieșire este:

$$u_O = u_C + u_I = (U_v - U_D) + u_I, \quad (2.40)$$

forma de undă de la ieșire va fi identică cu cea de la intrare, dar deplasată cu o tensiune constantă:  $u_C = U_v - U_D$ , după cum se vede în partea dreaptă a figurii 2.20. Prin inversarea sensului diodei, semnalul va fi deplasat cu o tensiune negativă, vârful pozitiv al semnalului fiind fixat la o tensiune aproximativ nulă (mai exact  $+U_D$ ).

Acest circuit este folosit la polarizarea amplificatoarelor în clasă C, la refacerea nivelului de alb în receptoarele de televiziune și la demodularea semnalelor modulare în impulsuri.

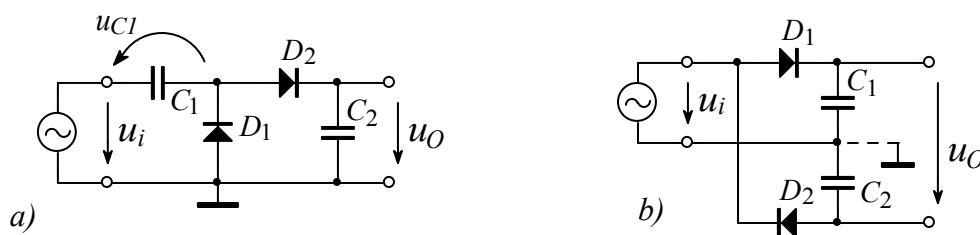
Prin canalul de comunicație se transmite doar componenta de ca a semnalului modulat în impulsuri (PWM – pulse width modulation). La recepție se refacă nivelul de cc și apoi, la ieșirea unui filtru trece-jos RC simplu, se obține semnalul modulator (proporțional cu valoarea medie a semnalului transmis).

## 2.2.9 Multiplicatoare de tensiune

Aceste circuite sunt de fapt redresoare care multiplică tensiunea de vârf de la intrare de un număr întreg de ori: de două ori – dubloarele de tensiune, de trei ori – triploarele ș.a.m.d.

### Dubloare de tensiune

Circuitele de dublare a tensiunii îndeplinesc funcția de detector vârf la vârf, deci tensiunea de ieșire este aproximativ egală cu valoarea vârf-la-vârf a tensiunii de intrare:  $U_O = U_{i\_vv}$ . În figura 2.21 sunt prezentate două versiuni de dublare de tensiune.



**Fig. 2.21.** Dubloare de tensiune: a) cu punct de masă, b) sursa dublă de tensiune.

Primul dublor de tensiune este alcătuit din două secțiuni înseriate: un circuit de refacere a componentei de cc ( $C_1$ - $D_1$ ) și un redresor monoalternanță ( $D_2$ - $C_2$ ). Acest dublor de tensiune se caracterizează prin existența unui punct comun intrării și ieșirii, punct care poate fi utilizat ca referință de tensiune și care reprezintă masa electrică a circuitului respectiv.

La analiza de principiu a circuitului se consideră diodele ideale și tensiunea de intrare sinusoidală:  $u_i = U_v \sin \omega t$ . În timpul alternanței negative, dioda  $D_1$  este polarizată direct și  $D_2$  este polarizată invers. Condensatorul  $C_1$  se încarcă la valoarea de vârf negativă a tensiunii de intrare  $u_{C1} = U_v$ . În timpul alternanței pozitive, dioda  $D_2$  este polarizată direct și  $D_1$  este polarizată invers.

Tensiunea de pe condensatorul  $C_1$  se adaugă la tensiunea pozitivă de intrare și condensatorul  $C_2$  se încarcă la suma valorilor de vârf ale tensiunii de intrare:

$$u_O = u_{C2} = u_{C1} + u_i, \quad U_O = U_{C1} + U_V = 2 \cdot U_V. \quad (2.41)$$

Dacă ieșirea este în gol,  $C_2$  rămâne încărcat la aproximativ  $2U_V$ . Dacă se conectează o sarcină la ieșire,  $C_2$  se va descărca prin sarcină până la următoarea alternanță pozitivă când se va încărca din nou la  $2U_V$ . Rezistența de sarcină  $R$  trebuie să fie destul de mare pentru a nu descărca semnificativ condensatorul. Practic, cele două condensatoare înseriate trebuie să îndeplinească o condiție de tipul celei din relația (2.39). Tensiunea inversă maximă pe fiecare diodă este  $2U_V$ .

Pentru o tensiune de intrare cu valori mai mici decât câteva zeci de volți trebuie să se țină seama și de tensiunea pe diode  $U_D$ . Tensiunea de ieșire în gol poate fi considerată:  $2U_V - 2U_D$ .

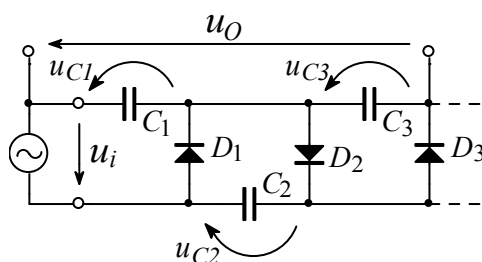
Cel de-al doilea dublor de tensiune (din figura 2.21.b) este compus din două redresoare monoalternanță: ( $D_1$ - $C_1$ ) pentru alternanța pozitivă și ( $D_2$ - $C_2$ ) pentru alternanța negativă. Dacă ieșirea este în gol, fiecare condensator se încarcă la respectiva tensiune de vârf a intrării. Tensiunea de ieșire se preia de pe cele două condensatoare înseriate și reprezintă valoarea vârf la vârf a tensiunii de intrare. La conectarea unei sarcini  $R$ , trebuie ca cele două condensatoare în serie să îndeplinească o condiție de tipul relației (2.39) pentru ca descărcarea acestor condensatoare să nu fie semnificativă. Pentru tensiuni mici de intrare trebuie să se țină seama și de tensiunea pe diode.

Dublorul de tensiune din figura 2.21.b nu are un punct comun intrării și ieșirii dublate, în schimb prin conectarea la masă a nodului dintre cele două condensatoare se poate obține o tensiune pozitivă ( $U_{C1}$ ) și una negativă ( $U_{C2}$ ) față de respectivul punct de masă. Privit astfel, acest circuit reprezintă o sursă dublă de tensiune.

Dubloarele de tensiune pot fi utilizate la demodularea (sau detectarea) semnalelor modulate în amplitudine cu o eficiență dublă față de redresorul monoalternanță. O altă utilizare posibilă este alimentarea unor interfețe cu consum redus direct de la ieșirile de semnal ale unui calculator. Un exemplu posibil este folosirea unei ieșiri a portului paralel la care se generează (din calculator) un semnal dreptunghiular cu frecvență relativ mare, a cărui amplitudine este de circa 5V, semnal care redresat cu un dublor de tensiune permite obținerea unei tensiuni de alimentare de circa 8V sau a unei surse duble de  $\pm 4V$  în funcție de versiunea de dublor folosită. O altă utilizare a celui de-al doilea montaj este obținerea unei surse duble (pentru alimentare unui amplificator operațional de exemplu) de la o singură înfășurare a unui transformator.

### Triplorul de tensiune

Triplorul de tensiune se obține prin adăugarea unei secțiuni diodă-condensator ( $D_3$ - $C_3$ ) suplimentare dublorului din figura 2.21.a, conform schemei din figura următoare.



**Fig. 2.22.** Triplorul de tensiune;

Prin conectarea de secțiuni  $C$ - $D$  suplimentare (la liniile punctate, respectând succesiunea din figură) se poate multiplica tensiunea de intrare de un număr întreg de ori.

Circuitul funcționează astfel: pentru alternanțele negative ale intrării,  $C_1$  se încarcă la  $U_V$  prin dioda  $D_1$ . În timpul alternanțelor pozitive,  $C_2$  se încarcă la  $2U_V$  prin dioda  $D_2$  conform cu cele arătate la dublorul de tensiune.

În timpul următoarelor alternanțe negative,  $C_3$  se încarcă la  $2U_v$  prin dioda  $D_3$ :

$$u_{C3} = u_{C2} - u_i - u_{C1} = 2 \cdot U_v - (-U_v) - U_v = 2 \cdot U_v, \text{ pentru: } u_i = -U_v.$$

Ieșirea triplorului este preluată de pe condensatoarele  $C_3$  și  $C_1$  înseriate:

$$u_O = u_{C3} + u_{C1} = 2 \cdot U_v + U_v \Rightarrow U_O = 3 \cdot U_v. \quad (2.42)$$

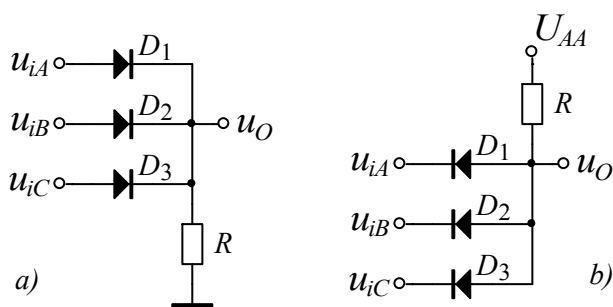
Prin conectarea de secțiuni suplimentare se poate obține multiplicarea tensiunii de intrare de un număr întreg de ori. Pentru tensiuni multiplicată de un număr par de ori ieșirea se ia față de borna de jos a sursei, iar pentru un număr impar, ieșirea se ia față de borna de sus a sursei (ca în figură). Cu cât se adaugă mai multe secțiuni suplimentare, cu atât curentul absorbit de sarcina conectată la ieșire trebuie să fie mai mic. Tensiunea inversă maximă pe fiecare diodă este  $2U_v$ .

O aplicație tipică a triplorului de tensiune este la receptoarele de televiziune color, pentru obținerea tensiunii înalte (cu valori de peste 20kV, utilizată la accelerarea fascicolului de electroni la tubul cinescop) prin triplarea tensiunii de ieșire din transformatorul de linii (de peste 7000V). În acest caz, datorită problemelor de izolație impuse de tensiunile foarte mari, triplorul este o unitate funcțională compactă.

O altă aplicație a multiplicatoarelor de tensiune este la sistemele de ionizare a aerului. Ionizarea aerului produce ozon și are loc la o tensiune foarte mare (peste 30kV) aplicată unor electrozi ascuțiți plasați la distanță redusă. Această tensiune se obține de la rețeaua de ca, cu  $U_v$  de circa 300V, multiplicată de mai mult de 10 ori. La astfel de aplicații cu tensiuni foarte mari, mai ales la cele alimentate direct de la rețeaua de ca, trebuie luate măsuri speciale de izolare și respectate strict regulile de protecția muncii.

### 2.2.10 Circuite de minim și de maxim; porți logice cu diode

Circuite realizate cu diode și rezistențe pot fi utilizate pentru a selecta cea mai mare sau cea mai mică tensiune dintre tensiunile aplicate la intrare. Două exemple de astfel de circuite, cu câte trei intrări fiecare, sunt prezentate în figura 2.23.



**Fig. 2.23.** Porți simple cu diode:

- Circuit de maxim:** la ieșire apare cea mai mare tensiune de la intrări;
- Circuit de minim:** la ieșire apare cea mai mică tensiune de la intrări.

Pentru simplitatea analizei diodele vor fi considerate inițial ca fiind ideale. Pentru circuitul de maxim, din figura 2.23.a, dacă la un moment dat tensiunile de intrare se află în relația:

$$u_{iA} > u_{iB} > u_{iC} (> U_D), \text{ atunci } u_O = u_{iA},$$

deoarece dioda  $D_1$  în conducție se comportă ca un comutator închis și transmite tensiunea de la intrarea A la ieșire. Celelalte diode sunt polarizate invers, deci blocate, deoarece celelalte tensiuni de intrare (de la anodul diodelor) sunt mai mici decât tensiunea de la ieșire (de la catodul diodelor). Datorită simetriei circuitului, analiza de mai sus este valabilă pentru oricare dintre intrări și deci intrarea care are valoarea maximă apare la ieșire, prin dioda în conducție de la acea intrare. Celelalte diode, blocate de tensiunile de intrare mai mici, izolează intrările respective.

La circuitul de minim, catodii diodelor sunt spre intrări și se va deschide dioda la catodul căreia se aplică tensiunea cea mai mică (care trebuie să fie mai mică decât tensiunea  $U_{AA}$ ). Prin dioda deschisă, tensiunea minimă apare la ieșire (la anozii diodelor) și blochează celelalte diode.

Dacă se consideră modelul diodelor cu tensiune de prag, funcționarea circuitelor este identică, dar tensiunea de ieșire diferă de tensiunea de intrare cu căderea de tensiune pe dioda în conducție. În exemplul de la circuitul de maxim, tensiunea de ieșire va fi:  $u_O = u_{iA} - U_D$ . Circuitul de maxim poate fi utilizat pentru tensiuni pozitive mai mari decât tensiunea pe o diodă în conducție,  $U_D$ , iar circuitul de minim poate fi utilizat pentru tensiuni mai mici (cu cel puțin  $U_D \cong 0,7V$ ) decât sursa de tensiune utilizată ( $U_{AA}$  în figură).

Aceste circuite permit obținerea simplă a funcției logice SI respectiv a funcției logice SAU. Se consideră un sistem cu logică pozitivă cu  $U_{AA}=5V$ , la care tensiunile apropiate de 0V corespund nivelului logic „0” și tensiunile apropiate de 5V corespund nivelului logic „1”. Circuitul din figura 2.23.a are trei intrări,  $u_{iA}$ ,  $u_{iB}$  și  $u_{iC}$ ; variabilele logice corespunzătoare se notează cu  $A$ ,  $B$ ,  $C$  și cu  $Y$  se notează variabila logică de ieșire. Dioda conectată la „1” logic (+5V) va conduce și va fixa ieșirea la nivel logic „1” ( $u_O \cong +5V$ ). Tensiunea pozitivă de la ieșire menține blocate diodele ale căror intrări sunt la „0” logic ( $u_i \cong 0V$ ). Astfel, ieșirea va fi la nivel ridicat, „1” logic, dacă una **sau** mai multe intrări sunt în „1” logic și ca urmare circuitul implementează funcția logică SAU:

$$Y = A + B + C \quad (,,+” \text{ semnifică operatorul logic „sau”}).$$

Pentru circuitul de minim din figura 2.23.b, oricare dintre intrări conectată la „0” logic aduce ieșirea în „0” logic. Pentru ca ieșirea să fie în „1” logic, trebuie ca **toate** intrările să fie în „1” și deci acest circuit implementează funcția logică SI:

$$Y = A \cdot B \cdot C \quad (,,\cdot” \text{ semnifică operatorul logic „și”}).$$

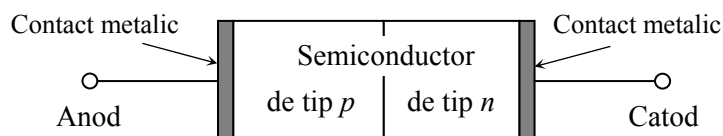
Ca porți logice aceste circuite prezintă dezavantajul degradării nivelului logic de la ieșire datorită căderii de tensiune pe rezistența  $R$  (produsă de curentul furnizat de ieșire către circuitul următor, în cazul în care toate diodele sunt blocate) sau datorită căderii de tensiune pe diode (în cazul în care cel puțin o diodă este deschisă). Porțile logice clasice refac nivelurile logice la ieșire cu ajutorul unor circuite de amplificare. Circuitele de minim și maxim se pot utiliza ca porți logice cu recomandarea ca să nu fie utilizate mai multe astfel de circuite succesiv, deoarece degradarea nivelurilor logice ale semnalelor digitale se cumulează.

Redresorul cu transformator cu punct median poate fi privit ca un circuit de maxim cu două intrări (tensiunile de la cele două secțiuni ale înfășurării secundare a transformatorului). Circuitul de maxim cu trei intrări (din figura 2.23.a) se poate utiliza și ca redresor trifazat (așa-numitul redresor cu punct neutru),  $R$  fiind sarcina redresorului iar tensiunile aplicate la intrare fiind cele trei faze (R, S, T). La borna superioară a sarcinii apare în fiecare moment cea mai mare dintre faze, astfel încât la ieșire apare componenta de  $cc$  cea mai mare posibilă. Fiecare diodă conduce o treime din perioada semnalului de intrare iar pulsațiile de la ieșire vor avea frecvență triplă. Analiza în detaliu a redresoarelor trifazice depășește scopul acestei cărți, fiind un subiect specific electronicii de putere.

## 2.3 NOȚIUNI DE FIZICA SEMICONDUCTOARELOR - JONCTIUNEA PN

În această secțiune se prezintă noțiunile fundamentale de fizica semiconductoarelor și se analizează pe scurt procesele fizice care stau la baza funcționării diodelor semiconductoare.

Dioda semiconductoare este formată dintr-o joncțiune *pn* conform figurii 2.24. Joncțiunea *pn* se formează la contactul unei regiuni de tip *p* cu o regiune de tip *n* a aceluiași cristal semiconductor. Regiunile *p* și *n* sunt create prin doparea diferită cu impurități a celor două regiuni; trecerea de la o regiune la alta se face pe o distanță foarte mică, de ordinul fracțiunilor de micron. La regiunile *p* și *n* sunt atașate terminale prin care se conectează dioda în circuit.



**Fig. 2.24.** Structura fizică simplificată a joncțiunii *pn*.

Pe de altă parte, joncțiunea *pn* este elementul de bază al tranzistoarelor bipolare și joacă un rol funcțional important la tranzistoarele cu efect de câmp. De aceea, analiza joncțiunii *pn* este importantă pentru înțelegerea funcționării tuturor dispozitivelor semiconductoare.

### 2.3.1 Semiconductoare intrinseci

La fabricarea dispozitivelor semiconductoare se pot utiliza siliciul sau germaniul (Si, Ge – elemente chimice tetravalente) sau compuși intermetalici de tip galiiu-arsen (GaAs).

Semiconductorul pur se mai numește **semiconductor intrinsec**. Fiecare atom formează patru legături covalente cu atomi din jur și de aceea semiconductorul are o structură cristalină regulată. Datorită ionizării termice unele legături covalente se rup și apar astfel perechi de purtători de sarcină electrică: electroni liberi și goluri. Electronul liber este un electron de conducție iar golul reprezintă lipsa unui electron de valență. Prin ocuparea poziției libere de către un electron de valență apropiat, apare o deplasare a golului care se comportă ca un purtător de sarcină pozitiv, încărcat cu aceeași sarcină electrică cu cea a electronului. Electronii liberi și golurile, formați datorită ionizării termice, sunt perechi și de aceea, în semiconductorul intrinsec, numărul lor este identic. Implicit concentrația de electroni liberi *n* este egală cu concentrația de goluri *p*,

$$n = p = n_i. \quad (2.43)$$

Cu  $n_i$  s-a notat concentrația electronilor liberi și a golurilor în semiconductorul intrinsec. La temperatura camerei ( $T=300\text{K}$ ), pentru siliciu,  $n_i \cong 1,5 \times 10^{10}$  purtători/ $\text{cm}^3$ . Cristalul de siliciu are circa  $5 \times 10^{22}$  atomi/ $\text{cm}^3$  și deci, la temperatura camerei, doar un atom din trei mii de miliarde este ionizat. Concentrația intrinsecă,  $n_i$ , depinde foarte mult de temperatură; pentru temperaturi uzuale se poate considera că această concentrație se dublează la creșterea temperaturii cu circa  $10^\circ\text{C}$ .

Materialelor cu patru electroni de valență se numesc **semiconductoare** deoarece au o conductivitate intermediară între cea a metalelor și cea a izolatoarelor. Conductivitatea lor depinde de concentrația de purtători de sarcină electrică și de aceea variază puternic cu temperatura: la temperaturi coborâte sunt izolatoare, iar la temperaturi înalte pot deveni conductoare destul de bune.

### 2.3.2 Semiconductoare extrinseci

Prezența în rețeaua cristalină a semiconductorului a unui număr infim de atomi străini, denumiți impurități, modifică mult conductivitatea electrică a acestuia. Introducerea impurităților se numește **dopare**. Semiconductoarele dopate cu impurități se numesc **semiconductoare extrinseci**.

Dacă atomii de impuritate introduși sunt pentavalenți (atomi de fosfor de exemplu), atunci patru dintre electroni de valență formează legături covalente cu atomii din rețeaua cristalină a semiconductorului, iar al cincilea electron de valență devine electron liber. Atomii pentavalenți de impuritate denumiți **donori**, donează cristalului un electron mobil, fără a lăsa în urma lui un gol (ci un ion pozitiv de impuritate, fix în rețeaua cristalină a semiconductorului). De aceea majoritatea purtătorilor de sarcină sunt electroni încărcăți negativ, iar semiconductorul obținut se numește **semiconductor de tip n**. Dacă se notează cu  $N_D$  concentrația atomilor donori (care de obicei este cu câteva ordine de mărime mai mare decât concentrația intrinsecă), **purtătorii majoritari** au o concentrație  $n_{n0}$ , (electroni liberi negativi, în zona  $n$  – primul indice, la echilibru termic – indicele suplimentar 0):

$$n_{n0} \cong N_D (>> n_i). \quad (2.44)$$

Conform fizicii semiconductoarelor, în condiții de echilibru termic, produsul concentrațiilor de electroni liberi și de goluri rămâne constant:

$$n_{n0} p_{n0} = n_i^2. \quad (2.45)$$

Ca urmare concentrația golurilor,  $p_{n0}$  (goluri pozitive, în zona  $n$ , la echilibru termic), care sunt generate prin ionizare termică, este foarte mică:

$$p_{n0} = \frac{n_i^2}{N_D} (<< n_i) \quad (2.46)$$

și de aceea, în semiconductorul de tip  $n$ , golurile se numesc **purtători minoritari**. Deoarece  $n_i$  depinde de temperatură, concentrația purtătorilor minoritari este dependentă de temperatură, în timp ce concentrația purtătorilor majoritari (care depinde în principal de  $N_D$ ) nu depinde de temperatură.

**Semiconductoarele de tip p** se produc prin impurificare controlată cu atomi trivalenți (de exemplu bor). Atomii trivalenți se numesc **acceptori** pentru că fiecare atom acceptă un electron de valență de la cristalul semiconductor și formează astfel cele patru legături covalente necesare pentru a se încadra în structura cristalină a semiconductorului.

La echilibru termic, concentrația golurilor majoritare depinde de concentrația atomilor acceptori,  $N_A$ , iar concentrația electronilor minoritari, generați termic, se determină din (2.45):

$$p_{p0} \cong N_A (>> n_i), \quad n_{p0} = \frac{n_i^2}{N_A} (<< p_{p0}). \quad (2.47)$$

Cristalele semiconductoare extrinseci sunt neutre din punct de vedere electric deoarece sarcina purtătorilor majoritari mobili (electroni în semiconductorul de tip  $n$  și goluri în cel de tip  $p$ ) este compensată de sarcina ionilor de impuritate fixați în rețeaua cristalină.

### 2.3.3 Curentul electric în semiconductoare

În cazul semiconductoarelor sunt posibile două mecanisme prin care electronii liberi sau golurile se pot deplasa prin cristal – **difuzia** și **driftul**.

**Difuzia** este asociată cu mișcarea aleatorie datorată agitației termice. Dacă concentrația de purtători în semiconductor este uniformă, această mișcare aleatorie nu produce o deplasare netă de sarcină electrică, deci nici curent electric. Dacă printr-un mecanism oarecare apare o concentrație

mai ridicată de purtători mobili (de exemplu goluri) într-o zonă a semiconductorului, atunci golurile vor difuza din regiunea cu concentrație mai mare spre regiunea cu concentrație mai mică. Acest proces de difuzie produce o deplasare netă de sarcină sau **curent de difuzie**. Valoarea curentului de difuzie este proporțională cu gradientul concentrației de purtători:

$$J_p = -q \cdot D_p \frac{dp}{dx}, \quad (2.48)$$

unde cu  $J_p$  s-a notat densitatea de curent (curentul pe unitatea de arie),  $q$  este sarcina electronului iar  $D_p$  este constanta de difuzie a golurilor. Semnul „-” apare deoarece difuzia are sens opus creșterii concentrației; s-a presupus cazul în care concentrația scade pe direcția axei  $Ox$ .

În cazul electronilor liberi difuzia apare datorită gradientului de concentrație al electronilor și densitatea de curent a electronilor se poate calcula cu o relație similară:

$$J_n = q \cdot D_n \frac{dn}{dx}, \quad (2.49)$$

unde  $D_n$  este constanta de difuzie al electronilor liberi. Constanta de difuzie a electronilor este de aproape trei ori mai mare decât cea a golurilor,  $D_n \cong 3D_p$  (pentru cristalul de siliciu intrinsec).

Cel de-al doilea mecanism de conducție în semiconductoare este **driftul** într-un câmp electric – creșterile de viteză uniforme cu caracter dirijat în sensul câmpului electric:

$$\vec{v}_{\text{drift}} = \mu \cdot \vec{E}$$

unde  $\mu$  este mobilitatea purtătorilor de sarcină și  $E$  este câmpul electric din semiconductor. Densitatea curentului de drift este proporțională cu concentrația de purtători de sarcină:

$$J_{\text{drift}} = q \cdot (p\mu_p + n\mu_n) \cdot E = \sigma \cdot E. \quad (2.50)$$

Această relație reprezintă legea lui Ohm în semiconductoare, iar  $\sigma$  este conductivitatea electrică a semiconductorului (proporțională cu concentrația purtătorilor mobili de sarcină:  $p+n$ ).

Factorul de difuzie și mobilitatea purtătorilor de sarcină sunt legate prin relația lui Einstein:

$$\frac{D_n}{\mu_n} = \frac{D_p}{\mu_p} = \frac{kT}{q} = U_T, \quad (2.51)$$

unde  $k$  este constanta lui Boltzmann și  $U_T$  tensiunea termică. La temperatura camerei  $U_T \cong 25 \text{ mV}$ . Mobilitatea electronilor este mai mare decât cea a golurilor:  $\mu_n \cong 3\mu_p$  (la siliciu).

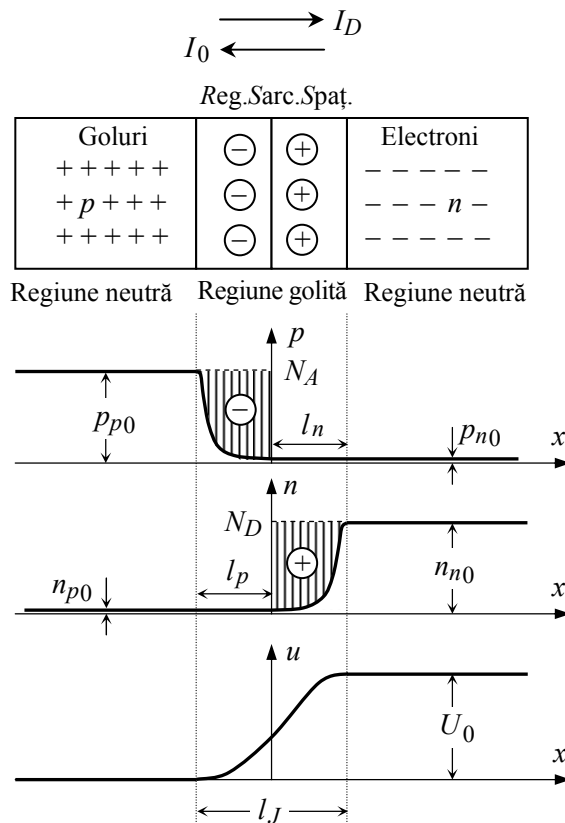
### 2.3.4 Procese fizice la joncțiunea pn

Figura 2.25 prezintă un model fizic simplificat al joncțiunii  $pn$  în condiții de echilibru termic și electric, fără câmpuri energetice exterioare. Purtătorii majoritari sunt simbolizați cu semnul „+” pentru golurile din zona  $p$  respectiv „-” pentru electronii liberi din zona  $n$  iar sarcina necompensată a ionilor de impuritate ficși din zona de trecere este reprezentată prin încercuirea semnelui sarcinii respectivă. Pentru a ușura înțelegerea fenomenelor din joncțiune sunt reprezentate, de asemenea, concentrația purtătorilor mobili și distribuția potențialului de-a lungul joncțiunii.

#### Curentul de difuzie

În vecinătatea joncțiunii se produce difuzia purtătorilor majoritari; golurile din regiunea  $p$  difuzează în regiunea  $n$  și electronii liberi din regiunea  $p$  difuzează în regiunea  $n$ . Acesta două componente formează împreună curentul de difuzie  $I_D$ , a cărui direcție este de la zona  $p$  la zona  $n$ .





### Regiunea de sarcină spațială

Datorită difuziei (și parțial datorită recombinării purtătorilor mobili), în imediata vecinătate a joncțiunii apare o **regiune golită** de purtători mobili. În această regiune sarcina ionilor ficși din rețea nu mai este echilibrată de sarcina purtătorilor mobili (care au difuzat) și de aceea regiunea din vecinătatea joncțiunii devine o **regiune de sarcină spațială** (se va nota cu **RSS**).

Sarcina necompensată a ionilor de impuritate din RSS duce la apariția unui câmp electric orientat de la zona  $p$  la zona  $n$ . Acest câmp electric se opune difuziei purtătorilor majoritari. De fapt, căderea de tensiune pe RSS acționează ca o barieră de potențial care trebuie depășită de golurile care difuzează spre zona  $n$  și de electronii care difuzează spre zona  $p$ . Cu cât bariera de potențial este mai mare cu atât mai puțini purtători mobili o vor învinge. De aceea curentul de difuzie  $I_D$  depinde esențial de căderea de tensiune  $U_0$  pe regiunea golită.

Zona  $p$  și zona  $n$  din afara RSS se numesc **regiuni neutre** și se comportă practic ca un cristal extrinsec de tip  $p$ , respectiv  $n$ . Prin urmare la o joncțiune  $pn$  apare RSS și două regiuni neutre.

### Curentul de drift și starea de echilibru

Împreună cu curentul  $I_D$  datorat difuziei purtătorilor majoritari, prin joncțiune trece și un curent de drift datorat purtătorilor minoritari. Astfel, o parte dintre golurile generate termic în zona  $n$  ajung la limita regiunii golite și, datorită câmpului electric din RSS, aceste goluri trec în regiunea  $p$ . În mod analog, electronii minoritari generați termic în zona  $p$  care ajung în vecinătatea RSS, trec în zona  $n$ , datorită câmpului electric intern. Aceste două componente formează împreună un curent de drift  $I_0$  a cărui direcție este dinspre zona  $n$  spre zona  $p$ . Deoarece curentul de drift  $I_0$  este un curent de purtători minoritari generați termic, valoarea acestuia depinde puternic de temperatură; pe de altă parte  $I_0$  este practic independent de valoarea diferenței interne de potențial  $U_0$ .

În condiții de echilibru și fără câmpuri exterioare aplicate nu apare nici un curent în afara joncțiunii; de aceea cei doi curenți, care au sensuri opuse prin joncțiune, trebuie să fie egali:

$$I_D = I_0. \quad (2.52)$$

**Fig. 2.25.** Joncțiunea  $pn$  în gol.

Curentul de difuzie  $I_D$  și curentul de drift  $I_0$  sunt egali; curentul net e nul.

Modelul unidimensional al joncțiunii evidențiază cele 3 regiuni:

- Regiunea de sarcină spațială, RSS, sau regiunea golită de purtători,
- Două regiuni neutre, una în zona  $p$  și cealaltă în zona  $n$ ,

Sunt prezentate și variațiile:

- concentrației de goluri  $p$ ,
- concentrației de electroni liberi  $n$ ,
- potențialului  $u$ ,

de-a lungul joncțiunii.

Sarcinile necompensate ale ionilor din RSS sunt reprezentate prin suprafețe hașurate vertical, indicându-se și semnul lor.

Această condiție de echilibru este menținută de bariera de tensiune  $U_0$ . Dacă, dintr-un motiv oarecare, de exemplu, curentul  $I_D$  devine mai mare decât  $I_0$ , atunci crește sarcina necompensată de ambele părți ale jonctiunii,  $RSS$  devine mai lată și tensiunea  $U_0$  va crește. Se restabilește astfel echilibrul prin micșorarea curentului  $I_D$  (datorată creșterii barierei de potențial  $U_0$ ).

### Diferența internă de potențial

Dacă nu se aplică o tensiune din exterior, se poate demonstra că tensiunea pe jonctiune este:

$$U_0 = U_T \ln \left( \frac{N_A \cdot N_D}{n_i^2} \right), \quad (2.53)$$

unde  $N_A$  și  $N_D$  sunt concentrațiile de impurități acceptoare din zona  $p$ , respectiv donoare din zona  $n$ .  $U_0$  depinde de concentrația de impurități (sau gradul de dopare cu impurități), de temperatură și de tipul semiconductorului. Tensiunea  $U_0$  este cunoscută sub numele de **diferență internă de potențial** și are valori tipice pentru siliciu cuprinse între 0,6 și 0,8V (la temperatura camerei).

Această tensiune nu poate fi pusă în evidență la bornele externe ale jonctiunii deoarece este echilibrată exact de tensiunea de contact la interfețele metal-semiconductor. În caz contrar, s-ar putea extrage energie din jonctiune, ceea ce ar duce la violarea principiului conservării energiei.

### 2.3.5 Jonctiunea $pn$ polarizată

Prin polarizare se înțelege aplicarea unei tensiuni continue (sau curent continuu) unui dispozitiv electronic, în acest caz unei jonctiuni. Polarizarea jonctiunii poate fi:

- directă, cu borna (+) a sursei externe conectată la zona  $p$  sau
- inversă, cu borna (+) a sursei externe conectată la zona  $n$ .

Datorită polarizării se modifică diferența de potențial pe  $RSS$  față de tensiunea  $U_0$  care asigură echilibrul curenților de difuzie și de drift. Se notează cu  $u_A$  tensiunea de polarizare (cu sensul de la  $p$  la  $n$ , conform figurii 2.26). Modificarea tensiunii pe jonctiune  $u_J$ , față de  $U_0$ :

$$u_J \cong U_0 - u_A,$$

conduce la modificarea lățimii  $l_J$  a regiunii golite ( $RSS$ ). Se poate demonstra [3] că:

$$l_J \approx \sqrt{U_0 - u_A} \quad (\text{simbolul „}\approx\text{” semnifică „proporțional cu”}). \quad (2.54)$$

Curentul de drift al purtătorilor minoritari nu depinde de tensiunea aplicată deoarece nu depinde practic de valoarea câmpului electric intern ci numai de sensul acestuia. Sensul câmpului electric intern nu se schimbă dacă  $u_A < U_0$ . (O analiză mai detaliată a fenomenelor din jonctiune arată că și dacă această inegalitate nu se respectă, sensul câmpului intern nu se schimbă, deoarece la creșterea tensiunii curentul prin jonctiune crește mult ceea ce duce la creșterea tensiunii care apare pe regiunile neutre ale jonctiunii.)

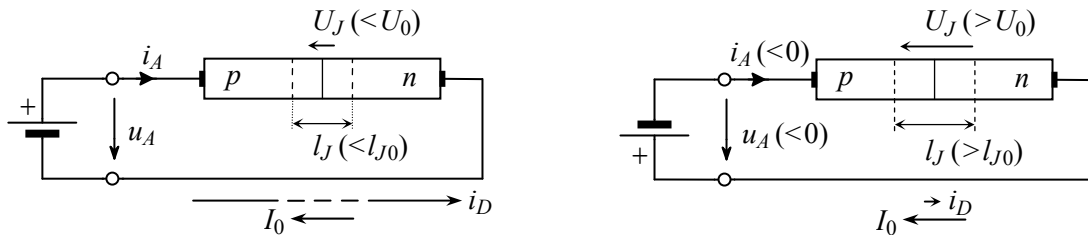


Fig. 2.26. Jonctiunea  $pn$  polarizată direct și invers

Curentul de difuzie depinde foarte mult de tensiunea pe jonctiune fiind determinat de concentrația purtătorilor majoritari care reușesc să învingă bariera de potențial (barieră care depinde

de tensiunea pe joncțiune și implicit de tensiunea de polarizare aplicată din exterior). Conform statisticii Boltzmann, concentrația purtătorilor de sarcină care înving o diferență de energie  $\Delta W$ ,

$$\Delta W = qU_J = q \cdot (U_0 - u_A),$$

depinde exponențial de  $\Delta W$  și de aceea curentul de difuzie depinde exponențial de tensiune:

$$i_D \approx \exp\left(-\frac{\Delta W}{kT}\right), \quad i_D \approx \exp\left(-\frac{qU_0}{kT}\right) \cdot \exp\left(\frac{q \cdot u_A}{kT}\right); \quad (2.55)$$

$$i_{D0} = i_D|_{u_A=0}, \quad i_{D0} \approx \exp\left(-\frac{qU_0}{kT}\right). \quad (2.56)$$

Curentul de difuzie are același factor de proporționalitate în ambele relații precedente. Pe de altă parte, conform relației (2.52), curentul de difuzie la polarizare nulă este egal cu curentul de drift:

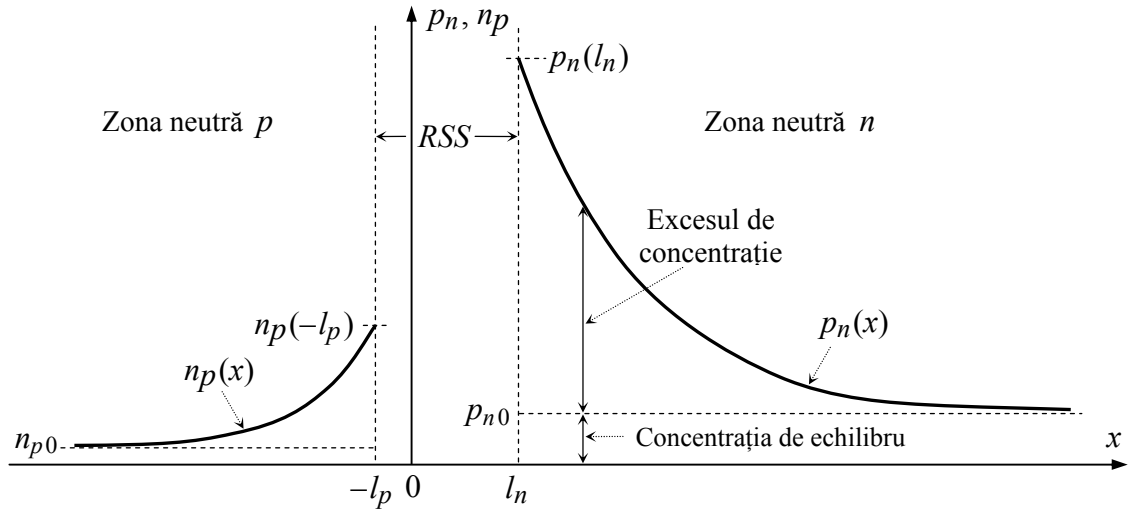
$$i_{D0} = I_0.$$

Prin înlocuirea ultimelor două relații în (2.55), rezultă:

$$i_D = i_{D0} \exp\frac{q \cdot u_A}{kT} = I_0 \exp\frac{q \cdot u_A}{kT} = I_0 \exp\frac{u_A}{U_T}, \quad (2.57)$$

unde  $U_T$  este tensiunea termică, conform (2.51). La temperatura  $T = 290\text{ K} = 17^\circ\text{C}$ ,  $U_T \cong 25\text{ mV}$ .

La polarizare directă, curentul electric prin joncțiune se datorează difuziei purtătorilor majoritari, care după traversarea RSS și devin purtători minoritari în exces în regiunea neutră respectivă. Datorită recombinării, concentrația purtătorilor minoritari din regiunile neutre scade exponențial de la joncțiune spre contactul zonelor neutre, conform figurii 2.27.



**Fig. 2.27.** Distribuția purtătorilor minoritari la o joncțiune  $pn$  polarizată direct în cazul unei joncțiuni asimetrice ( $N_A \cong 3 N_D$ ).

### Ecuatia joncțiunii idealizate

Curentul net prin joncțiune este dat de diferența între curentul de difuzie și cel de drift:

$$i_A = i_D - I_0, \quad i_A = I_0 \left( \exp\frac{u_A}{U_T} - 1 \right). \quad (2.58)$$

Ecuatia rezultată este ecuația joncțiunii idealizate; în joncțiunea reală se produc și alte fenomene care vor fi analizate ulterior și care au fost neglijate în această analiză simplificată.

Curentul de drift  $I_0$  reprezintă curentul invers (prin jonctiunea polarizată invers). Acest curent se mai numește și **curent invers de saturație** al jonctiunii, deoarece pentru tensiuni inverse ( $u_A < 0$ ) mult mai mari în modul decât tensiunea termică ( $u_A \ll -U_T$ ), curentul invers conform relației (2.58) se saturează, adică ajunge la o valoare constantă,  $i_A = -I_0$ . Valoarea acestui curent este de ordinul microamperilor ( $10^{-6}A$ ) pentru diodele cu germaniu și de ordinul picoamperilor ( $10^{-12}A$ ) pentru diodele cu siliciu. Curentul  $I_0$  depinde exponențial de temperatura absolută conform relației (2.56). Se poate considera că la temperaturi uzuale  $I_0$  se dublează la creșterea temperaturii cu circa  $10^\circ C$ .

### Jonctiunea pn asimetrică

Dacă gradul de dopare al celor două zone ale jonctiunii pn este diferit se spune că jonctiunea este asimetrică. Distribuția purtătorilor minoritari la o astfel de jonctiune este prezentată în figura 2.27 (pentru  $N_A \cong 3 N_D$ ). Jonctiunilor asimetrice au următoarele particularități:

- Regiunea golită se extinde mai mult în zona mai slab dopată a jonctiunii, lățimea regiunii golite este invers proporțională cu gradul de dopare al zonei respective. Astfel, dacă se notează cu  $l_p$  și cu  $l_n$  lățimea regiunii golite din zona p respectiv din zona n și cu A aria transversală a jonctiunii, atunci condiția de egalitate a sarcinii în cele două părți ale jonctiunii se poate scrie:

$$q \cdot l_p \cdot A \cdot N_A = q \cdot l_n \cdot A \cdot N_D \Rightarrow \frac{l_p}{l_n} = \frac{N_D}{N_A}. \quad (2.59)$$

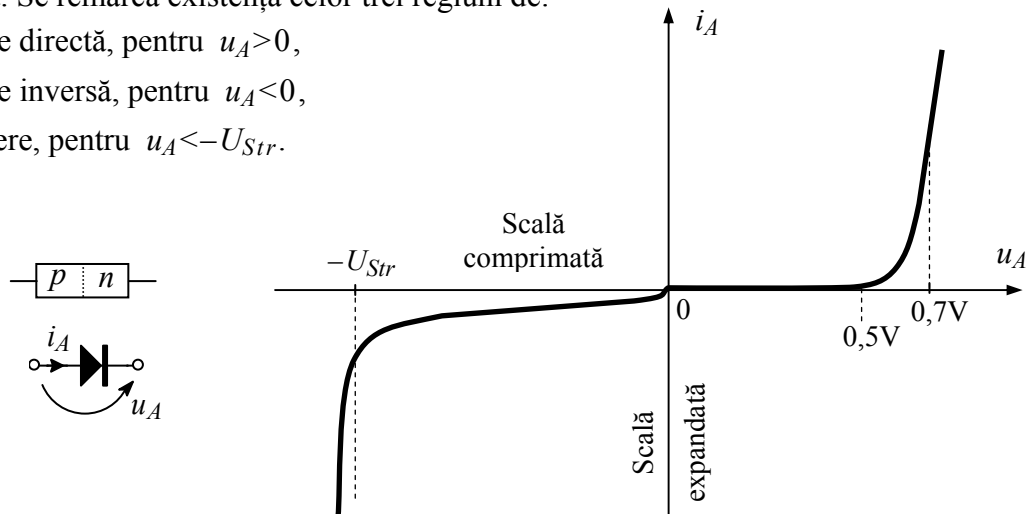
- La polarizare directă, curentul va fi format în majoritate din purtătorii majoritari ai regiunii mai puternic dopate. Pe baza statisticii Boltzmann, se pot calcula curenții de difuzie de goluri și de electroni ( $i_p$  și  $i_n$ ), care sunt proporționali cu concentrația purtătorilor majoritari respectivi:

$$\frac{i_p}{i_n} = \frac{p_{p0}}{n_{n0}} \cong \frac{N_A}{N_D}. \quad (2.60)$$

### 2.3.6 Caracteristica statică a jonctiunii pn

Caracteristica statică a jonctiunii pn idealizate este graficul funcției  $i_A(u_A)$ , relația (2.58). Caracteristica statică determinată experimental (figura 2.28 pentru cazul jonctiunii cu siliciu) diferă de cea ideală. Se remarcă existența celor trei regiuni de:

- polarizare directă, pentru  $u_A > 0$ ,
- polarizare inversă, pentru  $u_A < 0$ ,
- străpungere, pentru  $u_A < -U_{Str}$ .



**Fig. 2.28.** Caracteristica statică a jonctiunii pn, cu scala negativă a tensiunii  $u_A$  comprimată și scala negativă a curentului  $i_A$  extinsă, pentru a pune în evidență detaliile.

## Regiunea de polarizare directă

Regiunea de polarizare directă (sau mai simplu regiunea directă) este caracterizată de o tensiune pozitivă (de la zona  $p$  la zona  $n$ ) și poate fi împărțită în trei subregiuni în funcție de valoarea curentului direct care trece prin joncțiune.

În domeniul curenților mici și medii dependența tensiunii de curent este exponențială. Deoarece scalele de reprezentare sunt liniare, curentul pe caracteristica statică apare neglijabil de mic pentru o tensiune mai mică decât circa 0,5V (la siliciu). Această tensiune se numește **tensiune de deschidere** (sau de prag). Pentru o tensiune mai mică decât tensiunea de deschidere curentul prin joncțiune poate fi considerat ca fiind practic nul.

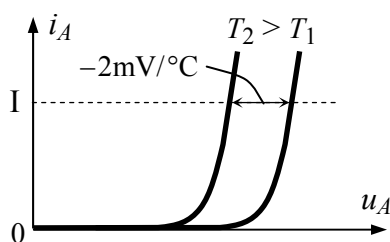
O altă consecință a caracteristicii de tip exponențial este creșterea rapidă a curentului cu tensiunea. Astfel, pentru un domeniu foarte larg de curenți modificarea tensiunii pe joncțiune este relativ mică; la o diodă redresoare de 1A de exemplu, tensiunea pe diodă variază de la circa 0,6 la 0,8V pentru o variație a curentului de la 1mA până la 100mA (două decade). Pentru simplitate se poate admite că **tensiunea pe dioda în conducție este aproximativ constantă** și are circa 0,7V.

În domeniul curenților mari tensiunea pe joncțiune este mai mare decât valoarea rezultată din caracteristica exponențială. Tensiunea  $u_A$  aplicată joncțiunii se divide, o parte  $u_B$  revenind RSS și restul  $u_S$  regiunilor neutre și contactelor ohmice, care împreună formează **rezistența serie**,  $r_s$  :

$$u_A = u_B + u_S, \quad u_S = r_s \cdot i_A, \quad r_s \cong r_{sn} + r_{sp}. \quad (2.61)$$

Tensiunea  $u_B$  este cea care modifică bariera de potențial din RSS și determină valoarea curentului prin joncțiune (condiția  $u_B < U_0$  este îndeplinită în toate situațiile, chiar dacă  $u_A > U_0$ ).

Întrucât în relația (2.58) atât  $I_0$  cât și  $U_T$  sunt funcții de temperatură, caracteristica directă a joncțiunii depinde de temperatură după o funcție de tip exponențial. Deoarece și variația curentului cu tensiunea este exponențială, se poate arăta că, la un curent constant prin joncțiune, tensiunea directă scade cu aproximativ 2mV pentru fiecare grad Celsius creștere a temperaturii. Liniaritatea tensiunii directe cu temperatura este utilizată la unele termometre electronice.



**Fig. 2.29.** Influența temperaturii asupra caracteristicii directe a joncțiunii;

La curent constant, tensiunea scade cu cca. 2mV pt. fiecare grad Celsius de creștere a temperaturii.

## Regiunea de polarizare inversă

Conform ecuației joncțiunii idealizate, (2.58) curentul invers prin joncțiune nu depinde de tensiunea inversă aplicată (dacă  $u_A \ll -U_T$ ). Practic însă, curentul invers crește odată cu creșterea tensiunii inverse, deci nu se saturează. Această creștere se datorează generării termice și efectelor de suprafață care depind de tensiunea inversă aplicată.

Generarea termică se referă la purtătorii minoritari generați termic în RSS care nu mai sunt compensați prin recombinare, deoarece purtătorii majoritari cu care ar trebui să se recombine au o concentrație foarte mică în RSS, golită de purtători. Apare astfel un curent de generare  $I_G$ , care depinde de lățimea RSS și implicit de tensiunea inversă aplicată.

Fenomenele care duc la creșterea curentului invers au o importanță practică destul de redusă deoarece curentul invers, chiar crescut fiind, rămâne neglijabil pentru majoritatea aplicațiilor.

## Regiunea de străpungere

La tensiuni inverse mari, se constată o creștere foarte mare a curentului prin joncțiune. La o anumită tensiune, numită **tensiune de străpungere**  $U_{Str}$ , curentul crește abrupt către infinit și el trebuie să fie limitat din circuitul exterior pentru a nu depăși valoarea la care joncțiunea s-ar distruge. Mecanismele care pot cauza străpungerea sunt efectul Zener și multiplicarea în avalanșă a purtătorilor de sarcină.

**Efectul Zener** constă din ruperea unor legături covalente dintre atomii rețelei cristaline datorită unui câmp electric foarte intens (concentrat în RSS a joncțiunii). Se generează astfel perechi electron-gol, fenomen ce conduce la străpungerea joncțiunii. Acest tip de străpungere are loc la joncțiuni foarte înguste, realizate din semiconductoare puternic dopate ( $N_A, N_D > 10^{18}$  atomi/cm<sup>3</sup>). La aceste joncțiuni înguste câmpul electric de valori foarte mari apare pentru tensiuni reduse, de ordinul volților; pentru  $U_{Str} < 5V$  este preponderentă străpungerea prin efect Zener. Tensiunea de străpungere scade cu temperatura deoarece o dată cu creșterea temperaturii crește agitația termică și este necesar un surplus de energie mai mic pentru a rupe legăturile covalente. Coeficientul de temperatură este negativ și este mai mare (în modul) pentru tensiuni de străpungere mai mici.

În majoritatea cazurilor **străpungerea** se datorează multiplicării **în avalanșă**. Sub acțiunea câmpului electric intens purtătorii mobili dobândesc o energie suficientă pentru a produce ionizarea atomilor cu care se ciocnesc și apar astfel noi purtători suplimentari, care pot ioniza la rândul lor alți atomi. Curentul crește astfel foarte mult datorită multiplicării în avalanșă a purtătorilor în RSS. Acest tip de străpungere este specific joncțiunilor realizate din semiconductoare cu un grad de dopare mic sau mediu ( $N_A, N_D = 10^{14} \dots 10^{17}$  atomi/cm<sup>3</sup>) pentru care lățimea regiunii golite este comparabilă cu drumul liber mediu al purtătorilor de sarcină. Tensiunea de străpungere datorată multiplicării depinde de temperatură deoarece la creșterea temperaturii scade drumul liber mediu și pentru a obține aceeași energie este necesar un câmp electric de accelerare și deci o tensiune mai mare. Coeficientul de temperatură este pozitiv cu o valoare tipică de circa 0,1% pe grad Celsius.

**Fenomenul de străpungere este nedistructiv**; distrugerea joncțiunii poate să apară însă datorită efectelor termice asociate – depășirea puterii disipate admisibile a dispozitivului respectiv.

## 2.4 POLARIZAREA DIODEI ÎN CIRCUIT

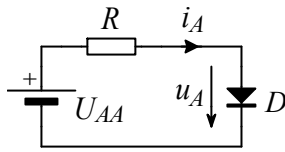
Dioda semiconductoare ca dispozitiv electronic este realizată cu o joncțiune *pn* încapsulată și prevăzută cu două terminale pentru conectarea în circuit. Un astfel de dispozitiv este ceea ce se numește o componentă **discretă** de circuit. În circuitele integrate, dioda este realizată împreună cu foarte multe alte dispozitive semiconductoare pe aceeași plachetă de siliciu (cip); acest cip va fi încapsulat ca atare și capsula va fi prevăzută cu terminale pentru conectare în circuit.

În funcție de fenomenele fizice din joncțiune pe care dioda le exploatează, există mai multe tipuri de diode. Cele mai utilizate tipuri sunt:

- **diodele redresoare**, care se bazează pe conducția unilaterală (datorată diferenței foarte mari dintre curentul direct și curentul invers prin joncțiune) și
- diodele stabilizatoare de tensiune, numite și **diode zener**, care exploatează relativa independență a tensiunii inverse față de curent, specifică regiunii de străpungere a joncțiunii.

Cel mai simplu circuit de polarizare a diodei este prezentat în figura 2.30 și este realizat cu o sursă de tensiune, un rezistor și o diodă. Acest circuit poate fi rezultatul înlocuirii unei eventuale rețele liniare care alimentează dioda cu circuitul echivalent Thévenin al rețelei. Sursa de tensiune s-a notat conform convenției de dublare a indicelui atribuit terminalului alimentat de acea sursă (anodul diodei în acest caz). Rezolvarea circuitului constă din aflarea curenților și tensiunilor din

circuit. Perechea de puncte  $\{U_A, I_A\}$ , determinate în *cc*, reprezintă **punctul static de funcționare** al diodei și va fi notat simplu cu **psf**.



**Fig. 2.30.** Circuit simplu cu diodă;

Sursa de tensiune și rezistența pot să reprezinte circuitul echivalent Thévenin al unei rețele liniare.

### 2.4.1 Aflarea *psf* prin metoda grafo-analitică

Se presupun cunoscute toate elementele circuitului din figura 2.30, respectiv în cazul diodei se presupune cunoscută caracteristica statică a acesteia. Caracteristica statică a diodei se poate trasa experimental sau se poate utiliza caracteristica din foaia de catalog a diodei.

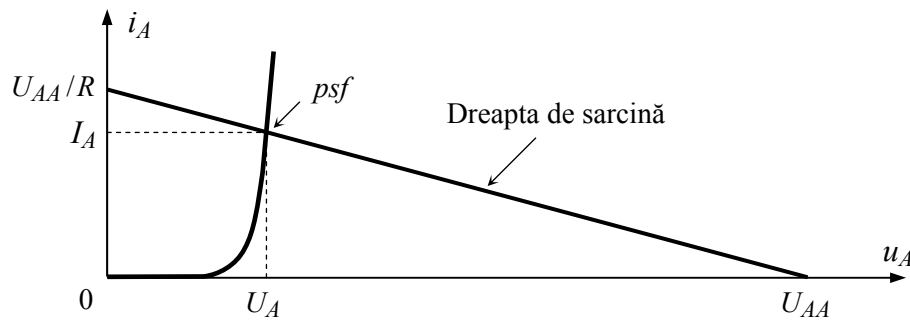
Partea liniară a circuitului impune o legătură între curentul și tensiunea diodei:

$$u_A = U_{AA} - R \cdot i_A. \quad (2.62)$$

Această relație se poate reprezenta grafic și poartă numele de **dreaptă de sarcină**. Această dreaptă se trasează cel mai ușor prin cele două puncte de intersecție cu axele (figura 2.31):

$$u_A = 0, \quad i_A = U_{AA}/R; \quad i_A = 0, \quad u_A = U_{AA}.$$

La intersecția dintre dreapta de sarcină și caracteristica statică a diodei se obține *psf*,  $I_A$  și  $U_A$ .



**Fig. 2.31.** Metoda grafică de aflare a *psf*, pentru circuitul din figura 2.30.

Analiza grafică este de folos pentru vizualizarea modului de funcționare al circuitului; însă, efortul presupus de această metodă nu se justifică în practică, mai ales în cazul circuitelor complexe. Simplificarea metodei de analiză presupune înlocuirea diodelor cu modele de circuit mai simple, care se comportă aproximativ la fel. În funcție de aplicația concretă și de precizia dorită, aceste modele (sau circuite echivalente) pot avea diferite grade de complexitate. Cele mai simple modele ale diodelor au fost deja prezentate în prima parte a acestui capitol. Modelele de diode prezentate în continuare sunt mai precise, dar implicit și mai complexe.

### 2.4.2 Modelul diodei exponențiale

Ecuția diodei idealizate este:

$$i_A = I_0 \left( \exp \frac{u_A}{n \cdot U_T} - 1 \right). \quad (2.63)$$

Se constată că față de ecuația joncțiunii idealizate (2.58) diferă prin indicele suplimentar  $n=1 \dots 2$  care ține seama de abaterile de la idealitate ale caracteristicii directe a diodei. La diodele integrate se poate considera  $n=1$ , iar la diodele discrete indicele  $n$  are o valoare apropiată de 2.

O denumire mai potrivită pentru curentul invers de saturație al diodei  $I_0$  este aceea de **curent de scalare**, deoarece acest curent este proporțional cu aria transversală a diodei. Astfel

dublarea ariei unei diode conduce la o valoare dublă a lui  $I_0$  și conform ecuației diodei idealizate, curentul prin diodă  $i_A$  se va dubla pentru aceeași tensiune pe diodă  $u_A$ . **Tensiunea termică  $U_T$**  la temperatura ambiantă  $t = 17 \dots 27^\circ\text{C}$  este  $U_T \cong 25 \dots 26\text{mV}$ .

Dacă curentul direct prin diodă este semnificativ, mai precis pentru  $i_A \gg I_0$ , ecuația (2.63) se poate aproxima cu relația exponențială:

$$i_A \cong I_0 \exp \frac{u_A}{nU_T}. \quad (2.64)$$

Relația poate fi exprimată și în forma logaritmică:  $u_A = nU_T \ln \frac{i_A}{I_0}. \quad (2.65)$

Pentru două puncte de pe caracteristica diodei  $\{U_1, I_1\}$  și  $\{U_2, I_2\}$  se pot scrie ecuațiile:

$$I_1 = I_0 \exp \frac{U_1}{nU_T}, \quad I_2 = I_0 \exp \frac{U_2}{nU_T}, \quad \Rightarrow \quad \frac{I_1}{I_2} = \exp \frac{U_1 - U_2}{nU_T}.$$

Ultima ecuație poate fi rescrisă cu logaritmul natural, respectiv zecimal, după cum urmează:

$$U_1 - U_2 = nU_T \ln \frac{I_1}{I_2}, \quad U_1 - U_2 = 2,3nU_T \lg \frac{I_1}{I_2}. \quad (2.66)$$

Ecuația anterioară se poate exprima astfel: pentru o decadă (factor 10) de variație a curentului tensiunea pe diodă se schimbă cu  $2,3nU_T$ , care este 60mV pentru  $n=1$  și 120mV pentru  $n=2$ . Dacă la trasarea caracteristicii se gradează logaritmice axa curentului, atunci caracteristica statică a diodei va fi liniară, cu o pantă de  $2,3nU_T$  pentru o decadă de variație a curentului ( $I_1/I_2=10$ ). Dacă valoarea lui  $n$  nu se cunoaște (ea poate fi obținută experimental conform celor arătate anterior) atunci se poate considera o valoare convenabilă  $\Delta U_{A0}=0,1\text{V/decadă}$  pentru panta caracteristicii statice a diodei. Pentru a defini caracteristica mai este necesar un punct; pentru o diodă discretă se poate considera că la un curent  $I_{A0}=1\text{mA}$  tensiunea pe diodă este  $U_{A0}=0,6\text{V}$ . Considerând aceste valori se poate determina tensiunea pe diodă la un anumit curent conform ecuației:

$$u_A = U_{A0} + \Delta U_{A0} \lg \frac{i_A}{I_{A0}}. \quad (2.67)$$

Valoarea de referință a tensiunii,  $U_{A0}$ , se poate obține cu un multimetru digital care indică (pe poziția marcată cu simbolul diodei) tensiunea pe dioda polarizată direct cu un curent de circa 1mA.

### Exemplu

În tabelul următor se compară tensiunea calculată conform relației (2.67) cu tensiunile obținute experimental pentru două diode uzuale: o diodă redresoare de 1A (cu indicativul 1N4001) și o diodă de comutație de 100mA, 1N4148:

$I_A$ (mA)		0,1	1	10	100	1000
$U_A$ (V)	Rel (2.67)	0,5	0,6	0,7	0,8	0,9
	1N4001	0,47	0,58	0,69	0,8	0,93
	1N4148	0,5	0,61	0,73	0,91	-



Se constată că diferențele sunt destul de mici, mai ales în zona curenților medii. La curenți mari tensiunea măsurată este mai mare decât cea teoretică datorită căderii de tensiune pe rezistența serie a joncțiunii, conform relației (2.61). (Noțiunea de curent mare are semnificație diferită în funcție de tipul diodei și este o valoare mai mică pentru diode cu curent nominal mai mic.)

Modelul exponențial al diodei, definit conform relației (2.58) sau (2.67), se poate utiliza pentru calculul  $psf$  prin metode aproximative.

### 2.4.3 Metoda aproximațiilor succesive

Pentru circuitul din figura 2.30 se consideră modelul exponențial pentru dioda  $D$ . La o tensiune  $U_{AA}$  suficientă (mai mare decât câteva zecimi de volt), curentul prin diodă este mare, mai precis  $i_A \gg I_0$  și se poate utiliza relația aproximativă (2.64). Sursa și rezistența din circuit impun o relație liniară (2.62) între curent și tensiune.  $Psf$  este soluția sistemului de ecuații transcendental :

$$\begin{cases} i_A = I_0 \exp \frac{u_A}{nU_T} \\ u_A = U_{AA} - R \cdot i_A \end{cases} \quad (2.68)$$

Un sistem dintre o relație liniară și una exponențială nu admite în general soluție exactă, dar se poate rezolva prin metoda aproximațiilor succesive ilustrată grafic în figura 2.32.

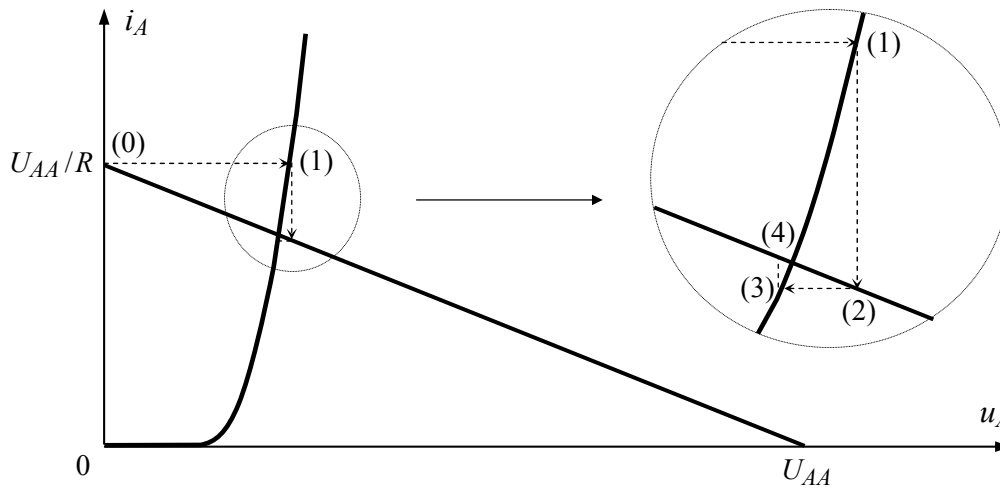


Fig. 2.32. Calculul  $psf$  prin metoda aproximațiilor succesive.

Prima aproximație se consideră a fi punctul notat cu (0) pe figură, de coordonate:

$$u_A^{(0)} = 0, \quad i_A^{(0)} = U_{AA}/R.$$

Conform figurii, se calculează tensiunea în punctul (1) din ecuația diodei și apoi curentul în punctul (2) din ecuația dreptei:

$$u_A^{(1)} = nU_T \ln \frac{i_A^{(0)}}{I_0}, \quad i_A^{(2)} = \frac{U_{AA} - u_A^{(1)}}{R}.$$

Calculul se poate continua până la atingerea preciziei dorite cu formulele de recurență:

$$u_A^{(k)} = nU_T \ln \frac{i_A^{(k-1)}}{I_0}, \quad i_A^{(k+1)} = \frac{U_{AA} - u_A^{(k)}}{R}. \quad (2.69)$$

Indicele din paranteza superioară reprezintă punctul și ordinea în care se face calculul, respectiv pasul algoritmului. Algoritmul este rapid convergent; două – trei iterații sunt suficiente în majoritatea cazurilor. Calculul se oprește atunci când diferența între două aproximații succesive ale aceleași mărimi este suficient de mică.

Modelul exponențial al diodei este un model precis dar neliniar și această neliniaritate complică mult calcularea circuitelor cu diode. Acest model este utilizat mai ales de către programele de simulare a circuitelor, implementate cu ajutorul calculatorului; în acest caz complexitatea calculelor nu mai este un impediment. Simplificarea calculelor, pentru o proiectare sau analiză manuală, se realizează cu ajutorul modelelor liniarizate ale diodelor.

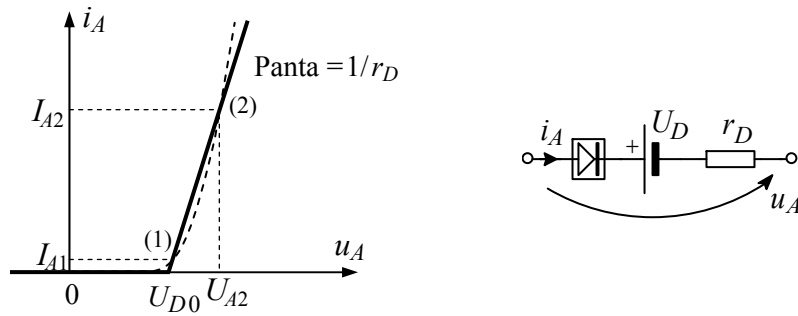
#### 2.4.4 Modelul liniarizat cu tensiune de prag și rezistență serie

Pentru obținerea acestui model se trasează o pereche de semidrepte care aproximează cât mai bine caracteristica exponențială a diodei ca în figura 2.33, o semidreaptă cu panta nulă și una cu panta  $1/r_D$ , unde  $r_D$  este rezistența diferențială a diodei. Este evident că alegerea celor două segmente de dreaptă nu este unică; aproximarea cât mai exact a caracteristicii exponențiale se face prin considerarea unui domeniu de curenți cât mai restrâns. Domeniul de curenți considerat trebuie să includă în principiu curenții care parcurg dioda în aplicațiile unde se utilizează modelul.

Acest model are doi parametri: tensiunea  $U_{D0}$  și rezistența  $r_D$ .  $U_{D0}$  este tensiunea în punctul de intersecție al celor două semidrepte și se numește **tensiune de deschidere**, cu valori uzuale între 0,5 și 0,7V (pentru diodele cu siliciu, valori mai mari pentru diodele care lucrează la curenți mai mari). Rezistența diferențială a diodei  $r_D$  se poate determina experimental sau grafic din panta secantei la caracteristica diodei. Considerând cele două puncte de intersecție (1) și (2) rezultă:

$$r_D = \frac{U_{A2} - U_{A1}}{I_{A2} - I_{A1}} = \frac{\Delta u_A}{\Delta i_A}.$$

Valorile uzuale pentru rezistența diferențială sunt de ordinul ohmilor (de la fracțiuni de ohmi la diodele de curent mare până la zeci sau chiar sute de ohmi la curenți mici). O altă metodă posibilă, care va fi utilizată la analiza diodei în regim dinamic, constă din evaluarea pantei tangentei la caracteristica diodei într-un punct, prin calcularea derivatei funcției exponențiale în acel punct.



**Fig. 2.33.** Modelul cu tensiune de prag și rezistență serie: caracteristica statică (comparată cu caracteristica exponențială) și circuitul echivalent.

Caracteristica diodei cu tensiune de prag și rezistență serie se poate descrie și analitic prin ecuațiile semidreptelor:

$$\begin{cases} i_A = 0, & \text{pentru } u_A < U_{D0} \\ u_A = U_{D0} + r_D \cdot i_A, & \text{pentru } i_A > 0 \end{cases} \quad (2.70)$$

Aceste ecuații pot fi reprezentate și sub formă de circuit echivalent conform figurii 2.33. Schema echivalentă a diodei include și o diodă ideală care permite curentului să circule doar în sens direct; ca urmare sursa de tensiune inclusă în model se comportă ca o sursă pasivă care nu poate furniza energie în circuitul exterior.

Un model liniarizat al diodei mai simplu este dioda cu tensiune de prag, iar cel mai simplu model este modelul diodei ideale. Aceste modele au fost prezentat în prima parte a acestui capitol.

## 2.4.5 Alegerea modelului pentru diode

Modelul cel mai potrivit pentru o aplicație dată este acela care realizează compromisul cel mai bun între precizie și complexitate. Selectarea celui mai potrivit model este o chestiune de experiență și practică în electronică.

În ceea ce privește modelarea diodelor, se vor utiliza modele cu atât mai complexe cu cât circuitul în care este conectată dioda este mai sensibil la modificarea tensiunii. Pentru tensiuni mari, de exemplu în cazul redresoarelor la tensiuni de sute de volți, modelul diodei ideale este suficient de precis. Pentru aplicațiile uzuale modelul diodei cu tensiune de prag este preferat cel mai adesea.

### Exemplu de calcul

Să se determine punctul static de funcționare al diodei conectată în circuitul din figura 2.30 dacă  $U_{AA}=3V$  și  $R=100\Omega$ . Pentru diodă se vor considera următoarele modele:

- dioda ideală;
- dioda cu tensiune de prag,  $U_D=0,7V$ ;
- dioda cu tensiune de prag și rezistență serie,  $U_D=0,6V$ ,  $r_D=5\Omega$ ;
- dioda exponențială cu tensiunea pe diodă  $U_{A0}=0,6V$  la un curent  $I_{A0}=1mA$  cu o variație a tensiunii  $\Delta U_{A0}=0,1V/decadă$ ;
- dioda exponențială cu  $I_0=50pA$  și  $n=1,5$ .

#### Rezolvare:

- a) Dioda ideală polarizată direct este un scurtcircuit,  $U_A=0$  și curentul prin circuit este:

$$I_A = U_{AA}/R = 3/100 = 0,03 = 30mA.$$

- b) În cazul diodei cu tensiune de prag  $U_A=U_D=0,7V$  și curentul este:

$$I_A = (U_{AA} - U_D)/R = 2,3/100 = 23mA.$$

- c) Tensiunea pe dioda cu tensiune de prag și rezistență serie se calculează din schema echivalentă din figura 2.33 iar curentul din legea lui Ohm aplicată celor două rezistențe:

$$I_A = \frac{U_{AA} - U_{D0}}{R + r_D} = \frac{2,4}{105} = 22,9mA, \quad U_A = U_{D0} + r_D \cdot I_A = 0,6 + 0,114 = 0,714V.$$

Calculul cu modele exponențiale se va face prin aproximații succesive.

În cazul d) se va utiliza succesiv ecuația drepte de sarcină (2.62) pentru a calcula curentul și ecuație (2.67) pentru a calcula tensiunea pe diodă:

$$i_A^{(0)} = \frac{U_{AA}}{R} = \frac{3}{100} = 30mA, \quad u_A^{(1)} = U_{A0} + \Delta U_{A0} \lg \frac{i_A^{(0)}}{I_{A0}} = 0,6 + 0,1 \cdot \lg \frac{30}{1} = 0,748V,$$

$$i_A^{(2)} = \frac{U_{AA} - u_A^{(1)}}{R} = 22,5mA, \quad u_A^{(3)} = U_{A0} + \Delta U_{A0} \lg \frac{i_A^{(2)}}{I_{A0}} = 0,6 + 0,1 \cdot \lg \frac{22,5}{1} = 0,735V,$$

$$i_A^{(4)} = \frac{U_{AA} - u_A^{(3)}}{R} = 22,65mA, \quad u_A^{(5)} = U_{A0} + \Delta U_{A0} \lg \frac{i_A^{(4)}}{I_{A0}} = 0,6 + 0,1 \cdot \lg \frac{22,65}{1} = 0,7355V.$$

Se observă că ultimele două soluții sunt foarte apropiate și se rețin ca soluție ultimele valori calculate (dacă se mai face o iterație se constată că se obțin practic aceleași ultime rezultate).

În cazul *e)* se utilizează ecuațiile (2.69) considerând ca prima aproximație valoarea curentului obținută cu modelul diodei ideale:

$$u_A^{(2)} = nU_T \ln \frac{i_A^{(1)}}{I_0} = 1,5 \cdot 25\text{m} \cdot \ln \frac{30\text{m}}{50\text{p}} = 758\text{mV}, \quad i_A^{(3)} = \frac{U_{AA} - u_A^{(2)}}{R} = \frac{3 - 0,758}{100} = 22,4\text{mA},$$

$$u_A^{(4)} = nU_T \ln \frac{i_A^{(3)}}{I_0} = 1,5 \cdot 25\text{m} \cdot \ln \frac{22,4\text{m}}{50\text{p}} = 747\text{mV}, \quad i_A^{(5)} = \frac{U_{AA} - u_A^{(4)}}{R} = \frac{3 - 0,747}{100} = 22,5\text{mA}.$$

Și în acest caz se rețin ultimele soluții deoarece sunt foarte apropiate de soluțiile anterioare.

Din acest exemplu se constată că utilizarea modelelor exponențiale presupune calcule laborioase și de aceea în practică se va prefera utilizarea modelelor liniarizate pentru calcule directe. Modelele exponențiale, mai precise, se vor utiliza cu programe de calculator (la care dificultatea calculelor nu mai este o problemă) în etapa de analiză a circuitelor electronice.

## 2.5 DIODA STABILIZATOARE

Dioda stabilizatoare sau **dioda zener** este o joncțiune *pn* a cărei tensiunea de străpungere este controlată tehnologic cât mai precis. Aceste diode sunt utilizate în polarizare inversă în zona de străpungere a caracteristicii statice, regiune în care tensiunea rămâne practic constantă la variații apreciabile ale curentului. Domeniul tensiunilor de lucru al diodelor zener este de 3...300V.

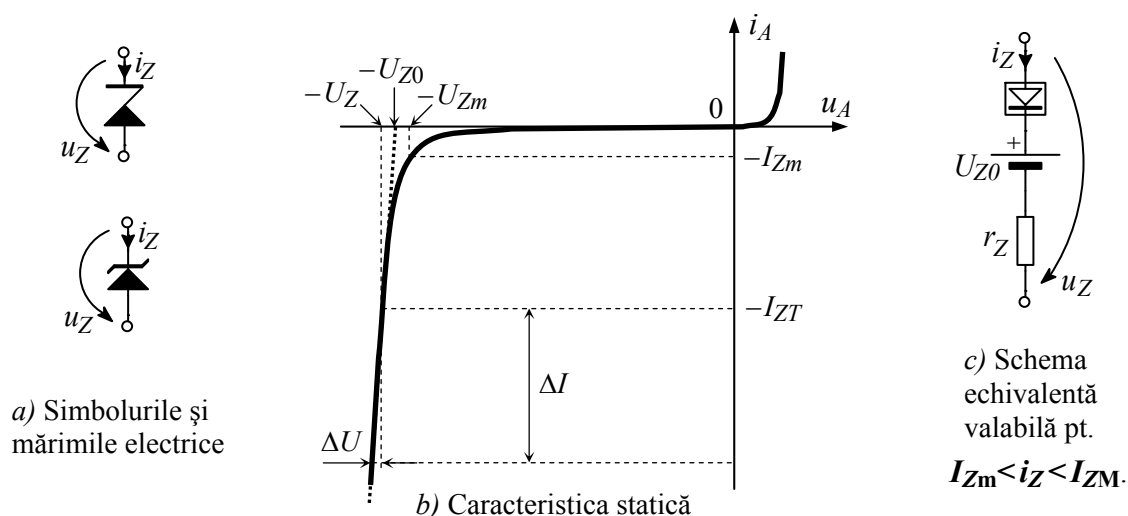


Fig. 2.34. Dioda stabilizatoare: simboluri, caracteristica inversă și schema echivalentă.

Denumirea de diodă zener este de fapt improprie pentru că efectul Zener explică numai funcționarea diodelor cu tensiuni de stabilizare până la aproximativ 5V. La tensiuni mai mari de stabilizare, funcționarea diodelor se bazează pe efectul de multiplicare în avalanșă.

Simbolurile diodei stabilizatoare sunt cele din figura 2.34.a. Sensul mărimilor electrice asociate diodei zener este invers față de sensul convențional al joncțiunii *pn*, astfel încât  $i_Z$  și  $u_Z$  să aibă valori pozitive la aplicațiile normale (unde dioda este polarizată invers).

### 2.5.1 Parametrii diodei zener

Caracteristica statică a diodei în zona de străpungere, cu unele detalii utile pentru definirea parametrilor diodei, este schițată în figura 2.34.b.

**Tensiunea de stabilizare** este cel mai important parametru al diodei stabilizatoare. În datele de catalog tensiunea  $U_Z$  (sau  $U_{ZT}$ ) este specificată la curentul de test  $I_{ZT}$  și la temperatura ambiantă

de referință  $T_0$  (de obicei  $25^\circ\text{C}$ ). Față de valoarea nominală a tensiunii există o dispersie tehnologică de fabricație; în catalogul de diode se dau valorile limită: minima și maxima admisă.

**Rezistența diferențială** (sau **dinamică**)  $r_Z$  indică variația tensiunii de stabilizare în funcție de variația curentului (variații determinate la curentul  $I_{ZT}$ ):

$$r_Z = \left. \frac{du_Z}{di_Z} \right|_{I_{ZT}}.$$

Această rezistență are o valoare mică, uzual de ordinul ohmilor (cu variații de la fracțiuni de ohm până la sute de ohmi în funcție de tipul diodei și de curentul care circulă prin diodă). Din punct de vedere grafic  $r_Z$  este inversul pantei tangentei la caracteristica statică. Întrucât caracteristica statică este neliniară, rezistența diferențială va depinde de curentul prin diodă. La creșterea curentului, rezistența dinamică scade conform unor curbe date în cataloage. Din aceste curbe se poate pune în evidență o proporționalitate (aproximativă) între logarithmul rezistenței dinamice și logarithmul curentului prin diodă, din care rezultă:

$$r_Z \approx \frac{1}{\sqrt{I_Z}} \left( \text{mai exact : } r_Z = \frac{a}{I_Z^p} + b, \text{ cu } p = 0,3 \dots 1 \text{ și } a, b \text{ constante} \right).$$

În practică se preferă aproximarea rezistenței diferențiale cu o valoare constantă, adică liniarizarea caracteristicii diodei. Caracteristica liniarizată a diodei este trasată cu linia punctată tangentă la graficul din figura 2.34.b, iar rezistența dinamică se poate calcula din panta acestei drepte:

$$r_Z = \Delta U / \Delta I. \quad (2.71)$$

Ecuția caracteristicii statice liniarizate a diodei zener,

$$u_Z = U_{Z0} + r_Z \cdot i_Z, \quad (2.72)$$

stă la baza modelului acesteia, prezentat în figura 2.34.c sub forma unei scheme echivalente. Dioda ideală din schema echivalentă nu permite circulația curentului dinspre sursa echivalentă  $U_{Z0}$  spre circuitul exterior diodei (și de aceea  $U_{Z0}$  este o sursă pasivă). Schema echivalentă este valabilă pentru un curent prin diodă cuprins între curentul minim și curentul maxim de stabilizare.

**Curentul minim de stabilizare  $I_{Zm}$**  este curentul la care dioda zener încă mai funcționează în regim de stabilizare. Acest curent depinde de aplicația concretă prin valoarea maximă admisă pentru rezistența diferențială. O primă estimare poate fi:  $I_{Zm} = (0,05 \dots 0,1) I_{ZM}$ .

**Curentul maxim de stabilizare  $I_{ZM}$**  este impus de regimul termic staționar al diodei zener, astfel încât temperatura diodei să fie mai mică decât temperatura maximă admisibilă. Valoarea lui  $I_{ZM}$  corespunde puterii maxime care poate fi disipată de diodă,  $P_{Dadm}$  (specificată la  $T_0 = 25^\circ\text{C}$ ):

$$I_{ZM} = P_{Dadm} / U_Z. \quad (2.73)$$

Puterea disipată admisibilă  $P_{Dadm}$  are valori uzuale de  $0,5 \dots 50\text{W}$  în funcție de tipul diodei.

**Coefficientul de temperatură  $\alpha_{VZ}$**  reprezintă variația normată a tensiunii cu temperatura:

$$\alpha_{VZ} = \frac{du_Z}{dT} \frac{1}{U_Z} \left[ \frac{\%}{^\circ\text{C}} \right]. \quad (2.74)$$

Coefficientul de temperatură este negativ pentru diode cu  $U_Z < 5 \dots 6\text{V}$ , pozitiv pentru tensiuni mai mari și minim pentru  $U_Z = 5 \dots 6\text{V}$ . Există și dispozitive speciale de stabilizare a tensiunii la care sunt folosite tehnici speciale de compensare termică.

Cu ajutorul coeficientului  $\alpha_{VZ}$  se poate calcula tensiunea de stabilizare la o temperatură  $T$ :

$$U_Z(T) = U_Z(T_0) \cdot [1 + \alpha_{VZ}(T - T_0)]. \quad (2.75)$$

Dioda zener este folosită mai ales ca element de referință în stabilizatoarele de tensiune sau ca element activ în stabilizatoarele parametrice. Alte aplicații uzuale ale diodelor zener sunt limitatoarele de tensiune și circuitele de deplasare de nivel.

## 2.5.2 Stabilizatorul de tensiune parametric

Stabilizatorul de tensiune este circuitul care menține cât mai constantă tensiunea la ieșire în raport cu variația tensiunii la intrare, a curentului de ieșire și a temperaturii.

Stabilizatorul de tensiune parametric constă dintr-o rezistență conectată în serie și o diodă zener conectată în paralel cu sarcina, conform figurii 2.35. Denumirea acestuia provine de la faptul că valoarea tensiunii stabilizate depinde direct de parametrii diodei zener. Rezistența din circuit se mai numește **rezistență de balast** deoarece preia surplusul de tensiune dintre intrare și ieșire.

Pentru a analiza funcționarea de principiu a circuitului, se înlocuiește dioda zener cu modelul simplificat, modelul din figura 2.34.b cu  $r_Z = 0$ . Anularea rezistenței diferențiale este posibilă datorită valorilor mici ale acesteia; rezultă astfel modelul diodei stabilizatoare ideale, la care tensiunea nu depinde de curent. La determinarea variațiilor tensiunii de ieșire va trebui să se ia în considerare însă și rezistența diferențială a diodei, neglijată inițial. Dioda ideală din figura 2.34.b s-a înlocuit cu un scurtcircuit deoarece curentul prin diodă este pozitiv,  $i_Z > 0$ .

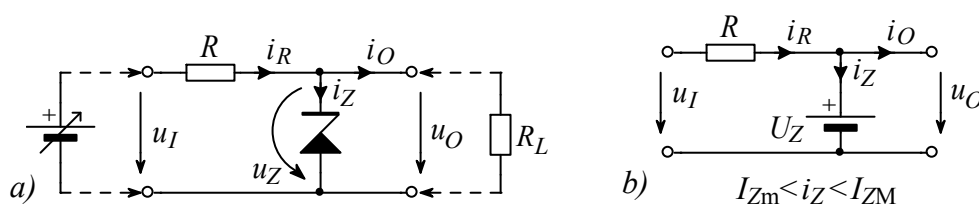


Fig. 2.35. Stabilizatorul parametric; schema de principiu și schema echivalentă simplificată.

Pe baza circuitului simplificat din figura 2.35.b se determină limitele pentru care circuitul funcționează corect. Dacă se presupune în prima fază a analizei curentul de ieșire constant, atunci **limitele posibile ale tensiunii de intrare** rezultă din limitele admise ale curentului prin diodă:

$$I_{Zm} \leq i_Z \leq I_{ZM}, \quad (2.76)$$

$$i_Z = i_R - i_O = \frac{u_I - U_Z}{R} - i_O \Rightarrow u_I = U_Z + R \cdot (i_Z + i_O) \quad (2.77).$$

Cu literă mică se notează mărimile electrice din circuit, cu literă mare parametrii diodei sau mărimile constante. Pentru  $i_O = \text{constant} = I_O$ , limitele posibile ale tensiunii de intrare sunt:

$$U_Z + R \cdot (I_{Zm} + I_O) \leq u_I \leq U_Z + R \cdot (I_{ZM} + I_O). \quad (2.78)$$

$$\text{În orice caz condiția foarte simplă:} \quad u_I > U_Z \quad (2.79)$$

este absolut necesară; circuitul poate să reducă tensiunea de intrare dar nu poate să o mărească.

Pentru a calcula **limitele curentului de ieșire** se presupune că tensiunea de intrare este constantă  $u_I = \text{constant} = U_I$  și că respectă cel puțin relația (2.79). Curentul maxim de ieșire rezultă pentru curentul minim de stabilizare  $I_{Zm}$  prin diodă:

$$i_O = \frac{u_I - U_Z}{R} - i_Z \Rightarrow i_{OM} = \frac{U_I - U_Z}{R} - I_{Zm}. \quad (2.80)$$

La un curent nul prin sarcină rezultă un curent maxim prin diodă iar puterea disipată va fi maximă. Se verifică dacă puterea disipată în diodă este mai mică decât puterea maximă admisă,  $P_{D\text{adm}}$ .

$$i_{ZM} = \frac{U_I - U_Z}{R}, \quad P_{dZM} = U_Z \cdot i_{ZM} < P_{Dadm}. \quad (2.81)$$

Dacă această condiție nu se îndeplinește, atunci se calculează valoarea minimă admisă a curentului de ieșire:  $i_{Om} = (U_I - U_Z)/R - I_{ZM}$  și se impune condiția suplimentară:  $i_O > i_{Om}$  sau se alege o altă diodă zener cu o putere disipată admisibilă  $P_{Dadm}$  mai mare.

**Variația tensiunii de ieșire** este variația tensiunii pe dioda zener. Conform (2.71) rezultă:

$$\Delta u_O \cong r_D \Delta i_Z = r_D \cdot (i_{ZM} - i_{Zm}). \quad (2.82)$$

Curenții, minim și maxim, care circulă efectiv prin diodă,  $i_{Zm}$  și  $i_{ZM}$ , se calculează considerând limitele extreme de variație ale tensiunii de intrare și ale curentului de ieșire. Variația simultană a tensiunii de intrare și a curentului de ieșire este analizată în exemplul următor.

### Exemplu de proiectare

- Să se determine parametrii ( $U_{Z0}$  și  $r_Z$ ) unei diode stabilizatoare pentru care s-au măsurat:  $U_{Z1} = 6,3\text{ V}$  la  $I_{Z1} = 50\text{ mA}$  și  $U_{Z2} = 6,4\text{ V}$  la  $I_{Z2} = 100\text{ mA}$ .
- Utilizând această diodă să se proiecteze un stabilizator parametric care să funcționeze corect pentru  $u_I = 12 \dots 15\text{ V}$  și  $i_O = 20 \dots 80\text{ mA}$ . Se admite  $I_{Zm} = 5\text{ mA}$ ,  $P_{Dadm} = 1\text{ W}$  și  $r_Z \cong 0$ .
- Să se determine limitele extreme ale tensiunii de ieșire pentru  $r_Z$  calculată la punctul a.

#### Rezolvare:

a) Schema echivalentă a diodei zener din figura 2.34.c conduce la relația (2.72). Pentru a calcula parametrii diodei,  $U_{Z0}$  și  $r_Z$ , (considerați ca fiind constante), se scrie relația (2.72) de două ori succesiv pentru cele două puncte (de pe caracteristica diodei) din enunț:

$$\begin{cases} U_{Z1} = U_{Z0} + r_Z \cdot I_{Z1} \\ U_{Z2} = U_{Z0} + r_Z \cdot I_{Z2} \end{cases}$$

Cele două ecuații sunt un sistem de ecuații cu necunoscutele  $U_{Z0}$  și  $r_Z$ . Rezultă:

$$r_Z = \frac{U_{Z2} - U_{Z1}}{I_{Z2} - I_{Z1}} = \frac{6,4 - 6,3}{0,1 - 0,05} = 2\Omega, \quad U_{Z0} = U_{Z1} + r_Z I_{Z1} = 6,2\text{ V}.$$

b) Prin proiectarea stabilizatorului se înțelege determinarea componentelor stabilizatorului parametric cu schema din figura 2.35.a, adică aflarea valorii și a puterii disipate de rezistorul  $R$ . Deoarece se neglijează  $r_Z$ , calculele se pot face pe schema echivalentă din figura 2.35.b.

Pentru ca stabilizatorul să funcționeze corect, curentul prin diodă trebuie să fie mai mare decât curentul minim pentru orice valoare a tensiunii de intrare și a curentului de ieșire:

$$i_Z = i_R - i_O = \frac{u_I - U_{Z0}}{R} - i_O \geq I_{Zm}.$$

Cele mai defavorabile condiții în ecuația precedentă apar pentru o valoare minimă în stânga inegalității adică pentru tensiunea de intrare minimă și curentul de ieșire maxim,  $U_{Im}$  și  $I_{Om}$ :

$$\frac{U_{Im} - U_{Z0}}{R} - I_{Om} \geq I_{Zm} \Rightarrow R \leq \frac{U_{Im} - U_{Z0}}{I_{Om} + I_{Zm}} = \frac{12 - 6,2}{(80 + 5)\text{ mA}} \cong 68\Omega.$$

Puterea disipată de rezistor este maximă pentru o tensiune de intrare maximă:

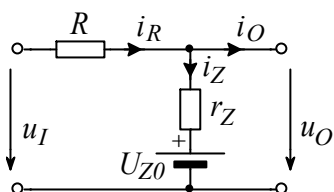
$$P_{dRM} = \frac{(U_{IM} - U_{Z0})^2}{R} = \frac{(15 - 6,2)^2}{68} = 1,14\text{W}$$

Se poate alege un rezistor de  $68\Omega/2\text{W}$ . În final se verifică dacă puterea maximă disipată în dioda zener este mai mică decât puterea maximă admisibilă:

$$P_{dZM} = U_Z \left( \frac{U_{IM} - U_{Z0}}{R} - I_{Om} \right) = 6,2 \left( \frac{15 - 6,2}{68} - 0,02 \right) = 0,68\text{W} < 1\text{W} (= P_{Dadm}).$$

c) Pentru a determina limitele tensiunii de ieșire trebuie să se ia în considerare și  $r_Z$  prin utilizarea schemei echivalente din figura 2.34.c în locul diodei. În circuitul echivalent rezultat astfel, figura 2.36, se calculează tensiunea de ieșire și apoi se consideră cazurile extreme:

$$u_O = \frac{U_{Z0} + r_Z \left[ (u_I/R) - i_O \right]}{1 + r_Z/R} = \frac{6,2 + 2 \left[ (12/68) - 0,08 \right]}{1 + 2/68} \dots \frac{6,2 + 2 \left[ (15/68) - 0,02 \right]}{1 + 2/68} = 6,21 \dots 6,413\text{V}$$



**Fig. 2.36.** Stabilizatorul parametric: schema echivalentă utilizată pentru determinarea variațiilor tensiunii de ieșire.

Calculul simplificat se poate face conform următoarei metode: se calculează curentul prin dioda zener fără a considera rezistența diferențială a diodei (aproximație posibilă deoarece  $r_Z \ll R$  și  $i_Z < i_R$ ) și apoi se determină tensiunea de ieșire considerând și rezistența  $r_Z$ :

$$u_O = U_{Z0} + r_Z i_Z \cong U_{Z0} + r_Z \left( \frac{u_I - U_{Z0}}{R} - i_O \right)$$

În acest caz limitele extreme ale tensiunii de ieșire vor fi:

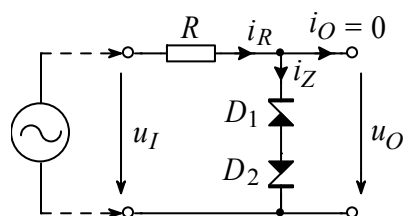
$$u_O \cong 6,2 + 2 \cdot \left[ \left( \frac{12 - 6,8}{68} - 0,08 \right) \dots \left( \frac{15 - 6,8}{68} - 0,02 \right) \right] = 6,211 \dots 6,419\text{V}$$

Se poate constata o diferență nesemnificativă între rezultatele celor două metode de calcul; calculul aproximativ este preferabil în practică deoarece este mai simplu.

### 2.5.3 Limitator de tensiune bilateral cu diodă zener (DZ)

Diodele zener pot fi utilizate în aplicații de curent alternativ (*ca*) pentru a fixa niveluri limită de tensiune care nu trebuie depășite. Stabilizatorul de tensiune (fără sarcină) poate fi privit ca un limitator de tensiune care limitează alternanța pozitivă la tensiunea de stabilizare  $U_Z$  și alternanța negativă la tensiunea unei diode polarizate direct  $U_D$ . Stabilizatoarele cu diode zener pot fi privite ca limitatoare cu tensiune de prag unipolare (prezentate în paragraful 2.2.7) pentru  $U_P \cong U_Z$ .

Un limitator specific diodelor zener este obținut prin conectarea în opoziție a două diode zener – în serie, cu anozii (sau catodii) comuni, ca în figura 2.37. Circuitul limitează ambele vârfuri ale semnalului conform figurii 2.15 cu  $U_{O+} = U_{Z1} + U_D$  și  $U_{O-} = -U_{Z2} - U_D$ .



**Fig. 2.37.** Limitatorul bilateral de tensiune realizat cu două diode zener (conectate în opoziție).



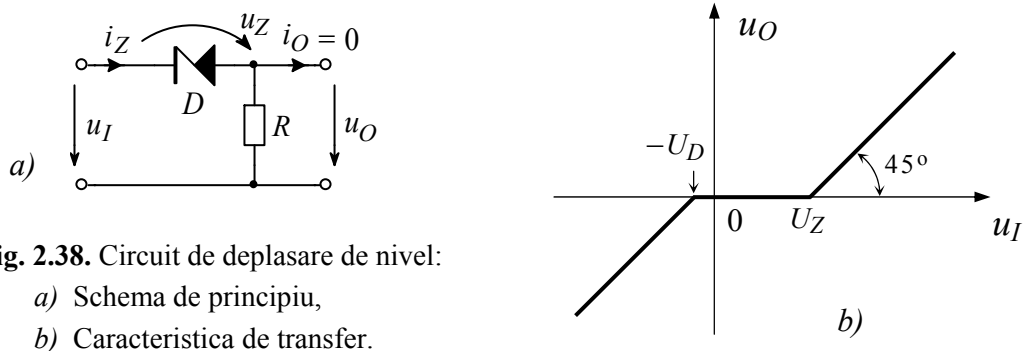
Tensiunea de ieșire depinde de starea diodelor care pot fi: blocate cu  $i_A \cong 0$ , în conducție directă cu  $u_A \cong U_D$  sau în străpungere cu  $-u_A \cong U_Z$ . Astfel:

$$\begin{cases} u_O = U_{Z1} + U_D & \text{dacă } u_I \geq U_{Z1} + U_D ; D_2 \text{ conduce direct, } D_1 \text{ ca diodă zener} \\ u_O = u_I & \text{dacă } -U_{Z2} - U_D < u_I < U_{Z1} + U_D ; \text{ ambele diode sunt blocate} \\ u_O = -U_{Z2} - U_D & \text{dacă } u_I \leq -U_{Z2} - U_D ; D_1 \text{ conduce direct, } D_2 \text{ ca diodă zener} \end{cases} \quad (2.83)$$

Rezistorul  $R$  preia diferența de tensiune dintre intrare și ieșire atunci când diodele conduc. Dacă tensiunea este între valorile limită, căderea de tensiune pe  $R$  este nulă deoarece diodele sunt blocate și circuitul lucrează în gol:  $i_R = i_Z + i_O \cong 0 + 0 = 0 \Rightarrow u_O = u_I - u_R = u_I - R \cdot i_R = u_I$ .

### 2.5.4 Circuit de deplasare de nivel cu DZ

Circuitul de deplasare de nivel modifică nivelul de  $cc$  al unui semnal, astfel încât tensiunea de ieșire este mai mică (sau mai mare) decât tensiunea de intrare cu o valoare constantă. Astfel de circuite pot fi utilizate pentru cuplarea etajelor de amplificare din interiorul unui circuit integrat. Un circuit de deplasare de nivel și caracteristica de transfer realizată sunt prezentate în figura 2.38.



**Fig. 2.38.** Circuit de deplasare de nivel:

- a) Schema de principiu,  
b) Caracteristica de transfer.

Tensiunea de ieșire depinde de starea diodei și poate fi exprimată analitic ca fiind:

$$u_O = u_I - u_Z \quad \text{sau} \quad u_O = R \cdot i_R = R \cdot (i_Z - i_O) = R \cdot i_Z, \quad (i_O = 0, \text{ ieșirea este în gol}).$$

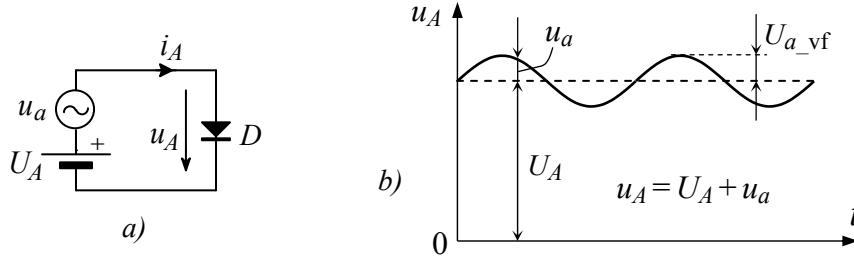
1. Pentru  $u_I > U_Z$  dioda  $D$  lucrează ca diodă zener,  $u_Z = U_Z$  și  $u_O = u_I - U_Z$  ( $< u_I$ ).
2. Dacă  $u_I < -U_D$  atunci dioda  $D$  este polarizată direct,  $u_Z = -U_D$  și  $u_O = u_I + U_D$  ( $> u_I$ ).
3. Dacă  $u_I$  este între cele două limite, atunci dioda  $D$  este blocată,  $i_Z \cong 0$  și  $u_O \cong 0$ .

Circuitul poate fi privit și ca detector de prag, cu pragul pozitiv  $U_Z$  (și pragul negativ  $-U_D$ ) în sensul că la ieșirea circuitului apare o tensiune doar dacă tensiunea de intrare depășește tensiunea  $U_Z$  (sau este mai mică decât  $-U_D$ ).

În primul caz (dintre cele trei situații posibile) circuitul realizează deplasarea nivelului de  $cc$  cu tensiunea  $U_Z$ , în sensul că tensiunea de ieșire este mai mică decât cea de intrare cu  $U_Z$  (în  $cc$ ). Semnalul de intrare constă din variațiile tensiunii de intrare. Aceste variații se transmit la ieșire practic nemodificate (deoarece tensiunea pe dioda zener se menține aproximativ constantă  $u_Z \cong U_Z$ , indiferent de variațiile tensiunii de intrare, cât timp  $u_I > U_Z$ ).

## 2.6 DIODA ÎN REGIM DINAMIC

În unele aplicații, peste componenta de polarizare, de curent continuu (*cc*), se suprapune un semnal de curent alternativ (*ca*). În aceste cazuri prezintă interes determinarea componentei de *ca* a curentului presupunând cunoscută tensiunea de *ca*, sau identificarea unei scheme echivalente a diodei utilizabilă în *ca*. Cel mai simplu circuit cu diodă la care apar atât mărimi de *cc* cât și de *ca* este prezentat în figura 2.39.a.



**Fig. 2.39.** a) Circuit de principiu pentru studiul regimului dinamic al diodei; b) Semnalul sinusoidal  $u_a$  suprapus peste tensiunea de polarizare  $U_A$ .

Conform circuitului, tensiunea aplicată diodei în fiecare moment (componentă totală sau instantanee) este o sumă a tensiunii de polarizare (componenta de *cc*) și a tensiunii semnalului (componenta de *ca*):

$$u_A = U_A + u_a . \quad (2.84)$$

Tensiunea pe diodă și componentele acesteia sunt puse în evidență în figura 2.39.b pentru cazul unui semnal sinusoidal.

### 2.6.1 Dioda idealizată la joasă frecvență

Termenul de joasă frecvență se referă la un regim de funcționare cvasistaționar, adică un regim care poate fi descompus într-o succesiune de regimuri staționare. Trecerea de la un *psf* la altul nu este afectată de efectele capacitive din circuit; timpii de trecere de la un regim la altul sunt mult mai lungi decât constantele de timp asociate capacităților și regimurile tranzitorii se pot neglija.

Ecuția diodei idealizate pentru  $i_A \gg I_0$ , (2.64), este valabilă atât în de *cc* cât și pentru mărimile instantanee:

$$I_A = I_0 \exp \frac{U_A}{nU_T}, \quad i_A = I_0 \exp \frac{u_A}{nU_T} . \quad (2.85)$$

După înlocuirea tensiunii instantanee conform relației (2.84) se obține:

$$i_A = I_0 \exp \frac{U_A + u_a}{nU_T} = I_0 \exp \frac{U_A}{nU_T} \exp \frac{u_a}{nU_T} = I_A \exp \frac{u_a}{nU_T} = I_A \left[ 1 + \frac{u_a}{nU_T} + \frac{1}{2!} \left( \frac{u_a}{nU_T} \right)^2 + \dots \right] .$$

Dacă așa numita condiție de semnal mic:

$$u_a \ll nU_T , \quad (2.86)$$

este valabilă, atunci termenii superiori din dezvoltarea în serie a exponențialei pot fi neglijați și se obține o relație liniarizată din care se poate exprima componenta de *ca* a curentului:

$$i_A \cong I_A + I_A \frac{u_a}{nU_T} = I_A + i_a \Rightarrow i_a = I_A \frac{u_a}{nU_T} . \quad (2.87)$$

Se constată că dacă se aplică diodei o tensiune de polarizare combinată cu un semnal mic, se pot separa cele două componente ale curentului, una de polarizare și una de semnal; comportarea diodei este liniară și circuitului i se poate aplica o versiune modificată a teoremei superpoziției. **Metoda de analiză** care rezultă constă din calcularea separată a mărimilor de *cc* pe baza schemei

echivalente de  $cc$  (în care sursele independente de  $ca$  sunt pasivizate) și apoi a mărimilor de  $ca$ , pe baza schemei echivalente de  $ca$  (în care sursele de  $cc$  sunt pasivizate). În final se obțin mărimile electrice instantanee, prin însumarea celor două componente ale fiecărei mărimi. Această metodă se poate aplica pentru circuitele care se comportă liniar, cel puțin în condiții de semnal mic.

Din punct de vedere practic, condiția de semnal mic înseamnă că amplitudinea componentei de  $ca$  trebuie să fie mai mică decât circa 10mV:

$$U_{a\_vf} < 10 \text{ mV}, \quad (2.88)$$

ceea ce conduce, la temperatura camerei, la o eroare mai mică de 2...7% (funcție de valoarea lui  $n$ ).

Liniaritatea relației dintre mărimile de  $ca$  înseamnă că diodei se comportă rezistiv (în  $ca$ ):

$$r_D = \frac{du_A}{di_A} \cong \frac{u_a}{i_a} = r_d, \quad r_d = \frac{nU_T}{I_A}. \quad (2.89)$$

Conform relației anterioare, **rezistența diferențială** a diodei  $r_D$  este aproximativ egală cu  $r_d$  – **rezistența dinamică** (sau rezistența internă) a diodei în condiții de semnal mic.

## 2.6.2 Comportarea diodei la înaltă frecvență

La frecvențe înalte apare un regim de funcționare nestaționar, la care efectele capacitive din circuit nu mai pot fi neglijate. La o diodă se pot constata două efecte capacitive majore care se modelează cu două capacități: capacitatea de barieră și capacitatea de difuzie.

### Capacitatea de barieră

Dacă se analizează structura unei joncțiuni  $pn$  din figurile 2.25 și 2.26 se remarcă o structură de condensator plan: un izolator (regiunea golită de purtători mobili) între două armături (regiunile neutre, conductive). Capacitatea, numită de barieră, a acestui condensator plan este:

$$C_b = \frac{\varepsilon \cdot A_J}{l_J} \approx \frac{1}{\sqrt{U_0 - u_A}} = \frac{1}{\sqrt{U_0}} \cdot \frac{1}{\sqrt{1 - u_A/U_0}}, \quad (2.90)$$

unde  $A_J$  este aria joncțiunii,  $\varepsilon$  este permitivitatea dielectrică a siliciului și  $U_0$  este potențialul electric intern al joncțiunii. La relația precedentă s-a utilizat dependența (2.54). Proportionalitatea se păstrează indiferent de tensiunea aplicată diodei deci și la polarizare nulă:

$$C_{b0} = C_b|_{U_A=0} = \frac{\varepsilon \cdot A_J}{l_{J0}} \approx \frac{1}{\sqrt{U_0}} \Rightarrow C_b = \frac{C_{b0}}{\sqrt{1 - u_A/U_0}}. \quad (2.91)$$

În condiții de semnal mic, variația de tensiune este mică și poate fi neglijată,

$$u_A = U_A + u_a \cong U_A \text{ pentru } u_a \ll U_A,$$

deci capacitatea de barieră poate fi considerată constantă. Valoarea acestei capacități depinde însă de  $psf$ , fiind funcție de tensiunea de polarizare  $U_A$ . Relația mai precisă de calcul a  $C_b$ :

$$C_b = \frac{C_{b0}}{(1 - U_A/U_0)^m}, \quad (2.92)$$

introduce un coeficient suplimentar care depinde de tipul joncțiunii, numit factor de gradare,  $m \cong 0,5$  pentru joncțiuni abrupte și  $m \cong 0,33$  pentru joncțiuni gradate (la care trecerea de la o majoritate de impurități acceptoare la o majoritate de impurități donoare se face gradat; este cazul joncțiunilor obținute prin difuzie).

La polarizare directă precizia relației precedente este nesatisfăcătoare și va fi înlocuită de o relație empirică:

$$C_b \cong 2 C_{b0}. \quad (2.92')$$

### Capacitatea de difuzie

Capacitatea de difuzie se datorează sarcinilor electrice acumulate în regiunile neutre ale joncțiunii. La polarizare directă, curentul electric prin joncțiune se datorează difuziei purtătorilor majoritari care după traversarea RSS devin purtători minoritari în regiunea neutră respectivă. Concentrația purtătorilor minoritari de sarcină din regiunile neutre este schițată în figura 2.27.

La modificarea tensiunii pe joncțiune, se modifică concentrația purtătorilor majoritari și curentul prin joncțiune. Modificarea sarcinii electrice (a purtătorilor minoritari din regiunile neutre, a căror concentrație s-a modificat) cu modificarea tensiunii este specifică unei capacități. Modelarea acestui efect capacitiv (complet diferit de efectul de stocare a sarcinii în RSS) se face cu ajutorul capacității de difuzie:

$$C_d = \frac{dQ}{du_A}, \quad dQ = \tau_T \cdot di_A \Rightarrow C_d = \tau_T \frac{di_A}{du_A} = \frac{\tau_T}{r_D}, \quad (2.93)$$

unde  $\tau_T$  este  **timpul mediu de tranzit**  al diodei. La dispozitivele practice, cu joncțiunii asimetrice, acest timp reprezintă timpul de viață al purtătorilor regiunii mai puternic dopate, de exemplu pentru cazul  $N_A \gg N_D$ ,  $i_p \gg i_n$ ,  $Q_p \gg Q_n$ ,  $Q \cong Q_p$  și  $\tau_T \cong \tau_p$ , adică timpul mediu de tranzit este aproximativ egal cu timpul de viață al gurilor în zona  $n$  (purtători minoritari, după traversarea joncțiunii).

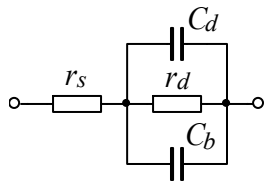
În condiții de semnal mic,  $r_D \cong r_d$ ,  $i_A \cong I_A$  și utilizând (2.89), pentru  $n=1$ , rezultă:

$$C_d = \frac{\tau_T}{U_T} I_A, \quad (2.94)$$

unde  $I_A$  este curentul de polarizare în *psf*. Capacitatea  $C_d$  este direct proporțională cu  $I_A$  și de aceea este foarte mică la polarizare inversă (în general pentru tensiuni mai mici decât tensiunea de prag a diodei). Pentru a obține o capacitate de difuzie cât mai mică, în cazul diodelor de înaltă frecvență, timpul de tranzit se reduce prin metode tehnologice speciale (de exemplu dopare cu aur).

#### 2.6.3 Schema echivalentă la semnal mic

Reunind elementele prezentate anterior  $r_d$ ,  $C_b$  și  $C_d$  rezultă schema echivalentă de semnal mic a diodei, prezentată în figura 2.40.



**Fig. 2.40.** Schema echivalentă a diodei în regim dinamic la semnal mic.

Rezistența  $r_s$  este rezistența serie a diodei și reprezintă în esență rezistența regiunilor neutre ale joncțiunii conform relației (2.61), cu valori de ordinul ohmilor – de la fracțiuni de ohm la diodele de curent mare și până la zeci (sau chiar sute) de ohmi la diodele de curent mic.

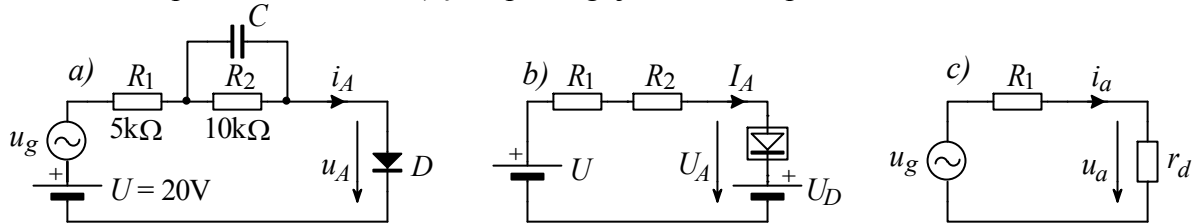
Schema echivalentă se simplifică în funcție de regimul de funcționare al diodei:

- Pentru curenți mici și medii prin diodă, rezistența serie  $r_s$  se poate neglija, deoarece  $r_d \gg r_s$ .
- La polarizare directă, capacitatea de barieră  $C_b (\cong 2 C_{b0})$  se poate neglija, deoarece  $C_d \gg C_b$ .
- La polarizare inversă,  $C_d \cong 0$ ,  $r_d$  este foarte mare și din schema echivalentă rămâne doar  $C_b$ .
- La joasă frecvență dioda are caracter rezistiv; reactanțele capacitive sunt mici și se pot neglija.

### Aplicație

Pentru circuitul din figura 2.41.a cu  $u_g = 0,5 \sin \omega t$  (V), se consideră o diodă cu  $U_D = 0,6$  V;  $U_T = 26$  mV și  $n = 1$ . Să se determine tensiunea la bornele diodei și curentul care trece prin diodă.

La frecvența semnalului, condensatorul are o reactanță foarte mică (poate fi considerat un scurtcircuit din p.d.v. al semnalului) și se pot neglija efectele capacitive din diodă.



**Fig. 2.41.** Aplicație la regimul dinamic al diodei. a) Schema de principiu și schemele echivalente: b) de cc; c) de ca.

### Rezolvare:

Se presupune inițial că este îndeplinită condiția de semnal mic, (2.86) sau (2.88) și deci dioda are o comportare aproximativ liniară. Ca urmare se poate utiliza versiunea modificată a teoremei superpoziției, care constă din calcularea separată a mărimilor de cc pe baza schemei echivalente de cc și apoi a mărimilor de ca, pe baza schemei echivalente de ca. Mărimile electrice instantanee se obțin prin însumarea celor două componente ale fiecărei mărimi.

În schema echivalentă de cc din figura 2.41.b:

- sursa independentă de ca este pasivizată (se anulează, deci se înlocuiește cu un scurtcircuit),
- dioda este înlocuită cu modelul cu tensiune de prag (model sugerat de forma în care se dau datele problemei) și
- condensatorul este înlocuit cu o întrerupere de circuit (nu mai apare în schema de cc, deoarece nu are nici un efect în cc).

Schema echivalentă de ca din figura 2.41.c se obține prin:

- pasivizarea sursei de cc,
- înlocuirea diodei cu schema echivalentă de semnal mic, joasă frecvență și
- înlocuirea condensatorului cu un scurtcircuit.

Determinarea  $psf$  al diodei se face în schema echivalentă de cc. Dioda ideală din schemă se înlocuiește cu un scurtcircuit, deoarece este în conducție, parcursă de un curent pozitiv:

$$I_A = \frac{U - U_D}{R_1 + R_2} = \frac{20 - 0,6}{15\text{k}} = 1,3\text{ mA}.$$

Conform 2.89, rezistența dinamică a diodei este:  $r_d = \frac{nU_T}{I_A} = \frac{26\text{m}}{1,3\text{m}} = 20\Omega.$

Tensiunea de ca pe diodă se determină cu regula divizorului de tensiune în schema de ca:

$$u_a = \frac{r_d}{r_d + R_1} u_g = \frac{20}{5020} 0,5 \sin \omega t = 2 \cdot 10^{-3} \sin \omega t \text{ (V)}.$$

Se constată că este îndeplinită condiția de semnal mic:

$$u_a < u_{a\max} = 2\text{mV} \ll nU_T = 26\text{mV}$$

și deci presupunerea inițială (de comportare liniară a diodei) este validată.

Componenta alternativă a curentului prin diodă se determină din legea lui Ohm în *ca*:

$$i_a = \frac{u_a}{r_d} = \frac{2 \cdot 10^{-3} \sin \omega t}{20} = 0,1 \sin \omega t \text{ (mA)}.$$

Mărimile instantanee (tensiunea pe diodă și curentul prin diodă) se obțin prin însumarea componentei de *cc* cu cea de *ca* pentru fiecare mărime în parte:

$$u_A = U_A + u_a = 0,6 + 2 \cdot 10^{-3} \sin \omega t \text{ (V)},$$

$$i_A = I_A + i_a = 1,3 + 0,1 \sin \omega t \text{ (mA)}.$$

La această problemă s-a folosit **metoda superpoziției în *cc* și *ca***, metodă care se va utiliza intensiv pentru calcularea circuitelor electronice. Modul de obținere a circuitelor echivalente (de *cc* și de *ca*) a fost prezentat sistematic și poate fi utilizat la orice alt circuit liniar (sau liniarizat în condiții de semnal mic). Se observă că rezolvarea circuitelor echivalente este foarte simplă.

## 2.7 MODELAREA DIODEI ÎN SPICE

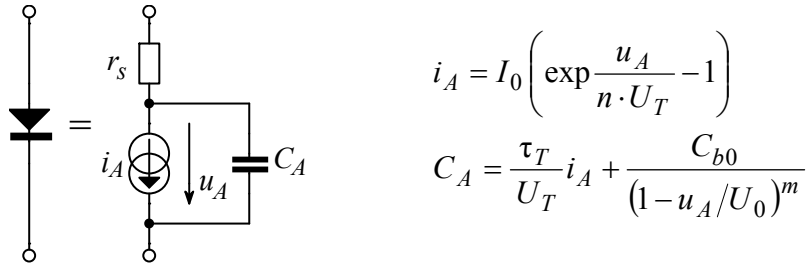
Utilizarea calculatorului la simularea funcționării circuitelor electrice este un pas important al proiectării. Aceasta permite proiectantului să verifice dacă proiectul va respecta specificațiile, în condițiile în care se vor utiliza componente reale de circuit. De asemenea, permite proiectantului să analizeze mai precis funcționarea circuitului și să ajusteze proiectul final înaintea intrării acestuia în fabricație. Țin să subliniez că **simularea circuitului cu ajutorul calculatorului nu poate înlocui în nici un caz înțelegerea funcționării circuitului respectiv**, trebuie utilizată într-o fază avansată a proiectării și în orice caz numai după ce s-au determinat componentele circuitului printr-un calcul simplificat. De altfel, simularea circuitului este un instrument de analiză, care necesită definirea prealabilă a structurii și componentelor circuitului simulat. Alegerea la întâmplare a componentelor circuitului, fără a înțelege funcționarea acestuia, este o metodă de lucru mare consumatoare de timp și în general sortită eșecului (datorită numărului imens de combinații posibile).

Devenit programul standard de simulare electrică cu calculatorul în întreaga lume, **SPICE** (Simulation Program with Integrated Circuit Emphasis – program de simulare orientat spre circuitele integrate) a fost dezvoltat la Universitatea din California, Berkeley în anii 1970 și a cunoscut multe versiuni comerciale. Modul de utilizare a programelor de tip SPICE nu se prezintă în această lucrare; pentru cei interesați, o carte de referință în domeniu este scrisă de unul dintre dezvoltatorii programului SPICE, Andrei Vladimirescu – „SPICE”, editura Tehnică, 1999 (traducere după “The SPICE Book” / Andrei Vladimirescu apărută în editura John Wiley & Sons în 1994).

### 2.7.1 Modelul de simulare al diodei

Valoarea rezultatelor simulării pentru proiectant depinde direct de calitatea modelelor utilizate pentru componentele de circuit în general și pentru dispozitivele electronice în special. Cu cât modelul reprezintă mai exact caracteristicile dispozitivului real, cu atât vor fi mai apropiate rezultatele simulării de comportarea circuitului real. Deci pentru a putea vedea efectul diferitelor imperfecțiuni ale funcționării dispozitivului asupra performanțelor circuitului, va trebui ca aceste imperfecțiuni să fie incluse în modelul de dispozitiv utilizat de simulator. Este evident că aceste observații se aplică la orice dispozitive și nu numai la diode.

Programul SPICE include un model intern pentru diodă. Acesta este un model de semnal mare al diodei prezentat în figura 2.42. Comportarea statică a diodei este modelată de ecuația exponențială a diodei (2.63) și comportarea dinamică este reprezentată de capacitatea neliniară  $C_A$ . Aceasta este suma dintre capacitatea de difuzie  $C_d$  și capacitatea de barieră  $C_b$  a joncțiunii, capacități calculate cu relații aproape identice cu (2.94) și (2.92). Rezistența serie  $r_s$  include efectul rezistenței regiunilor neutre ale joncțiunii (2.61) și are valori tipice de ordinul ohmilor până la zeci de  $\Omega$ . Pentru analiza de semnal mic, SPICE utilizează rezistența incrementală a diodei  $r_d$  și valorile incrementale (sau diferențiale) ale capacităților  $C_b$  și  $C_d$ .



**Fig. 2.42.** Modelul diodei în SPICE

Tabelul 2.1 prezintă lista celor mai importanți parametri ai modelului diodei, utilizați de SPICE. Sunt listate, de asemenea, valorile implicite ale acestor parametri (utilizate de SPICE în absența unor valori specificate de utilizator) și valorile practice pentru dioda redresoare 1N4001 (literele reprezintă multiplicatori: p – pico,  $10^{-12}$ ; n – nano,  $10^{-9}$ ; u – micro,  $10^{-6}$ ).

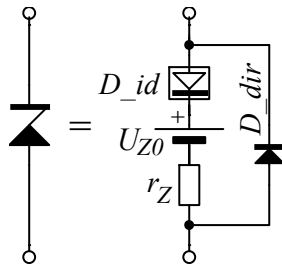
**Tab. 2.1.** Parametrii modelului de diodă din SPICE

Numele SPICE	Parametrul modelului	Simbol	Unitatea de măsură	Valoarea predefinită	Exemplu (1N4001)
IS	Curentul de saturație	$I_0$	A	$1\text{E}-14$	14.1n
N	Coeficientul de emisie	$n$	-	1	1.984
RS	Rezistența serie parazită	$r_s$	$\Omega$	0	0.034
VJ	Diferența internă de potențial	$U_0$	V	1	0.3245
CJ0	Capacitatea la polarizare nulă	$C_{b0}$	F	0	25.9p
M	Coeficientul de „gradare”	$m$	-	0,5	0.44
TT	Timpul de tranzit	$\tau_T$	s	0	5.7u
BV	Tensiunea de străpungere	$U_{Z0}$	V	$\infty$	75
IBV	Curentul invers la $U_{Z0}$	$I_{Zm}$	A	$1\text{E}-10$	10u

Modelarea dispozitivelor presupune pe de o parte utilizarea unui model (circuit echivalent) corespunzător și pe de altă parte determinarea valorilor parametrilor modelului. Determinarea acestor valori este o problemă dificilă, care presupune combinarea parametrilor procesului de fabricație cu măsurători efectuate asupra dispozitivelor reale. Actualmente, astfel de modele există pentru majoritatea dispozitivelor uzuale, fiind grupate în biblioteci de componente (create cel mai adesea de producătorii de dispozitive).

Modelul utilizat de SPICE nu descrie foarte exact funcționarea diodelor în regiunea de străpungere. În locul diodelor zener se poate utiliza circuitul echivalent al diodei din figura 2.43 (derivat din schema echivalentă a diodei zener din figura 2.33.c). Dioda ideală  $D_{id}$  poate fi implementată în SPICE prin fixarea unei valori foarte mici pentru indicele  $n$  al diodei (de exemplu

$n=0,01$ ) și dioda  $D\_dir$  este o diodă redresoare utilizată pentru a modela polarizarea directă a diodei zener (la aplicațiile în care diodei zener este polarizată doar invers dioda  $D\_dir$  poate lipsi).



**Fig. 2.43.** Model pentru dioda zener.

Acest model poate fi utilizat în SPICE ca subcircuit în locul diodei zener.

Dioda ideală  $D\_id$  poate fi aproximată în SPICE considerând  $n=0,01$ .

## 2.7.2 Simularea unui alimentator cu diodă zener

În exemplul următor se simulează un alimentator tipic de mică putere compus din două circuite: redresor în punte cu filtru capacitiv și stabilizator de tensiune cu diodă zener. Aceste circuite au fost analizate separat ca aplicații ale diodei redresoare, respectiv ale diodei zener.

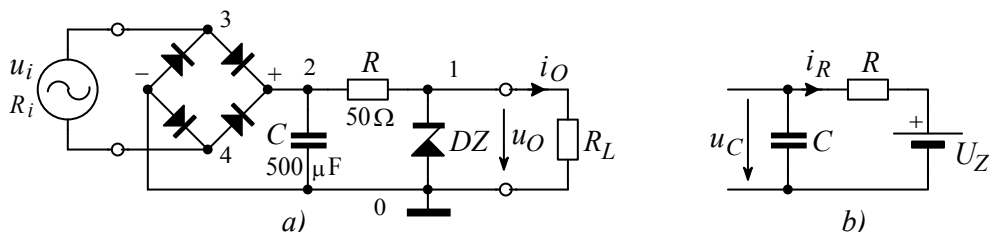
Cuplarea celor două circuite conduce la necesitatea de a adapta metodele de analiză specifice fiecărui circuit. În prima etapă se va face o analiză simplificată a circuitului, care va permite apoi simularea acestuia în SPICE. Dacă rezultatele simulării diferă mult de rezultatele analizei simplificate, se poate relua analiza circuitului cu metode mai precise și se reface simularea.

În anumite situații, se pot obține prin simulare rezultate care nu pot fi obținute prin metode convenționale de analiză; de exemplu se pot determina ondulațiile tensiunii pe condensator dacă sursa de tensiune alternativă de intrare prezintă o rezistență internă semnificativă. Exemplul de simulare prezentat în continuare a fost conceput ca să pună în evidență aceste etape de analiză.

### Problemă de analiză și exemplu de simulare în SPICE

Alimentatorul din figura 2.44.a este echipat cu diode redresoare de tip 1N4001 și cu o diodă zener PL5V1Z ai cărei parametrii  $U_Z=5,1V$  și  $r_Z=4\Omega$  sunt determinați la  $I_Z=50mA$ . Sursa de la intrare are o tensiune efectivă  $U_i=12V$  la frecvența industrială  $f=50Hz$ . Căderea de tensiune pe o diodă în conducție se estimează a fi  $U_D \approx 0,8V$ . În condițiile în care dioda zener lucrează corect, să se determine: curentul continuu maxim ce poate fi furnizat de acest circuit într-o sarcină rezistivă, ondulațiile tensiunii pe condensator și la ieșire, pentru:

- o rezistență internă nulă a sursei de la intrare  $R_i \approx 0$ ;
- o rezistență a sursei de la intrare  $R_i=10\Omega$ .



**Fig. 2.44.** Alimentator cu diodă zener: a) schema de principiu;  
b) circuitul echivalent de la ieșirea redresorului.

**Rezolvare:** a) Prin condiția ca dioda zener să lucreze corect se înțelege că dioda zener funcționează în regiunea de străpungere și deci în fiecare moment prin această diodă circulă un curent  $i_Z > 0$  (de la catod la anod). Așadar, maximul curentului continuu de ieșire se va determina din condiția ca valoarea instantanee a curentului prin dioda zener să fie pozitivă:



$$i_Z = i_R - i_O > 0 \quad \text{sau mai precis} \quad i_{Z\min} = i_{R\min} - i_{O\max} > 0 \Rightarrow i_{O\max} < i_{R\min}.$$

Într-o primă aproximație tensiunea pe dioda zener  $u_Z = u_O$  este constantă, ceea ce face ca și curentul prin sarcină să fie constant (pentru o rezistență de sarcină fixată). De aceea, curentul de ieșire maxim din relația precedentă se referă la maximum ce poate fi atins pentru diferite valori ale rezistenței de sarcină, iar minimum curentului prin rezistența  $R$  se referă la valoarea instantanee minimă care apare pentru o anumită rezistență de sarcină. Într-o primă aproximație curentul prin rezistența  $R$  nu depinde de valoarea rezistenței de sarcină (deoarece tensiunea de ieșire este menținută aproximativ constantă de dioda zener) și curentul minim prin rezistența  $R$  poate fi determinat din legea lui Ohm:

$$i_R = \frac{u_C - u_O}{R} \Rightarrow i_{R\min} = \frac{u_{C\min} - u_Z}{R} = \frac{u_{C\min} - U_{Z0}}{R}.$$

S-a considerat cazul limită în care curentul prin dioda zener este nul ( $i_O = i_{R\min}$ ) caz în care  $u_Z = U_{Z0}$ . Din analiza formei de undă a tensiunii  $u_C$  (care este practic identică cu forma de undă de la redresorul bialternanță cu filtru capacitiv din figura 2.14) tensiunea  $u_{C\min}$  rezultă:

$$u_{C\min} (= U_{vf} - U_{r\_vv}) = u_{C\max} - \Delta u_C \quad \text{cu} \quad u_{C\max} \cong U_{i\_vf} - 2 \cdot U_D = \sqrt{2} \cdot U_i - 2 \cdot U_D.$$

Variația tensiunii pe condensator se determină cu ajutorul relației (2.21) modificate.

$$\text{Din} \quad U_{r\_vv} \cong U_{vf} \frac{T}{R_L C}, \quad \text{pentru} \quad \frac{U_{vf}}{R_L} \cong I \Rightarrow \Delta u_C \cong I \frac{T}{2C},$$

unde  $I$  este curentul mediu prin sarcină (aproximat în relațiile de mai sus pentru cazul redresorului fără dioda zener). În cazul redresorului cu diodă zener, sarcina redresorului poate fi considerată conform circuitului echivalent din figura 2.44.b și curentul mediu rezultă:

$$I = \frac{U_C - U_Z}{R} \cong \frac{u_{C\max} - U_Z}{R} = \frac{\sqrt{2}U_i - 2U_D - U_Z}{R} = \frac{17 - 1,6 - 5,1}{50} = 0,206 \text{ A}.$$

Pentru simplitate tensiunea medie pe condensator  $U_C$  a fost aproximată cu tensiunea maximă  $u_{C\max}$  (această estimare poate fi aproximația inițială a unui eventual calcul iterativ). Variația de tensiune și tensiunea minimă se determină conform relațiilor anterioare:

$$\Delta u_C \cong \frac{I}{C} \cdot \frac{T}{2} = \frac{0,206}{0,5\text{m}} \cdot 10\text{m} = 4,12 \text{ V}, \quad u_{C\min} = u_{C\max} - \Delta u_C = 15,4 - 4,1 = 11,3 \text{ V}.$$

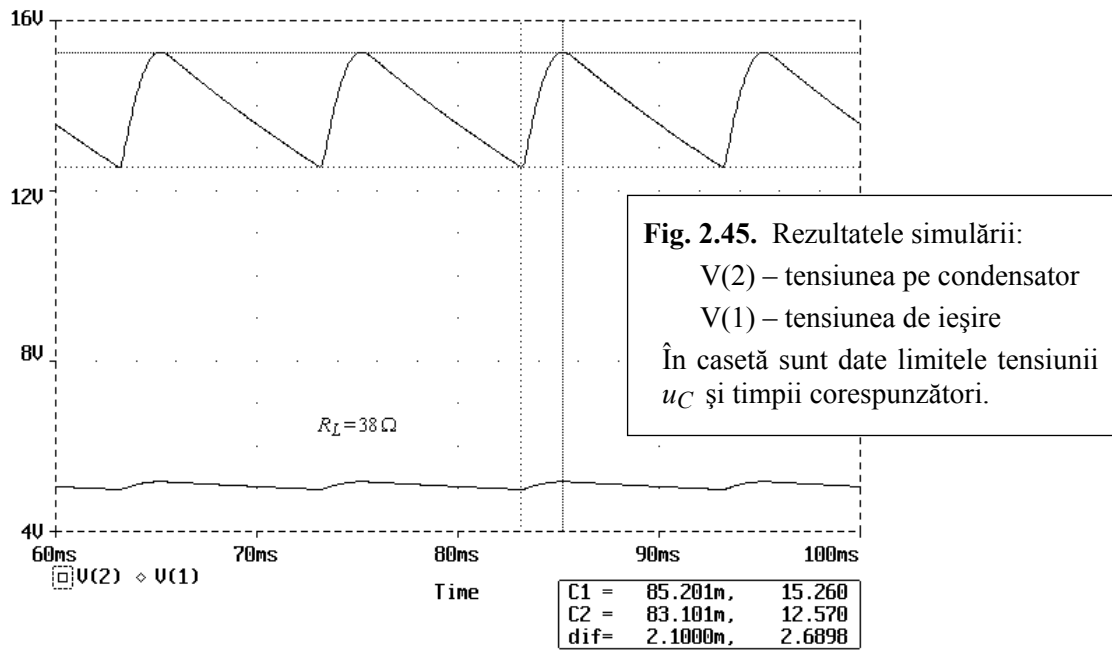
Curentul minim prin rezistența  $R$  și rezistența de sarcină care corespunde acestui curent (în cazul limită  $i_O = i_{R\min}$ ) sunt:

$$i_{R\min} = \frac{u_{C\min} - U_{Z0}}{R} = \frac{11,3 - 4,9}{50} = 0,128 \text{ A}, \quad R_{L\min} = \frac{U_{Z0}}{i_{R\min}} = \frac{4,9}{0,128} \cong 38 \Omega.$$

$U_{Z0}$ , tensiunea din schema echivalentă a diodei zener (figura 2.34.c sau 2.43), reprezintă intersecția caracteristici liniarizate a diodei zener din figura 2.34.b cu axa tensiunilor. Această tensiune se calculează din relația (2.72) particularizată pentru datele din acest exemplu:

$$U_{Z0} = U_Z - r_Z \cdot I_Z = 5,1 - 4 \cdot 50\text{m} = 4,9 \text{ V}.$$

După ce s-a determinat rezistența  $R_{L\min}$  se poate simula circuitul (la descrierea căruia sunt necesare toate componentele acestuia deci și  $R_{L\min}$ ). O parte din rezultatele simulării sunt prezentate în figura 2.45. Fișierul care descrie circuitul simulat este listat în figura 2.46.



```
* Redr.in punte cu filtru C si stab.cu DZ
Vi      3  4  sin (0 17 50)      ; Ui=12Vef ⇒ Ui_vf≈17V, f=50Hz
D1      3  2  D1N4001             ; -
D2      4  2  D1N4001             ; | <- cele patru diode care alcătuiesc
D3      0  3  D1N4001             ; | puntea redresoare
D4      0  4  D1N4001             ; -
R        2  1  50
RL       1  0  38
C        2  0  .5m IC=14          ; condiții inițiale: la t=0, tensiunea pe C este Uc=14V
Did      1  5  D_id              ; - diodă ideală (din modelul diodei zener)
rz       5  9  4                 ; |
Vz0      9  0  4.9               ; | <- modelul diodei zener din figura 2.43
D5       0  1  D1N4001           ; -

.model    D_id      D(Is=.1n n=.01)
.model    D1N4001   D(Is=14n N=1.98 Rs=34m Ikf=94.8 Xti=3 Eg=1.11
+          Cj0=26p M=.44 Vj=.3245 Fc=.5 Bv=75 Ibv=10u Tt=5.7u)

.tran     10u .1 .06 50u UIC ; pas 10μs (max. 50μs), afișare 60...100ms, utilizare IC
.end
```

**Fig. 2.46.** Fișierul (de tip text, comentat) care descrie: circuitul simulat, modelele diodelor și parametrii regimului tranzitoriu simulat. S-a utilizat numerotarea nodurilor circuitului din figura 2.44.a.

**Tab. 2.2.** Comparație simulare – calcul ; tensiuni  $u_C$  și parametri pentru calcul.

$(R_L=38\Omega)$	$u_{C\max}$ (V)	$u_{C\min}$ (V)	$\Delta u_C$ (V)	$t_{inc}$ (ms)	$t_{desc}$ (ms)	$U_D$ (V) (la $u_{C\max}$ )
Simulare	15,26	12,57	2,69	2,1	7,9	0,85
Calcul (estimativ)	15,4	11,3	4,1	0	10	0,8

În tabelul 2.2 se compară rezultatele simulării cu rezultatele calculului teoretic aproximativ. Se constată că pentru variația tensiunii pe condensator diferențele sunt mari. Cauza principală este neglijarea timpului de încărcare al condensatorului  $t_{inc}$ . La recalcularea sarcinii minime  $R_{L\min}$  (necesară pentru o simulare mai apropiată de soluția exactă) trebuie să se îmbunătățească precizia calculului teoretic ținând seama de  $t_{inc}$ . În acest scop se reface analiza teoretică a redresorului cu filtru capacitiv pornind de la relația (2.25):

$$\Delta Q_{\text{inc}} = \Delta Q_{\text{desc}}, \quad C \cdot \Delta u_C = I_{\text{desc}} \cdot \Delta t \cong \frac{U_C - U_Z}{R} \cdot t_{\text{desc}} \Rightarrow \Delta u_C = \frac{U_C - U_Z}{RC} t_{\text{desc}}.$$

Tensiunea medie pe condensator (sau componenta de  $cc$ ) este:

$$U_C = u_{C\text{max}} - \frac{\Delta u_C}{2} = u_{C\text{max}} - \frac{U_C - U_Z}{2RC} t_{\text{desc}} \Rightarrow U_C = \frac{u_{C\text{max}} \cdot 2RC + U_Z \cdot t_{\text{desc}}}{2RC + t_{\text{desc}}}.$$

Rezistența minimă de sarcină necesară pentru simulare rezultă ca și la calculul estimativ:

$$R_{L\text{min}} = \frac{U_{Z0}}{i_{R\text{min}}} \quad \text{cu} \quad i_{R\text{min}} = \frac{u_{C\text{min}} - U_{Z0}}{R} = \frac{U_C - \Delta u_C / 2 - U_{Z0}}{R}.$$

Timpul  $t_{\text{desc}}$  poate fi preluat din prima simulare, se recalculează  $R_{L\text{min}}$  după formulele de mai sus și se simulează din nou circuitul. Procedura se poate repeta apoi dacă este cazul.

O altă procedură de lucru constă din determinarea  $t_{\text{desc}}$  printr-un calcul iterativ. Se consideră inițial  $t_{\text{desc}} = T/2 (= 10\text{ms})$ , se calculează  $U_C$ ,  $\Delta u_C$  și  $u_{C\text{min}}$  apoi se calculează unghiul de conducție al diodelor  $\alpha$  și timpul  $t_{\text{desc}}$ . Din relațiile anterioare:

$$U_C = \frac{15,4 \cdot 2 \cdot 50 \cdot 0,5\text{m} + 5,1 \cdot 10\text{m}}{2 \cdot 50 \cdot 0,5\text{m} + 10\text{m}} = 13,7\text{V}, \quad \Delta u_C = \frac{13,7 - 5,1}{50 \cdot 0,5} 10\text{m} = 3,44\text{V},$$

$$u_{C\text{min}} = U_C - \frac{\Delta u_C}{2} = 13,7 - \frac{3,44}{2} = 12\text{V}.$$

Din analiza formei de undă de la redresorul cu filtru capacitiv (figura 2.14) se calculează unghiul de conducție al diodelor  $\alpha$ :

$$u_{C\text{min}} (= U_{\text{vf}} \cos \alpha) = u_{C\text{max}} \cos \alpha, \quad \alpha = \arccos \frac{u_{C\text{min}}}{u_{C\text{max}}} = \arccos \frac{12}{15,4} = 0,68 \text{ rad}$$

și apoi cu regula de trei simplă se determină timpul de descărcare al condensatorului:

$$t_{\text{desc}} = \frac{\pi - \alpha}{\pi} \cdot \frac{T}{2} = \frac{\pi - 0,68}{\pi} \cdot 10\text{m} = 7,8\text{ms}.$$

Cu  $t_{\text{desc}}$  astfel obținut (sau preluat din simularea precedentă,  $t_{\text{desc}} = 7,9\text{ms}$ ) se recalculează tensiunea pe condensator, rezistența de sarcină și curentul continuu maxim de ieșire:

$$U_C = \frac{15,4 \cdot 2 \cdot 50 \cdot 0,5\text{m} + 5,1 \cdot 7,8\text{m}}{2 \cdot 50 \cdot 0,5\text{m} + 7,8\text{m}} = 14\text{V}, \quad \Delta u_C = \frac{14 - 5,1}{50 \cdot 0,5} \cdot 7,8\text{m} = 2,78\text{V},$$

$$u_{C\text{min}} = U_C - \frac{\Delta u_C}{2} = 14 - \frac{2,78}{2} = 12,6\text{V}, \quad i_{R\text{min}} = \frac{u_{C\text{min}} - U_{Z0}}{R} = \frac{12,6 - 4,9}{50} = 0,154\text{A}$$

$$R_{L\text{min}} = \frac{U_{Z0}}{i_{R\text{min}}} = \frac{4,9}{0,154} \cong 32\Omega \quad \text{și} \quad I_O = \frac{U_Z}{R_{L\text{min}}} = \frac{5,1}{32} \cong 0,16\text{A}.$$

Pentru a determina ondulațiile tensiunii la ieșirea alimentatorului se va analiza circuitul de stabilizare a tensiunii a cărei schemă echivalentă este prezentată în figura 2.47.a. Schema echivalentă de  $ca$  din figura 2.47.b (rezultată prin pasivizarea surselor de  $cc$ ) permite calcularea variațiilor de tensiune la ieșire cu regula divizorului de tensiune:

$$u_o = u_c \frac{r_Z \parallel R_L}{r_Z \parallel R_L + R} \quad \text{sau} \quad \Delta u_O = \Delta u_C \frac{r_Z \parallel R_L}{r_Z \parallel R_L + R} = 2,78 \frac{4 \parallel 32}{4 \parallel 32 + 50} = 0,185\text{V}.$$

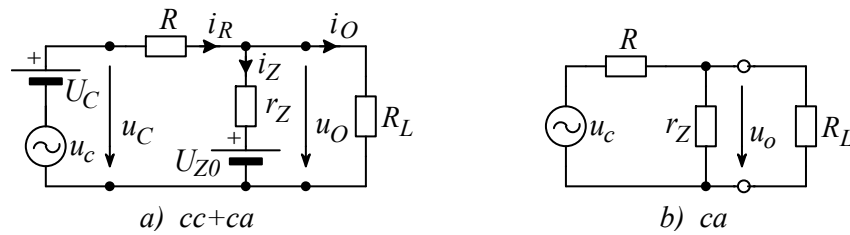


Fig. 2.47. Scheme echivalente ale stabilizatorului cu diodă zener.

Valoarea efectivă a ondulațiilor pe condensator și la ieșire se determină ținând seama de forma (aproximativ) triunghiulară a acestor tensiuni; conform relației (2.32):

$$U_r \cong \frac{U_{r-vv}}{2\sqrt{3}} \Rightarrow U_c \cong \frac{\Delta u_C}{2\sqrt{3}} = \frac{2,78}{2\sqrt{3}} = 0,8V \quad \text{și} \quad U_o \cong \frac{\Delta u_O}{2\sqrt{3}} = \frac{185}{2\sqrt{3}} = 53mV$$

Factorul de ondulație (de riplu) se reduce de la condensator la ieșire de circa 5 ori:

$$\gamma_c = \frac{U_c}{U_C} = \frac{0,8}{14} = 5,7\%, \quad \gamma_o = \frac{U_o}{U_O} = \frac{0,053}{5} \cong 1,1\%, \quad \frac{\gamma_c}{\gamma_o} = \frac{5,7}{1,1} = 5,4.$$

Cu rezistența de sarcină minimă recalculează se reia simularea; în fișierul de descriere a circuitului se înlocuiește linia RL=38 cu RL=32. Formele de undă ale tensiunilor rezultate în urma simulării sunt prezentate în figura 2.48.

În tabelul 2.3 se compară tensiunile obținute prin simulare cu cele determinate prin calcul. Deoarece rezultatelor simulării și cele teoretice sunt apropiate, se poate concluziona că metoda de calcul dezvoltată este corectă. Rezultatele calculului sunt precise, dar aceasta interesează doar în cazul idealizat în care se cunosc cu precizie toate elementele circuitului. Deoarece în practică există imprecizii de cel puțin 5...10%, o metodă de calcul foarte precisă, care de obicei este mult mai complicată, nu se justifică. În acest exemplu a fost dezvoltată o metodă precisă pentru a ilustra o modalitate de utilizare a programelor de simulare.

Tab. 2.3. Comparație simulare – calcul.

$(R_L=32\Omega)$	$u_{Cmax}$ (V)	$u_{Cmin}$ (V)	$\Delta u_C$ (V)	$T_{inc}$ (ms)	$t_{desc}$ (ms)	$\Delta u_O$ (V)
Simulare	15,26	12,54	2,72	2,05	7,95	0,189
Calcul (iterativ)	15,4	12,6	2,78	2,2	7,8	0,185

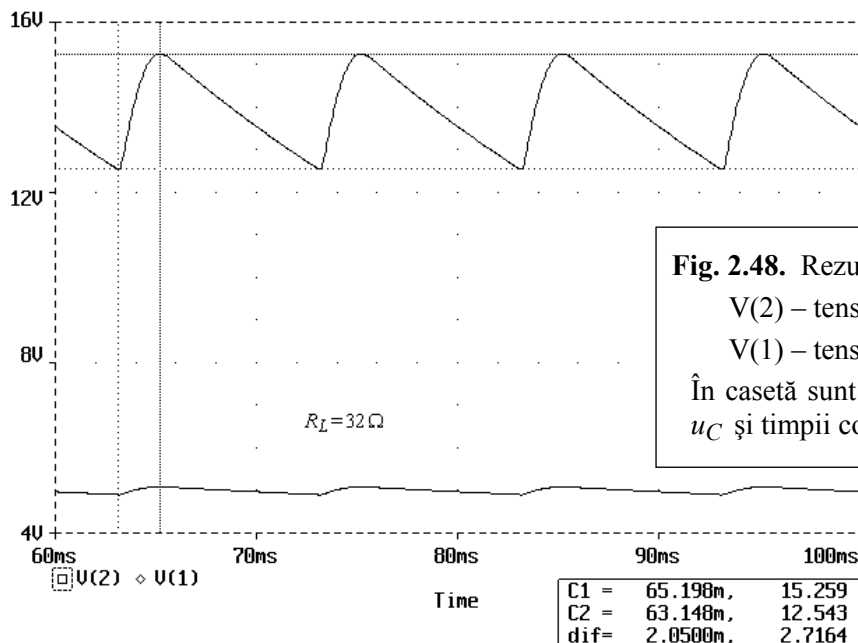
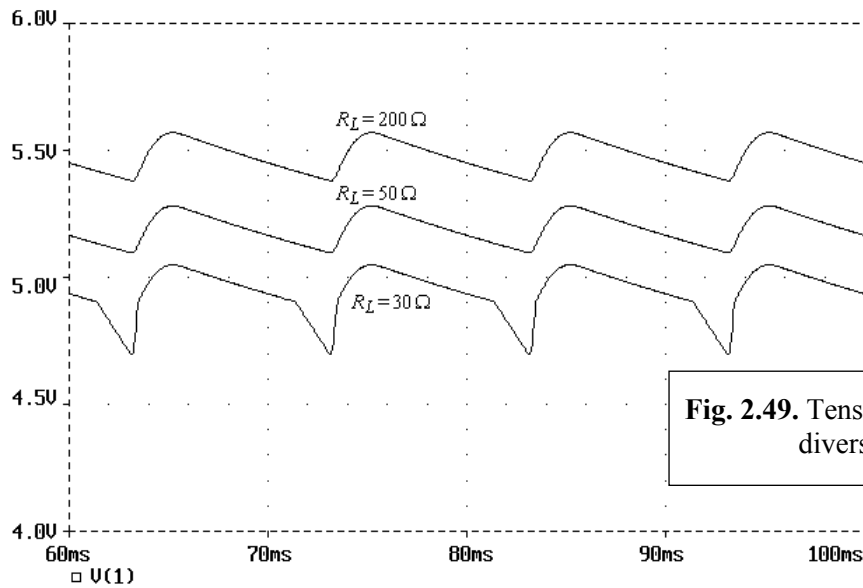


Fig. 2.48. Rezultatele simulării:

V(2) – tensiunea pe condensator

V(1) – tensiunea de ieșire

În casetă sunt date limitele tensiunii  $u_C$  și timpii corespunzători.



**Fig. 2.49.** Tensiunea de ieșire pentru diverse rezistențe de sarcină.

Cu  $u_{C\min}$  din figura 2.48 se calculează curentul minim prin dioda zener:

$$i_{Z\min} = i_{R\min} - i_O = \frac{u_{C\min} - U_{Z0}}{R} - \frac{U_{Z0}}{R_{L\min}} = \frac{12,54 - 4,9}{50} - \frac{4,9}{32} = 0,1528 - 0,1531 \approx 0.$$

Acest curent este practic nul și deci rezistența de sarcină cu care s-a făcut simularea ( $32\ \Omega$ ) este într-adevăr valoarea minimă admisă (pentru care rezultă curentul continuu maxim de ieșire la care dioda zener încă mai funcționează corect, adică în orice moment  $i_Z > 0$ ).

În figura 2.49 sunt prezentate formele de undă ale tensiunii de ieșire pentru diferite valori ale rezistenței de sarcină. Se constată că pentru rezistențe de sarcină suficient de mari ondulația la ieșire are practic aceeași formă de undă, iar pentru rezistența de sarcină de  $30\ \Omega$  (mai mică decât  $R_{L\min}$ ) forma de undă prezintă ondulații suplimentare (dioda zener nu mai lucrează ca stabilizator,  $i_Z = 0$  în intervalele de timp când tensiunea de ieșire scade mai mult).

**Rezolvare** b) Dacă sursa de la intrare are o rezistență internă semnificativă, atunci tensiunea medie pe condensator și semiunghiul de conducție al diodelor  $\theta$  (în radiani) se calculează cu relațiile (2.34), respectiv cu relația (2.35) rescrise:

$$U_C (= U_{vf} \cos \theta) = u_{C\max} \cos \theta, \quad \theta \approx 0,48 \cdot \lg \frac{R_i}{R_C} + 1,2. \quad \text{Cu } R_C = \frac{U_C}{I_R}$$

s-a notat rezistența echivalentă la ieșirea redresorului (la bornele capacității). Aflarea oricăreia dintre mărimile de mai sus presupune rezolvarea unui sistem de ecuații transcendentale.

Se va utiliza o metodă iterativă de calcul plecând de la o valoare inițială estimată pentru tensiunea  $U_C$ . Datorită rezistenței interne a sursei, tensiunea pe condensator va fi mai mică decât la punctul *a* al problemei. Se va estima  $U_C = 12\text{V}$  (în loc de  $14\text{V}$  cât a fost la punctul *a*):

$$I_R = \frac{U_C - U_Z}{R} \approx \frac{12 - 5}{50} = 0,14\text{A}, \quad R_C = \frac{U_C}{I_R} = \frac{12}{0,14} = 86\ \Omega,$$

$$\theta \approx 0,48 \cdot \lg \frac{10}{86} + 1,2 = 0,75\text{ rad}, \quad U_C = 15,4 \cos 0,75 = 11,3\text{V}.$$

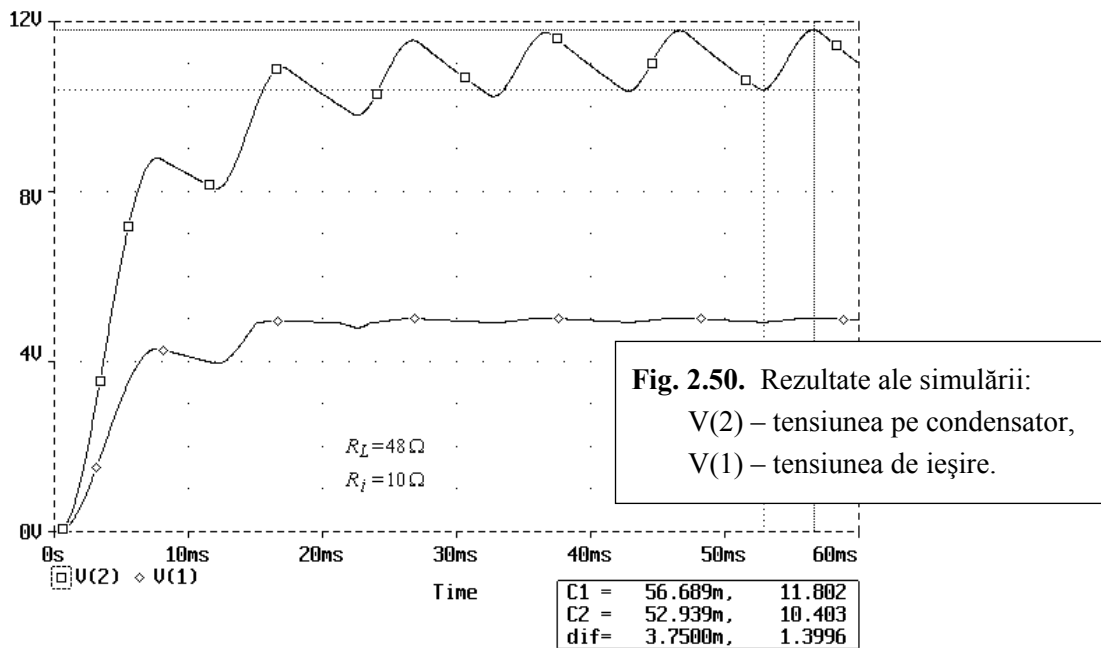
Dacă se estimează că variația tensiunii pe condensator  $\Delta u_C$  este cea de la punctul *a*, atunci:

$$u_{C\min} = U_C - \frac{\Delta u_C}{2} \cong 11,3 - \frac{2,7}{2} = 10V, \quad i_{R\min} = \frac{u_{C\min} - U_{Z0}}{R} = \frac{10 - 4,9}{50} = 0,102A.$$

Rezistența minimă de sarcină și curentul continuu maxim prin sarcină rezultă:

$$R_{L\min} = \frac{U_{Z0}}{i_{R\min}} = 48\Omega, \quad I_{O\max} = \frac{U_Z}{R_{L\min}} = \frac{5,1}{48} = 106mA.$$

Circuitul simulat va fi completat cu rezistența  $R_i=10$  (se va introduce un nod suplimentar între sursa ideală  $V_i$  și  $R_i$ ) iar rezistența de sarcină se modifică:  $R_L=48$ . Rezultatele simulării de la 0 la 60ms sunt prezentate în figura 2.50.



**Tab. 2.4.** Rezultatele simulării pentru alimentatorul cu  $R_i$  nenul.

$(R_L=48\Omega, R_i=10\Omega)$	$u_{C\max}$ (V)	$u_{C\min}$ (V)	$U_C$ (V)	$\Delta u_C$ (V)	$t_{inc}$ (ms)	$u_{O\max}$ (V)	$U_{O\min}$ (V)	$\Delta u_O$ (V)
Simulare	11,8	10,4	11,1	1,4	3,75	5,03	4,93	0,1
Calcul (iterativ)	-	(10)	11,3	(2,7)	-	-	4,9	(0,18)

Simularea circuitului s-a făcut considerând o tensiune inițială nulă pe condensator. În figura 2.50 se disting cele două regimuri de funcționare: regimul tranzitoriu (în care tensiunile medii se modifică, cresc în acest caz) și regimul permanent (cu tensiuni medii constante și forme de undă periodice). În tabelul 2.4 sunt prezentați parametrii de regim permanent ai alimentatorului.

Tensiunea medie pe condensator  $U_C$  calculată teoretic este apropiată de valoarea obținută în urma simulării. Celelalte mărimi electrice calculate (scrise între paranteze în tabel) reprezintă doar estimări făcute pe baza analizei alimentatorului cu  $R_i=0$ . Se observă că variațiile de tensiune pe condensator și la ieșire au valori sensibil mai mici în prezența  $R_i$  ( $\Delta u_C$  și  $\Delta u_O$  în cazul  $b$  sunt jumătate față de cazul  $a$ ) iar durata de conducție a diodei crește (aproape se dublează, de la 2,1ms în cazul  $a$  la 3,8ms în cazul  $b$ ). Tensiunea minimă la ieșire trebuie să fie mai mare decât  $U_{Z0}$  dar cât mai apropiată de această valoare. Aceasta indică un curent  $i_Z$  (prin dioda zener) pozitiv dar apropiat de zero. Rezultatele simulării permit determinarea curentului minim prin dioda zener:

$$i_{Z\min} = i_{R\min} - i_O = \frac{u_{C\min} - u_{Z\min}}{R} - \frac{u_{Z\min}}{R_L} = \frac{10,4 - 4,93}{50} - \frac{4,93}{48} = 0,109 - 0,103 = 6\text{mA}.$$

Deoarece acest curent este apropiat de zero, se poate considera că rezistența de sarcină cu care a fost simulat circuitul ( $48\Omega$ ) este  $R_{L\min}$ . Folosind rezultatele simulării se pot calcula cerințele problemei pentru punctul *b*. Curentul continuu maxim ce poate fi furnizat de circuit este:

$$I_{O\max} = I_R = \frac{U_C - U_Z}{R} = \frac{11,1 - (5,03 + 4,93)/2}{50} = \frac{11,1 - 4,98}{50} = 122\text{mA}.$$

Valoarea efectivă a ondulațiilor pe condensator și la ieșire se determină cu relația (2.32):

$$U_c \cong \frac{\Delta u_C}{2\sqrt{3}} = \frac{1,4}{2\sqrt{3}} = 0,4\text{V} \quad \text{și} \quad U_o \cong \frac{\Delta u_O}{2\sqrt{3}} = \frac{0,1}{2\sqrt{3}} = 29\text{mV}.$$

Raportul între tensiunea ondulațiilor pe condensator și la ieșire este:

$$\frac{\Delta u_C}{\Delta u_O} = \frac{1,4}{0,1} = 14 \quad \text{practic același cu cel din cazul } a \quad \frac{\Delta u_C}{\Delta u_O} = \frac{2,7}{0,185} = 15.$$

### Concluzii:

**1. Utilizarea programelor de simulare presupune cunoașterea modului de funcționare a circuitului simulat** pentru a calcula unele valori de componente necesare la simularea circuitului (rezistența de sarcină  $R_{L\min}$  în acest caz) și mai ales pentru a interpreta rezultatele simulării și a extrage din multitudinea de rezultate puse la dispoziție de simulator pe cele necesare la calcularea cerințelor problemei respective.

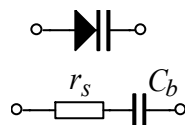
**2. Comparând cele două cazuri analizate în problemă, *a* și *b*, se constată că dacă în unele situații (cazul *a*) problema poate fi rezolvată și fără simulare, în alte situații (cazul *b*) analiza detaliată a funcționării ar conduce la ecuații foarte complexe, care nu pot fi simplificate și pentru care efortul de calcul este nejustificat de mare. În primul caz simularea circuitului este utilă atât pentru verificarea rezultatelor obținute (și implicit a metodei de calcul) cât și pentru reducerea efortului de calcul manual. În cel de-al doilea caz simularea circuitului devine o necesitate, în lipsa simulării și cu un efort rezonabil de calcul se pot obține doar niște estimări ale rezultatelor a căror eroare este apreciabilă.**

## 2.8 DIODE SPECIALE

În afara diodelor redresoare și a diodelor zener, prezentate anterior, în practică se utilizează multe alte tipuri de diode. În continuare se vor prezenta sumar cele mai utilizate dintre acestea.

### 2.8.1 Dioda varicap

Dioda varicap se comportă ca o capacitate controlată în tensiune. Aceste diode sunt în esență joncțiuni *pn* polarizate invers. Dependența capacității de barieră de tensiune este dată de relația (2.92); în cazul așa-numitelor joncțiuni hiperabrupte, utilizate adesea la diodele varicap, indicele  $m \cong 0,75$ . Simbolul și schema echivalentă a diodei sunt prezentate în figura 2.51.



**Fig. 2.51.** Dioda varicap; simbolul și schema echivalentă la semnal mic în polarizare inversă.

Dependența capacității de tensiunea inversă este prezentată în cataloagele de diode sub formă grafică. Valorile uzuale ale capacității sunt de ordinul picofarazilor sau zeci de pF, pentru tensiuni inverse de până la 30 de volți (capacitatea scade cu creșterea tensiunii inverse). Rezistența serie este minimizată prin mijloace tehnologice și are valori de ordinul fracțiunilor de ohm.

Diodele varicap se utilizează în domeniul frecvențelor radio: pentru reglarea frecvenței de acord a circuitelor rezonante (reglarea automată a frecvenței, circuite de telecomandă, reglarea simultană a mai multor circuite acordate), la modulatoarele de frecvență, ș.a.

### Aplicație tipică

În figura 2.52 se prezintă un circuit acordat de înaltă frecvență utilizat la receptoarele radio. Frecvența de rezonanță  $f_r$  a circuitului acordat este determinată în principal de inductanța  $L$  și de capacitatea echivalentă  $C$  dintre bornele inductanței:

$$f_r = \frac{1}{2\pi\sqrt{LC}}, \quad C = C_1 + \frac{C_b C_2}{C_b + C_2} \cong C_1 + C_b, \quad (2.95)$$

relație valabilă pentru  $C_2 \gg C_b$ . Condensatorul  $C_2$  (întrerupere de circuit în  $cc$ ) este introdus pentru ca bobina  $L$  să nu scurtcircuiteze dioda în  $cc$ . Rezistența  $R$  de polarizare a diodei (de ordinul zecilor de kΩ), este parcursă de curentul invers foarte mic al diodei (de ordinul nA). Căderea de tensiune pe rezistență este foarte mică și tensiunea de polarizare  $U_R$  se regăsește practic nemodificată pe diodă.

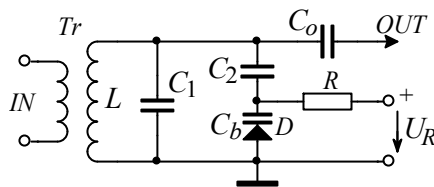


Fig. 2.52. Circuit acordat cu diodă varicap.

Avantajele modificării frecvenței de rezonanță prin intermediul unei tensiuni de  $cc$  sunt:

- posibilitatea acordului pe diferite posturi – se prestabilesc tensiunile de acord necesare și apoi se selectează tensiunea (corespunzătoare postului dorit) cu un comutator;
- miniaturizarea circuitului (față de condensatoarele variabile clasice, de dimensiuni mari);
- posibilitatea comenzii de la distanță, deoarece tensiunea continuă de comandă este mai puțin sensibilă la eventualele semnale parazite (care pot fi filtrate cu un condensator suplimentar);
- posibilitatea de modificare sau selecție a tensiunii  $U_R$  prin telecomandă.

Astfel de circuite se utilizează în benzile de ultra înaltă frecvență – UIF la receptoarele radio sau de televiziune. De exemplu, dioda BB122 care are  $C_b = 11 \dots 2 \text{ pF}$  pentru  $U_R = 3 \dots 25 \text{ V}$ , cu  $C_1 = 16 \text{ pF}$  și inductanța  $L = 0,12 \mu\text{H}$ , permite reglarea frecvenței de rezonanță între limitele:

$$f_r = \frac{1}{2\pi\sqrt{LC}} = \frac{1}{2\pi\sqrt{0,12\mu \cdot (16 + 11\dots2)\text{p}}} \cong 88\dots108 \text{ MHz},$$

practic domeniul de UIF pentru radio în norma FCC.

### 2.8.2 Dioda Schottky

Dioda Schottky este realizată dintr-o joncțiune metal – semiconductor de tip  $n$ .

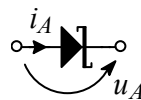


Fig. 2.53. Simbolul diodei Schottky și mărimile electrice asociate.

Față de o diodă cu siliciu convențională, dioda Schottky se caracterizează prin:

- timpi de comutare foarte mici,



- tensiuni de deschidere mai mici  $U_D = 0,3 \dots 0,4V$ ,
- capacitate totală mică, de ordinul picofarazilor (sau chiar fracțiuni de pF),
- curenți inverși mai mari, de ordinul zecilor de nA,
- tensiuni de străpungere mai reduse (nu depășesc  $40 \div 50V$ , uzual  $10 \div 15V$ ).

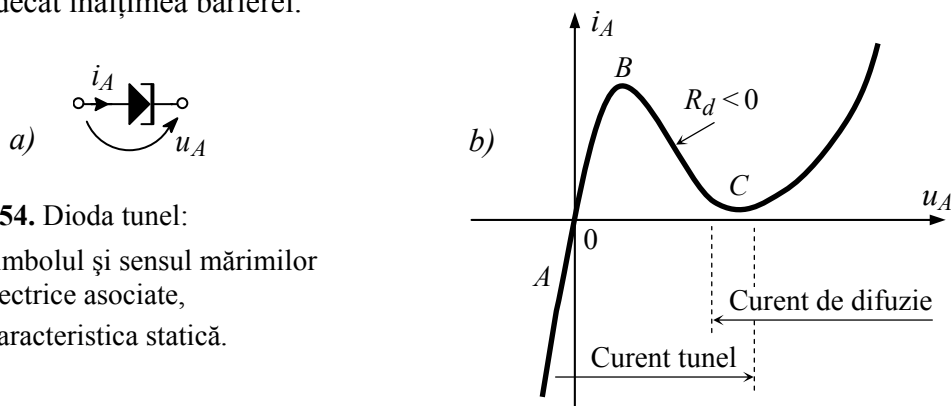
La conducție participă doar purtătorii majoritari, electronii; la polarizare directă electronii trec din zona  $n$  spre metal. Faptul că purtătorii minoritari nu participă la conducție (electronii nu devin minoritari în metal, ca la o joncțiune  $pn$ ), conduce la timpi de comutare foarte mici, datorită absenței timpului de stocare. Prin **timpi de comutare** se înțelege timpul dinte momentul inversării tensiunii pe diodă și momentul inversării curentului prin diodă.

La comutarea unei diode convenționale din conducție în blocare este necesar un timp, numit **timp de stocare**, pentru evacuarea surplusului de sarcină datorat purtătorilor minoritari aflați în exces în regiunile neutre ale joncțiunii.

Datorită timpului de comutare foarte mic, diodele Schottky se folosesc la aplicațiile de înaltă frecvență (până la 2GHz, de exemplu) și la circuitele de comutație. Timpii de comutare foarte mici și tensiunile mai reduse în conducție recomandă diodele Schottky la aplicațiile de electronică de putere (ca redresoare cu eficiență ridicată).

### 2.8.3 Dioda tunel

Dioda tunel este formată dintr-o joncțiune  $p^{++}n^{++}$ , cu regiunile  $p$  și  $n$  puternic dopate cu impurități. Datorită impurificării puternice a celor două regiuni, lățimea regiunii de trecere ( $RSS$ ) a joncțiunii este foarte mică, de ordinul nanometrilor. În aceste condiții se petrece fenomenul cuantic denumit **efect tunel** care constă din traversarea statistică a barierei de potențial de electroni cu o energie mai mică decât înălțimea barierei.



Simbolul și caracteristica statică a diodei tunel sunt prezentate în figura 2.54. La tensiuni mici (între punctele A și B ale caracteristicii) apare curentul tunel, dioda conduce, iar tensiunea de străpungere este practic nulă. Începând din punctul B, la creșterea tensiunii directe apare o barieră de potențial și curentul tunel scade cu creșterea tensiunii directe. Apare astfel o regiune de rezistență dinamică negativă:

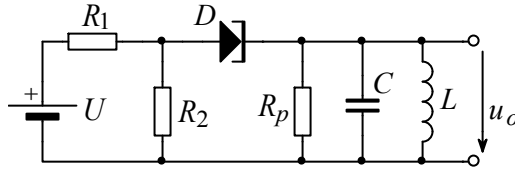
$$r_D = \frac{du_A}{di_A} < 0; \quad (2.96)$$

creșterea tensiunii duce la scăderea curentului, invers decât la legea lui Ohm. Începând din punctul C, curentul de difuzie al joncțiunii crește ca la orice dioda polarizată direct.

Diodele tunel sunt realizate din germaniu sau galiu-arsen și se utilizează în oscilatoare de frecvență foarte înaltă, de ordinul gigahertzilor, sau în circuite de comutație foarte rapidă.

#### Oscilator cu diodă tunel

Schema de principiu a unui oscilator cu diodă tunel este prezentată în figura 2.55.



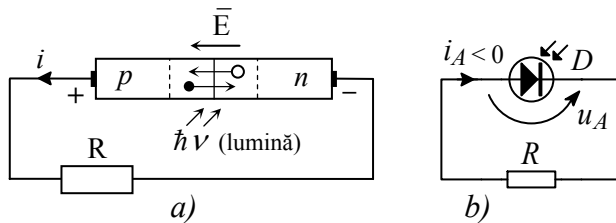
**Fig. 2.55.** Oscilator cu diodă tunel;  
 - circuit rezonant paralel:  $L, C, R_p$ ;  
 - circuit de polarizare:  $U, R_1, R_2$ .

Dacă se aplică un puls de tensiune circuitului rezonant paralel  $L-C-R_p$  (fără diodă), în circuit apare o oscilație pe frecvența de rezonanță a circuitului. Datorită energiei disipate pe rezistorul  $R_p$  amplitudinea oscilației scade în timp, adică oscilația este amortizată. Dacă se conectează dioda tunel în serie cu circuitul rezonant (conform figurii 2.55) și se polarizează în centrul zonei de rezistență negativă a caracteristicii statice, atunci la ieșirea circuitului vor rezulta oscilații întreținute (cu amplitudine constantă, neamortizate). Principial, rezistența dinamică negativă a diodei compensează rezistența (pozitivă) a circuitului rezonant.

Polarizarea diodei este realizată de divizorul de polarizare  $R_1, R_2$  alimentat de la sursa de tensiune continuă  $U$ ; tensiunea de la ieșirea divizorului (de pe  $R_2$ ) se regăsește pe diodă (deoarece inductanța  $L$  este un scurtcircuit în  $cc$ ). Din punct de vedere energetic, energia de  $cc$  a sursei de tensiune  $U$  este transformată în energie de  $ca$  furnizată circuitului rezonant.

### 2.8.4 Fotodioda

Într-o joncțiune  $pn$  expusă la radiații luminoase are loc generarea directă a purtătorilor de sarcină, electroni și goluri, care sunt separați sub acțiunea câmpului electric intern  $E$  (electronii se deplasează dinspre  $RSS$  spre zona  $n$  și golurile dinspre  $RSS$  spre zona  $p$ ). Fenomenul este reprezentat schematic în figura 2.56. Fotodiodele sunt în esență joncțiuni  $pn$ , a căror capsulă are o fereastră pentru accesul luminii (adesea sub formă de lentilă pentru focalizare) în  $RSS$  a joncțiunii.



**Fig. 2.56.** Fotodioda:

- a) Purtătorii datorăți luminii și separați de  $E$  conduc curentul  $i$  prin rezistența  $R$ ,  
 b) Simbolul și sensurile convenționale ale tensiunii și curentului pentru fotodiodă.

Diodele lucrează ca generatoare (sau în regim fotovoltaic) dacă  $u_A > 0$  și  $i_A < 0$  (ca în figura 2.56.b) și în acest caz se mai numesc **celule fotovoltaice** dacă aria joncțiunii  $A_J < 1\text{cm}^2$  sau **celule solare** dacă  $A_J > 1\text{cm}^2$ . Aceste dispozitive realizează conversia directă a energiei luminoase în energie electrică. Randamentul tipic al conversiei este  $\eta = 10\ldots 15\%$ , tensiunea în gol pe o celulă este  $U_0 \approx 0,55\text{V}$  iar curentul de scurtcircuit  $I_{SC} \approx 35\text{mA/cm}^2$  la  $E = 1000\text{lux}$  (iluminarea exterioară specifică unei zile noroase). Curentul de scurtcircuit este proporțional cu iluminarea (mai exact cu incidența luminoasă  $E$ ) pentru un domeniu foarte larg de iluminări,  $I_{SC} = kE$ .

Contribuția purtătorilor de sarcină generați datorită iluminării este pusă în evidență din punct de vedere electric de curentul datorat iluminării,  $I_L = I_{SC} = kE$ . Ecuația joncțiunii idealizate devine:

$$i_A = I_0 \left( \exp \frac{u_A}{U_T} - 1 \right) - I_L, \quad \text{cu} \quad I_L = i_A|_{u_A=0} = I_{SC} \quad (2.97)$$

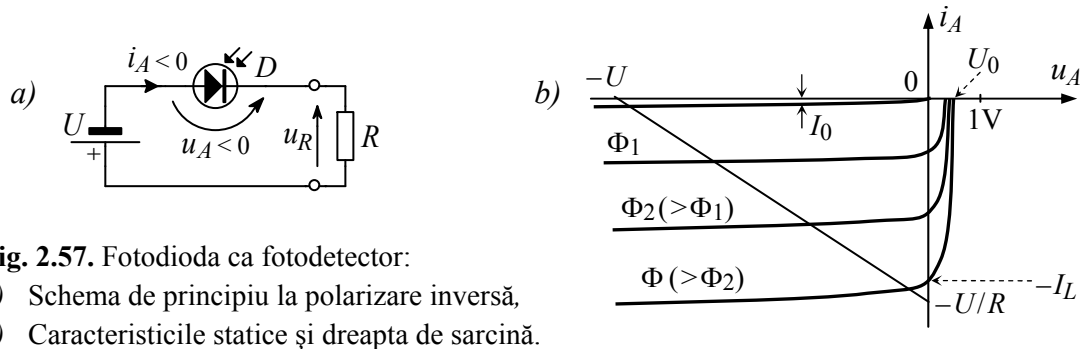
și reprezintă ecuația fotodiodei. Din această ecuație se poate calcula tensiunea la mers în gol:

$$u_A|_{i_A=0} = U_0 = U_T \ln(I_L/I_0 - 1). \quad (2.98)$$

Fotodioda polarizată invers funcționează în regim fotoconductiv și poate fi utilizată ca **fotodetector**; curentul prin diodă depinde de iluminare. Curentul  $I_0$  se numește în acest caz curent de întuneric. Un astfel de circuit este prezentat în figura 2.57.a. În figura 2.57.b sunt trasate caracteristicile statice ale fotodiodei (pentru diferite valori ale fluxului luminos) și dreapta de sarcină. Tensiunea pe rezistență este proporțională cu fluxul luminos  $\Phi$ :

$$u_R = R \cdot (-i_A) \cong R \cdot I_L = R \cdot k \cdot \Phi$$

Frecvența maximă la care poate fi utilizată fotodioda (de ordinul sutelor de kilohertzi pentru diode uzuale) depinde de timpul de răspuns al fotodiodei. Fotodiodele cu multiplicare, utilizate pentru transmisiile pe fibre optice, pot lucra la o frecvență maximă de peste 30MHz.



Caracteristicile optice mai importante ale fotodiodelor sunt:

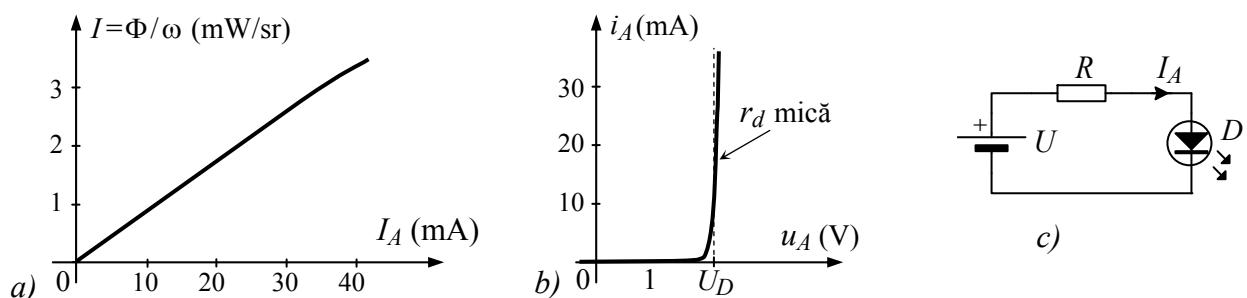
- caracteristica spectrală care arată sensibilitatea diodei în funcție de frecvența radiației incidente (fotodiodele pot avea maximum de sensibilitate la lumina vizibilă sau în infraroșu);
- caracteristica de directivitate, arată sensibilitatea diodei în funcție de unghiul de iluminare.

### 2.8.5 Dioda fotoemisivă

Dioda fotoemisivă se numește prescurtat **LED (Light Emitting Diode)** – diodă cu emisie de lumină. Funcționarea acestor diode are la bază **electroluminiscența**, care comportă două etape: un proces de excitare, care constă din injectarea de purtători minoritari într-o joncțiune polarizată direct și un proces de recombinare cu emisie de lumină.

Materialele uzuale folosite la fabricarea diodelor fotoemise sunt: galiu-arsen (GaAs) cu emisie în infraroșu (IR), galiu-arsen-fosfor produce lumină roșie sau galbenă și galiu-fosfor (GaP) care produce lumină roșie sau verde. Siliciul și germaniul nu se utilizează pentru LED-uri deoarece, în cazul lor, recombinarea produce mai ales căldură iar emisia de lumină este practic inexistentă.

LED-ul emite lumină dacă i se aplică un curent direct suficient de mare; cantitatea de lumină produsă este direct proporțională cu valoarea curentului direct ca în figura 2.58.a.



**Fig. 2.58.** Dioda fotoemisivă – LED. a) Intensitatea luminoasă (= flux luminos / unghi solid) funcție de curentul direct; b) Caracteristica statică; c) Schema de alimentare și simbolul LED-ului.

Conform caracteristicii statice din figura 2.58.b tensiunea pe diodă se modifică foarte puțin la modificarea curentului și este aproximativ constantă:  $U_D = 1,8 \dots 2,4 \text{ V}$  (valoarea ei depinde de tipul diodei). Ca urmare rezistența dinamică a diodei  $r_d = du_A / di_A$  are o valoare redusă și de aceea este contraindicată alimentarea LED-ului direct de la o sursă de tensiune – o mică modificare a tensiunii (sau a caracteristicii diodei) conduce la o modificare apreciabilă a curentului ( $i_A$  depinde exponențial de  $u_A$ ) și chiar la distrugerea diodei (dacă se depășește puterea maximă admisă). Soluția de circuit cea mai simplă este limitarea curentului prin LED cu un rezistor ca în figura 2.58.c:

$$I_A = \frac{U - u_A}{R} \cong \frac{U - U_D}{R}. \quad (2.99)$$

Curentul prin LED se alege de obicei în domeniul:  $I_A = 5\text{mA} \dots 40\text{mA}$ , în funcție de tipul diodei și de nivelul intensității luminoase dorit.

Avantajele utilizării LED-urilor ca indicatoare luminoase sunt: fiabilitatea ridicată (durata de funcționare ajunge până la 100.000 de ore), preț redus, montare ușoară în circuit, dependență liniară a intensității luminoase de curent.

Dezavantajul principal al acestor diode este randamentul foarte redus al conversiei energiei electrice în energie luminoasă:  $\eta = 0,02 \dots 0,1\%$  tipic (maxim 1% pentru diodele comerciale), ceea ce le face improprie pentru utilizarea ca surse de lumină. Alte dezavantaje sunt sensibilitatea la șocuri electrice și dependența de temperatură a caracteristicilor. Tensiunea inversă suportată de LED-uri este mică, cu valori uzuale de circa 5V.

## 2.9 BIBLIOGRAFIE

- [1] Crăciun A.V: - *Dispozitive și circuite electronice*, Ed. Univ. Transilvania Brașov, 2003;
- [2] Sedra Adel, Smith Kenneth – *Microelectronic Circuits*, Oxford University Press, New York, 1998;
- [3] Floyd Thomas – *Electronic Devices*, Merrill Publishing Co. Columbus, Ohio, 1988;
- [4] Piringier R. ș.a. – *Dispozitive electronice*, Editura Didactică și Pedagogică București, 1976;
- [5] Damachi E. ș.a. – *Electronică*, Editura Didactică și Pedagogică (EDP) București, 1979;
- [6] Petru Alex. Dan ș.a. – *Diode cu siliciu, catalog*, Editura Tehnică, București, 1986;
- [7] Sporea Dan, Bîrcă Ștefan – *Optoelectronică, dispozitive și aplicații*, Editura Militară, București, 1983.

## CAP. 3 TRANZISTOARE BIPOLARE

În prima parte a acestui capitol se introduc modelele cele mai simple ale tranzistoarelor bipolare și cu ajutorul acestora se analizează câteva aplicații uzuale și circuitele de polarizare ale tranzistoarelor. Studiul regimului dinamic permite introducerea modelelor simple de regim dinamic, cu care se analizează etajele de amplificare realizate cu un tranzistor.

Pe baza analizei structurii interne se explică funcționarea tranzistorului, se analizează caracteristicile statice și se introduc modelele mai precise ale tranzistorului, modele utilizate la simularea circuitelor cu tranzistoare.

### 3.1 NOȚIUNI FUNDAMENTALE

**Tranzistorul bipolar (TB)**, este realizat dintr-un cristal semiconductor compus din trei regiuni dopate diferit, care se succed în ordinea:  $p-n-p$  sau  $n-p-n$  și care satisfac condițiile:

- 1) regiunea de mijloc, numită bază, are o lățime mică (fracțiuni de microni până la câțiva microni) față de lungimea de difuzie a purtătorilor minoritari care o parcurg și
- 2) una din regiunile extreme, numită emitor, are un grad de impurificare mult mai mare decât baza. Cea de-a treia regiune a tranzistorului se numește colector.

În cadrul structurii de tranzistor se formează două joncțiuni  $pn$ . **Regimurile de funcționare** ale tranzistorului rezultă după cum sunt polarizate aceste joncțiuni. Cele patru cazuri posibile sunt prezentate în tabelul 3.1.

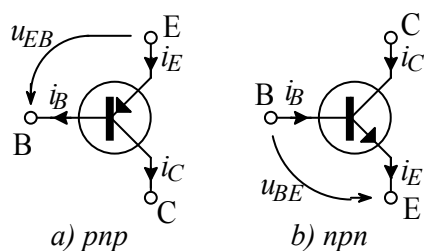
Polarizarea joncțiunii:		Regimul de funcționare
E-B	C-B	
Directă	Inversă	Activ normal
Directă	Directă	Saturație
Inversă	Inversă	Blocare
Inversă	Directă	Activ inversat

**Tabelul 3.1** Regimurile de funcționare ale tranzistorului în funcție de polarizarea joncțiunilor.

Funcționarea în regim activ normal (prescurtat RAN) este întâlnită în cazul aplicațiilor liniare. În saturație tranzistorul se poate aproxima cu un comutator închis ( $u_{CE} \cong 0$ ), iar în blocare cu un comutator deschis ( $i_C \cong 0$ ). Tranzistorul se utilizează în aceste două regimuri la aplicațiile din electronica digitală și la circuitele de comutație. Regimul activ inversat este întâlnit foarte rar.

Tranzistorul va fi analizat în regim activ normal. În RAN, joncțiunea emitorului, dintre emitor și bază, este polarizată în sensul conducției. Joncțiunea fiind asimetrică (condiția 2), curentul prin această joncțiune se va datora îndeosebi purtătorilor minoritari injectați în bază din emitor. Acești purtători vor difuza prin bază și cea mai mare parte a lor vor traversa baza fără a se recombină (datorită condiției 1) ajungând la ce-a de-a doua joncțiune  $pn$  (numită joncțiunea colectorului), pe care o vor traversa, deoarece în RAN este polarizată invers (fiind favorizată astfel conducția purtătorilor minoritari). Astfel, prin joncțiunea colectorului, deși polarizată invers, va trece un curent mare, aproape întreg curentul care trece prin joncțiunea emitorului (care este polarizată direct). Trecerea unui curent mare printr-o joncțiune polarizată invers, datorită prezenței unei joncțiuni polarizată direct în vecinătatea ei, constituie **efectul de tranzistor**. Aceste tranzistoare se numesc **tranzistoare bipolare** deoarece funcționarea lor se bazează pe ambele categorii de purtători (majoritari în regiunile extreme și minoritari în regiunea de mijloc).

**Simbolurile tranzistoarelor** de tip  $pnp$ , respectiv  $npn$  sunt prezentate în figura 3.1.

**Fig. 3.1.** Simbolurile tranzistoarelor bipolare.

Săgeata din simbol indică emitorul tranzistorului.

Sensul săgeții indică sensul joncțiunii emitorului (de la *p* la *n*) și sensul de circulație al curenților prin tranzistor.

Tranzistorul *pnp* este reprezentat cu emitorul în sus astfel încât să rezultă o circulație a curenților de sus în jos.

### 3.1.1 Tranzistorul bipolar în regim activ normal (RAN)

În regim activ normal joncțiunea emitorului este polarizată direct și joncțiunea colectorului este polarizată invers. Pentru fixarea ideilor se va considera tranzistorul *nnp*, caz în care:

$$u_{BE} > 0; \quad u_{BC} < 0. \quad (3.1)$$

În cazul aplicațiilor uzuale condițiile anterioare devin:

$$u_{BE} > U_{D0}; \quad u_{CE} > U_{CEsat}, \quad (3.2)$$

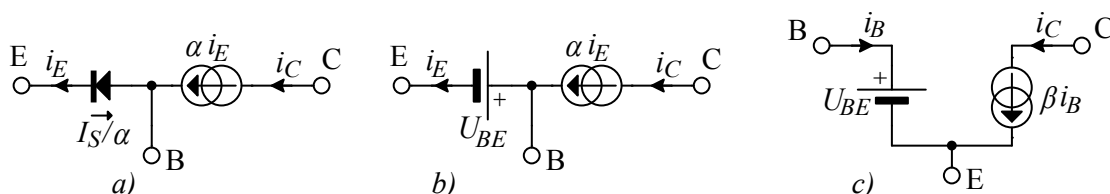
unde  $U_{D0}$  este tensiunea de deschidere a diodei bază-emitor ( $U_{D0} \approx 0,5V$  la siliciu) și  $U_{CEsat}$  este tensiunea de saturație a tranzistorului (cu o valoare uzuală de câteva zecimi de volt).

În aceste condiții, datorită efectului de tranzistor, curentul de colector este aproape egal cu cel de emitor:

$$i_C = \alpha i_E \quad \text{cu} \quad \alpha = 0,98 \dots 0,998, \quad (3.3)$$

unde  $\alpha$  este factorul de amplificare în curent dintre colector și emitor. Efectul de tranzistor poate fi modelat printr-un generator de curent comandat în curent.

Curentul de emitor circulă prin joncțiunea de emitor polarizată direct și depinde exponențial de tensiunea de polarizare a joncțiunii – conform unei ecuații de tipul ecuației exponențiale a diodei, relația (2.64). Tranzistorul poate fi privit ca o diodă între bază și emitor și ca un generator de curent (comandat în curent) în colector. Circuitul din figura 3.2.a este echivalent unui tranzistor *nnp*.

**Fig. 3.2.** Modele de semnal mare în RAN pentru tranzistoare *nnp*; a) circuit cu diodă, b), c) circuite echivalente simplificate – dioda este înlocuită cu o sursă de tensiune.

Din particularizarea relației (2.64) pentru joncțiunea emitorului și din relația (3.3), care arată că  $i_C \approx i_E$ , se obține **ecuația exponențială a tranzistorului**. Pentru tranzistorul *nnp* aceasta este:

$$i_C = I_S \exp \frac{u_{BE}}{U_T}, \quad (3.4)$$

unde  $I_S$  este o constantă numită curent de saturație al tranzistorului și  $U_T (\approx 25mV$  la 290K) este tensiunea termică. Curentul  $I_S$  are valori tipice în domeniul  $10^{-15} \dots 10^{-12}A$  (funcție de dimensiunea tranzistorului) și depinde de temperatură (se dublează la circa  $5^\circ C$  creștere a temperaturii).

O simplificare a schemei echivalente din figura 3.2.a, se obține înlocuind dioda dintre bază și emitor cu o sursă de tensiune constantă. Această înlocuire este posibilă deoarece tensiunea bază-emitor se schimbă relativ puțin la modificarea curentului de colector. Astfel, pentru un curent prin tranzistor  $I_C = \text{zecimi de mA} \dots \text{sute de mA}$ , rezultă  $U_{BE} = 0,6 \dots 0,8V$  (în cazul tranzistorului cu siliciu). Se consideră cel mai adesea o tensiune constantă:  $U_{BE} \approx 0,7V$  și se obține astfel modelul simplificat al TB din figura 3.2.b, care asigură o precizie suficientă pentru circuitele uzuale.

În majoritatea aplicațiilor tranzistorul este utilizat ca un dispozitiv comandat. Modelul din figura 3.2.b (sau a), este convenabil dacă tranzistorul este comandat din emitor, adică circuitul de comandă fixează valoarea curentului de emitor. Există adesea situații în care tranzistorul este controlat din bază. Pentru aceste cazuri este preferabil circuitul din figura 3.2.c, (echivalent cu circuitul din figura 3.2.b), Trecerea de la curentul de emitor la curentul de bază se face cu ajutorul relației dintre curenții prin tranzistor, așa-numita **ecuație de continuitate** a tranzistorului:

$$i_E = i_C + i_B, \quad (3.5)$$

care se înlocuiește în relația (3.3). Rezultă succesiv:

$$i_C = \alpha i_E = \alpha i_C + \alpha i_B; \quad i_C(1 - \alpha) = \alpha i_B; \quad i_C = \frac{\alpha}{1 - \alpha} i_B \text{ sau} \quad (3.6)$$

$$i_C = \beta i_B;$$

$$\beta = \frac{\alpha}{1 - \alpha}, \quad (3.7)$$

reprezintă factorul de amplificare în curent dintre colector și bază. Ținând seama de valorile pentru  $\alpha$ , relația (3.3), rezultă  $\beta = 50 \dots 500$  cu valori uzuale  $\beta = 100 \dots 300$ . Se observă dispersia mare a amplificării colector-bază și se reține faptul că această amplificare este mult supraunitară.

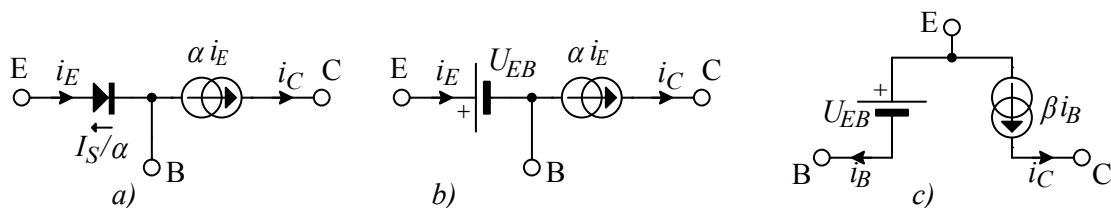
La **tranzistoarele pnp** se inversează sensul tensiunilor și al curenților, conform cu sensurile din figura 3.1.a. Astfel, se inversează indicii tensiunilor din relațiile (3.1) (3.2) și (3.4); de exemplu, pentru ca tranzistorul *pnp* să fie practic în RAN relația (3.2) devine:

$$u_{EB} > U_{D0}; \quad u_{EC} > U_{ECsat}, \quad (3.8)$$

iar ecuația exponențială a tranzistorului *pnp* devine:

$$i_C = I_S \exp \frac{u_{EB}}{U_T}. \quad (3.9)$$

Relațiile referitoare la curenți – (3.3), (3.5) și (3.6) – nu se modifică (deoarece sensul de circulație al curenților prin tranzistorul *pnp* se consideră inversat față de tranzistorul *nnp* – curentul intră în emitor și iese prin colector). În cazul tranzistoarelor *pnp*, schemele echivalente din figura 3.2 devin:



**Fig. 3.3.** Modele de semnal mare în RAN pentru tranzistoare *pnp*; a) circuit cu diodă, b), c) circuite echivalente simplificate – dioda este înlocuită cu o sursă de tensiune.

Indiferent de tip, tranzistorul bipolar în RAN este un dispozitiv care controlează curentul de colector. **Controlul liniar** al curentului de colector se poate realiza în două moduri:

- prin curentul de emitor și
- prin curentul de bază.

La analiza unui circuit cu tranzistoare, se identifică modalitatea de control (din emitor sau din bază), se utilizează unul dintre modelele din figura 3.2 sau 3.3 și se verifică, cu relațiile (3.2) sau (3.8), în ce măsură tranzistorul își păstrează regimul activ normal de funcționare la eventuala modificare a semnalelor.

O altă modalitate de control a tranzistorului, prin intermediul tensiunii bază-emitor, se poate analiza cu ecuația exponențială a tranzistorului, relația (3.4) sau (3.9). Acest mod neliniar de control va fi utilizat la analiza funcționării tranzistorului în regim dinamic.

### 3.1.2 Tranzistorul bipolar în regim de blocare

În regim de blocare ambele joncțiuni ale TB sunt polarizate invers (conform tabelului 3.1). În cazul tranzistorului *nnp* aceasta înseamnă:

$$u_{BE} < 0 \text{ și } u_{BC} < 0. \quad (3.10)$$

În practică se admite că tranzistorul este blocat chiar dacă joncțiunile tranzistorului sunt polarizate direct dar cu o tensiune mai mică decât tensiunea de deschidere a diodelor respective, ceea ce se reduce în cazul tranzistorului *nnp*, la relațiile:

$$u_{BE} < U_{D0}; \quad u_{CE} > 0, \quad (3.11)$$

unde  $U_{D0}$  este tensiunea de deschidere a diodei bază-emitor ( $U_{D0} \approx 0,5\text{V}$  la siliciu). În acest caz curenții prin tranzistor sunt foarte mici, cel mult de ordinul microamperilor, neglijabili pentru majoritatea aplicațiilor practice. Se pot utiliza relațiile aproximative:

$$i_B \approx 0, \quad i_C \approx 0, \quad i_E \approx 0, \quad (3.12)$$

ceea ce este echivalent cu a considera tranzistorul ca o întrerupere de circuit.

La tranzistorul *pnp* sensul tensiunilor se inversează și relațiile (3.11) devin:

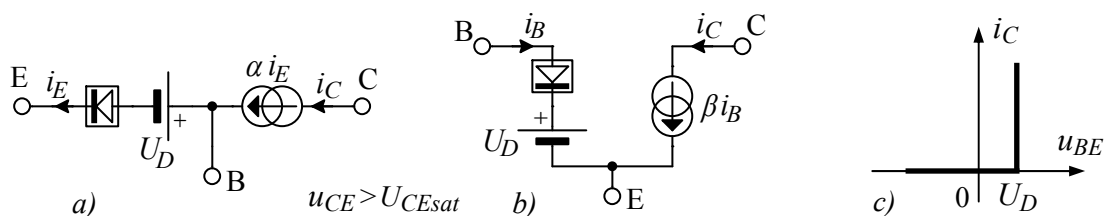
$$u_{EB} < U_{D0}; \quad u_{EC} > 0, \quad (3.13)$$

**În concluzie**, un tranzistor blocat nu are nici un efect în circuitul în care apare și poate fi șters din acel circuit.

### 3.1.3 Modele simplificate ale TB valabile în RAN și în blocare

Trecerea din regimul de blocare în regim activ normal are loc gradat prin modificarea tensiunii pe joncțiunea emitorului de la  $U_{D0} \approx 0,5\text{V}$  la  $U_D \approx 0,7\text{V}$  și poate fi analizată cu ajutorul ecuației exponențiale a tranzistorului, relația (3.4) sau (3.9). Caracterul neliniar al acestei ecuații face nepractică utilizarea ei în la analiza circuitelor obișnuite.

Modelele simplificate din figura 3.4 și 3.5 pot fi utilizate atât în regim de blocare cât și în regim activ normal. Trecerea de la un regim la altul are loc prin modificarea stării diodei ideale din circuitul echivalent (ca și la modelul diodei cu tensiune de prag). Această simplificare conduce la micșorarea preciziei mai ales în domeniul curenților mici, la limita dintre blocare și RAN.



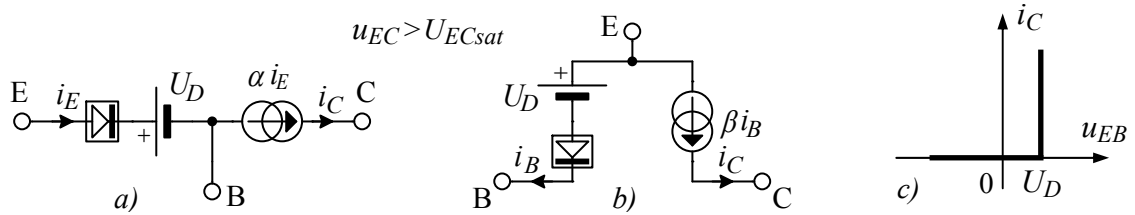
**Fig. 3.4.** Circuite echivalente simplificate pentru tranzistoare *nnp* valabile în RAN și în blocare, comandate: a) în emitor, b) în bază; c) caracteristica de transfer idealizată.

Circuitele echivalente prezentate nu sunt valabile în saturație și în regim activ inversat, ceea ce impune o condiție suplimentară:

$$u_{CE} > U_{CEsat} \text{ pentru } nnp, \quad \text{respectiv} \quad u_{EC} > U_{ECsat} \text{ pentru } pnp, \quad (3.14)$$



unde  $U_{CEsat}$  sau  $U_{ECsat}$  este tensiunea de saturație a tranzistorului *nnp*, respectiv *pnnp* (cu o valoare uzuală de câteva zecimi de volt).



**Fig. 3.5.** Circuite echivalente simplificate pentru tranzistoare *pnp* valabile în RAN și în blocare, comandate: a) în emitor, b) în bază; c) caracteristica de transfer idealizată.

### 3.1.4 Tranzistorul bipolar în saturație

În regim de saturație ambele joncțiuni ale TB sunt polarizate direct (conform tabelului 3.1). În cazul tranzistorului *nnp* aceasta înseamnă:

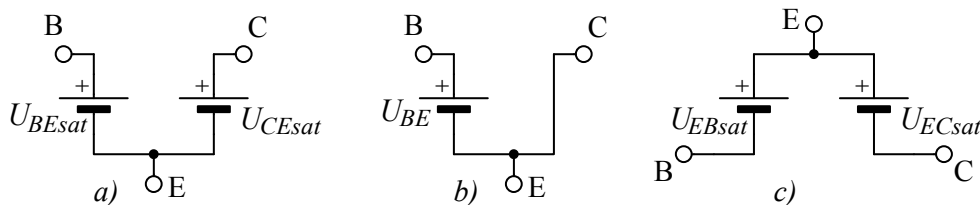
$$u_{BE} > 0; \quad u_{BC} > 0. \quad (3.15)$$

Tranzistorul bipolar intră în regim de saturație dacă în baza tranzistorului se forțează din exterior un curent mai mare decât curentul de bază necesar pentru menținerea curentului de colector al tranzistorului:

$$i_B > \frac{i_C}{\beta}, \quad (3.16)$$

Surplusul de curent din bază  $\Delta i_B = i_B - (i_C/\beta)$  deschide joncțiunea bază-colector a tranzistorului.

Deoarece ambele joncțiuni ale tranzistorului sunt deschise, tensiunea dintre colectorul și emitorul tranzistorului este mică:  $u_{CE} = u_{BE} - u_{BC} (\approx 0,7 - 0,4 \dots 0,6 = 0,1 \dots 0,3V)$ . Dacă se consideră această tensiune aproximativ constantă, în locul unui tranzistor *nnp* saturat se poate utiliza circuitul echivalent din figura 3.6.a.



**Fig. 3.6.** Scheme echivalente pentru tranzistorul bipolar saturat: a) tranzistor *nnp*, b) schemă simplificată pentru *nnp*, c) tranzistor *pnp*.

Tensiunea de saturație a tranzistorului  $U_{CEsat}$  are o valoare uzuală de câteva zecimi de volt; în cazul tranzistoarelor de mică putere se poate considera  $U_{CEsat} \approx 0,2V$ . La o analiză simplificată a circuitelor care conțin tranzistoare saturate se poate considera tensiunea de saturație a tranzistorului ca fiind nulă, mai ales dacă tensiunile din circuitul colectorului au valori mai mari decât câțiva volți. În acest caz circuitul echivalent al tranzistorului se simplifică și devine cel din figura 3.6.b. Tensiunea bază-emitor a tranzistoarelor în saturație are de obicei valori mai mari decât în RAN  $U_{BEsat} = 0,7 \dots 0,9V$ . Pentru simplitate se consideră tensiunea bază-emitor cu aceeași valoare din RAN:  $U_{BEsat} \approx U_{BE} \approx 0,7V$ .

Pentru a realiza o saturație fermă a tranzistorului, raportul dintre curentul de colector și cel de bază, numit **factor de amplificare forțat** (de circuitul exterior tranzistorului):

$$\beta_{fortat} = \frac{i_C}{i_B} < \beta, \quad (3.17)$$

$$\text{se alege de obicei} \quad \beta_{fortat} = 10 \dots 20 \ll \beta. \quad (3.18)$$

În cazul tranzistoarelor *pnp* sensul tensiunilor se inversează și se poate utiliza circuitul echivalent din figura 3.6.c, unde  $U_{ECsat}$  este tensiunea de saturație a tranzistorului (cu valori uzuale de câteva zecimi de volt, ca și la tranzistorul *nnp*).

**În concluzie**, tranzistorul este saturat datorită unui curent excesiv în bază și se comportă într-o primă aproximare ca un comutator închis (între colector și emitor). Mai exact, tensiunea dintre colector și emitor are o valoare mică, de câteva zecimi de volt.

## 3.2 APLICAȚII SIMPLE ALE TRANZISTOARELOR

În acest subcapitol se prezintă câteva aplicații ale tranzistoarelor bipolare: inversorul de tensiune, un circuit de comandă al unui releu, sursa standard de curent constant, stabilizatorul de tensiune cu regulator serie și un circuit de amplificare în tensiune cu tranzistor. Aceste aplicații relativ simple ale tranzistorului sunt însoțite și de exemple de calcul și au ca scop să familiarizeze cititorul cu elementele fundamentale ale tranzistorului prezentate anterior. Circuitele studiate sunt dintre cele mai des utilizate în implementările cu componente discrete.

### 3.2.1 Inversorul cu tranzistor bipolar

Inversorul de tensiune în forma lui cea mai simplă este prezentat în figura 3.7. Sursa de tensiune de la intrare se conectează între bază și emitor (prin intermediul rezistenței  $R_B$ ) iar ieșirea se preia între colector și emitor. Emitorul este conectat la masă și este comun intrării și ieșirii; se spune despre tranzistor că este în **conexiunea emitor comun**.

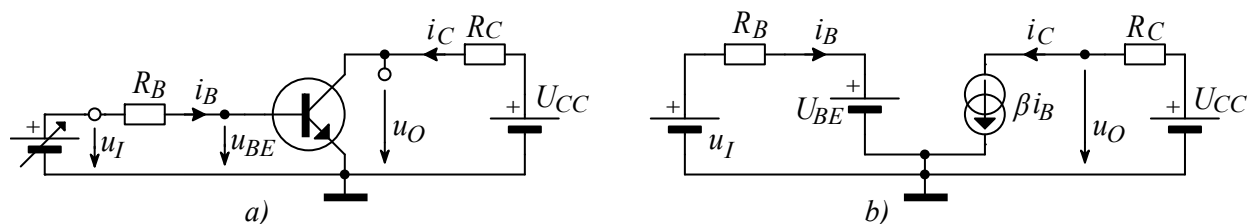


Fig. 3.7. Inversorul cu tranzistor bipolar: a) schema de principiu, b) schema echivalentă cu tranzistorul în RAN.

Tranzistorul este utilizat ca amplificator de curent, iar rezistențele realizează conversia curent-tensiune. Rezistența  $R_B$  transformă tensiunea de intrare în curent de bază conform T2K pe bucla de intrare:

$$u_I = R_B i_B + u_{BE} \Rightarrow i_B = \frac{u_I - u_{BE}}{R_B}. \quad (3.19)$$

Rezistența  $R_C$  transformă curentul de colector în tensiune de ieșire conform T2K pe bucla de ieșire:

$$u_O = U_{CC} - R_C i_C, \quad (3.20)$$

unde cu  $U_{CC}$  s-a notat tensiunea sursei de alimentare a circuitului. Se consideră cazul uzual în care este îndeplinită condiția,

$$U_{CC} \gg U_{D0}, \quad (3.21)$$

unde  $U_{D0} \approx 0,5V$  este tensiunea de deschidere a unei diode cu siliciu (joncțiunea bază-emitor).

Pentru tensiuni de intrare mici ( $u_I < U_{D0}$ ) tranzistorul este blocat, curenții prin tranzistor sunt neglijabili și tensiunea de ieșire are o valoare ridicată:

$$u_O = U_{CC} - R_C i_C \approx U_{CC}, \quad (i_C \approx 0). \quad (3.22)$$

Pentru tensiuni de intrare suficient de mari, tranzistorul intră în saturație. În acest caz tensiunea de ieșire este mică:

$$u_O = U_{CEsat} (\approx 0,2V), \quad (3.23)$$

și curentul de colector atinge o valoare apropiată de valoarea maximă posibilă:

$$i_C = \frac{U_{CC} - U_{CEsat}}{R_C} \cong \frac{U_{CC}}{R_C} (= I_{Cmax}). \quad (3.24)$$

Intrarea în saturație a tranzistorului are loc dacă se injectează în baza acestuia un curent mai mare decât cel necesar pentru a susține curentul din colector. Condiția (3.16), de intrare în saturație, devine:

$$i_B = \frac{u_I - U_{BE}}{R_B} > \frac{i_C}{\beta} \cong \frac{U_{CC}}{\beta R_C} \Rightarrow u_I > U_{BE} + \frac{R_B}{\beta R_C} U_{CC}. \quad (3.25)$$

Tensiunea bază-emitor a tranzistorului s-a considerat constantă,  $U_{BE}(=U_D \cong 0,7V)$ .

Cele două situații extreme: tranzistorul blocat și respectiv tranzistorul saturat sunt utilizate la circuitele care lucrează în comutație sau în cazul circuitelor logice. În acest ultim caz, dacă se alocă valoarea logică “0” pentru tensiuni mici (apropiate de zero volți) și valoarea logică “1” pentru tensiuni ridicate (apropiate de  $U_{CC}$ ) se observă că valoarea logică de ieșire este inversul valorii logice de intrare; circuitul cu tranzistor realizează **funcția de inversare** sau negare logică.

Dacă tensiunea de intrare are valori medii, atunci tranzistorul va funcționa în regiunea activă normală (RAN). Tranzistorul se comportă ca o sursă de curent controlată din circuitul bazei și de aceea se preferă utilizarea schemei echivalente din figura 3.3.c. Schema echivalentă a inversorului este prezentată în figura 3.7.b. Funcționarea circuitului poate fi descrisă cu relațiile (3.6), (3.19) și (3.20), relații din care se obține caracteristica de transfer a circuitului:

$$u_O = U_{CC} - R_C \beta i_B = U_{CC} - R_C \beta \frac{u_I - U_{BE}}{R_B}. \quad (3.26)$$

### Exemplu

Să se exprime analitic și să se reprezinte grafic caracteristica de transfer a inversorului din figura 3.7.a pentru:  $R_C=1k\Omega$ ,  $R_B=10k\Omega$ ,  $u_I=0\dots 5V$  și  $U_{CC}=5V$ . Se consideră modelul tranzistorului din figura 3.4.b cu  $U_{BE}(=U_D)=0,7V$ ,  $\beta=100$  și  $U_{CEsat}=0,2V$ .

**Rezolvare:** În blocare:  $i_B \cong 0$ ,  $u_{BE} = u_I - R_B i_B \cong u_I$ . Tranzistorul este blocat dacă dioda bază-emitor este blocată:  $u_{BE} < U_D$  adică  $u_I < U_D$ . Dacă tranzistorul este blocat,  $i_C \cong 0$  și conform (3.22) rezultă:

$$u_O = U_{CC} - R_C \cdot i_C \cong U_{CC} = 5V, \text{ pentru } u_I < 0,7V.$$

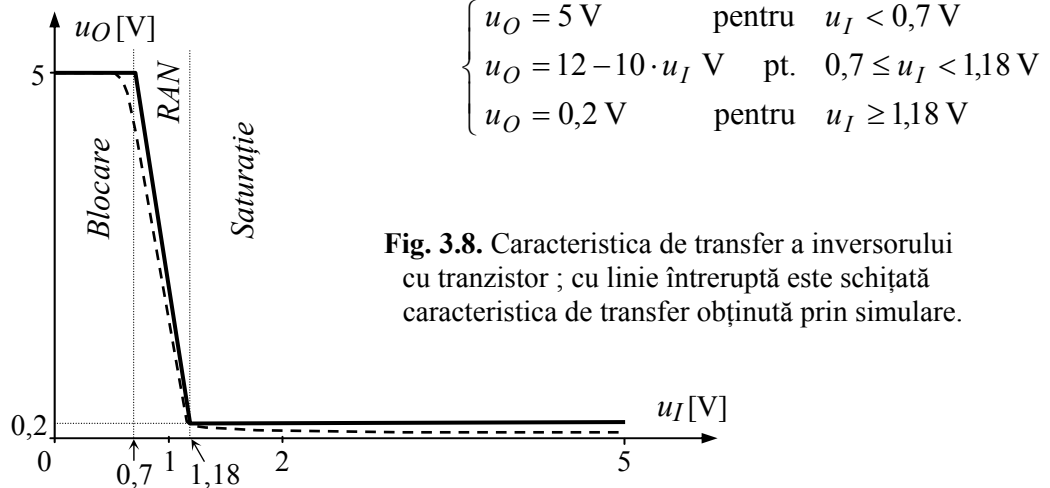
Pentru  $u_I > 0,7V$  dioda bază-emitor este în conducție și tranzistorul poate fi în RAN sau în saturație. Dacă  $u_O > 0,2V$ , tranzistorul este în RAN și caracteristica de transfer este dată de (3.26):

$$u_O = 5 - 1k \cdot 100 \frac{u_I - 0,7}{10k} = 12 - 10 \cdot u_I \text{ [V]}, \text{ pentru } 12 - 10 \cdot u_I > 0,2 \Rightarrow u_I < 1,18V.$$

În saturație, conform (3.23):  $u_O = 0,2V$  pentru  $u_I > 1,18V$  – relația (3.25).

Caracteristica de transfer a circuitului pentru întreg domeniul de variație a tensiunii de intrare este reprezentată grafic în figura 3.8. Pentru comparație, s-a reprezentat cu linie întreruptă caracteristica obținută prin simulare.

Caracteristica de transfer este descrisă analitic de funcția liniarizată pe porțiuni:



**Fig. 3.8.** Caracteristica de transfer a inversorului cu tranzistor ; cu linie întreruptă este schițată caracteristica de transfer obținută prin simulare.

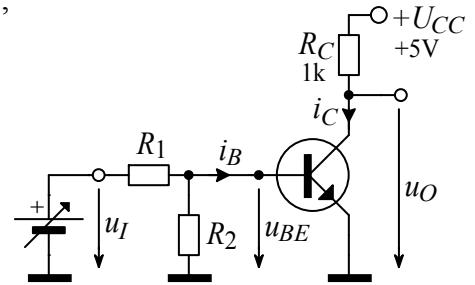
### Problemă de proiectare

a) Să se dimensioneze circuitul inversor din figura 3.9, astfel încât să realizeze:

- $u_O \cong U_{CC}$  pentru  $u_I = 0 \dots 1 \text{ V}$ ,
- $u_O = U_{CEsat} \cong 0$  pentru  $u_I = 2 \dots 5 \text{ V}$ .

Parametrii tranzistorului se consideră  $U_{D0} = 0,5 \text{ V}$ ,  $U_{BE} = 0,7 \text{ V}$  și  $\beta = 100$ .

b) Să se determine tensiunea de intrare de la care tranzistorul intră în saturație dacă  $\beta = 300$ .



**Fig. 3.9.** Inversor logic cu tranzistor

### Rezolvare:

a) Dimensionarea circuitului se reduce la aflarea valorilor rezistențelor  $R_1$  și  $R_2$ . Pentru tranzistorul blocat, divizorul de tensiune lucrează în gol ( $i_B \cong 0$ ) și deci:

$$u_{BE} = u_I \frac{R_2}{R_1 + R_2} \quad \text{sau} \quad \frac{u_I}{u_{BE}} = 1 + \frac{R_1}{R_2}.$$

La limita ieșirii din blocare, conform relației (3.11):  $u_{BE} = U_{D0} = 0,5 \text{ V}$  și trebuie ca  $u_I = 1 \text{ V}$  (conform enunțului). Din relația precedentă rezultă:

$$\frac{R_1}{R_2} = \frac{u_I}{u_{BE}} - 1 = \frac{1}{0,5} - 1 = 1 \Rightarrow R_1 = R_2.$$

La limita intrării în saturație ( $u_I = 2 \text{ V}$ ), conform relației (3.25), curentul  $i_B$  necesar este:

$$i_B \cong \frac{U_{CC}}{\beta R_C} = \frac{5}{100 \cdot 1k} = 0,05 \text{ mA}.$$

Curentul necesar prin  $R_1$ :  $i_{R1} = i_{R2} + i_B = \frac{U_{BE}}{R_2} + i_B$ , obținut din T1K,

se poate determina și din legea lui Ohm:  $i_{R1} = \frac{u_I - U_{BE}}{R_1}$ . Ținând cont că  $R_1 = R_2$ , rezultă:

$$\frac{U_{BE}}{R_2} + i_B = \frac{u_I - U_{BE}}{R_2}, \quad R_2 \cdot i_B = u_I - 2U_{BE}, \quad R_2 = \frac{u_I - 2U_{BE}}{i_B} = \frac{2 - 2 \cdot 0,7}{0,05\text{m}} = 12\text{k}\Omega$$

**O altă modalitate de rezolvare** este înlocuirea circuitului conectat la intrare (între bază și emitor) cu sursa Thévenin echivalentă conform figurii alăturată. Parametrii sursei Thévenin sunt:

$$u_{Th} = u_{BE}|_{i_B=0} = u_I \frac{R_2}{R_1 + R_2} = \frac{u_I}{2},$$

$$R_{Th} = R_1 \parallel R_2 = \frac{R_2}{2}.$$

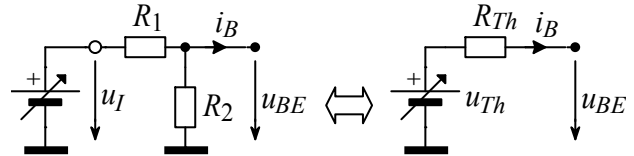


Fig. 3.10. Echivalarea Thévenin la intrare

Prin înlocuirea circuitului de la intrare cu sursa Thévenin echivalentă, schema circuitului devine identică cu cea din figura 3.7.a, cu  $u_{Th}$  în loc de  $u_I$  și  $R_{Th}$  în loc de  $R_B$ . Relația (3.25) permite calcularea rezistențelor din circuitul bazei la limita intrării în saturație:

$$\frac{u_{Th} - U_{BE}}{R_{Th}} \geq \frac{U_{CC}}{\beta R_C} \Rightarrow R_{Th} \leq \beta R_C \frac{u_{Th} - U_{BE}}{U_{CC}} = 100 \cdot 1\text{k} \frac{1 - 0,7}{5} = 6\text{k}, \quad R_2 = R_1 = 2R_{Th} = 12\text{k}\Omega$$

b) Pentru  $\beta=300$ , la limita intrării în saturație ( $u_I=2\text{V}$ ), curentul  $i_B$  necesar este:

$$i_B \cong \frac{U_{CC}}{\beta R_C} = \frac{5}{300 \cdot 1\text{k}} = 0,0167\text{mA},$$

iar tensiunea de intrare la care apare acest curent (pentru  $R_1=R_2=12\text{k}\Omega$ ) se poate calcula din:

$$\frac{u_I - U_{BE}}{R_1} = \frac{U_{BE}}{R_2} + i_B \Rightarrow u_I = R_1 i_B + 2U_{BE} = 12\text{k} \cdot 0,0167\text{m} + 2 \cdot 0,7 = 1,6\text{V}.$$

Folosind sursa Thévenin echivalentă se obține același rezultat (cu mai puține calcule):

$$u_{Th} = R_{Th} \cdot i_B + U_{BE} = 6\text{k} \cdot 0,0167\text{m} + 0,7 = 0,8\text{V}, \quad u_I = 2 \cdot u_{Th} = 1,6\text{V}$$

**În concluzie** circuitul analizat poate fi utilizat ca inversor logic. Intervalele de tensiuni corespunzătoare nivelelor logice la intrare sunt:

- pentru "0" logic :  $u_I = 0 \dots 1\text{V}$  – depinde de tensiunea de deschidere a tranzistorului  $U_{D0}$  și de raportul rezistențelor de la intrare (nu depinde de factorul  $\beta$  al tranzistorului);
- pentru "1" logic :  $u_I = 2 \dots 5\text{V}$  pentru  $\beta=100$  și  $u_I = 1,6 \dots 5\text{V}$  pentru  $\beta=300$  – depinde de factorul de amplificare în curent al tranzistorului. Pentru ca circuitul să funcționeze cu orice tranzistor care are  $\beta \geq 100$ , se va considera intervalul de tensiuni care asigură saturarea tranzistorului pentru  $\beta$  minim, deci  $u_I = 2 \dots 5\text{V}$ , saturarea tranzistoarelor care au  $\beta$  mai mare fiind asigurată implicit.

### 3.2.2 Circuit de comandă al unui releu cu tranzistor bipolar

Dimensionarea circuitului de comandă cu tranzistor bipolar se face pe baza unui exemplu concret. Circuitul din figura 3.11 declanșează un releu electromagnetic la scăderea iluminării

ambiente sub un anumit prag. Contactele de forță ale releului pot fi utilizate de exemplu pentru cuplarea automată a sistemului de iluminare de siguranță. Ca senzor de lumină este utilizată fotorezistența  $FR$  – componentă semiconductoare a cărei rezistență scade la creșterea iluminării (datorită purtătorilor de sarcină generați optic). Prin modificarea rezistenței  $R_1$  se poate ajusta pragul de declanșare. Dioda  $D$  are rolul de a crea o cale de curent pentru tensiunea de autoinducție care apare la decuplarea releului (în momentul blocării tranzistorului). În lipsa diodei această tensiunea ar putea duce la străpungerea tranzistorului.

### Exemplu de proiectare

Să se calculeze rezistența  $R_1$  pentru ca releul să cupleze la acea iluminare pentru care fotorezistența are valoarea  $R_{FR}=5\text{k}\Omega$ , dacă  $U_{CC}=12\text{V}$ ,  $U_{BE}=0,7\text{V}$ ,  $\beta=100$ . Rezistența releului este  $R_{Rel}=1\text{k}\Omega$  iar tensiunea de prag (la care cuplează releul) este  $U_P=6\text{V}$ .

La ce valoare a fotorezistenței va cupla releul dacă  $\beta=200$ ?

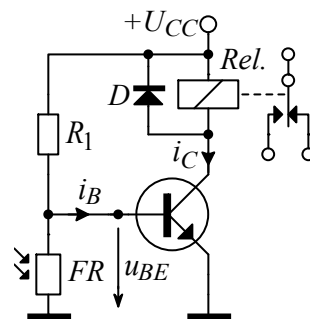


Fig. 3.11. Releu optic

### Rezolvare:

Declanșarea releului se produce la apariția tensiunii de prag pe releu. Curentul prin releu este curentul de colector al tranzistorului și poate fi calculat cu legea lui Ohm (la cuplarea releului dioda  $D$  este blocată). Curenții prin tranzistor sunt:

$$i_C = \frac{U_P}{R_{Rel}} = \frac{6}{1\text{k}} = 6\text{mA}, \quad i_B = \frac{i_C}{\beta} = \frac{6\text{m}}{100} = 0,06\text{mA}.$$

Acest curent de bază trebuie să apară pentru  $R_{FR}=5\text{k}\Omega$ . Curentul prin fotorezistență și rezistența  $R_1$  necesară se pot determina prin aplicarea succesivă a legii lui Ohm:

$$i_{FR} = \frac{U_{BE}}{R_{FR}} = \frac{0,7}{5\text{k}} = 0,14\text{mA}, \quad i_{R1} = i_B + i_{FR} = 0,2\text{mA}, \quad R_1 = \frac{U_{CC} - U_{BE}}{i_{R1}} = \frac{11,3}{0,2\text{m}} \cong 56\text{k}\Omega.$$

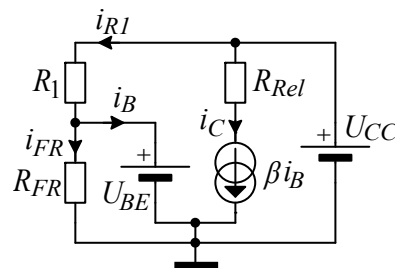
Dacă factorul de amplificare crește, curentul necesar în baza tranzistorului scade, curentul prin  $R_1$  nu se modifică și deci cuplarea releului se va produce pentru o altă valoare a fotorezistenței:

$$i_{FR1} = i_{R1} - \frac{i_C}{\beta} = 0,2\text{m} - \frac{6\text{m}}{200} = 0,17\text{mA}, \quad R_{FR1} = \frac{U_{BE}}{i_{FR1}} = \frac{0,7}{0,17\text{m}} = 4,12\text{k}\Omega.$$

Analiza circuitului s-a făcut cu schema echivalentă a tranzistorului presupusă implicit. Schema echivalentă a circuitului (care utilizează explicit schema echivalentă a tranzistorului) este reprezentată în figura alăturată.

**Observații:** 1. Pentru aplicația propusă modificarea fotorezistenței de la  $5\text{k}\Omega$  la circa  $4\text{k}\Omega$  este acceptabilă; declanșarea releului optic se va produce la un nivel de iluminare ceva mai ridicat dacă factorul de amplificare al tranzistorului este mai mare.

2. Echivalarea Thévenin a circuitului din baza tranzistorului nu conduce la o simplificare a calculelor deoarece, în acest caz, atât  $u_{Th}$  cât și  $R_{Th}$  depind de fotorezistență.

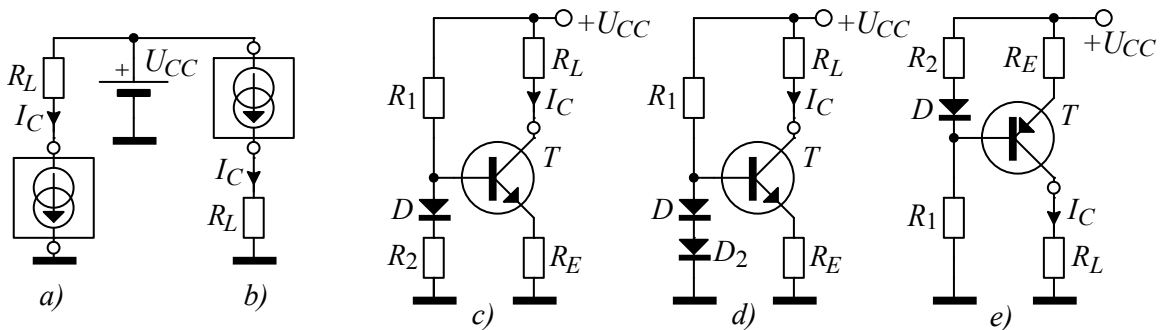


### 3.2.3 Sursa standard de curent constant

Sursa de curent constant menține curentul într-o ramură de circuit la o valoare fixată. Teoretic, valoare acestui curent nu depinde de tensiunea dintre bornele sursei de curent. Sursele de curent se pot realiza prin conectarea sarcinii în circuitul de colector al unui tranzistor bipolar care funcționează în RAN și la care curentul de emitor este menținut constant. Funcționarea unui astfel de circuit se bazează pe egalitatea dintre curentul de colector și curentul de emitor la TB în RAN.

Sursa de curent constant poate să absoarbă curent (pe care îl conduce de obicei la masă) sau poate să furnizeze curent de la o sursă de tensiune spre circuitul de sarcină (sarcină care de obicei este conectată la masă). Schemele bloc ale unor astfel de configurații sunt prezentate în figura 3.12.a și b (circuiturile de sarcină sunt reprezentate simbolic de rezistența  $R_L$ ).

Circuiturile cu tranzistoare absorb un curent constant  $I_C$  din sursa de tensiune  $U_{CC}$  prin sarcina  $R_L$  spre masă (cazul a), respectiv furnizează un curent constant din sursa de tensiune prin sarcina conectată la masă (cazul b). Din punct de vedere energetic circuiturile realizează conversia tensiune-curent, preiau energia de la o sursă de tensiune și o transformă în curent prin sarcină.



**Fig. 3.12.** Surse de curent constant cu TB: a), b) scheme bloc; scheme de principiu: c), d) cu tranzistoare *nnp* – absorb curent și e) cu tranzistor *pnp* – injectează curent.

Schemele de principiu ale surselor standard de curent constant care absorb, respectiv injectează curent sunt prezentate în figura 3.12.c, d respectiv e. La dimensionarea acestor surse trebuie respectate următoarele condiții:

- Tranzistorul trebuie să fie nesaturat (se asigură astfel egalitatea curenților prin tranzistor:  $I_C \cong I_E$ , deoarece tranzistorul nesaturat are un factor de amplificare  $\beta$  mare, sau  $\alpha \cong 1$ ); condiția de nesaturare este relația (3.14) corespunzătoare tipului tranzistorului utilizat.
- Curentul prin circuitul de polarizare al bazei trebuie să fie mult mai mare decât curentul de bază; o condiție rezonabilă este:

$$I_{R1} > 0,1 \cdot I_C. \quad (3.27)$$

Această condiție asigură o dependență redusă a curentului de ieșire de factorul de amplificare  $\beta$  al tranzistorului, cât timp acest factor este suficient de mare (tipic:  $\beta \geq 100 \Rightarrow I_{R1} \geq 10 I_{B1}$ ).

Calcularea curentului de ieșire în funcție de elementele schemei se face considerând implicit modelul tranzistorului din figura 3.4.a (respectiv 3.5.a pentru *pnp*), fără a mai redesena schema echivalentă. Aceasta revine la a considera tensiunea emitor-bază constantă și  $I_C = \alpha I_E \cong I_E$ . Pentru schema din figura 3.12.c sunt valabile următoarele relații:

$$I_E = \frac{U_{R_E}}{R_E}, \quad U_{R_E} + U_{BE} = U_{R2} + U_D; \quad U_D \cong U_{BE} \Rightarrow U_{R_E} \cong U_{R2} \quad \text{și} \quad I_E \cong \frac{U_{R2}}{R_E}.$$

$$\text{În circuitul de polarizare al bazei:} \quad U_{R2} = R_2 I_{R2}; \quad \text{pentru}$$

$$I_{R1} \gg I_B \Rightarrow I_{R2} = I_{R1} - I_B \cong I_{R1} \cong \frac{U_{CC} - U_D}{R_1 + R_2}, \quad U_{R2} = \frac{R_2(U_{CC} - U_D)}{R_1 + R_2}$$

și în final se obține:

$$I_C \cong I_E \cong \frac{R_2}{R_1 + R_2} \cdot \frac{U_{CC} - U_D}{R_E}. \quad (3.28)$$

Joncțiunea bază-emitor și dioda  $D$  se comportă aproximativ identic, dependența de temperatură a celor două joncțiuni este aproximativ identică și implicit curentul de ieșire este relativ independent de temperatură. Circuitul funcționează și fără dioda  $D$  (înlocuită cu un scurtcircuit), dar crește dependența de temperatură a curentului de ieșire.

Condiția de nesaturare a tranzistorului din relația (3.14) impune:

- fie tensiunea de alimentare  $U_{CC}$  minimă pentru o sarcină dată:

$$U_{CE} = U_{CC} - (R_L + R_E) \cdot I_C > U_{CEsat} \Rightarrow U_{CC} > U_{CEsat} + (R_L + R_E) \cdot I_C, \quad (3.29)$$

- fie căderea de tensiune maximă pe circuitul de sarcină (sau valoarea maximă a rezistenței de sarcină) dacă tensiunea  $U_{CC}$  este impusă:

$$U_{R_L} < U_{CC} - U_{CEsat} - R_E I_C \quad \text{sau} \quad R_L < \frac{U_{CC} - U_{CEsat}}{I_C} - R_E. \quad (3.30)$$

În cazul generatorului cu tranzistor *pnp* din figura 3.12.e relațiile precedente nu se modifică exceptând înlocuirea tensiunii  $U_{CEsat}$  cu tensiunea de saturație specifică tranzistorului *pnp*,  $U_{ECsat}$ .

Relația de calcul a curentului de ieșire din sursă (3.28) este aceeași indiferent de tipul tranzistorului. Din această relație se remarcă proporționalitatea dintre curentul de ieșire și tensiunea de alimentare; aceasta indică dependența curentului  $I_C$  de tensiunea  $U_{CC}$ . Pentru a obține o relativă independență a curentului de ieșire de tensiunea de alimentare, se poate utiliza schema din figura 3.12.d (în locul celei din figura 3.12.c). Se poate demonstra ușor că:

$$I_C \cong \frac{U_D}{R_E}, \quad (3.31)$$

unde  $U_D$  este căderea de tensiune pe dioda  $D_2$ ; se poate considera  $U_D \cong 0,7V$ .

Dacă în schema din figura 3.12.e se înlocuiește  $R_1$  cu o diodă (sau diodă zener) se obține și în cazul schemei cu tranzistor *pnp* o relativă independență a curentului de ieșire de tensiunea  $U_{CC}$ .

### Problemă de proiectare

a) Să se dimensioneze circuitul de încărcare al unui acumulator cu Ni (cadmiu-nichel, CdNi, sau nichel-metal hidrid, NiMH) cu tensiunea nominală de 3,6V (format din trei elemente înseriate) și cu o capacitate nominală de 1Ah (amper-oră). Curentul de încărcare se alege  $I_{inc} = 0,1A (= Q/10h)$ , așa-numitul regim de încărcare lentă; în acest regim, randamentul tipic al încărcării este de circa 70% și timpul de încărcare a acumulatorului complet descărcat este de circa 14 ore). Se va utiliza circuitul din figura 3.12.e (cu acumulatorul conectat la masă) cu tensiunea sursei de alimentare de 12V. Căderea de tensiune pe rezistența din emitor se alege  $U_{RE} = 2...3V$  și  $I_{R1} = (10...20)I_{Bmax}$ . Se consideră factorul de amplificare în curent al tranzistorului  $\beta \geq 100$  și  $U_D = U_{EB} = 0,7V$ .

b) Pentru sursa de curent constant rezultată, să se determine puterea maximă disipată de tranzistor (în cazul unei tensiuni nule pe sarcină – scurtcircuit la ieșire) și tensiunea maximă care poate să apară pe sarcină (în cazul în care sursa furnizează curentul nominal), dacă se consideră o tensiune de saturație a tranzistorului  $U_{ECsat} = 0,3V$ .



**Rezolvare:**

Schema echivalentă a circuitului este reprezentată în figura alăturată. S-a utilizat schema echivalentă a tranzistorului în RAN iar acumulatorul s-a înlocuit cu sursa de tensiune echivalentă.

Curentul de emitor al tranzistorului este practic egal cu cel de colector deoarece  $\beta \gg 1$ :

$$I_E = I_C + I_B = I_C + \frac{I_C}{\beta} = I_C \left( \frac{\beta + 1}{\beta} \right) \cong I_C = I_{inc}.$$

$R_E$  se dimensionează cu legea lui Ohm:

$$R_E = \frac{U_{R_E}}{I_E} \cong \frac{U_{R_E}}{I_{inc}} = \frac{2...3}{0,1} = 20...30\Omega. \text{ Se alege valoarea standardizată: } R_E = 22\Omega.$$

Puterea disipată de rezistența de emitor este:  $P_{dR_E} = R_E \cdot I_{inc}^2 = 22 \cdot 0,1^2 = 0,22\text{W}.$

Curentul maxim în baza tranzistorului rezultă pentru factorul de amplificare minim:

$$I_{B\max} = \frac{I_C}{\beta_{\min}} = \frac{I_{inc}}{\beta_{\min}} = \frac{0,1}{100} = 0,001\text{A} = 1\text{mA}$$

Din T1K scrisă în baza tranzistorului:

$$I_{R2} + I_B = I_{R1} \quad \text{și} \quad I_{R1} \gg I_B \Rightarrow I_{R2} \cong I_{R1} = (10...20) \cdot I_{B\max} = 10...20\text{mA}$$

Pentru  $U_{EB} = U_D$ , din T2K scrisă pe bucla:  $R_E - \text{jonc. E-B} - D - R_2$ :

$$R_E I_{inc} + U_{EB} = R_2 I_{R2} + U_D \Rightarrow R_E I_{inc} = R_2 I_{R2} \quad \text{și} \quad R_2 = \frac{R_E I_{inc}}{I_{R2}} = \frac{22 \cdot 100\text{m}}{10...20\text{m}} = 220...110\Omega.$$

Se alege valoarea standardizată  $R_2 = 150\Omega$  a.î.:  $I_{R1} \cong I_{R2} = \frac{R_E I_{inc}}{R_2} = \frac{22 \cdot 100\text{m}}{150} \cong 15\text{mA}.$

Rezistența  $R_1$  se determină din T2K scrisă pentru divizorul din baza tranzistorului:

$$U_{CC} = R_2 I_{R2} + U_D + R_1 I_{R1} \Rightarrow R_1 \cong \frac{U_{CC} - U_D}{I_{R1}} - R_2 = \frac{12 - 0,7}{15\text{m}} - 150 = 603\Omega.$$

Se alege valoarea standardizată  $R_1 = 620\Omega$ .

b) La calcularea puterii disipate de tranzistor se poate neglija puterea din circuitul bazei deoarece atât curentul cât și tensiunea de bază sunt mici:

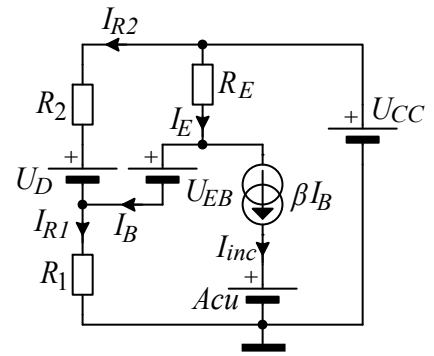
$$P_{DT} = I_C U_{EC} + I_B U_{EB} \cong I_C U_{EC}, \quad P_{DT\max} = I_{inc} (U_{CC} - R_E I_{inc}) = 0,1 \cdot (12 - 22 \cdot 0,1) \cong 1\text{W}.$$

Puterea disipată maximă s-a calculat considerând cazul cel mai defavorabil, un scurtcircuit în locul acumulatorului, caz în care tensiunea  $U_{EC}$  este maximă.

Tensiunea maximă care poate să apară pe sarcină în regim normal de funcționare se calculează din T2K atunci când tranzistorul este la limita practică a RAN ( $u_{EC} = U_{ECsat}$ ):

$$U_{C\max} = U_{CC} - R_E I_{inc} - U_{ECsat} = 12 - 22 \cdot 0,1 - 0,3 = 9,5\text{V}.$$

**În concluzie**, tranzistorul trebuie ales astfel încât să poată disipa 1W și acest circuit poate furniza un curent constant de 0,1A dacă tensiunea pe sarcină este mai mică decât 9,5V.

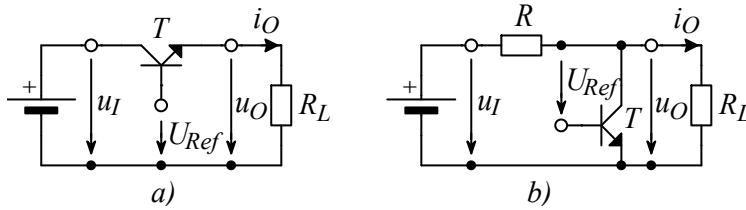


### 3.2.4 Stabilizator de tensiune cu tranzistor

Stabilizatorul de tensiune este un circuit la ieșirea căruia se obține în mod ideal o tensiune constantă. Practic, tensiunea de ieșire trebuie să depindă cât mai puțin de curentul furnizat sarcinii, de tensiunea de intrare și de temperatură, cu condiția ca acestea să se încadreze între anumite limite.

Tranzistorul este elementul regulator în sensul că preia variațiile tensiunii de intrare și ale curentului de ieșire. El poate fi conectat între sursa de intrare și sarcina de la ieșire (în serie cu sarcina), caz în care circuitul este denumit stabilizator serie, sau poate fi conectat în paralel cu sarcina, caz în care circuitul se numește stabilizator paralel (sau derivație). Schemele de principiu pentru aceste configurații sunt prezentate în figura 3.13.a și respectiv b. Tensiunea de referință  $U_{Ref}$  este o tensiune constantă care determină tensiunea de ieșire în cele două cazuri conform relațiilor:

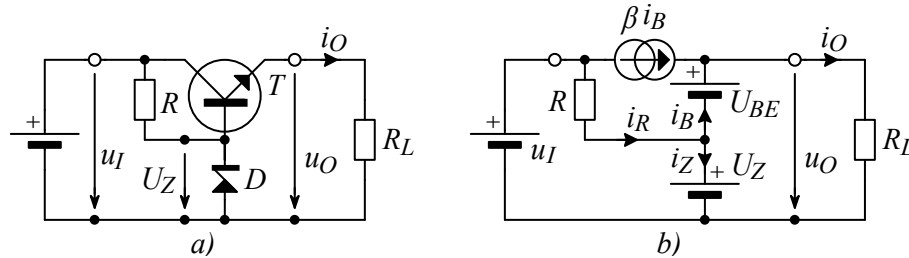
$$a) u_O = U_{Ref} - U_{BE}, \quad b) u_O = U_{Ref} + U_{BE}. \quad (3.32)$$



**Fig. 3.13.** Scheme de principiu pentru:  
a) configurația serie  
b) configurația paralel.

Întrucât tensiunea  $U_{BE}$  este aproximativ constantă, rezultă o tensiune de ieșire  $u_O$  care este aproximativ constantă. Avantajul adus de aceste configurații de circuit este curentul mic solicitat din sursa de tensiune constantă  $U_{Ref}$ . Această sursă este realizată practic ca stabilizator de tensiune cu diodă Zener sau cu ajutorul unui circuit integrat specializat de mică putere.

În figura 3.14 este prezentat stabilizatorul serie tipic, cu diodă zener.



**Fig. 3.14.** Stabilizatorul de tensiune serie cu tranzistor și diodă Zener:

a) Schema de principiu, b) Schema echivalentă simplificată (valabilă pentru  $i_Z > I_{Zm}$ ).

Stabilizatorul de tensiune cu tranzistor din figura 3.14.a se bazează pe circuitul din figura 3.13.a, la care sursa de tensiune de referință  $U_{Ref}$  este înlocuită cu stabilizatorul parametric compus din  $R$  și  $D$ . Curentul de ieșire pentru stabilizatorul parametric este curentul de bază al tranzistorului  $i_B$ , iar curentul de ieșire din stabilizator  $i_O$  este curentul de emitor al tranzistorului. Relația dintre curentul de emitor și curentul de bază al tranzistorului se obține din (3.5) și (3.6):

$$i_O = i_E = i_C + i_B = \beta \cdot i_B + i_B = (\beta + 1)i_B \quad \text{și deci} \quad i_B = \frac{i_O}{\beta + 1}. \quad (3.33)$$

Tensiunea de la ieșirea stabilizatorului se poate calcula cu relația (3.32.a) care devine:

$$u_O = U_Z - U_{BE}, \quad (3.34)$$

iar puterea disipată de tranzistor se poate calcula cu relația:

$$P_{dT} = u_{CE} \cdot i_E = (u_I - u_O) \cdot i_O. \quad (3.35)$$

Stabilizatorul parametric și implicit stabilizatorul cu tranzistor funcționează corect dacă prin dioda zener circulă un curent între limitele admise (conform relației de la stabilizatorul parametric):

$$I_{Zm} \leq i_Z \leq I_{ZM},$$

unde  $I_{Zm}$  este curentul minim de stabilizare și  $I_{ZM}$  este curentul maxim de stabilizare. Pe baza schemei echivalente din figura 3.14.b se pot calcula limitele tensiunii de intrare și ale curentului de ieșire pentru care circuitul îndeplinește funcția de stabilizator de tensiune. Astfel, pentru un anumit curent de ieșire  $I_O$ , considerat constant, tensiunea de intrare trebuie să fie:

$$u_I \geq U_Z + R \cdot \left( I_{Zm} + \frac{I_O}{\beta + 1} \right), \quad (3.36)$$

iar pentru o anumită tensiune de intrare  $U_I$ , constantă, curentul de ieșire trebuie să fie:

$$i_O \leq \beta \cdot \left( \frac{U_I - U_Z}{R} - I_{Zm} \right). \quad (3.37)$$

Variația simultană a tensiunii de intrare și a curentului de ieșire este analizată într-un:

### Exemplu de proiectare

- a) Să se determine rezistorul  $R$  astfel încât stabilizatorul de tensiune din figura 3.14.a să funcționeze corect și încărcarea diodei zener să fie minimă dacă  $u_I = 12 \dots 15V$  și  $i_O = 0 \dots 0,5A$ . Pentru dioda zener (de tip DZ6V8) se consideră  $U_Z = 6,8V$ ,  $I_{Zm} = 5mA$  și  $I_{ZM} = 70mA$  iar pentru tranzistor  $\beta \geq 100$  și  $U_{BE} = 0,7V$ .

Pentru  $R = 470\Omega$  să se determine: b) puterea maximă disipată de tranzistor și de dioda zener dacă limitele  $u_I$  și  $i_O$  sunt cele de la punctul precedent și c) puterea maximă disipată de tranzistor în cazul unui scurtcircuit la ieșire dacă  $\beta = 50$  (pentru  $I_C = 1 \dots 2A$ ;  $\beta$  scade la creșterea  $I_C$ ).

### Rezolvare

- a) Determinarea rezistorului  $R$  presupune aflarea valorii rezistenței și a puterii disipate maxime. Rezistența trebuie astfel dimensionată încât cel mai mic curent prin dioda zener să fie cel puțin egal cu  $I_{Zm}$ :

$$i_Z = i_R - i_B = \frac{u_I - U_Z}{R} - \frac{i_O}{\beta}; \quad i_{Z \min} = \frac{u_{I \min} - U_Z}{R} - \frac{i_{O \max}}{\beta_{\min}} \geq I_{Zm}.$$

Din relația anterioară rezultă rezistența maximă (pentru care stabilizatorul funcționează corect și încărcarea diodei zener este minimă):

$$R \leq \frac{u_{I \min} - U_Z}{I_{Zm} + i_{O \max} / \beta_{\min}} = \frac{12 - 6,8}{5m + 500m/100} = 0,52k = 520\Omega.$$

Puterea disipată de rezistor și valoarea maximă a acesteia sunt:

$$P_{dR} = \frac{(u_I - U_Z)^2}{R}, \quad P_{dR \max} = \frac{(u_{I \max} - U_Z)^2}{R} = \frac{(15 - 6,8)^2}{520} \cong 0,13W.$$

Se verifică dacă dioda zener suportă curentul maxim care poate să apară:

$$i_{Z \max} = \frac{u_{I \max} - U_Z}{R} - \frac{i_{O \min}}{\beta} = \frac{15 - 6,8}{520} - 0 \cong 16mA < I_{ZM} (= 70mA).$$

- b) Puterea maximă disipată de tranzistor se calculează particularizând relația (3.35):

$$P_{dT \max} = (u_{I \max} - U_O) \cdot i_{O \max} = [15 - (6,8 - 0,7)] \cdot 0,5 = 4,45W.$$

Puterea maximă disipată de dioda zener se calculează cu ajutorul curentului maxim care poate să apară prin dioda zener (calculat cu rezistența  $R$  de la punctul b):

$$P_{dZ \max} = U_Z \cdot i_{Z \max} = U_Z \cdot \left( \frac{u_{I \max} - U_Z}{R} - \frac{i_{O \min}}{\beta} \right) = 6,8 \cdot \left( \frac{15 - 6,8}{470} - 0 \right) \cong 0,12 \text{ W}.$$

c) În cazul unui scurtcircuit la ieșire tensiunea pe tranzistor este egală cu tensiunea de intrare și curentul prin tranzistor crește foarte mult:

$$u_{CEsc} = u_I - u_O = u_I - 0 = u_I, \quad i_{Csc} = \beta \cdot i_{Bsc} = \beta \cdot \frac{u_I - U_{BE}}{R}$$

ceea ce determină o creștere apreciabilă a puterii disipate pe tranzistor:

$$P_{dT \max sc} = u_{I \max} \cdot \left( \beta \cdot \frac{u_{I \max} - U_{BE}}{R} \right) = 15 \cdot \left( 50 \cdot \frac{15 - 0,7}{470} \right) = 15 \cdot 1,52 = 22,8 \text{ W}.$$

S-a utilizat valoarea mai mică a factorului de amplificare  $\beta$  deoarece curentul prin tranzistor are o valoare mare (1,5A), valoare la care factorul  $\beta$  scade (conform enunțului).

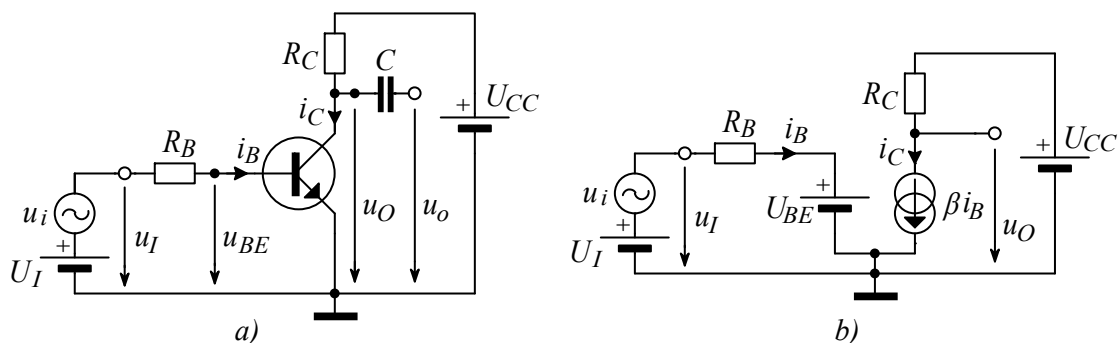
**Observații:** 1. Circuitul se dimensionează astfel încât curentul prin dioda zener să fie mai mare decât curentul minim admisibil, cât timp tensiunea de intrare și curentul de ieșire se mențin în limitele prestabilite.

2. Pentru stabilizatorul serie, tranzistorul este componenta de circuit care preia diferența de putere dintre intrare și ieșire. În cazul unui scurtcircuit la ieșire, puterea disipată de tranzistor crește foarte mult (de circa 5 ori la circuitul analizat) și pentru a preîntâmpina distrugerea tranzistorului, în circuitele reale trebuie prevăzut un mecanism de limitare a curentului de scurtcircuit.

### 3.2.5 Amplificator de tensiune cu tranzistor

Prin amplificare se înțelege operația de mărire a puterii unui semnal în condițiile păstrării formei acestuia. Mărirea puterii unui semnal electric se face pe seama energiei furnizată de sursa de alimentare. Circuitul electronic care realizează operația de amplificare se numește **amplificator**.

Unul dintre cele mai simple amplificatoare poate fi realizat cu ajutorul inversorului cu un tranzistor. După cum s-a arătat în paragraful 3.2.1, dacă tranzistorul din circuitul inversor funcționează în regim activ normal, atunci caracteristica de transfer a circuitului este liniară, relația (3.26), ceea ce indică o proporționalitate între semnalul de ieșire și cel de intrare al inversorului. Pentru a transforma inversorul cu tranzistor în amplificator trebuie să se aplice semnalul variabil la intrarea inversorului și să se preia variațiile semnalului de la ieșire. Un astfel de inversor, modificat pentru a funcționa ca amplificator, este prezentat în figura 3.15.a.



**Fig. 3.15.** Amplificator de tensiune obținut prin modificarea inversorului cu tranzistor:  
a) Schema de principiu, b) Schema echivalentă simplificată (valabilă pentru  $u_I > U_{BE}$ ).

Prin înserierea surselor la intrare se obține o tensiune  $u_I$  care are o componentă  $U_I$  de cc (sau de polarizare) și o componentă  $u_i$  de ca (sau de semnal, cu o valoare medie nulă):

$$u_I = U_I + u_i. \quad (3.38)$$

Tensiunea de ieșire  $u_O$  care rezultă este și ea formată dintr-o componentă  $U_O$  de *cc* și o componentă  $u_o$  de *ca*:

$$u_O = U_O + u_o. \quad (3.39)$$

Componenta de semnal de la ieșire este separată de componenta de *cc* cu ajutorul condensatorului de cuplaj  $C$  a cărui capacitate are o valoare mare (teoretic infinită).

Calcularea mărimilor electrice din circuit se poate face cu ajutorul schemei echivalente a circuitului din figura 3.15.b, în care tranzistorul a fost înlocuit cu schema echivalentă simplificată:

$$u_O = U_{CC} - R_C \cdot i_C = U_{CC} - R_C \cdot \beta \cdot i_B = U_{CC} - \beta \cdot R_C \frac{U_I + u_i - U_{BE}}{R_B}. \quad (3.40)$$

Mărimile de *cc* se obțin considerând tensiunea de semnal la intrare nulă ( $u_i=0$ ):

$$U_O = U_{CC} - \beta \cdot R_C \frac{U_I - U_{BE}}{R_B}. \quad (3.41)$$

Din relațiile (3.39), (3.40) și (3.41) se pot determina tensiunea de semnal la ieșire și amplificarea în tensiune realizată de circuit:

$$u_o = u_O - U_O = -\beta \cdot R_C \frac{u_i}{R_B}, \quad a_u = \frac{u_o}{u_i} = -\beta \frac{R_C}{R_B}. \quad (3.42)$$

Semnul „-” din expresia amplificării indică un defazaj de  $180^\circ$  între semnalul de ieșire și semnalul de intrare în amplificator (de exemplu, atunci când semnalul de intrare atinge valoarea maximă – amplitudinea pozitivă, semnalul de ieșire va atinge amplitudinea negativă).

Valoarea amplificării în tensiune depinde de rezistențele din circuit ( $R_C$  și  $R_B$ ) și de factorul de amplificare în curent al tranzistorului  $\beta$ . Pentru a obține o amplificare cât mai mare trebuie ca rezistența  $R_B$  să fie cât mai mică (conform relației precedente, amplificarea devine infinită pentru  $R_B=0$ ). Dacă  $R_B=0$ , atunci semnalul de intrare se aplică direct în baza tranzistorului și tensiunea  $u_{BE}$  se modifică (datorită tensiunii variabile  $u_i$ ). Conform modelului simplificat al tranzistorului, utilizat anterior, tensiunea  $u_{BE}=U_{BE}=\text{ct.}$  nu se modifică. Această aparentă imposibilitate (ca  $u_{BE}$  să fie variabil și constant în același timp) indică de fapt că modelul simplificat al tranzistorului nu poate fi utilizat (pentru  $R_B$  mici) și trebuie utilizat un model mai precis, de exemplu modelul exponențial, dat de ecuația (3.9) a tranzistorului. Pe baza modelului exponențial se va face analiza funcționării tranzistorului în regim dinamic (într-un paragraf următor).

Limitele între care amplificatorul funcționează liniar sunt date de intrarea tranzistorului în blocare ( $u_O \cong U_{CC}$ ), respectiv în saturație ( $u_O \cong 0$ ). Pentru a obține un domeniu maxim de variație a tensiunii de ieșire, în cazul unui semnal simetric (de exemplu sinusoidal), trebuie ca tensiunea de ieșire fără semnal  $U_O$  (tensiunea de polarizare la ieșire) să aibă valoarea medie a celor două limite:

$$U_O \cong \frac{U_{CC}}{2}. \quad (3.43)$$

După cum se poate constata din relația (3.40) tensiunea continuă  $U_O$  (de polarizare la ieșire) depinde de tensiunea de polarizare a intrării  $U_I$  și de factorul de amplificare al tranzistorului  $\beta$ .

**Exemplu de analiză**

- a) Să se determine amplificarea în tensiune  $a_u$ , tensiunea statică la ieșire  $U_O$  și limitele extreme ale tensiunii de ieșire  $u_O$  pt. un semnal sinusoidal de intrare cu amplitudinea  $U_{i\_vf}=0,2V$ , dacă pentru amplificatorul din figura 3.15.a se cunosc:  $R_B=10k\Omega$ ,  $R_C=2k\Omega$ ,  $U_{CC}=20V$ ,  $U_I=1,2V$ ,  $U_{BE}=0,7V$  și  $\beta=200$ .
- b) Cum se modifică  $a_u$  și  $U_O$  dacă  $\beta$  se modifică cu  $\pm 50\%$  ( $\beta=100$  respectiv  $\beta=300$ )?

**Rezolvare** a) Amplificarea în tensiune se determină cu relația (3.42):

$$a_u = -\beta \frac{R_C}{R_B} = -200 \frac{1k}{10k} = -20$$

și tensiunea statică la ieșire, calculată cu relația (3.41), are valoarea:

$$U_O = U_{CC} - \beta \cdot R_C \frac{U_I - U_{BE}}{R_B} = 20 - 200 \cdot 1k \frac{1,2 - 0,7}{10k} = 10V,$$

optimă conform relației (3.43).

Valorile extreme ale tensiunii la ieșire calculate cu (3.40) (pt.  $u_i = \pm U_{i\_vf} = \pm 0,2V$ ) sunt:

$$u_{Omin} = 20 - 200 \cdot 1k \frac{1,2 + 0,2 - 0,7}{10k} = 6V, \quad u_{Omax} = 20 - 200 \cdot 1k \frac{1,2 - 0,2 - 0,7}{10k} = 14V.$$

Inversarea fazei la ieșire față de intrare (indicată de semnul „-“ din expresia amplificării), se constată prin faptul că, de exemplu, valorii maxime a tensiunii de intrare ( $1,2+0,2V$ ) îi corespunde valoarea minimă a tensiunii de ieșire (6V).

b) Pentru  $\beta=100$  amplificarea scade și tensiunea statică la ieșire crește:

$$a_u = -100 \frac{1k}{10k} = -10, \quad U_O = 20 - 100 \cdot 1k \frac{1,2 - 0,7}{10k} = 15V,$$

iar pentru  $\beta=300$ , amplificarea crește și tensiunea statică la ieșire scade:

$$a_u = -300 \frac{1k}{10k} = -30, \quad U_O = 20 - 300 \cdot 1k \frac{1,2 - 0,7}{10k} = 5V.$$

**Concluzii:**

1. Circuitul analizat este un **amplificator inversor**; amplifică semnalul de intrare (de câteva zeci de ori în exemplul analizat) și inversează faza semnalului de ieșire față de semnalul de intrare.

3. Acest amplificator utilizează două surse de alimentare ( $U_{CC}$  și  $U_I$ ) pentru polarizarea tranzistorului; în practică sunt preferate amplificatoarele cu o singură sursă de alimentare.

2. La acest amplificator realizat pe baza inversorului cu tranzistor, ambele mărimi de interes, atât amplificarea cât și tensiunea de polarizare a ieșirii, depind pronunțat de factorul de amplificare în curent al tranzistorului  $\beta$ .

Circuitele electronice robuste și precise sunt acelea a căror funcționare depinde cât mai puțin de variațiile posibile ale componentelor de circuit în general și de valoarea factorului  $\beta$  în special. Studiarea amplificatorului realizat pe baza inversorului cu tranzistor (ai cărui parametrii depind foarte mult de  $\beta$ ) va fi aprofundată în două direcții: prin studiul circuitelor de polarizare a tranzistoarelor și prin analiza funcționării în regim dinamic a tranzistoarelor.

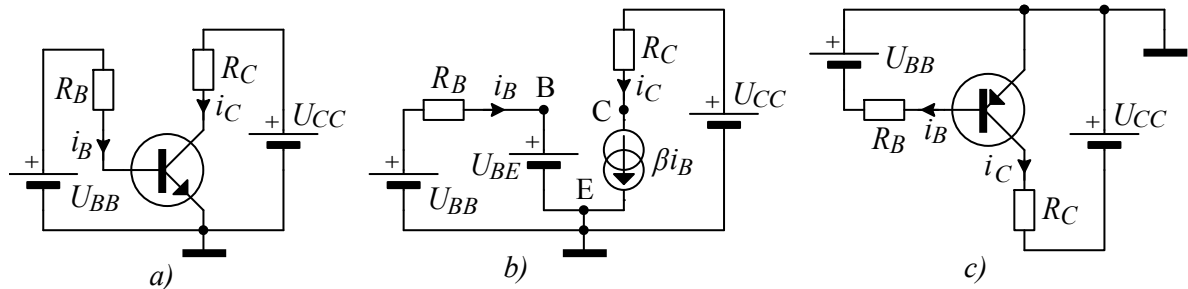
### 3.3 CIRCUITE DE POLARIZARE

Circuitele de polarizare asigură funcționarea tranzistorului în punctul static de funcționare dorit. Punctul static de funcționare (*psf*) reprezintă valoarea mărimilor electrice din tranzistor, măsurate în curent continuu. Fiind un dispozitiv cu trei terminale, tranzistorul este caracterizat în *cc* de 3 curenți și 3 tensiuni. Definirea *psf* se face cu o mulțime de 4 mărimi electrice, doi curenți și două tensiuni, uzual  $\{I_C, U_{CE}, I_B, U_{BE}\}$ , celelalte două mărimi electrice rezultă din cele două teoreme ale lui Kirchhoff aplicate tranzistorului. Adesea se consideră suficientă precizarea *psf* cu ajutorul perechii tensiune-curent dintre colector și emitor  $\{I_C, U_{CE}\}$ .

Pentru polarizarea tranzistorului în RAN trebuie asigurată polarizarea directă a joncțiunii E-B și polarizarea inversă a joncțiunii C-B. Cea mai directă soluție de polarizare este utilizarea a două circuite de polarizare distincte pentru bază și colector.

#### 3.3.1 Polarizarea tranzistorului în conexiunea emitor comun (EC)

Circuitul de polarizare prezentat în figura 3.16.a a fost utilizat și la inversorul cu tranzistor. Varianta acestui circuit pentru tranzistorul *pnp* este prezentată în figura 3.16.c. Tranzistorul *pnp* este reprezentat inversat, cu emitorul în sus, conform convenției de desenare în urma căreia rezultă o circulație a curenților de sus în jos, iar liniile cu potențiale mai mari sunt plasate în partea de sus a figurii (tensiunile sunt pozitive de sus în jos).



**Fig. 3.16.** Circuite de polarizare cu două surse de alimentare.

a) schema de principiu pentru TB *nnp*, b) schema echivalentă simplificată, c) schema de principiu pentru *pnp*, (tranzistorul este figurat inversat – cu E sus).

Mărimile electrice specifice tranzistoarelor (curenții în acest caz) sunt notate în figură cu literă mică (cu indice literă mare) pentru a simboliza caracterul variabil al acestora, în sensul că, aceste mărimi (de *cc* sau *cc+ca*) sunt determinate de componentele circuitului. Curenții și tensiunile de polarizare, fiind mărimi de *cc*, se vor nota în formule cu literă mare (cu indice literă mare).

Punctul static de funcționare se poate determina din schema echivalentă (simplificată) a circuitului, reprezentată în figura 3.16.b. Se presupun cunoscuți parametrii statici ai TB,  $\beta$  și  $U_{BE}$ . Dacă nu se cunosc, se pot considera valori în intervalele:  $U_{BE}=0,6...0,8V$  și  $\beta=100...500$  pentru tranzistoarele uzuale (siliciu, de mică putere). Se observă dispersia mare a valorii factorului de amplificare  $\beta$ . În lipsa unor informații mai precise despre parametrii TB, se poate considera o estimare inițială pentru aceștia la o valoare medie a intervalelor precizate.

Curentul de bază se determină aplicând T2K pe bucla de intrare:

$$I_B = \frac{U_{BB} - U_{BE}}{R_B}. \quad (3.44)$$

Curentul de colector este fixat (conform schemei echivalente) de generatorul de curent comandat din colectorul tranzistorului conform relației:

$$I_C = \beta \cdot I_B. \quad (3.45)$$

Tensiunea colector-emitor rezultă din T2K aplicată pe bucla de ieșire:

$$U_{CE} = U_{CC} - R_C \cdot I_C. \quad (3.46)$$

La tranzistoarele de tip *pnp*, calculele se fac cu relațiile de mai sus, în care tensiunile pe tranzistor se consideră cu sensul schimbat astfel încât să rezulte în mod normal pozitive:  $U_{EB} > 0$  în loc de  $U_{BE}$  și  $U_{EC} > 0$  în locul tensiunii  $U_{CE}$ . Sensurile curenților sunt inversate (curentul intră în E și iese prin C) conform figurii.

### 3.3.2 Polarizarea tranzistorului în conexiunea bază comună (BC)

Polarizarea tranzistorului conectat cu baza la masă se poate realiza cu schemele din figura 3.17. Pentru determinarea *psf* în cazul tranzistorului *nnp* se pot utiliza relațiile:

$$\begin{aligned} I_E &= \frac{U_{EE} - U_{BE}}{R_E}, \\ I_C &= \alpha \cdot I_E \cong I_E, \\ U_{CB} &= U_{CC} - R_C \cdot I_C. \end{aligned} \quad (3.47)$$

La tranzistorul *pnp*, tensiunile pe tranzistor în relațiile anterioare se consideră cu sens inversat, astfel încât să rezulte în mod normal pozitive:  $U_{EB} > 0$  în loc de  $U_{BE}$  și  $U_{BC} > 0$  în locul tensiunii  $U_{CB}$ .

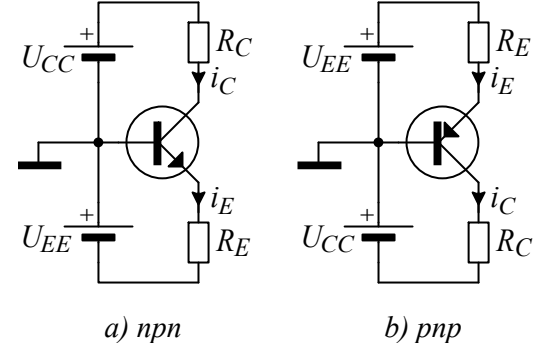


Fig. 3.17. Circuite de polarizare în conexiunea BC

### 3.3.3 Polarizarea de la o singură sursă de alimentare

Dezavantajul evident al circuitelor de polarizare prezentate în paragrafele precedente este utilizarea a două surse de alimentare. Pentru circuitele din figura 3.16, în locul celor două surse se poate utiliza o sursă unică atât pentru polarizarea bazei cât și a colectorului, ca în figura 3.18.

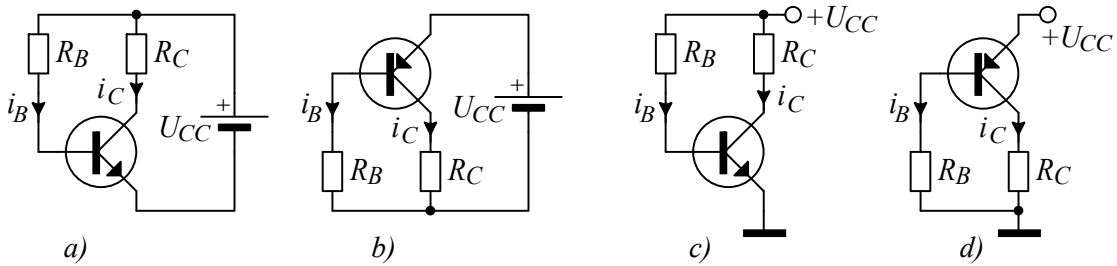


Fig. 3.18. Circuite de polarizare cu sursă de alimentare unică.

Circuitele de polarizare din figura 3.18 a) și c) sunt pentru tranzistoare *nnp*, iar cele de la b) și d) pentru tranzistoare *pnp*. În schemele c) și d) în locul sursei de alimentare s-a notat potențialul bornei de alimentare a circuitului (față de masă). Acest mod de a nota sursele de alimentare se va utiliza în continuare pentru a simplifica schemele.

Pentru calcularea *psf* se înlocuiește  $U_{BB}$  cu  $U_{CC}$  în relația (3.44):

$$I_B = \frac{U_{CC} - U_{BE}}{R_B}, \quad I_C = \beta \cdot I_B, \quad U_{CE} = U_{CC} - R_C \cdot I_C. \quad (3.48)$$

### 3.3.4 Variația *psf* cu parametrii tranzistorului

Considerarea factorului  $\beta$  ca fiind constant este o aproximație utilizată pentru a simplifica analiza circuitelor. În cazul tranzistoarelor reale, factorul  $\beta$  depinde în primul rând de exemplarul de tranzistor utilizat; chiar și în cazul tranzistorelor de același tip este posibilă o variație de la simplu la



dublu (sau chiar mai mare) a valorii factorului  $\beta$  datorită dispersiei de fabricație a componentelor (de exemplu în catalogul IPRS-Băneasa la tranzistoarele de tip BC107B  $\beta=240\dots500$ ). Pentru un tranzistor dat, factorul  $\beta$  depinde de temperatură și de curentul prin tranzistor (mai ales în domeniul curenților foarte mici sau foarte mari). La tranzistoarele integrate tipice, se poate considera că  $\beta$  crește cu 7% la o creștere a temperaturii cu 10°C și deci coeficientul de variație a amplificării cu temperatura este  $k_\beta \approx 0,7\%/^{\circ}\text{C}$ . Prin urmare, factorul  $\beta$  este constant doar pentru un anumit tranzistor, la o anumită temperatură și pentru curenți medii prin tranzistor.

Tensiunea bază-emitor este de fapt tensiunea pe o joncțiune. Ca și la diode, această tensiune depinde logaritmice de curentul prin tranzistor (datorită ecuației exponențiale a tranzistorului) și liniar de temperatură. Valoarea tipică a coeficientului de temperatură este de  $-2\text{mV}/^{\circ}\text{C}$ .

Modificarea acestor parametri ai TB duce la modificarea  $psf$ . În circuitele de polarizare prezentate, tensiunea  $U_{BE}$  are o importanță relativ redusă (deoarece de obicei  $U_{BE} \ll U_{BB}$ ) și deci variația acesteia cu temperatura nu va influența semnificativ curentul  $I_B$ . Pentru  $I_B$  constant variația factorului de amplificare  $\beta$  cu temperatura va duce la modificarea în aceeași măsură a valorii curentului de colector deoarece  $I_C = \beta \cdot I_B$ .

Astfel, la o variație  $\Delta T = 30^{\circ}\text{C}$ , variația curentului va fi  $\Delta I_C = 0,7\% \cdot 30 \cdot I_C = 0,21 \cdot I_C$ , variație inacceptabilă în majoritatea aplicațiilor practice. Pentru a elimina acest dezavantaj s-au conceput circuite de polarizare care asigură o relativă insensibilitate a  $psf$  cu temperatura. Procedeele de stabilizare termică pot fi împărțite în două categorii:

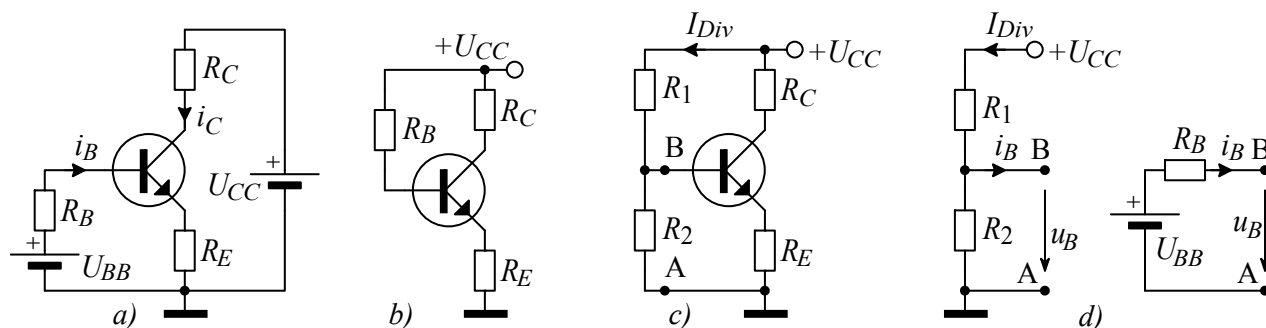
- procedee liniare, care utilizează în circuitul de polarizare componente liniare (rezistoare);
- procedee neliniare sau de compensare, care utilizează componente ale căror caracteristici sunt dependente de temperatură (termistoare, diode).

Procedeele liniare nu asigură o compensare perfectă, dar pot reduce foarte mult variația  $psf$  cu modificarea parametrilor TB (cu temperatura sau datorate dispersiei tehnologice de fabricație). Procedeele neliniare pot asigura o compensare completă a variațiilor cu temperatura, dar necesită o reglare minuțioasă și nu pot compensa dispersia tehnologică a caracteristicilor tranzistoarelor.

În continuare se va prezenta soluția cea mai utilizată la circuitele discrete cu tranzistoare.

### 3.3.5 Circuit de polarizare cu $R_E$ și cu divizor de polarizare în bază

Reducerea influenței parametrilor tranzistoarelor asupra  $psf$  se realizează prin introducerea rezistorului  $R_E$  între emitorul tranzistorului și masă. Circuitul de principiu pentru tranzistorul  $npn$  este prezentat în figura 3.19.a, iar circuitul practic cel mai des utilizat este cel din figura 3.19.c.



**Fig. 3.19.** Circuite de polarizare cu  $R_E$ ; Schema principală: a) cu două surse, b) cu sursă unică; c) Schema utilizată practic și d) echivalarea divizorului de polarizare a bazei (pentru cazul c).

Prin înlocuirea divizorului de polarizare a bazei cu sursa Thévenin echivalentă (fig. 3.19.d) circuitul de polarizare echivalent devine cel din figura 3.19.a. Parametrii sursei Thévenin sunt:

$$U_{BB} = U_{R_2} \Big|_{i_B=0} = \frac{R_2}{R_1 + R_2} U_{CC}, \quad R_B = R_1 \parallel R_2. \quad (3.49)$$

Stabilizarea *psf* față de variațiile factorului de amplificare în curent al tranzistorului  $\beta$  are loc după următorul mecanism:

- La creșterea lui  $\beta$  (datorată de exemplu creșterii temperaturii sau înlocuirii tranzistorului cu altul

cu  $\beta$  mai mare) curentul de colector crește:  $I_C = \beta \cdot I_B,$  (3.50)

- tensiunea în emitorul tranzistorului crește:  $U_E = R_E I_E = R_B (\beta + 1) I_B,$  (3.51)

- iar curentul de bază al tranzistorului scade:  $I_B = \frac{U_{BB} - U_{BE} - U_E}{R_B}$  (3.52)

- compensând o parte din creșterea curentului de colector – în relația (3.50)  $\beta$  crește,  $I_B$  scade.

Curentul de colector rezultă prin înlocuirea relației (3.51) în (3.52) și apoi a relației (3.52) în (3.50):

$$I_C = \frac{\beta(U_{BB} - U_{BE})}{R_B + R_E(\beta + 1)}. \quad (3.53)$$

Pentru  $R_B \ll \beta R_E$  (condiție care se poate realiza deoarece  $\beta$  este de ordinul sutelor), curentul de colector practic nu mai depinde de  $\beta$ :

$$I_C \cong \frac{\beta(U_{BB} - U_{BE})}{R_E(\beta + 1)} \cong \frac{U_{BB} - U_{BE}}{R_E}. \quad (3.54)$$

Efectul variației tensiunii  $U_{BE}$  (de exemplu variația cu temperatura este de circa  $-2\text{mV}/^\circ\text{C}$ ) este nesemnificativ dacă numărătorul expresiei (3.54) este mult mai mare decât respectiva variație.

În final se verifică dacă tranzistorul este în regim activ normal; tensiunea în colector trebuie să fie mai mare decât în bază, sau cel puțin  $U_{CE} > U_{CEsat}$ .  $U_{CE}$  se calculează din T2K cu relația:

$$U_{CE} \cong U_{CC} - (R_C + R_E) I_C. \quad (3.55)$$

### Exemplu de analiză

Să se determine limitele de variație ale *psf*  $\{I_C, U_{CE}\}$  pentru circuitul din figura 3.19.c dacă se consideră  $U_{BE} = 0,6 \dots 0,7\text{V}$  și  $\beta = 100 \dots 300$ . Valorile rezistențelor din circuit sunt:  $R_1 = 30\text{k}\Omega$ ,  $R_2 = 10\text{k}\Omega$ ,  $R_C = 2\text{k}\Omega$ ,  $R_E = 1\text{k}\Omega$  și tensiunea de alimentare este  $U_{CC} = 12\text{V}$ .

**Rezolvare:** Parametrii sursei echivalente Thévenin, de polarizare a bazei, sunt:

$$U_{BB} = U_{CC} \frac{R_2}{R_1 + R_2} = 12 \frac{10\text{k}}{30\text{k} + 10\text{k}} = 3\text{V}, \quad R_B = R_1 \parallel R_2 = \frac{30\text{k} \cdot 10\text{k}}{30\text{k} + 10\text{k}} = 7,5\text{k}\Omega.$$

Curentul de colector se calculează cu relația (3.53) ținând seama de limitele extreme:

$$I_C = \frac{100 \cdot (3 - 0,7)}{7,5\text{k} + 101 \cdot 1\text{k}} \dots \frac{300 \cdot (3 - 0,6)}{7,5\text{k} + 301 \cdot 1\text{k}} = 2,12 \dots 2,33\text{mA}$$

Se observă că pentru o variație foarte mare a lui  $\beta$ , ( $-50\% \dots +50\%$  față de media valorilor), variația  $I_C$  este mult mai mică:  $-5\% \dots +3,5\%$ . Influența variației tensiunii  $U_{BE}$  este oricum foarte mică deoarece numărătorul relației (3.54) este mult mai mare decât această variație:  $2,3\text{V} \gg 0,05\text{V}$  (s-a considerat variația față de media tensiunilor  $U_{BE}$ ).

Conform cu relația (3.55) limitele tensiunii  $U_{CE}$  sunt:

$$U_{CE} = 12 - (2k + 1k) \cdot (2,12 \dots 2,33)m = 5,64 \dots 5,01V.$$

Calcululele cu inecuații și estimarea erorilor sunt o necesitate în practica inginerescă datorită variațiilor componentelor de circuit (mai ales a dispozitivelor semiconductoare).

Rezultatele obținute cu relația aproximativă de calcul (3.54) sunt acceptabile:

$$I_C \cong \frac{U_{BB} - U_{BE}}{R_E} = \frac{3 - 0,65}{1k} = 2,35mA, \quad U_{CE} = 12 - 3k \cdot 2,35m = 4,95V,$$

curentul obținut este ceva mai mare (ca pentru  $\beta = \infty$ ). Ținând seama de precizia cu care sunt cunoscute valorile componentelor în practică, acest calcul este de obicei satisfăcător.

### Dimensionarea circuitului de polarizare

Pentru ca valoarea factorului  $\beta$  să nu influențeze semnificativ  $psf$ , la proiectarea circuitului de polarizare trebuie ca rezistența de emitor să fie suficient de mare  $R_E \gg R_B / \beta$ . Ținând seama că la circuitele practice  $R_2 > R_B$ , rezultă o condiție mai convenabilă la proiectare (deoarece se referă direct la componentele circuitului):

$$\beta R_E \gg R_2. \quad (3.56)$$

Condiția (3.54) este echivalentă cu neglijarea rezistenței  $R_B$  în schema din figura 3.19.a sau cu alte cuvinte tensiunea în baza tranzistorului  $u_B$  nu depinde de curentul de bază  $i_B$ . Din punctul de vedere al curenților din circuit, aceasta se reduce la a alege prin divizor un curent suficient de mare:

$$I_{Div} \gg I_B, \quad (3.57)$$

sau

$$I_{Div} > I_E / 10. \quad (3.58)$$

o condiție echivalentă, mai ușor de utilizat practic (valabilă deoarece  $I_E / I_B \cong \beta \gg 10$ ).

Cele trei relații anterioare sunt aproximativ echivalente (pentru  $\beta > 100$ ). La dimensionarea circuitului de polarizare se utilizează oricare dintre ele în funcție de datele de proiectare disponibile.

Din ecuația de continuitate a tranzistorului, pentru un factor  $\beta$  suficient de mare se obține:

$$I_E = I_C + I_B = I_C + \frac{I_C}{\beta} = I_C \left( \beta + \frac{1}{\beta} \right), \quad \beta \gg 1 \Rightarrow I_E \cong I_C. \quad (3.59)$$

Acestui curent (aproximativ identic în colector și în emitor) i se spune **curentul prin tranzistor**. Aproximația din relația precedentă se folosește adesea la calculul circuitelor cu tranzistoare.

Pentru a reduce dependența curentului de polarizare a colectorului  $I_C$  de variațiile tensiunii  $U_{BE}$  cu temperatura, rezistența  $R_E$  se alege astfel încât tensiunea de emitor să fie  $U_E \gg \Delta U_{BE}$  sau:

$$U_E = U_{R_E} \cong R_E I_C = 0,5V \dots U_{CC} / 3. \quad (3.60)$$

### Exemplu de proiectare

Să se dimensioneze circuitul de polarizare al tranzistorului bipolar din figura 3.19.c astfel încât să se obțină:  $I_C = 3mA$ ,  $U_{CE} = U_{CC} / 3$ , pentru  $U_{BE} = 0,6V$ ,  $\beta \geq 200$  și  $U_{CC} = 9V$ . Se sugerează alegerea  $I_{Div} \geq 0,1 I_C$  și  $U_E \cong U_{CC} / 3$ .

**Rezolvare:** Rezistențele din circuit pot fi dimensionate utilizând legea lui Ohm:

$$R_E = \frac{U_E}{I_E} \cong \frac{U_E}{I_C} = \frac{3}{3\text{mA}} = 1\text{k}\Omega, \quad R_C = \frac{U_{CC} - U_{CE} - U_E}{I_C} = \frac{9 - 3 - 3}{3\text{mA}} = 1\text{k}\Omega$$

Curentul prin divizorul de polarizare al bazei se alege conform sugestiei:

$$I_{Div} = 0,1 I_C = 0,3 \text{ mA},$$

și cu acest curent se pot determina rezistoarele de polarizare a bazei:

$$R_2 \cong \frac{U_{BE} + U_E}{I_{Div}} = \frac{0,6 + 3}{0,3\text{mA}} = 12\text{k}\Omega, \quad R_1 = \frac{U_{CC} - U_{BE} - U_E}{I_{Div}} = 18\text{k}\Omega$$

La rezolvarea problemei nu s-a utilizat explicit factorul  $\beta$  al tranzistorului; s-a ținut seama implicit de faptul că  $\beta \gg 1$  deoarece s-a considerat  $I_C \cong I_E$ , conform relațiilor (3.59).

### 3.3.6 Determinarea *psf* la circuitele cu mai multe tranzistoare

Determinarea punctelor statice de funcționare la circuitele cu mai multe tranzistoare (rezolvarea circuitelor) se bazează pe scrierea ecuațiilor lui Kirchhoff în nodurile și pe ochiurile circuitului respectiv. Sistemul de ecuații care rezultă poate fi rezolvat cu ajutorul determinanților. Această metodă de calcul are ca dezavantaje complexitatea destul de ridicată a calculelor și dificultatea de identificare a elementelor definitorii pentru funcționarea circuitului respectiv. Cu cât calculele și analiza unui circuit sunt mai simple cu atât mai ușor se pot identifica componentele de circuit care influențează funcționarea acestuia și se pot efectua modificările esențiale pentru a obține rezultatul scontat; simplificările trebuie făcute în sensul eliminării amănuntelor mai puțin importante pentru a ne putea focaliza atenția asupra a ceea ce este esențial în circuit. Conform acestei strategii de analiză, la circuitele cu tranzistoare se fac de obicei următoarele aproximări:

- se consideră tensiunea bază-emitor constantă:  $U_{BE} \cong \text{ct.}$  (cu valori uzuale  $U_{BE} = 0,6 \dots 0,8 \text{ V}$ ),
- se consideră curentul de emitor aproximativ egal cu cel de colector  $I_C \cong I_E$ , conform (3.59).

Pentru calcularea circuitelor cu mai multe tranzistoare se determină în prima etapă curenții de colector și apoi tensiunile colector-emitor. Pentru determinarea curenților  $I_C$  se identifică buclele de circuit care conțin cât mai multe elemente cunoscute, care includ tensiunile  $U_{BE}$  și se evită terminalul de colector al tranzistoarelor (deoarece tensiunile  $U_{CE}$  și  $U_{CB}$  nu se cunosc inițial). Această metodă de calcul se aplică pentru tranzistoarele care funcționează în regim activ normal ( $U_{CE} > U_{CEs}$ ). În cazul tranzistoarelor în saturație se cunoaște și tensiunea  $U_{CE}$  de saturație (cu valori uzuale  $U_{CEs} = 0,2 \dots 0,4 \text{ V}$ ) și metoda de calcul se modifică în consecință.

#### Exemplu de calcul

Tranzistoarele din schema alăturată au  $\beta \geq 300$ . În *psf* se cunosc  $U_{BE1} = 0,6 \text{ V}$  și  $U_{BE2} = 0,65 \text{ V}$ . Să se determine *psf*  $\{I_C, U_{CE}\}$  pentru cele două tranzistoare.

**Rezolvare:** Se va aplica metoda simplificată de calcul propusă anterior. Mai mult, se vor presupune inițial curenții de bază neglijabili față de curenții de colector chiar și pentru tranzistoare diferite, presupunere care va trebui verificată înainte de finalizarea calculelor.

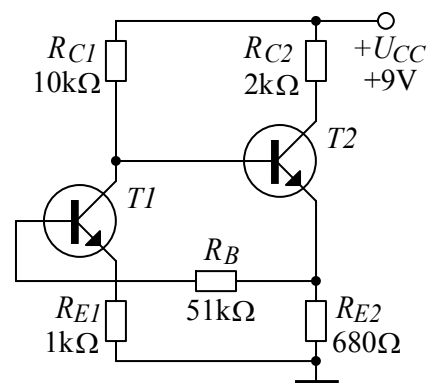


Fig. 3.20. Schema cu polarizare automată.

T1K se poate scrie în trei noduri (curentul care intră în masa montajului nu trebuie calculat și deci T1K nu se aplică în nodul de masă). Scrierea T1K în nodul de alimentare (+ $U_{CC}$ ) nu prezintă interes la această problemă, iar neglijarea curenților de bază față de cei de colector face inutilă T1K în colectoriile tranzistoarelor sau mai exact T1K se reduc la:

$$I_{R_{C1}} = I_{C1} + I_{B2} \cong I_{C1} \text{ pentru } I_{B2} \ll I_{C1}; \quad I_{R_{E2}} = I_{E2} + I_{B1} \cong I_{C2} \text{ pentru } I_{B1} \ll I_{C2}.$$

Dacă se ocolesc tensiunile  $U_{CE}$  și  $U_{CB}$  (care nu se cunosc inițial) mai rămân trei bucle pe care se poate scrie T2K:

- $+U_{CC} \rightarrow R_{C1} \rightarrow U_{BE2} \rightarrow R_{E2} \rightarrow \text{masă};$
- $\text{masă} \rightarrow R_{E2} \rightarrow R_B \rightarrow U_{BE1} \rightarrow R_{E1} \rightarrow \text{masă};$
- $+U_{CC} \rightarrow R_{C1} \rightarrow U_{BE2} \rightarrow R_B \rightarrow U_{BE1} \rightarrow R_{E1} \rightarrow \text{masă}.$

Primele două bucle exprimă relațiile cauzale din circuit; curentul de polarizare a bazei tranzistorului  $T2$  este furnizat de sursa de alimentare (prin  $R_{C1}$ ), iar rezistența din emitorul lui  $T2$  (de valoare mică) acționează ca o sursă de polarizare a bazei lui  $T1$  (prin  $R_B$ ). Cea de-a treia buclă este de fapt o combinație a primelor două. Pentru a determina curenții prin cele două tranzistoare este necesar un sistem de două ecuații cu două necunoscute; pentru a rezolva circuitul se pot utiliza ecuațiile scrise pe oricare două bucle dintre cele trei arătate mai sus.

Conform T2K pe primele două bucle rezultă:

$$\begin{cases} U_{CC} = R_{C1}I_{C1} + U_{BE2} + R_{E2}I_{C2} & (a) \\ R_{E2}I_{C2} = R_B(I_{C1}/\beta) + U_{BE1} + R_{E1}I_{C1} & (b) \end{cases}$$

în (b) s-a ținut seama că  $I_{C1} = \beta I_{B1}$ . Dacă se substituie (b) în (a) se obține:

$$U_{CC} = R_{C1}I_{C1} + U_{BE2} + R_B(I_{C1}/\beta) + U_{BE1} + R_{E1}I_{C1}$$

Se observă că această relație reprezintă de fapt T2K scrisă pe bucla a 3-a și are o singură necunoscută, curentul prin  $T1$ :

$$I_{C1} = \frac{U_{CC} - U_{BE2} - U_{BE1}}{R_{C1} + R_{E1} + R_B/\beta} = \frac{9 - 0,65 - 0,6}{10\text{k} + 1\text{k} + 51\text{k}/300} = \frac{7,85}{11,17\text{k}} = 0,7\text{mA}.$$

Curentul se poate calcula din oricare ecuație a sistemului. Din (a) rezultă:

$$I_{C2} = \frac{U_{CC} - R_{C1}I_{C1} - U_{BE2}}{R_{E2}} = \frac{9 - 10\text{k} \cdot 0,7\text{mA} - 0,65}{680} = \frac{1,35}{0,68\text{k}} = 2\text{mA}.$$

Presupunerile inițiale se dovedesc a fi corecte:

$$I_{B2} = \frac{I_{C2}}{\beta} \leq \frac{2\text{mA}}{300} = 6,7\mu\text{A} \ll I_{C1} = 700\mu\text{A}, \quad I_{B1} = \frac{I_{C1}}{\beta} \leq \frac{0,7\text{mA}}{300} = 2,3\mu\text{A} \ll I_{C1} = 2\text{mA}.$$

Tensiunile pe tranzistoare  $U_{CE}$  se calculează din T2K aplicată pe buclele de ieșire ale tranzistoarelor, care includ tensiunile respective:

$$U_{CE2} \cong U_{CC} - I_{C2}(R_{C2} + R_{E2}) = 9 - 2\text{mA} \cdot 2,68\text{k} = 3,64\text{V},$$

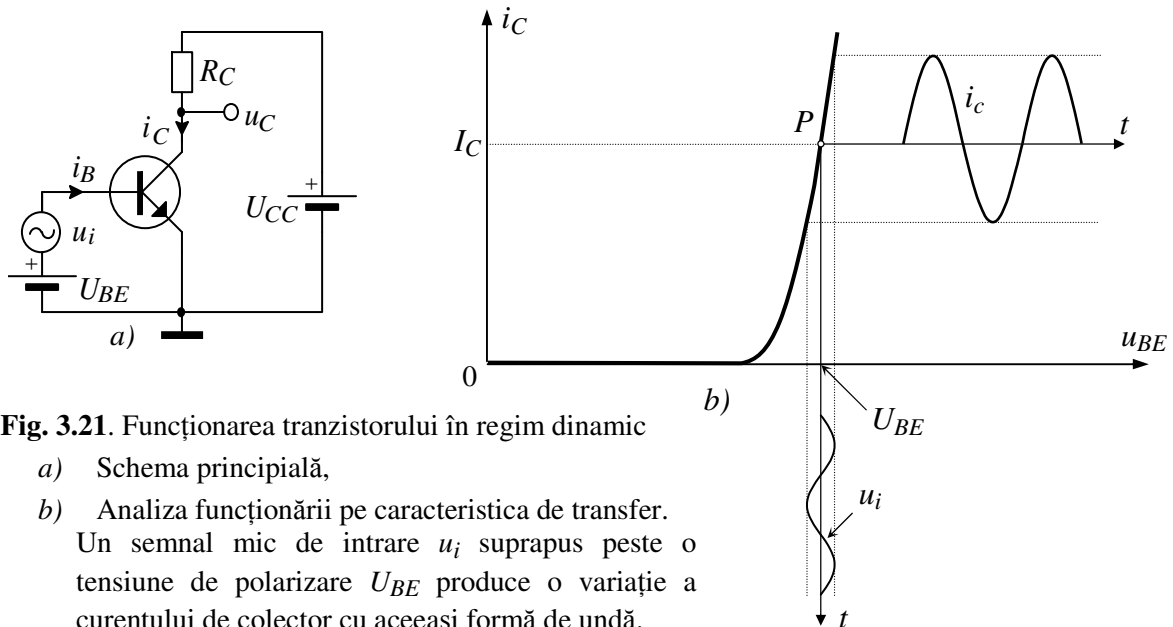
$$U_{CE1} \cong U_{CC} - I_{C1}(R_{C1} + R_{E1}) = 9 - 0,7\text{mA} \cdot 11\text{k} = 1,3\text{V}.$$

Ambele tranzistoare se află în RAN deoarece  $U_{CE} > U_{BE}$ . Circuitul analizat este cunoscut sub numele de schemă cu polarizare automată, deoarece tranzistoarele vor fi polarizate în RAN (de exemplu  $U_{CE1} \cong 2U_{BE}$ ) pentru limite largi ale tensiunii de alimentare  $U_{CC}$ .

### 3.4 TRANZISTORUL ÎN REGIM DINAMIC

Tranzistoarele sunt folosite în regim liniar mai ales ca amplificatoare. Pentru a funcționa ca amplificator, tranzistorul trebuie polarizat în RAN cu un circuit de polarizare care are rolul de a fixa un curent continuu prin tranzistor. Prin analiza regimului dinamic al tranzistorului se înțelege analiza funcționării acestuia din punctul de vedere al variațiilor mărimilor electrice prin tranzistor.

Analiza comportării tranzistorului la variații se poate face cu ajutorul caracteristicilor acestuia sau cu ajutorul modelelor de regim dinamic ale tranzistorului, modele utile pentru analiza funcționării tranzistorului în *ca*. La cel mai simplu circuit în care tranzistorul funcționează ca amplificator (de tensiune) de *ca*, cel din figura 3.21.a, semnalul de ieșire poate fi analizat utilizând caracteristica de transfer a tranzistorului ca în figura 3.21.b.



**Fig. 3.21.** Funcționarea tranzistorului în regim dinamic

a) Schema principală,

b) Analiza funcționării pe caracteristica de transfer.

Un semnal mic de intrare  $u_i$  suprapus peste o tensiune de polarizare  $U_{BE}$  produce o variație a curentului de colector cu aceeași formă de undă.

Caracteristica de transfer a tranzistorului din figura 3.21.b este o caracteristică de tip exponențial, conform ecuației tranzistorului (3.12). Pentru a obține o funcționare cât mai liniară trebuie îndeplinite două condiții:

- tensiunea variabilă de intrare  $u_i$  (numită semnal de intrare) trebuie suprapusă peste o tensiune continuă  $U_{BE}$  (numită tensiune de polarizare a intrării) și
- nivelul semnalului de intrare trebuie să fie suficient de mic pentru a putea aproxima curba exponențială cu o dreaptă.

Tensiunea de polarizare a intrării determină poziția punctului static de funcționare (*psf*)  $P$ , valoarea curentului continuu prin tranzistor și implicit valoarea tensiunii statice la ieșire  $U_{CE}$ . La aplicarea semnalului variabil la intrare, tensiunea instantanee de intrare se modifică și punctul de funcționare al tranzistorului se deplasează în jurul *psf*. După cum se vede în figura 3.21.b, curentul prin tranzistor se modifică și implicit se va modifica și tensiune de colector a tranzistorului:

$$u_C = U_{CC} - R_C \cdot i_C.$$

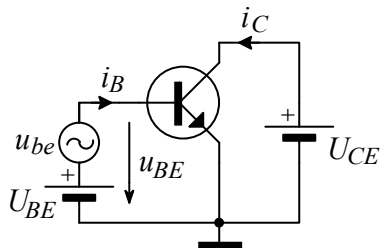
Tensiunea de colector scade atunci când curentul de colector crește (creștere cauzată de creșterea tensiunii semnalului de intrare) și deci semnalul de ieșire (variația tensiunii de colector) este în antifază cu semnalul de intrare.

Tensiunea de polarizare a intrării  $U_{BE}$  trebuie aleasă astfel încât semnalul de ieșire să nu fie limitat. Situația cea mai convenabilă apare atunci când tensiunea de alimentare  $U_{CC}$  este împărțită în mod egal între tranzistor și rezistența de colector:  $U_{CE} = U_{CC}/2$ . În acest caz amplitudinea semnalului la ieșire poate atinge valoarea maximă (teoretic  $U_{CC}/2$ ). Pe de altă parte, cu cât semnalul de intrare este mai mare cu atât semnalul de ieșire va avea abateri de formă mai semnificative (față de forma semnalului de intrare) și se spune că este distorsionat.

Metoda de analiză grafo-analitică prezentată se utilizează uneori la analiza de semnal mare a amplificatoarelor cu tranzistoare. Dacă nivelul semnalului de intrare este suficient de mic, se folosesc metode de analiză analitice și liniare. Liniarizarea apare prin aproximarea exponențialei cu o dreaptă (tangenta în  $psf$ ) și tranzistoarele pot fi înlocuite cu modele (sau scheme echivalente de regim dinamic) liniare, atunci când se analizează circuitele din punctul de vedere al semnalului.

### 3.4.1 Regimul dinamic la semnal mic

Se consideră circuitul din figura 3.22, cel mai simplu circuit cu tranzistor în regim dinamic.



**Fig. 3.22.** Circuit simplificat pentru determinarea parametrilor de regim dinamic ai tranzistorului.

Tensiunea de colector este fixată de sursa  $U_{CE}$

Tensiunea în bază  $u_{BE}$  are o componentă de  $cc$   $U_{BE}$  și o componentă de  $ca$   $u_{be}$ :  $u_{BE} = U_{BE} + u_{be}$ .

Tranzistorul este polarizat în RAN,  $U_{CE} > U_{BE}$ . Se va analiza dependența curenților prin tranzistor de tensiunea variabilă  $u_{be}$ , cu scopul de a identifica un circuit echivalent de regim dinamic pentru tranzistorul bipolar.

Curenții în  $psf$  se determină fără semnal la intrare,  $u_{be} = 0$ . Conform (3.4) și (3.6):

$$I_C = I_S \exp \frac{U_{BE}}{U_T}, \quad I_B = \frac{I_C}{\beta}. \quad (3.61)$$

### Transconductanța

Pentru o tensiune de semnal nenulă, conform ecuației exponențiale a tranzistorului (3.4):

$$i_C = I_S \exp \frac{U_{BE} + u_{be}}{U_T} = I_S \exp \frac{U_{BE}}{U_T} \cdot \exp \frac{u_{be}}{U_T} = I_C \exp \frac{u_{be}}{U_T}. \quad (3.62)$$

Dacă se dezvoltă exponențiala în serie de puteri și se rețin primii termeni, rezultă:

$$i_C = I_C \left[ 1 + \frac{u_{be}}{U_T} + \frac{1}{2!} \left( \frac{u_{be}}{U_T} \right)^2 + \frac{1}{3!} \left( \frac{u_{be}}{U_T} \right)^3 + \dots \right] \cong I_C \left( 1 + \frac{u_{be}}{U_T} \right). \quad (3.63)$$

Aproximația din relația precedentă este valabilă doar dacă:

$$u_{be} \ll U_T \quad (\text{practic se poate admite : } u_{be} < 10\text{mV}). \quad (3.64)$$

Inecuația de mai sus este denumită **condiție de semnal mic**. Dacă se consideră condiția mai concretă  $u_{be} < 10\text{mV}$  (și pentru  $U_T \cong 25\text{mV}$  la temperatura camerei), atunci eroarea introdusă de aproximația din relației (3.63) este mai mică de 10%.

Curentul de colector al tranzistorului este:  $i_C = I_C + i_c$ . Din relația (3.63) rescrisă:

$$i_C = I_C + \frac{I_C}{U_T} u_{be}, \quad (3.65)$$

rezultă componenta de semnal a curentului:

$$i_c = \frac{I_C}{U_T} u_{be} = g_m u_{be}, \quad (3.66)$$

unde

$$g_m = \frac{i_c}{u_{be}}, \quad g_m = \frac{I_C}{U_T}, \quad (3.67)$$

se numește transconductanța sau panta tranzistorului. **Transconductanța** este variația curentului de colector  $i_C$  raportată la variația tensiunii  $u_{BE}$ . Din punct de vedere grafic, transconductanța poate fi interpretată ca fiind panta caracteristicii de transfer a tranzistorului determinată în punctul static de funcționare  $P$  (vezi figura 3.21.b):

$$g_m = \frac{di_C}{du_{BE}}. \quad (3.68)$$

Conform relației (3.66), în *ca* la semnal mic, tranzistorul se comportă ca o sursă de curent controlată în tensiune.

### Rezistența de intrare în bază

Pentru a determina rezistența văzută de sursă, se va determina curentul de bază din (3.6) și folosind ecuația (3.65):

$$i_B = \frac{i_C}{\beta} = \frac{I_C}{\beta} + \frac{1}{\beta} \frac{I_C}{U_T} u_{be}, \quad i_B = I_B + i_b \Rightarrow i_b = \frac{1}{\beta} \frac{I_C}{U_T} u_{be}. \quad (3.69)$$

Ținând seama de relația (3.67) se obține:

$$i_b = \frac{g_m}{\beta} u_{be}. \quad (3.70)$$

Rezistența de semnal mic dintre bază și emitor, privind dinspre bază, este prin definiție:

$$r_\pi = \frac{du_{BE}}{di_B} \quad \text{sau} \quad r_\pi = \frac{u_{be}}{i_b}; \quad (3.71)$$

Din relația (3.70) rezultă că rezistența de intrare în bază:

$$r_\pi = \frac{\beta}{g_m}, \quad (3.72)$$

este direct proporțională cu  $\beta$  și invers proporțională cu  $I_C$  (curentul de polarizare al tranzistorului).

Din (3.69) și ținând seama de (3.61) rezultă și o altă expresie pentru  $r_\pi$ :

$$r_\pi = \frac{U_T}{I_B}. \quad (3.73)$$

### Rezistența de intrare în emitor

Conform relației (3.3) și ținând seama de (3.65), curentul total de emitor în RAN este:

$$i_E = \frac{i_C}{\alpha} = \frac{I_C}{\alpha} + \frac{1}{\alpha} \frac{I_C}{U_T} u_{be}, \quad i_E = I_E + i_e \Rightarrow i_e = \frac{I_C}{\alpha U_T} u_{be} = \frac{g_m}{\alpha} u_{be}. \quad (3.74)$$

Rezistența de semnal mic dintre bază și emitor, privind dinspre emitor, este prin definiție:

$$r_e = \frac{du_{BE}}{di_E} \quad \text{sau} \quad r_e = \frac{u_{be}}{i_e}; \quad (3.75)$$



Din relația (3.74) rezultă cele două modalități (echivalente) de calcul a rezistenței de emitor:

$$r_e = \frac{\alpha}{g_m} \cong \frac{1}{g_m} \quad \text{sau} \quad r_e = \frac{U_T}{I_E}; \quad (3.76)$$

$r_e$  depinde numai de curentul de polarizare  $I_E (\cong I_C, \text{ deoarece } \alpha \cong 1)$ .

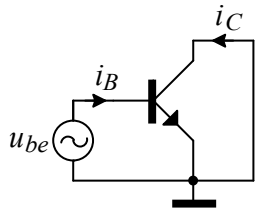
Relația dintre  $r_e$  și  $r_\pi$  poate fi determinată din definițiile lor (3.71), respectiv (3.75):

$$u_{be} = i_b r_\pi = i_e r_e, \quad r_\pi = (i_e / i_b) \cdot r_e, \quad \text{deci} \quad r_\pi = (\beta + 1) r_e. \quad (3.77)$$

### 3.4.2 Modele de semnal mic ale tranzistorului bipolar

Conform analizei din paragrafele anterioare, se constată că fiecare tensiune și curent prin amplificatorul cu tranzistor are o componentă de  $cc$  și o componentă de  $ca$ . Componentele de  $cc$  se determină cu ajutorul circuitului echivalent de  $cc$ . Circuitul echivalent de  $cc$  se obține prin înlocuirea sursei de  $ca$  cu un scurtcircuit (deoarece are valoarea medie nulă) iar eventualele condensatoare din circuit se înlocuiesc cu întreruperi de circuit. Analiza de  $cc$  a circuitelor s-a făcut la studiul circuitelor de polarizare a tranzistoarelor.

Analiza funcționării circuitului din punctul de vedere al semnalului, sau analiza de regim dinamic (analiza variațiilor mărimilor electrice) se poate face pe baza schemei echivalente de  $ca$ . Schema echivalentă de  $ca$  se obține prin eliminarea surselor de  $cc$ , care se înlocuiesc cu scurtcircuite. Se observă că tensiunea unei surse de tensiune continuă ideală nu se schimbă, variația de tensiune va fi nulă și de aceea tensiunea semnalului între terminalele sursei va fi nulă. Din acest motiv sursele de tensiune continuă:  $U_{CC}$ ,  $U_{BE}$  și  $U_{CE}$  se înlocuiesc cu scurtcircuite. Dacă circuitul ar conține surse ideale de curent, acestea s-ar înlocui cu întreruperi de circuit. Circuitul din figura 3.23 este util doar pentru determinarea tensiunilor și a curenților de semnal, nu este circuitul real al amplificatorului deoarece nu conține circuitele de polarizare.



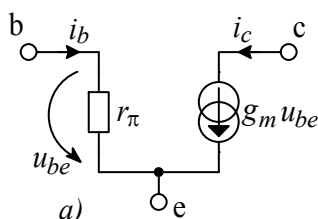
**Fig. 3.23.** Circuit pentru analiza de regim dinamic.

Sursele de tensiune continuă sunt pasivizate (înlocuite cu sc.c.) În schemă apar doar mărimile de semnal; Acest circuit este doar o reprezentare a funcționării dinamice, nu este circuitul real.

Dacă este îndeplinită condiția de semnal mic, adică tensiunea de semnal  $u_{be}$  este conformă cu relația (3.64), atunci relațiile între curenții și tensiunile din circuit sunt liniare. Relațiile liniare dintre mărimile electrice specifice tranzistorului pot fi reprezentate prin circuite echivalente ale tranzistorului. Echivalența se păstrează cât timp semnalul aplicat este mic și aceste circuite se numesc **circuite echivalente de semnal mic** sau modele de semnal mic ale tranzistorului bipolar.

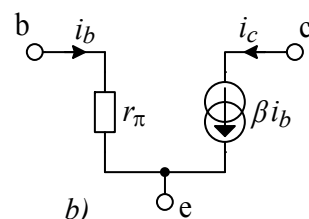
#### Modelul în $\pi$

Un astfel de circuit echivalent este prezentat în figura 3.24.a; tranzistorul este reprezentat ca o sursă de curent controlată în tensiune ( $SIcU$ ) care include rezistența de intrare în bază  $r_\pi$ .



$$g_m = \frac{I_C}{U_T}$$

$$r_\pi = \frac{\beta}{g_m}$$



**Fig. 3.24.** Circuite echivalente de semnal mic pentru tranzistorul bipolar; tranzistorul ca:  
a) sursă de curent controlată în tensiune, b) sursă de curent controlată în curent.

Curenții prin circuitul echivalent sunt în conformitate cu relațiile (3.66) și (3.71):

$$i_c = g_m u_{be}, \quad i_b = \frac{u_{be}}{r_\pi}.$$

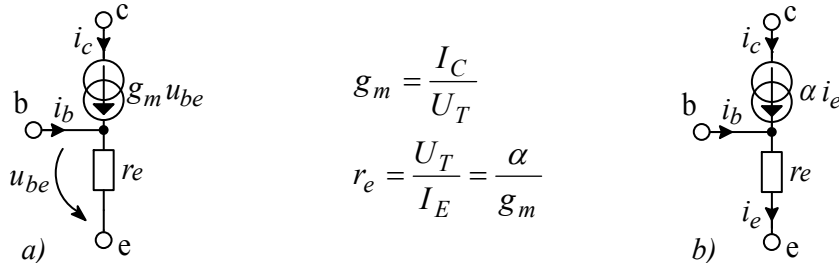
Un model ușor diferit se poate obține prin exprimarea curentului de ieșire ca o funcție de curentul de bază conform relațiilor:

$$g_m u_{be} = g_m (i_b r_\pi) = (g_m r_\pi) i_b = \beta i_b;$$

tranzistorul este reprezentat ca o sursă de curent controlată în curent (*SIC*) ca în figura 3.24.b.

### Modelul în T

Modelul în  $\pi$  poate fi folosit pentru analiza de semnal mic a oricărui circuit; totuși, în unele situații este mai convenabilă utilizarea unui alt circuit echivalent, denumit modelul în T (denumirea se referă la desenarea circuitului echivalent cu emitorul în stânga și baza în jos). Cele două variante ale acestui model sunt prezentate în figura 3.25. În ambele circuite echivalente apare rezistența dintre bază și emitor văzută dinspre emitor  $r_e$ .



**Fig. 3.25.** Circuite echivalente de semnal mic în T pentru tranzistorul bipolar; Circuitul este:  
a) o sursă de curent controlată în tensiune, b) o sursă de curent controlată în curent.

Curenții prin circuitul din figura 3.25.a sunt în conformitate cu relațiile (3.66) și (3.75):

$$i_c = g_m u_{be}, \quad i_e = \frac{u_{be}}{r_e}.$$

Tranzistorul din figura 3.25.b, reprezentat ca o sursă de curent controlată în curent (*SIC*), se obține prin exprimarea curentului de ieșire ca o funcție de curentul de emitor conform relațiilor:

$$g_m u_{be} = g_m (i_e r_e) = (g_m r_e) i_e = \alpha i_e;$$

Modelul simplificat de semnal mic din figura 3.25.b poate fi privit ca fiind versiunea incrementală a modelului de semnal mare din figura 3.2; în locul diodei apare rezistența dinamică a acesteia, iar sursa de curent este comandat de variația curentului ( $i_e$  în loc de  $I_E$ ).

**Observații:** 1. Parametrii modelelor de semnal mic:  $g_m$ ,  $r_\pi$  și  $r_e$ , depind de curentul static de colector  $I_C$ , conform relațiilor din figurile precedente.

2. Toate modelele de semnal mic se pot utiliza și pentru tranzistoarele de tip *pnp*, fără a fi necesară schimbarea polarității surselor și a tensiunilor din schema echivalentă (aceste schimbări sunt posibile, dar nu sunt necesare; rezultatul obținut va fi același, deoarece se schimbă în același timp atât polaritatea sursei comandate, cât și a mărimii de comandă).

## 3.5 AMPLIFICATOARE DE SEMNAL MIC CU UN TRANZISTOR

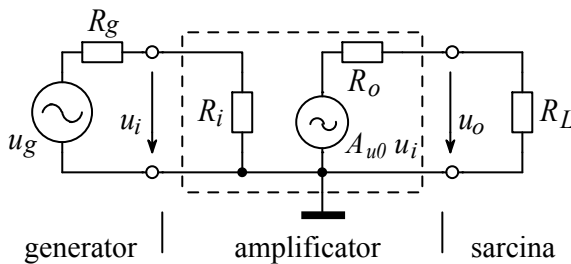
Cele mai simple aplicații la care se utilizează modelele de semnal mic ale tranzistoarelor sunt amplificatoarele de semnal mic cu un tranzistor. Se vor analiza configurațiile mai des utilizate

cu tranzistorul în conexiunea EC și respectiv CC. O analiză sistematică presupune cunoașterea celor mai importanți parametri ai amplificatoarelor.

### 3.5.1 Modelul fundamental al amplificatorului de tensiune

Modelul unui amplificator se utilizează pentru analiza de semnal și poate fi reprezentat sub forma a doi uniporturi, numiți simplu intrare și respectiv ieșire. Din punctul de vedere al semnalului, amplificatorul este pasiv la intrare și activ la ieșire; uniportul activ de la ieșire se echivalează cu o sursă Thévenin (sau Norton), iar cel pasiv de la intrare cu o rezistență dinamică. La amplificatorul de tensiune, atât semnalul de la intrare cât și cel de la ieșirea amplificatorului sunt tensiuni.

Ca urmare, modelul fundamental al amplificatorului de tensiune, prezentat în figura 3.26, constă dintr-o sursă de tensiune controlată în tensiune, cu un factor de amplificare  $A_{u0}$ , o rezistență de intrare  $R_i$  și o rezistență de ieșire  $R_o$ , aceste trei elemente fiind de fapt parametrii cei mai importanți ai amplificatorului.



**Fig. 3.26.** Modelul amplificatorului de tensiune – schema echivalentă.

Amplificatorul este completat cu un generator de semnal la intrare și cu o rezistență de sarcină la ieșire.

Dacă se conectează la ieșire o sarcină rezistivă  $R_L$ , atunci tensiunea de ieșire și amplificarea în tensiune se pot calcula aplicând regula divizorului de tensiune:

$$u_o = A_{u0} u_i \frac{R_L}{R_L + R_o}, \quad A_u = \frac{u_o}{u_i} \Rightarrow A_u = A_{u0} \frac{R_L}{R_L + R_o}. \quad (3.78)$$

Pentru amplificatorul fără sarcină,  $R_L = \infty$ , rezultă  $A_u = A_{u0}$ . De aceea  $A_{u0}$  se numește amplificare de tensiune în gol (sau la mers în gol). Din relația precedentă se observă că prezența sarcinii reduce amplificarea. Pentru ca diminuarea amplificării să fie minimă:

$$A_u \cong A_{u0}, \quad \text{trebuie ca} \quad R_o \ll R_L. \quad (3.79)$$

Rezistența de intrare a amplificatorului  $R_i$ , introduce o atenuare a semnalului la intrare:

$$u_i = u_g \frac{R_i}{R_i + R_g} = u_g k_{ui}, \quad (3.80)$$

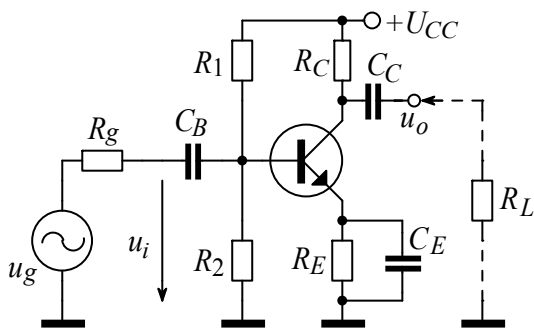
unde  $k_{ui}$  este factorul de cuplaj în tensiune la intrare. Pentru ca atenuarea la intrare să fie minimă:

$$u_i \cong u_g, \quad \text{trebuie ca} \quad R_i \gg R_g. \quad (3.81)$$

Amplificatorul de tensiune ideal ar trebui să aibă  $R_i = \infty$  și  $R_o = 0$ . Pentru ca atenuarea semnalului la intrarea și la ieșirea amplificatorului să fie neglijabilă, este suficient să fie îndeplinite inegalitățile (3.79) și (3.81).

### 3.5.2 Etaj de amplificare cu un tranzistor în conexiune EC

Schema clasică a unui etaj de amplificare realizat cu tranzistor discret în conexiune EC este prezentată în figura 3.27.



**Fig. 3.27.** Schema de principiu a amplificatorului cu un tranzistor discret în conexiune EC.

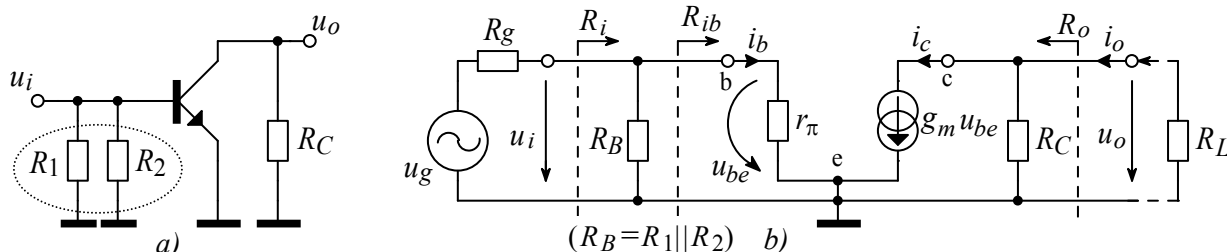
Tranzistorul este polarizat cu divizor în bază și rezistență în emitor.

Condensatoarele din circuit se consideră scurtcircuitate în *ca*.

La analiza circuitului în *cc*, condensatoarele se consideră întreruperi de circuit. Circuitul de polarizare cu rezistență în emitor și divizor de polarizare a bazei a fost studiat într-un paragraf anterior (3.3.5). Curentul de colector  $I_C$  se determină conform relației (3.53) și cu ajutorul acestui curent se pot determina parametrii de regim dinamic ai tranzistorului (care depind de  $I_C$ ).

Condensatoarele din circuit au o capacitate suficient de mare astfel încât reactanța capacitivă a acestora să fie neglijabilă (față de rezistențele cu care sunt înseriate) pentru domeniul frecvențelor de interes. Condensatoarele din bază și din colector se numesc condensatoare de cuplaj fiind utilizate pentru cuplarea generatorului de semnal la intrare, respectiv cuplarea sarcinii la ieșire. Condensatorul din emitor se numește condensator de decuplare și are rolul de a decupla rezistența din emitor în *ca*, sau cu alte cuvinte are rolul de a pune emitorul la masă în *ca*. Se realizează astfel, din punctul de vedere al semnalului, conexiunea emitor comun (EC) pentru tranzistor (emitorul conectat la masă prin  $C_E$  este comun intrării și ieșirii amplificatorului).

Analiza de regim dinamic (sau de *ca*) se face cu ajutorul schemei echivalente de regim dinamic din figura 3.28.a, care s-a obținut prin înlocuirea condensatoarelor și a sursei de tensiune continuă cu scurtcircuitate. Această schemă poate fi utilizată și pentru semnale mari, considerând modelul de semnal mare al tranzistorului (sau ecuația exponențială a tranzistorului).



**Fig. 3.28.** Scheme echivalente de *ca* ale amplificatorului cu un tranzistor în conexiunea EC: a)  $C$  și  $U_{CC}$  înlocuite cu scurtcircuitate, b) tranzistorul liniarizat, în condiții de semnal mic.

Dacă este îndeplinită condiția de semnal mic (3.64), tranzistorul se poate înlocui cu una dintre schemele echivalente liniarizate; în figura 3.28.b s-a utilizat schema simplificată în  $\pi$ . Acest circuit permite determinarea prin calcul a parametrilor amplificatorului.

**Amplificarea de tensiune în gol** (fără  $R_L$ ) este direct proporțională cu transconductanța și cu rezistența de colector:

$$A_{u0} = \frac{u_o}{u_i} = \frac{-i_c R_C}{u_i} = \frac{-g_m u_{be} R_C}{u_{be}} = -g_m R_C. \quad (3.82)$$

Semnul „-” rezultă datorită sensului diferit al tensiunii și al curentului prin  $R_C$  și semnifică faptul că amplificatorul este inversor, adică semnalul de ieșire este în antifază cu semnalul de intrare (defazat cu  $180^\circ$ ).

**Rezistența de intrare** este rezistența văzută de generatorul de semnal:

$$R_i = R_B \parallel R_{ib}, \quad R_B = R_1 \parallel R_2, \quad R_{ib} = \frac{u_i}{i_b} = r_\pi. \quad (3.83)$$

**Rezistența de ieșire** este rezistența sursei Thévenin echivalente, rezistența văzută de sarcină după pasivizarea surselor independente ( $u_g=0$  în acest caz):

$$R_o = \left. \frac{u_o}{i_o} \right|_{u_g=0} = R_C \quad (u_g=0 \Rightarrow u_{be}=0 \Rightarrow g_m u_{be}=0). \quad (3.84)$$

Pasivizarea sursei de semnal conduce la anularea sursei comandate de curent (conform relațiilor din paranteză), iar sursa de curent anulată este echivalentă cu o întrerupere de circuit.

Parametrii tranzistorului și implicit parametrii amplificatorului depind de *psf*. Astfel, la creșterea curentului static de colector  $I_C$ , transconductanța  $g_m$  crește, rezistența de intrare în bază  $r_\pi$  scade și ca urmare amplificarea în tensiune  $A_{u0}$  crește iar rezistența de intrare  $R_i$  scade.

Amplificarea în tensiune în prezența sarcinii se poate determina cu ajutorul relației (3.78), iar efectul rezistenței generatorului asupra amplificării poate fi calculat cu relația (3.80). Ținând seama de aceste relații se poate determina amplificarea globală în tensiune:

$$A_{ug} = \frac{u_o}{u_g} = \frac{u_o}{u_i} \frac{u_i}{u_g} \Rightarrow A_{ug} = A_{u0} \frac{R_L}{R_L + R_o} \frac{R_i}{R_i + R_g}. \quad (3.85)$$

Pentru a obține o amplificare globală cât mai mare  $A_{ug} \cong A_{u0}$ , trebuiesc îndeplinite inecuațiile (3.79) și (3.81). După cum se va vedea din exemplul următor, amplificarea în tensiune în gol are valori destul de mari, dar amplificarea globală este redusă semnificativ datorită rezistenței de intrare moderate și a rezistenței de ieșire destul de mari a acestui tip de amplificator.

### Exemplu

1. În condiții de semnal mic la intrare, să se calculeze  $A_{u0}$ ,  $R_i$ ,  $R_o$ , și  $A_{ug}$  pentru amplificatorul cu emitor comun din figura 3.27 dacă:  $\beta=100$ ,  $I_C=1\text{mA}$ ,  $R_C=5\text{k}\Omega$ ,  $R_B (=R_1 \parallel R_2)=10\text{k}\Omega$ ,  $R_g=6\text{k}\Omega$ .
2. Să se calculeze amplificările  $A_u$  și  $A_{ug}$  pentru o sarcină  $R_L=500\Omega$  cuplată capacitiv la ieșire.
3. Cât este amplitudinea semnalului la ieșire pentru o amplitudine la generator  $U_{g\_vf}=20\text{mV}$ ?  
Condensatoarele din circuit se consideră scurtcircuitate în *ca* și  $U_T=25\text{mV}$ .

### Rezolvare:

1. Se calculează parametrii de semnal mic ai tranzistorului cu relațiile (3.67) și (3.72):

$$g_m = \frac{I_C}{U_T} = \frac{I_C}{25\text{m}} = 40I_C = 40 \cdot 1\text{m} = 40 \frac{\text{mA}}{\text{V}}, \quad r_\pi = \frac{\beta}{g_m} = \frac{100}{40\text{m}} = 2,5\text{k}\Omega$$

Parametrii amplificatorului se calculează conform relațiilor (3.82 – 3.85), cu  $R_L=\infty$ :

$$A_{u0} = -g_m R_C = -40\text{m} \cdot 5\text{k} = -200, \quad R_i = R_B \parallel r_\pi = 10\text{k} \parallel 2,5\text{k} = 2\text{k}\Omega$$

$$R_o = R_C = 5\text{k}\Omega, \quad A_{ug} = A_{u0} \frac{R_i}{R_i + R_g} = -200 \frac{2\text{k}}{2\text{k} + 6\text{k}} = -200 \cdot 0,25 = -50$$

2. Deoarece sarcina este cuplată capacitiv la ieșire, nu influențează *psf* tranzistorului, deci parametrii tranzistorului și ai amplificatorului nu se modifică la conectarea sarcinii. Amplificările în tensiune în prezența sarcinii se calculează conform relațiilor (3.78) și (3.85):

$$A_u = A_{u0} \frac{R_L}{R_L + R_o} = -200 \frac{500}{500 + 5k} = -200 \frac{1}{11} = -18,2$$

$$A_{ug} = A_{u0} \frac{R_i}{R_i + R_g} \frac{R_L}{R_L + R_o} = -200 \frac{1}{4} \frac{1}{11} \cong -4,5$$

Aceste relații au fost determinate folosind modelul amplificatorului de tensiune din figura 3.26 și ținând seama de cele două divizoare de tensiune care apar în schema respectivă.

3. Se verifică inițial dacă este îndeplinită condiția de semnal mic (3.64). Astfel, valoarea maximă a tensiunii bază-emitor este amplitudinea semnalului de intrare în amplificator, calculată ținând seama de divizorul de tensiune de la intrare, conform relației (3.80):

$$U_{be\_vf} = U_{i\_vf} = U_{g\_vf} \frac{R_i}{R_i + R_g} = 20m \frac{2k}{2k + 6k} = 20m \frac{1}{4} = 5mV < 10mV.$$

Amplitudinea semnalului la ieșire se determină ținând seama de amplificările în tensiune:

$$U_{o0\_vf} = A_{u0} U_{i\_vf} = 200 \cdot 5m = 1V, \quad U_{o\_vf} = A_u U_{i\_vf} \cong 18,2 \cdot 5m = 91mV;$$

cu indicele 0 s-a notat tensiunea în gol (fără  $R_L$ ). Amplificările s-au considerat în modul, deoarece defazajul dintre semnalul de ieșire și semnalul de intrare nu are importanță la calculul amplitudinii și o valoare negativă a amplitudinii nu are sens.

#### Concluzii:

Amplificarea în tensiune obținută cu un singur tranzistor este mare. Rezistența de intrare relativ mică și cea de ieșire relativ mare, conduc la apariția a două efecte de divizare a semnalului de tensiune la intrare și la ieșire (cu un factor  $1/4=0,25$  la intrare, respectiv cu un factor  $1/11 \cong 0,091$  la ieșire). De aceea amplificarea globală se reduce de 44 de ori în exemplul dat, de la 200 la circa 4,5 (în modul). Prin urmare, datorită rezistențelor de intrare și de ieșire ale amplificatorului cu valori necorespunzătoare (neadaptate cu rezistența generatorului, respectiv cu rezistența de sarcină), se reduce apreciabil amplificarea globală.

### 3.5.3 Repetorul pe emitor

Repetorul pe emitor, sau amplificatorul cu tranzistor în conexiunea CC, este o configurație de circuit frecvent utilizată atât la amplificatoarele de semnal mic și la cele de semnal mare cât și la circuitele digitale. Circuitul de bază cu tranzistor discret este prezentat în figura 3.29.a.

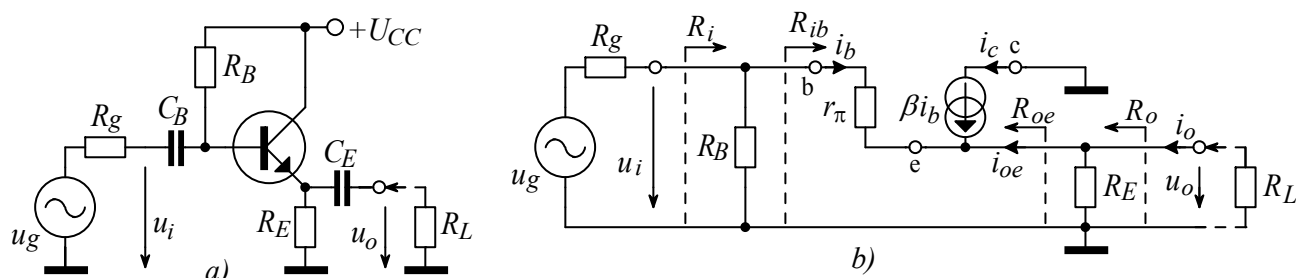


Fig. 3.29. Repetorul pe emitor: a) schema de principiu; b) schema echivalentă de ca cu tranzistorul liniarizat (ca  $SIC/I$ ), în condiții de semnal mic.

Colectorul tranzistorului este conectat la sursa de alimentare, care este și masă de semnal. De aceea, circuitul se mai numește amplificator cu colectorul la masă sau cu colector comun (intrării și ieșirii). Intrarea circuitului se conectează în baza tranzistorului și ieșirea se preia din emitor. Generatorul de semnal și rezistența de sarcină sunt conectate prin condensatoare suficient de mari ca să poată fi considerate scurtcircuite din punctul de vedere al semnalului.

Curentul de colector  $I_C$  din *psf* se determină cu relația (3.53), cu  $U_{BB}=U_{CC}$ , iar parametrii de semnal mic ai tranzistorului se determină cu relațiile (3.67) și (3.72) (relațiile din figura 3.24).

În condiții de semnal mic, (3.64), se poate utiliza oricare dintre schemele echivalente de semnal mic ale tranzistorului. În figura 3.29.b s-a utilizat modelul în  $\pi$  simplificat cu tranzistorul privit ca o sursă de curent controlată în curent (conform cu figura 3.24.b).

Parametrii amplificatorului se determină pe baza schemei de *ca* din figura 3.29.b. Pentru a calcula amplificarea în tensiune în gol se consideră circuitul fără sarcină,  $R_L=\infty$ . Se exprimă tensiunea de ieșire și de intrare funcție de curentul de bază (mărimile de legătură între ieșire și intrare, care apare atât în circuitul de ieșire cât și în cel de intrare):

$$u_o = R_E i_e = R_E (i_b + i_c) = R_E (\beta + 1) i_b, \quad u_i = u_{be} + u_o = r_\pi i_b + R_E (\beta + 1) i_b. \quad (3.86)$$

**Amplificarea în tensiune** în gol rezultă subunitară deoarece tensiunea de intrare este mai mare decât cea de ieșire (pe care o include):

$$A_{u0} = \frac{u_o}{u_i} = \frac{u_o}{u_{be} + u_o} = \frac{(\beta + 1) R_E}{r_\pi + (\beta + 1) R_E} = \frac{1}{1 + \frac{r_\pi}{(\beta + 1) R_E}} \quad (A_{u0} < 1). \quad (3.87)$$

Valoarea amplificării este apropiată de unitate deoarece:

$$r_\pi \ll (\beta + 1) R_E \Rightarrow A_{u0} \cong 1. \quad (3.88)$$

Deoarece tensiunea în emitor repetă tensiunea din bază ( $A_{u0} \cong 1$ ,  $u_e \cong u_b$  – în *ca*), acest amplificator se numește **repetor pe emitor**. Faptul că **tensiunea din bază se repetă în emitor** este o proprietate generală a unui tranzistor care lucrează în RAN și care are o rezistență conectată în emitor (chiar dacă colectorul nu este conectat la masa de *ca*).

La conectarea sarcinii, cele două rezistențe din emitor apar în paralel (în *ca*). Rezistența de emitor în *ca* și amplificarea în tensiune devin:

$$R_e = R_E \parallel R_L, \quad A_u = \frac{u_o}{u_i} = \frac{(\beta + 1) R_e}{r_\pi + (\beta + 1) R_e} = \frac{1}{1 + \frac{r_\pi}{(\beta + 1) R_e}}. \quad (3.89)$$

Deoarece  $R_e < R_E$  rezultă  $A_u < A_{u0}$ ; amplificarea scade în prezența sarcinii.

**Rezistența de intrare** a amplificatorului este rezistența văzută de generatorul de semnal în prezența sarcinii:

$$R_i = R_B \parallel R_{ib}, \quad R_{ib} = \frac{u_i}{i_b} = r_\pi + (\beta + 1)(R_E \parallel R_L) = r_\pi + (\beta + 1) R_e. \quad (3.90)$$

Dacă sarcina lipsește, atunci va fi înlocuită cu o rezistență infinită  $R_L=\infty$  și rezultă  $R_E \parallel R_L = R_E$ . Valoarea rezistenței de intrare este relativ mare și depinde de rezistența conectată în emitorul tranzistorului. Dacă se înlocuiește  $r_\pi$  în relația precedentă conform relației (3.77), se obține **regula de reflectare a rezistențelor din emitor în bază**:

$$R_{ib} = (\beta + 1) r_e + (\beta + 1) R_e = (\beta + 1)(r_e + R_e), \quad (\text{cu } R_e = R_E \parallel R_L), \quad (3.91)$$

regulă care se poate exprima astfel: **Rezistența văzută în baza unui tranzistor este rezistența totală din bucla emitorului multiplicată cu  $\beta+1$ .**

**Rezistența de ieșire** este rezistența sursei Thévenin echivalente adică rezistența văzută de sarcină după pasivizarea surselor independente ( $u_g=0$  în acest caz):

$$R_o = \left. \frac{u_o}{i_o} \right|_{u_g=0} = R_E \parallel R_{oe}. \quad (3.92)$$

Rezistența văzută în emitorul tranzistorului  $R_{oe}$  (de ieșire din emitor) este rezistența sursei Thévenin echivalente tranzistorului privit dinspre emitor – rezistență văzută de  $R_E$ . Pentru calculul acestei rezistențe se presupune aplicată la ieșire o tensiune  $u_o$  (de *ca*) și se pasivizează sursa  $u_g$ . Căderea de tensiune pe bucla bazei este tensiunea  $u_o$ , iar curentul spre emitorul tranzistorului este inversul sumei curenților de bază și de colector:

$$R_{oe} = \left. \frac{u_o}{i_{oe}} \right|_{u_g=0} = \frac{-r_\pi i_b - (R_B \parallel R_g) i_b}{-i_b - \beta \cdot i_b} = \frac{r_\pi + (R_B \parallel R_g)}{\beta + 1}. \quad (3.93)$$

Rezistența de ieșire din repetorul pe emitor este relativ mică și depinde de rezistența internă a generatorului conectat la intrare. Rezultatul obținut se poate exprima ca fiind regula de reflectare a rezistențelor din baza în emitorul unui tranzistor, regulă care se enunță astfel: **Rezistența văzută spre emitorul unui tranzistor este rezistența totală din bucla bazei divizată cu factorul  $\beta+1$ .**

Deoarece rezistența de intrare a amplificatorului depinde de sarcină și rezistența de ieșire depinde de rezistența internă a generatorului, modelul general al amplificatorului de tensiune trebuie folosit cu precauție, deoarece repetorul pe emitor nu este o entitate independentă, parametrii lui depinzând și de configurația circuitului exterior. Modalitatea practică de lucru este următoarea: dacă se analizează circuitul la ieșire, atunci trebuie considerat generatorul conectat la intrare, dacă se analizează circuitul la intrare, atunci trebuie considerată sarcina conectată la ieșire.

Se poate concluziona că repetorul pe emitor se comportă ca un transformator de impedanțe (rezistențe în *ca*) cu **o amplificare în tensiune aproximativ unitară, o rezistență de intrare mare și o rezistență de ieșire mică**. Acest montaj poate fi utilizat pentru a conecta o sarcină de valoare mică la o sursă de semnal cu rezistență internă relativ mare. Amplificarea în tensiune globală, în prezența sarcinii se poate determina utilizând relația (3.80):

$$A_{ug} = \frac{u_o}{u_g} = \frac{u_o}{u_i} \frac{u_i}{u_g} \Rightarrow A_{ug} = A_u \frac{R_i}{R_i + R_g}. \quad (3.94)$$

Rezistența de intrare  $R_i$  se calculează în prezența sarcinii, cu relația (3.90). Efectul de cuplare al sarcinii la ieșirea amplificatorului este inclus implicit în  $A_u$  (deoarece la calcul s-a utilizat  $R_e = R_E \parallel R_L$ ). Rezistența de intrare fiind mare, în cazurile practice obișnuite, se obține o amplificare globală  $A_{ug} \cong A_u$ , apropiată de unitate. La prima vedere, o amplificare unitară este lipsită de interes practic. Exemplul următor pune în evidență utilitatea unui repetor pe emitor în cazul în care sarcina are o valoare mult mai mică decât rezistența internă a generatorului de semnal.

### Exemplu

1. Pentru repetorul pe emitor din figura 3.29.a, să se calculeze curentul static de colector  $I_C$  dacă  $U_{CC}=10\text{V}$ ,  $R_E=5\text{k}\Omega$ ,  $R_B=430\text{k}\Omega$ ,  $\beta=100$  și  $U_{BE}=0,7\text{V}$ .
2. Pentru  $R_g=6\text{k}\Omega$ , să se calculeze  $A_{u0}$ ,  $R_i$ ,  $R_o$ , și  $A_{ug0}$ .



3. Să se calculeze amplificările  $A_u$  și  $A_{ug}$  pentru  $R_g=6k\Omega$  și  $R_L=500\Omega$  (cuplată capacitiv la ieșire) și să se compare cu factorul de transfer obținut prin conectarea directă a generatorului de semnal cu sarcina.
4. Cât este amplitudinea semnalului pe sarcină dacă  $U_{g\_vf}=100mV$ ?
- Condensatoarele din circuit se consideră scurtcircuitate în *ca* și  $U_T=25mV$ .

### Rezolvare:

1. Curentul de colector se calculează cu relația (3.53), la care se consideră  $U_{BB}=U_{CC}$ :

$$I_C = \frac{\beta(U_{CC} - U_{BE})}{R_B + (\beta + 1)R_E} = \frac{100(10 - 0,7)}{430k + 101 \cdot 5k} = 0,995m \cong 1mA.$$

2. Parametrii de semnal mic ai tranzistorului se determină cu relațiile (3.67) și (3.72):

$$g_m = \frac{I_C}{U_T} = \frac{1m}{25m} = 40 \frac{mA}{V}, \quad r_\pi = \frac{\beta}{g_m} = \frac{100}{40m} = 2,5k\Omega.$$

Amplificarea în tensiune fără sarcină se determină cu relația (3.87):

$$A_{u0} = \frac{1}{1 + \frac{r_\pi}{(\beta + 1)R_E}} = \frac{1}{1 + \frac{2,5k}{101 \cdot 5k}} = \frac{1}{1,00495} = 0,995.$$

Rezistența de intrare se determină cu relația (3.90) particularizată pentru  $R_L=\infty$ :

$$R_{ib} = r_\pi + (\beta + 1)R_E = 2,5k + 101 \cdot 5k = 507,5k\Omega; \quad R_i = R_B \parallel R_{ib} = 430k \parallel 507k = 233k\Omega.$$

Rezistența de ieșire se determină cu relațiile (3.92) și (3.93):

$$R_{oe} = \frac{r_\pi + (R_B \parallel R_g)}{\beta + 1} = \frac{2,5k + 430k \parallel 6k}{101} = \frac{8,4k}{101} = 83\Omega, \quad R_o = R_E \parallel R_{oe} = 83 \parallel 5k = 82\Omega.$$

Relația (3.94) este folosită pentru calcularea amplificării globale fără sarcină:

$$A_{ug0} = A_{u0} \frac{R_i}{R_i + R_g} = 0,995 \frac{233k}{233k + 6k} = 0,995 \cdot 0,975 = 0,97.$$

3. În prezența sarcinii, rezistența de emitor în *ca* devine:

$$R_e = R_E \parallel R_L = 5k \parallel 500 = 454,6\Omega;$$

iar parametrii tranzistorului nu se schimbă pentru că sarcina este cuplată capacitiv și nu influențează *psf*. Amplificarea în tensiune devine:

$$A_u = \frac{1}{1 + \frac{r_\pi}{(\beta + 1)R_e}} = \frac{1}{1 + \frac{2,5k}{101 \cdot 0,455k}} = \frac{1}{1,0545} = 0,948.$$

Se recalculează rezistența de intrare și apoi se calculează amplificarea globală în tensiune cu relațiile (3.90) și (3.94):

$$R_{ib} = r_\pi + (\beta + 1)R_e = 2,5k + 101 \cdot 455 = 45,9k\Omega, \quad R_i = R_B \parallel R_{ib} = 430k \parallel 45,9k = 43,5k\Omega,$$

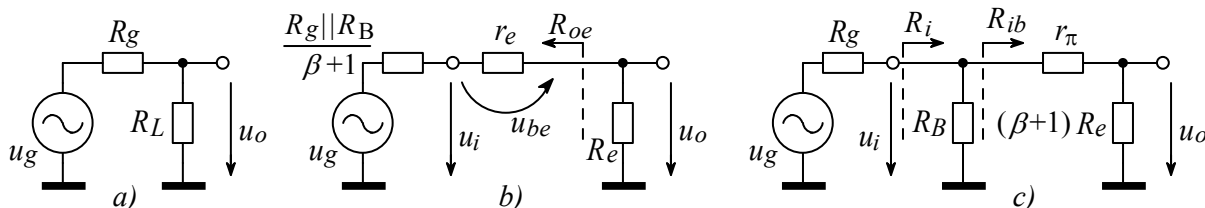
$$A_{ug} = A_u \frac{R_i}{R_i + R_g} = 0,948 \frac{43,5k}{43,5k + 6k} = 0,948 \cdot 0,89 = 0,84.$$

Factorul de transfer direct dintre generator și sarcină (fără amplificator) rezultă din regula divizorului de tensiune aplicată circuitului din figura 3.30.a:

$$K_{ug} = \frac{u_o}{u_g} = \frac{R_L}{R_L + R_g} = \frac{500}{500 + 6k} = \frac{1}{13} = 0,077 = 7,7\%.$$

Față de cuplajul direct, amplificarea obținută prin intermediul repetorului pe emitor este de  $A_{ug}/K_{ug}=0,84/0,077=11$  ori mai mare.

Pentru o înțelegere mai concretă a funcționării repetorului pe emitor, în figura 3.30.b și respectiv 3.30.c, s-au reprezentat circuitele echivalente obținute prin reflectarea rezistențelor în emitor și respectiv în bază, conform regulilor de reflectare prezentate anterior.



**Fig. 3.30.** a) Cuplajul direct al generatorului cu sarcina. Scheme echivalente de ca ale repetorului pe emitor obținute prin reflectare: b) în emitor, c) în bază.

4. Pentru a calcula amplitudinea tensiunii pe sarcină se verifică dacă tensiunea de intrare îndeplinește condiția de semnal mic – relația (3.80), pe baza circuitului din figura 3.30.b:

$$U_{be\_vf} = U_{g\_vf} \frac{r_e}{R_e + r_e + \frac{R_g || R_B}{\beta + 1}} = 100 \frac{25}{455 + 25 + 59} \cong 4,6mV < 10mV$$

și apoi se calculează amplitudinea tensiunii la ieșire cu ajutorul amplificării globale:

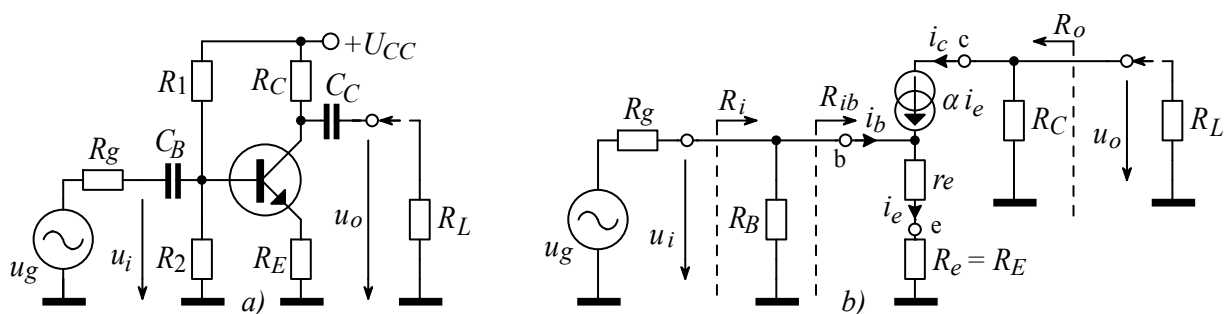
$$U_{o\_vf} = A_{ug} U_{g\_vf} = 0,84 \cdot 100m = 84mV.$$

### Concluzii:

- Amplificarea în tensiune a repetorului pe emitor este subunitară și apropiată de unitate, mai ales în cazul amplificatorului fără sarcină exterioară ( $A_{ug0}, A_{u0} \cong 1$ ).
- Rezistența de intrare este mare și depinde de rezistențele din emitor, iar rezistența de ieșire este mică și depinde de rezistențele din bază. De aceea, cuplarea în tensiune printr-un repetor pe emitor este mult mai bună decât cuplarea directă a generatorului cu sarcina.
- Calcularea circuitului se face fie dinspre ieșire spre intrare (caz în care se include sarcina în rezistența de emitor), fie dinspre intrare spre ieșire (caz în care se ține seama de rezistența internă a generatorului conectat la intrare). Metoda cea mai convenabilă de calcul utilizează schema echivalentă obținută prin reflectarea rezistențelor din circuitul bazei în emitor (sau din circuitul emitorului în bază).

### 3.5.4 Etaj de amplificare cu rezistență nedecuplată în emitor

Schema unui astfel de etaj de amplificare este prezentată în figura 3.31.a. Semnalul de intrare se aplică în bază iar semnalul de ieșire se preia din colector ca și la etajul cu emitor comun. În cazul acestui circuit însă, emitorul nu este conectat direct la masă (din punctul de vedere al semnalului), ci prin intermediul unei rezistențe, care poate fi chiar rezistența  $R_E$  de polarizare a emitorului (cazul mai simplu prezentat în figură) sau o altă rezistență. Existența rezistenței de emitor în ca,  $R_e$ , conduce la posibilitatea ajustării unora dintre parametrii amplificatorului.



**Fig. 3.31.** Etaj de amplificare cu rezistență nedecuplată în emitor;  
a) Schema de principiu, b) schema de semnal mic cu modelul în T al tranzistorului.

În condiții de semnal mic, se poate utiliza oricare dintre modelele tranzistorului; utilizând modelul în T se obține schema echivalentă de *ca* din figura 3.31.b.

**Rezistența de intrare** se poate determina cu regula de reflectare a rezistențelor din emitor în bază, (3.91):

$$R_{ib} = (\beta + 1)(r_e + R_e), \quad R_B = R_1 \parallel R_2, \quad R_i = R_B \parallel R_{ib}, \quad (3.95)$$

Această regulă poate fi demonstrată și cu ajutorul circuitului în T din figura 3.31.b astfel:

$$u_i = i_e(r_e + R_e), \quad i_b = i_e(1 - \alpha) = \frac{i_e}{1 + \beta}, \quad R_{ib} = \frac{u_i}{i_b} = (\beta + 1)(r_e + R_e).$$

Multiplicarea rezistenței din emitor cu factorul  $(\beta + 1)$  se datorează faptului că în bază curentul este de  $(\beta + 1)$  ori mai mic decât în emitor. Ca urmare introducerea unei rezistențe suplimentare în emitor  $R_e$  poate conduce la creșterea apreciabilă a rezistenței de intrare. Dacă se compară relațiile (3.95) cu (3.83), ținând cont de (3.77) și de (3.76) se obține:

$$\frac{R_{ib}(\text{cu } R_e)}{R_{ib}(\text{fara } R_e)} = \frac{(\beta + 1)(r_e + R_e)}{r_\pi} = \frac{(\beta + 1)(r_e + R_e)}{(\beta + 1)r_e} = 1 + \frac{R_e}{r_e} \cong 1 + g_m R_e, \quad (3.96)$$

**Rezistența de ieșire** nu depinde de  $R_e$  și se poate determina direct din figura 3.31.b:

$$R_o = R_C, \quad (\text{pentru } u_g = 0 \Rightarrow i_b = 0 \Rightarrow \alpha i_e = 0). \quad (3.97)$$

**Amplificarea în tensiune** în gol se obține din expresia tensiunilor de intrare și de ieșire:

$$u_i = i_e(r_e + R_e), \quad u_o = -i_e \alpha R_C, \quad A_{u0} = \frac{u_o}{u_i} = \frac{-\alpha R_C}{r_e + R_e} \cong -\frac{R_C}{r_e + R_e}, \quad (3.98)$$

ținând seama că  $\alpha \cong 1$ . Amplificarea în prezența sarcinii depinde de  $R_c (= R_C \parallel R_L)$ , conform relațiilor:

$$u_o = -i_e \alpha R_c, \quad A_u = \frac{u_o}{u_i} \cong -\frac{R_c}{r_e + R_e} \quad (\text{cu } R_c = R_C \parallel R_L). \quad (3.99)$$

Rezultatele din relațiile precedente pot fi exprimat într-o formă ușor de reținut:

**Amplificarea în tensiune între bază și colector este egală cu raportul dintre rezistența totală în colector și rezistența totală din emitor.**

Dacă valoarea rezistenței conectată în emitor este suficient de mare:

$$R_e \gg r_e \quad \text{sau} \quad R_e \gg \frac{1}{g_m} = \frac{U_T}{I_C} \cong \frac{1}{40 I_C}, \quad (3.100)$$

atunci amplificarea se poate calcula direct prin analiza circuitului conform relațiilor:

$$A_{u0} = -\frac{R_C}{r_e + R_e} \cong -\frac{R_C}{R_e}, \quad A_u = -\frac{R_c}{r_e + R_e} \cong -\frac{R_c \parallel R_L}{R_e}. \quad (3.101)$$

În cazul unui etaj de amplificare cu  $R_e$ , se poate calcula direct valoarea amplificării utilizând doar rezistențele din circuit, conform relației anterioare. Pentru a verifica în ce măsură calculul direct este corect, trebuie estimat  $I_C$  și apoi se poate aprecia inegalitatea din relația (3.100).

Dacă se compară relația (3.98) cu (3.82) se constată că prezența rezistenței  $R_e$  conduce la reducerea amplificării cu un factor  $(1 + g_m R_e)$ :

$$\frac{A_{u0}(\text{cu } R_e)}{A_{u0}(\text{fara } R_e)} = \frac{R_C}{r_e + R_e} \cdot \frac{1}{g_m R_C} \cong \frac{1}{1 + g_m R_e}, \quad (3.102)$$

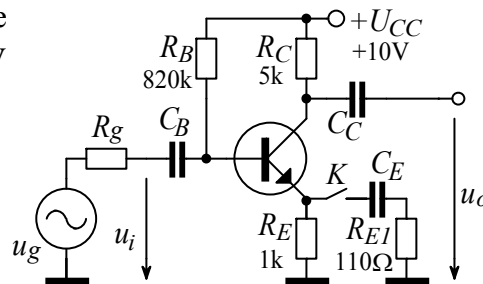
Nivelul tensiunii  $u_{be}$ , dintre baza și emitorul tranzistorului, este cel care determină gradul de liniaritate al amplificării, conform figura 3.21 și relației (3.64). Ca și repetorul pe emitor, etajul cu  $R_e$  poate manevra tensiuni de intrare mai mari decât etajul cu tranzistor în conexiune EC (cu  $R_e=0$ ), deoarece doar o fracțiune din semnalul de intrare apare între baza și emitorul tranzistorului:

$$\frac{u_{be}}{u_i} = \frac{r_e}{r_e + R_e} \cong \frac{1}{1 + g_m R_e}, \quad (3.103)$$

Se observă că factorul de reducere al amplificării  $(1 + g_m R_e)$  – relația (3.102), este același cu factorul de creștere al rezistenței de intrare în baza tranzistorului – relația (3.96) și cu factorul de reducere al nivelului semnalului de intrare – relația (3.103). Proiectantul circuitului poate optimiza parametrii amplificatorului prin alegerea rezistenței de emitor  $R_e$  celei mai convenabile. Circuitul cu  $R_e$  are o comportare intermediară între etajul cu un tranzistor în conexiunea EC și repetorul pe emitor, gradul de apropiere de unul sau altul dintre circuite depinzând de valoarea rezistenței  $R_e$ .

### Problemă de analiză

1. Pentru amplificatorul din figura alăturată să se calculeze curentul static de colector  $I_C$  dacă  $\beta=100$  și  $U_{BE}=0,7\text{V}$
  2. Dacă rezistența internă a generatorului este:  $R_g=6\text{k}\Omega$ , să se calculeze  $A_{u0}$ ,  $R_i$ ,  $R_o$ , și  $A_{ug0}$ , pentru:
    - a)  $R_e=1\text{k}\Omega$  respectiv b)  $R_e=100\Omega$ . (practic, în primul caz comutatorul este deschis:  $R_e=R_E$ , respectiv în al doilea caz este închis:  $R_e=R_E||R_{E1}$ )
  3. Cât este amplitudinea la ieșire dacă amplitudinea la generator este  $U_{g\_vf}=50\text{mV}$ ?
- Condensatoarele din circuit se consideră scurtcircuitate în ca și  $U_T=25\text{mV}$ .



### Rezolvare:

1. Curentul de colector se calculează cu relația (3.53), la care se consideră  $U_{BB}=U_{CC}$ :

$$I_C = \frac{\beta(U_{CC} - U_{BE})}{R_B + (\beta + 1)R_E} = \frac{100(10 - 0,7)}{820\text{k} + 101 \cdot 1\text{k}} = 1,01\text{mA} \cong 1\text{mA}.$$

2. Parametrii de semnal mic ai tranzistorului se determină cu relațiile (3.67), (3.76) și prin explicitarea factorului  $\alpha$  din relația (3.7):

$$g_m = \frac{I_C}{U_T} = \frac{1\text{mA}}{25\text{mV}} = 40 \frac{\text{mA}}{\text{V}}, \quad r_e = \frac{\alpha}{g_m} \cong \frac{1}{g_m} = \frac{1}{40\text{mA}} = 25\Omega, \quad \alpha = \frac{\beta}{\beta + 1} = 0,99.$$

Amplificarea în tensiune (fără sarcină) se determină cu relația (3.98):

$$A_{u0} = \frac{u_o}{u_i} = -\frac{\alpha R_C}{r_e + R_e}: \quad a) \quad A_{u0(a)} = -\frac{0,99 \cdot 5k}{25 + 1k} = -4,83, \quad b) \quad A_{u0(b)} = -\frac{0,99 \cdot 5k}{25 + 100} = -39,6.$$

Calculul amplificării cu relația aproximativă (3.101):

$$A_{u0} = -\frac{R_C}{R_e}: \quad a) \quad A_{u0(a)\sim} = -\frac{5k}{1k} = -5, \quad b) \quad A_{u0(b)\sim} = -\frac{5k}{100} = -50,$$

conduce la o eroare:

$$\varepsilon = \frac{A_{u0\sim} - A_{u0}}{A_{u0}} 100 [\%]: \quad \varepsilon_a = \frac{5 - 4,83}{4,83} = 3,5\%, \quad \varepsilon_b = \frac{50 - 39,6}{39,6} = 26\%,$$

acceptabilă (de ordinul procentelor, mai mică de 5%) în primul caz; în cazul al doilea eroarea este apreciabilă, deoarece inegalitatea (3.100) nu este de fapt îndeplinită:

$$R_{e(a)} = 1000\Omega \gg 25\Omega = r_e, \quad \left( \frac{R_{e(a)}}{r_e} = 40 \right); \quad R_{e(b)} = 100\Omega, \quad \left( \frac{R_{e(b)}}{r_e} = 4 < 10 \right).$$

Rezistența de intrare se determină cu relația (3.95):

$$R_{ib} = (\beta + 1)(r_e + R_e): \quad R_{ib(a)} = 101(25 + 1k) = 103,5k\Omega, \quad R_{ib(b)} = 101(25 + 100) = 13,6k\Omega,$$

$$R_i = R_B \parallel R_{ib}: \quad R_{i(a)} = 103,5k \parallel 820k = 91,9k\Omega, \quad R_{i(b)} = 13,6k \parallel 820k = 13,4k\Omega.$$

Rezistența de ieșire nu depinde de  $R_e$  și se determină cu relația (3.97):  $R_o = R_C = 5k\Omega$ .

Cu relația (3.80):  $A_{ug} = \frac{u_o}{u_g} = \frac{u_o}{u_i} \frac{u_i}{u_g} = A_{u0} \frac{R_i}{R_i + R_g}$  se determină amplificarea globală:

$$A_{ug(a)} = -4,83 \cdot \frac{103,5k}{103,5k + 6k} \cong -4,6, \quad A_{ug(b)} = -39,6 \cdot \frac{13,6k}{13,5k + 2,5k} = -39,6 \cdot 0,694 \cong -27,5.$$

Se observă că amplificarea mai mică obținută în cazul  $a)$  se modifică mai puțin la conectarea generatorului (deoarece rezistența de intrare a amplificatorului este mai mare).

3. Se determină inițial dacă este îndeplinită condiția de semnal mic (3.64). Pentru aceasta se determină tensiunea  $u_{be}$  cu ajutorul relațiilor (3.103) și (3.80):

$$u_{be} = \frac{r_e}{r_e + R_e} u_i = \frac{r_e}{r_e + R_e} \frac{R_i}{R_i + R_g} u_g.$$

Amplitudinea tensiunii  $u_{be}$  în cele două cazuri este:

$$U_{be\_vf(a)} = \frac{25}{25 + 1k} \frac{91,9k}{91,9k + 6k} 50m = 0,024 \cdot 0,94 \cdot 50m = 1,15mV < 10mV,$$

$$U_{be\_vf(b)} = \frac{25}{25 + 100} \frac{13,4k}{13,4k + 6k} 50m = 0,2 \cdot 0,69 \cdot 50m = 6,9mV < 10mV.$$

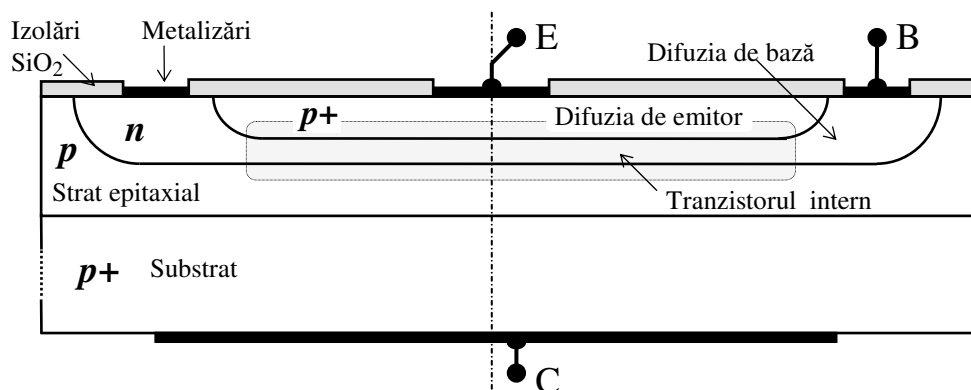
Amplitudinea tensiunii la ieșire se determină cu amplificarea globală calculată anterior:

$$U_{o\_vf} = |A_{ug}| \cdot U_{g\_vf}: \quad U_{o\_vf(a)} = 4,6 \cdot 50m = 230mV, \quad U_{o\_vf(b)} = 27,5 \cdot 50m = 1,375V.$$

Semnul negativ al amplificării semnifică un semnal de ieșire în antifază cu cel de intrare. La calcularea amplitudinii la ieșire s-a considerat amplificarea în modul, întrucât amplitudinea unui semnal este o mărime pozitivă (indiferent de defazajul semnalului).

### 3.6 CONSTRUCȚIA ȘI FUNCȚIONAREA TRANZISTORULUI

În figura 3.32 se prezintă o secțiune printr-un tranzistor bipolar realizat prin dublă difuzie. Această tehnologie de realizare a tranzistoarelor permite realizarea simultană a unui număr mare de tranzistoare pe o plachetă de siliciu. O tehnologie asemănătoare este utilizată și pentru realizarea circuitelor integrate bipolare.

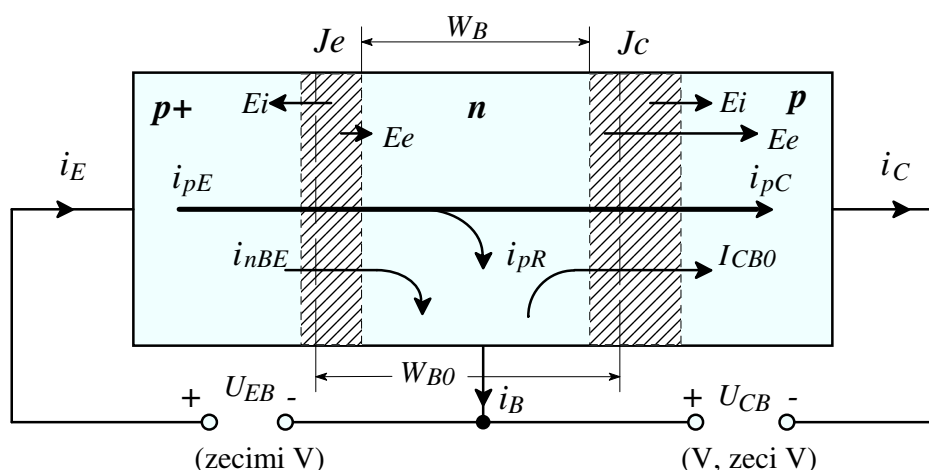


**Fig. 3.32.** Secțiune printr-un tranzistor *pnp* realizat prin dublă difuzie.

Tranzistorul este realizat pornind de la o pastilă de siliciu de tip *p* cu conductivitate ridicată (foarte puternic dopată cu impurități, notată cu *p+*) a cărei grosime este de câteva zecimi de mm. Conductivitatea este ridicată pentru a reduce rezistența serie a colectorului. Pe acest substrat se crește un strat epitaxial, cu grosime de câțiva microni, a cărui concentrație de impurități este mult mai redusă decât a substratului. În acest strat epitaxial se realizează două difuzii succesive: prima este difuzia de bază prin care se obține un semiconductor de tip *n* slab dopat, iar cea de-a doua este difuzia de emitor prin care se obține o regiune de tip *p* puternic dopată (*p+*). Se depune apoi un strat de oxid de siliciu izolator care se corodează în zonele ferestrelor de contact. În aceste zone se depun metalizările prin care se conectează tranzistorul la circuitul extern.

#### 3.6.1 Funcționarea tranzistorului în regim activ normal (RAN)

O secțiune transversală prin tranzistorul intern (evidențiat în figura 3.32) este reprezentată în figura 3.33. Secțiunea este rotită cu emitorul în stânga. În structura tranzistorului se formează două joncțiuni *pn*: joncțiunea emitorului (*Je*, între E și B) și joncțiunea colectorului (*Jc*, între C și B).



**Fig. 3.33.** Secțiune prin tranzistorul intern.

Sursele  $U_{EB}$  și  $U_{CB}$  polarizează  $Je$  respectiv  $Jc$  astfel încât tranzistorul *pnp* funcționează în RAN. În figură se indică câmpurile electrice (interne -  $Ei$  și externe -  $Ee$ ) din joncțiuni și curenții care circulă prin tranzistor.  $WB_0$  reprezintă lățimea metalurgică și  $WB$  lățimea efectivă a bazei.  $WB < WB_0$  datorită regiunilor golite de purtători ale joncțiunilor (hașurate).

Considerând emitorul în gol, deci cu sursa de alimentare  $U_{EB}$  deconectată, prin joncțiunea colectorului polarizată invers va circula curentul invers al joncțiunii respective, notat cu  $I_{CB0}$  (curentul dintre colector și bază cu emitorul în gol). Acesta este un curent de drift al purtătorilor minoritari datorat câmpului electric extern ( $E_e$ ), ca la orice joncțiune polarizată invers.

Prin joncțiunea emitorului polarizată direct (datorită sursei  $U_{EB}$ ) circulă curentul de difuzie al purtătorilor majoritari (goluri din emitor și electroni din bază). Acest curent depinde exponențial de tensiunea  $U_{EB}$ , ca în prima relație din sistemul (3.107). Deoarece joncțiunea emitorului este asimetrică, cu emitorul mult mai puternic dopat decât baza, curentul va fi datorat în principal golurilor care difuzează din emitor în bază  $i_{pE}$  și într-o măsură mult mai mică electronilor care trec din bază în emitor  $i_{nBE}$ , conform relației (2.60) de la studiul joncțiunilor asimetrice.

Golurile sunt purtători minoritari în bază. Concentrația golurilor în vecinătatea emitorului este mare (golurile fiind injectate dinspre emitor) și aceste goluri difuzează spre regiunile de concentrație mai redusă, adică spre colector. Toate golurile care ajung în regiunea de sarcină spațială a colectorului sunt antrenate de câmpul electric din  $J_c$  prin curent de drift și de aceea concentrația golurilor la capătul dinspre colector al bazei este nulă. Datorită grosimii mici a bazei (față de lungimea de difuzie a purtătorilor minoritari), recombinarea în bază este redusă și curentul de recombinare  $i_{pR}$  este mic, astfel încât aproape toate golurile (emise de emitor) trec prin bază și sunt captate (colectate) de colector.

Ținând seama de explicațiile precedente și de figura 3.33, curenții prin tranzistor sunt:

$$\begin{cases} i_E = i_{pE} + i_{nBE} \\ i_C = i_{pC} + I_{CB0} \\ i_{pE} = i_{pC} + i_{pR} \end{cases} \quad (3.104)$$

Se notează:

$$\frac{i_{pC}}{i_E} = \frac{i_{pC}}{i_{pE}} \cdot \frac{i_{pE}}{i_E} = \beta_{tB} \cdot \gamma_E = \alpha_N, \quad (3.105)$$

unde:  $\beta_{tB} = i_{pC}/i_{pE}$  este factorul de transport în bază,  $\gamma_E = i_{pE}/i_E$  este eficiența emitorului, iar  $\alpha_N = i_{pC}/i_E$  este factorul normal de amplificare în curent în conexiunea BC;  $\alpha_N$  este același factor de amplificare care în prima parte a capitoului a fost notat cu  $\alpha$  (fără indice). Deoarece aproape tot curentul din emitor ajunge în colector valoarea factorului de amplificare  $\alpha_N$  este practic unitară:

$$\alpha_N = 0,98 \dots 0,998. \quad (3.106)$$

Pentru dioda emitor-bază polarizată direct și ținând seama de relațiile (3.104) și (3.105) se pot scrie relațiile care definesc funcționarea tranzistorului în RAN:

$$\begin{cases} i_E = I_{SE} \left( \exp \frac{u_{EB}}{U_T} - 1 \right), \\ i_C = \alpha_N \cdot i_E + I_{CB0} \end{cases} \quad (3.107)$$

unde  $I_{SE}$  este curentul invers de saturație al  $J_e$  (valoare teoretică de ordinul a  $10^{-15} \dots 10^{-12}$  A).

Schema echivalentă a tranzistorului din figura 3.34.a este conformă cu sistemul de ecuații (3.107); în locul curentului  $I_{CB0}$  s-a reprezentat dioda bază-colector prin care circulă acest curent.



**Fig. 3.34.** Scheme echivalentă de semnal mare pentru tranzistorul *pnp*: a) în RAN, b) în RAI.

Alături de diode s-a notat curentul invers de saturație al joncțiunilor.

### 3.6.2 Funcționarea tranzistorului inversat

Tranzistorul funcționează în regim activ inversat (RAI) prin inversarea rolului emitorului cu cel al colectorului. În principiu această inversiune este posibilă datorită relativei simetrii a structurii tranzistorului bipolar. Din cauza gradului de dopare relativ redus al colectorului (față de bază), eficiența de injecție a colectorului (care lucrează ca emitor) este redusă, astfel încât factorul de amplificare inversat al tranzistorului este sensibil mai mic decât unitatea, cu valori uzuale  $\alpha_I = 0,2 \dots 0,9$ . Cu excepția acestei observații, tranzistorul funcționează la fel ca și în cazul regimului activ normal. Ecuațiile care descriu funcționarea TB în acest caz sunt:

$$\begin{cases} -i_C = I_{SC} \left( \exp \frac{u_{CB}}{U_T} - 1 \right), \\ -i_E = \alpha_I \cdot (-i_C) + I_{EB0} \end{cases} \quad (3.108)$$

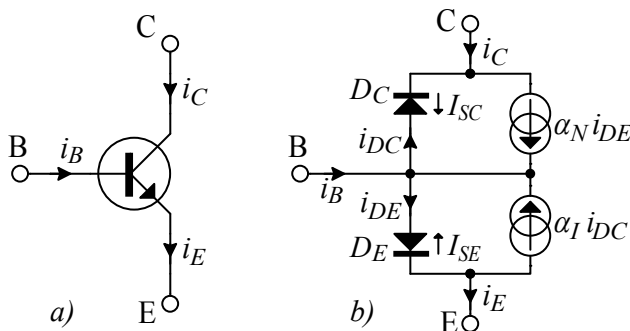
unde  $I_{SC}$  este curentul invers de saturație al joncțiunii colectorului și  $I_{EB0}$  este curentul dintre emitor și bază cu colectorul în gol. Sensul curenților s-a considerat conform convenției din figura 3.1.a iar schema echivalentă conformă cu relațiile (3.108) este cea din figura 3.34.b.

**Observație:** Pentru tranzistoarele de tip *nnp* schemele echivalente sunt aceleași cu cele din figura 3.34, dar se inversează sensul diodelor, al generatoarelor de curent și al curenților.

### 3.6.3 Modelul Ebers-Moll

O abordare formală a funcționării tranzistorului se poate face cu ajutorul unui model de semnal mare al TB, cunoscut sub numele de modelul Ebers-Moll (EM). Modelul nu este nici atât de simplu, nici atât de intuitiv ca modelele prezentate la începutul capitoului, însă are un grad mare de generalitate și descrie funcționarea tranzistorului indiferent de regimul de funcționare al acestuia. În plus el stă la baza modelului de simulare al TB din SPICE.

Modelul EM este un model de joasă frecvență care se bazează pe faptul că tranzistorul este compus din două joncțiuni *pn* și care exprimă curenții prin terminalele TB ca o suprapunere a curenților din aceste joncțiuni *pn*. În figura 3.35 este prezentat modelul EM pentru un tranzistor *nnp*.



**Fig. 3.35.** a) Un tranzistor *nnp* și b) modelul Ebers-Moll corespunzător.

Pentru tranzistorul *pnp* se inversează sensul diodelor, al curenților și al surselor de curent.



Modelul conține două diode, dioda de emitor  $D_E$  și dioda de colector  $D_C$  (care înlocuiesc cele două joncțiuni  $pn$ ) și două surse de curent controlate în curent care modelează efectul de tranzistor în sens normal și în sens inversat. Curenții prin diode depind exponențial de tensiuni:

$$i_{DE} = I_{SE} \left( \exp \frac{u_{BE}}{U_T} - 1 \right), \quad i_{DC} = I_{SC} \left( \exp \frac{u_{BC}}{U_T} - 1 \right), \quad (3.109)$$

unde  $I_{SE}$  și  $I_{SC}$  sunt curenții de saturație sau de scalare ai celor două diode. Deoarece joncțiunea de colector are o arie mai mare decât joncțiunea de emitor, curentul  $I_{SC}$  este de obicei mai mare decât  $I_{SE}$  (cu un factor de 2 până la 50). După cum s-a arătat la analiza funcționării tranzistorului în RAN, aproape tot curentul din joncțiunea de emitor se regăsește în colector. Acest curent este modelat prin sursa  $\alpha_N i_{DE}$ , unde factorul normal de curent  $\alpha_N$  este foarte apropiat de unitate. În mod analog o parte din curentul care parcurge joncțiunea de colector traversează baza și se regăsește în emitor. Această componentă a curentului de emitor este modelată de sursa  $\alpha_I i_{DC}$ , unde factorul invers de curent  $\alpha_I$  are valori sensibil subunitare. Cei patru parametri ai tranzistorului sunt legați prin relația:

$$\alpha_N \cdot I_{ES} = \alpha_I \cdot I_{CS} = I_S, \quad (3.110)$$

demonstrată în [1], unde  $I_S$  este curentul de saturație al tranzistorului. La tranzistoarele de mică putere  $I_S$  este de ordinul a  $10^{-15} \dots 10^{-14}$  A și este proporțional cu aria joncțiunii emitor-bază.

Pe baza figurii 3.35 se pot exprima curenții prin terminalele tranzistorului în funcție de tensiunile aplicate între terminalele acestuia:

$$i_E = i_{DE} - \alpha_I i_{DC}, \quad (3.111)$$

$$i_C = -i_{DC} + \alpha_N i_{DE}, \quad (3.112)$$

$$i_B = (1 - \alpha_N) i_{DE} + (1 - \alpha_I) i_{DC}. \quad (3.113)$$

Dacă se înlocuiesc  $i_{DE}$  și  $i_{DC}$  din relațiile (3.109) și utilizând relația (3.110) rezultă:

$$i_E = \frac{I_S}{\alpha_N} \left( \exp \frac{u_{BE}}{U_T} - 1 \right) - I_S \left( \exp \frac{u_{BC}}{U_T} - 1 \right), \quad (3.114)$$

$$i_C = I_S \left( \exp \frac{u_{BE}}{U_T} - 1 \right) - \frac{I_S}{\alpha_I} \left( \exp \frac{u_{BC}}{U_T} - 1 \right), \quad (3.115)$$

$$i_B = \frac{I_S}{\beta_N} \left( \exp \frac{u_{BE}}{U_T} - 1 \right) + \frac{I_S}{\beta_I} \left( \exp \frac{u_{BC}}{U_T} - 1 \right), \quad (3.116)$$

unde  $\beta_N$  și  $\beta_I$  sunt factorii  $\beta$  (de amplificare în curent dintre colector și bază) normal și respectiv inversat:

$$\beta_N = \frac{\alpha_N}{1 - \alpha_N}, \quad \beta_I = \frac{\alpha_I}{1 - \alpha_I}. \quad (3.117)$$

Factorul  $\beta$  (fără indice) este o notație simplificată pentru factorul  $\beta_N$  și are valori tipice de ordinul sutelor, iar factorul  $\beta_I$  are valori mici ( $0,02 \dots 10$ , uzual câteva unități).

Pentru tranzistorul  $nnp$  în RAN, cu  $u_{BE} \gg U_T$  și  $u_{BC} < 0$ , din (3.115) și (3.116) rezultă relațiile (3.4) și (3.6), care au stat la baza modelelor simplificate ale tranzistorului:

$$i_C = I_S \left( \exp \frac{u_{BE}}{U_T} - 1 \right) - \frac{I_S}{\alpha_I} (0 \dots -1) \cong I_S \exp \frac{u_{BE}}{U_T},$$

$$i_B = \frac{I_S}{\beta_N} \left( \exp \frac{u_{BE}}{U_T} - 1 \right) + \frac{I_S}{\beta_I} (0 \dots -1) \cong \frac{I_S}{\beta_N} \exp \frac{u_{BE}}{U_T} = \frac{i_C}{\beta_N} \quad \text{sau} \quad i_C = \beta \cdot i_B.$$

### 3.6.4 Modelul de transport

O variantă ceva mai simplă a modelului EM este prezentată în figura 3.36.a. Curenții de saturație ai diodele  $D_{BE}$  (dioda bază-emitor) și  $D_{BC}$  (dioda bază-colector) sunt  $(I_S/\beta_N)$  și respectiv  $(I_S/\beta_I)$ . Curentul de bază este același cu cel din relația (3.116):

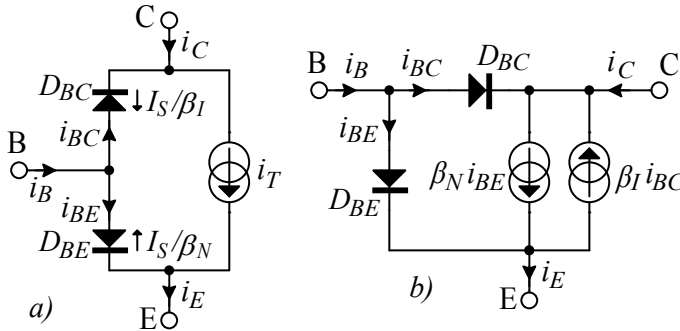
$$i_B = i_{BE} + i_{BC} = \frac{I_S}{\beta_N} \left( \exp \frac{u_{BE}}{U_T} - 1 \right) + \frac{I_S}{\beta_I} \left( \exp \frac{u_{BC}}{U_T} - 1 \right),$$

iar curentul prin sursa de curent controlată  $i_T$  este:

$$i_T = I_S \left( \exp \frac{u_{BE}}{U_T} - 1 \right) - I_S \left( \exp \frac{u_{BC}}{U_T} - 1 \right), \quad (3.118)$$

$$\text{sau} \quad i_T = \beta_N i_{BE} + \beta_I i_{BC}, \quad (3.119)$$

ceea ce conduce la modelul controlat în curent din figura 3.36.b.



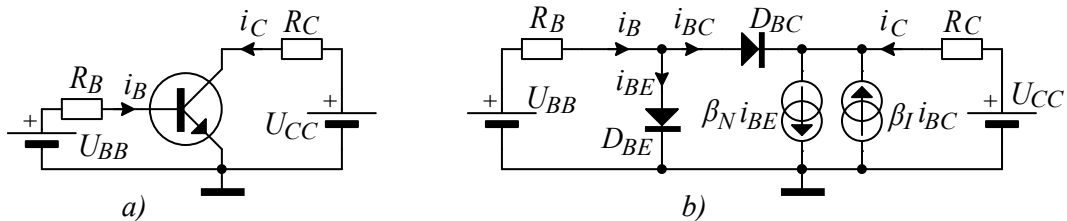
**Fig. 3.36.** Modelul de transport al tranzistorului npn. Acest model este echivalent exact cu modelul Ebers-Moll din fig.3.35.

Alături de diode este notat curentul de saturație al acestora. Sursa  $i_T$  din a) este detaliată în b) conform relației (3.119).

Se poate constata că  $i_T$  reprezintă componenta curentului  $i_C$  și  $i_E$  care apare ca rezultat al efectului de tranzistor în joncțiunea de colector, respectiv de emitor; altfel spus,  $i_T$  se datorează transportului purtătorilor minoritari ce traversează baza, de aici și numele de model de transport. Se poate arăta ușor că  $i_C = i_T - i_{BC}$  conduce la relația (3.115) și respectiv  $i_E = i_T + i_{BE}$  la relația (3.114). Concluzia este că modelul de transport este identic cu modelul Ebers-Moll. Modelul de transport stă la baza modelului de tranzistor bipolar utilizat în SPICE.

### 3.6.5 Funcționarea tranzistorului în saturație

În regim de saturație joncțiunile TB sunt polarizate direct, ceea ce în cazul tranzistorului npn înseamnă:  $u_{BE} > 0$  și  $u_{BC} > 0$ . Se va considera circuitul din figura 3.37 care permite aducerea tranzistorului în saturație. În partea a doua a figurii este reprezentat circuitul echivalent obținut prin înlocuirea TB cu modelul de transport (din figura 3.36.b).



**Fig. 3.37.** a) Inversorul cu TB, b) schema echivalentă pentru studiul saturației.

După cum s-a arătat la studiul inversorului cu TB, circuitul analizat permite tranzistorului să funcționeze în regim de blocare, în RAN sau în saturație în funcție de valorile componentelor. Se consideră circuitul de polarizare al colectorului fixat ( $U_{CC}$  și  $R_C$  nu se modifică). Regimul de funcționare al TB se poate modifica din circuitul de polarizare al bazei ( $U_{BB}$  și/sau  $R_B$ ).

Conform tabelului 3.1, tranzistorul este blocat pentru  $U_{BB}=0$  și se află în RAN pentru  $u_{BC}<0$  (sau  $u_{CE}>u_{BE}$ ). La trecerea din RAN în saturație  $u_{BC}=0$  și  $u_{CE}=u_{BE}$ .

La **limita intrării în saturație** a TB curenții prin tranzistor sunt:

$$I_{C\text{sat}0} = \frac{U_{CC} - u_{BE}}{R_C}, \quad I_{B\text{sat}0} = \frac{I_{C\text{sat}0}}{\beta_N}, \quad (3.120)$$

Curentul de bază s-a determinat din schema echivalentă ținând cont că dioda bază-colector  $D_{BC}$  este polarizată la o tensiune nulă ( $u_{BC}=0$ , limita intrării în saturație), curentul prin această diodă este nul  $i_{BC}=0$ , deci  $i_{BE}=i_B$  și  $i_C=\beta_N i_{BE}$ .

Pe de altă parte curentul de bază este determinat în principal de circuitul de polarizare al bazei conform T2K aplicată pe bucla de intrare a TB (cu  $u_{BE}$  aproximativ constantă  $u_{BE} \cong U_{BE}$ ):

$$I_B = \frac{U_{BB} - U_{BE}}{R_B}. \quad (3.121)$$

**Creșterea curentului de bază** peste valoarea  $I_{B\text{sat}0}$ , prin creșterea  $U_{BB}$  sau scăderea  $R_B$ , conduce la intrarea tranzistorului în saturație. Surplusul de curent care apare  $\Delta I_B = I_B - I_{B\text{sat}0}$  deschide dioda  $D_{BC}$ . În aceste condiții, diodele  $D_{BE}$  și  $D_{BC}$  sunt deschise amândouă și între colectorul și emitorul tranzistorului apare o cale de joasă impedanță (diodele deschise pot fi echivalate cu surse de tensiune cu rezistență internă mică). Ca urmare, tensiunea colector-emitor  $U_{CE}$  este mică:

$$U_{BC} > 0 \quad \Rightarrow \quad U_{CE} = U_{BE} - U_{BC} < U_{BE}. \quad (3.122)$$

**Modelele tranzistoarelor** saturate sunt cele prezentate la începutul capitolului, în figura 3.6.

**Curentul de colector în saturație** este aproximativ constant. Pentru circuitul din figura 3.37, limitele curentului  $I_{C\text{sat}}$  se determină pentru cazurile limită,  $u_{BC}=0$  și respectiv  $u_{CE}=0$ :

$$I_{C\text{sat}0} \leq I_{C\text{sat}} < I_{C\text{max}} \quad \text{sau} \quad \frac{U_{CC} - U_{BE}}{R_C} \leq I_{C\text{sat}} < \frac{U_{CC}}{R_C}; \quad (3.123)$$

pentru  $U_{BE} \ll U_{CC}$  (cazul uzual), curentul de saturație  $I_{C\text{sat}}$  este aproximativ constant.

Un **criteriu de apreciere al saturației**, utilizabil în cazul circuitelor practice este:

$$I_B > I_{B\text{sat}} \left( \cong \frac{I_{C\text{sat}}}{\beta_N} \right) \quad \text{sau} \quad I_B > \frac{U_{CC}}{R_C \cdot \beta_N}, \quad (3.124)$$

cu  $I_B$  calculat conform relației (3.121). La îndeplinirea criteriului de mai sus tranzistorul este saturat, în caz contrar este în RAN.

Gradul de saturație se poate aprecia prin **factorul de supracomandă** în bază:

$$S_B = \frac{I_B}{I_{B\text{sat}0}} \cong I_B \cdot \frac{R_C}{U_{CC}} \cdot \beta_N \quad (\text{în saturație } S_B > 1). \quad (3.125)$$

Un alt parametru utilizat pentru a determina gradul de saturație este raportul dintre curenții de colector și de bază, numit **factor de amplificare forțat** (de circuitul extern tranzistorului):

$$\beta_{\text{fortat}} = I_C / I_B. \quad (3.126)$$

TB este în saturație dacă  $\beta_{\text{fortat}} < \beta_N$ . Pentru a realiza o saturație fermă a tranzistorului, se alege adesea  $\beta_{\text{fortat}} = 10 \dots 20$ . Tensiunea colector-emitor în saturație  $U_{CE\text{sat}}$  scade odată cu scăderea factorului de amplificare forțat.

Tensiunea  $U_{CEsat}$  se poate calcula pe baza modelului Ebers-Moll. Deoarece tensiunile  $U_{BE}$  și  $U_{BC}$  sunt ambele pozitive și mult mai mari decât  $U_T$ , în ecuațiile (3.115) și (3.116) termenii exponențiali sunt mult mai mari decât unitatea. Cu aceste aproximații și dacă se înlocuiește  $i_B = I_B$  și  $i_C = \beta_{forțat} I_B$  rezultă un sistem de două ecuații care se poate rezolva pentru a obține  $U_{BE}$  și  $U_{BC}$ , iar tensiunea  $U_{CEsat}$  este diferența acestor două tensiuni:

$$U_{CEsat} = U_T \ln \frac{1 + (\beta_{forțat} + 1) / \beta_I}{1 - \beta_{forțat} / \beta_N}. \quad (3.127)$$

Această relație poate fi utilizată pentru a calcula dependența tensiunii  $U_{CEsat}$  de  $\beta_{forțat}$ .

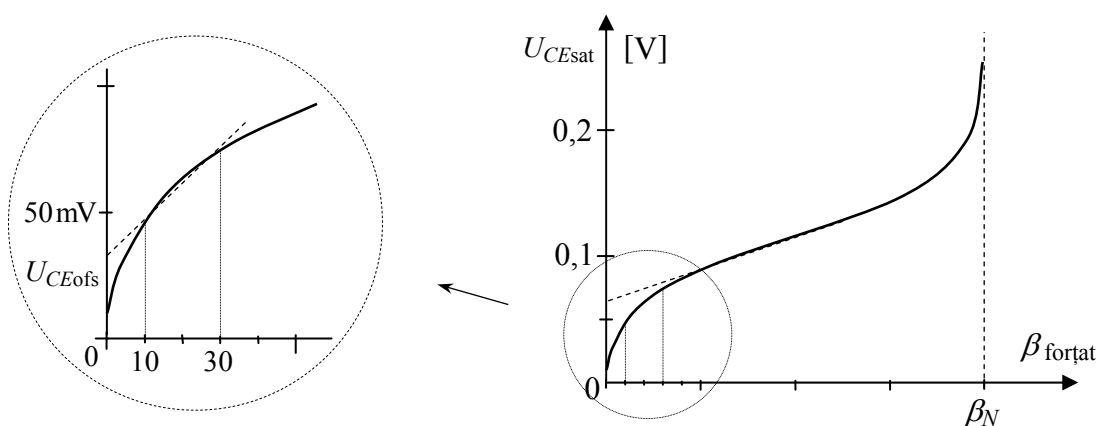
### Exemplu

a) Să se determine tensiunea  $U_{CEsat}$  la un TB ai cărui factori de amplificare sunt  $\beta_N = 200$  și  $\beta_I = 2$  pentru  $\beta_{forțat} = 180 \dots 1$  (90...0,5% din  $\beta_N$ ). Cum se modifică tensiunea de saturație,  $U_{CEsat}$ , dacă tranzistorul este conectat inversat, pentru  $\beta_{forțat} = 1,8 \dots 0,1$  (90...5% din  $\beta_I$ ) ?

b) Să se refacă analiza de la punctul a) pentru un tranzistor cu  $\beta_N = 200$  și  $\beta_I = 10$ .

Tensiunea de saturație  $U_{CEsat}$  se calculează cu relația (3.127).

Rezultatele pentru punctul a) se centralizează în prima parte a tabelului următor (primele două linii). Pe baza acestor rezultate s-a trasat și graficul alăturat, în care s-a reprezentat variația tensiunii de saturație  $U_{CEsat}$  în raport cu  $\beta_{forțat}$ .



$\beta_N = 200, \beta_I = 2$	$\beta_{forțat}$	200	195	180	150	100	50	30	10	2	1	0
	$U_{CEsat}$ [mV]	$\infty$	207	170	143	116	89	74	48	23	17	10
	$\beta_{forțat}$ (invers)	2	1,95	1,8	1,5	1	0,5	0,3	0,1			
	$U_{ECsat}$ [mV]	$\infty$	93	58	35	18	7,4	4,2	1,4			
$\beta_N = 200, \beta_I = 10$	$\beta_{forțat}$	200	195	180	150	100	50	30	10	2	1	0
	$U_{CEsat}$ [mV]	$\infty$	168	131	104	78	52	39	20	6,8	4,7	2,4
	$\beta_{forțat}$ (invers)	1,99	1,95	1,8	1,5	1	0,5	0,3	0,1			
	$U_{ECsat}$ [mV]	5,9	5,8	5,3	4,4	2,9	1,5	0,9	0,4			

Deoarece  $i_C = \beta_{\text{forțat}} I_B$ , pentru  $I_B$  constant,  $\beta_{\text{forțat}}$  este proporțional cu  $i_C$  și curba din figură este practic caracteristica  $u_{CE} - i_C$  pentru un curent de bază  $I_B$  constant (pentru domeniul curenților  $i_C$  mici). Valoarea infinită a tensiunii  $U_{CE\text{sat}}$  obținută în tabel (și în grafic) pentru  $\beta_{\text{forțat}} = \beta_N$  semnifică faptul că tranzistorul este în RAN. Figura arată în plus și independența tensiunii  $u_{CE}$  de  $i_C$  în regim activ de funcționare. Pe măsură ce  $\beta_{\text{forțat}}$  se reduce, tranzistorul intră în saturație mai profundă,  $U_{BC}$  crește și  $U_{CE\text{sat}}$  scade. Pentru  $\beta_{\text{forțat}} = 0$ , ceea ce corespunde colectorului în gol ( $i_C = 0$ ), se obține o valoare mică a tensiunii  $U_{CE\text{sat}}$ . Această valoare reprezintă tensiunea remanentă (de offset)  $U_{CE\text{ofs}}$  pe tranzistorul care funcționează ca un comutator (conform zonei detaliate a figurii). În figură s-au trasat cu linie punctată și posibile caracteristici liniarizate, cu care se poate aproxima curba analizată. Se poate constata că aceste caracteristici liniarizate estimează o valoare mai mare a tensiunii de offset.

Trebuie precizat că tensiunea  $U_{CE\text{sat}}$  calculată cu (3.127) este mai mică decât tensiunea de saturație măsurată, deoarece nu ține seama de căderea de tensiune pe rezistența serie a materialului semiconductor al regiunii de colector  $r_C$ , cădere de tensiune proporțională cu curentul  $I_C$ .

Tranzistorul funcționează inversat atunci când are colectorul legat spre masă și emitorul legat printr-o rezistență ( $R_C$  în cazul circuitului din figura 3.37.a) spre plusul sursei de alimentare. În acest caz  $\beta_{\text{forțat}} = -I_E/I_B$ . Pentru a determina tensiunea de saturație  $U_{EC\text{sat}}$  a acestui circuit, se poate utiliza relația (3.127) în care se schimbă între ele valorile factorilor de amplificare:  $\beta_N \leftrightarrow \beta_I$ . Rezultatele obținute sunt prezentate în liniile 3 și 4 ale tabelului anterior. Se remarcă valorile sensibil mai mici ale tensiunilor de saturație obținute în acest caz, față de cazul saturației pentru tranzistorul conectat normal. Pentru a obține aceste tensiuni mici trebuie să fie utilizat un curent de comandă mult mai mare decât curentul comandat  $I_B \gg (-I_E)$ , de exemplu  $\beta_{\text{forțat}} = 0,1$  înseamnă  $I_B = 10(-I_E)$ , caz în care rezultă o tensiune  $U_{EC\text{sat}}$  ceva mai mare de 1 mV. Datorită tensiunii de saturație foarte mici, tranzistorul conectat inversat poate fi utilizat pentru comutarea semnalelor analogice în circuite de conversie a datelor. Dezavantajul unei astfel de regim de funcționare al tranzistorului este timpul relativ lung de comutare din saturație în blocare.

Pentru un tranzistor al cărui factor  $\beta_I$  este mai mare, tensiunile de saturație rezultate sunt mai mici, după cum se poate constata dacă se compară cea de-a doua parte a tabelului cu prima parte a acestuia (linia 6 cu linia 2 și linia 8 cu linia 4). Prin urmare, tranzistoarele de comutație, a căror tensiune de saturație trebuie să fie mică, au un factor  $\beta_I$  relativ mare și o rezistență serie (a materialului semiconductor din regiunea de colector)  $r_C$  cât mai mică. Parametrii tranzistorului considerat la punctul b) al problemei corespund unui astfel de tranzistor (2N2222).

### 3.6.6 Comutarea tranzistorului

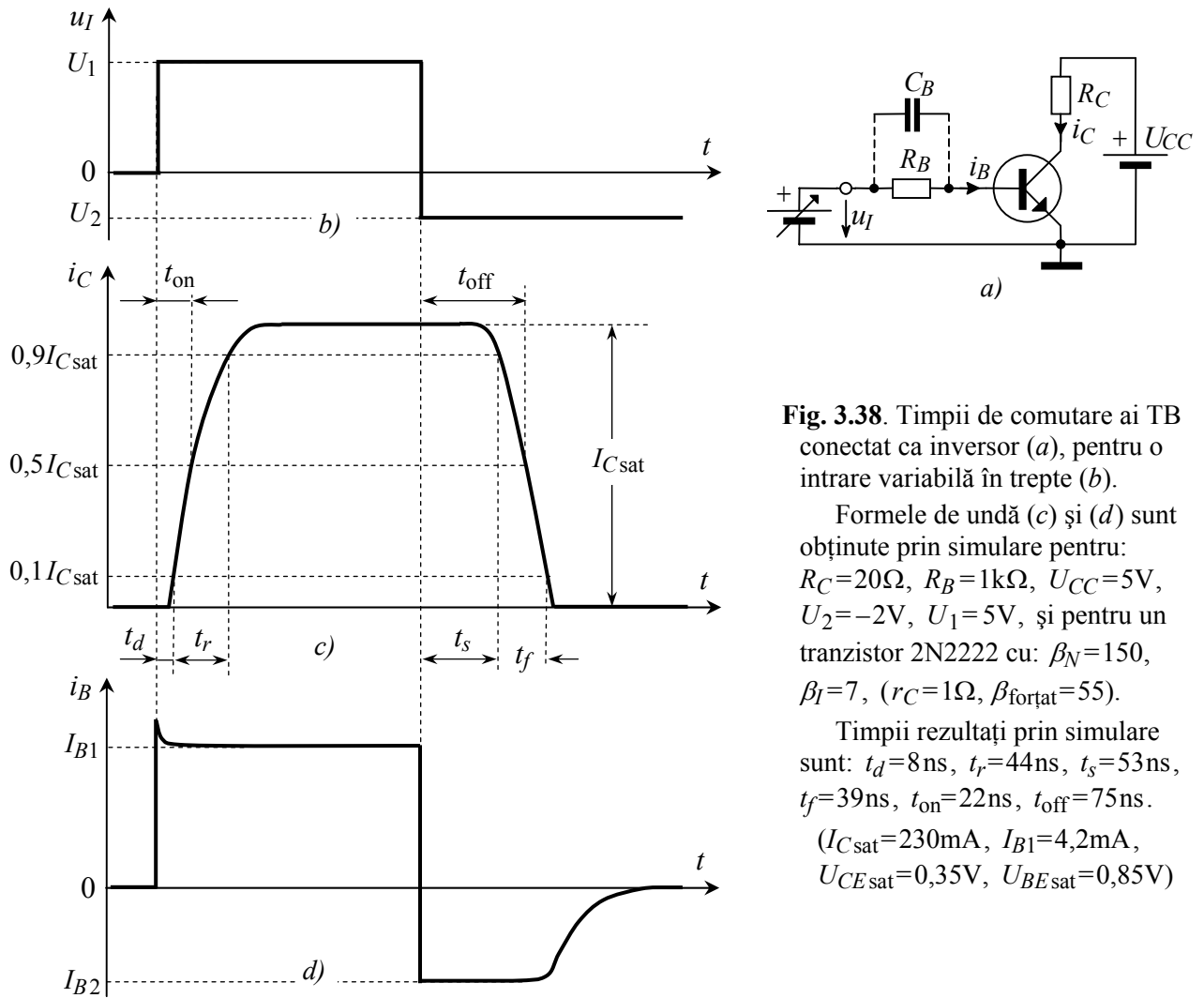
Se consideră inversorul cu tranzistor bipolar (TB) din 3.38.a căruia i se aplică la intrare o tensiune  $u_I$  variabilă în trepte ca în figura 3.38.b. Prin **comutare directă** se înțelege trecerea tranzistorului din blocare în saturație și prin **comutare inversă** trecerea din saturație în blocare. Analiza comutării tranzistorului se poate face destul de exact pe baza ecuațiilor metodei sarcinii, obținute prin integrarea ecuațiilor de continuitate pentru purtătorii minoritari scrise în regiunile neutre ale bazei și colectorului [1]. În locul acestei metode laborioase, care presupune cunoștințe de fizica corpului solid care depășesc cadrul acestei lucrări, se preferă analiza simplificată a fenomenelor, urmată de simularea circuitelor (pentru validarea rezultatelor).

În figura 3.38 s-au reprezentat formele de undă ale curenților prin tranzistor sincrone în timp cu forma de undă a tensiunii de intrare. Atunci când tensiunea de intrare  $u_I$  crește de la zero la  $U_1$ , se constată că apare un curent de colector semnificativ doar după un timp  $t_d$  (timp de întârziere –

*delay time* în engleză). Această întârziere este timpul necesar pentru încărcarea capacității de intrare a tranzistorului de la zero până la tensiunea de polarizare directă  $u_{BE} \cong 0,7V$ . Urmează apoi o creștere exponențială a curentului de colector spre valoarea finală  $\beta_N I_{B1}$ , unde  $I_{B1}$  este curentul injectat în bază de circuitul exterior:

$$I_{B1} = \frac{U_1 - U_{BE}}{R_B}. \quad (3.128)$$

Datorită saturației, curentul de colector nu va ajunge la  $\beta_N I_{B1}$ , ci se va limita la  $I_{Csat} \cong U_{CC}/R_C$ . Viteza de comutare directă poate fi apreciată cu ajutorul timpului de creștere  $t_r$  (*rise time* în engleză) sau prin intermediul timpului de deschidere al tranzistorului  $t_{on}$ , a căror valoare se determină conform figurii. (S-au preluat indicii de la denumirile din limba engleză deoarece în limba română termenii *creștere* și *cădere* au aceeași inițială).



**Fig. 3.38.** Timpii de comutare ai TB conectat ca inversor (a), pentru o intrare variabilă în trepte (b).

Formele de undă (c) și (d) sunt obținute prin simulare pentru:

$R_C=20\Omega$ ,  $R_B=1k\Omega$ ,  $U_{CC}=5V$ ,  $U_2=-2V$ ,  $U_1=5V$ , și pentru un tranzistor 2N2222 cu:  $\beta_N=150$ ,  $\beta_I=7$ , ( $r_C=1\Omega$ ,  $\beta_{for\text{at}}=55$ ).

Timpii rezultați prin simulare sunt:  $t_d=8ns$ ,  $t_r=44ns$ ,  $t_s=53ns$ ,  $t_f=39ns$ ,  $t_{on}=22ns$ ,  $t_{off}=75ns$ .

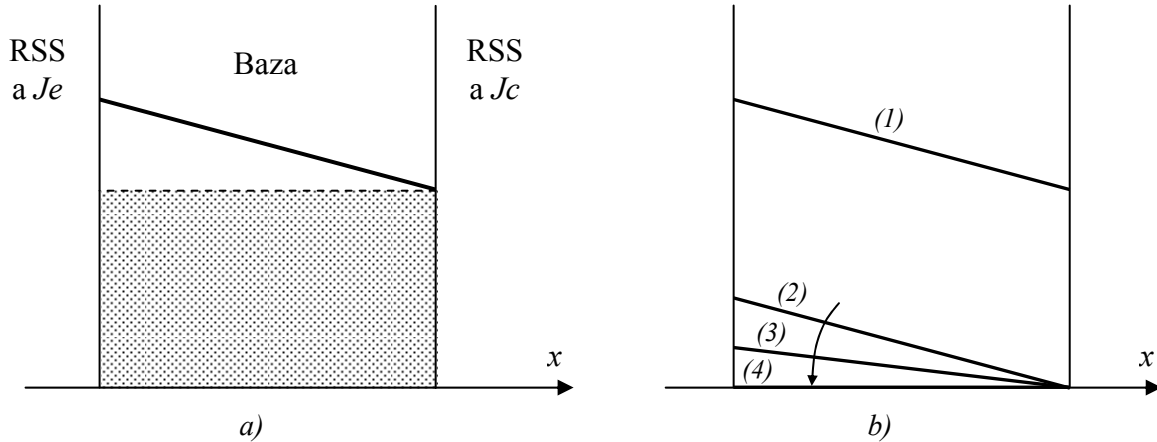
( $I_{Csat}=230mA$ ,  $I_{B1}=4,2mA$ ,  $U_{CEsat}=0,35V$ ,  $U_{BEsat}=0,85V$ )

Durata mare de blocare se poate explica dacă se analizează distribuția purtătorilor minoritari din baza tranzistorului, schițată în figura 3.39. Purtătorii minoritari difuzează prin bază (dinspre emitor spre colector) și, conform relației (2.49), curentul de difuzie este proporțional cu gradientul concentrației de impurități, deci cu panta drepte care arată profilul de impurități în baza tranzistorului. Deoarece joncțiunea colectorului este și ea polarizată direct, concentrația purtătorilor minoritari în vecinătatea colectorului va fi nenulă. Sarcina suplimentară din bază, hașurată în figură, nu participă la formarea curentului de colector, ci se datorează surplusului de curent injectat din circuitul exterior în baza tranzistorului (pentru a-l aduce în saturație). Cu cât este mai mare factorul de supracomandă în bază, cu atât este mai mare excesul de purtători în bază. De fapt, această

sarcină, numită **sarcină în exces în bază** (sau de saturație)  $Q_s$ , este proporțională cu surplusul de curent în bază,  $\Delta I_B = I_{B1} - I_{Bsat}$  (cu  $I_{Bsat} = I_{Csat} / \beta_N$ ):

$$Q_s = \tau_s \Delta I_B = \tau_s (I_{B1} - I_{Bsat}), \quad (3.129)$$

unde  $\tau_s$  este un parametru al tranzistorului, numit **constantă de timp de stocare**.



**Fig. 3.39.** a) Profilul concentrației purtătorilor minoritari în baza unui tranzistor saturat. Aria hașurată reprezintă sarcina în exces (de saturație). b) La blocarea tranzistorului sarcina în exces trebuie să dispară prima. În acest timp profilul se schimbă de la dreapta (1) la dreapta (2). Apoi profilul scade spre zero – dreapta (4), iar curentul de colector scade exponențial spre zero.

### Timpul de stocare

Comutarea inversă a tranzistorului începe din momentul în care tensiunea de comandă  $u_I$  comută la valoarea negativă  $U_2$ . Curentul de colector nu se modifică pe durata extragerii din bază a sarcinii în exces. În acest timp, numit **timp de stocare**  $t_s$ , profilul purtătorilor minoritari din bază se modifică conform figurii 3.39.b, de la dreapta (1) la dreapta (2). După cum se constată din figura 3.38.d, curentul de bază devine negativ, deoarece  $u_{BE}$  rămâne aproximativ 0,7V în timp ce tensiunea  $u_I$  devine negativă,  $u_I = U_2$ . Curentul invers  $I_2$  ajută la îndepărtarea mai rapidă a sarcinii suplimentare  $Q_s$  din bază (în absența acestui curent, sarcina  $Q_s$  dispare doar datorită recombinării). Se poate arăta [1] că timpul de stocare poate fi calculat cu relația:

$$t_s = \tau_s \ln \frac{I_{B1} - I_{B2}}{I_{Bsat} - I_{B2}}, \quad \text{unde} \quad I_{Bsat} = \frac{I_{Csat}}{\beta_N} \cong \frac{U_{CC}}{\beta_N R_C}. \quad (3.130)$$

$I_{B2}$  este negativ conform figurii 3.38.d:  $I_{B2} = (U_2 - U_{BE}) / R_B$  (cu  $U_2 \leq 0$ ).

Pentru exemplul din figura 3.38,  $I_{B2} = (-2 - 0,85) / 1k = -2,85mA$ ,  $I_{Bsat} = 230m / 150 \cong 1,53mA$  și  $\tau_s$  se poate exprima din (3.130):  $\tau_s = 53n / \ln[(4,2m + 2,85m) / (1,53m + 2,85m)] = 111ns$ .

După ce sarcina suplimentară a fost extrasă, curentul de colector scade exponențial cu o constantă de timp care depinde de capacitățile joncțiunilor. În acest timp panta profilului de impurități scade spre zero, conform figurii 3.39.b. În final,  $i_B$  scade la zero, atunci când capacitatea joncțiunii de emitor  $Je$  se încarcă la tensiunea negativă  $U_2$  (la blocare  $Je$  va fi polarizată invers).

O metodă de reducere a timpilor de comutație, constă din introducerea unui condensator  $C_B$  în paralel cu rezistența  $R_B$  (figura 3.38.a). Valoarea acestuia se calculează astfel încât variația sarcinii în condensator (la comutația inversă) să fie cel puțin egală cu sarcina stocată în bază:  $Q_C \geq Q_s$  sau  $C_B (U_1 - U_2) \geq \tau_s (I_{B1} - I_{Bsat})$ , de unde rezultă:

$$C_B \geq \frac{\tau_s}{U_1 - U_2} \left( \frac{U_1 - U_{BE}}{R_B} - \frac{U_{CC}}{\beta_N R_C} \right). \quad (3.131)$$

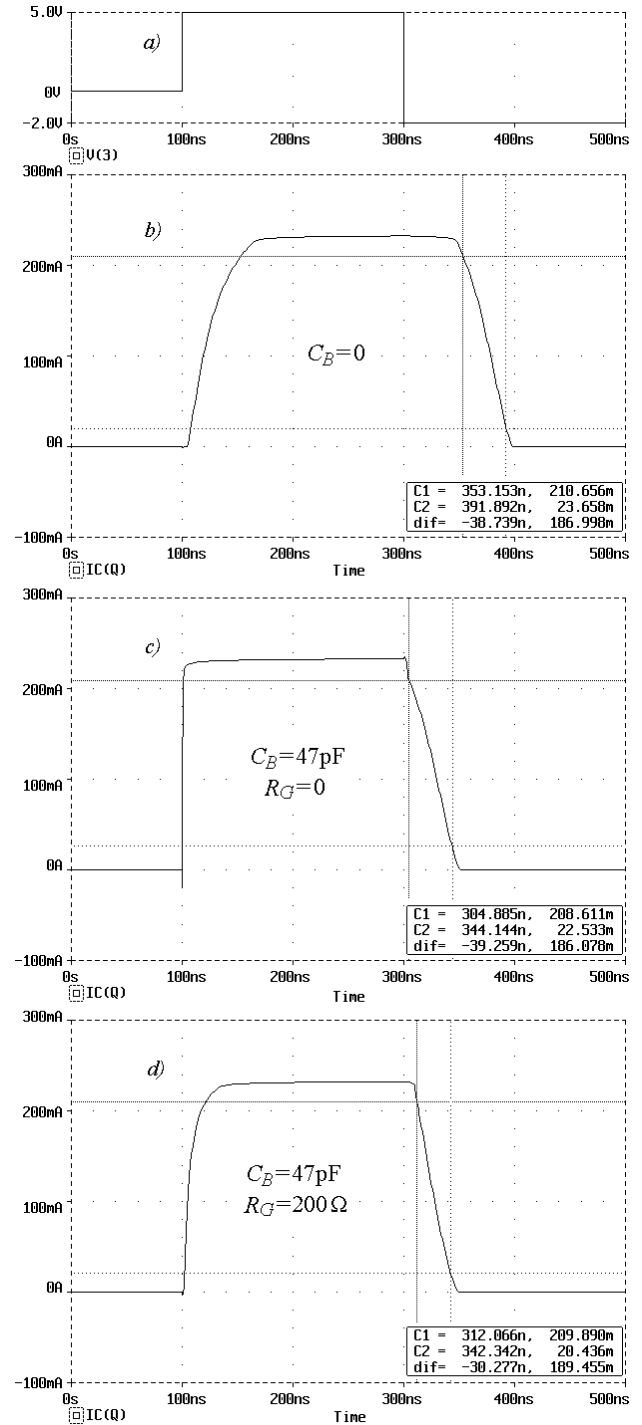
Pentru exemplul din figura 3.38, rezultă:  
 $C_B \geq 111n(4,2m - 1,53m)/7 = 42pF$ . Dacă se simulează din nou circuitul din figura 3.38.a, cu  $C_B = 47pF$ , se constată (figura 3.40.c) că timpii de comutare directă se reduc practic la zero:  $t_d = 0$  și  $t_r, t_{on} < 1ns$ . Accelerarea comutării directe se datorează impulsului de curent de comandă care apare la încărcarea capacității  $C_B$ , produs de frontul abrupt al tensiunii de intrare.

Față de situația fără condensator (comparând figurile c și b), se constată că timpul de cădere  $t_f$  rămâne practic nemodificat (la 39ns) și timpul de blocare  $t_{off}$  scade de aproape trei ori (de la 75ns la 27ns) pe seama scăderii apreciabile a timpului de stocare  $t_s$  (de la 53ns la 5ns; în figură, timpul de stocare este timpul de la frontul căzător al  $u_I$ , 300ns, la cursorul C2).

Formele de undă rezultă pentru un impuls de intrare cu timpi de creștere și de cădere neglijabili de mici față de timpii de răspuns ai tranzistorului și considerând că sursa de intrare poate furniza impulsuri de curent apreciabile (care apar prin condensatorul  $C_B$  în timpul comutațiilor), sau cu alte cuvinte, pentru o sursă cu rezistență internă neglijabilă. Nici una dintre aceste ipoteze nu este satisfăcută de multe dintre circuitele practice. Efectul rezistenței finite a sursei de semnal ( $R_G = 200\Omega$ , 20% din  $R_B$ , considerată în serie cu tensiunea  $u_I$  din figura 3.38.a) este prezentat în figura 3.40.d. Comparând această situație cu situația idealizată din figura 3.40.c (cu  $R_G = 0$ ) se constată o creștere a timpilor de comutare directă:  $t_r = 19ns$ ,  $t_{on} = 6ns$ , timpul de blocare  $t_{off} = 24ns$  scade puțin, și timpul de stocare crește,  $t_s = 12ns$ .

În orice caz, condensatorul  $C_B$  conduce la o reducere semnificativă a timpilor de comutare.

**În concluzie**, pentru tranzistorul bipolar în saturație, cel mai important element de limitare a vitezei de comutare a tranzistorului este timpul de stocare  $t_s$ , a cărui valoare este proporțională cu gradul de saturație al tranzistorului. Pentru a obține **circuite care comută rapid**, saturația trebuie evitată, sau gradul de saturație trebuie să fie cât mai redus, sau se utilizează un condensator de accelerare în circuitul bazei.



**Fig. 3.40.** Inversorul cu TB saturat.

Variația curentului de colector în timp pentru diferite configurații la intrare.



### 3.7 CARACTERISTICI ALE TRANZISTORULUI BIPOLAR

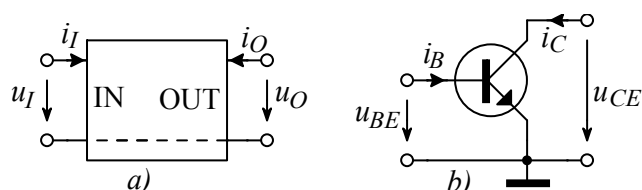
#### 3.7.1 Caracteristicile statice

Caracteristicile statice ale tranzistorului exprimă legătura dintre tensiunile aplicate și curenții care circulă prin tranzistor în regim static (în curent continuu – *cc*).

Trasarea caracteristicilor statice se face experimental, prin conectarea tranzistorului într-un circuit care permite măsurarea tensiunilor și curenților prin tranzistor. Tranzistorul, considerat ca fiind o "cutie neagră", adică un obiect la care prezintă interes comportarea la borne, poate fi încadrat în categoria cuadripolilor. Cuadripolii sunt circuite cu 4 borne de acces. În cazul de față prezintă interes cuadripolii cu două porți denumite intrare și ieșire. Mărimile electrice de la bornele de intrare, respectiv ieșire sunt marcate în figura 3.41.a cu indicii  $I$ , respectiv  $O$ .

**Fig. 3.41.** TB privit ca un cuadripol.

- a) schema bloc a unui cuadripol,
- b) TB tip *nnp* în conexiunea EC.



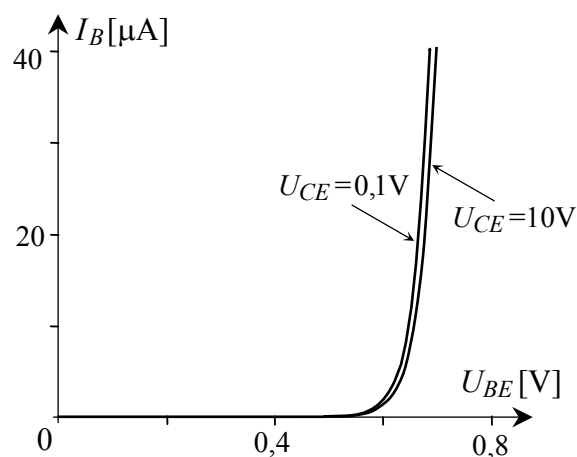
Caracteristicile statice ale cuadripolilor reprezintă relația (grafică) dintre trei mărimi: una în abscisă, una în ordonată și cealaltă considerată ca parametru. Caracteristicile cuadripolilor pot fi:

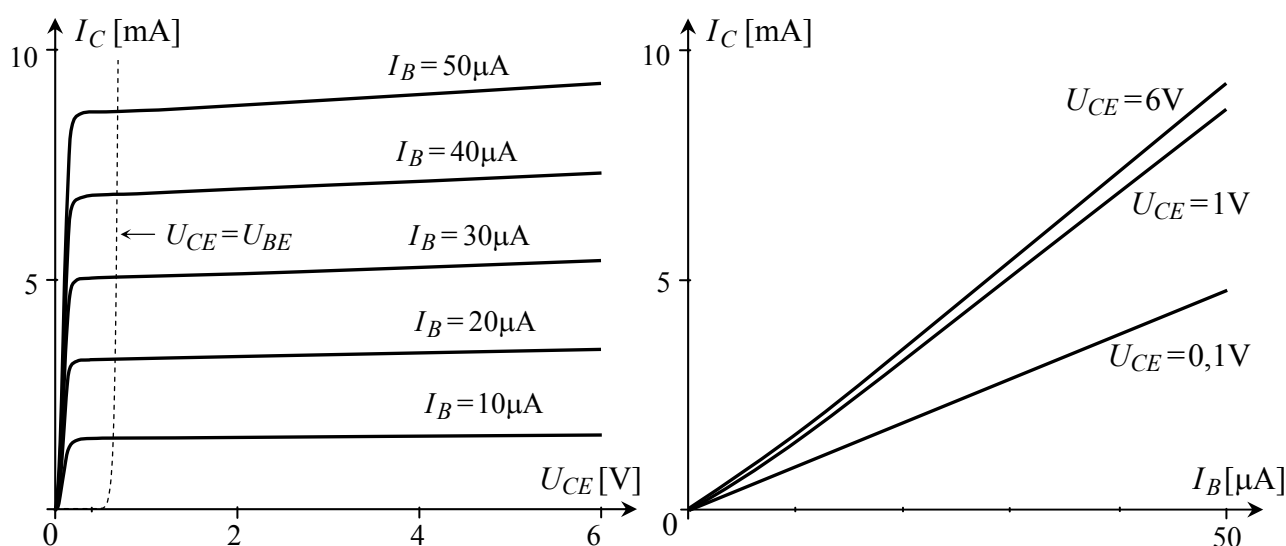
- de ieșire:  $i_O = f(u_O)$  cu  $I_I$  parametru ( $i_I = \text{constant}$  pentru fiecare curbă), sau cu  $U_I$  parametru,
- de intrare:  $i_I = f(u_I)$  cu  $U_O$  parametru,
- de transfer:  $i_O = f(i_I)$  cu  $U_O$  parametru. În general caracteristica de transfer este o mărime de ieșire funcție de o mărime de intrare cu cealaltă mărime de ieșire parametru.

Pentru a putea considera TB ca un cuadripol este necesar ca un terminal să fie comun intrării și ieșirii cuadripolului. Acest terminal reprezintă masa electrică a montajului și va fi considerat referință de potențial. Terminalul conectat la masă determină conexiunea tranzistorului. În cazul conexiunii emitor comun (EC), emitorul este la masă, intrarea este între bază și emitor iar ieșirea între colector și emitor, conform figurii 3.41.b. Pentru trasarea caracteristicilor statice, schema simplificată din figura 3.41.b este completată cu surse de alimentare reglabile și aparate de măsură. La tranzistorul de tip *nnp*, caracteristicile statice (obținute prin simularea circuitului realizat cu un tranzistor de tip 2N2222) sunt prezentate în figurile 3.42 și 3.43. În planul caracteristicilor de ieșire din figura 3.43.a s-a trasat cu linie punctată și curba  $U_{CE} = U_{BE}$ , care delimitează regiunea activă normală (RAN, cu  $U_{CE} > U_{BE}$ ) de saturație.

**Fig. 3.42.** Caracteristicile de intrare ale tranzistorului *nnp* în conexiunea EC.

- Caracteristica de intrare este de fapt caracteristica unei diode. Variația tensiunii  $U_{BE}$  cu  $I_C$  este mică ( $U_{BE} = 0,5 \dots 0,7\text{V}$  pentru  $I_C = 0,02 \dots 40\text{mA}$ ).
- Modificarea tensiunii  $U_{CE}$ , parametru la care se trasează curba, produce un efect nesemnificativ; Caracteristica etichetată în figură cu  $U_{CE} = 10\text{V}$  este practic aceeași pentru  $U_{CE} = 0,5 \dots 20\text{V}$  (în RAN).





**Fig. 3.43.** Caracteristicile statice ale TB (*npn*, în conexiunea EC): a) de ieșire, b) de transfer.

- Caracteristicile de ieșire în RAN ( $U_{CE} > U_{BE}$ ) depind puternic de  $I_B$  și foarte puțin de  $U_{CE}$ .
- Caracteristica de transfer în RAN depinde puțin de  $U_{CE}$ , în saturație dependența este mai accentuată.
- La ambele familii de caracteristici se observă proporționalitatea curentului de colector față de  $I_B$ .

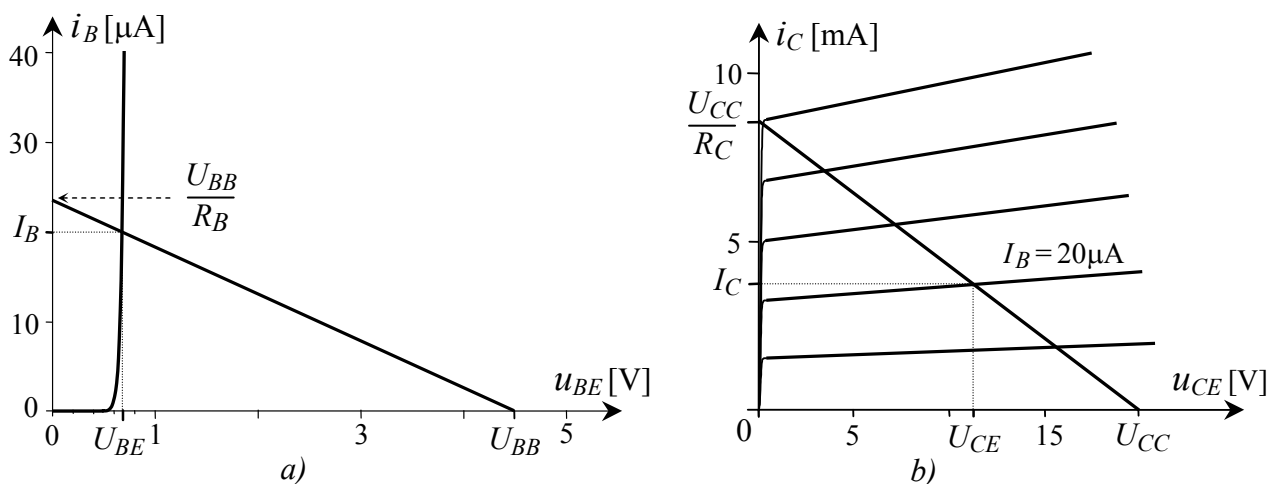
### Determinarea *psf* din caracteristicile statice

Pentru polarizarea tranzistorului în RAN trebuie asigurată polarizarea directă a joncțiunii de emitor și polarizarea inversă a joncțiunii de colector. Cea mai directă soluție de polarizare este utilizarea a două circuite de polarizare distincte pentru bază și colector ca în figura 3.37.a. Dacă se cunosc caracteristicile statice ale tranzistorului atunci punctul static de funcționare (*psf*) poate fi determinat prin **metoda grafo-analitică** (care va fi prezentată în continuare).

T2K scrisă în circuitul de intrare reprezintă ecuația unei drepte în planul  $i_B, u_{BE}$ :

$$U_{BB} = R_B \cdot i_B + u_{BE} . \quad (3.132)$$

Familia caracteristicilor de intrare se reduce practic la o singură caracteristică, deoarece valoarea tensiunii de ieșire  $U_{CE}$  nu influențează semnificativ intrarea (conform figurii 3.42). La intersecția dintre dreapta definită de ecuația (3.132) și caracteristica de intrare rezultă (grafic) mărimile de polarizare ale circuitului de intrare al tranzistorului ( $U_{BE}$  și  $I_B$ ) ca în figura 3.44.a.



**Fig. 3.44.** Determinarea *psf* din caracteristicile statice ale TB: a) la intrare, b) la ieșire.

Dreptele corespunzătoare circuitelor de polarizare s-au trasat prin "tăieturi"; punctele de coordonate  $\{0, U_{BB}/R_B\}$  și  $\{U_{BB}, 0\}$  la intrare, respectiv  $\{0, U_{CC}/R_C\}$  și  $\{U_{CC}, 0\}$  la ieșire.

T2K aplicată în circuitul de ieșire, numită **dreaptă de sarcină statică** (în *cc*), este:

$$U_{CC} = R_C \cdot i_C + u_{CE}. \quad (3.133)$$

La intersecția dintre dreapta statică de sarcină și caracteristica de ieșire corespunzătoare curentului  $I_B$  determinat anterior, rezultă coordonatele *psf* în circuitul de ieșire ( $I_C$  și  $U_{CE}$ ), ca în figura 3.44.b. În cazul în care nu există nici o caracteristică având ca parametru valoarea curentului  $I_B$ , se trasează o astfel de caracteristică prin interpolarea caracteristicilor existente.

Metoda grafo-analitică se utilizează rar deoarece este laborioasă și presupune cunoașterea prealabilă a caracteristicilor statice ale tranzistorului. În practică, se preferă metodele analitice de calcul ale *psf* care utilizează modelele liniarizate de semnal mare ale TB prezentate anterior.

### 3.7.2 Caracteristicile de catalog ale TB

În cataloagele de componente electronice sunt precizate cel puțin valorile limită admisibile, tipul capsulei și unele dintre caracteristici electrice și termice ale tranzistoarelor. Foile de catalog detaliate conțin și curbe de variație ale unor caracteristici tipice ale tranzistorului. Înțelegerea acestor caracteristici permite alegerea tranzistoarelor celor mai potrivite pentru o anumită aplicație.

Un tranzistor se conectează în circuit ținând seama de configurația terminalelor și de tipul capsulei. Pe desenul capsulei din catalog sunt trecute și dimensiunile mecanice ale acesteia.

**Valorile limită absolute** reprezintă valorile maxime ale tensiunilor ce pot fi aplicate, a curenților pe care îi suportă sau a puterii disipate admisibile pentru un anumit tranzistor (identificat cu un anumit cod). Aceste valori limită sunt suportate de orice componentă cu codul respectiv. Unele dintre componentele marcate cu acel cod vor suporta și valori mai mari (decât cele date în catalog), însă producătorul nu garantează acest lucru și de aceea trebuie ca circuitele să fie proiectate astfel încât mărimile din circuit să nu depășească valorile precizate în catalog. Tensiunile admisibile dintre două terminale sunt precizate cu indicarea stării celui de-al treilea terminal:

- $V_{CB0}$  – tensiunea colector-bază cu emitorul în gol (Collector-Base Voltage,  $I_E=0$ );
- $V_{CE0}$  – tensiunea colector-emitor cu bază în gol (Collector-Emitter Voltage,  $I_B=0$ );
- $V_{CES}$  ( $V_{CER}$ ) – tensiunea colector-emitor cu bază scurtcircuitată la emitor (Collector-Emitter Voltage,  $U_{BE}=0$ ), sau cu o rezistență precizată conectată între bază și emitor;
- $V_{EB0}$  – tensiunea emitor-bază cu colectorul în gol (Emitter-Base Voltage,  $I_C=0$ ),

Aceste tensiuni sunt mai mici decât tensiunea de străpungere a joncțiunii respective și au valori pozitive pentru tranzistoarele *npn* și negative pentru tranzistoarele *pnp*. S-a notat și traducerea în limba engleză deoarece este utilizată în majoritatea cataloagelor și justifică indicii folosiți.

Sensul curenților este considerat a fi sensul de intrare în terminalele respective; curenții din catalog, pozitivi pentru tranzistoarele *npn* și negative pentru *pnp*, sunt:

- $I_C$  – curentul maxim de colector, valoare de curent continuu (Collector Current, *dc*);
- $I_{CP}$  ( $I_{CM}$ ) – curentul maxim de colector, valoare de vârf (Collector Current, *peak* or *pulse*);
- $I_B$  – curentul maxim de bază (Base Current);

Valorile limită termice se referă la puterea și temperaturile maxime suportate astfel:

- $P_{tot}$  ( $P_C$ ) – puterea maximă admisibilă la o temperatură a capsulei  $T_C \leq 25^\circ\text{C}$  sau o temperatură ambiantă  $T_{amb} \leq 25^\circ\text{C}$ , (Total Dissipation, or Collector Dissipation, at  $T_C$  or  $T_{amb} \leq 25^\circ\text{C}$ );
- $T_J$  – temperatura maximă admisibilă a joncțiunii (Maximum Operation Junction Temperature), la tranzistoarele cu siliciu este de obicei  $150^\circ\text{C}$ ;
- $T_{stg}$  – temperatura maximă de stocare (Storage Temperature), de obicei  $T_{stg} = -65^\circ\text{C} \dots 150^\circ\text{C}$ .

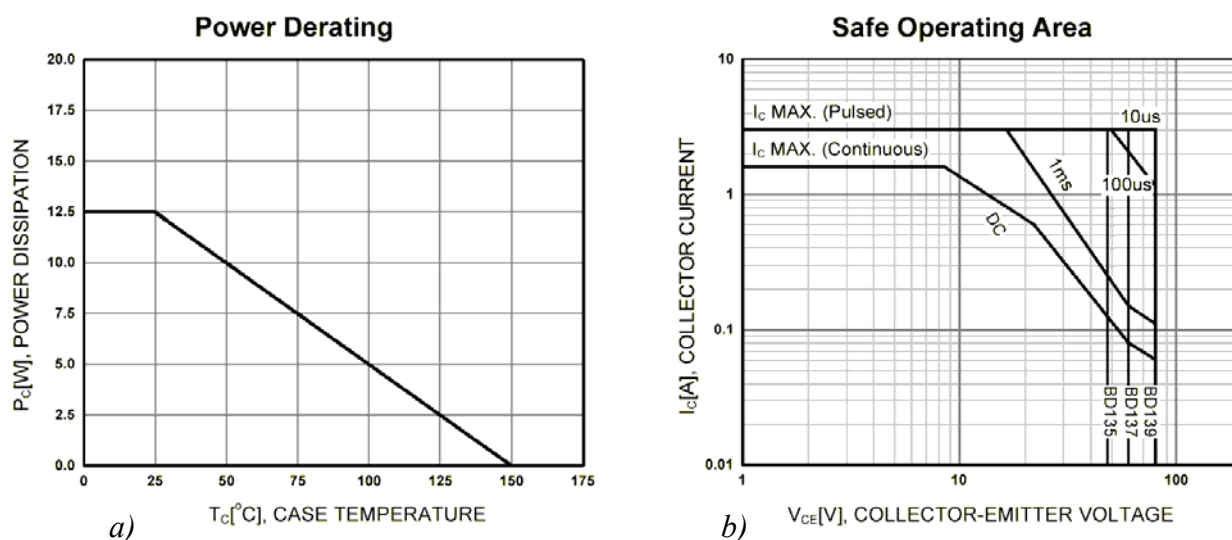
La specificarea puterii maxime sunt posibile două cazuri:

- dacă se indică temperatura capsulei (de obicei la tranzistoarelor de putere medie sau mare), se presupune existența unui radiator infinit care menține temperatura capsulei la 25°C;
- dacă se precizează temperatura ambiantă, atunci puterea indicată poate fi disipată fără radiator.

În cazul în care temperatura capsulei (sau temperatura ambiantă) este mai mare decât 25°C, puterea admisibilă se reduce corespunzător. În practică, puterea ce poate fi disipată de tranzistor, cu un radiator rezonabil și fără ventilator, este de circa trei ori mai mică decât puterea de catalog (dată ca în primul caz de mai sus, pentru  $T_C \leq 25^\circ\text{C}$ ). În foile de catalog ale tranzistoarelor este trasată curba (de fapt o dreaptă, *Derating Curve* în engleză) care indică reducerea puterii admisibile în funcție de temperatura capsulei (sau în funcție de temperatura ambiantă), figura 3.45.a.

**Caracteristicile termice** sunt precizate adesea și ca valori (de obicei maxime) ale rezistenței termice joncțiune-capsulă  $R_{thj-c}$  (utilizată la dimensionarea radiatorului) și/sau ale rezistenței termice joncțiune-ambiant  $R_{thj-a}$  (zeci... sute de  $^\circ\text{C}/\text{W}$  pentru tranzistoarele fără radiator, valori mai mari pentru capsule mai mici). Funcția liniară care face legătura între temperaturi și puterea disipată  $P_{tot}$  (figura 3.45.a) este:

$$T_J - T_C = P_{tot} R_{thj-c} \quad \text{sau} \quad T_J - T_{amb} = P_{tot} R_{thj-a} \quad (3.134)$$



**Fig. 3.45.** Exemple de caracteristici de catalog ale TB (*npn*, medie putere, tip BD135, 137, 139):

a) Reducerea puterii disipate maxime cu temperatura ( $P_{tot}=12,5\text{W}$  la  $T_C \leq 25^\circ\text{C}$ ), b) Ariile de siguranță în *cc* și în regim de impulsuri ( $I_C=1,5\text{A}$ ,  $I_{CP}=3\text{A}$ ,  $V_{CE0}=60\text{V}$  la BD137).

**Aria de siguranță** (Safe Operating Area) reprezintă limitele valorilor tensiunilor  $V_{CE}$  și curenților  $I_C$  pentru care tranzistorul prezintă un regim termic stabil și este reprezentată în foile de catalog ca un domeniu al planului  $I_C - V_{CE}$  cu axe gradate logaritmice (3.45.b). Domeniul cel mai restrictiv este pentru cazul funcționării tranzistorului în *cc*. Sunt trasate și domenii admise pentru funcționare în regim de impulsuri. Aceste domenii sunt limitate de curentul  $I_C$  maxim, tensiunea  $V_{CE}$  maximă, puterea admisibilă  $P_{tot}$  și curba străpungerii secundare. **Străpungerea secundară** se manifestă prin scăderea bruscă a tensiunii  $V_{CE}$ , apare în general la tensiuni mari și se datorează creșterii densității de curent în anumite puncte datorită neregularităților de structură, compoziție sau formă ale tranzistorului. Existând o densitate locală mare de curent cristalul se încălzește mai mult în acel punct, ceea ce îi crește conductivitatea, deci curentul prin această zonă crește și mai mult, încălzirea locală și ea, apare astfel un proces regenerativ. Factorii care favorizează apariția străpungerii secundare în regim de impulsuri sunt energia impulsului și temperatura joncțiunii.

**Caracteristicile electrice** date în cataloagele de tranzistoare indică valorile unor parametri ai tranzistorului care sunt măsurați la producător în condiții precizate. În general se indică valorile limită garantate de producător sau limitele unor parametri care delimitează categoriile comerciale de selecție ale tranzistoarelor. Sunt precizate (tabelar) valorile maxime ale curenților de blocare și ale tensiunilor de saturație măsurate la o temperatură a capsulei  $T_C = 25^\circ\text{C}$  (uneori se dau și valorile măsurate la temperatura maximă admisă  $T_J$ ):

- $I_{CB0}$  – curentul de colector în blocare cu emitorul în gol, măsurat la tensiunea  $V_{CB}$  maximă (Collector Cut-off Current,  $I_E=0$ );
- $I_{CE0}$  – curentul de colector în blocare cu baza în gol, măsurat la tensiunea  $V_{CE}$  maximă admisă (Collector Cut-off Current,  $I_B=0$ );
- $V_{CE(sat)}$  – tensiunea colector-emitor de saturație la un curent dat  $I_C$  și pentru un anumit raport  $I_C/I_B (=10, \text{ de obicei})$  (Collector-Emitter Saturation Voltage);
- $V_{BE}$  (sau  $V_{BE(on)}$ ) – tensiunea bază-emitor în RAN, măsurată la  $I_C$  și  $V_{CE}$  precizate.

**Factorul static de amplificare în curent  $\beta_N$**  (DC Current Gain), simbolizat  $h_{FE}$ , este dat la o anumită valoare a (sau pentru mai multe valori ale) curentului de colector. De obicei se indică valoarea minimă, uneori limitele extreme și valoarea tipică. Limitele extreme se dau întotdeauna atunci când se face o clasificare a tranzistoarelor în categorii comerciale (marcate pe capsulă cu o literă sau cu un grup de cifre suplimentar), în funcție de factorul de amplificare. Simbolul  $h_{FE}$  provine de la numele de “factor hibrid de amplificare directă în conexiunea EC” (Forward hybrid Factor for Common Emitter) și reprezintă un parametru de cuadripol al tranzistorului.

**Frecvența de tăiere  $f_T$**  (sau produs amplificare-bandă, Transition Frequency, Current Gain Bandwidth Product) reprezintă frecvența la care factorul static de amplificare în curent  $\beta_N$  devine unitar (în modul). De obicei se precizează valoarea minimă a acestei frecvențe (cu valori uzuale de la 1MHz la 1GHz) la un anumit curent de colector (de obicei curentul la care  $f_T$  este maximă).

Parametrii de mai sus sunt dați în aproape toate cataloagele. Uneori, mai ales pentru tranzistoare folosite la aplicații speciale (comutație, înaltă frecvență), se dau și alți parametri electrice, ca de exemplu: capacitățile interne, timpii de comutație, factorul de zgomet.

În foile de catalog ale tranzistoarelor, caracteristicile electrice sunt completate adesea cu dependențe grafic ale valorilor tipice ale parametrilor:  $V_{CE(sat)}-I_C$ ,  $V_{BE}-I_C$ ,  $f_T-I_C$ ,  $h_{FE}-I_C$  și altele.

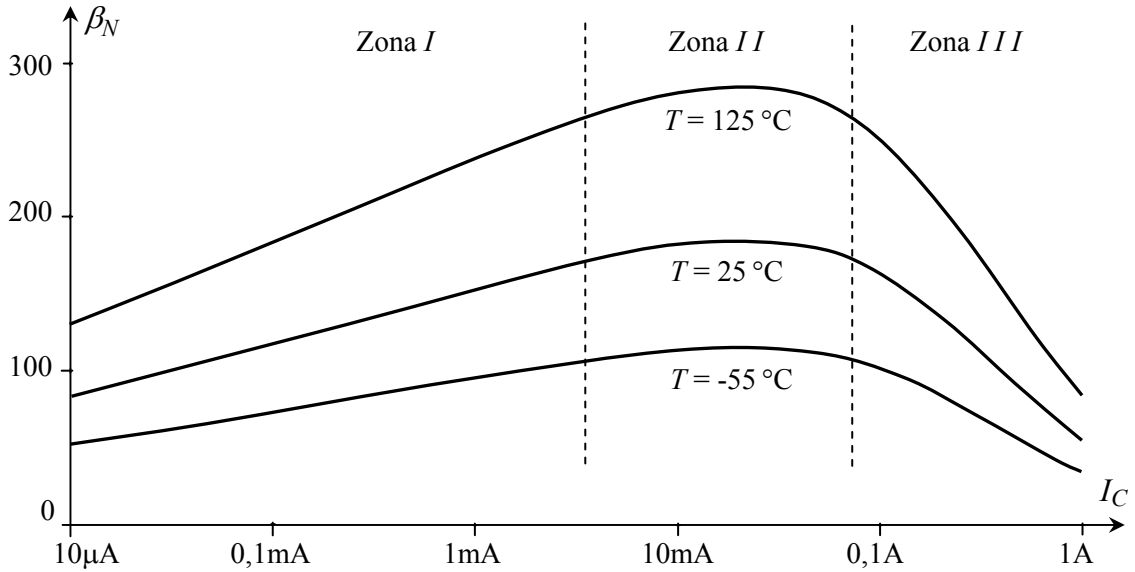
### 3.7.3 Factorul de amplificare în curent

Amplificarea în curent dintre colector și bază poate fi exprimată static –  $\beta_N$  (ca raport al curenților) sau dinamic –  $\beta_0$  (ca raport al variațiilor de curent):

$$\beta_N = \frac{I_C}{I_B} \quad \text{respectiv} \quad \beta_0 = \frac{di_C}{di_B}. \quad (3.135)$$

Curenții, respectiv variațiile curenților, sunt considerate într-un  $psf$  din RAN. În condiții obișnuite, factorii de amplificare nu depind semnificativ de  $psf$  și de aceea sunt considerați constanți. Dacă tranzistorul funcționează însă la variații mari ale mărimilor electrice aplicate sau pentru variații mari ale factorilor de mediu (de exemplu a temperaturii  $T$ ), atunci variația câștigului în curent poate să fie importantă. Analiza detaliată a funcționării tranzistorului [1] arată că  $\beta_N = f(I_C, U_{CE}, T)$ .

Dependența de temperatură și de  $I_C$  a amplificării în curent este ilustrată în figura 3.45, în care se prezintă curbele tipice pentru un tranzistor  $nnp$  (tip 2N2222) la trei temperaturi diferite. Factorul  $\beta_N$  crește cu creșterea temperaturii (coeficientul termic poate fi de exemplu  $k_T = 0,7\%/^\circ\text{C}$ ).



**Fig. 3.45.** Curbele de dependență  $\beta_N$ - $I_C$  (tipice) pentru diferite temperaturi.

Caracteristicile sunt obținute prin simulare (pentru tranzistorul *nnp* de tip 2N2222).

Axa curentului  $I_C$  este gradată logaritmic pentru a vizualiza un domeniu larg de curenți.

Variația lui  $\beta_N$  cu curentul de colector, evidențiată în figura 3.45, poate fi împărțită în trei zone. Zona I este zona curenților mici, în care  $\beta_N$  scade odată cu scăderea curentului (la curenți de colector foarte mici  $\beta_N$  este proporțional cu  $\sqrt{I_C}$ ). În zona II, care corespunde valorilor medii ale curentului,  $\beta_N$  este aproximativ constant. Zona III este zona de curent mare în care  $\beta_N$  scade odată cu creșterea curentului (la curenți foarte mari factorul de curent este proporțional cu  $1/I_C$ ).

O consecință directă a variației lui  $\beta_N$  este faptul că  $\beta_0$  are o valoare diferită de  $\beta_N$ . Relația dintre factorii de amplificare poate fi obținută prin diferențierea funcției  $i_C = \beta_N i_B$  în raport cu  $i_B$ . Folosind relațiile (3.135) se obține:

$$\beta_0 = \frac{\beta_N}{1 - \frac{d\beta_N}{d i_C} \frac{i_C}{\beta_N}}. \quad (3.136)$$

Această relație arată că dacă  $\beta_N$  depinde de  $i_C$ , atunci  $\beta_0 \neq \beta_N$  (derivata din relația de mai sus este nenulă). Astfel, în zona curenților mici (zona I, unde derivata este pozitivă),  $\beta_0 > \beta_N$  iar în zona curenților mari (zona III, unde derivata este negativă),  $\beta_0 < \beta_N$ . În zona curenților medii,  $\beta_N$  fiind aproximativ constant, derivata din relația precedentă este practic nulă și  $\beta_0 \approx \beta_N$ . În calculele uzuale se consideră o valoare unică pentru factorii de amplificare, notată simplu cu  $\beta$ .

Un exemplu numeric poate fi edificator pentru înțelegerea implicațiilor practice ale variației factorului  $\beta_N$  cu curentul de colector. Se consideră tranzistorul cu caracteristicile din figura 3.45 la temperatura normală  $T = 25^\circ\text{C}$ . La curenți medii (5mA ... 50mA),  $\beta_0 \approx \beta_N \approx 180$ . Amplificările scad semnificativ la curenți mari; la  $I_{C1} = 0,13\text{A}$ ,  $\beta_{N1} \approx 150$  și la  $I_{C2} = 0,5\text{A}$ ,  $\beta_{N2} \approx 100$ . Aproximând diferențialele din relația (3.136) cu diferențe finite rezultă:

$$\beta_{02} \approx \frac{\beta_{N2}}{1 - \frac{\Delta\beta_N}{\Delta i_C} \frac{i_{C2}}{\beta_{N2}}} = \frac{100}{1 - \frac{150 - 130}{0,5 - 0,13} \cdot \frac{0,5}{100}} = 60,$$

deci factorul dinamic de amplificare la  $i_{C2} = 0,5\text{A}$  este doar o treime din cel de la curenți medii.

Dependența lui  $\beta_N$  de tensiunea  $U_{CE}$  este datorată așa numitului **efect Early**: creșterea tensiunii  $U_{CB}$  ( $=U_{CE}-U_{BE}$ ) duce la creșterea lățimii regiunii golite a  $Jc$  și la micșorarea grosimii efective a bazei ( $W_B$  în figura 3.33). Ca urmare se reduce recombinarea în bază, scade curentul de bază pentru același curent de colector și crește  $\beta_N$  (ca raport al curenților  $I_C/I_B$ ).  $\beta_N$  depinde cu atât mai mult de  $U_{CE}$  cu cât tranzistoarele au baza mai îngustă și implicit un factor  $\beta_N$  mai mare (amplificarea în curent este mare deoarece recombinarea în baza îngustată este mică). Deci pentru ca efectul Early să fie mai puțin important, trebuie utilizate tranzistoare cu factorul  $\beta_N$  mai mic.

### 3.7.4 Factorul de zgomot al tranzistorului

Zgomotul este semnalul nedorit care apare într-un circuit electronic și care este independent de semnalul util. Ceea ce contează în practică este raportul semnal-zgomot. Tranzistorul prezintă zgomot în tot spectrul de frecvență. Zgomotul este de mai multe tipuri:

- zgomot “de alicie”, cauzat de distribuția statistică a fluxului de purtători în joncțiunea colector-bază, deoarece trecerea fiecărui purtător prin joncțiune este un eveniment pur aleator (este un zgomot alb deoarece densitatea spectrală a acestui zgomot este independentă de frecvență),
- zgomot termic, datorat agitației termice a purtătorilor (este un zgomot alb, prezent în orice rezistor, indiferent de prezența curentului electric și este proporțional cu temperatura absolută),
- zgomot de scintilație (de licărire), atribuit generării-recombinării la suprafața dispozitivului, are densitatea spectrală proporțională cu  $1/f$ , deci este preponderent în domeniul frecvențelor joase.

În consecință, zgomotul propriu al tranzistorului este mare la frecvențe foarte joase, scade până la circa 1kHz, rămâne constant până la frecvențe apropiate de frecvența de la care amplificarea tranzistorului scade, de unde zgomotul începe să crească (relativ la semnalul util).

Aprecierea zgomotului propriu al tranzistorului se face cu ajutorul factorului de zgomot  $F$ , exprimat de obicei în decibeli și care se definește ca fiind raportul dintre raportul semnal-zgomot la intrare  $S_i/N_i$  și raportul semnal-zgomot la ieșire  $S_o/N_o$ :

$$F = \frac{\text{raportul semnal/zgomot la intrare}}{\text{raportul semnal/zgomot la ieșire}} = \frac{S_i N_o}{N_i S_o}, \quad (3.137)$$

unde  $S$  reprezintă puterea de semnal și  $N$  puterea de zgomot. Puterea de zgomot la intrare  $N_i$  se consideră că este dată de zgomotul din rezistența sursei, iar puterea de zgomot de la ieșire  $N_o$  este puterea totală de zgomot care include atât contribuția circuitului cât și zgomotul transmis de la rezistența sursei.

Factorul de zgomot oferă o măsură a degradării – determinată de circuitul cu tranzistor – a raportului semnal-zgomot ( $S/N$ ). De exemplu, dacă raportul  $S/N$  la intrarea circuitului este de 50dB iar factorul de zgomot este de 5dB, atunci raportul  $S/N$  la ieșire va fi de 45dB. Factorul  $F$  este specificat fie pe un domeniu de frecvențe, fie pentru o bandă îngustă  $\Delta f$ , centrată pe o frecvență  $f$  (cu  $\Delta f \ll f$ ); în al doilea caz devine factor de zgomot de bandă îngustă.

## 3.8 ELEMENTELE SUPLIMENTARE ALE MODELULUI DE SEMNAL MIC

Modelele de semnal mic ale TB introduse la analiza tranzistorului în regim dinamic sunt modele simplificate care conțin parametrii de semnal mic esențiali ai tranzistorului și care permit studiul simplificat al circuitelor. Analiza mai detaliată a fenomenelor care au loc în tranzistor se concretizează în elemente suplimentare ale modelelor de semnal mic. Modelele obținute astfel sunt mai complete (dar mai complexe) și permit analiza mai exactă a circuitelor cu tranzistoare.

### 3.8.1 Capacitatea de difuzie a joncțiunii de emitor

Variația sarcinii purtătorilor minoritari în bază  $dQ_b$ , datorată variației tensiunii aplicate joncțiunii de emitor  $du_{BE}$ , este modelată prin capacitatea de difuzie a joncțiunii de emitor:

$$C_{de} = \frac{dQ_b}{du_{BE}}, \quad (3.138)$$

La definirea  $C_{de}$  intervin doar purtătorii minoritari din bază, deoarece curentul prin joncțiune este de fapt curentul de drift al purtătorilor care trec din emitor în bază (curentul purtătorilor care difuzează din bază în emitor este neglijabil, deoarece gradul de dopare al bazei este mult mai mic decât cel al emitorului).

Sarcina electrică poate fi exprimată ca produs curent-timp. Sarcina din baza tranzistorului și variația acesteia pot fi exprimate ca fiind:

$$Q_b = \tau_F \cdot I_C, \quad \text{respectiv} \quad dQ_b = \tau_F \cdot di_C \quad (3.139)$$

unde  $\tau_F$  reprezintă timpul mediu de tranzit al purtătorilor minoritari prin bază (pentru funcționare în RAN). Înlocuind (3.139) în (3.138) și ținând seama de (3.68) și de (3.67) rezultă:

$$C_{de} = \frac{\tau_F \cdot di_C}{du_{BE}} = \tau_F \cdot g_m \quad \text{și} \quad C_{de} = \tau_F \frac{I_C}{U_T}. \quad (3.140)$$

Deci capacitatea de difuzie a joncțiunii de emitor este proporțională cu curentul de colector din *psf*.

### 3.8.2 Rezistența de ieșire

Rezistența de ieșire a tranzistorului (în conexiunea EC) este:

$$r_o = \frac{du_{CE}}{di_C}, \quad (3.141)$$

Conform ecuației tranzistorului în RAN, (3.4) sau (3.107), curentul de colector nu depinde de tensiunea  $u_{CE}$ . O analiză mai detaliată a fenomenelor din tranzistor pune în evidență însă o astfel de dependență. La creșterea tensiunii de colector  $u_{CE}$ , pentru o tensiune de bază constantă  $U_{BE}$ , crește tensiunea de polarizare a joncțiunii de colector  $u_{CB} = u_{CE} - U_{BE}$ . Ca urmare, crește lățimea RSS a  $J_c$ , scade lățimea efectivă a bazei ( $W_B$  din figura 3.33), scade recombinarea în bază și crește curentul de colector. Din același curent de emitor (determinat de tensiunea  $U_{BE}$  constantă), datorită micșorării recombinării, o fracțiune mai mare ajunge în colector; în sistemul de ecuații (3.107)  $i_E$  este constant,  $\alpha_N$  și  $i_C$  cresc datorită creșterii factorului de transport în bază  $\beta_{tB}$  din relația (3.105). Acest fenomen este cunoscut sub numele de **efect Early** și poate fi pus în evidență în caracteristicile statice de ieșire ale TB, trasate cu  $U_{BE}$  parametru. Dacă se extrapolează aceste caracteristici, ele se vor întâlni în punctul de coordonate  $\{0, -U_A\}$ , ca în figura 3.46.

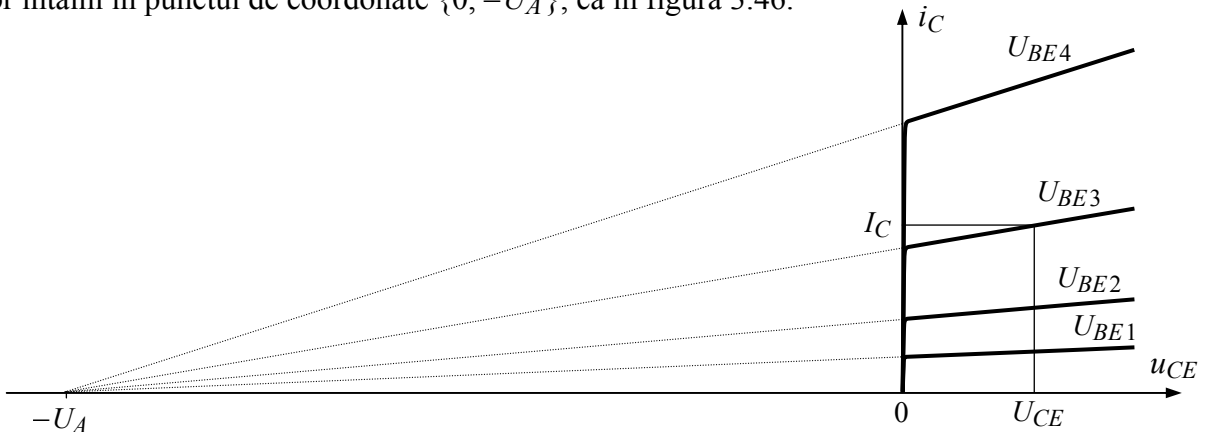


Fig. 3.46. Tensiunea Early  $U_A$  pusă în evidență din caracteristicile de ieșire ale TB.



Tensiunea  $U_A$  este un parametru al tranzistorului, numit **tensiune Early**, cu valori uzuale de zeci de volți. Panta tangentei caracteristicii de ieșire, determinată geometric (într-un anumit *psf* din RAN, funcție de tensiunea Early) și relația (3.141), permit calcularea rezistenței de ieșire:

$$\frac{di_C}{du_{CE}} = \frac{I_C}{U_A + U_{CE}} \cong \frac{I_C}{U_A}, \quad r_o \cong \frac{U_A}{I_C} \quad (3.142)$$

S-a considerat cazul uzual  $U_{CE} \ll U_A$ , care simplifică relația de calcul.

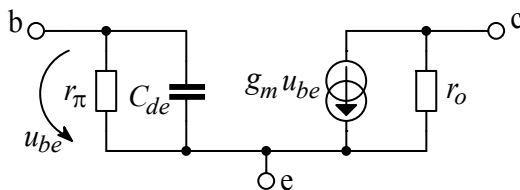
Rezistența de ieșire a tranzistorului este invers proporțională cu curentul de colector din *psf* și se poate exprima în funcție de  $g_m$ , la fel ca și alți parametri de semnal mic:

$$r_o = \frac{1}{\eta \cdot g_m}, \quad (3.143)$$

unde  $\eta = U_T/U_A$  este factorul Early (de exemplu  $\eta = 2,5 \times 10^{-4}$  pentru  $T = 290K$  și  $U_A = 100V$ ).

### 3.8.3 Modelul fundamental de semnal mic al TB

Reunirea elementelor de circuit incluse în modelul simplificat din figura 3.24 ( $g_m$  și  $r_\pi$ ), cu elementele descrise anterior, conduce la modelul de semnal mic al tranzistorului din figura 3.47. Acest model, valabil în RAN atât pentru tranzistorul *nnp* cât și *pnp*, este denumit modelul  $\pi$ -hibrid. Evaluarea elementelor acestui model presupune determinarea prealabilă a curentului static de colector  $I_C$  și cunoașterea unui număr relativ mic de parametri ai tranzistorului:  $\beta_0$ ,  $\tau_F$  și  $U_A$ .



**Fig. 3.47.** Circuitul echivalent de semnal mic, fundamental, al tranzistorului bipolar.

$$g_m = \frac{I_C}{U_T}, \quad r_\pi = \frac{\beta_0}{g_m}, \quad C_{de} = \tau_F g_m, \quad r_o = \frac{U_A}{I_C}$$

În continuare, acestui model i se vor adăuga elemente suplimentare care modelează efectele parazite și cele de ordinul doi (mai puțin importante).

#### Rezistența colector-bază

Un efect de ordinul doi este dat de variațiile tensiunii  $U_{CE}$  asupra sarcinii de purtători minoritari din bază. Creșterea tensiunii  $U_{CE}$  determină creșterea lățimii regiunii golite a joncțiunii de colector, și deci, reducerea grosimii bazei (prin efect Early). Ca urmare sarcina totală de purtători minoritari în bază se micșorează, ceea ce corespunde unei scăderi a curentului de bază  $I_B$  (scade recombinarea în bază). Deoarece o creștere  $du_{CE}$  a tensiunii  $U_{CE}$  determină o scădere  $di_B$  a curentului  $I_B$ , acest efect se poate modela prin introducerea unei rezistențe  $r_\mu$  între colector și bază. Ținând cont de relațiile (3.135) și (3.141), valoarea acestei rezistențe este:

$$r_\mu = \frac{du_{CE}}{di_B} = \frac{du_{CE}}{di_C} \frac{di_C}{di_B} = r_o \beta_0. \quad (3.144)$$

Această relație este corectă dacă se consideră curentul de bază ca fiind identic cu curentul de recombinare în bază. La tranzistoarele moderne, valoarea curentului de recombinare poate să reprezinte doar 10% din curentul de bază (componenta de difuzie a purtătorilor majoritari din bază spre emitor fiind determinantă pentru  $I_B$ ). Ca urmare valoarea pentru  $r_\mu$  poate fi  $10\beta_0 r_o$ , iar valoarea indicată de relația (3.144) reprezintă limita inferioară pentru  $r_\mu$ . Datorită valorii foarte mari a acestei rezistențe (MΩ... sute de MΩ) ea este de obicei neglijată.

### 3.8.4 Elementele parazite ale modelul de semnal mic

Elementele circuitului echivalent de semnal mic descrise până acum sunt fundamentale în sensul că își au originea în fenomenele fizice esențiale din tranzistor. Limitările impuse de procesul tehnologic de fabricație introduc elemente parazite care se adăugă circuitului echivalent.

Fiecare joncțiune  $pn$  prezintă o capacitate de barieră:  $C_{be}$  pentru joncțiunea de emitor și  $C_{bc}$  (notată și cu  $C_{\mu}$ ) pentru joncțiunea de colector. În cazul tranzistoarelor din circuitele integrate (care sunt izolate de substrat printr-o joncțiune polarizată invers) apare și capacitatea de barieră a joncțiunii colector-substrat  $C_{cs}$ . În circuitul echivalent de  $ca$  această capacitate apare conectată la masă, deoarece substratul unui circuit integrat este conectat la sursa cea mai negativă de tensiune din circuit (pentru a izola componentele între ele printr-o joncțiune polarizată invers).

Alte elemente parazite care pot fi adăugate modelului de  $ca$  al tranzistoarelor discrete sunt inductivitatea terminalelor și capacitățile parazite dintre terminale. Acestea au un efect semnificativ doar la frecvențe foarte mari și în general sunt neglijate. De altfel, capsulele tranzistoarelor de foarte înaltă frecvență sunt realizate astfel încât să reducă la minim capacitățile parazite dintre terminale și inductivitatea terminalelor (terminalele sunt scurte și amplasate pe laturi diferite ale capsulei).

Ultimele elemente parazite care trebuiesc adăugate modelului tranzistorului sunt rezistențele parazite. Aceste rezistențe sunt determinate de valoarea finită a rezistenței siliciului din zona cuprinsă între punctul de contact de la suprafața siliciului și tranzistorul intern (vezi figura 3.32).

În serie cu terminalul emitorului apare o rezistență cu valoare foarte mică (deoarece emitorul puternic dopat are o conductivitate mare, iar distanța de la terminalul extern la emitorul intern este foarte mică). Această rezistență, numită rezistența serie a emitorului se notează cu  $r_{ex}$  și se neglijează întrucât are o valoare foarte mică (fracțiuni de ohmi).

**Rezistența serie a colectorului** are o valoare mult mai mare decât  $r_{ex}$  deoarece distanța de la colectorul tranzistorului intern la terminalul de colector este relativ mare și conductivitatea regiunii de colector mică (mult mai mică decât a emitorului). Deoarece căderea de tensiune care apare pe această rezistență la curenți mari duce la creșterea tensiunii de saturație a tranzistorului, se iau măsuri constructive speciale pentru reducerea ei, astfel încât să ajungă la valori de ordinul ohmilor. De exemplu, la tranzistoarele discrete realizate prin dublă difuzie (ca cel din figura 3.32), substratul tranzistorului are un grad de dopare foarte mare și implicit o conductivitate mare.

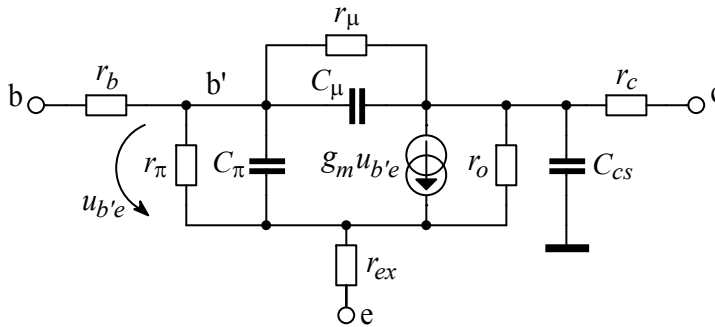
Deoarece rezistivitatea regiunii bazei este mare (baza având un grad de dopare redus), **rezistența serie a bazei**, notată cu  $r_b$  (sau  $r_x$ , sau  $r_{bb'}$ ) are o valoare semnificativă (zeci de ohmi).

Valoarea rezistenței  $r_b$  variază semnificativ în funcție de curentul de colector  $I_C$  din cauza efectului numit **aglomerarea emitorului**. Acest fenomen este o consecință a căderii de tensiune ce apare pe materialul semiconductor al bazei datorită curgerii curentului de bază în regiunea de sub emitor (transversală față de sensul curentului prin tranzistor, care curge de la emitor la colector). Această cădere de tensiune laterală face ca polarizarea joncțiunii bază-emitor să fie neuniformă, fiind maximă de-a lungul perimetrului emitorului. La curenți de colector mari, căderea de tensiune laterală nu mai este neglijabilă; ca urmare curentul de emitor se aglomerează pe periferia emitorului, nemaifiind uniform distribuit pe întreaga suprafață a emitorului. Deci efectul de tranzistor tinde să aibă loc pe perimetrul emitorului și nu sub emitor. Ca urmare distanța de la contactul bazei la regiunea activă a bazei se reduce, iar rezistența seria a bazei se micșorează la curenți de colector mari (la curenți foarte mari scade cu până la un ordin de mărime din valoarea de la curenți mici).

Ordinul de mărime al rezistențelor parazite a fost dat pentru tranzistoarele de medie putere; la tranzistoarele de mică putere aceste rezistențe pot fi cu un ordin de mărime mai mari, iar la tranzistoarele de putere mare cu un ordin de mărime mai mici.

### 3.8.5 Circuitul echivalent complet de semnal mic

Dacă se adaugă la circuitul fundamental de semnal mic din figura 3.47 rezistențele și capacitățile parazite se obține circuitul echivalent complet de semnal mic din figura 3.48. Nodul intern al bazei este notat cu **b'**, diferit de contactul extern al bazei **b**.



**Fig. 3.48.** Circuitul echivalent de semnal mic, complet, al unui tranzistor bipolar.

### 3.8.6 Capacitățile interne ale TB

Capacitatea  $C_\pi$  este compusă din capacitatea de difuzie  $C_{de}$  și cea de barieră  $C_{be}$  a joncțiunii de emitor:

$$C_\pi = C_{de} + C_{be}. \quad (3.145)$$

La joncțiunea de emitor ( $Je$ ) polarizată direct, capacitatea de difuzie  $C_{de}$  se calculează cu relația (3.140) și capacitatea de barieră  $C_{be}$  se poate estima cu relația (2.92'):  $C_{be} \cong 2C_{be0}$ , unde  $C_{be0}$  este capacitatea de barieră a  $Je$  la polarizare nulă. La un curent mediu sau mare prin tranzistor, capacitatea de barieră  $C_{be}$  este neglijabilă față de cea de difuzie  $C_{de}$ .

În cazul joncțiunilor polarizate invers capacitatea de difuzie este practic nulă și capacitatea de barieră se poate calcula particularizând relația (2.92). Astfel, la tranzistorul *npn*:

$$C_\mu = \frac{C_{\mu 0}}{(1 - U_{BC}/U_0)^m}, \quad (3.146)$$

unde  $C_{\mu 0}$  este capacitatea de barieră la polarizare nulă,  $U_0$  este diferența internă de potențial,  $U_{BC}$  este tensiunea de polarizare în sens direct și  $m$  este un exponent a cărui valoare este cuprinsă între 1/3 (la joncțiuni gradate) și 1/2 (la joncțiuni abrupte); toate aceste valori se referă la joncțiunea colector-bază. Capacitatea  $C_{cs}$  a tranzistoarelor integrate se determină cu o relație de același tip.

#### Exemplu

Să se deducă elementele circuitului echivalent de semnal mic pentru un tranzistor bipolar care lucrează în punctul static de funcționare:  $I_C = 10\text{mA}$  și  $U_{CB} = 5\text{V}$ , pentru  $U_T = 25\text{mV}$ .

Parametrii tranzistorului (estimați pe baza datele de catalog ale tranzistorului 2N2222) sunt  $h_{fe} = 200$ ,  $\tau_F = 0,6\text{ns}$ ,  $U_A = 70\text{V}$ ,  $C_{ob0} = 8\text{pF}$  (la  $U_{CB} = 10\text{V}$ ),  $C_{ib0} = 30\text{pF}$  (la  $U_{EB} = 0,5\text{V}$ ),  $r_b = 20\Omega$ ,  $r_c = 2\Omega$  și  $r_\mu = 2\beta_0 r_o$ . Cele două joncțiuni se consideră ca fiind gradate cu  $m = 1/3$  și  $U_0 = 0,6\text{V}$ .

Semnificația notațiilor de catalog folosite este:  $h_{fe}(=\beta_0)$  – factorul de amplificare în regim dinamic (parametrul hibrid este notat în regim dinamic cu indici litere mici),  $C_{ob0}$  – capacitatea de ieșire în conexiunea bază comună cu emitorul în gol (Common Base Output Capacitance),  $C_{ib0}$  – capacitatea de intrare în conexiunea BC cu colectorul în gol (Common Base Input Capacitance,  $I_C = 0$ ). Capacitatea dată de obicei în catalog este  $C_\mu$ , notată cu:  $C_{ob}$ ,  $C_{ob0}$ ,  $C_{12e}$ , sau  $C_{re}$  (Common Emitter Reverse Capacitance).

La joncțiunea de emitor polarizată direct, capacitatea de difuzie  $C_{be}$  se estimează prin dublarea valorii  $C_{be0}$  (2.92'):

$$C_{be} \approx 2C_{ib0} \approx 60 \text{ pF}.$$

Fiind un calcul estimativ, s-a considerat valoarea capacității dată în catalog, măsurată la 0,5V polarizare inversă, ca fiind aceeași cu  $C_{be0}$  (la polarizare nulă a joncțiunii emitor-bază).

Din  $C_{ob0} = C_{\mu}$ , dat la  $U_{CB} = 10 \text{ V}$ , se determină  $C_{\mu 0}$  din (3.146) și apoi cu aceeași relație se calculează  $C_{\mu}$  la tensiunea de polarizare  $U_{CB} = 5 \text{ V}$ :

$$C_{\mu 0} = C_{ob0} \left( 1 + \frac{U_{CB}}{U_0} \right)^{\frac{1}{3}} = 8 \text{ p} \cdot \sqrt[3]{1 + \frac{10}{0,6}} = 8 \text{ p} \cdot 2,6 = 21 \text{ pF}, \quad C_{\mu} = \frac{21 \text{ p}}{\sqrt[3]{1 + \frac{5}{0,6}}} = \frac{21 \text{ p}}{2,1} = 10 \text{ pF}.$$

Din (3.67) se obține transconductanța:

$$g_m = \frac{I_C}{U_T} = \frac{10 \text{ m}}{25 \text{ m}} = 0,4 \frac{\text{A}}{\text{V}} \left( = 400 \frac{\text{mA}}{\text{V}} \right).$$

Capacitatea de difuzie a joncțiunii de emitor se calculează cu relația (3.140):

$$C_{de} = \tau_F \cdot g_m = 0,6 \text{ n} \cdot 0,4 = 0,24 \text{ nF} = 240 \text{ pF},$$

iar  $C_{\pi}$  cu relația (3.145):

$$C_{\pi} = C_{de} + C_{be} = 240 \text{ p} + 60 \text{ p} = 300 \text{ pF}.$$

Din (3.72) rezultă rezistența de intrare:

$$r_{\pi} = \frac{\beta_0}{g_m} = \frac{200}{0,4} = 500 \Omega.$$

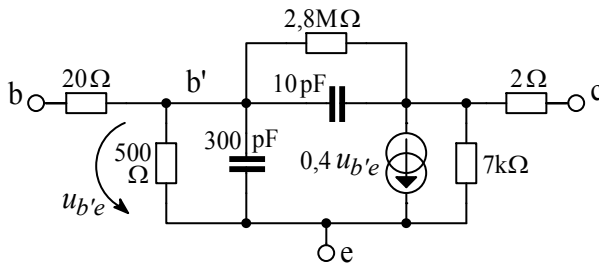
Rezistența de ieșire este dată de (3.142):

$$r_o = \frac{70}{10 \text{ m}} = 7 \text{ k}\Omega,$$

iar rezistența colector-bază este:

$$r_{\mu} = 2\beta_0 r_o = 2 \cdot 200 \cdot 7 \text{ k} = 2,8 \text{ M}\Omega.$$

Circuitul echivalent cu valorile elementelor de semnal mic ale tranzistorului este dat în figura următoare.

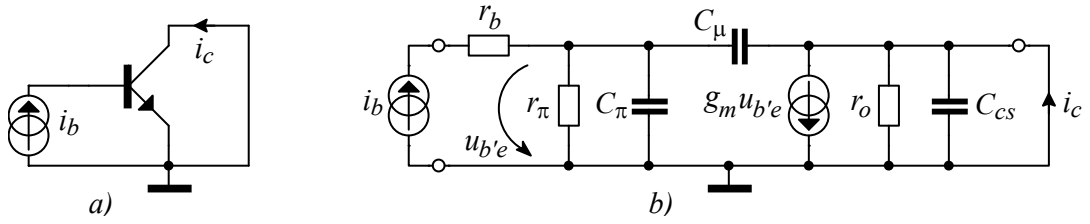


**Fig. 3.49.** Circuitul echivalent de semnal mic, complet, al unui tranzistor 2N2222 la  $I_C = 10 \text{ mA}$  și  $U_{CB} = 5 \text{ V}$ .

### 3.8.7 Frecvența de tăiere a tranzistorului

Funcționarea tranzistorului la frecvențe înalte este influențată de capacitățile circuitului echivalent din figura 3.48. În practică, performanțele de frecvență ale tranzistorului sunt specificate prin valoarea frecvenței la care câștigul în curent, în conexiunea EC, în condiții de scurtcircuit la ieșire, devine unitar. Această frecvență notată  $f_T$ , se numește frecvența de tăiere (sau de tranziție) și constituie o măsură a frecvenței maxime la care tranzistorul mai poate fi utilizat ca amplificator.

Valoarea frecvenței se poate măsura și calcula cu circuitul de *ca* din figura 3.50.a. Un curent sinusoidal de semnal mic  $i_b$  este aplicat în bază și se măsoară curentul de colector  $i_c$ , cu colectorul în scurtcircuit (din punct de vedere al semnalului). Circuitul echivalent de semnal mic pentru această configurație, din figura 3.50.b, s-a obținut plecând de la circuitul din figura 3.48 în care s-au neglijat rezistențele  $r_{ex}$ ,  $r_{\mu}$  și  $r_c$ .



**Fig. 3.50.** Determinarea frecvenței de tăiere a tranzistorului  $f_T$ :  
a) schema de curent alternativ, b) circuitul echivalent de semnal mic.

Datorită scurtcircuitului de la ieșire,  $r_o$  și  $C_{cs}$  nu au nici o influență asupra circuitului. La frecvențe joase condensatoarele din circuit pot fi neglijate și  $\beta_0$  se obține din (3.72):

$$\beta_0 = r_\pi g_m = \frac{g_m}{g_\pi} \quad (\text{cu notația } g_\pi = 1/r_\pi). \quad (3.147)$$

Mărimile electrice din circuit fiind sinusoidale se poate face calculul circuitului în complex. Factorul de amplificare în curent al tranzistorului se definește ca fiind raportul curenților cu ieșirea în scurtcircuit:

$$\underline{\beta}_0 = \left. \frac{\underline{I}_c}{\underline{I}_b} \right|_{u_{ce}=0}. \quad (3.148)$$

T1K aplicate în colector și în bază permit calcularea amplificării complexe:

$$\begin{aligned} \underline{I}_c &= (g_m - j\omega C_\mu) \underline{U}_{b'e} \cong g_m \underline{U}_{b'e} \\ \underline{I}_b &= [g_\pi + j\omega(C_\pi + C_\mu)] \underline{U}_{b'e} \end{aligned} \quad (3.149)$$

$$\underline{\beta}_0 = \frac{g_m - j\omega C_\mu}{g_\pi + j\omega(C_\pi + C_\mu)} \cong \frac{g_m}{g_\pi + j\omega(C_\pi + C_\mu)}; \quad (3.150)$$

În colector, curentul prin  $C_\mu$  a fost neglijat în raport cu curentul datorat transconductanței.

Ținând seama de (3.147) rezultă:

$$\underline{\beta}_0 = \frac{\beta_0}{1 + j\omega \frac{C_\pi + C_\mu}{g_\pi}} = \frac{\beta_0}{1 + j\omega r_\pi(C_\pi + C_\mu)}. \quad (3.151)$$

La frecvențe înalte partea imaginară a numitorului este dominantă și deci:

$$\beta_0(j\omega) \cong \frac{\beta_0}{j\omega r_\pi(C_\pi + C_\mu)} = \frac{r_\pi g_m}{j\omega r_\pi(C_\pi + C_\mu)} = \frac{g_m}{j\omega(C_\pi + C_\mu)}. \quad (3.152)$$

Din (3.152) rezultă pulsația și frecvența de tăiere a tranzistorului pentru  $|\beta_0(j\omega)|=1$ :

$$\omega_T = \frac{g_m}{C_\pi + C_\mu} \quad \text{sau} \quad f_T = \frac{1}{2\pi} \frac{g_m}{C_\pi + C_\mu}. \quad (3.153)$$

Modulul amplificării, calculat din (3.152) și ținând seama de (3.153), este:

$$|\beta_0(j\omega)| \cong \frac{g_m}{\omega(C_\pi + C_\mu)} = \frac{\omega_T}{\omega}. \quad (3.154)$$

Acest rezultat semnifică faptul că produsul amplificare-bandă (de frecvențe) este constant și egal cu frecvența de tăiere:

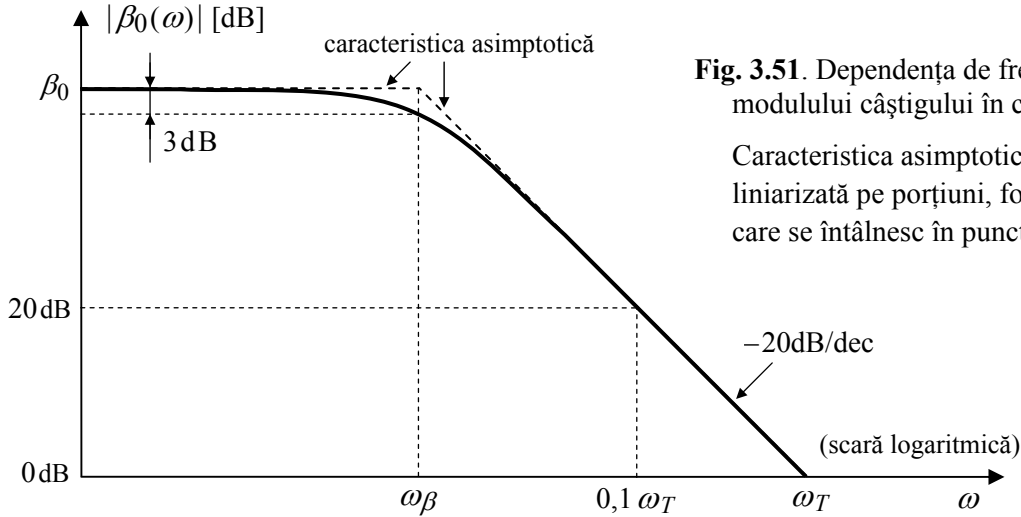
$$|\beta_0(j\omega)| \cdot \omega = \omega_T, \quad \text{sau mai simplu,} \quad \beta_0(f) \cdot f = f_T. \quad (3.155)$$

Relația anterioară este adevărată pentru frecvențe suficient de mari, mai concret dacă partea imaginară a numitorului din relația (3.151) este mult mai mare decât unitatea:

$$\omega r_{\pi}(C_{\pi} + C_{\mu}) \gg 1, \quad \text{adică} \quad \omega \gg \frac{1}{r_{\pi}(C_{\pi} + C_{\mu})} = \frac{g_m}{\beta_0(C_{\pi} + C_{\mu})} = \frac{\omega_T}{\beta_0} = \omega_{\beta}, \quad (3.156)$$

unde  $\omega_{\beta}$  reprezintă pulsația de frângere, pulsația la care partea reală este egală cu partea imaginară a lui  $\beta_0(j\omega)$ . Prin urmare  $\omega_{\beta}$  se definește ca fiind pulsația la care modulul amplificării în curent scade la  $\beta_0/\sqrt{2}$  (scade cu 3dB față de amplificarea de la frecvențe joase).

Dependența amplificării în curent de frecvență poate fi ilustrată ca în figura 3.51.



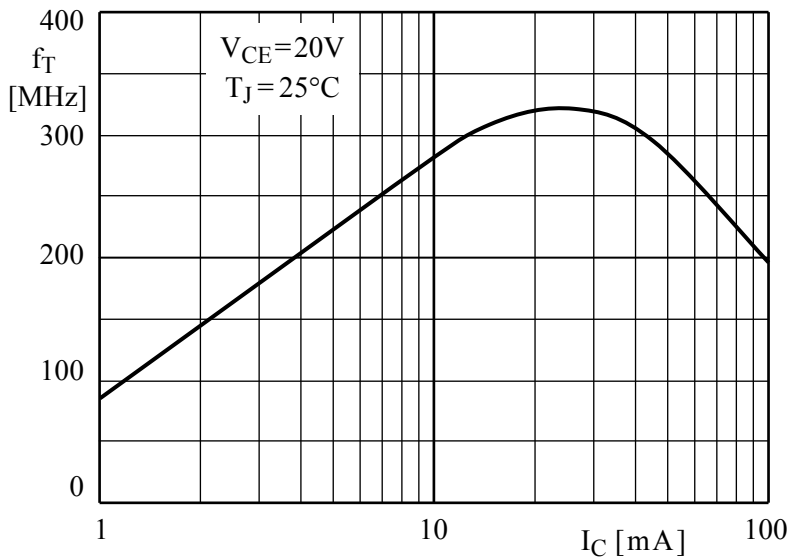
Determinarea experimentală a pulsației (frecvenței) de tăiere se face prin măsurarea mărimii  $|\beta_0(j\omega)|$  la o pulsație la care valoarea sa este de 5...10, iar  $\omega_T$  se calculează din relația (3.155). În figura 3.51 s-a reprezentat cazul în care  $|\beta_0(j\omega)| = 10 (=20\text{dB})$ , caz în care  $\omega = 0,1 \omega_T$ . Caracteristica în zona în care se face măsurarea are o pantă de  $-20\text{dB/decadă}$ , adică amplificarea scade cu 20dB pentru o creștere a frecvenței cu un factor 10 (o decadă).

Ținând seama (3.153) și de (3.140), constanta de timp  $\tau_T$  asociată pulsației de tăiere este:

$$\tau_T = \frac{1}{\omega_T} = \frac{C_{\pi} + C_{\mu}}{g_m} = \frac{C_{de}}{g_m} + \frac{C_{be}}{g_m} + \frac{C_{\mu}}{g_m} = \tau_F + \frac{C_{be}}{g_m} + \frac{C_{\mu}}{g_m}, \quad (3.157)$$

expresie care arată că  $\tau_T$  este dependentă de curentul de colector  $I_C$  din *psf* (prin intermediul lui  $g_m$ ) atingând o valoare constantă la valori mari ale curentului de colector. La valori mici ale curentului  $I_C$  termenii care conțin capacitățile  $C_{be}$  și  $C_{\mu}$  sunt dominanți, determinând o creștere a lui  $\tau_T$  și respectiv o scădere a frecvenței  $f_T$ , odată cu scăderea curentului  $I_C$ . Această comportare este ilustrată în figura 3.52 care reprezintă o curbă tipică a dependenței frecvenței  $f_T$  de curentul static de colector  $I_C$ . Această teorie simplă nu prevede scăderea frecvenței  $f_T$  la curenți mari de colector; scădere datorată creșterii constantei  $\tau_T$  ca urmare a efectelor de nivel mare de injecție (la curenți mari, concentrația purtătorilor minoritari din bază devine comparabilă cu concentrația purtătorilor majoritari). Practic, din caracteristica de catalog  $f_T$ - $I_C$  se determină valoarea maximă a frecvenței de tăiere  $f_{T\max}$  (sau se poate considera valoarea de catalog  $f_T$  ca fiind  $f_{T\max}$ ). Folosind această mărime, se poate calcula constanta  $\tau_F$  (necesară la determinarea capacității de difuzie  $C_{de}$  din baza tranzistorului):

$$\tau_F = \frac{1}{2\pi f_{T\max}}. \quad (3.158)$$



**Fig. 3.52.** Dependența tipică  $f_T(I_C)$  pentru tranzistorul 2N2222 (trasată pe baza caracteristicii de catalog).

### Exemplu

a) La un curent de colector  $I_{C1}=1\text{mA}$ , tranzistorul a cărui caracteristică este dată în figura 3.52, are o frecvență de tăiere  $f_{T1}=90\text{MHz}$ , iar la  $I_{C2}=4\text{mA}$ ,  $f_{T2}=200\text{MHz}$ . Să se calculeze  $\tau_T$  și  $C_{be}$ , presupunând că ambele mărimi sunt constante. Se consideră  $C_\mu=8\text{pF}$ ,  $U_T=25\text{mV}$  și se neglijează efectele legate de nivelul mari de injecție (valorile fiind din zona curenților mici).

b) Considerând  $f_{T\max}=320\text{MHz}$  să se calculeze  $\tau_T$  cu relația (3.158) și să se compare cu rezultatul obținut prin metoda precedentă.

**Rezolvare:** a) Valorile constantelor de timp corespunzătoare frecvențelor de tăiere sunt:

$$\tau_{T1} = \frac{1}{2\pi f_{T1}} = 1,76\text{ns}, \quad \tau_{T2} = \frac{1}{2\pi f_{T2}} = 0,8\text{ns}.$$

Înlocuind aceste date în (3.157) și cu  $g_m$  calculată din (3.67), rezultă sistemul de ecuații:

$$\begin{aligned} 1,76\text{n} &= \tau_F + 25(C_\mu + C_{be}) \\ 0,8\text{n} &= \tau_F + 6,25(C_\mu + C_{be}) \end{aligned}$$

din care se determină  $C_{be}$  (scăzând a doua ecuație din prima) și  $\tau_F$ :

$$C_\mu + C_{be} = 0,96\text{n}/18,75 \cong 51\text{pF}, \quad C_{be} = 51\text{p} - 8\text{p} = 43\text{pF}, \quad \tau_F = 1,76\text{n} - 25 \cdot 51\text{p} = 0,48\text{ns}.$$

b) Din (3.158) rezultă:  $\tau_F = 1/(2\pi f_M) = 1/(2\pi \cdot 320\text{M}) = 0,5\text{ns}$ , valoare practic egală cu cea determinată la punctul precedent.

**În concluzie**, relația simplificată, (3.158), este suficient de precisă pentru calculul  $\tau_T$ .

În final trebuie precizat că modelul complet al tranzistorului bipolar (care a fost utilizat în această analiză) este potrivit numai pentru frecvențe mai mici decât circa  $0,2\omega_T$ , pentru frecvențe mai mari,  $r_b$  și  $C_\pi$  trebuie considerate ca elemente cu parametrii distribuiți. O altă observație referitoare la modelul de înaltă frecvență al tranzistorului din figura 3.48, este că la frecvențe mai mari decât circa  $10\omega_\beta$ , se poate ignora rezistența  $r_\pi$  (capacitatea  $C_\pi$  fiind dominantă,  $X_{C_\pi} \ll r_\pi$ ). Rezistența  $r_b$  rămâne singurul element rezistiv la intrare și are un rol major în ceea ce privește comportarea tranzistorului la frecvențe mari. De aceea, determinarea precisă a rezistenței  $r_b$  se poate face printr-o măsurătoare la înaltă frecvență.

### 3.8.8 Modelele de cuadripol

Modelele tranzistorului prezentate până acum se numesc modele naturale deoarece au fost obținute în mod natural, prin analiza fenomenelor fizice din tranzistor. O altă metodă de analiză, principal diferită, este utilizarea teoriei cuadripolilor pentru modelarea tranzistoarelor.

Dacă semnalele aplicate unui tranzistor sunt suficient de mici, atunci comportarea acestuia este liniară și tranzistorul se poate aproxima în *ca* cu un cuadripol liniar activ, în care intrarea și ieșirea au o bornă comună (figura 3.53.a). Modelul de cuadripol este un model matematic, care are la bază ecuațiile cuadripolului scrise între cele patru mărimi de *ca*:  $u_i$ ,  $i_i$ ,  $u_o$ ,  $i_o$ . Există șase moduri posibile în care pot fi alese variabilele independente, la care corespund șase sisteme de ecuații, fiecare sistem fiind caracterizat de patru parametri, numiți **parametrii de cuadripol**. Dintre aceste sisteme, la tranzistoare cel mai utilizat este sistemul cu parametrii hibrizi ( $h$ ):

$$a) \begin{cases} u_1 = h_{11}i_1 + h_{12}u_2 \\ i_2 = h_{21}i_1 + h_{22}u_2 \end{cases}, \quad \text{sau} \quad b) \begin{cases} u_i = h_i i_i + h_r u_o \\ i_o = h_f i_i + h_o u_o \end{cases}; \quad (3.159)$$

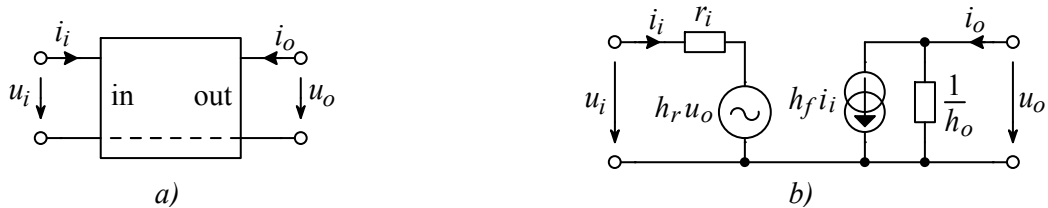
iar în domeniul frecvențelor înalte se folosesc ecuațiile cu parametrii admitanță ( $y$ ):

$$a) \begin{cases} i_1 = y_{11}u_1 + y_{12}u_2 \\ i_2 = y_{21}u_1 + y_{22}u_2 \end{cases}, \quad \text{sau} \quad b) \begin{cases} i_i = y_i u_i + y_r u_o \\ i_o = y_f u_i + y_o u_o \end{cases}. \quad (3.160)$$

Modul consacrat de notare în ecuațiile de cuadripol este cu indicii 1 și 2 pentru variabilele de intrare și de ieșire și cu indicii matriciali pentru parametrii de cuadripol ( $a$ ). Se va prefera utilizarea notațiilor mai descriptive ( $b$ ): indicii  $i$  și  $o$  pentru variabilele de intrare și de ieșire iar indicii parametrilor de cuadripol vor fi notați cu inițialele unor cuvinte din limba engleză:  $i$  de la intrare (*input*),  $r$  de la invers (*reverse*),  $f$  de la direct (*forward*) și  $o$  de la ieșire (*output*).

Parametrii de cuadripol depind de temperatură și de punctul static de funcționare. În general, ei variază și cu frecvența, fiind mărimi complexe. La frecvențe joase pot fi considerați ca mărimi reale, independente de frecvență. Spre deosebire de parametrii naturali, parametrii de cuadripol depind de conexiunea tranzistorului. Pentru a indica conexiunea la care se referă parametrii, acestora li se mai adaugă încă un indice:  $e$  pentru conexiunea emitor comun (EC),  $b$  pentru conexiunea bază comună (BC) și  $c$  pentru conexiunea colector comun (CC).

Pe baza ecuațiilor (3.159) se obține modelul cu parametrii  $h$  din figura 3.53.b. Prima ecuație indică conectarea în serie (T2K) a rezistenței de intrare cu o sursă de tensiune (controlată de tensiunea de ieșire), iar cea de-a doua ecuație indică legarea paralel dintre o sursă de curent (controlată de curentul de intrare) și conductanța de ieșire (T1K).



**Fig. 3.53.** Cuadripol în regim dinamic:

a) Schema bloc cu mărimile electrice de cuadripol, b) Circuitul echivalent cu parametrii  $h$ .

Din relațiile (3.159) rezultă semnificația parametrilor  $h$ :

$$h_i = \left. \frac{u_i}{i_i} \right|_{u_o=0} \quad - \text{impedanța de intrare cu ieșirea în scurtcircuit};$$



$$h_r = \left. \frac{u_i}{u_o} \right|_{i_i=0} \quad - \text{factorul de transfer invers în tensiune, cu intrarea în gol (factor de reacție);}$$

$$h_f = \left. \frac{i_o}{i_i} \right|_{u_o=0} \quad - \text{factor de transfer direct în curent, cu ieșirea în scurtcircuit (amplificare în curent);}$$

$$h_o = \left. \frac{i_o}{u_o} \right|_{i_i=0} \quad - \text{admitanța de ieșire cu intrarea în gol.}$$

Parametrii hibridi sunt diferiți din punct de vedere dimensional și se obțin prin măsurători efectuate în condiții de gol sau de scurtcircuit pentru componenta de *ca* (de semnal).

În unele cataloage se dau valorile parametrilor *h* la joasă frecvență (1 kHz), pentru un anumit *psf* (de exemplu  $I_C=1\text{mA}$  și  $U_{CE}=5\text{V}$ ) și o anumită temperatură ( $25^\circ\text{C}$ ). De asemenea, în foile de catalog se dau uneori curbe tipice de variație, care prezintă modificarea relativă a parametrilor față de valoarea de referință.

### Relațiile dintre parametrii hibridi și parametrii naturali

Parametrii de cuadripol depind de *psf*, temperatură, frecvență și de conexiunea tranzistorului. Parametrii naturali, ai modelului  $\pi$ -hibrid de exemplu, sunt obținuți pe baza analizei modului de funcționare al tranzistorului și nu depind de conexiunea tranzistorului sau de frecvență (în anumite limite). Se cunoaște, de asemenea, modul cum se modifică acești parametri cu *psf* al tranzistorului. Din aceste motive, modelele naturale sunt preferate la proiectarea circuitelor cu tranzistoare. Parametrii hibridi sunt folosiți în principal pentru determinarea parametrilor modelului natural. În continuare se va prezenta o metodă de măsurare a parametrilor *h* și se vor introduce formulele care permit trecerea de la parametrii *h* la parametrii modelului  $\pi$ -hibrid.

Ecuatiile cu parametrii *h* pentru tranzistorul în conexiunea EC (cu intrarea în bază și ieșirea în colector) devin:

$$\begin{cases} u_b = h_{ie} i_b + h_{re} u_c \\ i_c = h_{fe} i_b + h_{oe} u_c \end{cases} \quad (3.161)$$

Pentru măsurarea parametrilor  $h_{ie}$  și  $h_{fe}$ , se poate utiliza circuitul din figura 3.54.a. La acest circuit condensatoarele au valori suficient de mari pentru a putea fi considerate scurtcircuitate la frecvența de lucru (teoretic au valoare infinită). Rezistența de polarizare a bazei  $R_B$  are o valoare mare, iar rezistența  $R_C$  este dimensionată pentru a fixa tensiunea de colector dorită. Rezistența de sarcină  $R_L$  este mică, astfel încât colectorul să fie practic scurtcircuitat la masă:

$$i_c \cong i_o = -\frac{u_c}{R_L}. \quad (3.162)$$

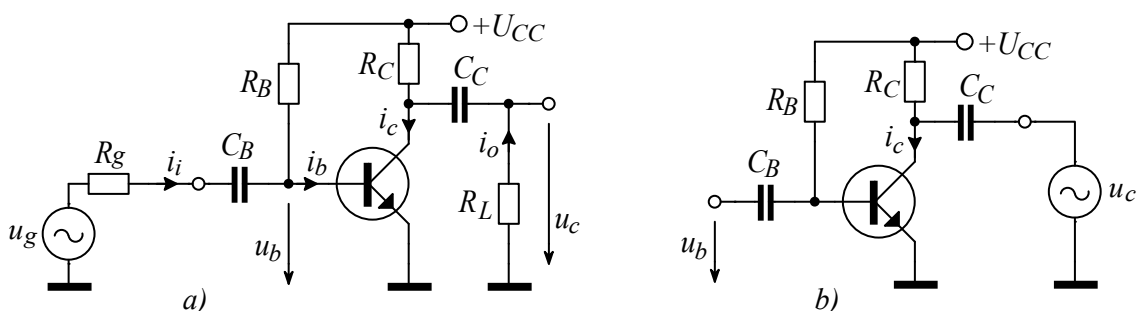


Fig. 3.54. Circuite pentru măsurarea parametrilor hibridi: a)  $h_{ie}$ ,  $h_{fe}$  și b)  $h_{re}$ .

Semnalul de intrare  $i_i$  este determinat din legea lui Ohm aplicată rezistenței  $R_g$  de valoare cunoscută. Dacă  $R_B$  este mare, atunci:

$$i_b \cong i_i = \frac{u_g - u_b}{R_g}. \quad (3.163)$$

Tensiunea de semnal de la intrare  $u_b$  poate fi măsurată în baza tranzistorului. Folosind curenții determinați anterior, se pot calcula parametrii  $h_{ie}$  și  $h_{fe}$ :

$$h_{ie} = \frac{u_b}{i_b} \quad \text{și} \quad h_{fe} = \frac{i_c}{i_b}. \quad (3.164)$$

Măsurarea  $h_{re}$  se poate face cu circuitul din figura 3.54.b. Și la acest circuit  $R_B$  trebuie să fie mare (mult mai mare decât  $r_\pi$ ) iar tensiunea de intrare  $u_b$  se măsoară cu un voltmetru a cărui rezistență internă este mare, asigurându-se astfel condiția de mers în gol la intrare. Parametrul  $h_{re}$  se calculează conform definiției:

$$h_{re} = \frac{u_b}{u_c}. \quad (3.165)$$

Rezistența de ieșire  $h_{oe}$  este prin definiție panta caracteristicilor de ieșire ale tranzistorului și de aceea poate fi determinată din caracteristicile statice ale tranzistorului în conexiunea EC. (Determinarea  $h_{oe}$  din circuitul din figura 3.54.b este principal posibilă, însă erorile de măsură pot fi mari, deoarece  $h_{oe}$  poate fi mult mai mare decât rezistența  $R_C$  cu care apare în paralel, în regim dinamic.)

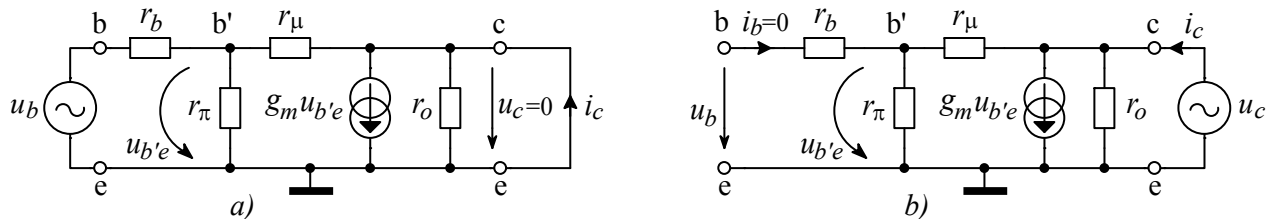
Pentru a obține legătura dintre parametrii  $h_{ie}$  și  $h_{fe}$  și parametrii modelului  $\pi$ -hibrid, se folosesc relațiile obținute din schema echivalentă din figura 3.55.a:

$$h_{ie} = r_b + (r_\pi \parallel r_\mu) \cong r_b + r_\pi \quad (3.166)$$

și

$$h_{fe} = g_m r_\pi. \quad (3.167)$$

Se poate observa că, prin definiție,  $h_{fe}$  este identic cu  $\beta_0$  și că relația (3.167) este identică cu formulele utilizate anterior pentru  $\beta_0$ , de exemplu (3.147).



**Fig. 3.55.** Circuite echivalente de ca utilizate pentru a obține relațiile dintre parametrii hibridi și parametrii naturali: a) pentru  $h_{ie}$  și  $h_{fe}$ ; b) pentru  $h_{re}$  (și  $h_{oe}$ ).

Expresiile pentru  $h_{ie}$  și  $h_{fe}$  se pot calcula din circuitul echivalent din figura 3.55.b:

$$h_{re} = \frac{r_\pi}{r_\pi + r_\mu} \cong \frac{r_\pi}{r_\mu} \quad (3.168)$$

și

$$h_{oe} \cong \frac{1}{r_o} + \frac{\beta_0}{r_\mu}. \quad (3.169)$$

Expresiile de mai sus pot fi utilizate pentru a calcula parametrii modelului  $\pi$ -hibrid cu ajutorul parametrilor hibridi mășurați:

$$g_m = \frac{I_C}{U_T}, \quad (3.170)$$

$$r_{\pi} = \frac{h_{fe}}{g_m}, \quad (3.171)$$

$$r_b = h_{ie} - r_{\pi}, \quad (3.172)$$

$$r_{\mu} = \frac{r_{\pi}}{h_{re}}, \quad (3.173)$$

$$r_o = \left( h_{oe} - \frac{h_{fe}}{r_{\mu}} \right)^{-1} = \frac{V_A}{I_C}. \quad (3.174)$$

Deoarece  $r_b \ll r_{\pi}$ , ecuația (3.172) nu va duce la o determinare precisă a rezistenței  $r_b$ . De fapt, deoarece rezistența serie a bazei  $r_b$  are un rol major la înaltă frecvență (după cum s-a arătat într-un paragraf anterior), ea se poate determina precis printr-o măsurare de înaltă frecvență.

### Exemplu

Se consideră circuitul din figura 3.54.a cu  $R_g = 10\text{k}\Omega$ ,  $R_B = 100\text{k}\Omega$ ,  $R_C = 10\text{k}\Omega$  și  $R_L = 100\Omega$ . Valorile efective ale tensiunilor alternative, măsurate la joasă frecvență sunt:  $U_g = 15\text{mV}$ ,  $U_b = 5\text{mV}$  și  $U_c = 20\text{mV}$ .

a) Să se calculeze  $h_{ie}$  și  $h_{fe}$  atât aproximativ (conform relațiilor anterioare) cât și exact (ținând seama și de curenții care circulă prin  $R_B$  și prin  $R_C$ ).

b) Dacă  $r_b = 50\Omega$  (determinată pe baza unei măsurători suplimentare efectuată la înaltă frecvență), să se calculeze  $r_{\pi}$ ,  $r_e$ ,  $g_m$  și  $I_C$ .

c) Circuitului modificat conform figurii 3.54.b i se aplică un semnal  $U_g = 5\text{V}$  cu frecvență foarte mică. Dacă s-a măsurat  $U_b = 1\text{mV}$  să se calculeze  $h_{re}$ .

d) Cu rezultatele de la punctul c și b să se calculeze  $r_{\mu}$ . Să se determine frecvența la care reactanța condensatorului  $C_{\mu} = 10\text{pF}$  este egală cu  $r_{\mu}$ .

Tensiunea termică este  $U_T = 25\text{mV}$  și condensatoarele se consideră scurtcircuitate în ca.

**Rezolvare:** a) Valorile efective ale componentelor de ca ale curenților prin tranzistor, calculate aproximativ conform (3.162) și (3.163), sunt:

$$I_c \cong I_o = \frac{U_c}{R_L} = \frac{20\text{m}}{100} = 0,2\text{mA} \quad \text{și} \quad I_b \cong I_i = \frac{U_g - U_b}{R_g} = \frac{15\text{m} - 5\text{m}}{10\text{k}} = 1\mu\text{A}.$$

Parametrii  $h_{ie}$  și  $h_{fe}$ , calculați aproximativ conform (3.164), sunt:

$$h_{ie} = \frac{U_b}{I_b} = \frac{5\text{m}}{1\mu} = 5\text{k}\Omega \quad \text{și} \quad h_{fe} = \frac{I_c}{I_b} = 200.$$

Valorile exacte ale curenților, calculați ținând seama și de rezistențele  $R_B$  și  $R_C$ , sunt:

$$I_c = I_o - \frac{U_c}{R_C} = \frac{U_c}{R_L} - \frac{U_c}{R_C} = 0,2\text{m} - \frac{20\text{m}}{10\text{k}} = 198\mu\text{A} \quad \text{și}$$

$$I_b = I_i - \frac{U_b}{R_B} = \frac{U_g - U_b}{R_g} - \frac{U_b}{R_B} = \frac{15\text{m} - 5\text{m}}{10\text{k}} - \frac{5\text{m}}{100\text{k}} = 0,95\mu\text{A}$$

Parametrii  $h_{ie}$  și  $h_{fe}$ , calculați conform (3.164) considerând valorile exacte ale curenților:

$$h_{ie} = \frac{5\text{m}}{0,95\mu} = 5,26\text{k}\Omega \quad \text{și} \quad h_{fe} = \frac{198\mu}{0,95\mu} = 208,4$$

sunt cu 5,2%, respectiv cu 4,2% mai mari decât valorile calculate aproximativ. Diferența destul de mică dintre valorile exacte și cele approximate permite utilizarea relațiilor aproximative (pentru  $R_B \gg h_{ie}$  și  $R_C \gg R_L$ ).

b) Din (3.166) se determină  $r_\pi$ :  $r_\pi = h_{ie} - r_b = 5260 - 50 \cong 5,2\text{k}\Omega$ .

Pe baza relațiilor (3.171) și (3.170) se determină  $g_m$  și  $I_C$ :

$$g_m = \frac{h_{fe}}{r_\pi} = \frac{208}{5,2\text{k}} = 40 \frac{\text{mA}}{\text{V}} \quad \text{și} \quad I_C = g_m \cdot U_T = 40\text{m} \cdot 25\text{m} = 1\text{mA}.$$

Rezistența de intrare în emitor  $r_e$  se poate determina din (3.76):  $r_e \cong \frac{1}{g_m} = 25\Omega$ .

c) Din (3.165) se calculează  $h_{re}$ :  $h_{re} = \frac{U_b}{U_c} = \frac{1\text{m}}{5} = 2 \cdot 10^{-4}$ .

d) Din (3.168) se determină  $r_\mu$ :  $r_\mu = \frac{r_\pi}{h_{re}} = \frac{5,2\text{k}}{0,2\text{m}} = 26\text{M}\Omega$ .

Se remarcă valoarea foarte mare a acestei rezistențe. Reactanța condensatorului  $C_\mu$  este egală cu  $r_\mu$  la o frecvență destul de mică:

$$X_{C_\mu} = \frac{1}{2\pi f C_\mu} = r_\mu \quad \Rightarrow \quad f = \frac{1}{2\pi C_\mu r_\mu} = \frac{1}{2\pi \cdot 10\text{p} \cdot 26\text{M}} = 612\text{Hz}.$$

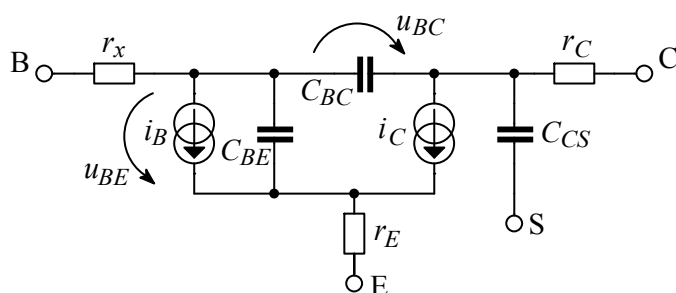
Astfel, pentru ca eroarea datorată capacității  $C_\mu$  (care apare în schema echivalentă a tranzistorului în paralel cu  $r_\mu$ ) să fie nesemnificativă, măsurătoarea de la punctul  $c$  trebuie efectuată la o frecvență mult mai mică decât frecvența de mai sus (de exemplu la o frecvență de 100 de ori mai mică, 6Hz în acest caz, deci o frecvență foarte mică).

## 3.9 MODELAREA TB ÎN SPICE

Considerațiile generale referitoare la modelare și la programul de simulare SPICE care au fost prezentate în subcapitolul 2.6 (despre modelarea diodelor în SPICE) se aplică și tranzistoarelor și nu vor mai fi reluate. În continuare sunt prezentate modelele utilizate de simulator pentru tranzistoarele bipolare și un exemplu de simulare.

### 3.9.1 Modelul SPICE al TB

Modelul SPICE de semnal mare al TB are la bază schema echivalentă din figura 3.56. Sursele de curent  $i_B$  și  $i_C$  sunt controlate de  $u_{BE}$  și de  $u_{BC}$  conform relațiilor date la modelul de transport al tranzistorului – (3.116) pentru  $i_B$  și (3.118) pentru  $i_C$ .



**Fig. 3.56.** Modelul de semnal mare al TB folosit în SPICE.

Modelul diodei exponențiale, relația (2.63), conține un indice suplimentar  $n$ , care ține seama de abaterile față de caracteristica ideală a joncțiunii. La ecuațiile modelului de transport acest indice, numit coeficient de emisie, a fost considerat unitar. Modelul SPICE al TB permite definirea unor coeficienți de emisie neunitari, câte unul pentru fiecare joncțiune.

După cum se poate vedea din figură, modelul SPICE include rezistențele ohmice ale celor trei regiuni ale tranzistorului:  $r_C$  pentru colector,  $r_x$  pentru bază și  $r_E$  pentru emitor. Funcționarea dinamică a tranzistorului este modelată de cele două capacități neliniare  $C_{BE}$  și  $C_{BC}$ , care sunt compuse fiecare dintr-o capacitate de difuzie și una de barieră. La tranzistoarele din circuitele integrate se utilizează și capacitatea de barieră a joncțiunii colector-substrat  $C_{CS}$ .

Pentru analiza de semnal mic în RAN, modelul SPICE se reduce la circuitul echivalent complet din figura 3.48.

Modelul SPICE al TB include peste 40 de parametrii. Cei mai importanți dintre aceștia sunt dați în tabelul 3.2. Sunt listate, de asemenea, valorile implicite ale acestor parametrii (utilizate de SPICE în absența unor valori specificate de utilizator) și valorile pentru tranzistorul 2N2222 (literele reprezintă multiplicatori: f – fempto,  $10^{-15}$ ; p – pico,  $10^{-12}$ ; n – nano,  $10^{-9}$ ; u – micro,  $10^{-6}$ ).

**Tab. 3.2.** Parametrii mai importanți ai modelului de tranzistor bipolar din SPICE

Numele SPICE	Parametrul modelului	Simbol	Unitatea de măsură	Valoarea predefinită	Exemplu (2N2222)
IS	Curentul de saturație	$I_S$	A	1E-16	14.37f
BF	Câștigul în curent direct	$\beta_N, \beta$	-	100	150
BR	Câștigul în curent invers	$\beta_I$	-	1	6
NF	Coeficientul de emisie direct	$n$	-	1	-
NR	Coeficientul de emisie invers	-	-	1	-
VAE	Tensiunea Early directă	$U_A$	V	$\infty$	74
VAR	Tensiunea Early inversă	-	V	$\infty$	-
RC	Rezistența serie a colectorului	$r_C$	$\Omega$	0	1
RB	Rezistența serie a bazei	$r_x$	$\Omega$	0	10
RE	Rezistența serie a emitorului	$r_E$	$\Omega$	0	-
TF	Timpul de tranzit direct	$\tau_F$	s	0	411p
TR	Timpul de tranzit invers	-	s	0	46.9n
CJE	Capacitatea B-E la polarizare nulă	$C_{be0}$	F	0	22p
VJE	Diferența internă de potențial a $Je$	-	V	0,75	-
MJE	Coeficientul de „gradare” al $Je$	-	-	0,33	0.377
CJC	Capacitatea B-C la polarizare nulă	$C_{\mu 0}$	F	0	7.3p
VJC	Diferența internă de potențial a $Jc$	$U_0$	V	0,75	-
MJC	Coeficientul de „gradare” al $Jc$	$m$	-	0,33	0.34
CJS	Capacitatea C-S la polarizare nulă	$C_{cs0}$	F	0	-
VJS	Diferența internă de potențial a joncțiunii colector-substrat ( $Jcs$ )	-	V	0,75	-
MJS	Coeficientul de „gradare” al $Jcs$	-	-	0	-

### 3.9.2 Exemple de simulare; Etaj de amplificare cu TB

Pe parcursul acestui capitol au fost folosite rezultatele simulărilor unor circuite cu tranzistor bipolar la: caracteristicile statice ale TB, curbele de dependență  $\beta_N - I_C$  și la analiza comutației. Aceste simulări pot fi reluate ca exerciții de simulare a unor circuite simple cu tranzistoare. Se recomandă simularea regimului tranzitoriu al circuitului din figura 3.38.a (folosind modelul tranzistorului 2N2222 cu parametrii din paragraful anterior) și compararea rezultatelor (obținute pentru diferite valori ale componentelor de circuit) cu rezultatele din figura 3.40.

În continuare se vor compara rezultatele calculului simplificat cu rezultatele simulării pentru un circuit de amplificare de semnal mic cu TB.

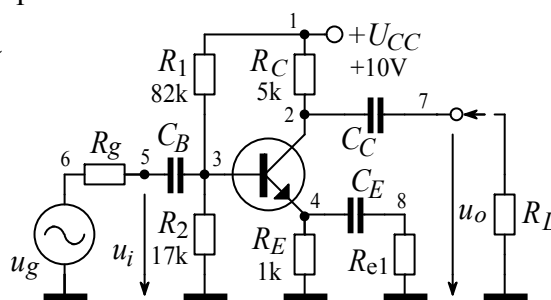
#### Exemplu de simulare

a) Pentru amplificatorul din figura alăturată să se calculeze  $psf$  pentru un tranzistor 2N2222 cu  $\beta=150$ ,  $U_{BE}=0,7V$  și să se compare cu  $psf$  obținut prin simulare.

Dacă generatorul de la intrare are amplitudinea  $U_{g\_vf}=20mV$  și rezistența internă  $R_g=5k\Omega$ , să se determine amplificarea în tensiune a circuitului cu  $R_L=2k\Omega$  ( $A_{ug}$ ) și cu  $R_L=\infty$  ( $A_{u0}$ ), pentru:

b)  $R_{e1}=0$  (etaj în conexiune EC),

c)  $R_{e1}=110\Omega$  (amplificator cu  $R_e \cong 100\Omega$ ),



atât prin calcul simplificat cât și prin simulare. Să se explice diferențele dintre cele două metode.

Tensiunea termică este  $U_T=26mV$  și condensatoarele se consideră scurtcircuitate în *ca*.

**Rezolvare:** Se vor utiliza metode de calcul manual cât mai exacte (fără aproximări), astfel încât eventualele diferențe să fie determinate în principal de modelele tranzistorului.

a) Parametrii sursei echivalente Thévenin, de polarizare a bazei, sunt:

$$U_{BB} \cong U_{CC} \frac{R_1}{R_1 + R_2} = 10 \frac{17k}{99k} = 1,72V, \quad R_B = R_1 \parallel R_2 = 14k\Omega.$$

Curentul de colector se calculează cu (3.53) și tensiunea  $U_{CE}$  cu (3.55):

$$I_C = \frac{\beta(U_{BB} - U_{BE})}{(\beta + 1)R_E + R_B} = \frac{150 \cdot 1,02}{151k + 14k} = 0,93mA,$$

$$U_{CE} = U_{CC} - (R_C + R_E) \cdot I_C = 10 - 6k \cdot 0,93m = 4,4V.$$

În urma simulării circuitului descris cu fișierul text din figura 3.57, se obține:

$$U_{BE} = 0,644V, \quad \beta_N = 154, \quad I_C = 0,977mA, \quad U_{CE} = 0,413V.$$

Dacă se recalculază  $psf$  folosind datele ( $U_{BE}$  și  $\beta_N$ ) din simulare:

$$I_C = \frac{154 \cdot (1,72 - 0,644)}{155k + 14k} = 0,98mA, \quad U_{CE} = 10 - 6k \cdot 0,98m = 4,12V,$$

rezultatele obținute sunt practic identice cu rezultatele simulării. Diferențele dintre calculele manuale și simulare se datorează valorilor diferite ale datele inițiale,  $U_{BE}$  și  $\beta_N$ ; metoda de calcul nu introduce erori semnificative.

Parametrii de semnal mic ai tranzistorului se calculează din (3.67), (3.72) și (3.77):

$$g_m = \frac{I_C}{U_T} = \frac{0,98\text{m}}{26\text{m}} = 37,7 \frac{\text{mA}}{\text{V}}, \quad r_\pi = \frac{\beta}{g_m} = \frac{150}{37,7\text{m}} = 4\text{k}\Omega, \quad r_e = \frac{r_\pi}{\beta + 1} = \frac{4\text{k}}{151} = 26,5\Omega.$$

b) Amplificarea în tensiune și rezistența de intrare calculate cu (3.82) și (3.83) sunt:

$$A_{u0} = -g_m R_C = -37,7\text{m} \cdot 5\text{k} = -188,5 \quad \text{și} \quad R_i = R_B \parallel r_\pi = 14\text{k} \parallel 4\text{k} = 3,1\text{k}\Omega.$$

Amplificarea în tensiune referitoare la generator se calculează din (3.85):

$$A_{ug} = A_{u0} \frac{R_L}{R_L + R_o} \frac{R_i}{R_i + R_g} = -188,5 \cdot 0,286 \cdot 0,383 = -20,65 \quad (\text{cu } R_o \cong R_C = 5\text{k}\Omega).$$

În urma simularea circuitului parametrilor de semnal mic ai tranzistorului sunt:

$$\beta_0 = 170, \quad g_m = 37,6\text{mA/V}, \quad r_\pi = 4,52\text{k}\Omega, \quad r_o = 79,3\text{k}\Omega,$$

iar din analiza de *ca* cu  $U_g = 20\text{mV}$  se obțin (figura 3.57):  $U_{o0} = V(7) = 1,437\text{V}$  (fără  $R_L$ ),

$$U_o = V(7) = 0,4287\text{V} \quad (\text{cu } R_L = 2\text{k}\Omega), \quad U_b = V(3) = 8,133\text{mV} \quad \text{și} \quad I_i = I(R_g) = 1,796\mu\text{A}.$$

Cu aceste tensiuni și curenți se pot calcula parametrii amplificatorului (rezultatele simulării):

$$R_i = \frac{U_b}{I_i} = 3,43\text{k}\Omega, \quad |A_{u0}| = \frac{U_{o0}}{U_b} = 176,7 \quad \text{și} \quad |A_{ug}| = \frac{U_o}{U_g} = 21,4.$$

Diferențele dintre calculul manual și simulare sunt relativ mici și se datorează valorii diferite a amplificării  $\beta_0$  și neglijării rezistenței de ieșire  $r_o$ . Dacă se consideră parametrii tranzistorului din simulare, atunci se obțin prin calcul manual rezultate practic identice cu cele obținute prin simulare:

$$A_{u0} = -g_m (R_C \parallel r_o) = -37,6\text{m} \cdot 4,7\text{k} = -176,7, \quad R_i = R_B \parallel r_\pi = 14\text{k} \parallel 4,52\text{k} = 3,42\text{k}\Omega, \\ A_{ug} = -176,7 \cdot 0,299 \cdot 0,406 = -21,45 \quad (\text{cu } R_o = R_C \parallel r_o = 4,7\text{k}\Omega).$$

Metoda de calcul manual a parametrilor amplificatorului în conexiune EC nu introduce erori, eventualele diferențe apar datorită neglijării rezistenței de ieșire a tranzistorului.

c) Amplificarea în tensiune și rezistența de intrare calculate cu (3.101) și (3.95) sunt:

$$A_{u0} = -\frac{R_C}{r_e + R_e} = -\frac{5\text{k}}{26,5 + 100} = -39,5 \quad R_i = R_B \parallel (\beta + 1)(r_e + R_e) = 14\text{k} \parallel 19,1\text{k} = 8,1\text{k}\Omega.$$

Amplificarea globală în tensiune se calculează din (3.85):

$$A_{ug} = A_{u0} \frac{R_L}{R_L + R_o} \frac{R_i}{R_i + R_g} = -39,5 \cdot 0,286 \cdot 0,618 = -7 \quad (\text{cu } R_o \cong R_C = 5\text{k}\Omega).$$

Simularea de *ca* a amplificatorului cu  $R_e$  conduce la următoarele rezultate:

$$R_i = 8,34\text{k}\Omega \quad (\text{fără } R_L), \quad R_i = 8,46\text{k}\Omega \quad (\text{cu } R_L), \quad |A_{u0}| = 39,06 \quad \text{și} \quad |A_{ug}| = 7,08.$$

Din analiza schemei echivalente de *ca* din figura 3.31, se poate observa că introducerea rezistenței de ieșire a tranzistorului  $r_o$  ar conduce la complicarea metodei de calcul manual a amplificatorului. Deoarece diferențele dintre rezultatele obținute prin simulare și prin calcul manual sunt foarte mici, această complicare a metodei de calcul nu se justifică.

Rezultatele calculului manual și ale simulării sunt centralizate în tabelul 3.3. Se constată pe de o parte diferența mică dintre rezultatele manuale și simulare iar pe de altă parte, dacă se compară rezultatele celor două configurații (cu EC și cu  $R_e$ ), se constată că la amplificatorul cu  $R_e$  amplificarea în tensiune este mai mică dar rezistența de intrare este mai mare.

**Tab. 3.3.** Comparație simulare – calcul.

	$\beta_N$	$\beta_0$	$r_\pi$ (k $\Omega$ )	$I_C$ (mA)	$R_{e1}=0$			$R_e \cong 100\Omega$		
					$ A_{u0} $	$R_i$ (k $\Omega$ )	$ A_{ug} $	$ A_{u0} $	$R_i$ (k $\Omega$ )	$ A_{ug} $
Calcul inițial	150	150	4	0,93	188,5	3,1	20,65	39,5	8,1	7
Simulare	154	170	4,52	0,997	176,7	3,43	21,4	39,06	8,4	7,08
Calcul refăcut	154	170	4,52	0,98	176,7	3,42	21,45	-	-	-

Amplif. cu TB in cnx.EC (cu Re=0 sau Re=100, cu RL=2k sau fara RL)

```
Vcc      1      0      10
Vg       6      0      ac    20m
Rg       6      5      5k
Cb       5      3      1
R1       1      3      82k
R2       3      0      17k
Q        2      3      4      Q2N2222
Rc       1      2      5k
RE       4      0      1k
Ce       4      8      1
Re1      8      0      1m          ; Re1≠0 , etaj cu un tranzistor în conexiunea EC,
*Re1     8      0      110
Cc       2      7      1
RL       7      0      2k          ; cu rezistența de sarcină RL=2kΩ
*RL      7      0      1G
```

```
.model Q2N2222 NPN(Is=14.34f Xti=3 Eg=1.11 Vaf=74 Bf=256 Ne=1.307
+      Ise=14.34f Ikf=.2847 Xtb=1.5 Br=6.092 Nc=2 Isc=0 Ikr=0 Rc=1
+      Cjc=7.306p Mjc=.3416 Vjc=.75 Fc=.5 Cje=22p Mje=.377 Vje=.75
+      Tr=46.91n Tf=411.1p Itf=.6 Vtf=1.7 Xtf=3 Rb=10)
```

```
.op
```

```
.ac      lin      1      1k      1k          ; analiza de ca la 1kHz.
```

```
.print      ac      V(7)      V(3)      V(6)      I(Rg)      Ib(Q)
```

```
.end
```

```
**** BIPOLAR JUNCTION TRANSISTORS
```

```
NAME      Q
MODEL     Q2N2222
IB        6.36E-06
IC        9.77E-04
VBE       6.44E-01
VBC       -3.49E+00
VCE       4.13E+00
BETADC    1.54E+02
GM        3.76E-02
RPI       4.52E+03
RX        1.00E+01
RO        7.93E+04
CBE       5.18E-11
CBC       4.04E-12
BETAAC    1.70E+02
FT        1.07E+08
```

```
**** AC ANALYSIS
```

```
TEMPERATURE = 27.000 DEG C
```

```
FREQ      V(7)      V(3)      V(6)      I(Rg)      IB(Q)
1.000E+03  4.287E-01  8.134E-03  2.000E-02  2.373E-06  1.796E-06
```

**Fig. 2.46.** Selecții din fișierul de ieșire (comentat). Este descris circuitul simulat, se dau modelul și parametrii tranzistorului precum și rezultatele simulării în *ca*.

S-a utilizat numerotarea nodurile circuitului din schema de principiu.

Trecerea la celelalte configurații de circuit se face prin mutarea asteriscului (care indică o linie-comentariu) între cele două linii de fișier care încep cu Re1, respectiv cu RL.



### 3.10 BIBLIOGRAFIE

- [1] A.V. Crăciun - *Dispozitive și circuite electronice*, Ed. Universității Transilvania Brașov, 2002.
- [2] Sedra S.Adel, Kenneth C.Smith – *Microelectronic circuits*, Oxford University Press, New York, 2-nd Edition 1987, 4-th Edition 1998;
- [3] Thomas L.Floyd - *Electronic Devices*, Merrill Publishing Company, Columbus, Ohio, 1988;
- [4] E. Damachi, A. Tunsoiu, L. Doboș, N. Tomescu - *Electronică*, Ed. Did. și Pedag. București, 1979;
- [5] R. Piringer, Gh. Samachișă, S. Cserveny - *Dispozitive electronice*, Ed. Did. și Pedag. București, 1976;
- [6] P. Gray, C. Searle - *Bazele electronicii moderne*, Editura Tehnică, București, 1973;
- [7] T.M. Agahanean - *Electronica cu tranzistori*, Editura Științifică și Enciclopedică, București, 1980;
- [8] Adrian V.Crăciun - *Large signal model for bipolar transistors*, Proceedings of the 4-th International Conference on Optimization of Electric and Electronic Equipments, vol.2, p.187-190, Brașov 1994;
- [9] A. Vătășescu, ș.a. – *Dispozitive semiconductoare, Manual de utilizare*, Ed. Tehnică, București, 1975;
- [10] Paul R.Gray, Robert G.Meyer - *Circuite integrate analogice, Analiză și proiectare*, Ed.Th. Buc. 1997;
- [11] Keneth R.Laker, Willy M.C.Sansen – *Design of analog integrated circuits and systems*, McGraw-Hill Book Co. Singapore, 1994;
- [12] D. Dascălu, ș.a. - *Dispozitive și circuite electronice - Probleme*, Ed. Did. și Pedeg. București, 1982;
- [13] V. Croitoru, ș.a. - *Electronică - Culegere de probleme*, Ed. Didactică și Pedagogică București, 1982;

## CAP. 4 TRANZISTOARE CU EFECT DE CÂMP

În subcapitolul următor se introduc modelele cele mai simple ale tranzistoarelor cu efect de câmp și cu ajutorul acestora se analizează câteva aplicații simple. În partea a doua a capitolului se analizează diferitele tipuri de tranzistoare cu efect de câmp din punct de vedere constructiv și funcțional și se introduc modele mai precise, precum și modelele de *ca*.

### 4.1 NOȚIUNI FUNDAMENTALE

Spre deosebire de tranzistoarele bipolare, tranzistoarele cu efect de câmp funcționează doar pe baza unui singur tip de purtători de sarcină (electroni sau goluri) funcție de tipul tranzistorului (cu canal *n* sau cu canal *p*) și de aceea se mai numesc și **tranzistoare unipolare**.

Dacă tranzistoarele bipolare pot fi considerate în esență dispozitive controlate în curent, tranzistoarele cu efect de câmp sunt dispozitive controlate în tensiune; curentul prin tranzistor este controlat de un câmp electric aplicat perpendicular pe suprafața semiconductorului și pe direcția curentului. Controlul curentului electric de către câmpul electric se numește efect de câmp și este realizat prin modificarea conductivității canalului semiconductor prin care circulă curentul. **Tranzistoarele cu efect de câmp** se notează prescurtat **TEC** (sau uneori FET – prescurtare de la denumirea în limba engleză: “Field Effect Transistor”).

La analiza de principiu a acestor tranzistoare se va considera cazul dispozitivelor cu trei terminale (unele TEC au patru terminale, studiul acestora se va face într-un alt paragraf). Cele trei terminale sunt: drena, sursa (D, S, terminalele conectate la capetele canalului) și grila (G, terminalul de control). Curentul prin tranzistor  $i_D$  circulă între drenă și sursă, iar tensiunea de control  $u_{GS}$  se aplică între grilă și sursă. Grila este izolată de canal:

- printr-o joncțiune polarizată invers în cazul tranzistoarelor cu grilă joncțiune, TEC-J, sau
- printr-un strat dielectric subțire de  $\text{SiO}_2$  în cazul tranzistoarelor metal - oxid - semiconductor, TEC-MOS.

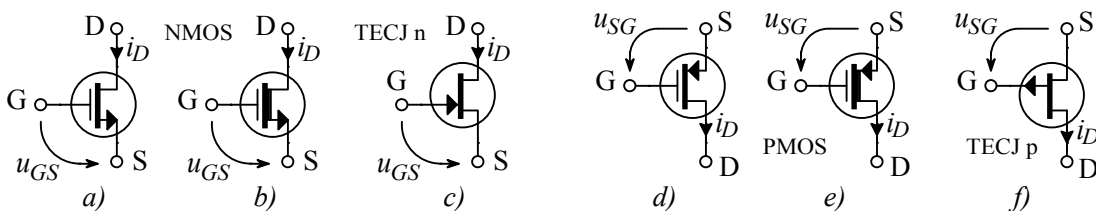
Deoarece grila este izolată de sursă, curentul de grilă al TEC este practic zero (nA la TEC-J și pA la TEC-MOS):

$$i_G \cong 0. \quad (4.1)$$

Tranzistoarele cu efect de câmp se pot clasifica în mai multe categorii:

- cu grilă joncțiune (TEC-J), sau cu grila izolată (cu oxid de siliciu, TEC-MOS);
- cu canal de tip *n* sau cu canal de tip *p*;
- cu canal indus (canalul apare la aplicarea unei anumite tensiuni de control) sau cu canal inițial.

**Simbolurile** tranzistoarelor cu efect de câmp prezentate în figura 4.1 sunt utilizate în cazul TEC cu trei terminale.



**Fig. 4.1.** Simbolurile TEC și sensurile de referință ale curenților și tensiunilor pentru:  
a), b) TEC-MOS cu canal indus, respectiv inițial de tip *n*, c) TEC-J cu canal *n*;  
d), e) TEC-MOS cu canal indus, respectiv inițial de tip *p*, f) TEC-J cu canal *p*.

Elementele grafice ale simbolurilor au următoarele semnificații:

- la toate tipurile de TEC săgeata este plasată în apropierea sursei;
- la tranzistoarele MOS săgeata arată sensul curentului (de drenă) prin tranzistor;
- la tranzistoarele TEC-J săgeata indică sensul joncțiunii grilă canal (este orientată spre zona  $p$ );
- canalul conductor este sugerat de o linie îngroșată, în cazul MOS cu canal inițial această linie este îngroșată suplimentar (între drenă și sursă);
- la tranzistoarele MOS izolarea grilă-canal este sugerată de spațiul dintre linia grilei și canal;
- tranzistoarele cu canal  $p$  sunt reprezentate de obicei inversat, cu sursa în partea de sus, astfel încât sensul curenților (și al tensiunilor) să fie de sus în jos.

În paragrafele următoare sunt date ecuațiile de funcționare ale TEC în diferite regimuri de funcționare. Se consideră inițial TEC-MOS cu canal indus de tip  $n$  deoarece este unul dintre cele mai utilizate tipuri de tranzistoare.

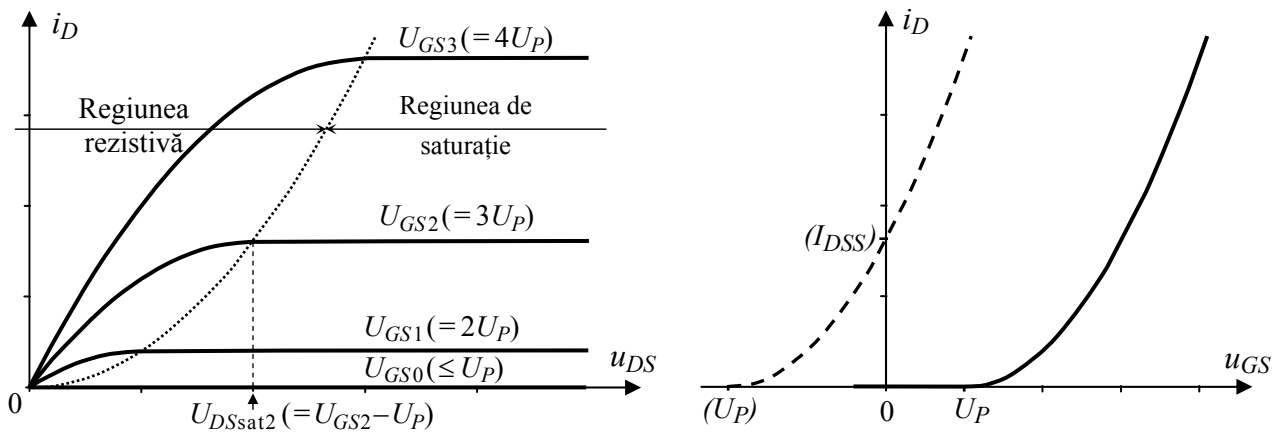
#### 4.1.1 Tranzistor cu efect de câmp (TEC) cu canal indus de tip $n$

După cum îi spune și numele, la acest tip de tranzistor canalul conductor este indus de către tensiunea de control  $u_{GS}$ . Canalul apare la aplicarea unei tensiuni de grilă mai mare decât tensiunea de prag  $U_P$ . La tranzistorul cu canal indus de tip  $n$ , tensiunea de prag este pozitivă:

$$U_P > 0. \quad (4.2)$$

Dacă tensiunea de control este mai mică decât  $U_P$ , atunci tranzistorul este blocat și curentul de drenă este nul:

$$i_D \cong 0, \quad \text{pentru} \quad u_{GS} < U_P. \quad (4.3)$$



**Fig. 4.2.** Caracteristicile statice ale unui tranzistor TEC-MOS cu canal indus de tip  $n$ :  
a) Caracteristicile de drenă, b) Caracteristica de transfer în saturație, (caracteristica de transfer trasată cu linie întreruptă este a unui TEC cu canal inițial de tip  $n$ ).

Dacă tensiunea de control este mai mare decât  $U_P$ , prin tranzistor circulă curentul de drenă  $i_D$  pozitiv (pentru o tensiune  $u_{DS}$  pozitivă) și tranzistorul se află în conducție. Caracteristicile de drenă ale tranzistorului, trasate experimental în figura 4.2.a, pun în evidență regimurile de funcționare ale TEC-MOS. Pentru fiecare caracteristică (trasată la  $u_{GS} = U_{GS} = \text{constant}$ ), la tensiuni  $u_{DS}$  suficient de mari (în dreapta liniei punctate dată de relația 4.4), se poate considera curentul de drenă ca fiind constant. Acest regim de funcționare se numește **saturație** deoarece curentul nu mai crește (se saturează) dacă  $u_{DS}$  crește peste valoarea de saturație:

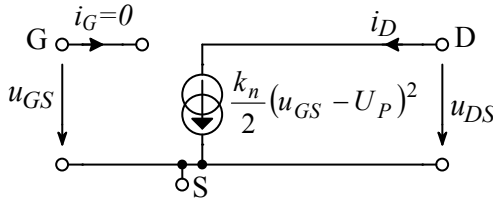
$$U_{DSsat} = U_{GS} - U_P, \quad (4.4)$$

În saturație curentul de drenă depinde numai de tensiunea grilă-sursă conform funcției parabolice:

$$i_D = \frac{k_n}{2}(u_{GS} - U_P)^2, \quad \text{pentru} \quad u_{DS} > u_{GS} - U_P, \quad (4.5)$$

unde  $k_n$  este **factorul de conducție** pentru tranzistorul cu canal  $n$  (se mai numește parametru de transconductanță). Saturația la TEC-MOS (la TEC în general) are un înțeles diferit de saturația de la tranzistoarele bipolare; această situație neplăcută nu mai poate fi schimbată deoarece întreaga literatură electronică utilizează această terminologie.

Funcția (4.5) reprezintă caracteristica de transfer în saturație și este trasată în figura 4.2.b. Relațiile (4.1) și (4.5) definesc circuitul reprezentat în figura 4.3. Acesta este de fapt circuitul echivalent de semnal mare al TEC în saturație, un generator de curent controlat în tensiune.



**Fig. 4.3.** Circuitul echivalent de semnal mare al TEC-MOS cu canal  $n$  în saturație pentru:

$$u_{GS} > U_P \quad \text{și} \\ u_{DS} > u_{GS} - U_P.$$

Pentru tensiuni  $u_{DS}$  mici, în stânga liniei punctate din figura 4.2.a, curentul de drenă  $i_D$  depinde și de tensiunea  $u_{DS}$ , tranzistorul se comportă ca o rezistență (neliniară) controlată de tensiunea  $u_{GS}$ ; acest **regim** de funcționare se numește **rezistiv** sau nesaturat. Curentul de drenă se poate calcula cu relația:

$$i_D = k_n \left[ (u_{GS} - U_P) \cdot u_{DS} - \frac{u_{DS}^2}{2} \right], \quad \text{pentru} \quad u_{DS} < u_{GS} - U_P. \quad (4.6)$$

Se observă că pentru  $u_{DS} = u_{DSsat} (= u_{GS} - U_P)$ , din relația (4.6) se obține relația (4.5), deci valoarea curentului în punctul de tranziție de la o regiune la alta poate fi calculată cu oricare dintre relațiile specifice celor două regiuni, funcția care descrie TEC fiind continuă.

Dacă tensiunea  $u_{DS}$  este foarte mică, termenul pătratic devine nesemnificativ și relația (4.6) se poate simplifica:

$$i_D = k_n (u_{GS} - U_P) \cdot u_{DS}, \quad \text{pentru} \quad u_{DS} \ll u_{GS} - U_P. \quad (4.7)$$

În acest **regim liniar** de funcționare, conductanța echivalentă a TEC depinde liniar de tensiunea de control  $u_{GS}$  și are o valoare fixă pentru o tensiune  $U_{GS}$  constantă:

$$g_{DS} = \frac{i_D}{u_{DS}} = k_n (U_{GS} - U_P), \quad \text{pentru} \quad u_{DS} \ll U_{GS} - U_P. \quad (4.8)$$

Comportarea liniară a tranzistorului se menține și pentru tensiuni  $u_{DS}$  negative (aproape de zero). Prin urmare, pentru tensiuni  $u_{DS}$  mici, TEC se comportă ca o rezistență controlată în tensiune.

### 4.1.2 TEC cu canal inițial de tip $n$

Acest tip de tranzistor se deosebește de TEC-MOS cu canal indus prin existența unui canal conductor la o tensiune de control  $u_{GS}$  nulă. Canalul conductor dispăre (se închide) la o tensiune de prag (sau tensiune de pătrundere a canalului) negativă în cazul TEC cu canal  $n$ :

$$U_P < 0. \quad (4.9)$$

Ținând seama de această diferență – relația (4.9) față de relația (4.2) – regimurile de funcționare ale TEC cu canal inițial sunt aceleași cu cele ale TEC cu canal indus și funcționarea

acestui este descrisă cu aceleași relații: (4.3) în blocare, (4.5) în saturație, (4.6) în regim rezistiv, (4.7) și (4.8) în regim liniar.

Caracteristica de transfer în saturație pentru TEC-MOS cu canal inițial de tip  $n$  este trasată cu linie întreruptă în figura 4.2.b. Curentul de drenă în saturație la polarizare nulă a grilei este  $I_{DSS}$  (curentul drenă-sursă cu grila scurtcircuitată la sursă) și este un parametru al tranzistoarelor cu canal inițial. Din relația (4.5), pentru  $u_{GS}=0$ , se obțin legăturile dintre  $I_{DSS}$  și  $k_n$ :

$$I_{DSS} = \frac{k_n}{2} U_P^2 \quad \text{respectiv} \quad k_n = \frac{2 \cdot I_{DSS}}{U_P^2}. \quad (4.10)$$

Cu parametrul  $I_{DSS}$ , caracteristica de transfer în saturație (4.5) devine:

$$i_D = I_{DSS} \left( 1 - \frac{u_{GS}}{U_P} \right)^2, \quad \text{pentru} \quad u_{DS} > u_{GS} - U_P, \quad (4.11)$$

Tranzistoarele cu efect de câmp cu canal inițial pot fi de tip MOS (cu grila izolată), sau TEC-J (cu grilă joncțiune). Relația (4.11) este utilizată de obicei pentru tranzistoarele TEC-J. Deoarece izolarea grilei de canal se realizează prin joncțiunea grilă-sursă polarizată invers, tensiunea de control a unui **TEC-J cu canal  $n$**  trebuie să fie negativă:

$$u_{GS} \leq 0. \quad (4.12)$$

Se pot admite tensiuni  $u_{GS}$  pozitive pentru TEC-J cu canal  $n$  doar dacă au valori mai mici decât tensiunea de deschidere a unei diode (circa 0,5V la siliciu).

### 4.1.3 TEC cu canal de tip $p$

Funcționarea acestor tranzistoare poate fi descrisă cu aceleași relații ca și cele utilizate în cazul tranzistoarelor cu canal  $n$  cu excepția faptului că tensiunile schimbă de semn:  $u_{GS}$  și  $u_{DS}$  sunt negative iar tensiunea de prag este negativă pentru TEC cu canal indus și pozitivă pentru TEC cu canal inițial. De asemenea, curentul  $i_D$  are sensul inversat, intră în sursă și iese prin drenă.

Datorită inversării sensurilor curenților și al tensiunilor (și deoarece în calculele manuale este mai convenabilă utilizarea tensiunilor pozitive în formule), se preferă reprezentarea TEC cu canal  $p$  cu sursa în sus și дрена în jos, ca în figura 4.1 (*d, e, f*), astfel încât curentul să circule de sus în jos și tensiunile să fie pozitive de sus în jos (excepție face tensiunea  $u_{SG}$  în cazul TEC-J cu canal  $p$ , care este negativă, pentru a asigura polarizarea inversă a joncțiunii grilă-sursă). Relațiile de la TEC cu canal  $n$  se pot utiliza cu următoarele modificări:

- se schimbă sensul tensiunilor dintre terminalele tranzistoarelor:  $u_{GS}$  se înlocuiește cu  $u_{SG}$ ,  $u_{DS}$  se înlocuiește cu  $u_{SD}$ ,
- se schimbă semnul cu care este considerată tensiunea de prag și
- factorul de conducție  $k_n$  se înlocuiește cu  $k_p$ .

De exemplu, pentru TEC-MOS cu canal indus de tip  $p$ , curentul de drenă în saturație poate fi calculat cu relația (4.5) modificată conform indicațiilor de mai sus:

$$i_D = \frac{k_p}{2} (u_{SG} + U_P)^2, \quad \text{pentru} \quad u_{SD} > u_{SG} + U_P, \quad (4.13)$$

unde  $k_p$  este factorul de conducție pentru tranzistoarele cu canal  $p$ .

**Se poate concluziona** că, indiferent de tip, tranzistoarele cu efect de câmp sunt dispozitive care controlează curentul de drenă prin intermediul tensiunii grilă-sursă și la care curentul de grilă este nul.

### 4.1.4 Comparație TEC - TB

Ambele tipuri de tranzistoare au trei terminale, două între care circulă curentul prin tranzistor, numite adesea terminale de ieșire (drenă-sursă la TEC și colector-emitor la TB) și un terminal de control, sau de intrare (grila la TEC și baza la TB). Curentul prin TEC este controlat de tensiunea dintre grilă și sursă (curentul de grilă poate fi considerat nul) iar curentul prin TB este controlat de curentul de bază (tensiunea bază-emitor poate fi considerată aproximativ constantă).

Din punctul de vedere al stării inițiale, atât TB cât și TEC cu canal indus sunt blocate în lipsa mărimii de control; curentul prin ele crește cu creșterea mărimii de control (cu condiția ca tensiunea de intrare să depășească un anumit prag). În principiu, la aplicațiile din capitoul anterior, TB pot fi înlocuite cu TEC cu canal indus (cu redimensionarea circuitelor de intrare).

TEC cu canal inițial sunt o categorie aparte, la care, în lipsa mărimii de control, tranzistorul se află în conducție. Prin modificarea mărimii de control, curentul prin tranzistor scade (la TEC-J și la TEC-MOS cu canal inițial) sau crește (la TEC-MOS cu canal inițial). Datorită particularităților acestora, există unele aplicații specifice tranzistoarelor cu canal inițial care vor fi prezentate în continuare; aplicațiile de la TB pot fi realizate în principiu și cu tranzistoare cu canal indus și de aceea nu vor mai fi analizate în detaliu.

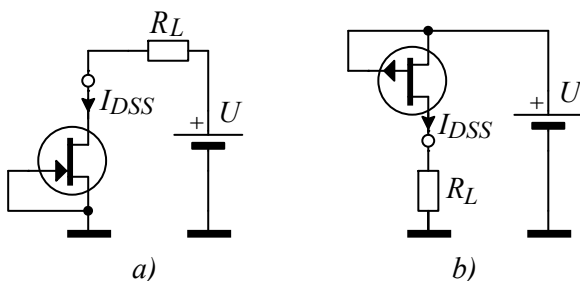
## 4.2 APLICAȚII SIMPLE ALE TRANZISTOARELOR CU EFECT DE CÂMP

### 4.2.1 Sursă de curent constant

Sursele de curent constant sunt cele mai simple aplicații ale tranzistoarelor cu canal inițial. Conform (4.11) pentru o tensiune nulă de control  $u_{GS}=0$  (scurtcircuit între grilă și sursă), curentul prin tranzistor este constant:

$$i_D = I_{DSS}. \quad (4.14)$$

Astfel de surse simple de curent se obțin prin scurtcircuitarea grilei cu sursa și conectarea circuitului de sarcină în drenă ca în figura 4.4; circuitul de sarcină este simbolizat de rezistența  $R_L$ . În locul TEC-J se pot utiliza TEC-MOS cu canal inițial, fără nici o modificare a circuitelor.



**Fig. 4.4.** Surse simple de curent constant cu TEC-J:

- a) cu canal  $n$ , absorbe curentul constant  $I_{DSS}$  din  $U$  prin  $R_L$ ,
- b) cu canal  $p$ , injectează curentul constant  $I_{DSS}$  din  $U$  în  $R_L$ .

Relațiile (4.11) arată că tranzistorul trebuie să fie în regiunea de saturație; pentru  $u_{GS}=0$  trebuie ca:

$$u_{DS} > -U_P \text{ la TEC cu canal } n \text{ și } u_{SD} > U_P \text{ la TEC cu canal } p. \quad (4.15)$$

Introducerea unui circuit suplimentar de polarizare a grilei permite modificarea curentului la TEC cu canal inițial precum și utilizarea ca surse de curent constant a TEC-MOS cu canal indus.

### 4.2.2 Rezistență controlată în tensiune

Conform (4.8), pentru tensiuni  $u_{DS}$  foarte mici (în modul), conductanța echivalentă a TEC (între drenă și sursă) depinde liniar de tensiunea de comandă ( $u_{GS}$  la TEC cu canal  $n$  respectiv  $u_{SG}$  la TEC cu canal  $p$ ). Această dependență permite utilizarea TEC ca rezistență controlată în tensiune. În continuare se va analiza cazul unui tranzistor TEC-J cu canal  $n$  cu ajutorul unui exemplu.

**Exemplu**

Se consideră un tranzistor TEC-J cu canal  $n$  cu parametrii:  $I_{DSS}=4\text{mA}$  și  $U_P=-2\text{V}$ , alimentat cu o tensiune drenă-sursă foarte mică  $u_{DS}\approx 0$ .

a) Să se calculeze conductanța și rezistența echivalentă dintre drena și sursa tranzistorului pentru  $u_{GS}=0$  (în cazul scurtcircuitării grilei cu sursa). Cu cât se modifică rezistența echivalentă dacă se modifică tensiune drenă-sursă la  $U_{DS}=\pm U_P/4$  ?

b) Să se reprezinte grafic conductanța și rezistența echivalentă dintre drena și sursa tranzistorului (raportate la valorile calculate anterior) în funcție de tensiunea  $u_{GS}$  (raportată la tensiunea de prag  $U_P$ ) pentru  $u_{GS}=0\dots U_P$ .

**Rezolvare:** Factorul de conducție al tranzistorului se determină din (4.10):

$$k_n = \frac{2 \cdot I_{DSS}}{U_P^2} = \frac{2 \cdot 4\text{mA}}{(-2)^2} = 2 \frac{\text{mA}}{\text{V}^2}.$$

Conductanța echivalentă a TEC se calculează cu (4.8) (pentru tensiuni  $u_{DS}$  foarte mici) iar rezistența echivalentă se calculează ca fiind inversul conductanței.

a) Pentru  $u_{GS}=0$ , din (4.8) rezultă conductanța echivalentă maximă (de semnal mic, pentru  $u_{DS}\approx 0$  și care va fi notată cu indici litere mici):

$$g_{ds\max} = k_n(-U_P) = 2\text{mA} \cdot (-(-2)) = 4\text{mS} \quad \text{și} \quad r_{ds\min} = \frac{1}{g_{ds\max}} = \frac{1}{4\text{m}} = 250\Omega.$$

Pentru o tensiune drenă-sursă  $U_{DS}=\pm U_P/4$ , TEC este în regiunea nesaturată deoarece este îndeplinită condiția (4.6):  $U_{DS} < -U_P$  ( $U_{DS}=\pm U_P/4=\pm 0,5\text{V}$ ,  $-U_P=2\text{V}$ ).

Se va folosi indicele 1 pentru tensiunea  $U_{DS}$  pozitivă și indicele 2 pentru cea negativă.

Curenții prin TEC se calculează cu (4.6):

$$i_{D1} = k_n \left[ (-U_P) \cdot u_{DS} - \frac{u_{DS}^2}{2} \right] = 2\text{mA} \left( 2 \cdot 0,5 - \frac{0,5^2}{2} \right) = 1,75\text{mA}, \quad i_{D2} = 2,25\text{mA}$$

iar rezistențele echivalente se determină din legea lui Ohm:

$$r_{DS1} = \frac{u_{DS1}}{i_{DS1}} = \frac{0,5}{1,75\text{mA}} = 286\Omega, \quad \text{respectiv} \quad r_{DS2} = \frac{u_{DS2}}{i_{DS2}} = \frac{-0,5}{-2,25\text{mA}} = 222\Omega.$$

Diferențele dintre aceste rezistențe și cea calculată anterior, exprimate în procente, sunt destul de mari:

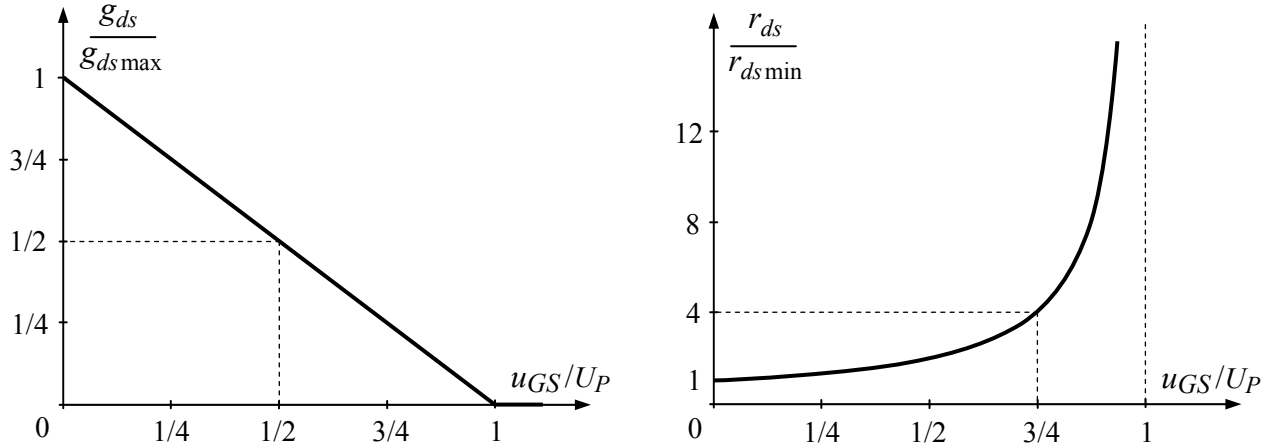
$$\varepsilon_1 = \frac{r_{DS1} - r_{ds\min}}{r_{ds\min}} 100 = \frac{36}{250} 100 = 14\% \quad \text{respectiv} \quad \varepsilon_2 = \frac{-28}{250} 100 = -11\%.$$

b) Conductanța (respectiv rezistența) echivalentă dintre drena și sursa TEC, raportată la valoarea ei maximă (respectiv minimă), pentru  $u_{DS}\approx 0$ , se determină pe baza relației (4.8):

$$\frac{g_{ds}}{g_{ds\max}} = \frac{k_u(u_{GS} - U_P)}{k_u(-U_P)} = 1 - \frac{u_{GS}}{U_P} \quad \text{și} \quad \frac{r_{ds}}{r_{ds\min}} = \frac{1/g_{ds}}{1/g_{ds\max}} = \frac{1}{1 - \frac{u_{GS}}{U_P}}.$$

Graficele acestor funcții se trasează prin puncte conform tabelului următor.

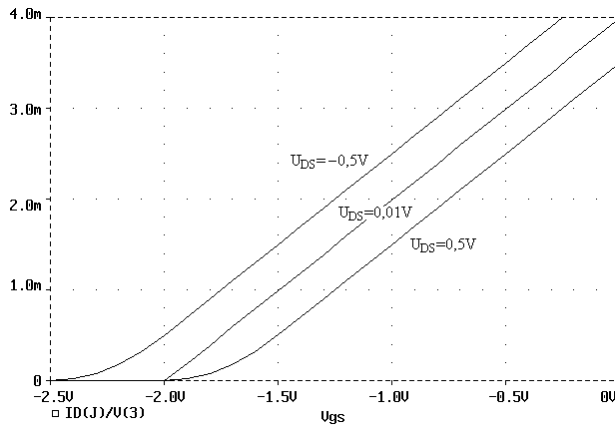
$u_{GS}/U_P$	0	1/4	1/2	3/4	7/8	11/12	1
$g_{ds}/g_{ds\max}$	1	3/4	1/2	1/4	1/8	1/12	0
$r_{ds}/r_{ds\min}$	1	4/3	2	4	8	12	$\infty$



**Fig. 4.5.** Conductanța și rezistența drenă-sursă funcție de tensiunea grilă-sursă, pentru  $u_{DS} \cong 0$ . Datorită normării, caracteristicile pot fi utilizate pentru orice **TEC cu canal inițial**.

Se remarcă liniaritatea conductanței drenă-sursă cu tensiunea de comandă pe un domeniu foarte larg, de la  $g_{ds\max}$  până la zero, rezultat valabil pentru  $u_{DS} \cong 0$  sau mai precis pentru  $u_{DS} \ll u_{GS} - U_P$ . Această condiție este cu atât mai greu de îndeplinit cu cât  $u_{GS}$  se apropie de  $U_P$ .

În figura 4.6 se prezintă rezultatele simulării cu tranzistorul din exemplul anterior, pentru tensiuni  $u_{DS} = \pm 0,5V$ , comparativ cu cazul unui semnal mic  $u_{DS} = 10mV$ . Din grafic, este evidentă influența tensiunii  $u_{DS}$  asupra valorii conductanței  $g_{DS}$  și asupra liniarității acesteia.



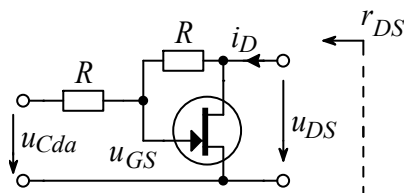
**Fig. 4.6.** Dependența conductanței  $g_{DS}$  de  $u_{GS}$  pentru diferite tensiuni  $u_{DS}$  în cazul unui **TEC-J** cu canal  $n$ .

Se remarcă modificarea apreciabilă a conductanței echivalente cu tensiunea  $u_{DS}$ .

Parametrii tranzistorului simulat sunt  $I_{DSS} = 4mA$  și  $U_P = -2V$ .

### Rezistență controlată în tensiune cu TEC și cu divizor de tensiune

Pentru a extinde domeniul pentru care  $g_{DS}$  depinde liniar de  $u_{GS}$ , se adaugă un divizor rezistiv conectat între drenă și borna de control, conform figurii 4.7.



**Fig. 4.7.** **TEC-J** cu canal  $n$  ca rezistență controlată în tensiunea:  $r_{DS}(u_{Cda})$ . Rezistențele  $R$  din divizor au valori foarte mari (rezultă  $i_R \ll i_D$ ).



Rezistențele din divizor se aleg de valori foarte mari ( $M\Omega$ , alegere posibilă datorită curentului de grilă foarte mic,  $i_G \cong 0$ ) și de aceea curentul prin aceste rezistențe poate fi neglijat față de curentul  $i_D$  prin tranzistor.

Scopul analizei următoare este obținerea funcției  $r_{DS}(u_{Cda})$ .

Curentul de grilă al TEC este foarte mic ( $i_G \cong 0$ ) și prin cele două rezistențe circulă același curent ( $i_R \gg i_G$ ). Din legea lui Ohm aplicată succesiv celor două rezistențe egale rezultă:

$$i_R = \frac{u_{DS} - u_{GS}}{R} = \frac{u_{GS} - u_{Cda}}{R} \quad \text{și} \quad u_{GS} = \frac{u_{DS} + u_{Cda}}{2}. \quad (4.16)$$

Se consideră că TEC lucrează în regiunea rezistivă. Prin înlocuirea relației precedente în (4.6) se obține:

$$i_D = k_n \left( \frac{u_{Cda}}{2} - U_P \right) u_{DS} \quad \text{și} \quad g_{DS} = \frac{i_D}{u_{DS}} = k_n \left( \frac{u_{Cda}}{2} - U_P \right), \quad (4.17)$$

o relație liniară între  $g_{DS}$  și  $u_{Cda}$ . Liniaritatea se păstrează pe întreg domeniul de valabilitate al relației (4.6), adică pentru  $u_{DS} < u_{GS} - U_P$ . Înlocuind  $u_{GS}$  din (4.16) rezultă:

$$u_{Cda} > u_{DS} + 2U_P. \quad (4.18)$$

La TEC-J, grila trebuie să fie polarizată invers. La TEC-J cu canal  $n$ ,  $u_{GS} < 0$ . Ținând seama de (4.16) rezultă:

$$u_{Cda} < -u_{DS}. \quad (4.19)$$

În general pentru ca orice TEC cu canal  $n$  (indiferent de tip) să fie în conducție trebuie să fie respectată condiția mai puțin restrictivă:

$$u_{GS} > U_P \quad \text{și din (4.16):} \quad u_{Cda} > 2U_P - u_{DS}. \quad (4.20)$$

Din condițiile anterioare se obțin limitele tensiunii de comandă  $u_{Cda}$  în funcție de valorile posibile ale tensiunilor din circuit (de exemplu, la TEC cu canal inițial de tip  $n$  tensiunea  $U_P$  este negativă iar tensiunea  $u_{DS}$  poate fi pozitivă sau negativă).

### Exemplu

Parametrii TEC-J din figura 4.7 sunt  $I_{DSS} = 4\text{mA}$  și  $U_P = -2\text{V}$ . Dacă se folosesc două rezistențe egale  $R = 1\text{M}\Omega$ , să se determine:

a) limitele între care conductanța echivalentă a TEC  $g_{DS}$  se modifică liniar cu tensiunea de comandă  $u_{Cda}$ , dacă  $u_{DS}$  variază între  $u_{DS\min} = -1\text{V}$  și  $u_{DS\max} = 1\text{V}$ .

b) Cât devin aceste limite dacă domeniul de variație al tensiunii aplicate tranzistorului se reduce de 10 ori (la  $u_{DS} = -0,1 \dots 0,1\text{V}$ ).

**Rezolvare:** Se determină domeniul de valabilitate al relației liniare  $g_{DS}(u_{Cda})$  prin analiza condițiilor (4.18), (4.19) și apoi se calculează limitele între care se modifică  $g_{DS}$  și  $r_{DS}$ . Factorul de conducție al tranzistorului se determină din (4.10):

$$k_n = \frac{2 \cdot I_{DSS}}{U_P^2} = \frac{2 \cdot 4\text{mA}}{(-2)^2} = 2 \frac{\text{mA}}{\text{V}^2}.$$

a) Ținând seama de limitele tensiunii  $u_{DS}$ , din condițiile:

$$(4.18): u_{Cda} > 2U_P - u_{DS} = -4 - (-1 \dots 1) = -3 \dots -5\text{V} \quad \text{și} \quad (4.19): u_{Cda} < -u_{DS} = 1 \dots -1\text{V},$$

considerând situațiile cele mai restrictive, rezultă limitele tensiunii de comandă:

$$2U_P - u_{DS\min} < u_{Cda} < -u_{DS\max} \quad \text{adică} \quad u_{Cda} = -3 \dots -1 \text{ V.}$$

Din (4.17) rezultă limitele conductanței și ale rezistenței echivalente:

$$g_{DS} = k_n \left( \frac{u_{Cda}}{2} - U_P \right) = 2m \left( \frac{-3 \dots -1}{2} + 2 \right) = 1 \dots 3 \text{ mS} \quad \text{și} \quad r_{DS} = \frac{1}{g_{DS}} = 0,33 \dots 1 \text{ k}\Omega.$$

Plaja de variație a rezistenței echivalente a TEC este de 1:3.

b) Dacă limitele de variație ale tensiunii se reduc, limitele tensiunii de comandă devin:

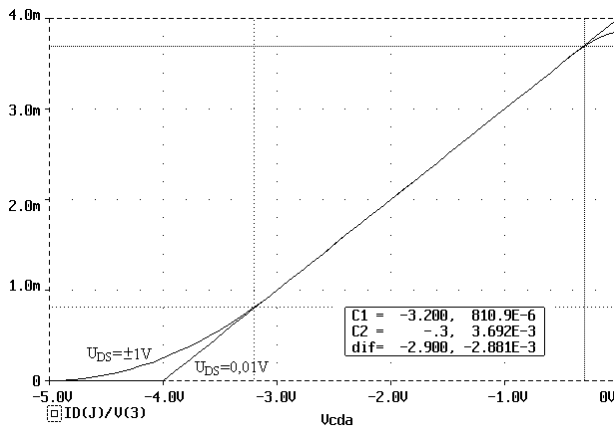
$$2U_P - u_{DS\min} = -3,9 \text{ V}, \quad -u_{DS\max} = -0,1 \text{ V} \quad \text{adică} \quad u_{Cda} = -3,9 \dots -0,1 \text{ V}$$

și plaja de variație a rezistenței echivalente a TEC crește la 1:39 (de 13 ori) :

$$g_{DS} = 2m \left( \frac{-3,9 \dots -0,1}{2} + 2 \right) = 0,1 \dots 3,9 \text{ mS} \quad \text{și} \quad r_{DS} = \frac{1}{g_{DS}} = 0,26 \dots 10 \text{ k}\Omega.$$

Rezistențele din divizor au fost neglijate deoarece sunt mult mai mari decât cea mai mare rezistență echivalentă a TEC ( $1 \text{ M}\Omega \gg 10 \text{ k}\Omega$ ).

La circuitele practice se poate atinge o plajă de variație a rezistenței echivalente (în condiții de liniaritate) ceva mai mare decât cea calculată, deoarece TEC-J poate lucra și cu o ușoară polarizare directă a grilei. În figura 4.8 sunt prezentate rezultatele simulării circuitului pentru  $u_{Cda} = 2U_P - u_{DS\min} \dots 0 = -5 \dots 0 \text{ V}$ . Din simulare rezultă un domeniu de variație de 1:4,5 ( $g_{DS} = 0,81 \dots 3,7 \text{ mS}$  pentru o eroare de 1% – valorile date de poziția celor două cursoare din figură); respectiv un domeniu de variație de 1:3,6 ( $g_{DS} = 1 \dots 3,6 \text{ mS}$  pentru o eroare nedetectabilă. Eroarea a fost considerată ca fiind diferența normată a valorii obținute pentru  $u_{DS\max} = 1 \text{ V}$  față de cea obținută în condiții de semnal mic, pentru  $u_{DS} = 10 \text{ mV}$ ). La simularea pentru  $u_{DS\max} = \pm 0,1 \text{ V}$ , rezultă un domeniu de variație de 1:47 ( $g_{DS} = 0,085 \dots 4 \text{ mS}$ ) pentru o eroare de 1% și un domeniu de variație de 1:40, foarte apropiat de cel obținut prin calcul ( $g_{DS} = 0,1 \dots 4 \text{ mS}$ ), pentru o eroare nedetectabilă.



**Fig. 4.8.** Dependenta conductanței  $g_{DS}$  de  $u_{Cda}$  pentru diferite tensiuni  $u_{DS}$  în cazul circuitului cu TEC-J (cu  $I_{DSS} = 4 \text{ mA}$  și  $U_P = -2 \text{ V}$ ) și cu divizor de tensiune.

Se remarcă domeniul de liniaritate al dependenței  $g_{DS}(u_{Cda})$  (conform rezultatelor din chenar), în cazul unor variații relativ mari ale  $u_{DS}$ .

Rezistențe controlate în tensiune cu TEC pot fi folosite la: circuite de modulare, controlul automat al amplificării, reglarea automată a amplitudinii, oscilatoare comandate în tensiune ș.a.

### 4.2.3 Comutator analogic cu TEC

La limită, rezistența controlată în tensiune devine comutator. Astfel tranzistorul blocat (cu o rezistență echivalentă foarte mare) este echivalent cu un comutator deschis, iar tranzistorul în conducție (cu o rezistență echivalentă mică) poate fi considerat un comutator închis. Sunt posibile diferite configurații în funcție de tipul și modul cum este conectat tranzistorul (la masă sau flotant).

În continuare se analizează una dintre cele mai simple configurații, realizată cu un TEC-J cu canal  $n$  conectat la masă, ca în figura 4.9.a. Tranzistorul deconectează sau conectează la masă rezistența de sarcină  $R_L$  care este conectată la rândul ei la sursa de semnal  $u$ .

Semnalul de control este aplicat în grila tranzistorului. Când acest semnal este nul, TEC este în conducție și comutatorul este închis. Rezistența  $R_L$  și sursa de semnal  $u$  asigură funcționarea TEC în regim rezistiv ( $R_L \gg r_{DS}$  și/sau  $u$  are valori mici). Figura 4.9.b prezintă caracteristica de ieșire a TEC pentru  $u_{GS}=0$  și câteva drepte de sarcină trasate pentru diferite valori (pozitive și negative) ale tensiunii sursei de semnal  $u$ . Circuitul poate fi dimensionat astfel încât TEC să funcționeze în regim liniar, cu  $u_{DS} \ll -U_P$ . În acest caz tranzistorul poate fi considerat ca fiind o rezistență  $r_{DS}=1/g_{DS}$  (figura 4.9.c). Conductanța  $g_{DS}$  este panta caracteristicii TEC în origine și se poate calcula cu (4.8) pentru  $u_{GS}=0$ . Rezistența în conducție a tranzistorului are valori uzuale de ordinul zecilor de ohmi.

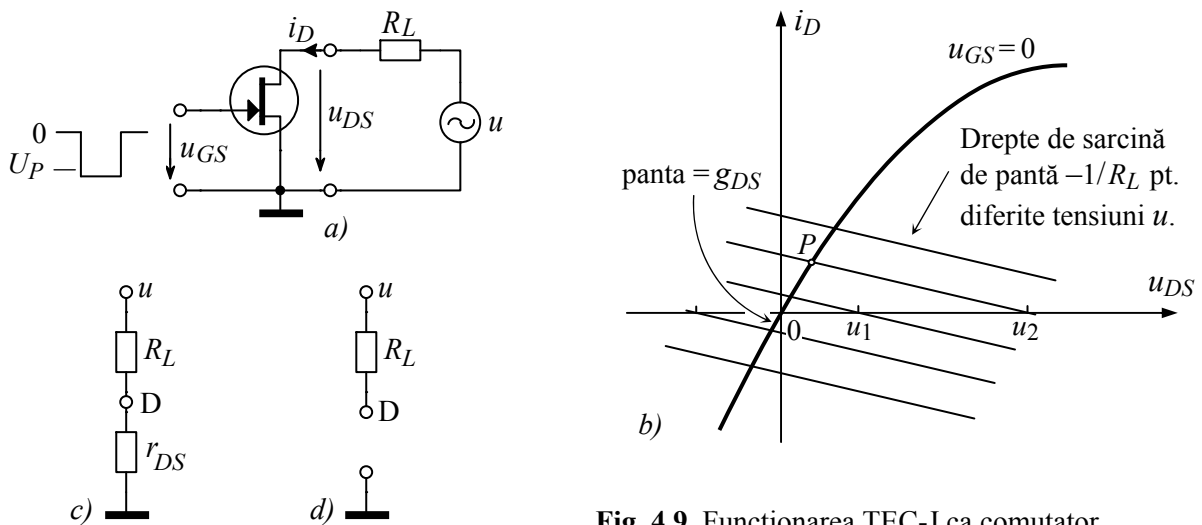


Fig. 4.9. Funcționarea TEC-J ca comutator.

Blocarea tranzistorului, sau deschiderea comutatorului, se realizează conform (4.3) prin aplicarea unei tensiuni de comandă mai negative decât tensiunea de prag. Curentul prin TEC este foarte mic, de ordinul nanoamperilor (sau chiar sutimi de nA), astfel încât drena este practic deconectată de sursă (figura 4.9.d). Rezistența comutatorului în stare deschisă este foarte mare.

Față de tranzistorul bipolar, comutatorul cu TEC are avantajul că nu prezintă tensiune de offset (caracteristicile statice ale TEC sunt liniare la trecerea prin zero, în timp ce caracteristicile TB sunt neliniare și cu o tensiune de offset de ordinul zecilor de milivolți). Acest avantaj al TEC permite utilizarea acestuia la comutarea semnalelor analogice, caz în care se numește **comutator analogic**.

Pentru a înțelege importanța liniarității caracteristicii statice în cazul comutării semnalelor analogice se va analiza circuitul de principiu din figura 4.10.a. Spre deosebire de circuitul anterior, în acest caz rezistența de sarcină  $R_L$  are o bornă conectată la masă, iar comutatorul este conectat între sursa de semnal analogic  $u$  și sarcină. În cazul în care semnalul analogic are valori mari, comanda comutatorului este mai dificil de realizat deoarece tensiunea din sursa tranzistorului urmărește semnalul, poate fi atât pozitivă cât și negativă (nu mai este nulă ca în cazul anterior).

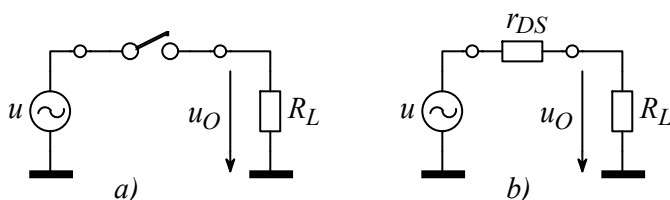


Fig. 4.10. Comutatorul analogic conectează sarcina  $R_L$  la semnalul analogic  $u$  (a);  
b) Schema echivalentă cu comutatorul închis.

În conducție, tranzistorul trebuie să se apropie cât mai mult de un scurtcircuit. Rezistența comutatorului închis formează împreună cu rezistența de sarcină un divizor de tensiune (figura 4.10.b). Amplitudinea semnalului de ieșire  $u_O$  depinde de rezistența  $r_{DS}$  a comutatorului închis:

$$u_O = u_A \frac{R_L}{R_L + r_{DS}}, \quad (4.21)$$

ceea ce face să apară o atenuare a semnalului, datorită rezistenței  $r_{DS}$ .

O problemă suplimentară apare dacă rezistența comutatorului depinde de tensiunea  $u$ . În acest caz, raportul divizorului de tensiune depinde de nivelul semnalului  $u$  și semnalul de ieșire va avea distorsiuni neliniare. În plus, deoarece tensiunea  $u$  poate fi pozitivă sau negativă (de exemplu în cazul unui semnal alternativ), comutatorul trebuie să conducă în ambele direcții, deci trebuie să fie bidirecțional. Pentru a asigura o rezistență în conducție mică și relativ constantă pentru întreg domeniul de tensiuni admise, în practică se folosesc grupuri de două tranzistoare MOS cu canal indus, unul cu canal  $p$  și altul cu canal  $n$ , care compun așa-numita poartă de transmisie care transmite sau blochează semnalul analogic spre circuitul de sarcină, conform figurii 4.10. Poarta de transmisie este realizată cu tranzistoare cu efect de câmp cu patru terminale și va fi analizată într-un paragraf următor.

Un exemplu concret poate fi relevant pentru a înțelege limitările și avantajele comutatorului analogic cu TEC.

### Exemplu de analiză

Se consideră circuitul din figura 4.9 cu o sursă de semnal sinusoidal  $u$  cu amplitudinea  $U_{vf}=10V$  și o sarcină  $R_L=10k\Omega$ . Parametrii TEC-J sunt  $I_{DSS}=4mA$  și  $U_P=-2V$ . Dacă  $U_{GS}=0$ :

a) Să se determine amplitudinea pozitivă și cea negativă a tensiunii pe sarcină și erorile datorate comutatorului analogic.

b) Să se calculeze rezistența de sarcină maximă pentru care tranzistorul este în regim rezistiv și erorile introduse de comutatorul analogic în acest caz.

c) Cât poate fi  $R_L$  pentru ca atenuarea introdusă de comutatorul analogic să fie sub 1%?

**Rezolvare:** Factorul de conducție al tranzistorului se determină din (4.10):

$$k_n = \frac{2 \cdot I_{DSS}}{U_P^2} = \frac{2 \cdot 4m}{(-2)^2} = 2 \frac{mA}{V^2}.$$

a) Pe baza relației (4.6) se determină dependența conductanței  $g_{DS}$  de  $u_{DS}$ :

$$g_{DS} = \frac{i_D}{u_{DS}}, \quad g_{DS} = k_u \left( U_{GS} - U_P - \frac{u_{DS}}{2} \right). \quad (4.22)$$

Din (4.21) se obține relația dintre  $u_{DS}$  și  $u$  și apoi relația  $g_{DS}(u)$  pentru  $U_{GS}=0$ :

$$u_{DS} = \frac{u}{1 + g_{ds} R_L}, \quad g_{DS} = k_u \left( -U_P - \frac{u}{2(1 + g_{DS} R_L)} \right).$$

Prin rezolvarea ecuației (de gradul 2 în  $g_{DS}$ ) precedente pentru valorile maxime și minime ale tensiunii sursei de semnal (notate cu indicele 1, respectiv 2) rezultă:

$$g_{DS1}=3,74mS, \quad g_{DS2}=4,23mS, \quad \text{și} \quad r_{DS1}=267,4\Omega, \quad r_{DS2}=236,4\Omega.$$

Ținând seama de limitele tensiunii  $u$ , din (4.21) se obțin limitele tensiunii pe sarcină:

$$u_O = u \frac{R_L}{R_L + r_{DS}} = \frac{u}{1 + 1/(g_{ds} R_L)}, \quad u_{O1} = 9,74V, \quad u_{O2} = -9,77V.$$

Erorile, privite ca diferențe între amplitudinile (pozitive) ale semnalelor de pe sarcină și de intrare raportate la amplitudinea semnalului de intrare, sunt:

$$\varepsilon = \frac{|u_{Ovf}| - U_{vf}}{U_{vf}} 100\%, \quad \varepsilon_1 = -2,6\%, \quad \varepsilon_2 = -2,3\%.$$

Eroarea de neliniaritate, datorată amplitudinilor diferite ale celor două alternanțe pe sarcină, se calculează ca diferența amplitudinilor (în modul) raportată la amplitudinea medie:

$$\varepsilon_n = \frac{||u_{O2}| - u_{O1}|}{(u_{O1} + |u_{O2}|)/2} = \frac{0,03}{9,755} = 0,31\%.$$

Această eroare este proporțională cu coeficientul de distorsiuni al semnalului pe sarcină.

b) Tensiunea maximă pe TEC  $u_{DS\max}$  apare atunci când tensiunea este maximă la sursa de semnal:  $u_{\max} = U_{vf}$ . La limita dintre regimul rezistiv și regimul de saturație al TEC, pentru  $U_{GS} = 0$ , din (4.11) rezultă:  $i_D = I_{DSS} (= i_{D\max})$  și  $u_{DS} = -U_P (= u_{DS\max})$ .

Legea lui Ohm aplicată rezistenței de sarcină în aceste condiții:

$$R_L = \frac{u - u_{DS}}{i_D}, \quad R_{L\max} = \frac{U_{vf} + U_P}{I_{DSS}}, \quad (4.23)$$

conduce la  $R_{L\max} = (10 - 2)/4\text{mA} = 2\text{k}\Omega$ .

Conductanțele echivalente ale TEC și erorile circuitului se determină ca la punctul a:

$$g_{DS1} = 2\text{mS}, \quad g_{DS2} = 4,67\text{mS}, \quad \varepsilon_1 = -4,76\%, \quad \varepsilon_2 = -2,1\%, \quad \varepsilon_n = 2,75\%.$$

Se observă erorile mari ale tensiunii pe sarcină și mai ales eroarea de neliniaritate apreciabilă care apare în acest caz.

c) Din calculele anterioare se observă că erorile mai mari apar pentru alternanța pozitivă iar eroarea este determinată de căderea de tensiune pe TEC,  $u_{DS1}$ . Pentru  $\varepsilon_1 = -1\% = -0,01$  rezultă o tensiune:  $u_{DS1} = -\varepsilon_1 U_{vf} = 0,1V$  și din (4.22) rezultă conductanța TEC:

$$g_{DS1} = k_u \left( -U_P - \frac{u_{DS1}}{2} \right) = 2\text{mA} (2 - 0,1) = 3,9\text{mS}.$$

Din regula divizorului de tensiune aplicată divizorului  $r_{DS1} - R_{L1}$ , se obține:

$$-\varepsilon_1 = \frac{u_{DS1}}{U_{vf}} = \frac{1}{1 + g_{DS1} R_{L1}} = 0,01 \quad \text{și} \quad R_{L1} = \frac{101}{g_{DS1}} = \frac{101}{3,9\text{m}} \cong 27\text{k}\Omega.$$

**Concluzia** este că regimul limită de funcționare (b) al TEC trebuie evitat; TEC trebuie să funcționeze cu tensiuni cât mai mici (c) pentru a introduce erori minime, sau trebuie ca  $R_L$  să fie mult mai mare decât rezistența echivalentă a TEC,  $R_L \gg r_{DS0} (= -1/k_n U_P = 0,25\text{k}\Omega)$ .

Comutatoarele analogice pot fi utilizate la aplicații cum ar fi convertoarele analog-digitale și digital-analogice, circuite cu capacități comutate, atenuatoare și amplificatoare programabile ș.a.

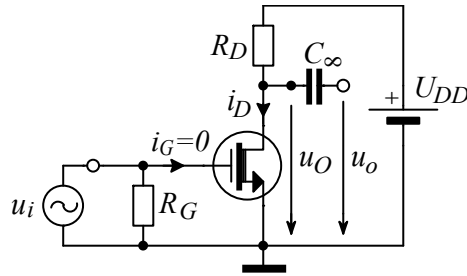
### 4.2.4 Amplificator de tensiune

Cel mai simplu amplificator de tensiune se poate realiza cu un TEC-MOS cu canal inițial deoarece acesta nu necesită circuit de polarizare a grilei, figura 4.11. Un circuit practic conține și rezistența  $R_G$  care asigură condiția de scurtcircuit a intrării în lipsa sursei de semnal de la intrare (sau dacă această sursă nu asigură o cale de închidere a curentului continuu). Rezistența  $R_G$  poate avea valori mari deoarece curentul de grilă este foarte mic (uzual de ordinul picoamperilor) – de exemplu pentru  $R_G=1\text{M}\Omega$  la un curent de grilă de  $1\text{nA}$  ( $=1000\text{pA}$ ), căderea de tensiune pe  $R_G$  este practic nulă:

$$U_{GS}=R_G I_G=1\text{M} \cdot 1\text{n}=1\text{mV} (\cong 0). \quad (4.24)$$

Deoarece curentul de grilă al TEC este foarte mic ( $i_G \cong 0$ ), rezistența de intrare în grilă  $R_{ig}$  și rezistența de intrare a amplificatorului  $R_i$  au valori foarte mari:

$$R_{ig} = \frac{u_i}{i_g} \cong \infty \quad \text{și} \quad R_i = R_G \parallel R_{ig} \cong R_G. \quad (4.25)$$



**Fig. 4.11.** Amplificator de tensiune cu TEC-MOS cu canal inițial de tip  $n$ .

$R_G$  asigură un potențial nul în grilă,  $C_\infty$  asigură separarea componentei de  $ca$  la ieșire.

Condensatorul de cuplaj de la ieșire, notat cu  $C_\infty$ , are o valoare suficient de mare (teoretic infinită) pentru a se comporta ca un scurtcircuit din punctul de vedere al semnalului (practic, reactanța capacitivă a acestuia trebuie să fie neglijabilă față de rezistența de drenă).

La analiza circuitului se va considera cazul uzual în care tranzistorul lucrează în saturație. În acest caz, caracteristica de transfer a tranzistorului și condiția de saturație sunt date de relațiile (4.11). Curentul de polarizare în drenă și tensiunea statică la ieșire se obțin pentru o tensiune de intrare nulă,  $u_i(=u_{GS})=0$ :

$$I_D = I_{DSS} \quad \text{și} \quad U_{DS} = U_{DD} - R_D I_{DSS} = U_O. \quad (4.26)$$

#### Centrarea $psf$ la ieșire

Cazurile limită de funcționare sunt intrarea în blocare și ieșirea din saturație a TEC. La blocare curentul prin TEC este nul,  $i_D=0$  și tensiunea de ieșire este:

$$u_O = U_{DD}. \quad (4.27)$$

Conform condiției (4.11) și pentru  $u_{GS}=0$ , TEC este în saturație dacă:

$$u_{DS} > -U_P, \quad \text{iar la limita ieșirii din saturație} \quad u_O = -U_P. \quad (4.28)$$

Centrarea punctului static de funcționare ( $psf$ ) presupune alegerea mediei tensiunilor limită:

$$U_O = U_{DS} = \frac{U_{DD} - U_P}{2}. \quad (4.29)$$

Egalând (4.29) cu (4.26) rezultă rezistența de drenă necesară pentru a centra  $psf$ :

$$R_D = \frac{U_{DD} + U_P}{2 I_{DSS}}. \quad (4.30)$$

### Amplificarea în tensiune

În prezența semnalului de intrare, tensiunea de ieșire se poate calcula folosind (4.11):

$$u_o = U_{DD} - R_D I_{DSS} \left(1 - \frac{u_i}{U_P}\right)^2 = U_{DD} - R_D I_{DSS} + u_o = U_O + u_o, \quad (4.31)$$

iar tensiunea de semnal  $u_o$  este:

$$u_o = R_D I_{DSS} \left[ \frac{2u_i}{U_P} - \left(\frac{u_i}{U_P}\right)^2 \right]. \quad (4.32)$$

Dacă este îndeplinită condiția de semnal mic:

$$u_i \ll |U_P|, \quad (4.33)$$

atunci termenul pătratic din relația precedentă poate fi neglijat, caz în care tensiune de ieșire și amplificarea în tensiune a circuitului pot fi calculate cu relațiile:

$$u_o \cong R_D I_{DSS} \frac{2u_i}{U_P} \quad \text{și} \quad A_u = \frac{u_o}{u_i} = \frac{2 I_{DSS}}{U_P} R_D. \quad (4.34)$$

Din analiza relației precedente se constată că amplificarea depinde direct de parametrii TEC și de rezistența de drenă. Amplificarea are o valoare negativă, deoarece tranzistorul MOS cu canal  $n$  are o tensiune de prag negativă, conform (4.9). Semnificația valorii negative a amplificării este că amplificatorul este inversor, adică semnalele de ieșire și de intrare sunt în antifază.

Dacă  $psf$  este centrat (conform celor arătate anterior) atunci  $R_D$  îndeplinește condiția (4.30) și amplificarea în tensiune devine:

$$A_u = \frac{2 I_{DSS}}{U_P} \frac{U_{DD} + U_P}{2 I_{DSS}} = \frac{U_{DD}}{U_P} + 1. \quad (4.35)$$

Din relația anterioară se constată că amplificarea în tensiune depinde direct de raportul dintre tensiunea de alimentare și tensiunea de prag a tranzistorului cu efect de câmp.

### Amplificarea maximă

Amplificarea în tensiune maximă în condiții de semnal mic se obține cu (4.34), pentru o rezistență de drenă maximă. Din (4.26) se constată că o rezistență  $R_D$  maximă conduce la o tensiune  $U_{DS}(=U_O)$  minimă. Tensiunea  $U_O$  minimă apare la ieșirea din saturație a TEC, conform (4.28). Din (4.28) și (4.26) rezultă rezistența de drenă maximă:

$$R_D = \frac{U_{DD} + U_P}{I_{DSS}}. \quad (4.36)$$

În condiții de semnal foarte mic la ieșire, din (4.34) și (4.36) rezultă amplificarea maximă:

$$A_u = 2 \left( \frac{U_{DD}}{U_P} + 1 \right). \quad (4.37)$$

Prin compararea (4.37) cu (4.35), se constată că amplificarea în tensiune poate fi cel mult dublă față de amplificarea calculată în condiții de centrare a  $psf$  la ieșire. În practică, amplificarea maximă nu poate fi realizată, deoarece, pentru o variație negativă a semnalului la ieșire, TEC intră în regim nesaturat. În regim nesaturat, neliniaritățile amplificatorului cresc, deoarece curentul de drenă depinde neliniar și de tensiunea de ieșire (nu numai de tensiunea de intrare ca în saturație).

**Exemplu de analiză**

Pentru amplificatorul din figura 4.11 cu  $U_{DD}=12V$  și  $R_G=1M\Omega$ , tranzistorul MOS cu canal inițial de tip  $n$  cu parametrii:  $I_{DSS}=10mA$  și  $U_P=-3V$ , funcționează în saturație.

- a) Să se determine rezistența de drenă pentru care  $psf$  este centrat la ieșire (în drenă).
- b) Dacă semnalul la intrare are o amplitudine  $U_{i\_vf}=|U_P/3|=1V$  să se determine limitele tensiunii de ieșire și amplitudinea celor două alternanțe la ieșire, cu  $R_D$  de la punctul a).
- c) Să se calculeze amplificarea în tensiune a circuitului în condiții de semnal mic, cu  $R_D$  de la punctul a și cu rezistența de drenă maximă. Cât este amplitudinea semnalului la ieșire în cele două cazuri, dacă amplitudinea semnalului de la intrare este  $U_{i\_vf}=0,1V$ ?

**Rezolvare:** a) Pentru a centra  $psf$  în drenă trebuie ca tensiunea de drenă să fie media tensiunilor de blocare și de ieșire din saturație a TEC, conform (4.30):

$$R_D = \frac{U_{DD} + U_P}{2 I_{DSS}} = \frac{12 - 3}{2 \cdot 10m} = 0,45k\Omega = 450\Omega.$$

Punctul static de funcționare al TEC este definit de mărimile de cc:

$$U_{GS}=R_G I_G=0, \quad I_D=I_{DSS}=10mA \quad \text{și} \quad U_{DS} = U_{DD} - R_D I_{DSS} = 12 - 0,45k \cdot 10m = 7,5V.$$

b) Curentul de drenă în cele două situații limită:  $u_{GS}=\pm U_{i\_vf}=\pm|U_P/3|$ , se calculează cu relația (4.11), ținând seama de rezultatul de la punctul a:  $R_D I_{DSS}=(U_{DD}+U_P)/2$ , iar limitele tensiunii de ieșire rezultă din T2K aplicată pe bucla de ieșire.

- Pentru alternanța pozitivă la intrare,  $u_{GS}=U_{i\_vf}=-U_P/3$ , rezultă:

$$i_D = I_{DSS} \left( 1 - \frac{-U_P}{3 \cdot U_P} \right)^2 = \frac{16}{9} I_{DSS} = i_{D\max} = 17,8mA \quad \text{și}$$

$$u_{DS} = U_{DD} - \frac{16}{9} I_{DSS} R_D = U_{DD} - \frac{8}{9} (U_{DD} + U_P) = \frac{U_{DD}}{9} - \frac{8}{9} U_P = u_{O\min} = 4V.$$

Deoarece  $u_{O\min} > -U_P$ , condiția de saturație este îndeplinită și deci calculul este corect.

- Pentru alternanța negativă la intrare,  $u_{GS}=-U_{i\_vf}=U_P/3$ , rezultă:

$$i_D = I_{DSS} \left( 1 - \frac{U_P}{3 \cdot U_P} \right)^2 = \frac{4}{9} I_{DSS} = i_{D\min} = 4,44mA \quad \text{și}$$

$$u_{DS} = U_{DD} - \frac{4}{9} I_{DSS} R_D = U_{DD} - \frac{2}{9} (U_{DD} + U_P) = \frac{7}{9} U_{DD} - \frac{2}{9} U_P = u_{O\max} = 10V.$$

Amplitudinile semnalului la ieșire pot fi calculate ca diferențe între valorile limită și valoarea din  $psf$  a tensiunii de ieșire:

$$U_{o\_vf}^{(+)} = u_{O\max} - U_O = 2,5V \quad \text{și} \quad U_{o\_vf}^{(-)} = U_O - u_{O\min} = 3,5V.$$

Semnalul de ieșire este distorsionat deoarece amplitudinile acestuia sunt inegale. Eroarea este cauzată de nivelul prea mare al semnalului și poate fi apreciată cu diferența dintre amplitudini și media acestora, raportată la medie:



$$U_{o\_med} = \frac{U_{o\_vf}^{(+)} + U_{o\_vf}^{(-)}}{2} = 3V, \quad \varepsilon = \frac{U_{o\_vf}^{(-)} - U_{o\_med}}{U_{o\_med}} = \frac{0,5}{3} = 0,167 = 16,7\%.$$

Eroarea calculată reprezintă de fapt coeficientul de distorsiuni al semnalului la ieșire.

c) Amplificarea în tensiune se poate calcula cu (4.34). Pentru  $R_D = 0,45k\Omega$  rezultă:

$$A_u = \frac{2I_{DSS}}{U_P} R_D = \frac{2 \cdot 10m}{-3} 0,45k = -3.$$

Valoarea negativă a amplificării arată faptul că semnalul de ieșire este în antifază cu cel de la intrare. Se remarcă valoarea mică a modulului amplificării (comparativ cu cea a unui amplificator identic echipat cu tranzistor bipolar). Astfel, la un amplificator cu TB în condiții echivalente:  $I_C = 10mA$  și  $R_C = 0,45k\Omega$ , rezultă din (3.82):  $A_u = -40I_C R_C = -180$ , o amplificare de 60 de ori mai mare (în modul). Pe de altă parte, amplificatorul cu TEC are o rezistență de intrare  $R_i = R_G = 1M\Omega$  mult mai mare față de amplificatorul cu TB, a cărui rezistență de intrare este mai mică de  $1k\Omega$ , (de cel puțin 1000 de ori mai mare).

Rezistența de drenă maximă se obține la limita ieșirii din saturație a TEC, conform (4.36), iar amplificarea corespunzătoare rezultă din (4.34):

$$R_D = \frac{U_{DD} + U_P}{I_{DSS}} = \frac{12 - 3}{10m} = 0,9k\Omega, \quad A_u = \frac{2I_{DSS}}{U_P} R_D = \frac{2 \cdot 10m}{-3} 0,9k = -6.$$

Amplificarea maximă obținută, în condițiile unei tensiuni statice de ieșire la limita saturației:  $U_{DS} = U_{DD} - R_D I_{DSS} = 12 - 0,9k \cdot 10m = 3V (= -U_P)$ . este dublă față de amplificarea calculată anterior

Condiția de semnal mic (4.33) fiind îndeplinită:  $U_{i\_vf} (=0,1V) \ll |U_P| (=3V)$ , amplitudinea tensiunii la ieșire este:

$$U_{o\_vf} = |A_u| \cdot U_{i\_vf} = 3 \cdot 0,1 = 0,3V \text{ pentru } R_D = 0,45k\Omega,$$

$$\text{respectiv } U_{o\_vf} = 0,6V \text{ pentru } R_D = 0,9k\Omega.$$

Tensiunea la ieșire în al doilea caz variază în jurul valorii din  $psf(U_{DS})$  astfel:  $u_O = U_{DS} \pm U_{o\_vf} = 3V \pm 0,6V = 2,4 \dots 3,6V$ . Tranzistorul iese din saturație ( $u_O < -U_P$ ) pentru semialternanța negativă a semnalului de ieșire. În această situație, pe de o parte, relația de calcul a amplificării nu mai este corectă și pe de altă parte, apar distorsiuni suplimentare ale semnalului de ieșire (deoarece curentul de drenă va depinde și de tensiunea de ieșire). Pentru a obține o amplificare cât mai mare fără distorsiuni, se ridică tensiunea statică de ieșire (în acest caz la:  $U_{DS} > -U_P + U_{o\_vf} = 3,6V$ ), prin reducerea corespunzătoare a rezistenței de drenă:  $R_D = (U_{DD} - U_{DS}) / I_{DSS}$  ( $R_D < 0,84k\Omega$ , în acest caz).

Pentru a putea utiliza un TEC-J ca amplificator, trebuie introdus un circuit suplimentar de polarizare a grilei, astfel încât, indiferent de polaritatea semnalului de intrare, joncțiunea grilă-sursă să fie polarizată invers – de exemplu la TEC-J cu canal  $n$ , tensiunea în grilă trebuie să fie negativă.

Toate aplicațiile prezentate în acest subcapitol pot fi adaptate și pentru TEC cu canal indus, prin introducerea unor circuite suplimentare de polarizare a grilei tranzistoarelor. În subcapitolul următor vor fi prezentate astfel de circuite de polarizare atât pentru TEC-J cât și pentru TEC-MOS.

### 4.3 CIRCUITE DE POLARIZARE

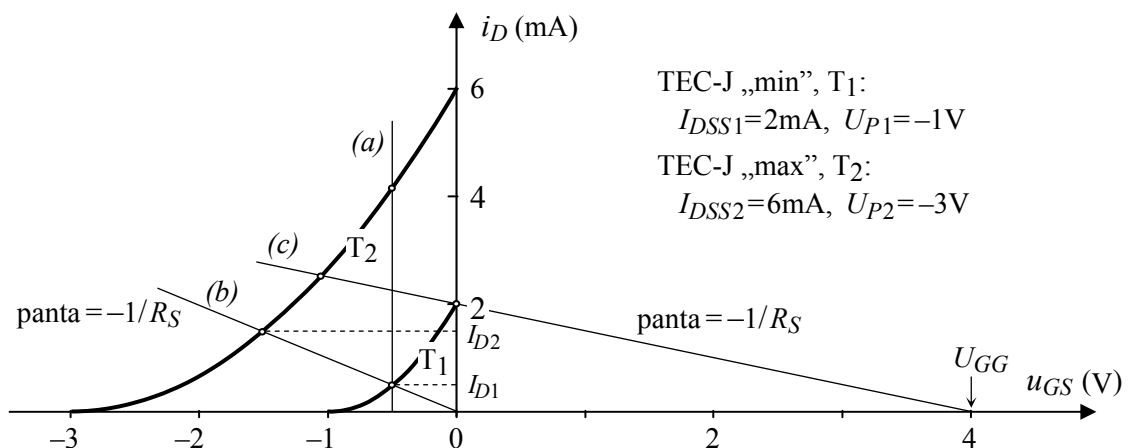
Circuitele de polarizare impun mărimile electrice de *cc* (sau de polarizare) prin tranzistor sau se mai spune că fixează punctul static de funcționare (*psf*) al tranzistorului. Deoarece TEC este în esență un dispozitiv care controlează curentul de drenă, la dimensionarea circuitului de polarizare, principala mărime de interes este curentul static de drenă  $I_D$ . De exemplu, la un amplificator cu TEC, trebuie ca *psf* în drenă să fie caracterizat de un curent  $I_D$  stabil și predictibil, iar tensiunea de polarizare  $U_{DS}$  trebuie să asigure funcționarea TEC în saturație pentru toate nivelurile normale ale semnalului de intrare. Valoarea curentului  $I_D$  este determinată de parametrii tranzistorului și de tensiunea de polarizare a intrării  $U_{GS}$ , fixată de circuitul de polarizare al grilei.

Un curent de polarizare  $I_D$  stabil este acela care depinde cât mai puțin de parametrii TEC:  $U_P$  și  $k_n$  respectiv  $k_p$  (pentru tranzistoarele cu canal  $n$ , respectiv pentru cele cu canal  $p$ ). Problema stabilității *psf* este importantă la TEC deoarece parametrii acestora au variații tehnologice apreciabile, după cum se poate vedea din cataloagele de tranzistoare.

#### 4.3.1 Polarizarea TEC cu grilă joncțiune (TEC-J)

Parametrii TEC-J se modifică datorită temperaturii. O variație mult mai importantă este însă așa-numita variația tehnologică a parametrilor; astfel, tranzistoare diferite care aparțin aceluiași tip pot avea parametri foarte diferiți. Spre exemplu, foaia de catalog a tranzistorului de tip 2N3221 (TEC-J cu canal  $n$ ) indică o variație posibilă a curentului  $I_{DSS}$  de la 2 la 6mA, iar limitele de variație ale tensiunii de prag  $U_P$  se pot estima ca fiind de la  $-1$  la  $-3V$ , deci ambii parametri au un domeniu de variație de 1:3 (sunt cazuri când domeniul de variație al parametrilor este de 1:10 și chiar mai mult). Dacă se înlocuiește un anumit tranzistor cu un altul de același tip, circuitul de polarizare trebuie astfel conceput încât curentului static  $I_D$  să nu se modifice semnificativ.

Problema polarizării tranzistoarelor reale admite totuși o simplificare, în sensul că TEC-J care au un curent  $I_{DSS}$  mare tind să aibă și tensiunea de prag  $|U_P|$  mare, respectiv cele cu un curent  $I_{DSS}$  mic au și tensiunea de prag  $|U_P|$  mică. Astfel, pentru exemplul precedent, se poate estima că circuitul de polarizare trebuie să asigure funcționarea pentru două tranzistoare limită: unul (va fi notat cu „min”) caracterizat de valorile limită minime:  $I_{DSS1}=2mA$ ,  $U_{P1}=-1V$  și celălalt (notat cu „max”) caracterizat de valorile limită maxime:  $I_{DSS2}=6mA$ ,  $U_{P2}=-3V$ . Caracteristicile de transfer a celor două tranzistoare extreme sunt trasate în figura 4.12.



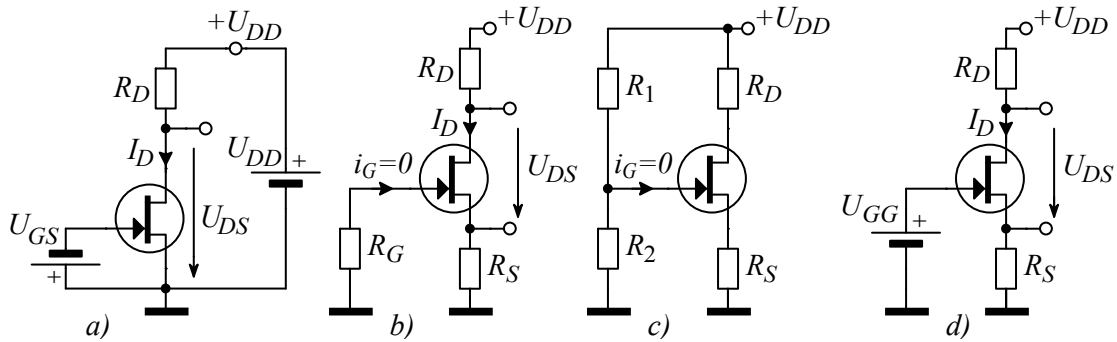
**Fig. 4.12.** Caracteristicile de transfer limită pentru TEC-J (cu canal  $n$ , de tip 2N3221). Sunt desenate și dreptele de sarcină pentru polarizare: (a) – cu tensiune constantă, (b) – cu negativare automată și (c) – cu negativare automată și divizor de tensiune.

### Polarizare cu tensiune constantă

Cel mai simplu circuit de polarizare se obține prin introducerea unei surse de tensiune între grilă și sursă ca în figura 4.11.a. Pentru un TEC-J cu canal  $n$ , limitele tensiunii  $U_{GS}$  sunt:

$$U_P < U_{GS} < 0. \quad (4.38)$$

Dacă se ține seama de dispersia tehnologică, în formula de mai sus trebuie considerată tensiunea de prag cea mai mică în valoare absolută,  $U_{P1}$  pentru cazul prezentat anterior. Dacă tensiunea  $U_{GS}$  este cuprinsă între  $U_{P2}$  și  $U_{P1}$  tranzistorul „min” va fi blocat, (deci unele tranzistoare de tipul respectiv vor fi blocate). În cazul reprezentat în figură, cu  $U_{GS} = -0,5V$ , rezultă o dispersie foarte mare a curenților: de la 0,5 la 4,17mA, un raport mai mare decât 1:8. Deoarece este necesară o sursă suplimentară (cu polaritate inversă față de sursa de polarizare a drenei) și datorită dispersiei foarte mari a curentului  $I_D$ , această metodă nu se folosește în practică.



**Fig. 4.13.** Circuite de polarizare (pentru TEC-J cu canal  $n$ ): a) cu tensiune constantă, b) cu negativare automată, c) cu negativare automată și divizor de tensiune și d) schema echivalentă pentru c (divizorul de tensiune este echivalat cu sursa  $U_{GG}$ ).

### Polarizare cu negativare automată

Circuitul de polarizare cu negativare automată (sau cu auto-polarizare) este prezentat în figura 3.13.b. Circuitul include rezistența  $R_S$  între sursă și masă. Căderea de tensiune pe această rezistență  $U_S = R_S I_D$  reprezintă chiar tensiunea de polarizare inversă  $U_{GS}$ :

$$U_{GS} = -R_S I_D, \quad (4.39)$$

grila fiind legată la masă prin rezistența  $R_G$ ,  $U_G \cong 0$  și  $U_{GS} = U_G - U_S = -U_S$ . Chiar dacă rezistența  $R_G$  are valori mari (de ordinul megaohmilor) căderea de tensiune pe ea este foarte mică deoarece curentul care o parcurge este practic nul,  $i_G \cong 0$  (cu valori uzuale mai mici de un nanoamper).

Negativarea automată se referă la apariția unei tensiuni negative de polarizare a grilei  $U_{GS}$  prin punerea grilei la masă și ridicarea potențialului sursei (datorită curentului care trece prin dispozitiv și prin rezistența  $R_S$ ). Un astfel de circuit este posibil doar la dispozitive care sunt normal deschise, de tipul TEC cu canal inițial (la tranzistoarele normal blocate, cum ar fi TB sau TEC cu canal indus, această auto-polarizare nu este posibilă).

Ecuția (4.39) combinată cu caracteristica de transfer în saturație (4.11) conduce la:

$$I_D = I_{DSS} \left( 1 + \frac{I_D R_S}{U_P} \right)^2. \quad (4.40)$$

Soluția acestei ecuații poate fi obținută pe cale grafică. Pe graficul din figura 4.12, relația liniară (4.39) este dreapta (b) care trece prin origine. Valoarea curentului prin TEC se modifică de la  $I_{D1}$  pentru tranzistorul „min” la  $I_{D2}$  pentru tranzistorul „max”, o modificare mult mai redusă

decât în cazul polarizării cu tensiune constantă. Pentru a reduce variația curentului  $I_D$  trebuie aleasă o rezistență  $R_S$  cât mai mare (o valoare mare pentru  $R_S$  conduce la o pantă mică a drepte). Cu o valoare mare pentru  $R_S$  rezultă însă un curent  $I_D$  nepractic de mic (mai ales în cazul TEC „min”).

De exemplu, pentru o rezistență  $R_S$  de  $1\text{k}\Omega$  și considerând caracteristicile din figura 4.13, rezultă  $I_D = 0,5\text{mA}$ ,  $U_{GS} = -0,5\text{V}$  pentru TEC „min” și  $I_D = 1,5\text{mA}$ ,  $U_{GS} = -1,5\text{V}$  pentru TEC „max”, o variație de 1:3, mai mică decât la circuitul cu tensiune constantă, dar totuși inacceptabilă.

### Polarizare cu negativare automată și divizor de tensiune

Din figura 4.12 se observă că pentru a reduce variația curentului, caracteristicile de transfer trebuie să fie intersectate cu o dreaptă a cărei pantă să fie cât mai mică. Utilizarea unei surse de tensiune pozitivă în grilă  $U_{GG}$  conduce la o astfel de dreaptă, marcată (c) pe figură:

$$u_{GS} = U_{GG} - R_S i_D. \quad (4.40)$$

Ecuția de mai sus poate fi implementată cu circuitul din figura 4.13.d care se realizează practic cu ajutorul unui divizor de tensiune, rezultând astfel circuitul din figura 4.13.c, la care:

$$U_{GG} = \frac{R_2}{R_1 + R_2} U_{DD}. \quad (4.41)$$

Curentul  $I_D$  se poate determina prin înlocuirea tensiunii  $u_{GS}$  din (4.40) în (4.11).

La toate circuitele de polarizare analizate, rezistența  $R_D$  trebuie aleasă astfel ca tranzistorul să rămână în saturație (indiferent de exemplarul de tranzistor sau de nivelul semnalului de intrare), conform condiției (4.11). Condiția de saturație poate fi scrisă într-o formă mai simplă:

$$u_{DS} > u_{GS} - U_P, \quad u_{DS} - u_{GS} = u_{DG}, \quad u_{DG} > -U_P, \quad (4.42)$$

ceea ce semnifică faptul că potențialul în drenă trebuie să fie mai mare decât în sursă cu  $|U_P|$ .

Tensiunea  $U_{DS}$  sau rezistența  $R_D$  se determină din ecuația drepte de sarcină la ieșire:

$$u_{DS} = U_{DD} - (R_D + R_S) i_D. \quad (4.43)$$

#### Exemplu de proiectare

Să se dimensioneze circuitul de polarizare din figura 4.13.c dacă caracteristicile TEC-J sunt cele din figura 4.12, pentru o tensiune de alimentare  $U_{DD} = 10\text{V}$ .

**Rezolvare:** Pentru a obține un curent  $I_D$  cât mai mare și o variație a acestuia cât mai mică, trebuie utilizate valori cât mai mari pentru  $U_{GG}$  și  $R_S$ . Pe de altă parte, cu cât  $U_{GG}$  este mai mare cu atât se va reduce căderea de tensiune pe  $R_D$  (deoarece conform condiției (4.42) potențialul în drenă trebuie să fie mai mare decât în grilă cel puțin cu  $|U_P|$ , pentru a menține TEC-ul în saturație). Pentru un anumit  $I_D$ , o tensiune mai mică pe  $R_D$  conduce la o valoare mai mică pentru  $R_D$  și implicit, conform (4.30), o amplificare în tensiune mai mică a circuitului. Dacă se alege o tensiune  $U_{GG} = 4\text{V}$ , atunci tranzistorul „min” trebuie să aibă o tensiune de drenă de cel puțin  $U_G - U_P = 5\text{V}$  și mai rămân  $5\text{V}$  pentru  $R_D$ , iar tranzistorul „max” trebuie să aibă o tensiune de drenă de cel puțin  $4 + 3 = 8\text{V}$  și mai rămân  $2\text{V}$  pentru  $R_D$ .

Pentru a maximiza curentul  $I_D$ ,  $R_S$  se alege astfel încât să rezulte curentul  $I_D$  maxim pentru tranzistorul „min”:  $I_D = I_{DSS1} = 2\text{mA}$ , ceea ce corespunde unei tensiuni  $U_{GS} = 0$  pentru respectivul tranzistor. În acest caz, semnalul aplicat la intrare poate să aducă joncțiunea grilă-sursă în polarizare directă, care poate fi admisă cu condiția ca tensiunea de polarizare directă să fie mai mică decât tensiunea de deschidere a joncțiunii ( $U_{D0}$ , circa  $0,5\text{V}$  la siliciu).

Rezistența  $R_S$  se determină din T2K scrisă pe bucla de intrare pentru  $U_{GS}=0$ :

$$U_{GG} = U_{GS} + R_S I_D = R_S I_{DSS1}, \quad R_S = \frac{U_{GG}}{I_{DSS1}} = \frac{4}{2\text{m}} = 2\text{k}\Omega.$$

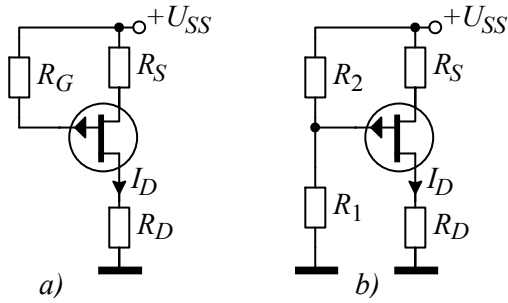
Curentul prin tranzistorul „max” se calculează prin înlocuirea (4.40) în (4.11) și rezolvarea ecuației pătratice:

$$\frac{i_D}{I_{DSS2}} = \left( 1 - \frac{U_{GG}}{U_{P2}} + \frac{R_S}{U_{P2}} i_D \right)^2 \quad \text{din care rezultă} \quad I_D = 2,53\text{mA},$$

Variația curentului  $I_D = 2 \dots 2,53\text{mA}$  este mult mai mică decât în cazul polarizării cu negativare automată (unde s-a obținut  $I_D = 0,5 \dots 1,5\text{mA}$ ; variația, normată la valoarea medie, este de circa patru ori mai mică:  $\pm 12\%$  față de  $\pm 50\%$ ).

### Polarizarea TEC-J cu canal $p$

Metodele de polarizare prezentate pentru TEC-J cu canal  $n$  pot fi utilizate și pentru TEC-J cu canal  $p$  cu inversarea sensului tensiunilor. Se preferă reprezentarea tranzistoarelor inversat (cu sursa în sus, pentru ca sensurile tensiunilor și ale curenților să fie de sus în jos) ca în figura 4.14.



**Fig. 4.14.** Circuite de polarizare pentru TEC-J cu canal  $p$ :

- a) cu negativare automată,
- b) cu negativare automată și divizor de polarizare în grilă.

Condiția de saturație la TEC cu canal  $p$ , (4.13), poate fi rescrisă într-o formă mai simplă:

$$u_{SD} > u_{SG} + U_P, \quad u_{SD} - u_{SG} = u_{GD}, \quad u_{GD} > U_P, \quad (4.44)$$

Semnificația fizică a relației (4.44) este că potențialul în grilă trebuie să fie mai mare decât în drenă cu o tensiune egală cu  $U_P$  (care este pozitivă în cazul TEC-J cu canal  $p$ ).

Relațiile de calcul de la TEC-J cu canal  $n$  pot fi adaptate la TEC-J cu canal  $p$  conform regulilor indicate la prezentarea tranzistorului cu canal  $p$  (paragraful 4.1.3). Astfel, pentru circuitul de polarizare cu negativare automată, relațiile (4.39) și (4.40) devin:

$$U_{SG} = -R_S I_D, \quad \text{respectiv} \quad I_D = I_{DSS} \left( 1 - \frac{I_D R_S}{U_P} \right)^2. \quad (4.45)$$

La circuitul de polarizare cu negativare automată și divizor în grilă relațiile (4.41), (4.40) și (4.43) devin:

$$U_{GG} = \frac{R_2}{R_1 + R_2} U_{SS}, \quad u_{SG} = U_{GG} - R_S i_D, \quad (4.46)$$

$$\text{respectiv} \quad u_{SD} = U_{SS} - (R_D + R_S) i_D. \quad (4.47)$$

Curentul  $I_D$  se poate determina prin înlocuirea tensiunii  $u_{SG}$  din (4.46) în (4.11) rescrisă pentru TEC-J cu canal  $p$ :

$$i_D = I_{DSS} \left( 1 + \frac{u_{SG}}{U_P} \right)^2. \quad (4.48)$$

### 4.3.2 Polarizarea TEC cu canal indus

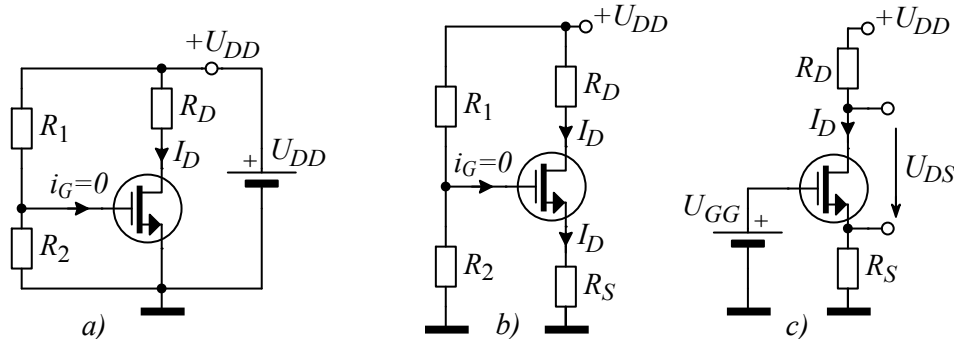
Tehnicile de polarizare de la TB sunt folosite și la tranzistoarele cu canal indus, deoarece ambele tipuri sunt dispozitive normal închise și circuitul de polarizare trebuie să asigure la terminalul de control o tensiunea mai mare decât tensiunea de deschidere a tranzistorului. Există și unele deosebiri: TEC are un curent de intrare în grilă practic nul iar tensiunea de deschidere este mai mare pentru tranzistoarele MOS discrete și cu o dispersie de fabricație mult mai mare decât la TB; din analiza datelor de catalog ale TEC-MOS cu canal indus, se constată că valorile uzuale ale tensiunii de prag sunt  $U_P = 2 \dots 4 \text{ V}$  (sau  $U_P = 1 \dots 3 \text{ V}$ ) ceea ce indică limite de variație ale  $U_P$  aflate în raport de 1:2 (până la 1:3). În continuare se vor prezenta particularitățile circuitelor de polarizare ale TEC-MOS discrete.

#### Circuit de polarizare cu divizor în grilă

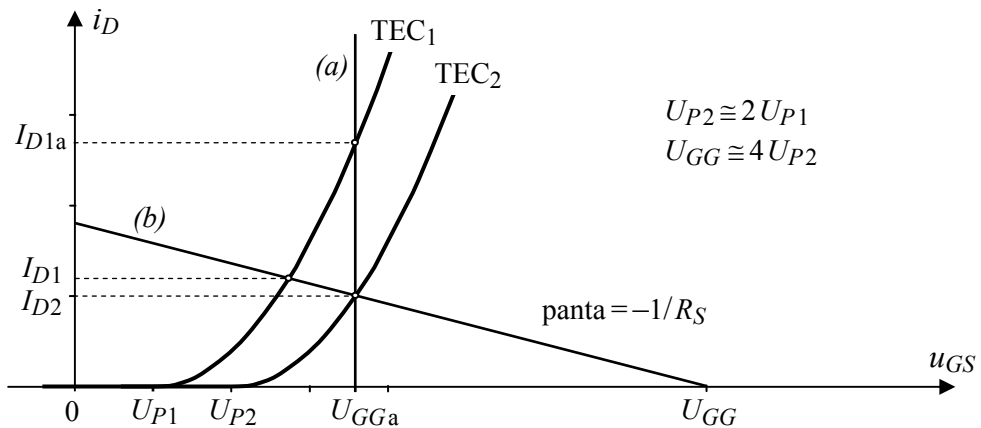
Se vor prezenta circuitele de polarizare pentru TEC cu canal indus de tip  $n$  care au tensiunea de prag pozitivă (4.2). Tensiunea pozitivă în grilă poate fi obținută cu un divizor de tensiune (alimentat de la sursa pozitivă de tensiune  $U_{DD}$ ), conform figurii 4.15:

$$U_{GG} = \frac{R_2}{R_1 + R_2} U_{DD}. \quad (4.49)$$

La varianta mai simplă de circuit din figura 4.14.a  $U_{GS} = U_{GG}$ . Fiind fixă, tensiunea  $U_{GS}$  determină curenți diferiți ( $I_{D1a}$  și  $I_{D2}$ ) pentru tranzistoare care au parametrii diferiți, cazul (a) din figura 4.16; în figură s-au considerate tranzistoarele limită, cu limite de variație ale tensiunii de prag  $U_P$  aflate în raport de 1:2.



**Fig. 4.15.** Circuite de polarizare pentru TEC-MOS cu canal indus (de tip  $n$ ) cu tensiune constantă în grilă: a) cu  $U_{GS}$  constant; Cu tensiune constantă și rezistență în sursă: b) circuitul practic (cu divizor de tensiune) și c) schema echivalentă (divizorul este echivalat cu  $U_{GG}$ ).



**Fig. 4.16.** Caracteristicile de transfer limită pentru TEC-MOS cu canal indus de tip  $n$  și dreptele de sarcină pentru polarizare: (a) – cu tensiune  $U_{GS}$  constantă, (b) – cu  $U_{GG}$  și  $R_S$ .

Pentru a reduce variațiile curentului de polarizare din drenă, se introduce rezistența  $R_S$  și se mărește tensiunea  $U_{GG}$ ; circuitul rezultat este cel din figura 4.15.b. Pentru calcularea circuitului se înlocuiește divizorul de tensiune din grilă cu sursa de tensiune  $U_{GG}$ , conform schemei echivalente din figura 4.15.c. Structura circuitului este identică cu cea de la TEC-J (din figura 4.13.c și d) și în ambele cazuri rezistența  $R_S$  stabilizează  $psf$ , datorată influenței pe care o are curentul de drenă  $I_D$  asupra tensiunii de polarizare  $U_{GS}$  (apare o așa-numită reacție negativă locală). Deoarece tensiunea de prag are semn diferit (la TEC-MOS față de TEC-J), funcționarea celor două circuite este oarecum diferită, prin aceea că la TEC-J rezistența  $R_S$  asigură negativarea grilei iar aici nu. Metoda de calcul a celor două circuite este însă identică; astfel, tensiunea  $u_{GS}$  depinde de curentul de drenă conform relației (4.40) iar curentul de polarizare în drenă  $I_D$  se determină prin înlocuirea (4.40) în (4.5) și rezolvarea ecuației pătratice care rezultă:

$$i_D = \frac{k_n}{2} (U_{GG} - U_P - R_S i_D)^2. \quad (4.50)$$

S-a considerat cazul uzual în care TEC funcționează în saturație, adică tensiunea  $u_{DS}$  calculată din (4.43) îndeplinește inegalitatea (4.5). Condiția de saturație poate fi scrisă și conform (4.42), ceea ce semnifică faptul că:  $u_D > u_G - U_P$  (potențialul în drenă trebuie să fie mai mare decât diferența dintre potențialul grilei și tensiunea de prag).

Din figura 4.16 se constată o variație mult mai mică a curentului de polarizare în drenă, (de la  $I_{D2}$  la  $I_{D1}$ ) în cazul b față de cazul a ( $I_{D2} \dots I_{D1a}$ ) și se poate concluziona că circuitul de polarizare cu rezistență în sursă este mult mai puțin sensibil la modificarea parametrilor TEC.

### Polarizarea cu rezistență drenă-grilă

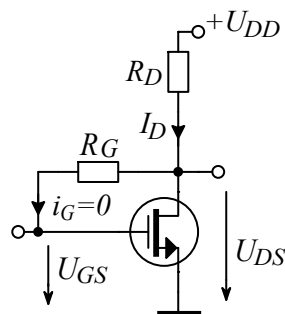
La circuitul de polarizare din figura 4.17 căderea de tensiune pe rezistența grilă-sursă  $R_G$  este nulă deoarece curentul  $i_G$  care circulă prin  $R_G$  este nul. De aceea, tensiunea de drenă este practic egală cu tensiunea de grilă  $u_{DS} = u_{GS}$ . Aceasta asigură saturația TEC-MOS (conform inegalității de la (4.5)) și permite calcularea curentului de drenă prin înlocuirea tensiunii de drenă:

$$u_{DS} = U_{DD} - R_D i_D (= u_{GS}) \quad (4.51)$$

în ecuația (4.5) a tranzistorului cu canal indus:

$$i_D = \frac{k_n}{2} (u_{DS} - U_P)^2. \quad (4.52)$$

Acțiunea de stabilizare a  $psf$  realizată de acest circuit se poate explica printr-un exemplu ipotetic. La apariția unei tendințe de creștere a curentului de drenă (de exemplu datorită creșterii  $U_{DD}$ ), tensiunea de drenă se reduce – conform (4.51), ceea ce conduce la o tendință de reducere a curentului  $i_D$  – conform (4.52), astfel încât creșterea globală a curentului de drenă este mult mai mică decât tendința inițială. Acesta este un mecanism specific reacției negative prin care efectul (curentul  $i_D$ ) influențează cauza (tensiunea  $u_{GS}$ ) în sensul micșorării efectului.



**Fig. 4.17.** Circuit de polarizare pentru TEC-MOS cu canal inițial de tip  $n$ .

- Este folosit la tranzistoarele discrete.
- La acest circuit:  $U_{DS} = U_{GS}$ .

**Exemplu de proiectare**

Datele de catalog ale unui TEC-MOS cu canal inițial, de tip 1N7002, indică un domeniu de variație a tensiunii de prag  $U_P = 1 \dots 2,5V$ , cu o valoare tipică  $U_P = 2,1V$  și un curent maxim de grilă  $I_{GS_{max}} = 10nA$  (pentru  $U_{GS} < 15V$ ). Pentru  $u_{DS} > 3V$  (TEC saturat), din caracteristicile statice (tipice) rezultă un curent  $I_D = 0,36A$  la o tensiune  $U_{GS} = 3V$ . Se consideră  $U_{DD} = 12V$ .

a) Să se dimensioneze circuitul de polarizare cu divizor în grilă și rezistență în sursă, pentru a obține un curent de drenă de 10mA și să se determine variația  $I_D$  pentru variația posibilă a  $U_P$ . Se va considera o amplitudine maximă a tensiunii la ieșire de 3V.

b) Să se dimensioneze circuitul de polarizare cu rezistență drenă-sursă pentru a obține un curent de drenă de 10mA și să se determine variația  $I_D$  pentru variația posibilă a  $U_P$ . Să se determine variația maximă posibilă a tensiunii în drenă în funcție de valoarea tensiunii de prag.

**Rezolvare:** Din datele de catalog și (4.5) se determină factorul de conducție al TEC:

$$\frac{k_n}{2} = \frac{i_D}{(u_{GS} - U_P)^2} = \frac{0,36}{(4 - 2,1)^2} = 0,1 \frac{A}{V^2}$$

Deoarece în catalog sunt date caracteristicile tipice s-a considerat valoarea tipică a tensiunii de prag. Pentru cazurile limită se va adăuga indicele suplimentar 1 pentru TEC cu  $U_P$  minim și indicele 2 pentru TEC cu  $U_P$  maxim.

a) Tensiunea  $U_{GS}$  necesară pentru un curent  $I_D = 10mA$  se determină din (4.5):

$$U_{GS} - U_P = \sqrt{\frac{I_D}{k_n/2}} = \sqrt{\frac{0,01}{0,1}} = 0,316V, \quad U_{GS} = 2,1 + 0,316 \approx 2,4V$$

Alegerea tensiunilor de polarizare în sursă și în drenă trebuie să asigure funcționarea TEC în saturație indiferent de nivelul semnalului. Fiind mai multe posibilități, alegerea unei variate se face pe baza unui compromis între stabilitatea  $psf$  și maximizarea amplificării în tensiune. Un compromis acceptabil este alegerea unei tensiuni în sursă:

$$U_S = (1/4 \dots 1/3) U_{DD} = 3 \dots 4V.$$

Pentru o tensiune  $U_S = 3V$  rezultă rezistența din sursă  $R_S$  și tensiunea în grilă  $U_G$ :

$$R_S = \frac{U_S}{I_D} = \frac{3}{10m} = 300\Omega \quad \text{și} \quad U_G = U_{GG} = U_S + U_{GS} = 5,4V.$$

La dimensionarea divizorului de tensiune din grilă se neglijează curentul de grilă:

$$\frac{U_{DD}}{U_{GG}} = \frac{R_1 + R_2}{R_1} = 1 + \frac{R_2}{R_1} = \frac{12}{5,4} = 2,22 \quad \text{sau} \quad R_2 = 1,22 R_1.$$

Relația precedentă impune raportul rezistențelor, valoarea lor trebuie aleasă astfel încât curentul prin divizor să fie mult mai mare decât curentul de grilă. Pe de altă parte, pentru ca amplificatorul să aibă o rezistență de intrare mare, rezistențele trebuie să fie cât mai mari. De exemplu pentru  $R_1 = 1M\Omega$  rezultă  $R_2 = 1,2M\Omega$  iar curentul prin divizor este:

$$I_R = \frac{U_{DD}}{R_1 + R_2} = \frac{12}{2,2M} = 5,5\mu A = 5500nA = 550 I_{G_{max}},$$

mult mai mare decât curentul de grilă. Rezistențele din divizor ar putea fi alese chiar de 10 ori mai mari (caz în care  $I_R = 55 I_{G_{max}}$ , deci inegalitatea  $I_R \gg I_G$  încă ar fi îndeplinită).



Rezistența de drenă  $R_D$  trebuie să fie aleasă astfel încât TEC să rămână în saturație indiferent de nivelul semnalului în drenă; amplitudine acestuia este  $U_{d\_vf}=3V$ . Rezultă o tensiune minimă în drenă  $U_{DSmin}=U_{DS}-U_{d\_vf}$  și din condiția de saturație a TEC cu canal  $n$ ,  $u_{DS}>u_{GS}-U_P$ , se obține legătura dintre tensiunea minimă în drenă și tensiunea în sursă:

$$U_{DS} > U_{GS} - U_P + U_{d\_vf} \quad \text{sau} \quad U_D > U_S + \sqrt{\frac{I_D}{k_n/2}} + U_{d\_vf}.$$

Pe de altă parte, tensiunea maximă de drenă trebuie să permită variația pozitivă a semnalului și rezultă astfel limitele posibile ale tensiunii de drenă:

$$U_{Dmax} = U_{DD} - U_{d\_vf} \quad \text{și deci} \quad 6,32 < U_D < 9 \text{ [V]}.$$

Rezistența  $R_D$  se determină din T2K aplicată în circuitul de drenă și limitele  $R_D$  vor fi:

$$R_D = \frac{U_{DD} - U_D}{I_D} = \frac{12 - (6,32 \dots 9)}{10\text{m}} = 568 \dots 300 \Omega.$$

Amplificarea în tensiune este proporțională cu  $R_D$  și de aceea alegerea unei rezistențe mai mari conduce la o amplificare mai mare. Se alege de exemplu  $R_D=470 \Omega$ .

Variația curentului de drenă cu variația tensiunii de prag se calculează din (4.50):

$$I_{D1} = \frac{k_n}{2}(U_{GG} - U_{P1} - R_S I_D) = 0,1 \cdot (5,4 - 1 - 300 I_{D1}) \quad \Rightarrow \quad I_{D1} = 13,5 \text{ mA},$$

$$I_{D2} = 0,1 \cdot (5,4 - 2,5 - 300 I_{D2}) \quad \Rightarrow \quad I_{D2} = 9,6 \text{ mA}.$$

Ecuatiile de gradul doi în  $I_D$  dau două soluții. Se consideră soluția pentru care  $U_{GS} > U_P$ . Variația curentului de drenă față de cazul tipic (cu  $U_P=2,1V$ ) este de  $-4\% \dots +35\%$ , iar față de valoarea medie a curenților limită este de  $\pm 17\%$ .

Dacă s-ar utiliza polarizarea fără rezistență în sursă, variațiile curentului ar fi extrem de mari. Astfel, pentru o tensiune constantă în grilă  $U_{GG}=U_{GS}=2,4V$  (la care  $I_D=10\text{mA}$  pentru tensiunea  $U_P$  tipică), variațiile curentului  $I_D$ , calculate cu (4.5) ar fi de la:

$$I_{D1} = \frac{k_n}{2}(U_{GS} - U_{P1})^2 = 0,1(2,4 - 1)^2 = 196 \text{ mA} \quad \text{la} \quad I_{D2} = 0 \quad (\text{pentru } U_{GS} < U_{P2}),$$

un astfel de circuit de polarizare fiind inutilizabil.

b) Pentru dimensionarea circuitului de polarizare din figura 4.17, se determină rezistența de drenă din (4.51) cu  $U_{GS}=2,4V$  (de la punctul *a* pentru  $U_P$  tipic):

$$R_D = \frac{U_{DD} - U_{DS}}{I_D} = \frac{U_{DD} - U_{GS}}{I_D} = \frac{12 - 2,4}{10\text{m}} = 0,96 \text{ k}\Omega.$$

Se alege o rezistență  $R_D=1\text{k}\Omega$ , caz în care se obține  $I_D=9,59\text{mA}$  (pentru tranzistorul tipic) prin rezolvarea ecuației pătratice rezultată după înlocuirea (4.51) în (4.52):

$$I_D = \frac{k_n}{2}(U_{DD} - R_D I_D - U_P)^2.$$

Limitele curentului  $I_D$  calculate cu aceiași ecuație sunt:  $I_{D1}=10,7\text{mA}$  și  $I_{D2}=9,2\text{mA}$ , adică o variație de  $-4\% \dots +11,5\%$ , iar față de valoarea medie variația este de  $\pm 7,5\%$ .

Față de cazul *a*, variația curentului de drenă este mai mică, dar domeniul de variație posibil al tensiunii de drenă este și el mai mic  $U_{d\_vf}=U_P$ .

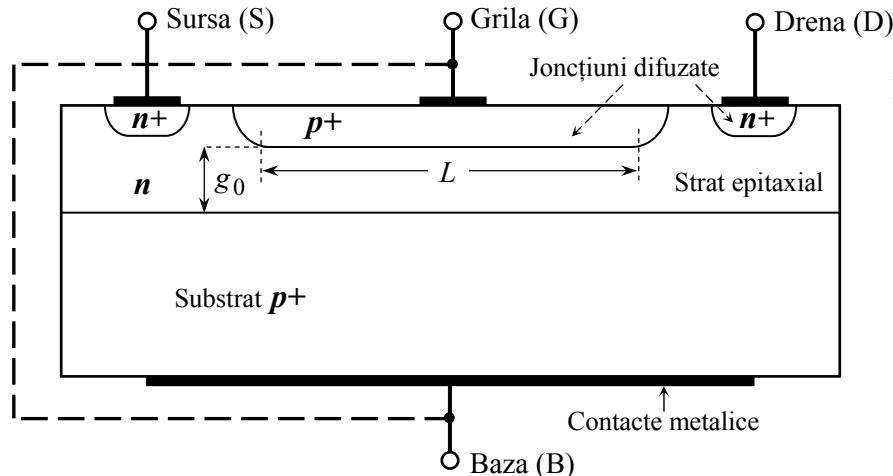
## 4.4 CONSTRUCȚIE ȘI FUNCȚIONARE

La tranzistoarele cu efect de câmp conductivitatea canalului este controlată de tensiunea aplicată unei capacități. Constructiv, această capacitate poate fi a regiunii golite de purtători a unei joncțiuni și atunci tranzistorul este cu grilă joncțiune TEC-J, sau a unui strat subțire de oxid de siliciu și atunci tranzistorul este de tip metal-oxid-semiconductor TEC-MOS.

### 4.4.1 Tranzistorul cu efect de câmp cu grilă joncțiune

În figura 4.18 se prezintă în secțiune o structură tipică a unui tranzistor cu efect de câmp cu grilă joncțiune (TEC-J). Pe un substrat puternic dopat  $p^+$  se crește prin epitaxie o regiune de tip  $n$  (slab dopată) care va constitui canalul; exemplul ales se referă la un tranzistor cu canal  $n$ . O difuzie  $p^+$  realizează joncțiunea grilă-canal (de tip  $p^+n$ ).

Difuziile  $n^+$  de la contactele de sursă (S) și drenă (D) sunt prevăzute pentru a obține contacte ohmice, adică pentru a anula efectul redresor al joncțiunilor metal-semiconductor (diodele Schottky care apar între un metal și un semiconductor  $n$ ). Cele două regiuni  $p^+$ , grila G și substratul (suportul, baza) B, sunt legate de obicei împreună. Canalul dintre sursă și drenă este delimitat de regiunile golite de purtători (RSS) ale joncțiunilor pe care le formează cu grila și cu substratul.

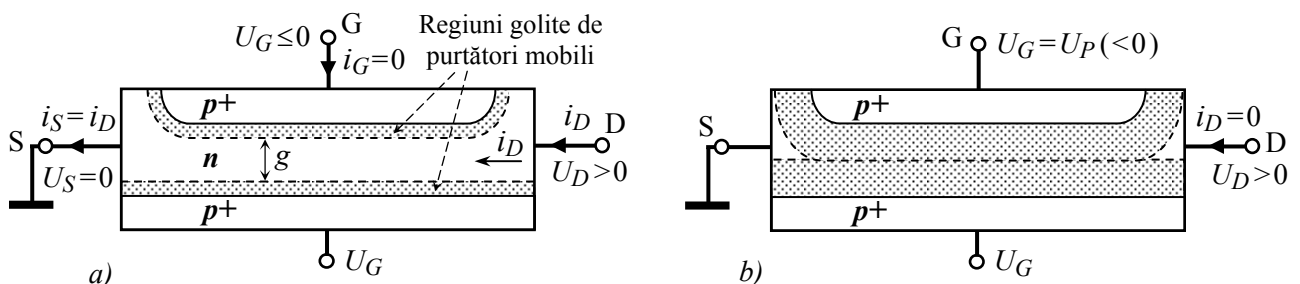


**Fig. 4.18.** Secțiune transversală printr-un tranzistor cu efect de câmp cu grilă joncțiune, planar-epitaxial, cu canal  $n$ .

Canalul are o grosime inițială  $g_0$  (distanța dintre grilă și substrat) și o lungime  $L$  (de obicei mult mai mare decât grosimea:  $L \gg g_0$ ).

La polarizarea inversă a acestor joncțiuni, regiunile golite se extind în zona mai slab dopată, deci în canal, și reduc grosimea acestuia. Datorită reducerii grosimii  $g$  a canalului (față de distanța  $g_0$  dintre joncțiuni), secțiunea canalului conductor se reduce și scade implicit și conductivitatea acestuia. Controlul efectuat de câmpul electric asupra conductanței canalului (prin intermediul lățimii RSS, determinată de tensiunea inversă aplicată joncțiunilor) constituie **efectul de câmp**.

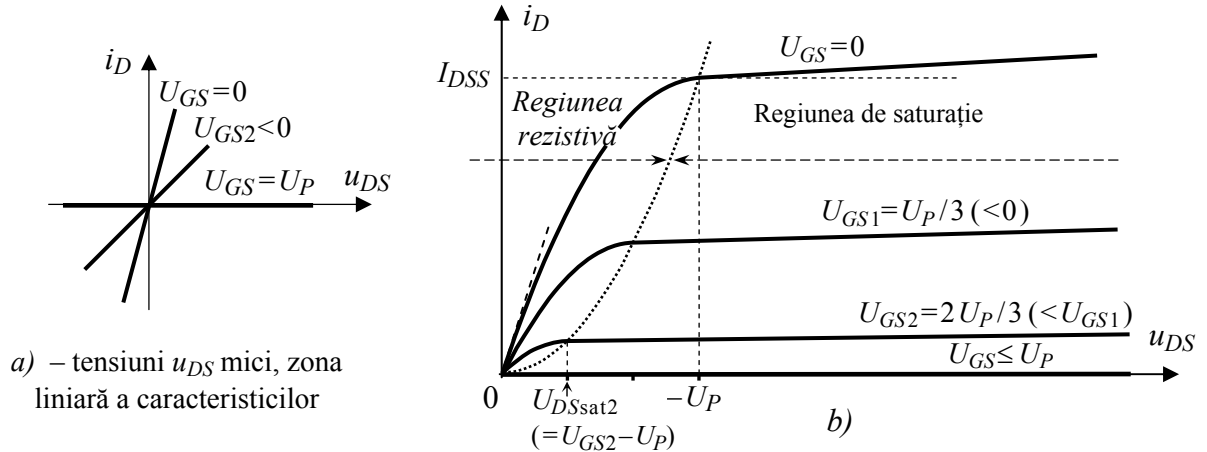
La aplicarea unei tensiuni drenă-sursă  $u_{DS}$  mici (câteva zecimi de volt cel mult) tensiunea grilă-canal are aceeași valoare la ambele capete ale canalului și canalul are o grosime uniformă, figura 4.19. Curentul de drenă  $i_D$ , care circulă prin canal, depinde direct de conductanța acestuia.



**Fig. 4.19.** Funcționarea TEC-J cu canal  $n$  pentru tensiuni  $u_{DS}$  mici ( $U_S=0$ ,  $U_D>0$ ,  $U_D=0$ ) în cazul unei tensiuni  $U_{GS}$  negative: a) mai mari sau b) egale cu tensiunea de prag  $U_P$ .

Când tensiunea de polarizare inversă a joncțiunilor atinge valoarea de prag  $U_P$ , (o valoare negativă în cazul TEC-J cu canal  $n$ ) regiunile golite penetrează toată grosimea canalului, astfel încât conductanța acestuia scade la zero și curentul de drenă se anulează, situație schițată în figura 4.19.b.

Caracteristicile statice din figura 4.20.a corespund utilizării TEC-J ca rezistență controlată în tensiune  $r_{DS}(U_{GS})$ , (VVR – voltage variable resistor). Liniaritatea caracteristicilor se menține și pentru tensiuni de drenă negative și mici.

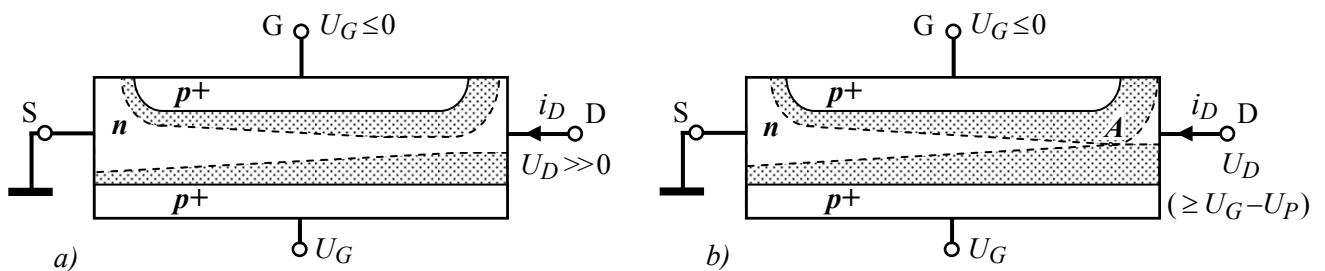


**Fig. 4.20.** Caracteristicile statice de drenă pentru TEC-J cu canal  $n$ .

Dacă tensiunea dintre drenă și sursă crește semnificativ,  $U_{DS} \gg 0$ , dependența curentului de drenă de tensiunea de drenă devine neliniară, deoarece canalul nu mai este uniform (se îngustează la capătul dinspre drenă, conform figurii 4.21.a) și rezistența acestuia crește cu creșterea tensiunii  $u_{DS}$ . Această neuniformitate este cauzată de tensiunea dintre grilă și canal, care scade de la sursă spre drenă; valoarea minimă apare la capătul dinspre drenă al canalului:  $U_{GD} (= U_{GS} - U_{DS}) < U_{GS}$ .

La o anumită tensiune de drenă  $U_{DSsat}$  (la care  $U_{GD} = U_P$ , tensiune grilă-canal de penetrare a canalului), regiunile golite ale celor două joncțiuni penetrează complet canalul la capătul dinspre drenă (unde potențialul este maxim), în secțiunea  $A$  din figura 4.21.b;  $U_{GD} (= U_{GS} - U_{DSsat}) = U_P$  conduce la:

$$U_{DSsat} = U_{GS} - U_P. \quad (4.53)$$



**Fig. 4.21.** Funcționarea TEC-J cu canal  $n$  pentru tensiuni  $u_{DS}$  mari ( $U_S = 0$ ,  $U_D \gg 0$ ) în regim: a) nesaturat (rezistiv),  $U_{DS} < U_{DSsat} (= U_{GS} - U_P)$  și b) saturat,  $U_{DS} \geq U_{DSsat}$ .

Dacă tensiune de drenă crește în continuare, apare o porțiune în care canalul semiconductor este întrerupt (la capătul dinspre drenă). Curentul trece prin această porțiune de canal datorită câmpului electric longitudinal produs de diferența dintre  $u_{DS}$  și  $U_{DSsat}$ . Lungimea acestei porțiuni de canal întrerupte va crește cu  $u_{DS} - U_{DSsat}$  (la fel ca orice RSS care preia o tensiune inversă mai mare), ceea ce va conduce la micșorarea lungimii canalului conductor. În general, această micșorare este mică față de lungimea canalului. Dacă se neglijează reducerea lungimii canalului cu creșterea tensiunii de drenă, forma canalului (și conductanța acestuia) nu se schimbă cu  $u_{DS}$ , iar căderea de tensiune pe acest canal,  $U_{DSsat}$ , este constantă și de aceea nu se modifică nici curentul  $i_D$  prin

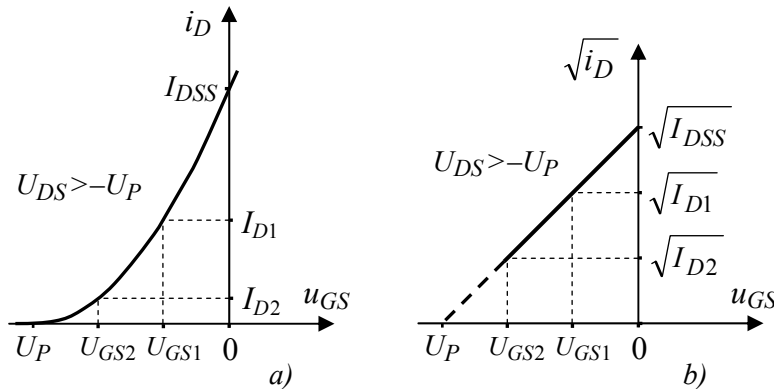
canal. Regiunea caracteristicilor pentru  $u_{DS} > U_{DSsat}$ , în care  $i_D$  rămâne constant, se numește **regiune de saturație** (figura 4.20.b). În realitate, din cauza micșorării lungimii canalului conductor,  $i_D$  va crește cu tensiunea  $u_{DS}$  și pentru  $u_{DS} > U_{DSsat}$ . Această creștere este în general slabă, fiind mai pronunțată la dispozitivele cu canal mai scurt, deoarece efectul relativ al aceleiași micșorări absolute de lungime de canal este mai important.

**Curentul de drenă în saturație**, pentru  $u_{DS} > U_{DSsat}$ , se poate calcula cu relația (4.11) completată cu un termen care include coeficientul de modulație a lungimii canalului  $\lambda$ :

$$i_D = I_{DSS} \left( 1 - \frac{u_{GS}}{U_P} \right)^2 (1 - \lambda \cdot u_{DS}). \quad (4.54)$$

În cazurile uzuale și pentru calculele manuale se va utiliza relația simplificată (4.11), deoarece valoarea coeficientului  $\lambda (=1/U_A)$  este mică (tipic  $0,01V^{-1}$ ). Acest coeficient se va utiliza la modelarea tranzistorului în regim dinamic și la modelele de simulare ale TEC.

Parametrii  $I_{DSS}$  și  $U_P$  ai TEC-J se dau de obicei în foile de catalog ale tranzistoarelor și reprezintă curentul drenă-sursă cu grila scurtcircuitată la sursă în saturație și respectiv tensiunea de prag (de închidere a canalului). Experimental, ambii parametri se determină în saturație, pentru  $U_{DS} > U_P$ ,  $I_{DSS}$  prin măsurare directă (cu  $U_{GS}=0$ ) și  $U_P$  se poate determina prin extrapolarea caracteristicii de transfer în saturație liniarizate a TEC:  $\sqrt{i_D}(u_{GS})$  ca în figura 4.22.b.



**Fig. 4.22.** a) Caracteristica de transfer în saturație pentru TEC-J cu canal  $n$ ;

b) liniarizarea caracteristicii de transfer pentru a determina tensiunea de prag  $U_P$ .

Din catalogul de tranzistoare se constată că parametrii TEC-J au dispersie de fabricație mare. Motivul principal este dificultatea tehnologică de a controla cu precizie grosimea  $g_0$  a canalului (care rezultă ca diferență dintre grosimea stratului epitaxial  $n$  și a celui difuzat  $p^+$ ). Din analiza funcționării tranzistorului, se constată însă că dacă, de exemplu, grosimea canalului este mai mare, atunci atât curentul  $I_{DSS}$  cât și tensiunea de prag  $U_P$  (în modul) au valori mai mari (deoarece un canal cu grosime mai mare are pe de o parte o conductanță mai mare și va rezulta un curent  $I_{DSS}$  mai mare și pe de altă parte tensiunea de prag  $U_P$  necesară pentru închiderea completă a unui canal mai gros este mai mare, în modul). Dispersia de fabricație se poate reduce prin înlocuirea difuziei  $p^+$  cu implantarea ionică a impurităților acceptoare, procedeu tehnologic care permite un control mai precis al adâncimii stratului implantat și deci al grosimii canalului.

În **regiunea rezistivă** a caracteristicilor statice,  $i_D$  depinde de conductanța canalului conductor și se poate calcula prin integrare în lungul canalului, ținând seama de dependența lățimii regiunilor golite ale joncțiunilor de tensiunea inversă aplicată. Dacă se consideră doar componenta longitudinală a câmpului în canal și doar cea transversală în RSS, se obține o relație simplificată:

$$i_D = I_{DSS} \left[ 2 \left( 1 - \frac{u_{GS}}{U_P} \right) \frac{u_{DS}}{-U_P} - \left( \frac{u_{DS}}{U_P} \right)^2 \right]. \quad (4.55)$$

Din relația anterioară, la limita intrării în saturație,  $u_{DS} = u_{GS} - U_P$ , se obține relația (4.11).

Pentru tensiuni  $u_{DS}$  mici, (4.55) poate fi aproximată prin neglijarea termenului pătratic:

$$i_D = \frac{2I_{DSS}}{-U_P} \left( 1 - \frac{u_{GS}}{U_P} \right) u_{DS}. \quad (4.56)$$

Această relație liniară reprezintă caracteristicile statice în jurul originii, din care rezultă conductanța liniară  $g_{DS}$ , care depinde de tensiunea  $u_{GS}$ :

$$g_{DS} = \left. \frac{i_D}{u_{DS}} \right|_{u_{DS} \text{ mic}} = \frac{1}{r_{DS}}, \quad g_{DS} = \frac{2I_{DSS}}{-U_P} \left( 1 - \frac{u_{GS}}{U_P} \right). \quad (4.57)$$

Valoarea maximă a conductanței apare la o tensiune  $u_{GS}$  nulă, deci TEC-J este un dispozitiv normal deschis – prin el circulă curent în absența unei tensiuni la intrare. La aplicarea unei tensiuni  $u_{GS}$  negative de intrare, curentul prin tranzistor scade până la anulare (pentru cazul în care tensiunea de intrare este mai mică decât tensiunea de prag  $U_P$ ). Deoarece joncțiunea grilă-canal este polarizată invers, curentul de grilă este foarte mic (de ordinul nanoamperilor) și puternic dependent de temperatură (la temperatura camerei se dublează la circa 10 grade creștere a temperaturii).

Aplicarea unei tensiuni  $u_{GS}$  pozitive conduce la creșterea apreciabilă a curentului de grilă. Acest regim de funcționare poate fi admis doar pentru tensiuni mai mici decât tensiunea de deschidere a joncțiunii grilă-sursă ( $U_{D0}$ , circa 0,5V la siliciu),  $u_{GS} < U_{D0}$ .

Tranzistorul cu canal  $p$  funcționează principial la fel ca cel cu canal  $n$ ; purtătorii de sarcină prin canalul  $p$  vor fi golurile iar tensiunea aplicată grilei  $u_{GS}$ , care reduce curentul prin tranzistor, este pozitivă. Tensiunea de prag  $U_P$  (care închide complet canalul) este de asemenea pozitivă. Se utilizează convențiile de sens și de reprezentare prezentate în paragraful 4.1.3.

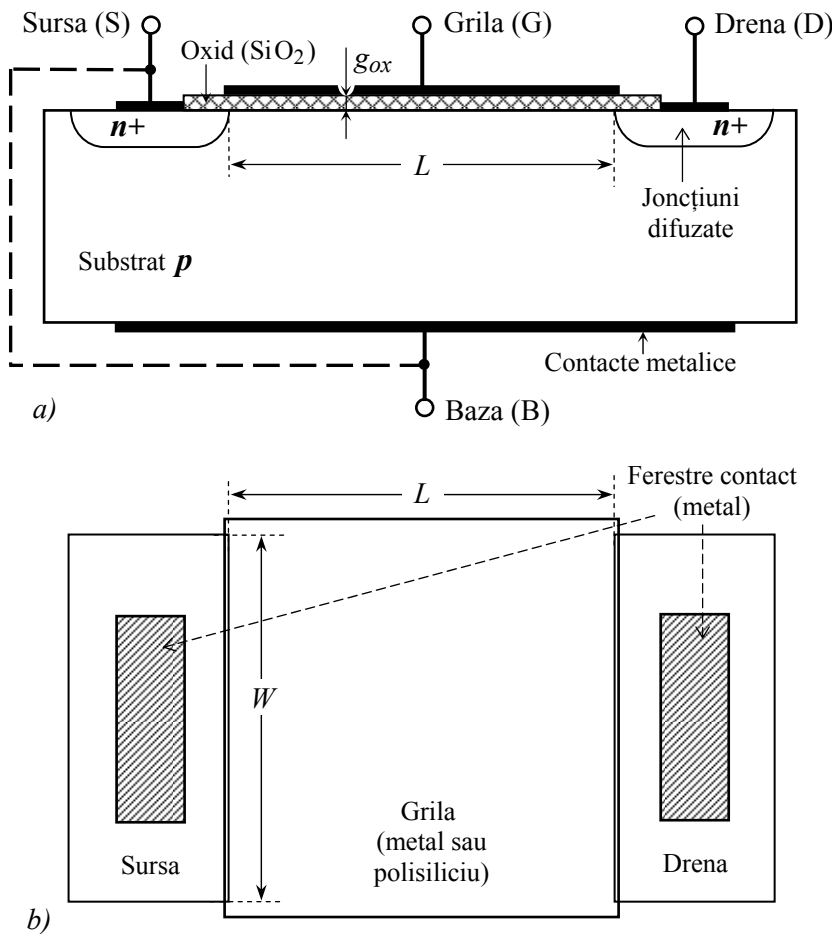
#### 4.4.2 TEC metal-oxid-semiconductor (MOS) cu canal indus

Cel mai utilizat tip de tranzistor este TEC-MOS cu canal indus. Din analiza structurii interne a unui TEC-MOS cu canal  $n$  se vor deduce relațiile care definesc funcționarea acestui tranzistor.

În figura 4.23 este schițată o secțiune printr-un TEC-MOS cu canal indus de tip  $n$ , sau NMOS. Tranzistorul este fabricat pe un substrat de tip  $p$  care asigură suportul fizic al tranzistorului (sau al întregului circuit în cazul circuitelor integrate). În substrat sunt realizate două regiuni de tip  $n$  puternic dopate, care constituie sursa și drena tranzistorului. Regiunea dintre sursă și drenă de la suprafața semiconductorului este acoperită cu un strat subțire (0,02...0,1  $\mu\text{m}$ ) de dioxid de siliciu  $\text{SiO}_2$ , care este un excelent izolator. Metalul depus peste acest strat de izolator formează grila (sau poarta) tranzistorului. Contacte metalice sunt depuse de asemenea și pe regiunile de sursă, drenă și substrat. TEC-MOS are patru terminale: grila (G), sursa (S), drena (D) și substratul sau baza (B).

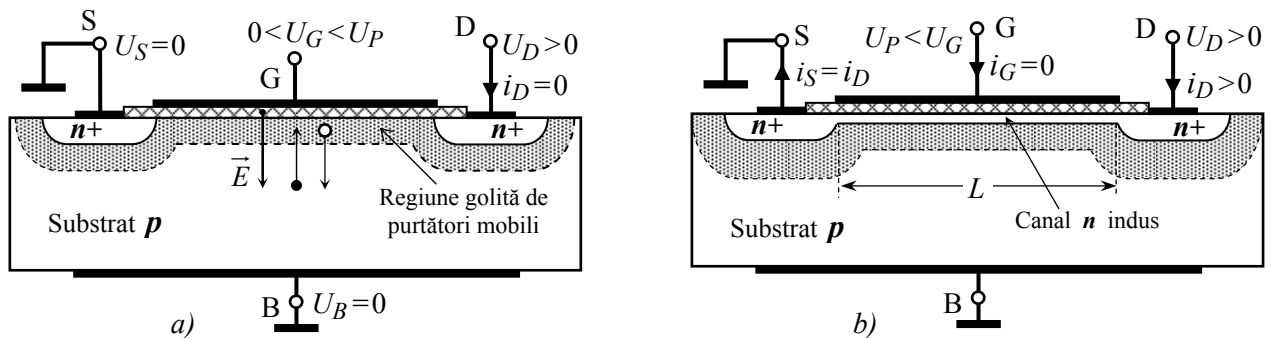
Numele acestui tranzistor: metal-oxid-semiconductor, MOS, derivă de la structura fizică a acestuia. Același nume se utilizează și pentru dispozitivele moderne de acest tip, chiar dacă acestea utilizează pentru terminalul grilei polisiliciul (siliciu foarte puternic dopat) în locul metalului.

Datorită izolației realizată de stratul de oxid, curentul de grilă al TEC-MOS este extrem de mic (de ordinul a  $10^{-15}$  A). Substratul formează cu regiunile de drenă și de sursă două joncțiuni  $pn$ . Dacă se aplică o tensiune drenei (față de sursă) și dacă nu se aplică tensiune grilei și substratului atunci cel puțin una dintre aceste joncțiuni este blocată și prin tranzistor (între drenă și sursă) nu apare curent. La aplicarea unei tensiuni suficient de mari grilei, sub grilă apare un canal conductor care permite trecerea unui curent prin tranzistor. Acest canal, cu o lungime  $L$  și o lățime  $W$  (de la width din engleză) are dimensiuni de ordinul micronilor. Există și TEC cu dimensiuni submicronice care se utilizează cu precădere la aplicațiile digitale de înaltă viteză.



În prima etapă se va analiza funcționarea TEC-MOS pentru cazul în care substratul este conectat la sursă, caz în care TEC-MOS poate fi considerat un dispozitiv cu trei terminale. Substratul (implicit și sursa tranzistorului) se consideră referința de potențial.

La aplicarea pe grilă a unei tensiuni pozitive, în izolatorul grilei apare un câmp electric  $E$ , cu sensul conform figurii 4.24.a. Pentru valori moderate ale acestei tensiuni, la suprafața dinspre grilă a semiconductorului apare o regiune golită de purtători de sarcină (datorită câmpului electric, golurile majoritare sunt împinse în substrat iar electronii liberi minoritari sunt atrași din substrat și se recombina cu golurile). Dacă tensiunea aplicată grilei are o valoare mai mare decât tensiunea de prag  $U_P$ , atunci la suprafața semiconductorului apare un **strat de inversiune** (datorită câmpului electric intens, concentrația electronilor liberi atrași din substrat depășește concentrația golurilor și tipul semiconductorului de sub grilă se inversează). Apare astfel un canal de tip  $n$  între drenă și sursă, canal indus de tensiunea aplicată grilei, ca în figura 4.24.b. Grosimea stratului de inversiune depinde de valoarea câmpului electric din izolator și implicit de valoarea tensiunii aplicate grilei.

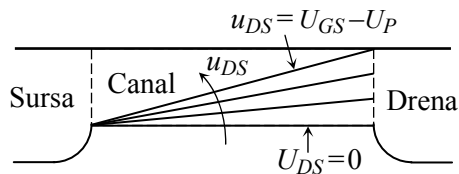


**Fig. 4.24.** Funcționarea TEC-MOS cu canal  $n$  pentru tensiuni  $U_{DS}$  mici ( $U_S=0$ ,  $U_D>0$ ,  $U_D\cong 0$ ) în cazul unei tensiuni  $U_{GS}$  pozitive: a) mai mică și b) mai mare decât tensiunea de prag  $U_P$ .

La aplicarea unei tensiuni pozitive între drenă și sursă  $u_{DS}$  apare un curent  $i_D$  care circulă prin canal. Curentul se datorează deplasării electronilor liberi de la sursă spre drenă și se consideră prin convenție că circulă în sens contrar deplasării purtătorilor negativi de sarcină (electroni), adică de la drenă spre sursă. Se remarcă egalitatea dintre curentul care intră în drenă și cel care iese din sursă ( $i_D = i_S$ ) datorată curentului de grilă nul ( $i_G = 0$ ).

**Pentru o tensiune  $u_{DS}$  mică**, curentul depinde de densitatea electronilor din canal, care la rândul ei depinde de valoarea tensiunii  $u_{GS}$ . Pentru o tensiune  $u_{GS} = U_P$ , canalul tocmai apare și curentul  $i_D$  este neglijabil de mic. Curentul prin canal va depinde de conductanța acestuia (intuitiv depinde de grosimea canalului) care depinde de surplusul de tensiune ( $u_{GS} - U_P$ ), numit și tensiune efectivă de grilă. De aceea, curentul de drenă  $i_D$  este proporțional cu tensiunea  $u_{GS} - U_P$  (care influențează conductivitatea canalului) și cu tensiunea  $u_{DS}$  (datorită căreia apare acest curent). Canalul conductor este indus de tensiunea aplicată grilei, de unde și numele de TEC cu canal indus, iar creșterea tensiunii de grilă peste tensiunea de prag conduce la îmbogățirea canalului cu purtători, de unde și numele de tranzistor cu îmbogațire (enhancement-type MOS-FET în engleză).

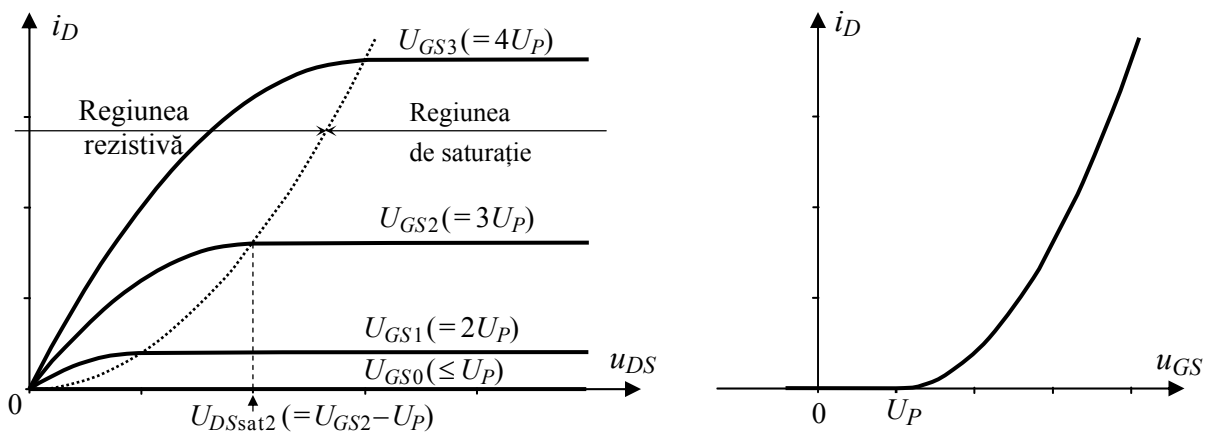
**La o tensiune de drenă  $u_{DS}$  mare** tensiunea în canal crește de la sursă spre drenă (de la 0 la  $u_{DS}$ ) iar tensiunea între diferite puncte ale grilei și sursă este diferită (scade dinspre sursă spre drenă, de exemplu  $u_{GD} = u_{GS} - u_{DS} < u_{GS}$ ). Deoarece grosimea canalului depinde de tensiunea dintre grilă și canal în fiecare punct, rezultă că grosimea canalului va fi neuniformă, va scădea dinspre sursă spre drenă cu atât mai mult cu cât tensiunea  $u_{DS}$  este mai mare, conform figurii 4.25. Datorită acestui fenomen rezistența canalului va crește cu creșterea tensiunii  $u_{DS}$ .



**Fig. 4.25.** Modificarea grosimii canalului în funcție de tensiunea  $u_{DS}$  pentru  $U_{GS} = \text{ct.}$

La atingerea valorii  $u_{DS} = U_{GS} - U_P$ , canalul se închide într-un punct la capătul dinspre drenă.

Caracteristicile statice de ieșire  $i_D(u_{DS})$  trasate la  $u_{GS} = \text{constant}(=U_{GS})$ , își vor reduce înclinația cu creșterea tensiunii  $u_{DS}$ , ca în figura 4.26.a. Dacă tensiunea la capătul dinspre drenă scade la valoarea  $U_P$ , atunci grosimea canalului la capătul dinspre drenă se reduce la zero și canalul se închide într-un punct (la capătul dinspre drenă).



**Fig. 4.26.** Caracteristicile statice ale unui tranzistor TEC-MOS cu canal indus de tip  $n$ :  
a) Caracteristicile de drenă, b) Caracteristica de transfer în saturație ( $u_{DS} > u_{GS} - U_P$ ).

La TEC-MOS uzuale, lungimea canalului este mare față de grosimea acestuia și creșterea tensiunii de drenă peste valoarea de închidere a canalului are un efect redus asupra formei canalului (punctul de închidere al canalului se apropie de sursă, dar efectul este puțin sesizabil la canalele lungi). Prin urmare, deoarece forma canalului (și deci conductanța acestuia) practic nu se schimbă iar căderea de tensiune pe canal este constantă (egală cu tensiunea de prag  $U_P$ ), rezultă un curent constant prin canal; apare fenomenul de saturare a curentului de drenă. Tensiunea  $u_{DS}$  la care apare saturarea curentului se numește **tensiune drenă-sursă de saturație**  $U_{DSsat}$  (cea la care apare închiderea canalului la capătul dinspre drenă). Această tensiune se calculează din:

$$U_{GDsat} = U_{GS} - U_{DSsat} = U_P, \text{ de unde } U_{DSsat} = U_{GS} - U_P, \text{ rezultat conform cu relația (4.4).}$$

### Relațiile teoretice care descriu funcționarea TEC-MOS

Ecuatiile care descriu funcționarea TEC-MOS în **regiunea liniară** a caracteristicilor statice se obțin pentru:  $u_{GS} > U_P$ ,  $u_{DS} > 0$ ,  $u_{DS} \approx 0$  (mai exact  $u_{DS} \ll u_{GS} - U_P$ ).

Capacitatea grilei se determină din relația de la condensatorul plan:

$$C_g = \frac{\varepsilon A}{g_{ox}} = \frac{\varepsilon WL}{g_{ox}} = C_{ox}WL, \quad C_{ox} = \frac{\varepsilon}{g_{ox}}, \quad (4.58)$$

unde:  $\varepsilon$  este permitivitatea electrică a  $\text{SiO}_2$ ,  $A$  este aria grilei și  $C_{ox}$  este capacitatea specifică (pe unitatea de arie).

Sarcina electrică a purtătorilor mobili din canal depinde de tensiunea efectivă de grilă:

$$Q = C_g (U_{GS} - U_P) = C_{ox} \cdot W \cdot L \cdot (U_{GS} - U_P). \quad (4.59)$$

Timpul de tranzit al purtătorilor mobili prin canal este:

$$\tau = \frac{L}{v} = \frac{L}{\mu_n E_l} = \frac{L}{\mu_n \frac{u_{DS}}{L}} = \frac{L^2}{\mu_n \cdot u_{DS}}, \quad (4.60)$$

unde:  $\mu_n$  este mobilitatea purtătorilor de sarcină (electroni în cazul NMOS) și  $E_l$  este câmpul electric longitudinal (de-a lungul canalului, determinat de tensiunea  $u_{DS}$ ). O observație utilă se poate face în legătură cu mobilitatea electronilor liberi și a golurilor:  $\mu_n \approx 2,5\mu_p$ .

Curentul de drenă se obține ca raport între sarcina din canal și timpul de tranzit:

$$i_D = \frac{Q}{\tau} = \frac{C_{ox}WL(U_{GS} - U_P)}{L^2} \mu_n u_{DS} = \mu_n C_{ox} \frac{W}{L} \cdot (U_{GS} - U_P) \cdot u_{DS}, \quad (4.61)$$

sau

$$i_D = k'_n \frac{W}{L} \cdot (U_{GS} - U_P) \cdot u_{DS} = k_n \cdot (U_{GS} - U_P) \cdot u_{DS}, \quad (4.62)$$

unde:  $k'_n = \mu_n C_{ox}$  este factorul de conducție intrinsec,  $k_n = k'_n (W/L)$  este factorul de conducție și  $W/L$  este factorul dimensional (geometric) al TEC-MOS. În cazul proiectării circuitelor integrate cu TEC-MOS factorul de conducție intrinsec este un parametru al tehnologiei (fixat de procesul tehnologic utilizat) iar factorul geometric este un parametru care poate fi ales de proiectant.

Canalul leagă sursa de drenă prin intermediul sarcinilor mobile din canal și acționează ca o rezistență (între drenă și sursă). Valoarea rezistenței canalului în zona liniară a caracteristicilor

statice este:

$$r_{DS} = \frac{u_{DS}}{i_D} = \frac{1}{k'_n \frac{W}{L} (U_{GS} - U_P)} = \frac{1}{k_n (U_{GS} - U_P)}. \quad (4.63)$$



Ecuția care descrie funcționarea TEC-MOS în **regiunea neliniară** a caracteristicilor statice rezultă prin integrarea curentului de la sursă la drenă ținând seama că tensiunea dintre grilă și canal are valori diferite în diferite puncte ale canalului (scade de la sursă spre drenă în cazul unei tensiune  $u_{DS}$  semnificative). Deoarece grosimea medie a canalului scade, conductanța canalului scade (față de cazul unei tensiuni  $u_{DS}$  mici) și caracteristicile de ieșire (trasate pentru  $U_{GS}$  constant) vor avea o pantă mai mică (devin neliniare) o dată cu creșterea tensiunii  $u_{DS}$  (ca în figura 4.26.a). Rezultatul integrării este:

$$i_D = k_n \cdot \left( U_{GS} - U_P - \frac{u_{DS}}{2} \right) \cdot u_{DS}, \quad (4.64)$$

Ecuția care descrie funcționarea TEC-MOS în **regiunea de saturație** se obține din ecuația anterioară considerând limita de trecere din regiunea neliniară în saturație,  $u_{DS} = U_{DSsat} = U_{GS} - U_P$ :

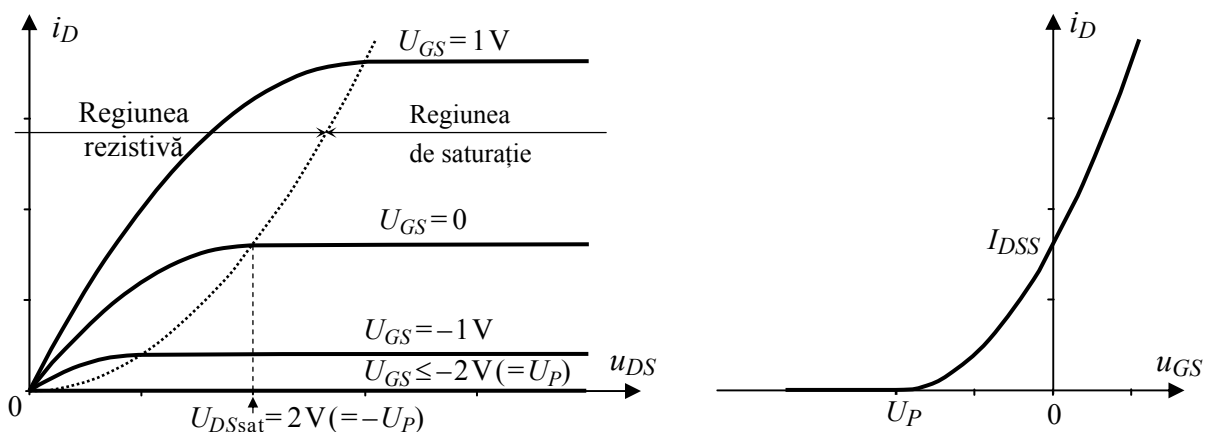
$$i_D = \frac{k_n}{2} \cdot (U_{GS} - U_P)^2. \quad (4.65)$$

Această ecuație indică valoarea curentului constant din saturație (pentru  $U_{GS} = \text{constant}$ ). Dacă se consideră tensiunea  $U_{GS}$  ca o variabilă,  $u_{GS}$ , ecuația (4.65) reprezintă caracteristica de transfer a TEC. Conform ecuației  $i_D(u_{GS})$ , TEC este în esență o sursă de curent controlată în tensiune.

#### 4.4.3 TEC-MOS cu canal inițial

Constructiv tranzistorul MOS cu canal inițial diferă de TEC-MOS cu canal indus prin canalul conductor implantat în partea superioară a substratului, sub grilă. Pentru un NMOS, acest canal fizic dintre drena și sursa tranzistorului este un semiconductor de tip  $n$  care realizează legătura electrică între drena și sursa de tip  $n^+$ . Datorită acestui canal, la aplicarea unei tensiuni  $u_{DS}$  între drenă și sursă, va circula un curent  $i_D$  chiar dacă  $u_{GS} = 0$ .

Grosimea canalului și conductivitatea acestuia sunt controlate de tensiunea  $u_{GS}$  la fel ca și la TEC cu canal indus. Dacă se aplică o tensiune  $u_{GS}$  pozitivă atunci canalul se îmbogățește datorită electronilor suplimentari atrași din substrat. În cazul acestui tip de TEC se poate aplica și o tensiune  $u_{GS}$  negativă care îndepărtează electronii din canal astfel încât grosimea și conductivitatea canalului scad. O tensiune  $u_{GS}$  negativă produce sărăcirea canalului (în sarcini electrice) de unde și numele de tranzistoare cu sărăcire (depletion-type MOS) dat acestora. La o anumită tensiune negativă, numită tensiune de prag  $U_P$ , canalul se închide datorită îndepărtării tuturor purtătorilor de sarcină electrică din canal. Un tranzistor MOS cu canal inițial poate funcționa atât pentru tensiuni  $u_{GS}$  pozitive (în regim de îmbogățire) cât și pentru tensiuni  $u_{GS}$  negative (în regim de sărăcire). Caracteristicile de ieșire  $i_D(u_{DS})$  și de transfer  $i_D(u_{GS})$  ale acestui tranzistor (figura 4.27) sunt identice cu cele ale TEC cu canal indus doar că tensiunea de prag este negativă (pentru NMOS).



**Fig. 4.27.** Caracteristicile statice ale unui tranzistor TEC-MOS cu canal inițial de tip  $n$ .

Ecuatiile de funcționare ale TEC-MOS cu canal inițial sunt aceleași cu cele pentru TEC cu canal indus. În cazul tranzistoarelor cu canal inițial ecuațiile se pot scrie și funcție de  $I_{DSS}$  (curentul drenă-sursă cu grila scurtcircuitată la sursă) ca și la TEC-J. Curentul  $I_{DSS}$  se poate calcula conform relației (4.10).

#### 4.4.4 Efecte secundare la TEC-MOS

Dintre factorii mai importanți care afectează funcționarea TEC-MOS se vor analiza efectul tensiunii  $u_{DS}$  în saturație, efectul de substrat, efectele temperaturii, străpungerea, efectul de canal scurt și conducția sub prag.

##### Efectul tensiunii $u_{DS}$ în saturație

Dacă se consideră **efectul reducerii lungimii canalului** datorită creșterii tensiunii  $u_{DS}$  peste  $U_{DSsat}$ , atunci în ecuația (4.65) apare un termen suplimentar (ca și în cazul TEC-J):

$$i_D = \frac{k_n}{2} \cdot (u_{GS} - U_P)^2 (1 + \lambda \cdot u_{DS}), \quad (4.66)$$

unde  $\lambda$  este coeficientul de modulație a lungimii canalului,  $\lambda = 1/U_A$  (inversul tensiunii Early de la tranzistoarele bipolare). Coeficientul  $\lambda$  depinde de  $L$  iar tensiunea  $U_A$  este direct proporțională cu  $L$ ; pentru a avea o dependență cât mai redusă a curentului  $i_D$  față de  $u_{DS}$ , trebuie ca lungimea canalului să fie cât mai mare (rezultă astfel o pondere mică a modificării lungimii canalului față de lungimea  $L$ , și implicit un  $\lambda$  mic). Efectul modulării lungimii canalului de către  $u_{DS}$  se neglijează în calculele manuale, dar se consideră la simularea și la modelarea tranzistorului în regim dinamic.

##### Efectul de substrat

În multe aplicații substratul este conectat la sursă, caz în care joncțiunea  $pn$  care apare între substrat și canal nu este polarizată și de aceea substratul nu are nici un efect, existența acestuia putând fi ignorată (ca în analizele de până acum); acesta este de regulă cazul TEC discrete. În cazul circuitelor integrate, substratul este comun mai multor tranzistoare și pentru a menține condiția de blocare pentru joncțiunile substrat-canal ale tuturor tranzistoarelor, substratul este conectat de regulă la cel mai negativ potențial din circuit. Polarizarea inversă care apare la tranzistoarele a căror sursă este conectată la un potențial mai ridicat ( $U_{SB}$  la NMOS) va avea un efect semnificativ asupra funcționării respectivelor tranzistoare. Acest efect poate fi pus ușor în evidență prin modificarea tensiunii de prag a tranzistorului (față de valoarea  $U_{P0}$  a TEC cu  $U_{SB}=0$ ) conform relației:

$$U_P = U_{P0} + \gamma (\sqrt{2\Phi_f + U_{SB}} - \sqrt{2\Phi_f}), \quad (4.67)$$

unde  $U_{P0}$  este valoarea de prag pentru  $U_{SB}=0$ ;  $2\Phi_f$  este un parametru fizic cu o valoare tipică de 0,6 V; și  $\gamma$  este un parametru al procesului de fabricație calculat conform relației:

$$\gamma = \frac{\sqrt{2q N_A \epsilon_s}}{C_{ox}}, \quad (4.68)$$

unde  $N_A$  este concentrația golurilor din substratul de tip  $p$  și  $\epsilon_s$  este permitivitatea siliciului (circa  $10^{-12}$  F/cm). Parametrul  $\gamma$  are o valoare tipică de 0,5 V<sup>1/2</sup>.

Ecuția (4.67) indică faptul că o creștere a tensiunii  $U_{SB}$  conduce la o creștere a tensiunii de prag  $U_P$ , care la rândul ei conduce la creșterea curentului  $i_D$ . Se poate spune că substratul acționează ca o a doua grilă a tranzistorului MOS; fenomenul este cunoscut ca **efect de substrat** iar parametrul  $\gamma$  este cunoscut ca **factor de substrat** al TEC-MOS.

## Efectele temperaturii

Cei doi factori principali ai TEC-MOS sunt **dependenți de temperatură** astfel:  $U_P$  scade cu circa 2 mV pentru o creștere a temperaturii cu 1°C (ceea ce conduce la creșterea curentului  $i_D$ ) iar  $k'$  are un efect dominant și scade cu creșterea temperaturii. Rezultatul net este o scădere a curentului  $i_D$  cu creșterea temperaturii. Ca o consecință directă, la TEC-MOS nu apare ambalarea termică (spre deosebire de tranzistoarele bipolare) ceea ce permite utilizarea tranzistoarelor MOS la circuitele de putere fără a fi necesare circuite speciale de eliminare a ambalării termice.

## Străpungerea electrică

La TEC-MOS pot apare diferite tipuri de **străpungeri electrice** și anume:

- La creșterea tensiunii de drenă peste o anumită valoare apare fenomenul de străpungere a joncțiunii  $pn$  dintre drenă și substrat; tensiunea uzuală de străpungere este de 50...100 V și conduce la creșterea rapidă a curentului.
- La dispozitivele moderne cu canal scurt apare străpungerea la o tensiune de drenă relativ redusă (circa 20 V) la care regiunea golită a drenei se extinde prin canal până în regiunea sursei, ceea ce conduce la o creștere apreciabilă a curentului de drenă. În mod normal această străpungere nu conduce la distrugerea tranzistorului.
- Un alt tip de străpungere apare atunci când tensiunea grilă-sursă depășește aproximativ 50 V. Străpungerea oxidului care apare duce la distrugerea definitivă a TEC-MOS. Cu toate că tensiunea de 50 V pare mare, să nu uităm că rezistența de intrare a TEC-MOS este foarte mare, ceea ce face ca o sarcină statică relativ mică acumulată pe capacitatea mică a grilei să ducă la depășirea acestei valori a tensiunii de străpungere.

Valorile de tensiune indicate sunt pur orientative și se referă în principal la TEC-MOS discrete; cu cât tehnologia avansează cu atât se produc tranzistoare cu dimensiuni ( $L$ ,  $W$ ,  $g$ ) mai mici la care tensiunile de străpungere sunt mai reduse.

Pentru a evita acumularea sarcinilor statice pe grila tranzistorului MOS trebuie luate măsuri speciale de manipulare și montare a acestora în circuit. O metodă relativ complicată, dar sigură, constă din conectarea unui fir izolat la sursă și apoi la grilă (dacă este posibil fără a scoate tranzistorul din suportul conductor în care a fost livrat), apoi se conectează tranzistorul în circuit (circuit care prevede o rezistență între grilă și sursă) și apoi se dezleagă firul conductor. Metodele de manevrare sunt diferite în funcție de capsula tranzistorului; ceea ce trebuie avut în vedere este să nu se creeze o cale de apariție a sarcinilor statice pe grilă. În cazul tranzistoarelor MOS de putere precauțiile de manevrare nu sunt atât de severe deoarece capacitatea de grilă a acestora este mare. Pentru TEC-MOS de la intrarea circuitelor integrate se prevăd de obicei circuite speciale de protecție, mai exact circuite de limitare cu diode.

## Efectul de canal scurt

Evoluția tehnologiilor de fabricație a circuitelor integrate conduce la o reducere continuă a dimensiunilor dispozitivelor active, realizându-se astfel creșterea numărului de tranzistoare dintr-un circuit integrat și creșterea performanțelor de frecvență a dispozitivelor active (timpul de tranzit al purtătorilor prin dispozitiv și capacitățile parazite scad cu dimensiunile dispozitivului).

Pentru toate tipurile de TEC apar efecte semnificative de canal scurt pentru lungimi ale canalului mai mici de 1  $\mu\text{m}$ . Principalul efect constă din modificarea formei caracteristicii de transfer de la forma clasică pătratică la o formă liniară, efect datorat saturării vitezei purtătorilor în canal. Trebuie observat că totuși, chiar și la procesele submicronice, multe din TEC folosite într-un circuit integrat analogic sunt făcute la dimensiuni mai mari decât detaliul minim și de aceea pot fi

aproximate bine de modelul pătratic. La valori mari ale intensității câmpului electric viteza se saturează atingând o valoare constantă:

$$v_{\text{lim}} = \mu_n \cdot E_{\text{crit}}, \quad (4.69)$$

unde:  $E_{\text{crit}} = 1,5 \times 10^6$  V/m iar  $\mu_n = 0,07$  m<sup>2</sup>/Vs este valoarea mobilității electronilor în câmpuri slabe. În cazul TEC cu canal scurt câmpul critic apare de la tensiuni mici (de exemplu pentru  $L = 1$  μm, la o tensiune  $u_{DS} = 1,5$  V, valoarea medie a intensității câmpului electric este egală cu  $E_{\text{crit}}$ ).

Influența saturației vitezei purtătorilor asupra caracteristicilor de semnal mare ale TEC se poate modela prin introducerea unei rezistențe  $R_{SX}$  în serie cu sursa unui tranzistor ideal. Ca rezultat, în zona curenților mari, caracteristica de transfer în saturație  $i_D(u_{GS})$  devine liniară.

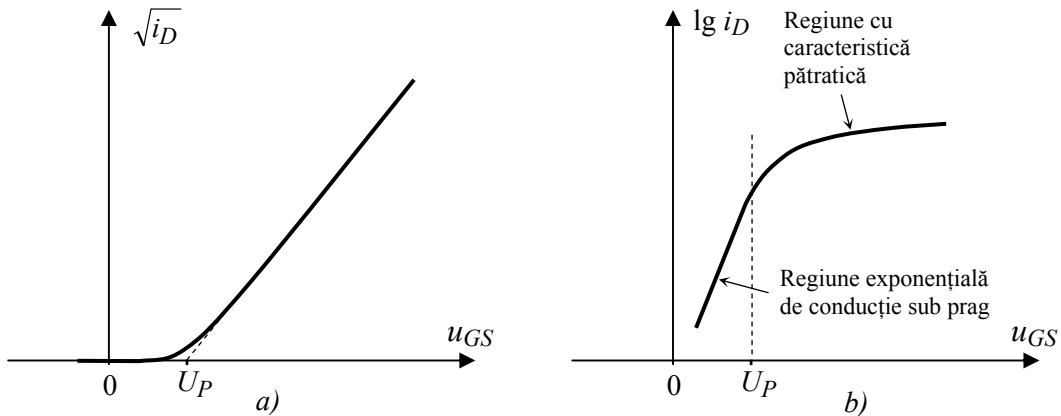
### Conducția sub prag

Pentru tensiuni de grilă mai mici decât valoarea tensiunii de prag  $U_P$ , prin tranzistorul cu canal indus trece un curent finit (dar mic). Electronii din regiunea  $n^+$  a sursei pot depăși bariera de potențial față de substratul de tip  $p$  ajungând în regiunea canalului. Acest proces este similar cu conducția prin tranzistoarele bipolare iar caracteristicile TEC în această regiune de funcționare, numită regiune de **inversie slabă**, sunt exponențiale ca și cele ale tranzistorului bipolar. În saturație, regim realizat practic pentru  $u_{DS} > 0,2$  V, curentul de drenă al MOS este:

$$i_D = \frac{W}{L} I_{D0} \exp\left(\frac{u_{GS}}{nU_T}\right), \quad (4.70)$$

unde  $I_{D0}$  este un curent constant (cu valori uzuale de zeci de nA) iar coeficientul  $n \approx 1,5$ .

Caracteristica  $\sqrt{i_D}(u_{GS})$  din figura 4.28.a este aproximativ o dreaptă ceea ce arată că TEC are o caracteristică de transfer apropiată de caracteristica pătratică ideală. Reprezentări grafice de acest tip sunt utilizate pentru determinarea tensiunii  $U_P$  (prin extrapolarea dreptei) și a factorului  $k'$  (din panta caracteristicii). Se remarcă că în apropierea tensiunii de prag caracteristica se abate de la dreapta care corespunde caracteristicii pătratice. Această zonă reprezintă conducția sub prag și este pusă în evidență în figura 4.28.b prin folosirea unei scări logaritmice pentru curent. Panta zonei drepte a caracteristicii pentru tensiuni  $u_{GS} < U_P$  permite determinarea coeficientului  $n$ .



**Fig. 4.27.** Caracteristica de transfer a unui tranzistor TEC-MOS cu canal inițial de tip  $n$  trasată pentru a pune în evidență: a) caracteristica pătratică, b) conducția sub prag.

Funcționarea sub prag se folosește la aplicațiile care cer o putere foarte mică și acceptă o frecvență de lucru scăzută (frecvența de tăiere  $f_T$  are valori foarte mici la curenți  $i_D$  foarte mici).

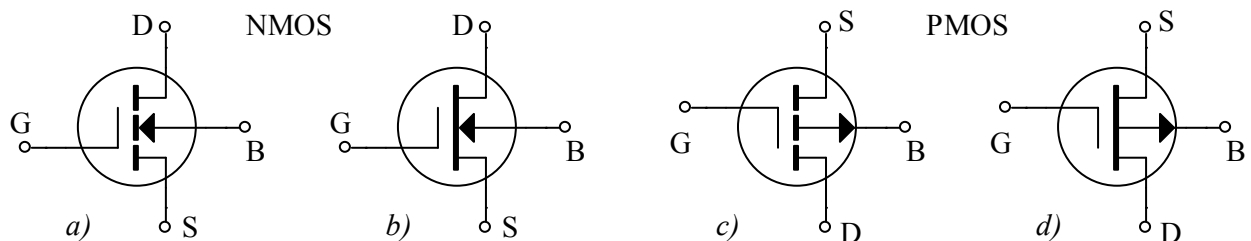
#### 4.4.5 Tranzistoare MOS cu canal de tip $p$

Structura TEC-MOS cu canal  $p$  este identică cu a celor cu canal  $n$ , dar la construcția lor se utilizează semiconductori diferiți. Substratul (sau baza) este de tip  $n$ , zonele de drenă și de sursă constau din semiconductori de tip  $n$  puternic dopați. Funcționarea tranzistoarelor PMOS este identică cu a celor NMOS cu excepția faptului că la conducție participă golurile (în locul electronilor liberi), canalul conductor de sub grilă este de tip  $p$  și sensul tensiunilor și al curenților se schimbă. Relațiile care descriu funcționarea tranzistoarelor PMOS se modifică conform observațiilor de la paragraful 4.1.3.

#### 4.4.6 Simbolurile detaliate ale tranzistoarelor MOS

Simbolurile TEC-MOS cu canal indus sunt prezentate în figura 4.28.*a* și *c*. Linia verticală continuă semnifică grila, linia verticală întreruptă semnifică canalul; această linie este întreruptă pentru a evidenția lipsa canalului în absența polarizării grilei. Simbolurile TEC-MOS cu canal inițial sunt prezentate în figura 4.28.*b* și *d*, iar în acest caz canalul este reprezentat cu o linie continuă deoarece el există și în cazul unei tensiuni nule aplicate grilei.

La toate cele patru simboluri spațiul dintre cele două linii reprezintă izolația dintre grilă și canal iar polaritatea joncțiunii substrat-canal este pusă în evidență de direcția săgeții de la linia care indică substratul (sau baza). În cazul *a* și *b*, săgeata este orientată de la substrat la canal (de la zona  $p$  la zona  $n$ ) prin urmare substratul este de tip  $p$  și canalul de tip  $n$ , deci tranzistorul este de tip NMOS. Chiar dacă tranzistorul MOS este simetric, în circuite este util să se indice care terminal este sursa și care drenă. Aceasta se realizează prin desenarea liniei terminalului grilei mai aproape de linia terminalului sursei. Cercurile simbolurilor reprezintă capsulele tranzistoarelor discrete; tranzistoarele din circuitele integrate se reprezintă fără aceste cercuri.



**Fig. 4.28.** Simbolurile complete ale TEC-MOS cu canal indus (*a*, *c*) și cu canal inițial (*b*, *d*); de tip  $n$  (NMOS: *a*, *b*) și de tip  $p$  (PMOS: *c* și *d*).

Simbolurile din figura 4.28 sunt descriptive dar destul de complexe și de aceea, adesea, se utilizează simboluri simplificate cum ar fi cele din figura 4.1.*a*, *b*, *d* și *e*, utilizabile în cazul în care substratul este conectat la sursa tranzistorului.

### 4.5 REGIMUL VARIABIL DE SEMNAL MIC LA TEC

Tranzistoarele sunt utilizate în regim liniar mai ales ca amplificatoare. Pentru a funcționa ca amplificator TEC trebuie polarizat în regiunea de saturație (regiune activă). Analiza circuitelor de polarizare s-a făcut anterior. Analiza de regim dinamic a TEC se referă la analiza funcționării acestuia din punctul de vedere al variațiilor mărimilor electrice prin tranzistor. Această analiză se poate face, ca și la tranzistorul bipolar, fie prin metode grafo-analitice (cu ajutorul caracteristicii de transfer) fie prin metode analitice, cu ajutorul modelelor liniarizate (de semnal mic) ale TEC. În continuare se vor deduce modelele liniarizate de regim dinamic ale TEC pe baza ecuațiilor de funcționare ale acestora în saturație. Deoarece ecuațiile au aceeași formă pentru toate tipurile de TEC se va face inițial o analiză generală și apoi se va particulariza pentru diferitele tipuri de TEC.

### 4.5.1 Circuitul echivalent pentru domeniul frecvențelor joase

Regimul dinamic la frecvențe nu prea mari poate fi considerat ca o succesiune de regimuri statice, astfel încât comportarea tranzistorului poate fi dedusă din expresia caracteristicilor statice  $i_D(u_{GS}, u_{DS})$ . La variații mici în jurul punctului static de funcționare (*psf*)  $P$ , dezvoltarea în serie în jurul *psf* a acestei funcții se reduce la termeni de prim ordin (termenii superiori ai dezvoltării în serie pot fi neglijăți deoarece au valori foarte mici):

$$i_D = i_D|_P + \left. \frac{\partial i_D}{\partial u_{GS}} \right|_P du_{GS} + \left. \frac{\partial i_D}{\partial u_{DS}} \right|_P du_{DS}, \quad (4.71)$$

unde  $i_D|_P = I_D$ ; pentru semnale mici  $du_{GS} = u_{gs}$ , iar  $du_{DS} = u_{ds}$ . (valorile instantanee ale semnalelor, sau variațiile acestora în *psf* sunt suficient de mici pentru a putea fi approximate cu diferențialele).

Din relația precedentă se poate separa componenta de *ca* a curentului de drenă:

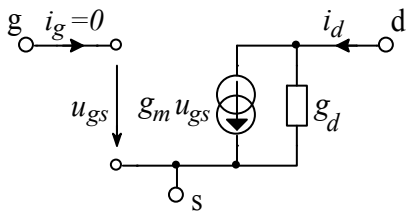
$$i_d = \left. \frac{\partial i_D}{\partial u_{GS}} \right|_P u_{gs} + \left. \frac{\partial i_D}{\partial u_{DS}} \right|_P u_{ds} = g_m u_{gs} + g_d u_{ds}, \quad (4.72)$$

Derivatele parțiale calculate în *psf* sunt parametrii ai circuitului de semnal mic care se calculează cu formule care rezultă din relația anterioară. Cei doi parametrii au dimensiunea unor conductanțe și se numesc:

- transconductanță (sau pantă): 
$$g_m = \left. \frac{\partial i_D}{\partial u_{GS}} \right|_{P, u_{ds}=0}, \quad (4.73)$$

- conductanță de drenă (sau de ieșire): 
$$g_d = \left. \frac{\partial i_D}{\partial u_{DS}} \right|_{P, u_{gs}=0}, \quad (4.74)$$

Relația (4.72) definește circuitul echivalent de drenă al TEC, compus dintr-un generator de curent controlat în tensiune  $g_m u_{gs}$  și conductanța  $g_d$ . Rezistența de intrare este considerată infinită întrucât grila este izolată cu o joncțiune polarizată invers în cazul TEC-J și cu un izolator propriu-zis în cazul TEC-MOS. Rezultă astfel circuitul echivalent de semnal mic din figura 4.29.



**Fig. 4.29.** Circuitul echivalent de semnal mic și joasă frecvență al TEC constă:

- Dintr-un generator de curent controlat în tensiune la ieșire (între drenă și sursă) și
- o întrerupere de circuit la intrare (grilă-sursă).

### 4.5.2 Parametrii de semnal mic ai TEC

Parametrii de semnal mic depind de *psf* și pot fi calculați conform relațiilor anterioare ținând seama de expresiile curentului în saturare la TEC-J și respectiv la TEC-MOS.

**Conductanța de ieșire** se calculează din (4.74) și (4.54) pentru TEC-J, respectiv (4.66) pentru TEC-MOS. Rezultă aceeași relație pentru ambele tipuri de TEC:

$$g_d = \lambda I_D, \text{ respectiv } r_d = \frac{1}{g_d} = \frac{1}{\lambda I_D} = \frac{U_A}{I_D}. \quad (4.75)$$

Pentru calculul rezistenței de ieșire se poate utiliza relația identică cu cea de la tranzistoarele bipolare (cu tensiunea Early  $U_A$ ), însă la TEC se utilizează de obicei parametrul  $\lambda$ .

Deoarece coeficientul de modulare a lungimii canalului  $\lambda$  este mai mic pentru canale mai lungi (este invers proporțional cu lungimea canalului), pentru a obține o rezistență de drenă cât mai mare (conductanță de drenă cât mai mică) trebuie ca lungimea canalului  $L$  să fie cât mai mare.

### Transconductanța

Din (4.73) și (4.54) rezultă transconductanța pentru TEC-J:

$$g_m = -\frac{2 I_{DSS}}{U_P} \left( 1 - \frac{U_{GS}}{U_P} \right), \quad (4.76)$$

și din (4.73) și (4.66) rezultă transconductanța pentru TEC-MOS:

$$g_m = k_n (U_{GS} - U_P). \quad (4.77)$$

Această relație arată că transconductanța (sau panta tranzistorului) depinde liniar de tensiunea efectivă de grilă (valoarea cu care tensiunea de polarizare a grilei depășește tensiunea de prag) și de factorul de conducție  $k_n$ , care se mai numește și parametru de transconductanță. La tranzistoarele MOS integrate se poate înlocui factorul de conducție conform (4.62) și se obține:

$$g_m = k_n' \frac{W}{L} (U_{GS} - U_P), \quad (4.78)$$

relație din care se observă că transconductanța acestora depinde liniar de factorul de conducție intrinsec (parametru al procesului de fabricație) și de factorul dimensional  $W/L$  care poate fi controlat de proiectant. Pentru a obține o transconductanță mai mare trebuie ca lățimea  $W$  să fie mare și lungimea  $L$  să fie redusă. Pe de altă parte însă, conform celor arătate în paragraful anterior, o lungime redusă conduce la o rezistență de ieșire mare. La proiectarea tranzistoarelor MOS integrate va trebui aleasă lungimea optimă în funcție de rolul tranzistorului respectiv.

Transconductanța este cel mai important parametru al tranzistorului MOS deoarece reflectă eficiența tranzistorului de la intrare la ieșire. Un criteriu mai bun, care arată cât de eficient este folosit curentul pentru a genera transconductanță, este raportul  $g_m/I_D$ .

Acest raport rezultă din expresia pentru  $g_m$  care se obține prin înlocuirea tensiunii efective de grilă conform relației (4.65):

$$g_m = \sqrt{2 k_n'} \sqrt{I_D} = \sqrt{2 k_n'} \sqrt{\frac{W}{L}} \sqrt{I_D}. \quad (4.79)$$

Această expresie care arată că:

- pentru un anumit TEC-MOS transconductanța este proporțională cu  $\sqrt{I_D}$  și
- la un curent dat  $g_m$  este proporțională cu  $\sqrt{W/L}$ .

Dacă se compară aceste rezultate cu cele de la tranzistorul bipolar (TB) se observă două diferențe majore: la TB valoarea transconductanței este proporțională cu valoarea curentului de polarizare și nu depinde de dimensiunile și forma tranzistorului.

Diferența dintre cele două tipuri de tranzistoare se poate pune în evidență printr-un calcul al transconductanței la același curent de polarizare. Conform ecuației (4.79), la un curent  $I_D = 1 \text{ mA}$ , un TEC-MOS integrat cu  $k_n' = 20 \text{ } \mu\text{A/V}^2$  și  $W/L = 1$  are  $g_m = 0,2 \text{ mA/V}$  iar pentru  $W/L = 100$  rezultă  $g_m = 2 \text{ mA/V}$ . În contrast, un TB polarizat la același curent de colector de  $1 \text{ mA}$  are o pantă mult mai mare,  $g_m = 40 \text{ mA/V}$ .

Prin înlocuirea factorului de conducție din (4.65) în relația (4.76) se obține:

$$g_m = \frac{2I_D}{U_{GS} - U_P} = \frac{I_D}{(U_{GS} - U_P)/2}. \quad (4.80)$$

Această relație arată că transconductanța este raportul dintre curentul de drenă și o jumătate din tensiunea efectivă de grilă  $U_{G-ef} = U_{GS} - U_P$ , expresie similară cu cea de la TB, unde  $g_m = I_C / U_T$ . Dacă  $U_T = 25$  mV,  $(U_{GS} - U_P)/2$  trebuie ales mai mare decât 0,1 V, ceea ce arată din nou că panta la TB este sensibil mai mare decât la TEC. Pe de altă parte, chiar dacă panta TEC este relativ mică, tranzistorul TEC-MOS are alte avantaje, cum ar fi: impedanța de intrare foarte mare, dimensiunile mici, puterea disipată mică și procesul de fabricație mai simplu.

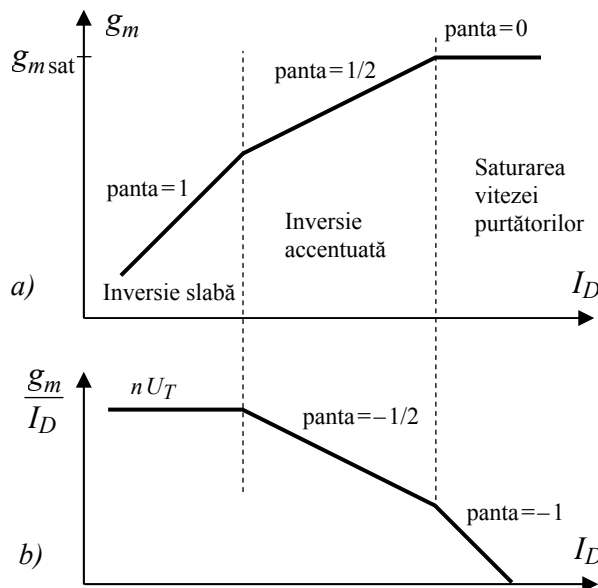
### Transconductanța în regim de inversie slabă

Pentru regimul de inversie slabă (sau de conducție sub prag), curentul prin TEC este foarte mic și transconductanța se obține prin calculul derivatei curentului  $i_D$  față de  $u_{GS}$  în relația (4.70):

$$g_m = \frac{I_D}{nU_T}. \quad (4.81)$$

Transconductanța în cazul acestui regim de funcționare este proporțională cu curentul de drenă (ca și în cazul TB, cu diferența că apare coeficientul  $n \approx 1,5$  iar curenții prin tranzistor sunt foarte mici).

Raportul  $g_m/I_D$  este constant și atinge valoarea maximă în acest regim, conform figurii 4.30. Pentru a obține amplificări mari cu TEC, regimul de inversie slabă este preferabil. Pe de altă parte, datorită valorilor foarte mici ale curentului prin tranzistor, frecvența limită a TEC atinge o valoare mică, ceea ce limitează domeniul de utilizare a acestui regim doar la aplicații de joasă frecvență.



**Fig. 4.30.** a) Transconductanța  $g_m$  și b)  $g_m/I_D$ , ca funcții de curentul de polarizare a drenei  $I_D$  în saturatie.

### Transconductanța la curenți mari

La curenți mari, purtători de sarcină din canal ating viteza maximă conform relației (4.69) și caracteristica de transfer a TEC  $i_D(u_{GS})$  devine liniară. Ca urmare, transconductanța ajunge la o valoare constantă, după cum se arată în figura 4.30. Această limitare a pantei apare la tranzistoarele cu canal scurt și/sau la curenți mari.

Valoarea limită a pantei este un parametru de catalog al tranzistorului MOS de putere.

Pentru ca TEC să fie utilizat la frecvențe cât mai mari, curentul prin el trebuie să fie cât mai mare. În orice caz, este inutilă depășirea curentului la care apare limitarea pantei și se recomandă utilizarea tranzistorului la un curent de 8...10 ori mai mic decât respectiva valoare.



### 4.5.3 Modelarea efectului de substrat

Efectul de substrat apare într-un TEC MOS atunci când substratul nu este legat la sursă, ci este conectat la sursa negativă de alimentare. Substratul va fi conectat astfel la masa de semnal, în timp ce sursa nu mai este conectată la masă; în sursa tranzistorului apare o tensiune de semnal  $u_{sb}$  nenulă, indicele  $b$  provine de la "body" – corp (alt nume pentru substrat din limba engleză). Substratul acționează ca o a doua grilă pentru TEC-MOS; datorită acestuia apare o componentă suplimentară a curenului de drenă:  $g_{mb} u_{sb}$  unde  $g_{mb}$  este transcondutanța de substrat definită conform relației:

$$g_{mb} = \left. \frac{\partial i_D}{\partial u_{SB}} \right|_{u_{gs}, u_{ds}=0} \quad (4.82)$$

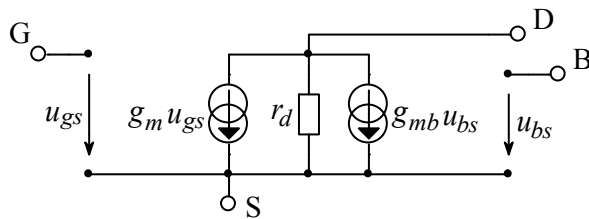
Țiând seama de relațiile (4.5), (4.67) și (4.77) rezultă:

$$g_{mb} = \chi \cdot g_m, \quad (4.83)$$

unde:

$$\chi = \frac{\partial U_P}{\partial U_{SB}} = \frac{\gamma}{2 \cdot \sqrt{2\Phi_f + U_{SB}}} \quad (4.84)$$

Valorile tipice ale parametrului  $\chi$  sunt între 0,1 și 0,3.

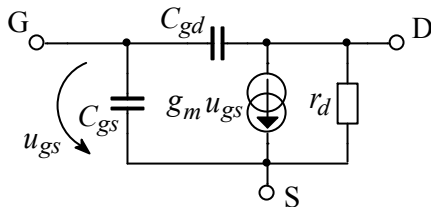


**Fig. 4.31.** Circuitul echivalent de semnal mic al unui TEC-MOS la care substratul nu este conectat la sursă.

În figura 4.31 este prezentat modelul tranzistorului MOS care include efectul de substrat; acest model se va utiliza atunci când sursa nu este legată la substrat.

### 4.5.4 Circuitul echivalent pentru domeniul frecvențelor înalte

Prin introducerea în circuitul echivalent de joasă frecvență a capacităților parazite dintre grilă și sursă  $C_{gs}$  și dintre grilă și drenă  $C_{gd}$ , rezultă circuitul echivalent din figura 4.32, care modelează satisfăcător comportarea TEC la frecvență înaltă.



**Fig. 4.32.** Circuitul echivalent de înaltă frecvență la semnal mic al unui TEC-MOS (substratul este conectat la sursă și capacitatea drenă-substrat este neglijată).

### Efectul capacitiv al grilei

Efectul capacitiv al grilei poate fi modelat de capacitățile  $C_{gs}$  și  $C_{gd}$ , care se pot calcula astfel:

1. Dacă TEC-MOS funcționează în regiunea neliniară (de tip triodă) la tensiuni  $u_{DS}$  mici, canalul are o grosime uniformă (între sursă și drenă) și capacitatea grilei poate fi modelată prin împărțirea egală între sursa și drena tranzistorului:

$$C_{gs} = C_{gd} = \frac{1}{2} WLC_{ox} \quad (\text{în regiunea neliniară}). \quad (4.85)$$

Această aproximație se poate aplica cu rezultate bune pentru operarea în regiunea de tip triodă, chiar dacă tensiunea  $u_{DS}$  nu este mică.

2. Dacă TEC-MOS este în saturație, atunci grosimea canalului la capătul dinspre drenă se reduce la zero (conform figurii 4.25),  $C_{gd}$  este nulă și întreaga capacitate a grilei se regasește în  $C_{gs}$ :

$$C_{gs} = \frac{2}{3} WLC_{ox}, \quad C_{gd} = 0 \quad (\text{în saturație}). \quad (4.86)$$

3. Dacă TEC-MOS este blocat, canalul dispare și ca urmare ambele capacități sunt nule:

$$C_{gs} = C_{gd} = 0 \quad (\text{în blocare}). \quad (4.85)$$

4. În toate formulele precedente mai trebuie adăugată o componenta capacitivă mică datorată extinderii difuziei de drenă și de sursă sub oxidul grilei. Dacă lungimea acestei suprapunerii este notată cu  $L_{ov}$  (de la “overlap”) atunci aceste capacități suplimentare (de suprapunere) sunt:

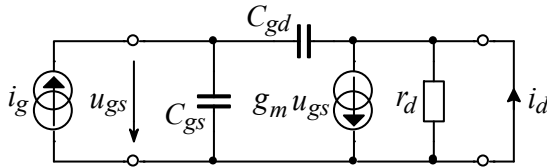
$$C_{ov} = WL_{ov}C_{ox}. \quad (4.85)$$

Valoarea tipică:  $L_{ov} = 0,1 - 0,2 \mu\text{m}$ ; aceasta poate fi o fracție semnificativă a lungimii canalului în cazul tehnologiilor CMOS moderne, sub-micronice.

#### 4.5.5 Frecvența de tăiere a tranzistorului

Funcționarea tranzistorului la frecvențe înalte este influențată de capacitățile circuitului echivalent din figura 4.32. Performanțele de frecvență ale tranzistorului sunt specificate prin valoarea frecvenței de tranziție  $f_T$ . Aceasta este frecvența la care câștigul în curent în condiții de scurtcircuit la ieșire, în conexiunea sursă comună, devine unitar. Se poate observa că definiția este identică cu cea de la tranzistorul bipolar.

În figura 4.33 se prezintă modelul de înaltă frecvență a tranzistorului MOS cu sursa conectată ca terminal comun intrării și ieșirii. Pentru a determina câștigul în curent la scurt-circuit, la intrare se aplică o sursă de curent alternativ și se scurtcircuitează terminalele de ieșire.



**Fig. 4.33.** Determinarea frecvenței de tăiere  $f_T$ , circuitul echivalent de semnal mic.

T1K aplicate în colector și în bază permit calcularea amplificării complexe:

$$\begin{aligned} \underline{I}_d &= (g_m - j\omega C_{gd}) \underline{U}_{gs} \cong g_m \underline{U}_{gs} \\ \underline{I}_g &= j\omega (C_{gs} + C_{gd}) \underline{U}_{gs} \end{aligned} \quad (4.86)$$

$$\frac{\underline{I}_d}{\underline{I}_g} \cong \frac{g_m}{j\omega (C_{gs} + C_{gd})}; \quad (4.87)$$

Din (4.87) rezultă pulsația și frecvența de tăiere a tranzistorului pentru care câștigul în curent devine unitar:

$$\omega_T = \frac{g_m}{C_{gs} + C_{gd}} \quad \text{sau} \quad f_T = \frac{1}{2\pi} \cdot \frac{g_m}{C_{gs} + C_{gd}}. \quad (4.88)$$

Deoarece frecvența  $f_T$  este direct proporțională cu panta  $g_m$  și invers proporțională cu capacitățile interne ale tranzistorului,  $C_{gs}$  și  $C_{gd}$ , o valoare mai mare pentru  $f_T$  indică o amplificare

mai eficientă la înaltă frecvență (realizată cu tranzistorul respectiv). Valorile tipice ale frecvenței de tranziție sunt de la circa 100 MHz (la tehnologiile mai vechi) până la valori de zeci de GHz la tehnologiile moderne (submicronice).

## 4.6 TEC-MOS DE PUTERE, D-MOS

În acest subcapitol se va prezenta structura și caracteristicile tranzistoarelor MOS de putere. Se va prezenta în detaliu structura DMOS. O altă structură care merită amintită, dar nu va fi prezentată în detaliu, este tranzistorul MOS cu canal în V, utilizat înaintea descoperirii structurii DMOS. Aceste tranzistoare au fost înlocuite de tranzistoarele DMOS, cu excepția unor aplicații speciale de înaltă frecvență.

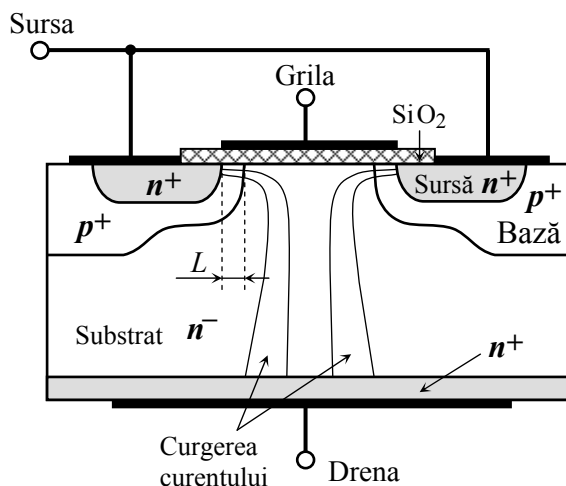
### 4.6.1 Structura D-MOS

Tranzistorul MOS cu canal indus prezentat anterior (în paragraful 4.4.2) nu este potrivit pentru aplicațiile de mare putere. Curentul de drenă al unui tranzistor MOS cu canal indus de tip  $n$  în saturație este:

$$i_D = \frac{k_n}{2} \cdot \left(\frac{W}{L}\right) \cdot (u_{GS} - U_P)^2. \quad (4.81)$$

Pentru a mări curentul tranzistorului MOS trebuie ca acesta să aibă o lățime  $W$  cât mai mare și o lungime  $L$  cât mai mică. Reducerea lungimii la structura MOS standard duce la o micșorare accentuată a tensiunii de străpungere. Ca urmare un astfel de dispozitiv nu va putea controla tensiuni ridicate, specifice aplicațiilor de putere. De aceea, sunt utilizate structuri speciale pentru a obține tranzistoare MOS cu canal scurt (1..2 micrometri) cu o tensiune de străpungere mare.

Cea mai utilizată structură pentru tranzistorul MOS de putere este tranzistorul cu dublă difuzie sau DMOS prezentat în figura 4.31. Dispozitivul este fabricat pe un substrat de tip  $n$  slab dopat, cu regiunea inferioară puternic dopată pentru contactul de drenă. Se realizează două regiuni difuzate, una pentru regiunea bazei de tip  $p$  și cealaltă pentru regiunea sursei de tip  $n$ .



**Fig. 4.32.** Circuitul echivalent de înaltă frecvență la semnal mic al unui TEC-MOS (substratul este conectat la sursă și capacitatea drenă-substrat este neglijată).

Tranzistorul DMOS funcționează astfel: La aplicarea unei tensiuni pozitive pe grilă  $u_{GS}$ , mai mare decât tensiunea de prag  $U_P$ , apare un canal lateral de tip  $n$  în regiunea bazei de tip  $p$  imediat sub stratul de oxid al grilei. Canalul care rezultă astfel este scurt, cu lungimea notată cu  $L$  în figură. Curentul este produs de electronii de la sursă care se deplasează prin canalul scurt spre substrat și apoi vertical prin substrat spre drenă. Conducția verticală a curentului este diferită de conducția laterală care apare la un tranzistor MOS standard, de semnal mic.

Cu toate că tranzistorul are un canal scurt, tensiunea de străpungere poate fi foarte mare (până la 600 V) deoarece regiunea golită de purtători dintre substrat și bază se extinde în principal în zona slab dopată a substratului și nu în canal. Tranzistorul MOS rezultat poate controla un curent mare (50 A sau chiar mai mult) având în același timp și o tensiune de străpungere mare. Un avantaj suplimentar al structurii verticale este utilizarea eficientă a ariei de siliciu.

#### 4.6.2 Caracteristicile statice ale tranzistoarelor MOS de putere

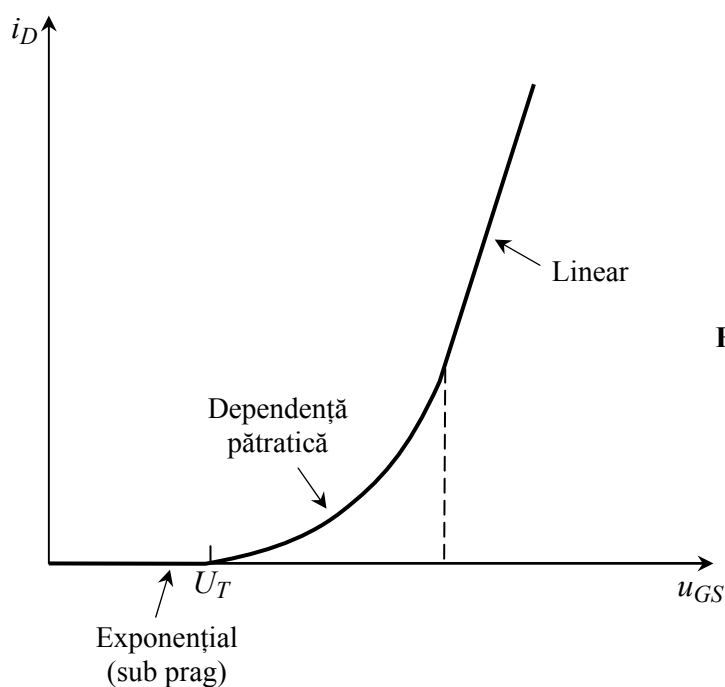
Chiar dacă structura tranzistoarelor MOS de putere este diferită, caracteristicile statice sunt similare cu cele ale TEC MOS de semnal mic. În continuare vor fi prezentate diferențele care apar.

Tranzistoarele MOS de putere au tensiunea de prag de 2 la 4 V, ceea ce permite comanda acestora cu tensiuni digitale de tip TTL. În saturație, apare o relație pătratică între curentul de drenă și tensiunea de grilă  $u_{GS}$ . După cum se poate observa în figura 4.33 caracteristica de transfer  $i_D$ - $u_{GS}$  devine liniară pentru valori mari ale tensiunii  $u_{GS}$ . Porțiunea liniară a caracteristicii de transfer apare datorită valorii mari a câmpului electric care apare în canalul scurt și care conduce la atingerea limitei superioare sau saturația vitezei purtătorilor de sarcină. În aceste condiții curentul

de drenă este:

$$i_D = \frac{1}{2} C_{ox} W \cdot V_{sat} (u_{GS} - U_P), \quad (4.81)$$

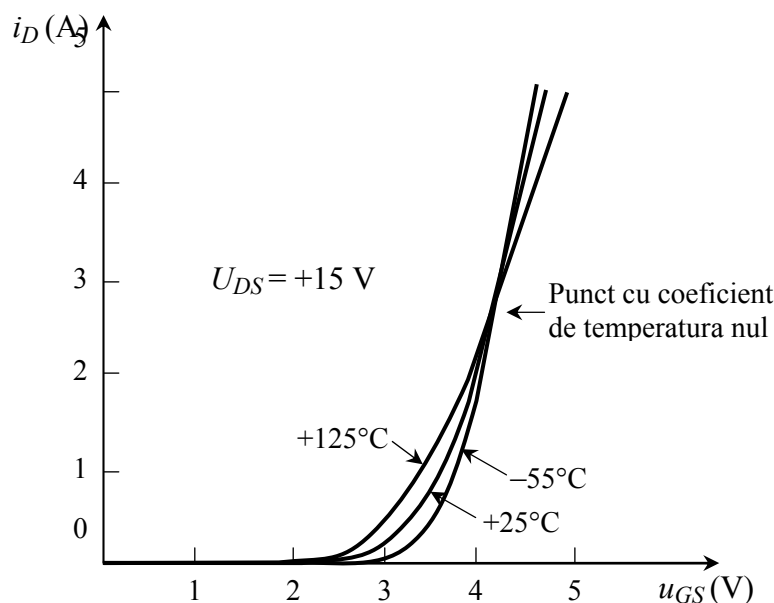
$V_{sat}$  este valoarea de saturație a vitezei ( $5 \cdot 10^6$  cm/s la electroni în siliciu). În zona liniară a caracteristicii de transfer, transconductanța  $g_m$  este constantă și proporțională cu  $W$ ; deoarece lățimea  $W$  are o valoare mare la tranzistoarele de putere, tranzistoarele MOS de putere vor avea o valoare mare a transconductanței.



**Fig. 4.33.** Caracteristica de transfer tipică a unui tranzistor MOS de putere

#### 4.6.3 Efecte ale temperaturii

La proiectarea circuitelor de putere cu tranzistoare MOS prezintă interes comportarea acestora cu temperatura prezentată în figura 4.34. Se poate observa că la o anumită valoare a tensiunii  $u_{GS}$  (4...6 V la majoritatea tranzistoarelor MOS de putere) coeficientul de temperatură a curentului  $i_D$  este nul. Pentru valori mai mari ale tensiunii  $u_{GS}$ ,  $i_D$  are un coeficient de temperatură negativ; ca rezultat tranzistoarele MOS nu prezintă fenomenul de ambalare termică pentru curenți mari.



**Fig. 4.34.** Caracteristica de transfer a unui tranzistor MOS de putere (IRF 630) la diferite temperaturi ale capsulei

Ambalarea termică este totuși posibilă în zona curenților mici (pentru coeficienți de temperatură pozitivi). Coeficientul de temperatură al  $i_D$  este pozitiv în domeniul curenților mici deoarece este determinat de coeficientul de temperatură negativ al tensiunii de prag  $U_P$  (cu valori de -3 la -6 mV/°C).

#### 4.6.4 Comparatia cu tranzistoarele bipolare

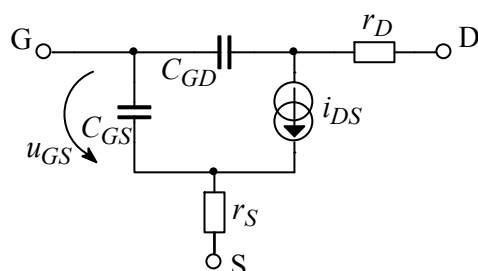
Tranzistoarele de putere MOS nu au nevoie de curenții mari de comandă din baza tranzistoarelor bipolare. Pe de altă parte circuitul de comandă al tranzistorului MOS de putere trebuie să fie capabil să furnizeze un curent suficient de mare pentru încărcarea / descărcarea capacității de intrare (care are o valoare mare și neliniară) în timpul disponibil. În plus tranzistoarele MOS de putere permit o frecvență de operare mai ridicată decât tranzistoarele bipolare de putere.

Aceste proprietăți fac tranzistoarele MOS de putere potrivite pentru aplicațiile de comutație, de exemplu în cazul circuitelor de control a motoarelor electrice.

### 4.7 MODELUL SPICE AL TEC-MOS

Considerațiile generale referitoare la modelare și la programul de simulare SPICE care au fost prezentate în subcapitolul 2.6 (despre modelarea diodelor în SPICE) se aplică și tranzistoarelor MOS și nu vor mai fi reluate. În continuare este prezentat unul dintre modelele utilizate de simulator pentru tranzistoarele MOS.

Cel mai simplu model utilizat în SPICE este modelul LEVEL=1. La acest model sursa de curent  $i_{DS}$  este controlată de  $u_{GS}$  conform relațiilor date la modelul tranzistorului – (4.64) pentru regiunea neliniară și (4.65) pentru saturație. Modelul SPICE semnal mare al TEC-MOS cu 3 terminale (cu substratul legat la sursă) are la bază schema echivalentă din figura 4.35. Modele SPICE pentru TEC-MOS mult mai complexe, care încorporează și efecte de ordinul doi sunt descrise în ANEXA A a lucrării [\*] (A.Vladimirescu – SPICE, 1999).



**Fig. 4.35.** Modelul de semnal mare al TEC cu 3 terminale folosit în SPICE.

După cum se poate vedea din figură, modelul SPICE include rezistențele ohmice ale drenei și sursei:  $r_D$  și  $r_S$ . Funcționarea dinamică a tranzistorului este modelată de cele două capacități  $C_{GS}$  și  $C_{GD}$ . Valorile acestor capacități se calculează în funcție de dimensiunile geometrice ale TEC-MOS,  $W$  și  $L$ , indicate la declararea tranzistorului MOS. La tranzistoarele din circuitele integrate se utilizează și capacitățile neliniare dintre substrat (bază) și cele trei terminale:  $C_{BD}$ ,  $C_{BS}$ ,  $C_{BG}$ , care nu sunt incluse în figura precedentă.

Cei mai importanți parametri ai TEC-MOS sunt dați în tabelul 4.1.

**Tab. 4.1.** Parametrii mai importanți ai modelului de tranzistor MOS din SPICE

Numele SPICE	Parametrul modelului	Simbol	Unitatea de măsură	Valoarea predefinită	Exemplu
VTO	Tensiunea de prag	$U_P$	V	0	1
KP	Parametrul de transconductanță	$k_n$	$AV^{-2}$	$2.0 \times 10^{-5}$	$1.0E-3$
GAMMA	Factorul de substrat	$\gamma$	$V^{1/2}$	0	0.5
PHI	Potențialul la suprafață	$k_n$	V	0.6	0.7
LAMBDA	Parametrul de modulație a lungimii canalului	$\lambda$	$V^{-1}$	0	$1.0E-4$
RD	Rezistența serie din drenă	$R_D$	$\Omega$	0	10
RS	Rezistența serie din sursă	$r_S$	$\Omega$	0	10

## 4.8 BIBLIOGRAFIE

- [14] Sedra S.Adel, Kenneth C.Smith – *Microelectronic circuits*, Oxford University Press, New York,, 4-th Edition 1998;
- [15] Paul R.Gray, Robert G.Meyer - *Circuite integrate analogice, Analiză și proiectare*, Editura Tehnică, București, 1997;
- [16] Keneth R.Laker, Willy M.C.Sansen – *Design of analog integrated circuits and systems*, McGraw-Hill Book Co. Singapore, 1994;
- [17] \* \* \* – *Data on Disk - ST Microelectronics*, Italy, 1998;
- [18] Andrei Vladimirescu - *SPICE*, Editura Tehnică, București, 1999;